

سلسلة الفكر العربي  
للحلوم الأساسية

- ٢٧ -

# علم البلورات والأشعة السينية

أ.د. محمد أمين سليمان

أستاذ متفرغ بجامعة القاهرة

كلية العلوم - قسم الفيزياء

أ.د. نعيمة عبد القادر أحمد

أستاذ متفرغ بالمركز القومى للبحوث

قسم فيزياء الجوامد

الطبعة الأولى

٢٠٠٥ هـ / م ١٤٢٦

ملتزم الطبع والنشر  
**دار الفكر العربي**

٩٤ شارع عباس العقاد - مدينة نصر - القاهرة

٢٧٥٢٩٨٤ - ت: ٢٧٥٢٧٣٥ - فاكس:

٦٣٩٣٠١٦٧ - ت: ٦٣٩٣٠١٦٧ - أشارع جراد حسني

[www.darelfikrelarabi.com](http://www.darelfikrelarabi.com)  
INFO@darelfikrelarabi.com

# لِسْمَةُ اللَّهِ الْجَمِيعِ تقديم السلسلة

الحمد لله رب العالمين .. خلق الإنسان، علّمه البيان،  
والصلة والسلام على أشرف المسلمين، سيدنا محمد النبي الأمي العربي الصادق  
الأمين، وعلى آله وصحبه والتابعين بإحسان إلى يوم الدين.

إن اللغة - أيّ لغة - هي وسيلة التواصل الفكري بين أبناء الأمة الواحدة، وهي  
في الوقت نفسه تمثل حاجة ملحة، وضرورة لا غنى عنها لكل أمة تشرع في النهوض  
من كبوتها وتسعى إلى اللحاق بركب الحضارة، مؤمنة بالدور الأساسي للعلوم الأساسية  
والتطبيقية والتقنية في صنع التقدم والرقي .

هذه الحقيقة التاريخية استوّعها علماء الحضارة العربية الإسلامية عندما ترجموا  
معارف السابقين إلى اللغة العربية ، واستوّعها أيضاً الغربيون عندما ترجموا علوم  
الحضارة العربية الإسلامية في أوائل عصر النهضة الأوروبية الحديثة ، وتعيها اليوم كل  
الأمم التي تدرس العلوم بلغاتها الوطنية ، في سعي حثيث نحو المشاركة الفعالة في إنتاج  
المعرفة وتشييد صرح الحضارة المعاصرة .

ولقد أضحت أمر تعريب العلم والتعليم ضرورة من ضرورات النهضة العلمية  
والتقنية التي تشدها أمتنا العربية الإسلامية لكي تستأنف مسيرتها الحضارية بلغة القرآن  
الكريم الذي حفظها قوية حية في النفوس على الرغم من الوهن الذي أصاب أهلها ،  
وما ذلك إلا لأن الله - سبحانه وتعالى - قد خصّها بصفات تميزها على غيرها ، وكفلها  
بحفظه حين تكفل بحفظ قرآنه العظيم .

والحديث عن هذه الضرورة الحضارية لتعريب العلم والتعليم قد تجاوز الآن مرحلة  
الإقناع بالأدلة والبراهين المستقاة من حقائق التاريخ ومعطيات الواقع المعاش ، وعليه أن  
يتّنقل إلى مرحلة التخطيط والتنفيذ ، وفق أسس وضمانات منهجية مدرّسة ، وعن طريق  
آيات ومؤسسات قادرة على إنجاز المشروع الحضاري الكبير ، ذلك أن اجتياز حالة  
التخلف العلمي والتقني التي تعيشها الأمة العربية والإسلامية يجب أن يصبح هدفاً  
عزيزاً تُستحدث لأجله الهمم ، وتستثار العزائم .

**وَكَارُونَ الْفَكِيرُ الْعَرَبِيُّ** - من جانبها - قد استشعرت خطورة تأخير هذا المشروع الحضاري الكبير، فسعت جاهدة إلى تحقيق الهدف النبيل، وشرعت في إعداد «سلسلة مراجع العلوم الأساسية» في مجالات الكيمياء والفيزياء والرياضيات والفلك والجيولوجيا وعلوم الحياة، بحيث تخاطب قارئ العلوم في مراحل العمر المختلفة بصورة عامة، وطلاب المراحلين الثانوية والجامعية على وجه الخصوص، في ضوء الأهداف الآتية:

\* ربط المادة العلمية بما يدرسه الطالب في مناهجهم الدراسية، وعرضها على نحو يوافق التصور الإسلامي للمعرفة، ويحقق أهداف وغايات التربية الإسلامية الرشيدة.

\* إثراء الثقافة العلمية لدى الطلاب والارتقاء بذوقهم العلمي مع تنمية الجانب التجريبي والتطبيقي لتعويذهم حسن الاستفادة من كل ملكات الفكر والعمل التي وهبها الله - سبحانه وتعالى - للإنسان.

\* إبراز الدور الرائد الذي قام به علماء الحضارة العربية الإسلامية - قدماً وحديثاً - في دفع مسيرة التقدم العلمي.

\* تتبع نمو المفاهيم العلمية وصولاً إلى أحدث الكشف والمخترعات، وذلك بهدف غرس منهجية التفكير العلمي لدى الطلاب، وتوسيع مداركهم إلى أبعد من حدود الموضوعات الدراسية المقررة عليهم.

\* الالتزام بما أقرته مجتمع اللغة العربية من مصطلحات علمية، ويفضل أكثرها شيوعاً مع ذكر المقابل الأجنبي.

وقد عهدت **وَكَارُونَ الْفَكِيرُ الْعَرَبِيُّ** بالمسؤولية العلمية إلى هيئة استشارية تتولى التخطيط لإصدارات هذه السلسلة، واستكتاب أهل الخبرة والاختصاص من علماء الأمة ومفكريها، ومناقشة الأعمال المقدمة قبل صدورها.

**﴿رَبَّنَا لَا تُرْغِبْنَا بَعْدَ إِذْ هَدَيْنَا وَهَبْ لَنَا مِنْ لَدُنْكَ رَحْمَةً إِنَّكَ أَنْتَ الْوَهَّابُ﴾** [آل عمران: ٨]

وآخر دعوانا أن الحمد لله رب العالمين

أحمد فؤاد باشا

# المحتويات

## الصفحة

## الموضوع

٩

مقدمة الكتاب

١١

### الباب الأول البلورات و خواصها

١٣

الفصل الأول : البلورات

٤٥

الفصل الثاني: الخواص الفيزيائية للبلورات

٨٩

### الباب الثاني

#### الأشعة السينية و خاصية الحيود

٩١

الفصل الثالث : الأشعة السينية

١٠٧

الفصل الرابع: حيود الأشعة السينية من البلورات

١٣٥

الفصل الخامس: طرق تسجيل شكل الحيود

١٥٩

### تطبيقات حيود الأشعة السينية من البلورات الاحادية

١٦١

الفصل السادس : المجموعات الفراغية

١٨٥

الفصل السابع : العوامل المؤثرة في شدة أشعة الحيود

٢١٥

الفصل الثامن : تعيين التركيب البلوري من حيود الأشعة السينية

٢٦٣

الفصل التاسع : التعبئة في البلورات

### الباب الرابع

#### **تطبيقات حيود الأشعة السينية من المساحيق**

- |     |   |
|-----|---|
| ٢٩٥ | الفصل العاشر : تفسير شكل الحيود من المساحيق               |
| ٢٩٧ | الفصل الحادى عشر : تركيب المواد عديدة التبلور             |
| ٣٢٥ | الفصل الثانى عشر : التحليل الفلورى بالأشعة السينية        |
| ٣٦٥ | الفصل الثالث عشر : دراسة المواد الأمورفية بالأشعة السينية |
| ٣٨٣ |   |

### الباب الخامس

#### **بعض أنواع البلورات ذات الموصفات الخاصة**

- |     |  |
|-----|--|
| ٤١١ | الفصل الرابع عشر : أشباه البلورات وتماثلها والبلورات النانومترية |
| ٤١٣ | الفصل الخامس عشر : البلورات السائلة وتطبيقاتها                   |
| ٤٣٧ | تذليل  |
| ٤٧١ |  |
| ٥٠٣ | قائمة المصطلحات  |
| ٥١٥ | المراجع  |



## مقدمة لكتاب

ظل العلماء لسنوات طويلة يعكفون على دراسة البلورات من حيث شكلها الخارجي وكانت المعلومات التي تجمع بواسطة العلماء مجرد قياسات للزوايا بين أسطح البلورات وتحليل كيميائي وقياسات خواصها الطبيعية، أما المعلومات عن التركيب الداخلي لها فكانت معلومات قليلة على الرغم من أنه كانت هناك بعض التكهنات بأن البلورات تتركب من تركيب دورى منتظم لوحدة معينة ربما تكون ذرات أو جزيئات، وأن هذه الوحدات مرتبة بحيث تكون الأبعاد بينها حوالى إنجستروم واحد أو اثنين، ومن ناحية أخرى كانت توجد دلائل على أن الأشعة السينية ما هي إلا أشعة كهرومغناطيسية لها طول موجة يتراوح بين واحد واثنين إنجستروم بالإضافة إلى أن نظرية حيود الضوء كانت قد أرسست قواعدها.

هنا نبعث فكرة استخدام البلورات كمحزوز حيود للأشعة السينية التي يقع طول موجتها في مدى الأبعاد بين الذرات .

ومنذ اكتشاف حيود الأشعة السينية من البلورات سنة ١٩١٢ م أصبحت أي دراسة علمية تعتمد على معلومات عن موقع الذرات في البلورة يمكن إجراؤها باستخدام هذا العلم حيث أصبح من الممكن تحديد تركيب المواد مثل الجزيئات العضوية والبروتينات، وأصبحت تطبيقات هذا العلم بدون حدود فهو ذو فائدة للكيميائيين، والبيولوجيين، والفيزيائيين، والجيولوجيين، والعاملين في مجال الكيمياء الحيوية. فقد أمكن تعين التركيب الفراغي للبنزين والجرافيت والبنسلين وفيتامين  $B_{12}$  والهيماوجلوبين والجزيئات العملاقة مثل DNA، RNA، وبعض الفيروسات، وفي كل مرة كانت المعلومات التي يتم الحصول عليها تزيد من فهم أساسيات علم الكيمياء والكيمياء الحيوية.

والكتاب الذى بين أيدينا يأخذ بيد القارئ وعقله فليج به فى عالم البلورات وهندستها وخواصها ثم يتم التعرف على عالم الأشعة السينية وكيفية إنتاجها وتطبيقاتها لمعرفة أسرار التركيب البلورى . ولعلنا نذكر في هذا المقام ما كتبته العالمة دوروثى هودجن الحاصلة على جائزة نوبل عام ١٩٦٥ حيث قالت: «من المميزات الكبيرة لطريقة تعين التركيب بالأشعة السينية هي مقدرتها على إعطائنا معلومات تثير الدهشة وهى فى نفس الوقت موثوق بها دائمًا» .

### المؤلفان

# **الباب الأول**

## **البلورات و خواصها**

**الفصل الأول:**

**البلورات**

**الفصل الثاني:**

**الخواص الفيزيائية للبلورات**

البِلَادُورَات

## ١- الشبكة الملورية Crystal Lattice

二

قد يدهش البعض منا عندما يعلمون أن الفلزات الشائعة مثل النحاس والفضة والألومنيوم وغيرها... وكذا معظم المواد الصلبة هي مواد بلورية. وعلى الرغم من تعودنا على السمات البلورية لمواد مثل الكوارتز والألماس وملح الطعام، فإن الأوجه الواضحة والزوايا المحددة بين تلك الأوجه قد لا تبدو للعين في قطع الفلزات المألوفة. ومع ذلك فالهيئه البلورية للفلزات تتحففي المنيجات الفلزية نتيجة قابلية الفلزات للطرق والتشكيل.

إن الحكم على كون مادة ما بلورية لا يكون بسبب مظاهرها الخارجية وإنما على مدى انتظام ذراتها وجزيئاتها في ترتيب دورى على المستوى الميكروسكوبى . وإذا كانت هذه الصورة قد افترضت قديما ، فإن البرهان العلمي عليها قد تأكّد عام ١٩١٣ م عندما بزغ علم البلورات مستندا على الأشعة السينية وإمكانياتها .

ونعرض في هذا الباب أهم الخصائص الهندسية لترتيب  
الذرات في صفوف في الأبعاد الثلاثة ولها نظام دوري.

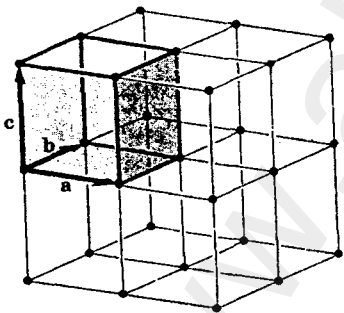
## ١-١ الشبكة Lattice

ت تكون أية بلورة نموذجية من تكرار منتظم لا نهائى في الفراغ لوحدات بنائية متماثلة، ففي أبسط البلورات مثل بلورة النحاس أو الفضة، مثلاً، وكذا في بلورات الفلزات القلوية، فإن الوحدة البنائية تحتوى على ذرة واحدة.. وقد تحتوى الوحدة البنائية في الحالة العامة على عدة ذرات أو جزيئات إلى ما يصل أحياناً إلى مائة ذرة في البلورات غير العضوية، بل وإلى نحو عشرة آلاف في بلورات البروتينات.

وقد تكون البلورة من أكثر من عنصر كيميائي (كما في بلورة كلوريد الصوديوم  $\text{NaCl}$ ). أو من مجموعات من الذرات المشابهة (كما في الهيدروجين الصلب  $\text{H}_2$ ).

ويوصي تركيب جميع البلورات بشبكة بلورية دورية حيث ترتبط بكل نقطة من نقط الشبكة مجموعة من الذرات؛ كما يمكن أن ترتبط هذه المجموعة بمتوازي مستطيلات أولى.. ويطلق على المجموعة اسم القاعدة Basis.. وهي تتكرر في الفراغ مكونة البلورة.

## ٢-١ الخلية الأساسية للشبكة Elementary Cell



شكل (١-١)

يطلق تعبير الخلية الأساسية على متوازي المستطيلات المكون من المحاور الابتدائية  $a$  و  $b$  و  $c$ ، كما يطلق أيضاً تعبير الخلية الأحادية (انظر الشكل ١-١). وتكرار هذه الخلية يملأ الفراغ كله حينما تتعرض لعمليات انتقال مناسبة. وتميز الخلية الأساسية بأنها تشغل أدنى

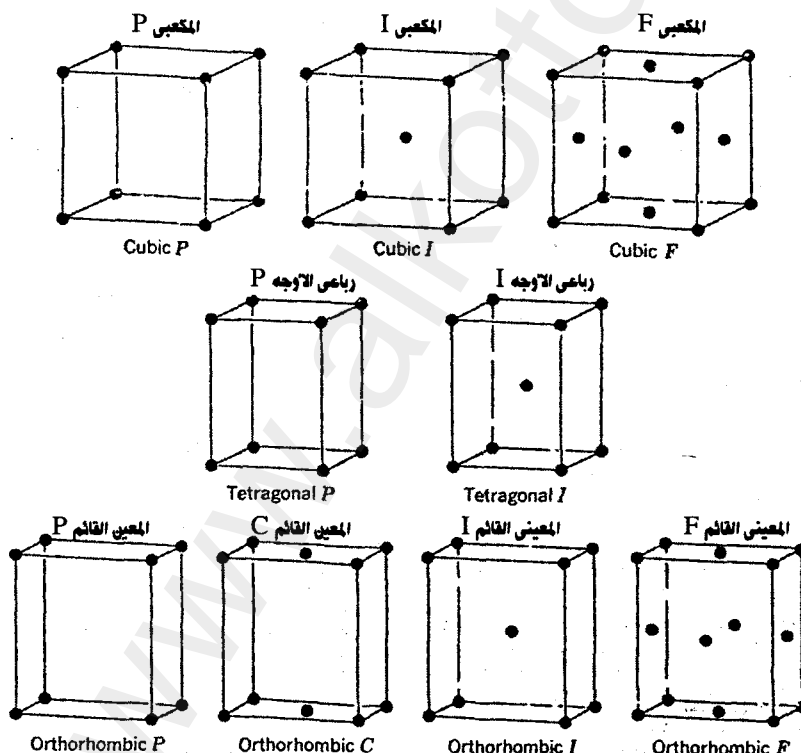
حجم يمكن لا يحتوى بداخله إلا على نقطة واحدة من الشبكة؛ بمعنى أنه إذا كانت هناك نقطة عند كل ركن من الأركان الثمانية لمتوازي المستطيلات، فإن كل ركن سيشتراك فيه ثمانى خلايا أساسية تلامس كل منها الأخرى. ويتبع حجم الخلية من العلاقة:

$$V_c = |\vec{a} \times \vec{b} \cdot \vec{c}| \quad (1-1)$$

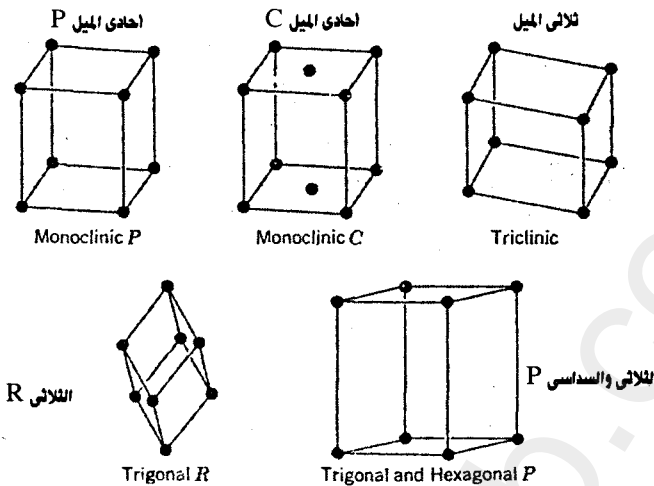
وهي علاقة معروفة في مجال تحليل المتجهات.  
وقد لا تكون الخلية الأساسية بدائية (أي محتوية على نقطة واحدة) كما سررى بعد قليل.

### ٣-٣ أنواع الشبكات : شبكات برايفيه Bravais Lattices

هناك أربع عشرة شبكة شبيهة مختلفة كما يوضحها الشكل (٢-١) والجدول (١-١)، وقد اصطلاح على توزيع هذه الشبكات على سبعة نظم بلورية طبقاً للأملاط السبعة للوحدات الأساسية وهي: ثلاثة ميل، أحادية الميل، المعينة المستقيمة، رباعية الأضلاع، المكعبية، مثلثية الأسطح، والسداسية.



شكل (٢-١)  
شبكات برايفيه

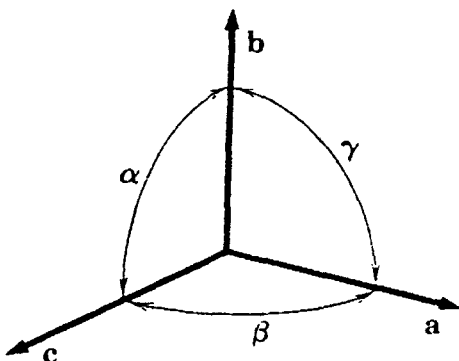


تابع شكل (٢-١)  
 شبکات برافیه

جدول (١-١)  
تفاصيل شبکات برافیه

شروط الزوايا والمحاور Restrictions on conventional cell axes and angles	رموز الشبکة Lattice symbols	عدد الشبکات في النظام Number of lattices in system	النظام System
$a \neq b \neq c$ $\alpha \neq \beta \neq \gamma$	P	1	ثلاثي الميل Triclinic
$a \neq b \neq c$ $\alpha = \gamma = 90^\circ \neq \beta$	P, C	2	حادي الميل Monoclinic
$a \neq b \neq c$ $\alpha = \beta = \gamma = 90^\circ$	P, C, I, F	4	المعين القائم Orthorhombic
$a = b \neq c$ $\alpha = \beta = \gamma = 90^\circ$	P, I	2	رباعي الاضلاع Tetragonal
$a = b = c$ $\alpha = \beta = \gamma = 90^\circ$	P or sc I or bcc F or fcc	3	المكعبى Cubic
$a = b = c$ $\alpha = \beta = \gamma < 120^\circ, \neq 90^\circ$	R	1	الثلاثي Trigonal
$a = b \neq c$ $\alpha = \beta = 90^\circ$ $\gamma = 120^\circ$	P	1	السداسى Hexagonal

ويكن فهم هذا التقسيم من خلال العلاقات بين محاور الوحدات الأساسية والزوايا التي بينها (انظر الشكل ٣-١)، وستتناول كل نمط أو نظام على حدة:



شكل (٣-١)  
المحاور البلورية  
تحصر الزاوية  $\alpha$  بين  $c.b.a$

١ - يوجد في النظام ثلاثي الميل Triclinic نمط واحد هو البدائي ويرمز له بالرمز P، حيث تختلف أطوال المحاور الثلاثة فيما بينها وتخالف كذلك الزوايا.

٢ - أما في النظام أحادى الميل Monoclinic، فهناك نمطان للشبيكة؛ حيث تكون الخلية في أولهما بدائية وفي الثاني غير بدائية ويرمز لها بالرمز C وتقع نقط الشبيكة عند مراكز الأوجه المستطيلة للخلية (في المستوى  $(ab)$ .

٣ - هناك أربعة أنماط للشبيكة في حالة النظام المعين المستقيم:  
أ - أن تكون للشبيكة خلايا بدائية.

ب - أن تكون للشبيكة خلايا ذات قاعدة عند مركزها نقطة.

ج - أن تكون للشبيكة خلايا عند مركزها نقطة. ويرمز لها بالرمز I.

د - أن تكون للشبيكة خلايا عند مركز كل وجه فيها نقطة ويرمز لها بالرمز F.

٤- تكون أبسط الوحدات الأساسية للنظام رباعي الأضلاع على هيئة منشور رباعي قائم، وتكون الخلية بدائية. كما يمكن أن يكون هناك نمط آخر يتمتع فيه جسم الخلية ببنقطة عند مركزه.

٥- هناك ثلاثة أنماط للشبيكة في حالة النظام المكعبى:

أ- المكعبى البسيط (s.c.).

ب- المكعبى الذى يوجد بمركز جسم خليته نقطة (I).

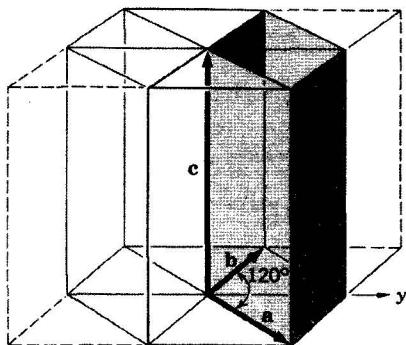
ج- المكعبى الذى يوجد بمركز كل وجه من أوجه خليته نقطة (F) (انظر جدول ٢-١).

**جدول (٢-١)**  
**ثوابت الشبيكات المكعبية (F, I, SC.)**

متركز الموجة Face centered	متركز الجسم Body centered	البسيط Simple	حجم الخلية Volume, conventional cell	عدد نقط الشبيكة في الخلية Number of lattice points per cell
$a^3$	$a^3$	$a^3$	Volume, conventional cell	حجم الخلية البدائية Volume of the primitive cell
4	2	1	Lattice point per cell	عدد نقط الشبيكة في وحدة الحجم Number of lattice points per unit volume
$1/4a^3$	$1/2a^3$	$a^3$	Volume, primitive cell	حجم الخلية البدائية Volume of the primitive cell
$4/a^3$	$2/a^3$	$1/a^3$	Lattice points per unit volume	عدد أقرب الجيران Number of nearest neighbors
12	8	6	Number of nearest neighbors°	عدد أقرب الجيران Number of nearest neighbors
$a/2^{1/2}=0.707a$	$3^{1/2}a/2=0.866a$	a	Nearest neighbor distance	المسافة إلى أقرب الجيران Distance to nearest neighbor
6	6	12	Number of second neighbors	عدد الجيران الثانوي Number of second neighbors
a	a	$2^{1/2}a$	Second neighbor distance	المسافة إلى الجار الثاني Distance to second neighbor

٦- تكون الخلية البدائية في النظام الثلاثي على هيئة مجسم معين الأوجه.  
وتكون الشبيكة بدائية.

٧- أما في النظام السداسي فالخلية على هيئة منشور قائم، قاعدته على هيئة معين زاويته  $60^\circ$ . وتكون الشبيكة بدائية والعلاقة بين الخلية المعينة والمنشور السداسي موضحة بالشكل (٤-١).



شكل (٤-١)

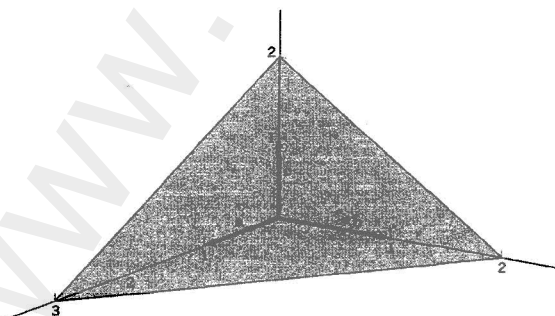
العلاقة بين الخلية البدائية في النظام السادس (الخط المترافق) والمنشور ذو التمايل السادس

$$a = b \neq c$$

## ٢-١ إحداثيات ميلر Miller's Indices

تحدد المستويات البلورية من حيث موقعها واتجاهها إذا علمت ثلاث نقاط بشرط ألا تكون على خط مستقيم. وإذا وقعت كل نقطة على محور بلوري فإن المستوى قد يتحدد إذا علمت موقع النقط على طول المحاور بدلالة الشوائب البلورية. فإذا كانت إحداثيات الذرات التي تحدد المستوى هي  $(4, 0, 0)$  ،  $(0, 0, 2)$  ،  $(0, 1, 0)$  بالنسبة لمتجهات المحور بعيداً عن نقطة أصل معروفة فإن المستوى يتحدد بثلاثة أرقام هي  $4, 1, 2$ .

على أنه قد يكون من الأجدى بالنسبة لتحليل التركيب البلوري أن نحدد اتجاه المستوى بدلالة ما يسمى إحداثيات «ميلر» التي يحددها الشكل (٥-١) كما يلي :



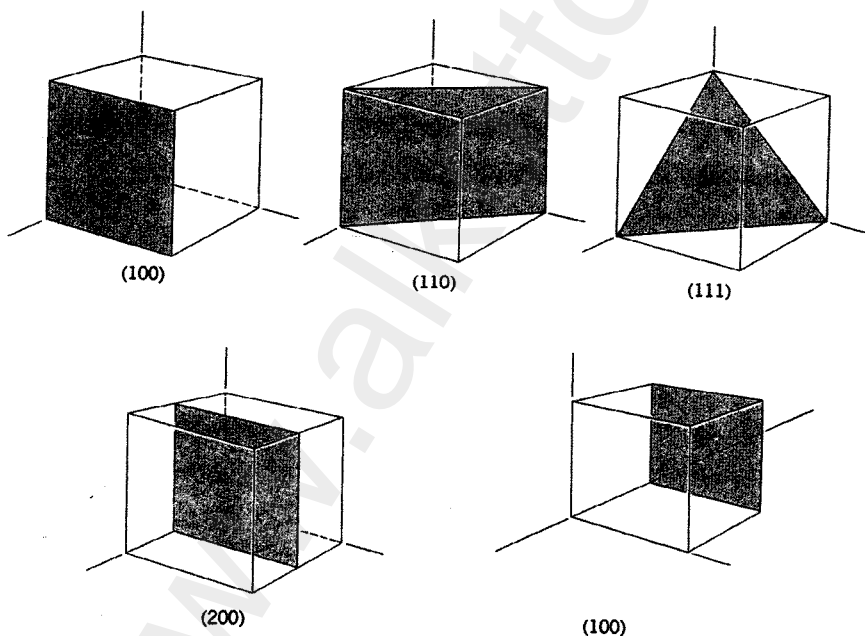
شكل (٥-١)

يقطع هذا المستوى المحاور  $a, b, c$  عند  $2a, 2b, 2c, 3a, 3b, 3c$ . ومقلوبات هذه الأرقام هي  $1/2, 1/2, 1/2, 1/3, 1/3, 1/3$ . وتكون إحداثيات «ميلر»  $(2 \bar{3} \bar{3})$  أما المعامل المشترك البسيط جعل النسبة بينها  $2, 3, 3$

١- يتم تحديد نقط تقاطع المستوى مع المحاور  $\bar{a}$  ،  $\bar{b}$  ،  $\bar{c}$  بدلالة الثوابت البلورية وقد تكون المحاور بدائية أو غير بدائية.

٢- يتم بعد ذلك إيجاد مقلوبات هذه الأرقام ويحسب العامل المشترك البسيط بينها لنحصل على ثلاثة أرقام تحمل فيما بينها نفس النسبة، ثم يعبر عن الناتج داخل قوسين هكذا:  $(h k \ell)$ .

**مثال:** إذا كان مستوى ما يقطع المحاور في المسافات ٤ ، ١ ، ٢ فإن مقلوبات هذه الأرقام  $\frac{1}{4}$  ،  $\frac{1}{2}$  و تكون إحداثيات «ميller» هي  $(1, 4, 2)$ ، أما إذا حدث التقاطع مع محور ما عند ما لا نهاية فإن الإحداثي المناظر يكون صفرًا. ويوضح الشكل (٦-١) إحداثيات «ميller» لبعض المستويات الشائعة في بلورة مكعبية.



شكل (٦-١)

إحداثيات «ميller» لبعض المستويات المهمة في بلورة مكعبية ويلاحظ أن المستوى (200) يوازي المستوى (100)

وقد تعنى الإحداثيات ( $h k \ell$ ) مستوى واحداً أو مجموعة من المستويات المتوازية. وعندما يقطع المستوى محوراً ما في الجانب السالب من نقطة الأصل فإن الإحداثي المناظر لذلك يكون سالباً وتوضع إشارة السالب فوقه هكذا : ( $h \bar{k} \ell$ ). وعلى هذا تكون إحداثيات أوجه المكعب الستة (وهي تمثل ستة مستويات) كما يلى :

(1 0 0), (0 1 0), (0 0 1), (0 0 1), (0 1 0), (1 0 0)، وتميز المستويات المتكافئة من حيث التماهيل بأقواس ملتوية تحوى بداخلها إحداثيات «مير». أى أن مجموعة أوجه المكعب تصبح {1 0 0} وقد نذكرها ببساطة فنقول أوجه 1 0 0. أما إذا ذكر المستوى (2 0 0) فإننا نعنى المستوى الموازي للمستوى (1 0 0)، ولكنه يقطع المحور  $a$  عند  $1/2$ .

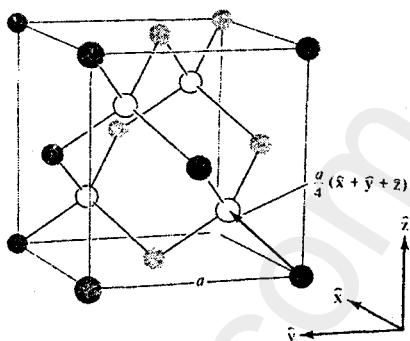
ويعبر عن إحداثيات اتجاه ما في البلورة بمجموعة من أصغر أرقام تمثل النسبة بين مركبات متوجه له نفس الاتجاه المطلوب منسوبة إلى المحاور البلورية، وتنكتب هذه الأرقام الصحيحة بين قوسين مربعين، هكذا : [h k  $\ell$ ] ومثال ذلك يصبح اتجاه المحور (x) في بلورة مكعبية مثلاً هو [1 0 0]، أما المحور (y) فيكون اتجاهه [0 1 0].

ويلاحظ أن الاتجاه [h k  $\ell$ ] في البلورات المكعبية يكون دائماً متعمداً مع المستوى ( $h k \ell$ ) الذي له نفس إحداثيات مير، وإن كان هذا الأمر ليس صحيحاً على إطلاقه في النظم البلورية الأخرى.

### ١-٣ المجموعات النقطية (الطوائف) Point Groups

هناك اثنان وثلاثون مجموعة بلورية تسمى المجموعات النقطية أو الطوائف البلورية، وتعود التسمية إلى أن جميع عمليات التماهيل فيها تعيد التركيب البلوري إلى ما كان عليه قبل إجراء تلك العمليات بينما تظل نقطة واحدة ثابتة بدون تغيير.

وقد تحتوى الطوائف البلورية النقطية على الأنواع التالية من عمليات التماهيل :



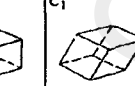
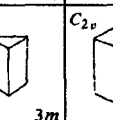
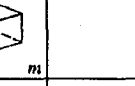
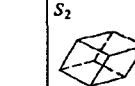
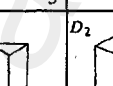
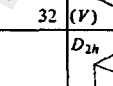
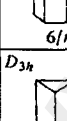
شكل (٧-١)

**خلية مكعبية نموذجية لشبكة الالماس  
والواقع غير المظللة تتنبى لإحدى  
الشبيكتين المتناقضتين**

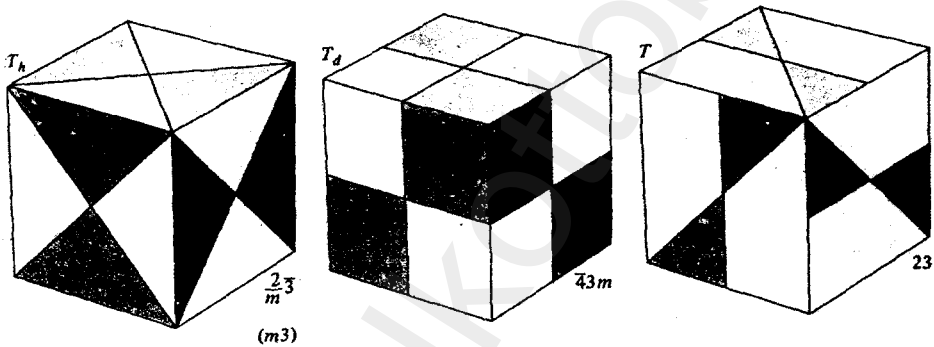
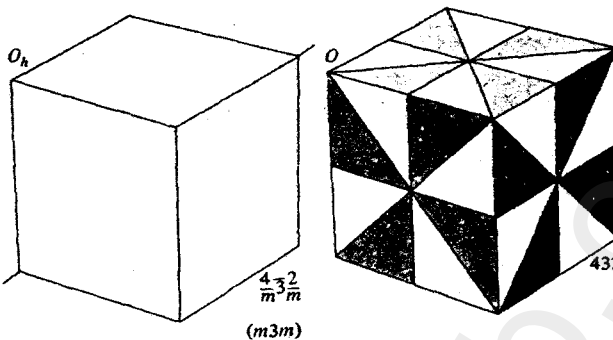
- ١ - الدوران خلال مضاعفات صحيحة للزاوية  $\frac{2\pi}{n}$  حول محور دوران ذي طية. وقد وجد أن شبكات برافيه يمكنها أن تحتمل وجود محاور ذات طيدين أو ثلات أو أربع أو ست طيات فقط، وحيث إن المجموعات النقطية تقع في نطاق شبكات برافيه، فهي الأخرى لا تحتوى إلا على هذه المحاور.
- ٢ - الدوران - الانعكاسي، وفيه يكون عنصر التماثل يشمل دوراناً بزاوية مقدارها  $\frac{2\pi}{n}$  ومصحوباً بانعكاس في مستوى (كلمارة) متعامد مع المحور. وبهذا يصبح لدينا محور دوران انعكاسي ذو  $n$  طية.
- ٣ - الدوران الانقلابي، وفيه يتم دوران بزاوية مقدارها  $\frac{2\pi}{n}$  يعقبه انقلاب في نقطة تقع على محور الدوران الذي يسمى عندئذ محور دوران انقلابي ذو  $n$  طية.
- ٤ - الانعكاس، وفيه تتحول كل نقطة إلى صورتها في مرآة يمثلها مستوى يعرف بالمستوى المرأوى.
- ٥ - الانقلاب، وتحدث هذه العملية خلال نقطة ثابتة هي مركز الانقلاب بحيث تتحول أية نقطة يحددها المتجه ( $\vec{r}$ ) إلى نقطة يحددها متجه آخر هو ( $\vec{r}'$ ).

وتوصف المجموعات النقطية من خلال تسميات مختلفة من أشهرها تلك التي ابتكرها «شونفليس» إلى جانب التصنيف الدولي. وكلتا التسميتين موضوعة في الجدولين ٣-١ ، ٤-١ .

جدول (٣-١)  
المجموعات البلورية النقطية غير المكعبية

شونفليس Schoenflies	السداسى Hexagonal	رباعي الوجه Tetragonal	الثلاثى Trigonal	المعین القائم Ortho-Rhombic	(حادى الميل Monoclinic	ثلاثى الميل Triclinic	الدولى International
$C_n$	$C_6$  6	$C_4$  4	$C_3$  3		$C_2$  2	$C_1$  1	$n$
$C_{nv}$	$C_{6v}$  6mm	$C_{4v}$  4mm	$C_{3v}$  3m	$C_{2v}$  2mm			$nmn$ ( $n$ even) $nm$ ( $n$ odd)
$C_{nh}$	$C_{6h}$  6/m	$C_{4h}$  4/m			$C_{2h}$  2/m		$n/m$
	$C_{3h}$  6				$C_{1h}$ ( $\bar{2}$ )  m		
$S_n$		$S_4$  4	$S_6$  ( $C_{3h}$ ) 3			$S_2$  ( $C_1$ ) 1	$\bar{n}$
$D_n$	$D_6$  622	$D_4$  422	$D_3$  32	$D_2$  (V) 222			$n2\bar{2}$ ( $n$ even) $n2$ ( $n$ odd)
$D_{nh}$	$D_{6h}$  6/mmm	$D_{4h}$  4/mmm			$D_{2h}$ (mmmm)  (V <sub>h</sub> ) 2/mmm		$\frac{n}{m} \frac{2}{m} \frac{2}{m}$ ( $n$ /mmmm)
	$D_{3h}$  62m						$\bar{n}2m$ ( $n$ even)
$D_{nd}$		$D_{2d}$  (V <sub>d</sub> ) 42m	$D_{3d}$  (3m) $\bar{3}2m$				$\bar{n} \frac{2}{m}$ ( $n$ odd)

جدول (٤-١)  
المجموعات التقاطية المكعبية



### ١-٣-١ تصنیف «شونفلیس»

$C_n$  : لا تحتوى هذه المجموعات أو الطوائف إلا على محور دوران ذي  $n$  طية؛ حيث  $n = 1, 2, 3, 4, 6$ .

$C_{nv}$  : تحتوى هذه الطوائف على مستوى مرآوى يمر بداخله محور الدوران، بالإضافة إلى عدد من المستويات التي يحددها المحور الرئيسي.

$S_n$  : تحتوى هذه الطوائف على محور دوران انعكاسى ذي  $n$ -طية.

$D_n$  : تحتوى هذه الطوائف على محور ذي طيتين، يتعامد مع محور ذي  $n$  طية، بالإضافة إلى محاور ذات طيتين يحدد عددها المحور الرئيسي.

$D_{nh}$  : تعتبر هذه الطوائف من النوع الأكثر تماثلا حيث تحتوى على جميع عناصر تماثل المجموعة  $D_n$  مضافا إليها مستوى مرأوى متعمد مع المحور الرئيسي.

$D_{nd}$  : تحتوى هذه الطوائف على عناصر تماثل المجموعة  $D_n$  مضافا إليها مستويات مرأوية تضم المحور الرئيسي الذى ينصف الزاوية الواقعة بين المحورين الثنائيين (كل محور منها ذو طيتين).

### ٤-٣-١ التصنيف الدولى للطوائف غير المكعبية

هناك ثلاثة طوائف ينطبق تصنيفها الدولى مع تصنيف «شونفليس» وهى:

$n$  : وهى تقابل الطائفة  $C_n$ .

$nmm$ : وهى تقابل  $C_{nv}$ .

ويشير حرف  $m$  إلى نوعين محددين من المستويات المرأوية التي تحتوى على محور ذى طية وتمثل هذه الطوائف فى الأجسام التى توصف بالرموز  $2mm$ ,  $4mm$ ,  $6mm$  ومعنى هذا أن المحور الرئيسي يؤدى إلى ظهور مستويات أخرى عددها هو عدد الطيات للمحور. والمجموعة (الطائفة)  $3m$  تناظر المجموعة  $C_{3v}$ ; أى أن المحور الرئيسي (3) يتبع ثلاثة مستويات.

$n$  : وهى تقابل  $D_n$  حيث تتعامد المحاور ذات الطيتين مع المحور الرئيسي.

أما العلاقة بين بقية الطوائف الدولية وطوائف «شونفليس» فهى كما يلى:

$n/m$ : وهى تناظر  $C_{nh}$  فيما عدا أن التصنيف الدولى يعتبر  $C_{3h}$  على أنها تحتوى على محور ذى ست طيات (سداسى) ويكون محور دوران انقلابى، أى  $\bar{6}$ . كما أن  $C_{1h}$  هو ببساطة  $m$  بدلا من  $1/m$ .

$\bar{n}$  : تحتوى هذه الطائفة على محور دوران انقلابي ذى  $n$ - طية وتحصل هذه الطائفة  $S_4$  التي تؤول إلى  $4$  بشكل جيد أما  $S_6$  فتصبح  $\bar{3}$  و  $S_4$  تصبح  $\bar{1}$  وذلك في ضوء الفرق بين محاور الدوران الانقلابية ومحاور الدوران الانعكاسية.

: وتكتب مختصرة هكذا  $D_{nh}^{\frac{n}{m}}$  وهي تناظر  $D_{nh}$  فيما عدا أن النظام الدولى يفضل اعتبار  $D_{3h}$  على أنها تحتوى على محور دوران انقلابي ذى ست طيات (سداسى) فيصبح رمز الطائفة هو  $2m\bar{6}$ . كما يلاحظ أن  $\frac{2}{mmmm}$  قد تكتب أحيانا.

أى أن  $D_{nh}$  يمكن اعتبارها محتسورة على محور ذى  $n$ - طية مع وجود مستوى مرآوى متعامد معه، بالإضافة إلى مجموعتين متعامدتين معه من المحاور ذات الطيتين، بحيث يصبح لكل مجموعة المستوى المتعامد معها.

$\bar{n}2m$  : وهى تشبه  $D_{nd}$  فما عدا أن  $D_{3h}$  تكون متضمنة فى المجموعة  $2m\bar{6}$ . ويشير هذا الرمز إلى وجود محور دوران انقلابي ذى  $n$  طية مع محور ذى طيتين متعامد معه، بالإضافة إلى مستوى مرآوى رأسى. ومرة أخرى تكون الحالة  $n=3$  استثنائية ويصبح رمزها  $\frac{2}{m}\bar{3}$  (أو اختصارا  $\bar{3}m$ ) لكي يعبر عن أن المستوى الرأسى متعامد مع المحور ذى الطيتين.

### ٣-٣-١ تصنيف الطوائف النقاطية البلورية المكعبية

يوضح الجدول ٤-١ كلا من تصنيف «شونفليس» والتصنيف الدولى للطوائف المكعبية الخمس:

$O_h$  : وهى تمثل الطائفة المكتملة للمكعب (أو ثمانية الأوجه)، ومن هنا جاء الحرف  $O$  من كلمة Octahedron (Octahedron) بما فيها من العمليات غير السوية (أى التى تحول فيها الأشكال يمينية اليد إلى أشكال يسارية اليد)، وفيما عدا ذلك باقى العمليات سوية، وتعتبر العمليات التى بها عدد فردى من مرات الانقلاب أو الانعكاس غير سوية أيضا. وقد يوجد بهذه الطائفة أيضا مستوى انعكاس أفقي ( $h$ ).

**O** : يرمز هذا الحرف إلى المجموعة المكعبية التي لا تتضمن أية عمليات تماثل غير سوية.

**T<sub>d</sub>** : هي مجموعة التماثل المكتملة لرباعي الأوجه المتنظم شاملًا كل العمليات غير السوية.

**T** : هذه هي مجموعة رباعي الأوجه المتنظم مع استبعاد كل العمليات غير السوية.

**T<sub>h</sub>** : وهي المجموعة الناتجة عن إضافة انقلاب إلى المجموعة T، يلاحظ عادة وجود الرقم 3 في المجموعات المكعبية في حالة التصنيف الدولي؛ والسبب هو وجود محور ثالثي الطية في جميع المجموعات المكعبية.

#### ٤- بعض نماذج التركيب البلوري المهمة

##### ٤-١ تركيب الألماس Diamond Structure

ت تكون الشبيكة البلورية للألماس من شبكتي برائمه مكعيتين متمركزتين في واجه F.C.C. ومتداخلتين بحيث تكون كل منهما مزاحة في اتجاه قطر الخلية المكعبية بقدر ربع طول القطر. ويمكن اعتبارها شبكة مكعبية متمركزة الأوجه ولها قاعدتان؛ إحداهما عند نقطة الأصل، والأخرى عند  $(\frac{a}{4}, \frac{a}{4}, \frac{a}{4})$ . ورقم التناسق (أى عدد أقرب الجيران من ذرة ما) هو أربعة.

يوضح الجدول ٤-٥ بعض العناصر التي لها هذا النوع من التركيب البلوري.

جدول (٤-٥)

العناصر التي لها نفس التركيب  
البلوري للألماس

طول ضلع المكعب Cube side a (Å)	Element	العنصر
3.57	C (diamond)	الألماس
5.43	Si	السيликون
5.66	Ge	الجرمانيوم
6.49	$\alpha$ - Sn (grey)	القصدير (رمادي)

## ٤-٢ التركيب السادس محكم التعبئة (متلاصق الرص) HCP

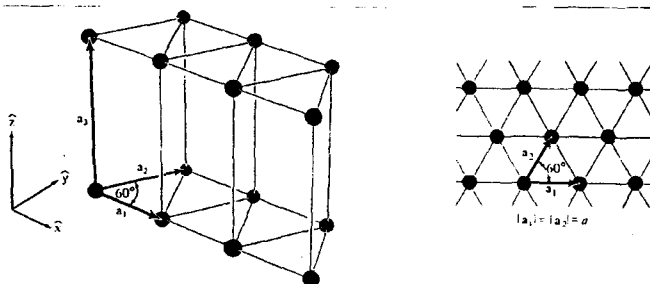
يرقى هذا التركيب إلى مستوى شبكات المكعب متتركز الجسم أو المكعب متتركز الأوجه من حيث الأهمية على الرغم من أنه ليس من شبكات برافقية. ويوضح الجدول (٦-١) نحو ثلاثين عنصرًا لها هذا التركيب البلوري، الذي أساسه شبكة سداسية بسيطة من شبكات برافقية؛ وتكون من رص شبكتين مثلثتين ذواتي بعدين الشكل (٨-١) ويكون اتجاه الرص  $\hat{z}$  هو ما يعرف بالمحور C، أما المتجهات البدائية فهي :

$$\vec{a}_1 = a\hat{x} \quad , \quad \vec{a}_2 = \frac{a}{2}\hat{x} + \frac{\sqrt{3}}{2}a\hat{y} \quad , \quad \vec{a}_3 = c\hat{z}$$

جدول (٦-١)

العناصر التي لها تركيب سداسي محكم التعبئة أو متلاصق الرص

العنصر Element	$a$ (Å)	$c$	$c/a$	العنصر Element	$a$ (Å)	$c$	$c/a$
Be	2.29	3.58	1.56	Os	2.74	4.32	1.58
Cd	2.89	5.62	1.89	Pr	3.67	5.92	1.61
Ce	3.65	5.96	1.63	Re	2.76	4.46	1.62
$\alpha$ -Co	2.51	4.07	1.62	Ru	2.70	4.28	1.59
Dy	3.59	5.65	1.57	Sc	3.31	5.27	1.59
Er	3.56	5.59	1.57	Tb	3.60	5.69	1.58
Gd	3.64	5.78	1.59	Ti	2.95	4.69	1.59
He (2K)	3.57	5.83	1.63	Tl	3.46	5.53	1.60
Hf	3.20	5.06	1.58	Tm	3.54	5.55	1.57
Ho	3.58	5.62	1.57	Y	3.65	5.73	1.57
La	3.75	6.07	1.62	Zn	2.66	4.95	1.86
Lu	3.50	5.55	1.59	Zr	3.23	5.15	1.59
Mg	3.21	5.21	1.62	«ideal»		1.63	
Nd	3.66	5.90	1.61				



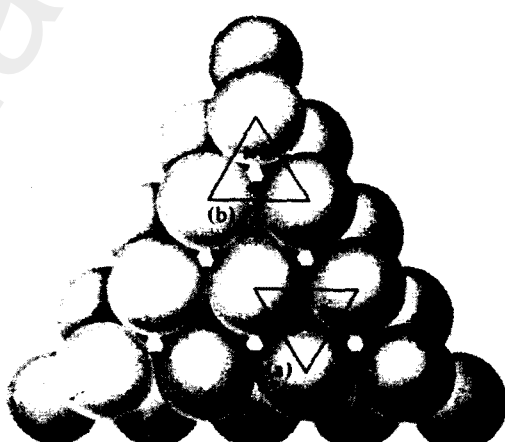
شكل (٨-١)

شبكة براغيه السادسية البسيطة والتي جانبها شبكتان مثلثتان في بعدين  
وقد رصتا إحداها فوق الآخر بحيث تفصلهما مسافة  $\frac{a}{3}$

وينشئ المتجهان الأولان شبكة مثلثة في المستوى  $x-y$ ، أما المتجه الثالث فيقوم برص المستويات بحيث يبعد كل منها عن الآخر مسافة مقدارها  $c$ . ويعكس تعبير «محكم التعبئة» أو «متلاصق الرص» حقيقة أنه يمكن ترتيب عدد من الكرات المصنمة على هذا المنوال. ولو أتنا اعتبرنا عملية رص كرات معدنية (الشكل ٩-١) بحيث كانت أول طبقة على هيئة شبكة مثلثية متلاصقة الرص، وتكونت الطبقة

شكل (٩-١)

رص كرات معدنية بحيث تكون الطبقة الأولى شبكة مثلثية مستوية. أما الكرات في الطبقة الثانية فتوضع فوق الفراغات الموجودة في الطبقة الأولى. أما إذا وضعت كرات الطبقة الثالثة فوق كرات الطبقة الأولى مباشرة (الموقع (a)) وكرات الطبقة الرابعة فوق كرات الطبقة الثانية لنتج تركيب سداسي محكم التعبئة. أما إذا وضعت كرات الطبقة الثالثة فوق الفجوات (الفراغات) الموجودة في الطبقة الأولى والتي لم يتم تغطيتها بكرات الطبقة الثانية (الموقع (b)) فإن التركيب الناتج يكون مكعبياً متراكزاً للأوجه.

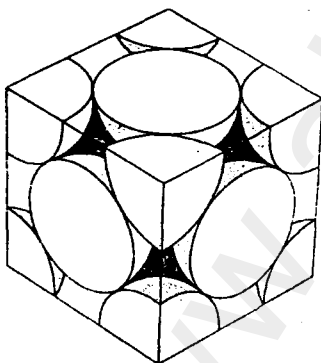


الثانية بوضع الكرات في الفراغ المتكون عند مركز المثلث الآخر في الطبقة الأولى، لتكون طبقة ثانية مثلثية ولكنها قد أزيحت بالنسبة للأولى. تكون الطبقة الثالثة بوضع الكرات في المنخفضات (الفراغات) التبادلية في الطبقة الثانية، بحيث تقع فوق كرات الطبقة الأولى مباشرة. ثم تقع كرات الطبقة الرابعة فوق كرات الطبقة الثانية. وهكذا تكون شبكة سداسية ذات رص متلاصق، وتكون قيمة المسافة  $c$  :

$$c = \sqrt{\frac{8}{3}} a = 1.63299 a$$

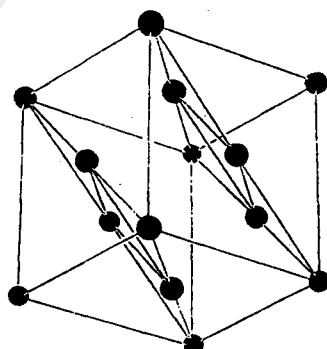
ويطلق على النسبة  $\frac{c}{a} = \sqrt{\frac{8}{3}}$  أحياناً اسم «القيمة الموجبة»، كما يطلق على التركيب الذي تميز هذه النسبة التركيب السداسي ذات الرص المتلاصق الموججي.

ومن الملاحظ أنه إذا تم رص الطبقتين الأولى والثانية كما سبق، أما كرات الطبقة الثالثة فتوضع في مجموعة المنخفضات الأخرى في الطبقة الثانية، كما توضع كرات الطبقة الرابعة في منخفضات الطبقة الثالثة بحيث تقع فوق كرات الطبقة الأولى مباشرة، وتقع كرات الطبقة الخامسة فوق الثانية وهكذا، فإن الناتج هو شبكة برائيه المكعبية متمرکزة الأوجه، ويكون فيها قطر المكعب متعمداً مع المستويات المثلثية (الشكل ١٠-١ ، ١١-١).



شكل (١١-١)

قطع مكعب لبعض كرات ذات الرص المتلاصق في بلورة مكعبية متمرکزة الأوجه



شكل (١٠-١)

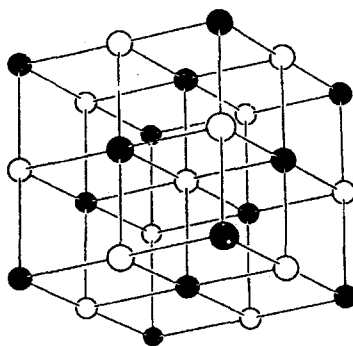
كيفية اخذ قطع في شبكة برائيه لكي تظهر الطبقات المبينة في الشكل (٩-١)

والخلاصة فإن الرص (ABC ... ABC) ينتج شبكة FCC أما الرص (AB .. AB) فينتج شبكة سداسية وهما أكثر شبكات الرص المتلاصق شيوعا.

### ٣-٤ تركيب بلورة كلوريد الصوديوم NaCl

ت تكون بلورة كلوريد الصوديوم (الشكل ١٢-١) من أعداد متساوية من أيونات الكلور وأيونات الصوديوم. وت ت خذ هذه الأيونات موقع متبادل في شبكة

مكعبية بسيطة بحيث يكون لكل أيون ستة جيران من النوع المخالف. ويمكن وصف هذا التركيب بأنه شبكة براغييه المكعبية متمركزة الأوجه. وت تكون القاعدة (الأساس) مكونة من أيون صوديوم عند النقطة 0 وأيون كلور عند مركز الخلية المكعبية أي عند  $\frac{a}{2}(\hat{x} + \hat{y} + \hat{z})$ .



شكل (١٢-١)

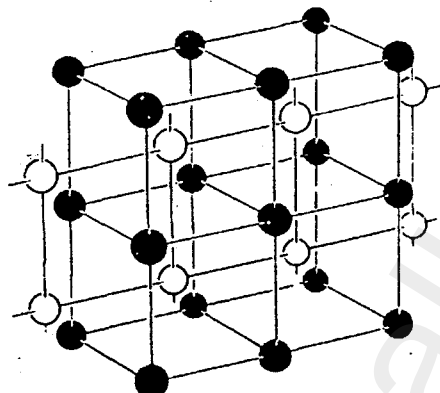
تركيب بلورة كلوريد الصوديوم  
الكرات السوداء تمثل أحد الأيونين والبيضاء تمثل الآخر. وكلما يكونان شبكتين FCC متداخلتين

جدول (٧-١)  
بعض المركبات التي لها نفس تركيب بلورة كلوريد الصوديوم

البلورة Crystal	$a$ (Å)	البلورة Crystal	$a$ (Å)	البلورة Crystal	$a$ (Å)
LiF	4.20	RbF	5.64	CaS	5.69
LiCl	5.13	RbCl	6.58	CaSe	5.91
LiBr	5.50	RbBr	6.85	CaTe	6.34
LiI	6.00	RbI	7.34	SrO	5.16
NaF	4.62	CsF	6.01	SrS	6.02
NaCl	5.64	AgF	4.92	SrSe	6.23
NaBr	5.97	AgCl	5.55	SrTe	6.47
NaI	6.47	AgBr	5.77	BaO	5.52
KF	5.35	MgO	4.21	BaS	6.39
KCl	6.29	MgS	5.20	BaSe	6.60
KBr	6.60	MgSe	5.45	BaTe	6.99
KI	7.07	CaO	4.81		

## ٤-٤ تركيب بلورة كلوريد السبيزيوم CsCl

ت تكون بلورة كلوريد السبيزيوم هي الأخرى من أعداد متساوية من أيونات السبيزيوم وأيونات الكلور. و تتخذ مواقعها عند نقاط شبيكة مكعبية متمركزة الجسم بحيث يكون لكل أيون ثمانية جيران من النوع المخالف. ويكون التماثل الانتقالى لهذا التركيب هو تماثل شبيكة برافيه المكعبية البسيطة؛ ذات قاعدة مكونة من أيون سبيزيوم عند نقطة الأصل 0 وأيون كلور عند مركز المكعب  $\frac{a}{2}(\hat{x} + \hat{y} + \hat{z})$  (الشكل ١٣-١)، كما يبين الجدول (٨-١) بعض المركبات التي لها نفس تركيب كلوريد السبيزيوم.



شكل (١٣-١)

**التركيب البلوري لكلوريد السبيزيوم :** الكرات السوداء تمثل أحد الأيونين والبيضاء تمثل الآخر وكلتاهما تكونان شبكتين مكعبتين بسيطتين متداخلتين

**جدول (٨-١)**  
بعض المركبات التي لها نفس التركيب البلوري  
لكلوريد السبيزيوم

البلورة Crystal	a (Å)	البلورة Crystal	a (Å)
CsCl	4.12	TiCl	3.83
CsBr	4.29	TiBr	3.97
CsI	4.57	TlI	4.20

## ٤-٥ تركيب بلورة كبريتيد الزنك ZnS

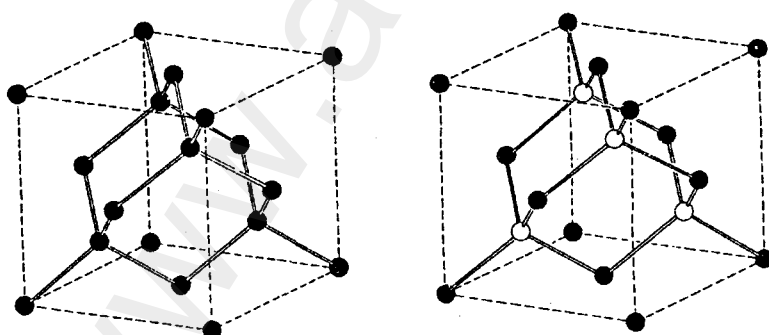
تتكون بلورة كبريتيد الزنك من أيونات الزنك والكبريت وتركيبها البلوري شبيه بالتركيب البلوري للألماس حيث تتحل ذرات الزنك إحدى الشييكتين متمركزة في الأوجه وتتحل ذرات الكبريت الشييكثة الثانية (انظر الشكل ١٤-١). والخلية التقليدية عبارة عن مكعب، وإحداثيات ذرات الزنك فيه هي:

$$0 \ 0 \ 0, \ 0 \ \frac{1}{2} \ \frac{1}{2}, \ \frac{1}{2} \ 0 \ \frac{1}{2}, \ \frac{1}{2} \ \frac{1}{2} \ 0$$

أما إحداثيات ذرات الكبريت فهي:

$$\left( \frac{3}{4} \ \frac{3}{4} \ \frac{1}{4}, \ \frac{1}{4} \ \frac{1}{4} \ \frac{1}{4}, \ \frac{1}{4} \ \frac{3}{4} \ \frac{3}{4}, \ \frac{3}{4} \ \frac{1}{4} \ \frac{3}{4} \right)$$

أما الشييكثة الفراغية فهي مكعبية متمركزة في الأوجه، وتحتوي الخلية الأساسية التقليدية على أربعة جزيئات حيث يحيط بكل ذرة - وعلى مسافات متساوية - أربع ذرات من النوع المخالف، وتتحذ هذه الذرات موقع لها عند أركان رباعي الأوجه المنتظم.



شكل (١٤-١)

التركيب البلوري لكبريتيد الزنك وإلى اليسار التركيب البلوري للألماس حيث يدو الترتيب رباعي الأوجه للروابط

وفيما يلى بعض الأمثلة على مواد لها نفس التركيب البلوري (الجدول ١-٩):

**جدول (٩-١)**  
بعض المواد التي لها نفس التركيب البلوري  
لكبريتيد الزنك

البلورة Crystal	$a$ (Å)	البلورة Crystal	$a$ (Å)
CuF	4.26	CdS	5.82
CuCl	5.41	InAs	6.04
AgI	6.47	InSb	6.46
ZnS	5.41	SiC	4.35
ZnSe	5.65	AIP	5.42

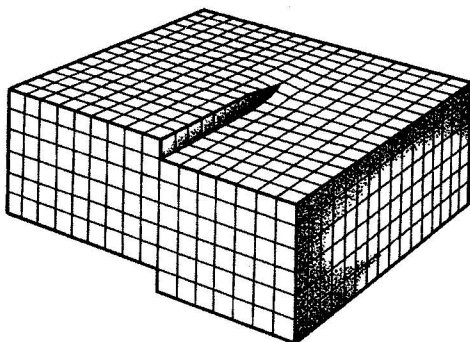
وتجدر بالذكر أن هناك صورة بلورية أخرى لتركيب الألماس وكبريتيد الزنك، حيث يكون التركيب البلوري سداسيًا، وإن كانت هناك علاقات هندسية بينه وبين التركيب المكعبى.

## ٥-١ إنماء البلورات

على الرغم من وجود عدد كبير من بلورات المواد الكيميائية والعناصر بشكل طبيعى وعلى صورة بلورات أحادية أو عديدة التبلور، إلا أن الحاجة إلى بلورات ذات مواصفات خاصة قد دعت إلى ظهور علم وتقنية إغاء بلورات داخل المعامل. وتتعدد طرق الحصول على البلورات وذلك بإياعتها من الطور الغازى (أو البخارى) مباشرة، وإما من محاليل ذات تركيز مرتفع وإما من مصهور المواد.

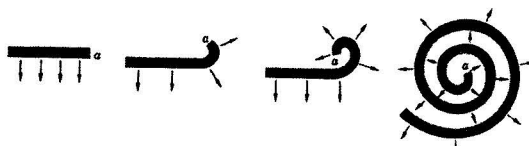
ويساعد على نمو البلورات وجود ما يسمى بالانخلاءات Dislocations حيث يؤدى وجود انخلاءات لولبية إلى جعل نمو البلورة تلقائيا (الشكل ١٥-١) بأسلوب حلزونى. ويلاحظ أن الذرة تلتتصق بقوة أكبر إذا كان هناك تتواء هيئته درجة سلم عما إذا التصقت بسطح مستو. ومن هنا لنا أن نتوقع أن كل البلورات

النامية في الطبيعة تقريبا لا بد وأن تحتوى على انتخالات، وإنما ممكنا لها أن تنمو.

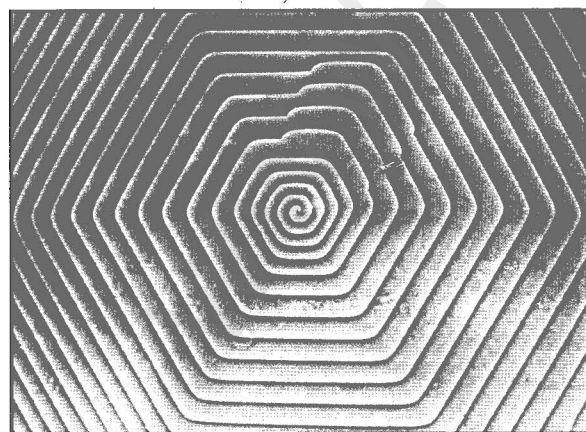


شكل (١٥-١)

كيفية تكون خطوة حلزونية عندما يتقطع انتخال لولبي مع سطح البلورة.  
ويتمثل كل مكعب في الشكل أحد الجزيئات



وقد وجد أن هناك أنماطا من النمو الحلزوني للبلورات في العديد من الحالات. ومن الأمثلة الواضحة على أنماط النمو التي تبدأ من انتخال لولبي وحيد ما يصوّره الشكل (١٦-١).



شكل (١٦-١)

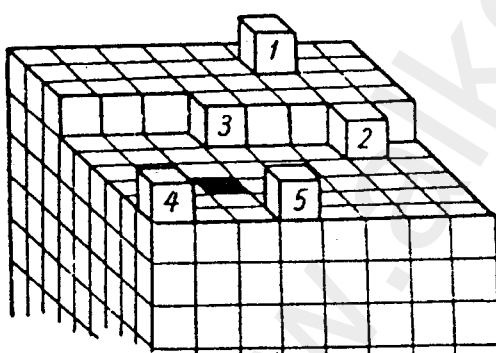
نمو حلزوني سداسي على بلورة  
كبريتيد السليكون  $\text{SiC}$

## ١-٥ إثاء البلورات من الحاليل

عندما تذاب مادة صلبة في سائل ما فإن وجود هذا السائل يؤثر في القوى التي تربط بين ذرات وجزئيات المادة المذابة، وهي قوى كهروستاتيكية في الأساس. وعندما يصل تركيز المادة المذابة إلى ما فوق التشبع، يصبح من الممكن تولد بذور (أو أجنة) لبلورة عن طريق تبريد محلول بصورة تدريجية منتظمة. ثم تأخذ البلورة في النمو حول تلك البذرة. وقد وجد أن البلورات تكون في حالة اتزان تقريباً مع محلول أو المصهور أو البخار عندما تكون هذه الأطوار عند درجة تشبع أقل. وإذا كانت العناصر الداخلة في تركيب الشبكة البلورية مختلفة القطبية، فإن قوى الترابط تكون هي قوى كولوم. أما القوى المؤثرة بين العناصر ذات القطبية المشابهة فهي قوى «فان در فالس» وهي أضعف بكثير من القوى التساهمية.

وتبدأ عملية النمو ذاتها أثناء التغيرات الإحصائية بالقرب من سطح البلورة مباشرة حيث توجد هناك بذرة ذات بعدين تأخذ في النمو لتكون طبقة سطحية جديدة ذات أبعاد «حرجة». أما إذا كانت أبعاد الأجنة (البذور) غير المتزنة أقل من

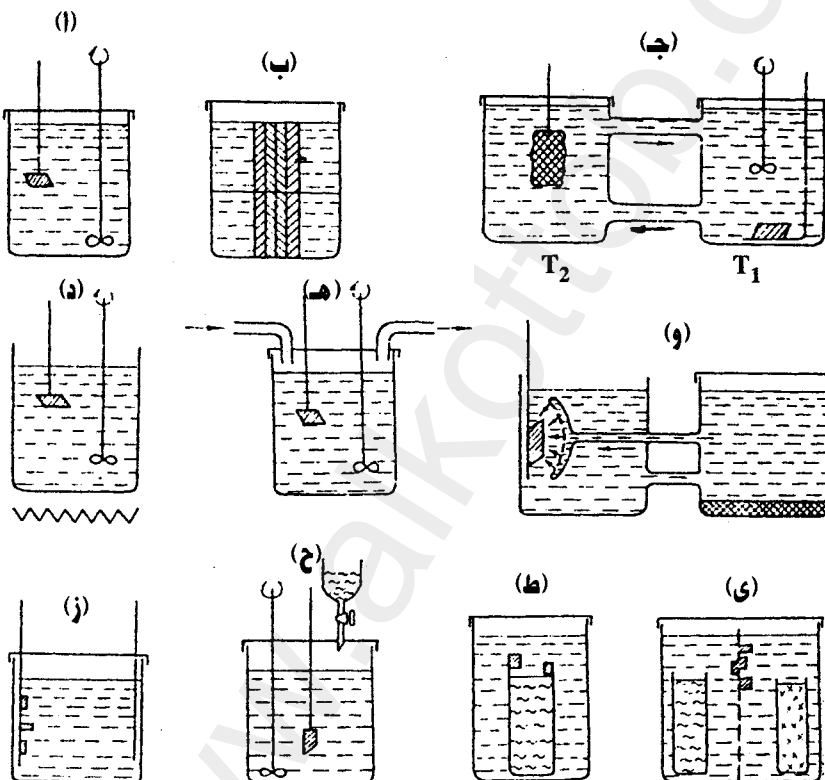
ذلك، فإنها سوف تختفي أي تذوب في محلول من جديد. وتنشأ بذلك موقع للنمو عند حواف الجنيين. وهذه المواقع قادرة على تجميع الجسيمات بفضل ظاهرة الانتشار - وتنمية شبكة سطحية من تلك الجسيمات (الشكل ١٧-١) وعندما تكتمل الشبكة السطحية في بلورة مختلفة القطبية فإن شبكة سطحية جديدة من الأجنة تبدأ في التكون ويستمر النمو. وتكون إضافة العناصر من حيث أقلها طلبًا للطاقة على التحو التالي:



شكل (١٧-١)

- نموذج مبسط لبلورة وموقع عناصرها
- ١- موقع على السطح
  - ٢- داخل السطح
  - ٣- عند ركن على السطح
  - ٤- عند أحد الأطراف
  - ٥- على إحدى الحواف

- أ- أن تتم الإضافة عند متصف سطح الشبكة السطحية.
- ب- أن تتم الإضافة عند حافة شبكة سطحية.
- ج- أن تتم الإضافة عند حافة شبكة ذات إحداثيات (١٠٠).
- د- أن تتم الإضافة عند نتوء يمثل بداية سلسلة جديدة.
- هـ- أن تتم الإضافة عند أحد أركان شبكة مستوى مكتمل ... وهكذا.



شكل (١٨-١)  
عرض لطرق إنماء البلورات من المحاليل

أما في حالة البلورات متشابهة القطبية فإن تتابع عملية النمو يجري على النحو التالي:

- أ- أن تتم الإضافة عند نهاية السلسلة.
- ب- ثم عند حافة الشبكة.
- ج- ثم عند ركن الشبكة المستوية المكتملة.
- د - ثم متتصف سطح الشبكة المستوية.
- هـ- ثم عند بداية سلسلة. وهكذا.

وي بيان الرسم الموضح في الشكل (١٨-١) عدة طرق معملية لإئماء البلورات من المحاليل حيث يشير الشكل (أ) إلى طريقة الحصول على محلول فوق مشبع بواسطة الحفض المنتظم لدرجة الحرارة. أما الشكل (ب) فيوضح كيفية خفض درجة الحرارة استخدام ألواح هي بمثابة بنور النمو الذي يتم في قمرات صغيرة. وقد يتم إنشاء فرق في درجات الحرارة بين وعاء محلول  $T_2$  ووعاء الإنماء  $T_1$  حيث:  $T_1 > T_2$  (الشكل ج)، وقد يتم الإنماء عن طريق البحر البطيء للمذيب (الشكل د)، وقد يستخدم غاز ساخن للمساعدة على البحر (الشكل ه).

أما في الشكل (و) فيتم إمداد البلورة التواة بمحلول مركز مع حفظ تركيز ودرجة حرارة محلول في المستودع ثابتين. يتم في الشكل (ز) ترسيب بلورات فلز ما عن طريق التحليل الكهربائي. إذا كانت المادة الصلبة صعبة الذوبان، فإنه يتم عمل محلول ذي درجة طفيفة من فوق التشبع؛ وذلك بإضافة المكون الفعال قطرة قطرة (الحالة ح). وتصور الحالة (ط) انتشار أحد محلولين في الآخر، وأخيراً يتم الإنماء عن طريق انتشار أحد محلولين في الآخر من خلال محلول محايد مع إمكان استخدام غشاء فاصل (الحالة ي).

## ٢-٥ إئماء البلورات من المصهور

تتلخص طرق إئماء البلورات من مصهور المواد الصلبة في ما يلى:

- ١ - تبريد المصهور وذلك بخفض درجة حرارة فرن الصهر بشكل تدريجي منتظم.
  - ٢ - غمس البذرة (النواة) الباردة داخل المصهور.
  - ٣ - تبريد قاع بوتقة الصهر فيبدأ الإناء من أسفل لأعلى وقد تعدل هذه الطريقة بوضع بذرة بلورية داخل البوتقة.
  - ٤ - إدخال المادة الصلبة المحتوامة داخل أنبوبة زجاجية مقفلة في حيز به ميل حراري (انظر طريقة برييدچمان).
  - ٥ - سحب البلورة المكونة على البذرة أو النواة الباردة ببطء (انظر طريقة تشوكرالسكي).
- ونقدم فيما يأتي وصفاً لأشهر طريقتين لإماء البلورات من المصهور.

### ٣-٥-١ طريقة برييدچمان

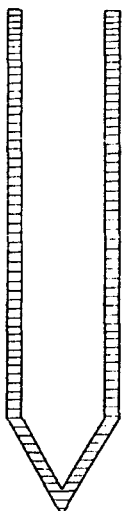
لعل من أبسط طرق إماء البلورات من المصهور، تلك التي تتلخص في تسخين المادة إلى درجة حرارة فوق درجة انصهارها؛ ثم ترك المصهور ليبرد، ثم حصر عملية تكون نواة الإناء في موقع محدد حيث تنطلق حبيبة واحدة من خلف السطح البيني للسائل والصلب. وعندما يتم مسح السطح البيني بأكمله فإن بلورة أحادية تظهر إلى حيز الوجود وهذا هو أساس طريقة برييدچمان وإن كان هناك أسلوبان لتنفيذها، وهما:

### ٤-٥-١ النمو الرأسي

ويتم فيه إماء البلورة إما بخفض البوتقة المحتوية على المادة المنصهرة أو بتحريك المصدر الحراري (الفرن)، أو بالانخفاض المستمر لدرجة حرارة الفرن حتى تأخذ المادة المنصهرة في التجمد بدءاً من الطرف السفلي للبوتقة.

وتتيح طريقة برييدچمان الحصول على بلورات ذات أحجام مختلفة، بداية من سيقان رفيعة إلى قضبان يصل قطرها إلى عدة سنتيمترات.

ويوضح الشكل (١٩-١) بوتقة برييدچمان وهي أنبوبة ذات مقطع مستعرض دائري ولها طرف مدبب مغلق ليساعد على تكون نواة النمو. كما يمكن تطبيق



شكل (١٩-١)

**بوتقة بريديجمان ذات الطرف المدبب**

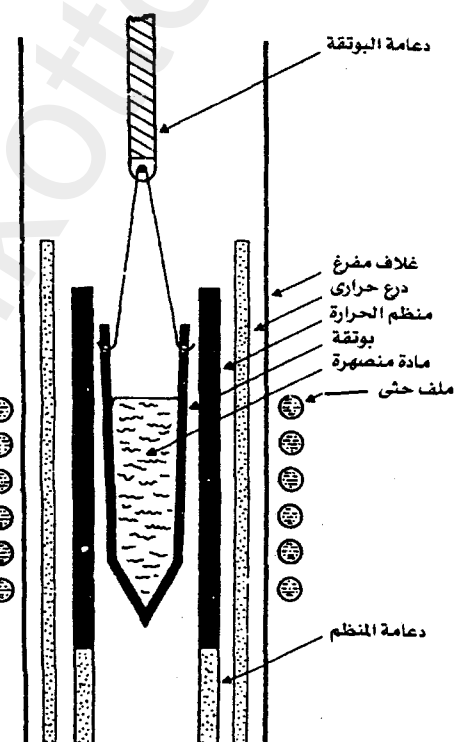
أسلوب بريديجمان لإغاء بلورات لها شكل غير أسطواني؛ حيث أمكن الحصول على بلورات ذات مقطع مربع وبلورات كروية وغيرها.

ويعتمد الأسلوب السائد على حركة البوتقة أو الفرن بدلاً من برمجة التحكم في درجات الحرارة. وهناك أيضاً التسخين باستخدام ملف حتى بدلاً من الفرن التقليدي، بحيث يمكن تحريك البوتقة داخل الملف بدلاً من رفع الملف نفسه والذي يسرى فيه تيار كهربائي مرتفع التردد (انظر الشكل ٢٠-١).

### النمو الأفقي

من البدائل المتبعة في تقنية إغاء البلورات بطريقة بريديجمان الأساسية أن يتم وضع البوتقة والمصدر الحراري بحيث يكونان في مستوى أفقي وعندئذ يصبح متاحاً إما تحريك البوتقة أو تحريك المصدر الحراري أو برمجة مصدر الطاقة الكهربائية لتوفير الميل الحراري المطلوب.

وكما هو الحال في النمو الرأسى فإن من المعتمد تحريك الفرن إذا كان التسخين يتم بطريقـة المقاومة الكهربائية، وتحريك البوتقة أو القارب عند استعمال التسخين الحشـى.

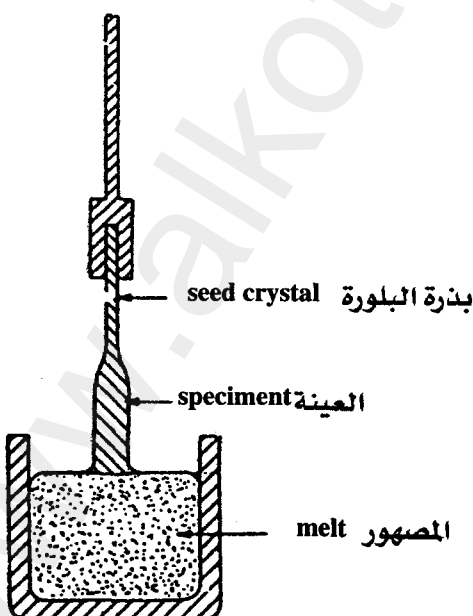


شكل (٢٠-١)  
جهاز بريديجمان ذو التسخين الحشـى

وتنجح هذه الطريقة في إثقاء بلورات المواد ذات درجات الانصهار المنخفضة. ويفتقر تركيب البلورات النامية بواسطة الطريقة الأفقية إلى الجودة العالية حيث يزيد السطح الكبير المكشوف من فرصة التلوث من الجو المحيط بالمصدر و كذلك يزيد من فرص تبخر مادة المصدر.

### ٥-٥ طريقة تشوخر السكي Czochralsky Method

تنقق هذه الطريقة مع طريقة بريدجمان في أن المادة تصهر في البداية وبلا من إنزال المصهور من خلال السطح البيني سائل/صلب فإن المادة المصهرة يتم سحبها رأسيا إلى أعلى من خلال ذلك السطح البيني؛ ولذلك يطلق على هذه الطريقة أحيانا مصطلح سحب البلورة. ويصور (الشكل ٢١-١) هذه التقنية حيث يتم إنزال بذرة النمو رأسيا لتلقي المادة المصهرة داخل البوفة إلى أن ينصلب الجزء السفلي من البذرة، وعند التأكد من حدوث التلامس بين البذرة والمصهور فإن البذرة ترفع ببطء إلى أعلى ليبدأ تكون البلورة.



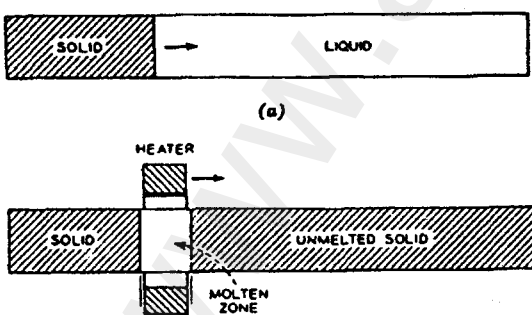
شكل (٢١-١)

تقنية تشوخر السكي، لإنماء البلورات بطريقة سحبها من المصهور

وتتميز هذه الطريقة بأن السطح البيني لا يلامس البوتفقة، وعلى الرغم من أن الأخيرة تحتوى على المادة المتصهرة، إلا أنها لا تستخدم كقالب، كما أن البلورة النامية تكون على درجة عالية من الجودة. وقد أمكن إلغاء بلورات خالية تقربياً من العيوب البلورية الشائعة عند اتباع هذا الأسلوب. ومن بين تلك البلورات النحاس والألومنيوم والجرمانيوم والسليلكون. ويتوقف قطر البلورة النامية على درجة حرارة المصهور ومعدل سحب البلورة، حيث يقل قطر البلورة عندما يرتفع معدل سحبها من المصهور. كما يقل إذا ارتفعت درجة حرارة المصهور وقد يصاحب عملية السحب دوران كامل للبذرة مما يساعد على تقليل المصهور مما يضمن التجانس المستمر.

#### ٦-٥-١ الإنماء من المصهور دون استخدام وعاء

تستند هذه التقنية على الأسلوب المتبع في تنقية البلورات المعروفة بالتنقية النطاقي أو التكرير النطاقي Zone Refining ويعتمد هذا الأسلوب على التباين في ذوبانية المادة المذابة في الطورين الصلب والسائل للمذيب بحيث تؤدي في النهاية إلى عملية التنقية. ويتم في هذه العملية صهر جزء من المادة في منطقة محددة ثم تحريك المنطقة السائلة عبر قصبة من المادة المراد تنقيتها وتنطوي هذه الطريقة على وجود سطحين بينيين (شكل ١-٢٢).



شكل (٢٢-١)  
تقنية التنقية (التكرير) النطاقي

وقد أمكن تطبيق هذا الأسلوب لإلغاء بلورات ندية وخاصة للفلزات التي لها درجات انصهار مرتفعة وكذلك بعض السبائك.

## أسئلة ومسائل على الفصل الأول

- ١- تبلور مادة كلوريد الصوديوم في النظام المكعبي حيث تحتل أيونات الكلور وأيونات الصوديوم مواقع تبادلية متابعة . إذا كان الوزن الجزيئي لكلوريد الصوديوم هو 58.5 فما هي المسافة بين أقرب أيونين متجاورين ؟ اعتبر كثافة المادة هي  $2180 \text{ kg/m}^3$ .
  - ٢- احسب نصف قطر ذرة الحديد  $\alpha\text{-Fe}$  التي تبلور في النظام bcc (مكعبي متمركز الجسم) . كثافة الحديد هي  $7860 \text{ kg/m}^3$  والوزن الذري للحديد 55.85.
  - ٣- النظام البلوري للرصاص هو fcc (مكعبي متمركز الأوجه) ونصف قطر ذرة الرصاص هو  $0.175 \text{ nm}$  . فما هو حجم الخلية الأولية وطول قطر الوجه وقطر الجسم لهذه الخلية ؟
  - ٤- إذا كانت الخلية الأولية للألومنيوم من النوع (fcc) وثابت الشبكة لها  $a=0.405 \text{ nm}$  ، فكم عدد الخلايا الأولية الموجودة في إحدى رقائق الألومنيوم التي س מקها  $0.005 \text{ cm}$  وهي على شكل مربع طول ضلعه  $25\text{cm}$  .
  - ٥- يبلغ ثابت الشبكة في الخلية الأولية للحديد ( $\alpha\text{-Fe}$ )  $0.287 \text{ nm}$  أوجد عدد الذرات في النانومتر المربع في المستويات (100)، (110)، (111) علمًا بأن  $\alpha\text{-Fe}$  ذو تركيب مكعبي متمركز الجسم .
- \* \* \* \*

# الخواص الفيزيائية للبلورات

## مقدمة

ترتبط الخواص الفيزيائية للبلورات -في المقام الأول- بطبيعة العناصر الكيميائية الداخلة في تركيب تلك البلورات وبالموقع التي تشغله تلك العناصر بالنسبة لبعضها البعض. ويُخضع تجلّى خاصية فيزيائية ما في بلورة للروابط بين وحداتها ويعدى كمال التركيب البلوري.

وإذا استثنينا الوزن النوعي، أو الكثافة، وهو خاصية لا تعتمد على اتجاه القياس، فإن باقي الخواص الأكثر أهمية ذات طابع اتجاهي. فالموصولة الكهربائية -مثلاً- تمثل النسبة بين كميتين يمكن قياسهما وهما شدة المجال الكهربائي وكثافة التيار الكهربائي، وتتميز كلتاهمما بالاتجاه ومقدار محددين؛ ولذا تكون الموصولة الكهربائية من الخواص التي تعتمد بالضرورة على اتجاه القياس وعندئذ توصف البلورات بأنها لا أيزوتropicية بالنسبة لهذه الخاصية . anisotropic

وإذا كانت الخواص القياسية، كالكثافة، يمكن أن توصف برقم واحد scalar لا يتغير بتغيير الاتجاهات فإن بعض الخواص لا بد وأن توصف بكمية متوجهة vector ذات ثلاث

مركبات، كما أن البعض الآخر يوصف بكميات متعددة Tensors ذات مركبات عديدة. ويذكرنا تقسيم تلك الخواص إلى المجموعات التالية.

١- الخواص الميكانيكية (الصلابة والمرنة وخاصية الانفلاق في مستويات معينة وغيرها).

٢- الخواص الحرارية (التوصيل الحراري والتتمدد الحراري).

٣- الخواص البصرية.

٤- الخواص الكهربائية.

٥- الخواص المغناطيسية.

وذلك إلى جانب خواص أخرى عديدة يصعب حصرها.

وتستخدم البلورات ذات الخواص الفيزيائية المحددة في مجالات تكنولوجية متعددة. فهناك، مثلاً، الألماس الذي يتمتع بصلابة عالية والكورنديم (أكسيد الألومنيوم) والمواد الفريتية كالشيبيل، والجارنت، والكاربوريورنديم (كبريتيد السليكون) وغيرها من المواد المتوفرة في الطبيعة أو المصنعة في المعامل وتستخدم كمواد منعمة للأسطح. هناك أيضاً الجرافيت، وله صلابة منخفضة؛ ولذا يستعمل في صناعة أقلام الرصاص وكمادة تشحيم وفي صناعة الأقطاب الكهربائية. هناك أيضاً مادة الميكا الشفافة والكورارتز بما له من خواص كهربائية وبصرية فريدة، ومادة التورمالين المستخدمة في بعض التطبيقات الإلكترونية، أما السليكون والجرمانيوم فهما أساسيان في تقنية أشباه الموصلات. وهناك البلورات ذات الخواص البصرية غير الخطية المستخدمة في تطبيقات الليزر وغيرها.

## ١-٢ بعض الأساسية الرياضية

لا بد في البداية من التعرف على بعض الكميات الرياضية التي تستعمل لوصف الخواص الفيزيائية للبلورات وهي:

### ١- الكميات القياسية Scalars

وهي كميات يكفى لتعيينها معرفة مقدارها دون الحاجة لمعرفة اتجاهها. ومن أمثلتها كثافة جسم ما ودرجة حرارته. وطبقاً لما سترعرض له لاحقاً فإن الكمية القياسية قد تسمى -من منظور عام- كمية متعددة (أو متند) من الدرجة الصفرية.

## بـ-المتجهات Vectors

وهي الكميات التي تحتاج في تعريفها إلى وجود مقدار واتجاه. ومن أمثلتها الشائعة القوة وهي تمثل بيانياً بسهم ذي طول محدد ويشير رأس السهم إلى الاتجاه المطلوب.

ومن الأمثلة أيضاً. شدة المجال الكهربائي في نقطة ما وعزم ثنائي القطب المغناطيسي والميل الحراري في نقطة ما.

ولكل متجه ثلاثة مركبات تتخذ اتجاه محاور الإحداثيات الكارتيزية المتعامدة. وتكتب شدة المجال الكهربائي -مثلاً- كما يلى:

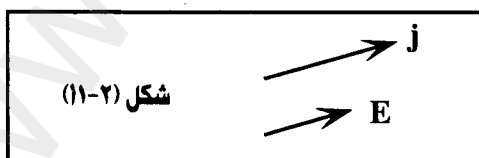
$$\mathbf{E} = [E_1, E_2, E_3]$$

وقد يطلق على المتجه مصطلح كمية ممتدّة (أو متعدّلة) من الرتبة الأولى. ويفترض أن يكون القارئ على إلمام بمبادئ تحليل المتجهات البسيطة.

### جـ-الكميات الممتدّة من الرتبة الثانية

عندما يؤثر مجال كهربائي شدته  $E$  على موصل أيزوتروبي (أى لا تعتمد الخاصية فيه على الاتجاه) يخضع لقانون أموم فإن كثافة التيار  $j$  تكون موازية لشدة المجال، ويكون مقدار  $j$  في تناسب مع مقدار  $E$  أى أن:

$$j = \sigma E \quad \text{حيث } \sigma \text{ هي الموصلية.} \quad (2-1)$$



إذا اخترنا محاور الإحداثيات  $Ox_1, Ox_2, Ox_3$  (وقد تكتب أحياناً  $Ox$ ,  $Oy$ ,  $Oz$ ) فإن:

$$\text{ بحيث: } \mathbf{E} = [E_1, E_2, E_3] \quad \mathbf{j} = [j_1, j_2, j_3] \quad (2-2)$$

$$j_1 = \sigma E_1 \quad , \quad j_2 = \sigma E_2 \quad , \quad j_3 = \sigma E_3$$

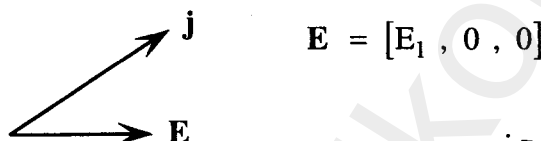
ويختلف الموقف إذا كانت المادة لا أيزتروبية Anisotropic حيث تكتب المعادلة (2-2) على النحو التالي:

$$\left. \begin{array}{l} j_1 = \sigma_{11}E_1 + \sigma_{12}E_2 + \sigma_{13}E_3 \\ j_2 = \sigma_{21}E_1 + \sigma_{22}E_2 + \sigma_{23}E_3 \\ j_3 = \sigma_{31}E_1 + \sigma_{32}E_2 + \sigma_{33}E_3 \end{array} \right\} \quad (2-3)$$

حيث  $\sigma_{11}$  ،  $\sigma_{12}$  ، ... إلخ ثوابت.

وترتبط كل مركبة من مركبات  $j$  خطياً مع مركبات  $E$  الثلاث، ومعنى هذا أن  $j$  لم تعد موازية لشدة المجال الكهربائي  $E$  (الشكل ١-٢ ب).

وأصبح لكل من المعاملات  $\sigma_{11}$  ،  $\sigma_{12}$  ، ... إلخ معنى فيزيائياً. فإذا طبق المجال الكهربائي في اتجاه  $x_1$  الشكل (١-١ ب) أي :



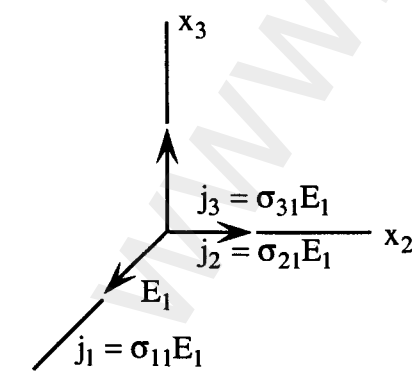
شكل (١-٢ ب)

فإن المعادلات (2-3) تصبح :

$$j_1 = \sigma_{11}E_1$$

$$j_2 = \sigma_{21}E_1$$

$$j_3 = \sigma_{31}E_1$$



شكل (٢-٢)

ومعنى هذا أن هناك مركبات لكثافة التيار لا في اتجاه  $x_1$  فحسب وإنما في اتجاه المحاور الأخرى. تُعطى المركبة المباشرة بالمعامل  $\sigma_{11}$  أما المركبات المستعرضتان فهما  $\sigma_{21}$  ،  $\sigma_{31}$ . والمركبة  $\sigma_{23}$  تعبر -بنفس الطريقة- عن التيار  $j$  الموازي للمحور  $x_2$  ، عند تطبيق مجال مواز للمحور  $x_3$ .

وهكذا يتم التعبير عن موصولة البلورة باستخدام تسعه معاملات  $\sigma_{11}$  ،  $\sigma_{12}$  ، ... و تكتب مجتمعة كالتالى :

$$\begin{vmatrix} \sigma_{11} & \sigma_{12} & \sigma_{13} \\ \sigma_{21} & \sigma_{22} & \sigma_{23} \\ \sigma_{31} & \sigma_{32} & \sigma_{33} \end{vmatrix}$$

ويطلق على هذا التكوين كمية متدة أو متد من الرتبة الثانية . والكميات  $\sigma_{ij}$  هي مركبات الكمية المتدة حيث يشير الحرف الأول (i) إلى الصفة التي تقع فيه المركبة ، ويشير الحرف الثاني (j) إلى العمود . وتعرف المركبات  $\sigma_{11}$  ،  $\sigma_{22}$  ،  $\sigma_{33}$  بعناصر قطر الكمية المتدة .

وهكذا فالكمية المتدة من الرتبة الصفرية (الكمية القياسية) تعرف برقم مجرد ، أما الكمية المتدة من الرتبة الأولى فتتميز بثلاثة أرقام أو مركبات ترتبط كل منها بأحد المحاور ويكون المتد من الرتبة الثانية محتويا على تسعه أرقام أو مركبات يرتبط كل منها بزوج من المحاور . وتكتب الكميات القياسية بدون رقم سفلي مميز هكذا (الكتافة ρ) أما المتجهات فيميزها رمز بجواره رقم سفلي واحد (مثلًا  $E_2$ ) أما مركبات المتد من الرتبة الثانية فتتميز برقمين سفليين بجوار الرمز (مثلًا  $\sigma_{12}$ ) . أى أن عدد الأرقام السفلية يمكن أن يعتبر مؤشرا على رتبة الكمية المتدة وامتدادا لهذا الأسلوب يمكننا تعريف الكميات المتدة من الرتبة الثالثة أو الرابعة أو الأكثر من ذلك .

ويبين الجدول (١-٢) بعض أمثلة الكميات المتدة من الرتبة الثانية التي تربط بين متجهين .

## جدول (١-٢)

المتجه الثالثي (أو المستحدث)	المتجه الذي يمثل المؤثر	الخاصية التي يمثلها الممتد
كثافة التيار الكهربائي	المجال الكهربائي	الموصلية الكهربائية
كثافة التدفق الحراري	الميل الحراري (السالب)	الموصلية الحرارية
الإزاحة العزلية	المجال الكهربائي	السماحية
الاستقطاب	المجال الكهربائي	القابلية العزلية
الحث المغناطيسي	المجال المغناطيسي	النفاذية
شدة المغناطيسة	المجال المغناطيسي	القابلية المغناطيسية

وعلى وجه العموم فإن خاصية ما  $T$  تربط بين متجهين  $[p_1, p_2, p_3]$  و  $[q_1, q_2, q_3]$  يمكن أن تكتب هكذا:

$$\left. \begin{array}{l} p_1 = T_{11}q_1 + T_{12}q_2 + T_{13}q_3 \\ p_2 = T_{21}q_1 + T_{22}q_2 + T_{23}q_3 \\ p_3 = T_{31}q_1 + T_{32}q_2 + T_{33}q_3 \end{array} \right\} \quad (2-4)$$

والمعاملات  $T_{11}, T_{12}, \dots$  هي مكونات الكمية الممتدة من الدرجة الثانية.

$$\left| \begin{array}{ccc} T_{11} & T_{12} & T_{13} \\ T_{21} & T_{22} & T_{23} \\ T_{31} & T_{32} & T_{33} \end{array} \right| \quad (2-5)$$

ويمكن كتابة المعادلة (2-4) بصورة موجزة هكذا :

$$p_i = T_{ij} q_j \quad (2-6)$$

حيث :  $(i, j = 1, 2, 3)$

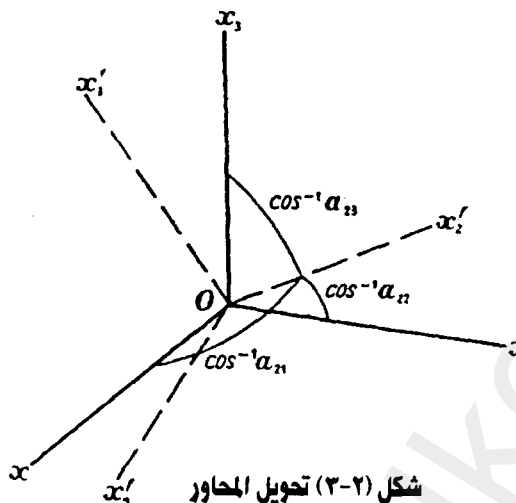
المعادلة (٦-٢) خاصة كما علمنا بالبلورات اللا أيزوتropic، أما في حالة الأجسام الأيزوتropic فإنها تصبح:

$$p_i = T q_i \quad (2-7)$$

ويكون  $T$  مجرد ثابت منفرد.

### ١-١-٢ تحويل المحاور

#### Axes Transformation



شكل (٣-٢) تحويل المحاور

والمقصود من هذا المصطلح التحول من مجموعة من المحاور المتعامدة إلى مجموعة أخرى تشتراك معها في نقطة الأصل وتكون وحدة القياس في اتجاه أي محور هي دائما نفس الوحدة. هب أننا أشرنا إلى المجموعة الأولى بالرموز  $x_1, x_2, x_3$ ، وإلى الثانية بالرموز  $x'_1, x'_2, x'_3$  (الشكل (٣-٢)) فإن العلاقة

بين المجموعتين يمكن أن تكتب بدلالة جيوب تمام زوايا الاتجاهات.

#### الجدول (١-٢)

المحاور القديمة (قبل التحويل)

	$x_1$	$x_2$	$x_3$
$x'_1$	$a_{11}$	$a_{12}$	$a_{13}$
$x'_2$	$a_{21}$	$a_{22}$	$a_{23}$
$x'_3$	$a_{31}$	$a_{32}$	$a_{33}$

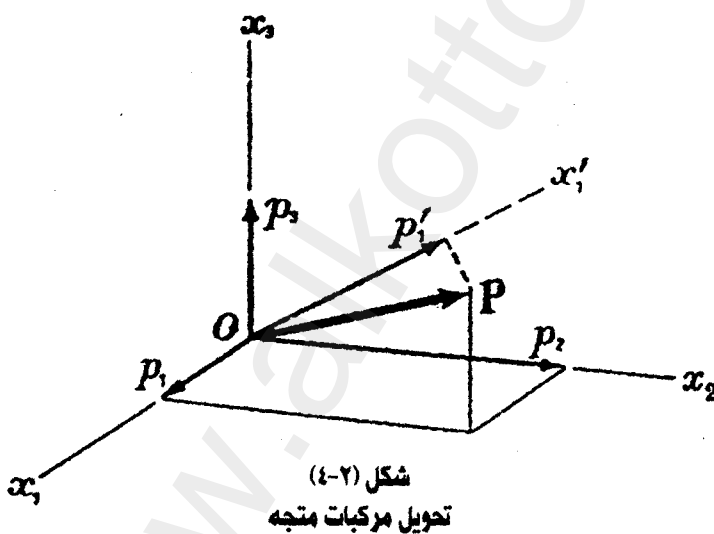
وعلى ذلك تكون جيوب تمام الاتجاهات الخاصة بالمحور  $x'_2$  بالنسبة للمحاور  $x_1, x_2, x_3$  هي:  $a_{21}, a_{22}, a_{23}$  وجيوب تمام الاتجاهات المحور ٣

بالنسبة للمحاور  $x'_1, x'_2, x'_3$  هي:  $a_{13}, a_{23}, a_{33}$ . أي أن الترقيم السفلي الأول يشير إلى المحاور «الجديدة» والثاني إلى «القديمة».

ومن الواضح الآن أن  $a_{jj}$  هي جيب تمام الزاوية المحصورة بين المحاور  $x_j$  والمحاور  $x_j$ . وليست المقادير التسعة مستقلة عن بعضها البعض، وعلى العموم فإن  $a_{jj} \neq a_{jj}$ .

## ٢-١-٢ تحويل مركبات المتجهات

هب أن لدينا متجهاً ما  $\vec{p}$  وأن مركباته في اتجاه المحاور  $x_1, x_2, x_3$  هي  $p_1, p_2, p_3$  (الشكل ٤-٢) وأن مركباته في اتجاه مجموعة أخرى من المحاور  $x'_1, x'_2, x'_3$  هي:  $p'_1, p'_2, p'_3$ .



إن المركبة  $p'_1$  تنتج عن تحليل  $p_1, p_2, p_3$  في اتجاه  $x'_1, x'_2, x'_3$ . أي:

$$p'_1 = p_1 \cos x_1^\wedge x'_1 + p_2 \cos x_2^\wedge x'_1 + p_3 \cos x_3^\wedge x'_1$$

وعلى ذلك يكون:

$$\left. \begin{array}{l} p'_1 = a_{11}p_1 + a_{12}p_2 + a_{13}p_3 \\ p'_2 = a_{21}p_1 + a_{22}p_2 + a_{23}p_3 \\ p'_3 = a_{31}p_1 + a_{32}p_2 + a_{33}p_3 \end{array} \right\} \quad (2-8)$$

أو بشكل مختصر :

$$p'_i = a_{ij} p_j \quad (2-9)$$

أما إذا سرنا بطريقة معكوسه؛ أي التعبير عن المركبات «القديمة» بدالة «الجديدة» فإن :

$$\left. \begin{array}{l} p_1 = a_{11}p'_1 + a_{12}p'_2 + a_{13}p'_3 \\ p_2 = a_{21}p'_1 + a_{22}p'_2 + a_{23}p'_3 \\ p_3 = a_{31}p'_1 + a_{32}p'_2 + a_{33}p'_3 \end{array} \right\} \quad (2-10)$$

أو بشكل مختصر :

$$p_i = a_{ji} p'_j \quad (2-11)$$

### ٣-١-٢ تحويل إحداثيات نقطة ما

تعتبر إحداثيات النقطة  $(x_1, x_2, x_3)$  بالنسبة للمحاور  $Ox_1, Ox_2, Ox_3$  هي مركبات المتجه  $OP$  (في الشكل ٤-٢)؛ ولذلك تكون الإحداثيات  $(x'_1, x'_2, x'_3)$  بالنسبة للمحاور  $Ox'_1, Ox'_2, Ox'_3$  معطاة بالمعادلة:

$$x'_i = a_{ij} x_j \quad \text{وكذلك :}$$

$$x_i = a_{ji} x'_j$$

### ٤-١-٢ تحويل مركبات ممتد من الرتبة الثانية

إذا أردنا تحويل مركبات ممتد من الرتبة الثانية من مجموعة محاور «قديمة»  $(x_1, x_2, x_3)$  إلى مجموعة محاور جديدة  $x'_1, x'_2, x'_3$  وكانت  $T_{ij}$  تربط بين المتجهين  $p, q$  فإننا نتبع الخطوات التالية باتجاه الأسهم:

$$p' \rightarrow p \rightarrow q \rightarrow q'$$

أى :

$$p'_i = a_{ik} p_k$$

$$p_k = T_{k\ell} q_\ell$$

$$q_\ell = a_{j\ell} q'_j$$

أو :

$$p'_i = a_{ik} p_k = a_{ik} T_{k\ell} q_\ell = a_{ik} T_{k\ell} a_{j\ell} q'_j$$

$$p'_i = T'_{ij} q'_j$$

وبمقارنة المعادلتين الأخيرتين نجد أن :

$$T'_{ij} = a_{ik} a_{j\ell} T_{k\ell} \quad (2-12)$$

وهذا هو قانون تحويل مركبات الكمية الممتدة (الممتد) من الرتبة الثانية . أما الصورة المعاكسة فهي :

$$T_{ij} = a_{ki} a_{\ell j} T'_{k\ell} \quad (2-13)$$

## ٢-٥ تحويل حاصل ضرب الإحداثيات

لقد وجدنا أن قانون تحويل ممتد من الرتبة الأولى (متوجه) هو :

$$p'_i = a_{ij} p_j$$

وهو في نفس الوقت قانون تحويل إحداثيات نقطة ما :

$$x'_i = a_{ij} x_j$$

ومن ثم فإن قانون تحويل الممتد من الرتبة الثانية هو نفس قانون تحويل حاصل ضرب إحداثيين ؛ أى أن : مركبات كمية ممتدة  $T_{ij}$  تحول مثلما يتحول

حاصل الضرب  $x_i x_j$ . ويبين الجدول التالي (جدول ٢-٢) قوانين تحويل مركبات كميات متعددة من رتب مختلفة.

جدول (٢-٢)

قانون التحويل		رتبة المتر
«الجديد، بدلالة القديم»	«القديم، بدلالة الجديد»	
$\phi' = \phi$	$\phi = \phi'$	0
$p'_i = a_{ij} p_j$	$p_i = a_{ji} p'_j$	1
$T'_{ij} = a_{ik} a_{jl} T_{kl}$	$T_{ij} = a_{ki} a_{lj} T'_{kl}$	2
$T'_{ijk} = a_{il} a_{jm} a_{kn} T_{lmn}$	$T_{ijk} = a_{li} a_{mj} a_{nk} T'_{lmn}$	3
$T'_{ijkl} = a_{im} a_{jn} a_{ko} a_{lp} T_{mnop}$	$T_{ijkl} = a_{mi} a_{nj} a_{ok} a_{pl} T'_{mnop}$	4

### ٦-١-٢ التمثيل البياني للكميات المتعددة

يمكنا جعل الخاصية الفيزيائية شيئاً ملمساً إذا قمنا بعمل التمثيل البياني للكمية المتعددة التي تصف تلك الخاصية. وسنبدأ بالنظر في المعادلة:

$$S_{ij} x_i x_j = 1 \quad (2-14)$$

حيث  $S_{ij}$  هي نوع من المعاملات. والمعادلة في صورتها المفصلة هي:

$$S_{11}x_1^2 + S_{12}x_1x_2 + S_{13}x_1x_3 + S_{21}x_2x_1 + S_{22}x_2^2$$

$$+ S_{23}x_2x_3 + S_{31}x_3x_1 + S_{32}x_3x_2 + S_{33}x_3^2 = 1$$

وإذا افترضنا أن  $S_{ij} = S_{ji}$  وجمعنا الحدود فإن:

$$\begin{aligned} S_{11}x_1^2 + S_{22}x_2^2 + S_{33}x_3^2 + 2S_{23}x_2x_3 \\ + 2S_{31}x_3x_1 + 2S_{12}x_1x_2 = 1 \end{aligned}$$

وهذه -في الواقع- معادلة سطح من الدرجة الثانية (تربيعي) ومسند إلى مركزه كنقطة أصل، وقد يكون هذا السطح -بوجه عام- هو سطح مجسم قطع ناقص أو سطح مجسم قطع زائد.

ويكفي أن نستخدم قوانين تحويل المحاور الآتية:

$$x_i = a_{ki} x'_k \quad , \quad x_j = a_{lj} x'_l$$

حيث  $a_{ki}$ ،  $a_{lj}$  هى جيوب تمام الاتجاهات الخاصة بالمحاور بعد التحويل  $x'$  بالنسبة للمحاور قبل التحويل  $x$ .

وعلى هذا تتحول المعادلة (2-7) من مجموعة المحاور  $x_i$  إلى مجموعة جديدة  $x'_i$  :

$$\text{أو : } S_{ij} a_{ki} a_{lj} x'_k x'_l = 1$$

$$S'_{kl} x'_k x'_l = 1$$

$$S'_{kl} = a_{ki} a_{lj} S_{ij} \quad \text{حيث :}$$

وهذا القانون شبيه بقانون تحويل الكمية الممتدة من الدرجة الثانية:

$$T'_{ij} = a_{ik} a_{jl} T_{kl} \quad (2-15)$$

$$S_{ij} = S_{ji} \quad \text{ولذلك يمكن أن نكتب :}$$

وعلى هذا يكون السطح الممثل بالمعادلة (14-2) خاصاً بالمجسم التربيعى للكمية الممتدة  $S_{ij}$ . ومن الخواص المهمة مثل هذا المجسم امتلاكه لمحاور رئيسية ثلاثة متعامدة فيما بينها. وإذا نسب المجسم إلى تلك المحاور فإن معادلته تصبح:

$$S_1x_1^2 + S_2x_2^2 + S_3x_3^2 = 1 \quad (2-16)$$

ومثلاً يتخد الجسم أبسط صورة عندما يناسب إلى محاوره الرئيسية فإن أي ممتد متماثل من الرتبة الثانية يتلك نفس الخاصية.

إذ عندما يتحول المقدار :

$$\begin{bmatrix} S_{11} & S_{12} & S_{31} \\ S_{12} & S_{22} & S_{23} \\ S_{31} & S_{23} & S_{33} \end{bmatrix}$$

إلى محاوره الرئيسية فإنه يصبح :

وذلك من المعادلة (2-10)

$$\begin{bmatrix} S_1 & 0 & 0 \\ 0 & S_2 & 0 \\ 0 & 0 & S_3 \end{bmatrix}$$

والكميات  $S_1$ ,  $S_2$ ,  $S_3$  هي المركبات الرئيسية للممتد  $[S_{ij}]$  أو للخاصية التي يمثلها.

## ٢-٢ علاقة الخواص الفيزيائية بالتماثل البلوري

درستنا في الأبواب السابقة بعض اعتبارات التماثل البلوري، وكيف أن عناصر التماثل هي التي تحكم تقسيم البلورات إلى طوائف وفئات. على أن الخواص الفيزيائية تتمتع هي الأخرى بنوع من «التماثل» ومن المفيد أن نعلم العلاقة بين تماثل البلورة وتماثل خواصها الفيزيائية، وقد طرح العالم نيمان هذه المسألة وتوصل إلى مبدأ مهم، سمي باسمه وأصبح في ما بعد حجر الأساس في مجال فيزياء البلورات.

وينص هذا المبدأ في إحدى صيغه على أن:

«لا بد وأن تحتوى عناصر تماثل أية خاصية فيزيائية على عناصر التماثل الخاصة بالمجموعة النقطية للبلورة».

وكما نعلم فإن المجموعة النقطية لبلورة ما هي مجموعة عناصر التماثل الماكروسโคبية التي يتمتع بها التركيب البلوري وهي أساس تقسيم البلورات إلى اثنين وثلاثين قسمًا. ويجب التأكيد هنا على أن مبدأ نيمان لا يقتضي أن تكون عناصر تماثل الخاصية الفيزيائية هي نفس عناصر تماثل البلورة، وإنما يؤكّد على أن عناصر تماثل الخاصية يجب أن تشمل عناصر تماثل المجموعة النقطية. أي أن الخواص الفيزيائية تمتلك دائمًا تمثلاً أكبر مما هو لدى المجموعة النقطية. وكمثال على ذلك نجد أن البلورات المكعبية أيزوتropicية بصرياً؛ ولهذا كان على الخاصية البصرية أن تكون أيزوتropicية تماماً بحيث تحتوى على عناصر تماثل جميع المجموعات النقطية المكعبية. والخواص البصرية لبلورة من المجموعة  $3m$  الثلاثية (مثل بلورة التورمالين)، يمثلها مجسم قطع ناقص دوراني حول المحور الثلاثي الرئيسي، والذي هو المحور البصري؛ ولهذا المجسم محور ثلاثي رأسى تقاطع عنده ثلاثة مستويات رأسية، وهى كل عناصر تماثل المجموعة النقطية  $3m$  كما يتطلب مبدأ نيمان. إلا أن المجسم يحتوى بالإضافة إلى ذلك مركز تماثل وعنابر تماثل أخرى ليست ضمن عناصر المجموعة البلورية النقطية.

وقد يحتاج مفهوم تماثل الخاصية الفيزيائية منا مزيداً من التوضيح. الخاصية الفيزيائية تعنى علاقة بين كميات فيزيائية معينة قابلة للقياس، فمرونة بلورة ما - مثلاً - هي علاقة بين إجهاد متجانس خارجي وانفعال متجانس من جانب البلورة. وإذا أردنا أن نعرف ما إذا كانت خاصية ما تمتلك عنصر تماثل معين أم لا، فإننا نقوم بقياس تلك الخاصية بالنسبة لمحاور ثابتة أولاً، ثم نقوم بالتأثير بعنصر التماثل على جسم البلورة ونعيد القياس مرة أخرى وفي نفس الاتجاهات بالنسبة للمحاور الثابتة، فإذا لم يحدث تغير في الكميات المقابلة، جاز لنا أن نعتبر أن هذه الخاصية - في هذه البلورة - تمتلك عنصر التماثل هذا.

وقد ثبت أن الخواص التي تصفها كمية ممتدة من الدرجة الثانية ذات مركز تماثل - أو أنها مرکزية التماثل - ولتوضيح هذا، هب أن لدينا المعادلة  $T_{ij}q_i = p_i$ ، وأننا قمنا بعكس اتجاهي  $p_i$ ،  $q_i$ . ومعنى هذا أن تغير إشارات كل المركبات  $p_i$ ،  $q_i$  بحيث تظل المعادلة السابقة صحيحة لجميع قيم  $T_{ij}$  كما سبق، وتظل قيمة الخاصية  $T_{ij}$  ثابتة.

## ١-٢-٢ الكميّات الممتدّة المتماثلة ومتضادّة التماثل

### Symmetrical and antisymmetrical quantities

يقال أن كميّة ممتدّة ما  $[T_{ij}]$  متماثلة إذا كان:

$$T_{ij} = T_{ji}$$

$$\begin{bmatrix} 5 & 2 & -3 \\ 2 & 8 & 4 \\ -3 & 4 & 12 \end{bmatrix} \quad \text{والممتد :}$$

هو ممتد متماثل.

أما الممتد  $[T_{ij}]$  فيكون متضاد التماثل إذا كان:

$$T_{ij} = -T_{ji}$$

ويقتضي ذلك أن:

$$T_{11} = T_{22} = T_{33} = 0$$

$$\begin{bmatrix} 0 & -\gamma & \beta \\ \gamma & 0 & -\alpha \\ -\beta & \alpha & 0 \end{bmatrix} \quad \text{والممتد :}$$

هو ممتد متضاد التماثل.

وتلخيصاً لما سبق فإن الخاصية الفيزيائية قد يكون لها تماثل ذاتي وهو التماثل الذي يتجلّى مهما كانت البلورة تمتلك من عناصر التماثل أو تفتقر إليها. ونعود فنذكر بأنه طبقاً لمبدأ نيسيمان: «تمتلك الخاصية من عناصر التماثل أكثر مما لدى البلورة».

## ٢-٢-٢ أثر التمايل البلوري على الخواص التي يمثلها ممتد من الرتبة الثانية

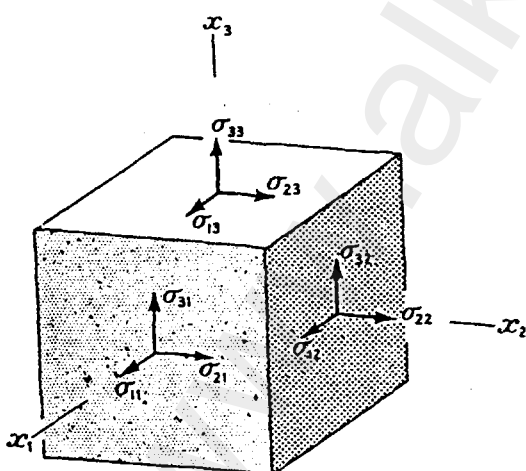
تعتبر المبادئ التي نوقشت صالحة للتطبيق على جميع الخواص الفيزيائية للبلورات، وتناول فيما يلى الخواص التي يمثلها ممتد من الرتبة الثانية. والذى يمتلك ست مركبات مستقلة إذا كان متماثلاً ومنسوباً إلى محاور اختيارية. وإذا كانت البلورة ذات تماثل ما، فإن عدد المركبات المستقلة ينخفض.

ويؤدى اللجوء إلى استخدام الجسم الذى يمثل الخاصية إلى توضيح هذه النقطة. والجسم الذى تحتوى معادلته على عدد من المعاملات المستقلة التى تناظر عدد المركبات المستقلة فى الممتد من الرتبة الثانية له سطح يمثل الخاصية بشكل كامل. بل يكون تماثل السطح مطابقاً لتماثل الخاصية تماماً. ويلخص الجدول (٣-٢) تأثير تماثل البلورة على الخواص التي يمثلها ممتد من الرتبة الثانية.

## ٣-٢ الخواص الميكانيكية للبلورات

تتجلى الخواص الميكانيكية للبلورات عندما تتعرض لقوى شد أو ضغط مؤثرة على أحد أوجه البلورة. ولا بد من تحديد اتجاه القوة ومساحة السطح الواقع تحت تأثير تلك القوة، ومن هنا اصطلاح على التعامل مع ما يسمى الإجهاد. ولكى

نبسط هذا المفهوم دعنا نتخيل عنصراً حجimياً داخل بلورة تتعرض للإجهاد ولتكن هذا العنصر على شكل مكعب طول ضلعه الوحدة (الشكل (٥-٢)) بحيث تكون حواف المكعب موازية لمحاور الإحداثيات  $Ox_1$ ،  $Ox_2$ ،  $Ox_3$ . ويكتننا بهذا تحليل القوى المؤثرة عبر كل وجه من أوجه العنصر الحجمي إلى ثلاث مركبات. ولتكن مركبة القوة المؤثرة في اتجاه  $Ox_i$  عمودياً على



شكل (٥-٢)

القوى المؤثرة على وجه مكعب الوحدة  
داخل جسم تحت إجهاد متجانس

## جدول (٣-٢)

التصنيف حسب الخواص البصرية	النظام البلوري	التماثل المميز	طبيعة الجسم الذي يمثل الخاصية واتجاهه	عدد المعاملات المستقلة	شكل المتمت
أيزوتربوبي Isotropic	مكعب	اربعة محاور ثلاثة الطبية	كرة	١	$\begin{bmatrix} S & 0 & 0 \\ 0 & S & 0 \\ 0 & 0 & S \end{bmatrix}$
أحادي المحور Uniaxial	رباعي سداسي ثلاثي	محور واحد رباعي الطبية محور واحد سداسي الطبية محور واحد ثلاثي الطبية	جسم دوراني حول محور التماثل الأساسي وهو $x_3$ (أو $z$ )	٢	$\begin{bmatrix} S_1 & 0 & 0 \\ 0 & S_1 & 0 \\ 0 & 0 & S_3 \end{bmatrix}$
ثنائي المحور Biaxial	المعين المستقيم	ثلاثة محاور ثنائية الطبية ومتعامدة . ولا توجد محاور ذات رتبة أعلى من ذلك	جسم عام محاوره $x_3, x_2, x_1$ موازية للمحاور ثنائية الطبية ( $x, y, z$ )	٣	$\begin{bmatrix} S_1 & 0 & 0 \\ 0 & S_2 & 0 \\ 0 & 0 & S_3 \end{bmatrix}$
ثنائي المحور Biaxial	أحادي الميل	محور واحد ثنائي الطبية	جسم عام ذو محور واحد ( $x_2$ ) مواز لمحور ثانوي ( $y$ )	٤	$\begin{bmatrix} S_{11} & 0 & S_{31} \\ 0 & S_{22} & 0 \\ S_{31} & 0 & S_{33} \end{bmatrix}$
ثنائي المحور Biaxial	ثلاثي الميل	مركز للتماثل أو بدون مركز للتماثل	جسم عام ولا توجد علاقة ثابتة مع المحاور البلورية	٥	$\begin{bmatrix} S_{11} & S_{12} & S_{31} \\ S_{12} & S_{22} & S_{23} \\ S_{31} & S_{23} & S_{33} \end{bmatrix}$

الوجه المتعامد مع المحور  $z_{ij}$  هي  $T_{ij}$ ، أي أن القوة المؤثرة باتجاه  $Ox_1$  على الوجه المتعامد مع  $Ox_2$  ستكون  $T_{12}$ . وإذا افترضنا أن الإجهاد متجانس، تكون القوى المؤثرة على المكعب عبر الأوجه الثلاثة المقابلة متساوية ومضادة للقوى المبينة في الشكل السابق. وتسمى المركبات  $T_{11}$ ,  $T_{22}$ ,  $T_{33}$  للإجهاد المركبات المتعامدة، أما الإجهادات  $T_{12}$ ,  $T_{21}$ ,  $T_{23}$ .. إلخ فتسمى المركبات القصبية. وتشكل مجموعة المركبات جميعها  $T_{ij}$  كمية ممتدة من الرتبة الثانية. وتتخذ المركبة المتعامدة إشارة موجبة إذا كان الإجهاد من نوع الشد، أما الإشارة السالبة فتمثل إجهاد ضغط. وعند الاتزان فإن  $T_{32}=T_{23}$  و  $T_{31}=T_{13}$  و  $T_{12}=T_{21}$  أي  $T_{ij}=T_{ji}$  حتى يتحقق شرط عدم دوران الجسم تحت تأثير الإجهاد. والإجهاد بهذه الصفات يمثل ممتدًا من الرتبة الثانية كما أنه يكون متماثلاً ( $T_{ij}=T_{ji}$ ).

وهنالك حالات خاصة للإجهاد:

(١) الإجهاد أحادى المحور  $T$

$$\begin{bmatrix} T & 0 & 0 \\ 0 & 0 & 0 \\ 0 & 0 & 0 \end{bmatrix}$$

وهو يحدث عند تعليق ثقل من طرف قضيب أو سلك رأسى طويل ويكون الطرف الآخر مثبتا.

(٢) الإجهاد ثنائى المحور :

$$\begin{bmatrix} T_1 & 0 & 0 \\ 0 & T_2 & 0 \\ 0 & 0 & 0 \end{bmatrix}$$

وهو الإجهاد الواقع على صفيحة رقيقة تتعرض حواهلها لقوى وازدواجات.

(٣) إجهاد ثلاثي المحور: وهو المرادف لمنظومة الإجهادات الأكثر عمومية حيث تكون الإجهادات الرئيسية الثلاثة غير صفرية.

$$\begin{bmatrix} T_1 & 0 & 0 \\ 0 & T_2 & 0 \\ 0 & 0 & T_3 \end{bmatrix}$$

(٤) الضغط الهيدروستاتيكي :  $p$

$$\begin{bmatrix} -p & 0 & 0 \\ 0 & -p & 0 \\ 0 & 0 & -p \end{bmatrix}$$

أو  $\delta_{ij} p$  - حيث :

$$\delta_{ij} \quad \begin{cases} 0 & i \neq j \\ 1 & i = j \end{cases}$$

(٥) إجهاد قصى صرف وهو حالة خاصة من الإجهاد ثنائى المحور .

$$\begin{bmatrix} -\sigma & 0 & 0 \\ 0 & \sigma & 0 \\ 0 & 0 & 0 \end{bmatrix}$$

من المهم الآن أن نشير إلى الفرق بين الكمية الممتدة للإجهاد وجميع الكميات الممتدة التي تصف خواص البلورات ، حيث ترتبط الأخيرة ارتباطا وثيقا بتماثل البلورة ، ولهذا تسمى كميات ممتدة «مادية» Material Tensor في حين تأخذ الكمية الممتدة للإجهاد ، وكذا الكمية الممتدة للانفعال (تناولها لاحقا) أى اتجاه داخل البلورة مثلما يحدث داخل أى جسم غير بلوري (أو أيزوتروبي) كالزجاج ، كما أنها تحدث في الأجسام البلورية اللاأيزوتروبية ، وهى لهذا لا تمثل خاصية فزيائية وإنما تشبه «القوة» المؤثرة على البلورة كالمجال الكهربائي الذى يمكن تطبيقه فى أى اتجاه اختيارى داخل البلورة؛ ولذلك يطلق على هذه الكميات كميات ممتدة «مجالية» Field Tensor .

### ١-٣-٢ Strain

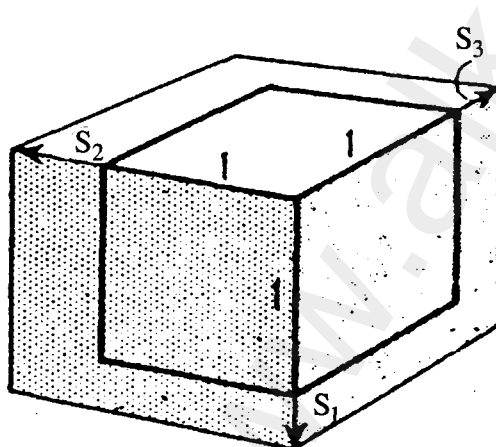
يعرف الانفعال بأنه النسبة بين التغير الحادث في أبعاد الجسم والأبعاد الأصلية له إذا تعرض لإجهاد ما . ويتم تمثيل الانفعال بكمية ممتدة (ممتد) متماثلة على الصورة التالية :

$$[S_{ij}] = \begin{bmatrix} S_{11} & S_{12} & S_{31} \\ S_{12} & S_{22} & S_{23} \\ S_{31} & S_{23} & S_{33} \end{bmatrix}$$

والمركبات القطرية  $S_{ii}$  هي التي تمثل الشد أو «انفعال الشد» أما باقى المركبات فهى تمثل «الانفعال القصى».

وكالعادة، يمكن تمثيل مركبات الانفعال بحيث تنسب إلى المحاور الرئيسية، وعندئذ تختفى المركبات القصية وتبقى المركبات القطرية:

$$\begin{bmatrix} S_{11} & S_{12} & S_{31} \\ S_{12} & S_{22} & S_{23} \\ S_{31} & S_{23} & S_{33} \end{bmatrix} \rightarrow \begin{bmatrix} S_1 & 0 & 0 \\ 0 & S_2 & 0 \\ 0 & 0 & S_3 \end{bmatrix}$$



شكل (٦-٢)

الانفعالات الحادئة لمكعب الوحدة  
في اتجاهات المحاور المتعامدة

ويتضح من الشكل (٦-٢) المعنى الهندسي للاحفعالات المتعامدة  $S_1$ ،  $S_2$ ،  $S_3$ ، حيث يمثل مكعب الوحدة الذى تكون حوافه موازية للمحاور الرئيسية. وعندما يحدث الانفعال تظل الحواف متعامدة بينما تتغير أطوالها لتصبح  $(1+S_1)$ ،  $(1+S_2)$ ،  $(1+S_3)$ . وهنا ينبغي التأكيد على أن المحاور الرئيسية تكون متعامدة مع بعضها البعض وتظل متعامدة بعد حدوث

الانفعال. ويعطى التغير في حجم هذا المكعب وسزمه له بالرمز  $\Delta$  بالعلاقة الآتية:

$$\Delta = (1+S_1)(1+S_2)(1+S_3) - 1 \equiv S_1 + S_2 + S_3$$

وقد تم تقريب العلاقة نظراً لأن قيمة الانفعالات ضئيلة.

ونؤكِد مرة أخرى أن انفعال بلورة ما، ليس من خواصها وإنما هو استجابة لمؤثر ما. وقد يكون هذا المؤثر إجهاداً (ظاهرة المرونة) أو مجالاً كهربائياً (ظاهرة البيزو كهربية) . . إلخ، ومتى انفعال -مثل متى الإجهاد- غير مرتبط بتماثل البلورة.

وقد يحدث الانفعال نتيجة تغير درجة الحرارة (ظاهرة التمدد الحراري) وعندها تكون المؤثر كمية قياسية لا اتجاه لها، أما الانفعال فلا بد أن ينسجم في هذه الحالة -مع تماثل البلورة.

### ٢-٣-٢ التمدد الحراري Thermal Expansion

إذا تعرضت بلورة ما إلى تغير في درجة الحرارة مقداره  $\Delta T$  فإن التشوه الحادث يوصف من خلال متى الانفعال  $[z_{ij}]$  ويختصر الموقف بالمعادلة:

$$S_{ij} = \alpha_{ij} \Delta T$$

حيث  $\alpha_{ij}$  ثوابت تمثل معاملات التمدد الحراري، ولما كانت  $[S_{ij}]$  كمية متدة فإن  $[\alpha_{ij}]$  هي الأخرى كمية متدة ولها نفس تماثل  $[S_{ij}]$  تماماً. وعندما نعبر عنها منسوبة إلى المحاور الرئيسية فإن:

$$S_1 = \alpha_1 \Delta T, \quad S_2 = \alpha_2 \Delta T, \quad S_3 = \alpha_3 \Delta T$$

حيث  $\alpha_1, \alpha_2, \alpha_3$  هي معاملات التمدد الرئيسية.

وعلى هذا، إذا رسمنا كرة داخل بلورة ما، فإنها تصبح بعد التمدد مجسم قطع ناقص يمثل مجسم الانفعال، وتتناسب محاوراه مع  $(1+\alpha_1 \Delta T)$ ،  $(1+\alpha_2 \Delta T)$ ،  $(1+\alpha_3 \Delta T)$ ، أما معامل التمدد الحجمي فهو مجموع معاملات

التمدد ( $\alpha_1 + \alpha_2 + \alpha_3$ ) أو هو بشكل عام  $\alpha_{ij}$  وهي كمية لا متغيرة (ثابتة). ويبين الجدول (٤-٢) معاملات التمدد الحراري لبعض البلورات.

**الجدول (٤-٢)**  
**معاملات التمدد الحراري الرئيسية لبعض البلورات**  
**الوحدة =  $10^{-6} (\text{ }^{\circ}\text{C})^{-1}$**

$\alpha_3$	$\alpha_2$	$\alpha_1$	درجة الحرارة	النظام البلوري	البلورة
29	42	1.6	40°C	حادي الميل	الجبس
10	17	35	40°C	معين مستقيم	أرجونيت
55	-2		60k		
65	8		150k		
64	13		300k		
8	13		درجة حرارة الغرفة	ثلاثي	الكوارتز
25	-5.6		40°C	ثلاثي	الكايسين
9.2	7.1		40°C	رباعي	الروتيل
	16		درجة حرارة الغرفة	مكعبى	النحاس
	0.89		درجة حرارة الغرفة	مكعبى	الإلماس
	40		درجة حرارة الغرفة	مكعبى	كلوريد الصوديوم

### ٣-٣ القابلية البارامغناطيسية والديامغناطيسية

#### Paramagnetic and Diamagnetic Susceptibility

من الخواص التي يمكن تمثيلها بكميات ممتدة من الرتبة الثانية خاصيتنا القابلية المغناطيسية للمواد البارامغناطيسية والقابلية المغناطيسية للمواد الديامغناطيسية. ومن المقادير الفيزيائية المتعارف عليها:

H شدة المجال المغناطيسي.

I شدة التمغnet (المغناطة)، وهي العزم المغناطيسي لوحدة الحجوم من البلورة.

B الحث المغناطيسي أو كثافة التدفق.

وترتبط هذه المتجهات الثلاثة بعلاقة هي:

$$\mathbf{B} = \mu_0 \mathbf{H} + \mathbf{I} \quad (2-17)$$

حيث  $\mu_0$  مقدار ثابت يسمى إنفاذية الفراغ وقيمه  $\frac{4\pi}{10^7}$  في نظام MKS للوحدات.

وتتناسب شدة التمغnet طرديا مع شدة المجال في الكثير من المواد الأيزوتropic، ما لم تكن شدة المجال كبيرة جدا.

$$\mathbf{I} = \mu_0 \chi \mathbf{H} \quad (2-18)$$

حيث  $\chi$  هي القابلية المغناطيسية، وهي بلا وحدات، وإن أطلق عليها أحياناً القابلية المغناطيسية الحجمية، إذا ارتبطت I بوحدة الحجوم وقد تكون  $\chi$  موجبة الإشارة كما في حالة المواد البارامغناطيسية أو سالبة في حالة المواد الديامغناطيسية. كما قد يطلق على القيم العددية للقابلية أسماء مختلفة مثل: القابلية النوعية، أو قابلية وحدة الكتل، أو القابلية الذرية أو الجزيئية  $(A\frac{\chi}{\rho})$  حيث  $\rho$  هي كثافة المادة، A الكتلة الذرية أو الجزيئية (الوزن الذري أو الجزيئي). وإذا دمجنا المعادلتين (2-17) و(2-18) فإن:

$$\mathbf{B} = (1 + \chi) \mu_0 \mathbf{H} = \mu \mathbf{H} \quad (2-19)$$

حيث:

$$\mu = (1 + \chi) \mu_0 \quad (2-20)$$

والمقدار  $\mu$  هو إنفاذية المادة. كما يمكن تعريف المقدار:

$$M = \frac{\mu}{\mu_0} = 1 + \chi$$

وهو ما يعرف بالإإنفاذية النسبية للمادة.

ولا تكون  $I$  موازية للمجال  $H$  بشكل عام في البلورات ولهذا تستبدل بالمعادلة (2-18) المعادلة الآتية:

$$I_i = \mu_0 \chi_{ij} H_j \quad (2-21)$$

حيث  $\chi_{ij}$  هي مركبات (عناصر) الكمية الممتدة للقابلية المغناطيسية.

وبغض النظر عما إذا كان  $H$  ،  $I$  متوازيين أم لا ، فإننا نستطيع كتابة المعادلة (3-17) كما يلى:

$$B_i = \mu_0 H_i + I_i \quad (2-22)$$

$$B_i = \mu_0 (H_i + \chi_{ij} H_j)$$

$$= \mu_0 (\delta_{ij} + \chi_{ij}) H_j$$

(وتكون  $\delta_{ij} = 0$  عندما  $j \neq i$  ،  $\delta_{jj} = 1$  عندما  $j = j$ )

وعلى هذا فإن :

$$B_i = \mu_{ij} H_j \quad (2-23)$$

و

$$\mu_{ij} = \mu_0 (\delta_{ij} + \chi_{ij}) \quad (2-24)$$

وتصبح  $\mu_{ij}$  كمية ممتدة من الرتبة الثانية.

وهذه المعادلة هي التي تناظر المعادلة (2-20) ولكن في حالة البلورات ويمكن كتابتها بالتفصيل على النحو التالي:

$$\begin{bmatrix} \mu_{11} & \mu_{12} & \mu_{13} \\ \mu_{21} & \mu_{22} & \mu_{23} \\ \mu_{31} & \mu_{32} & \mu_{33} \end{bmatrix} = \begin{bmatrix} \mu_0(1+\chi_{11}) & \mu_0\chi_{12} & \mu_0\chi_{13} \\ \mu_0\chi_{21} & \mu_0(1+\chi_{22}) & \mu_0\chi_{23} \\ \mu_0\chi_{31} & \mu_0\chi_{32} & \mu_0(1+\chi_{33}) \end{bmatrix}$$

ويمتد الإنفاذية من الرتبة الثانية متماثل، أى أن:

$$\mu_{ji} = z_{ij} \quad \text{وكذلك المتمدد } [\chi_{ij}]$$

ولذلك يمكن إسناد كل منهما إلى المحاور الرئيسية. وإذا طبق المجال  $\mathbf{H}$  في اتجاه أى من المحاور الثلاثة المتعامدة فإن  $\mathbf{B}, \mathbf{I}, \mathbf{B}$  تكون كلها متوازية مثلما هي الحال في المواد الأيزوتropicة. ومثال ذلك إذا كان  $\mathbf{H}$  مطبقاً باتجاه محور رئيسى  $Ox_1$  فإن:

$$\mathbf{I} = \mu_0 \chi_1 \mathbf{H} \quad , \quad \mathbf{B} = \mu_1 \mathbf{H}$$

$$\mu_1 = \mu_0 (1 + \chi_1)$$

وتتحدد قابلية البلورة تماماً بمقادير واتجاهات القابليات الثلاث الرئيسية  $\chi_1, \chi_2, \chi_3$  وهي تخضع بطبيعة الحال لأية قيود يفرضها تماثل البلورة. (انظر الجدول ٣-٢).

### القوة المؤثرة على بلورة في مجال مغناطيسي غير منتظم:

إذا وجدت بلورة في مجال مغناطيسي غير منتظم فإنها تكون تحت تأثير قوة تعتمد على الطبيعة المغناطيسية للبلورة وعلى شدة المجال المغناطيسي. وقد أمكن الاستفادة من هذه الظاهرة في تعين مقدار وإشارة القابلية المغناطيسية للبلورات؛ ولكن نتناول هذه المسألة بالتفصيل علينا أن نحلل هذه القوة.

هب أن ثنائى قطب مغناطيسي شدته  $M$  قد وضع في مجال مغناطيسي غير منتظم ولتكن شدة أحد القطبين ( $m$ ) وشدة الآخر ( $-m$ ) وتفصلقطيين مسافة  $a$ . ومركبة المجال المغناطيسي ( $i$ ) المؤثرة على القطب الموجب ستكون أكبر

من المركبة ( $i$ ) المؤثرة على القطب السالب بالمقدار:

$$\frac{\partial H_i}{\partial x_j}$$

حيث  $H_i$  هي شدة المجال المغناطيسي الناشئ عن مصادر خارج ثنائى القطب. أما مركبة القوة المؤثرة على ثنائى القطب فهى:

$$F_i = m \frac{\partial H_i}{\partial x_j} \quad \ell_j = M_j \frac{\partial H_i}{\partial x_j} \quad (2-25)$$

وتظل هذه العلاقة قائمة بغض النظر عما إذا كان ثنائى القطب من النوع الدائم (مغناطيس دائم) أو كان مستحثاً من جانب المجال نفسه وإذا وضع حجم صغير  $v$  من مادة بارامغناطيسية أو ديامغناطيسية في مجال غير متظم فإن القوة المؤثرة عليه ستكون:

$$F_i = v I_j \frac{\partial H_i}{\partial x_j} \quad (2-26)$$

$$= v \mu_0 \chi_{jk} H_k \frac{\partial H_i}{\partial x_j} \quad (2-27)$$

(مع إهمال المجال الناشئ عن البلورة نفسها).

وحيث إن  $\text{curl } H = 0$  و  $\chi_{jk} = \chi_{kj}$  فإن:

$$F_i = v \mu_0 \chi_{jk} H_k \frac{\partial H_j}{\partial x_i} \quad (2-28)$$

$$= \frac{1}{2} v \mu_0 \chi_{jk} \frac{\partial}{\partial x_i} (H_j H_k) \quad (2-29)$$

افتراض الآن - كحالة خاصة - أن البلورة وضعت في مجال بحيث يؤثر في اتجاه مواز لأحد الاتجاهات الرئيسية للقابلية ولكن  $Ox_1$ . عندئذ يكون  $H_2 = H_3 = 0$ ، أما مركبات القوة - طبقاً للمعادلة (2-28) فت تكون:

$$\left. \begin{array}{l} F_1 = \nu \mu_0 \chi_1 H_1 \frac{\partial H_1}{\partial x_1} \\ F_2 = \nu \mu_0 \chi_1 H_1 \frac{\partial H_1}{\partial x_2} \\ F_3 = \nu \mu_0 \chi_1 H_1 \frac{\partial H_1}{\partial x_3} \end{array} \right\} \quad (2-30)$$

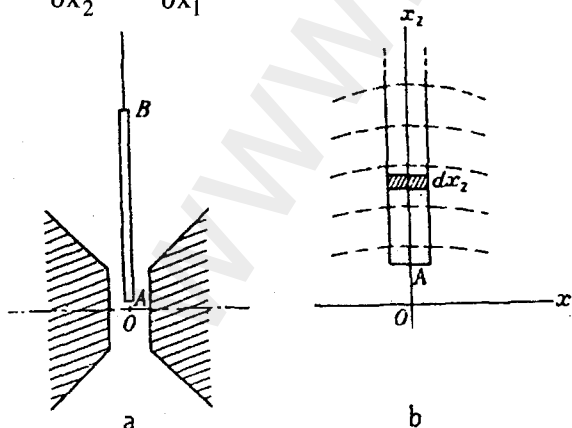
أو

$$F = \frac{1}{2} \nu \mu_0 \chi \operatorname{grad} (H^2) \quad (2-31)$$

وتعنى هذه المعادلة أن اتجاه القوة في هذه الحالة هو اتجاه أعظم تغير في  $H^2$ . وتعتبر هذه النتيجة صحيحة أيضاً في حالة الأجسام الأيزوتropicية.

فإن كانت  $\chi$  موجبة في الاتجاه  $Ox_1$  (أي أن المادة بارامغناطيسية) فإن البلورة ستتجذب نحو أقوى جزء من المجال، أما إن كان  $\chi$  هو اتجاه ديماغناطيسى فإن البلورة ستميل إلى الحركة نحو أضعف جزء من المجال.

وستعمل القوة الناشئة في المجال غير المنتظم - كما ذكرنا في البداية - لقياس القابلية  $\chi$  حيث يعلق قضيب رفيع من البلورة رأسياً بحيث يكون طرفه السفلي A بالقرب من متصف المجال بين القطبين المسطحين لمغناطيس كهربائي، بينما يكون طرفه العلوي B خارج الفجوة التي بين الوجهين الشكل (٧-٢أ) وبالنظر إلى الشكل (٧-٢ب) نجد أن  $x_1$  يكون موازياً للمجال المغناطيسي، أما المركبات الأخرىان  $\frac{\partial H_1}{\partial x_2} = \frac{\partial H_2}{\partial x_1}$ ، وتكون المشتقان غير الصفرتين هما  $H_2 = H_3 = 0$



شكل (٧-٢)  
رسم توضيحي لطريقة قياس  
القابلية المغناطيسية

وتكون مركبات القوة المؤثرة على كل عنصر حجم صغير  $dV$  من البلورة هي:

$$dF_1 = dV \mu_0 \chi_{21} H_1 \left( \frac{\partial H_2}{\partial x_1} \right)$$

$$dF_2 = dV \mu_0 \chi_{11} H_1 \left( \frac{\partial H_1}{\partial x_2} \right)$$

$$dF_3 = 0$$

وإذا عبرنا عن عنصر الحجم بالعلاقة:

حيث "a" مساحة المقطع المستعرض للقضيب، فإن:  $dV = a dx_2$

$$F_1 = \mu_0 \int_A^B a \chi_{21} H_1 \left( \frac{\partial H_1}{\partial x_2} \right) dx_2$$

$$F_2 = \mu_0 \int_A^B a \chi_{11} H_1 \left( \frac{\partial H_1}{\partial x_2} \right) dx_2$$

$$F_3 = 0$$

وبإجراء بعض التبسيط فإن:

$$\begin{aligned} F_1 &= \mu_0 \int_A^B a \chi_{21} H_1 dH_1 \\ &= -\frac{1}{2} \mu_0 a \chi_{21} H_0^2 \end{aligned} \tag{2-32}$$

وبالمثل

$$F_2 = -\frac{1}{2} \mu_0 a \chi_{11} H_0^2 \tag{2-33}$$

حيث  $H_0$  هو المجال عند النقطة A.

وتشير العلامة السالبة في العلاقة الأخيرة إلى أنه إذا كانت  $\chi_{11}$  موجبة (مادة بارامغناطيسية) فإن اتجاه مركبة القوة هذه تكون إلى أسفل، ولكن نعین مقدار  $\chi_{11}$  فإننا نعادل  $F_2$ ، وذلك بتعليق العينة في كفة ميزان ونضع في الكفة الأخرى الأثقال المناسبة التي تزن مع  $F_2$ .

#### ٤-٣-٢ الاستقطاب الكهربائي والخواص العزلية Electric Polarization

هناك تشابه شكلي محض بين الاستقطاب الكهربائي في البلورات العازلة والتمغنت أو المغنطة في البلورات البارامغناطيسية، فالعلاقة بين الاستقطاب  $P$  وشدة المجال الكهربائي  $E$  في المواد الألأيزوتropicية علاقة تناسب طردی:

$$P = k_0 \chi E \quad (2-34)$$

بشرط ألا يكون المجال كبيرا،  $\chi$  هي القابلية الكهربائية والاستقطاب - كما هو معلوم - هو العزم الكهربائي لوحدة الحجوم من البلورة. كما ترتبط الإزاحة الكهربائية  $D$  بشدة المجال الكهربائي  $E$  بالعلاقة:

$$D = k E \quad (2-35)$$

حيث  $k = k_0(1+\chi)$  هي السماحية وغالبا ما تنسب إلى سماحية الفراغ  $k_0$ ؛

$$K = \frac{k}{k_0} \quad (2-36)$$

وتسمى هذه النسبة السماحية النسبية أو ثابت العزل فإذا انتقلنا إلى المواد الألأيزوتropicية (أي معظم البلورات) فإن:

$$P_i = k_0 \chi_{ij} E_j \quad (2-37)$$

حيث  $\chi_{ij}$  متذ من الرتبة الثانية ويسمى متذ القابلية الكهربائية. كما أن:

$$D_i = k_{ij} E_j \quad (2-38)$$

حيث  $\zeta_{ij}$  هو ممتد السماحية . والعلاقة بين القابلية والسماحية هي :

$$k_{ij} = k_0 (\delta_{ij} + \chi_{ij})$$

ويصبح ثابت العزل :

$$K_{ij} = \frac{k_{ij}}{k_0} \quad (2-39)$$

وقد ثبت من اعتبارات الطاقة أن :

$$k_{ij} = k_{ji}$$

ومن ثم ،

$$K_{ij} = K_{ji} \quad \text{و} \quad \chi_{ij} = \chi_{ji}$$

ويمكننا نسبة كل من هذه الكميات إلى المحاور الرئيسية المشتركة لها وعندئذ تصبح العلاقة بين مركباتها الرئيسية هي :

$$\dots \dots \dots k_1 = k_0 K_1 \dots \dots \dots \text{إلخ}$$

$$\dots \dots \dots \chi_1 = K_1 - 1 \dots \dots \dots \text{إلخ}$$

وتعتمد مقادير واتجاهات هذه الكميات على تردد المجال الكهربائي المستخدم في قياسها ، كما أنها تخضع لاعتبارات تماثيل البلورات كما ورد في الجدول (٢-٣) . ويحتوى الجدول (٥-٢) على قيم ثابت العزل لبعض البلورات .

الجدول (٥-٢)  
ثوابت العازل لبعض البلورات

التردد (هرتز)	$K_2$	$K_1$	$K_1$	النظام البلوري	البلورة
$3 \times 10^8$	5.0	5.1	9.9	حادي الميل معيني مستقيم	الجيس
$4 \times 10^8$	6.6	7.7	9.8		أرجونيت
$50 \rightarrow \times 10^6$	4.6		4.5	ثلاثي	الكوارتز
$4 \times 10^8$	8.0		8.5		الكايسن
$4 \times 10^8$	173		89	رباعي	الروتيل
$2 \times 10^5$		6.3			كلوريد السيريوم
$2 \times 10^5$		5.6		مكعب	كلوريد الصوديوم
					مكعب

### ٥-٣-٢ الخاصية البiero كهربية Pyroelectricity

تتمتع بعض البلورات بخاصية تكون استقطاب كهربائي بها عندما يحدث تغير في درجة حرارتها، ومن ناحية أخرى، إذا وجد بالبلورة استقطاب تلقائي فإنه يتغير بتغيير درجة حرارتها. وتسمى هذه الظاهرة بالبiero كهربية Pyroelectricity. ونظراً لاحتواء البلورات الحقيقية على شوائب وعيوب تركيبية فإن هذا الاستقطاب يتلاشى بمجرد تكونه.

ويتم رصد هذه الظاهرة عن طريق تسخين البلورة بانتظام وملاحظة التغير في قيمة الاستقطاب، وقد يتم ذلك بأسلوبين: فإما أن نحتفظ بالبلورة وأبعادها ثابتة أثناء التسخين، أو أن يُسمح للبلورة بالتمدد الحراري في سهولة. ويختلف مقدار

الظاهرة الكهربائية في الحالتين. فعندما تكون البلورة مكبلة - لا يتغير حجمها - فإن الظاهرة تسمى **البيروكهرية الأولى**، أما إذا كانت البلورة حرقة في أن تمدد - وهذا أيسر من الناحية العملية - فإن تأثيراً إضافياً يحدث وهو ما يطلق عليه **البيروكهرية الثانية**، وعندئذ فإن ما يتم قياسه هو مجموع التأثيرين: الأولى والثانوي، والأخير ناشئ عن ظاهرة الكهربائية الإجهادية (**البيزو كهربيّة** (Piezoelectricity).

هب أن تغييراً طفيفاً في درجة الحرارة  $\Delta T$  قد حدث بشكل منتظم خلال البلورة مما تسبب في إحداث تغيير في متجه الاستقطاب مقداره  $\Delta P_i$  بحيث:

$$\Delta P_i = p_i \Delta T \quad (2-40)$$

حيث  $p_i$  هي المعاملات البيروكهرية، وهي مركبات المتجه  $p$  الذي يعتبر مثلاً على خاصية بلورية يصفها متجه.

وطبقاً لمبدأ «نييمان» فإن  $p$  لا بد وأن يتوازى مع مجموعة التماثيل النقطية للبلورة؛ أي أن الظاهرة البيروكهرية لا يمكن أن تظهر في بلورة لها مركز تماثل - مثلاً - كما أن العزم البيروكهربي لن يتتخذ سوى اتجاه فريد داخل البلورة بحيث لا يتكرر بأى عملية من عمليات التماثيل البلورية.

وينحصر ظهور هذه الظاهرة في بلورات النظم الآتية:

١ - النظام ثلاثي الميل: في الفئة 1 حيث لا توجد أية قيود على اتجاه  $p$ :  $(p_1, p_2, p_3)$ .

٢ - النظام أحادى الميل: حيث يكون  $x_2$  موازياً للمحور الثنائي سواء كان دورانياً أو انعكاسياً.

الفئة 2 : حيث يكون  $p$  موازياً للمحور الثنائي  $(0, p, 0)$ .

الفئة 3: يتخذ  $p$  أى اتجاه في المستوى  $m$   $(p_1, 0, p_3)$ .

٣ - النظام المعيين القائم: حيث تكون المحاور  $x_1, x_2, x_3$  موازية للمحاور البلورية  $x, y, z$  على الترتيب:

الفئة 222: حيث يكون  $p$  موازياً للمحور الثنائي  $(0, 0, p)$ .

الفئة 222 :  $(0, 0, 0)$  أى أن  $p = 0$ .

٤ - النظام الرباعي والثلاثي والسداسي: حيث يكون  $x_3$  موازيا لـ  $\mathbf{z}$  الفئات 4، 3، 6mm، 6، 3m، 4m أو 3 أو 6: (0,0,p).

الفئات 4، 32، 6m<sup>2</sup>، 6، 32، 622، 422، 42m أى أن  $p = 0$ .

#### ٥ - النظام المكعب:

الفئات 23، 43m، 432: (0, 0, 0) أى أن  $p = 0$

نستخلص من هذا أن هناك عشر فئات تتجلّى فيها الظاهرة البيروكهرية

وهي:

1, 2, 3, 4, 6, m, mm<sup>2</sup>, 3m, 4mm, 6mm

وهي الفئات المعروفة باسم الفئات القطبية.

#### مثال عددي:

تتسمى بلورة التورمالين إلى الفئة الثلاثية 3m وهي من أشهر البلورات البيروكهرية. وتبلغ قيمة  $p$  عند درجة حرارة الغرفة  $1.2 \text{ CGS esu}$  لـ  $p = 1.2 \text{ CGS esu}$  وهذا المقدار هو مجموع التأثيرين الأولي والثانوي. أما بوحدات mks فالمقدار هو:

$$p = 1.2 \left( \frac{1}{3} \times 10^{-5} \right) = 4.0 \times 10^{-6} \text{ Coul.m}^{-2} (\text{°C})^{-1}$$

ومنه يحسب شدة المجال الكهربائي الذي يحدث نفس الاستقطاب الناشئ عن ارتفاع درجة الحرارة بمقدار درجة واحدة.

ما سبق نجد أن الاستقطاب هو:

$$P = 4.0 \times 10^{-6} \text{ Coul.m}^{-2}$$

باتجاه المحور الثلاثي. فإذا كان ثابت العازل الرئيسي للتورمالين باتجاه المحور البلوري الثلاثي هو  $K_3 = 7.1$  فإن السماحية  $\chi_3$ :

$$\chi_3 = K_3 - 1 = 6.1$$

ومن ثم يكون المجال المطلوب في اتجاه يوازي  $x_3$  داخل البلورة هو :

$$\begin{aligned} E_3 &= \frac{P}{k_0 x_3} = \frac{4.0 \times 10^{-6}}{8.85 \times 10^{-12} \times 6.1} \\ &= 7.4 \times 10^4 \text{ volt/m} \\ &= 740 \text{ volt/cm} \end{aligned}$$

وهناك مجموعة أخرى من البلورات تسمى بلورات فروكهربية، وهي بلورات بيروكهربية إلا أنها تميز بإمكان عكس الاستقطاب فيها عند تطبيق مجال كهربائي مناسب. وتخرج دراسة البلورات الفروكهربية وخواصها عن إطار هذا الباب.

### ٦-٣-٢ الخاصية البيزو كهربية (الكهربية الإجهادية)

عندما تتعرض بعض البلورات لـإجهاد ميكانيكي ما، فإن عزماً كهربياً يتكون بها، بحيث يتناسب مقداره مع الإجهاد، وقد سمي هذا التأثير بظاهرة البيزو كهربية المباشرة؛ فإذا طبق إجهاد شد - مثلاً - باتجاه أحد المحاور ثنائية الطية في بلورة كوارتز (من الفتة 32)، فإن مقدار العزم الكهربائي لوحدة الحجم أو الاستقطاب هو:

$$P = d T \quad (2-41)$$

حيث  $d$  - هو معامل البيزو كهربية، و  $T$  هو إجهاد الشد.

وكما هو واضح فإن تغير الإجهاد من شد إلى ضغط يؤدي إلى تغير إشارة الاستقطاب .

لقد رأينا أن الإجهاد الميكانيكي يتمثل بكمية ممتدة من الرتبة الثانية، تحتوى على تسعة مركبات؛ وأن الاستقطاب يتمثل بمتوجه ذي ثلات مركبات؛ وعلى ذلك فإن المعادلة (2-41) يمكن كتابتها بالنسبة للبلورات اللايزوتروبية على النحو التالي :

$$\begin{aligned}
 P_1 &= d_{111} T_{11} + d_{112} T_{12} + d_{113} T_{13} + \\
 &+ d_{121} T_{21} + d_{122} T_{22} + d_{123} T_{23} + \\
 &+ d_{131} T_{31} + d_{132} T_{32} + d_{133} T_{33}
 \end{aligned} \tag{2-42}$$

حيث  $d_{ijk}$  هي معاملات البيزو كهربية. ويمكننا كتابة معادلتي  $P_2$  و  $P_3$  بنفس الطريقة وعند دمج المعادلات الثلاثة معاً نجد أن:

$$P_i = d_{ijk} T_{jk} \tag{2-43}$$

حيث تتراوح  $i, j, k$  من 1 إلى 3.

يلاحظ أن المعاملات  $d_{ijk}$  يمثلها ممتد من الرتبة الثالثة.

إذا افترضنا - مثلاً - أن إجهاد شد أحد المحور  $T_{11}$  قد طبق على بلورة بيزوكهربية، فتكون النتيجة تكون استقطاب يعطي بالعلاقات:

$$P_1 = d_{111} T_{11}, \quad P_2 = d_{211} T_{11}, \quad P_3 = d_{311} T_{11}$$

فإذا استطعنا قياس  $P_1, P_2, P_3$  لا يمكن تعين  $d_{111}, d_{211}, d_{311}$ .  
تحتوي الكمية الممتد من الرتبة الثالثة على ثمانية عشرة مركبة. إذا اعتبرنا أن ممتد الإجهاد متماثل؛ وقانون تحويلها من مجموعة محاور إلى مجموعة أخرى هو:

$$d_{ijk} = a_{il} a_{jm} a_{kn} d_{lmn} \tag{2-44}$$

وأحياناً نلجأ إلى استبدال الأرقام الثلاثة التي تلحق بالمعاملات بأسلوب المصفوفات على النحو التالي:

أسلوب الممتد 21, 12 13, 31 13, 32 33 22 11

أسلوب المصفوفة 6 5 4 3 2 1

وعندئذ يصبح ممتد الإجهاد على الصورة التالية:

$$\begin{bmatrix} T_{11} & T_{12} & T_{31} \\ T_{12} & T_{22} & T_{23} \\ T_{31} & T_{23} & T_{33} \end{bmatrix} \rightarrow \begin{bmatrix} T_1 & T_6 & T_5 \\ T_6 & T_2 & T_4 \\ T_5 & T_4 & T_3 \end{bmatrix}$$

أما متى المعاملات البيزو كهربية فيكتب هكذا:

$$\begin{pmatrix} d_{11} & d_{12} & d_{13} & d_{14} & d_{15} & d_{16} \\ d_{21} & d_{22} & d_{23} & d_{24} & d_{25} & d_{26} \\ d_{31} & d_{32} & d_{33} & d_{34} & d_{35} & d_{36} \end{pmatrix}$$

### ٧-٣-٢ الظاهرة البيزو كهربية العكسية

عند تطبيق مجال كهربائي على بلورة بيزو كهربية فإن أبعادها تتغير تغيرا طفيفا فيما يسمى بالظاهرة البيزو كهربية العكسية. وقد ثبت أن هناك علاقة خطية بين المجال الكهربائي  $E_i$  ومركيبات متعد الانفعال  $S_{ij}$ . . ومن المثير أن المعاملات التي تربط بين المجال والانفعال في هذا الأثر هي نفس المعاملات البيزو كهربية التي مرت بها في الظاهرة المباشرة ولكن تذكر، فإن الأثر المباشر يوصف بالعلاقة:

$$P_i = d_{ijk} T_{jk}$$

أما الأثر العكسي فيبدو على الصورة:

$$S_{jk} = d_{ijk} E_i$$

وقد نجم الأثرين في معادلة واحدة هكذا:

		$S_1$	$S_2$	$S_3$	$S_4$	$S_5$	$S_6$
	$\downarrow$	$T_1$	$T_2$	$T_3$	$T_4$	$T_5$	$T_6$
$E_1$	$P_1$	$d_{11}$	$d_{12}$	$d_{13}$	$d_{14}$	$d_{15}$	$d_{16}$
$E_2$	$P_2$	$d_{21}$	$d_{22}$	$d_{23}$	$d_{24}$	$d_{25}$	$d_{26}$
$E_3$	$P_3$	$d_{31}$	$d_{32}$	$d_{33}$	$d_{34}$	$d_{35}$	$d_{36}$

أى أن لدينا 18 معالما منها 15 معالما مستقلا نظرا للتماثل  $d_{ijk} = d_{ikj}$ .  
وكما يقلص تماثل الخاصية من عدد المعاملات المستقلة فإن تماثل البلورة يؤدى إلى تقليل آخر لعدد المعاملات المستقلة. ومن أهم نتائج هذا أن البلورات التي لها مركز تماثل لا تتجلى فيها ظاهرة البيزو كهربية. ولنأخذ مثالا على هذه العمليات من بلورة الكوارتز يميني اليد حيث يؤثر تماثل البلورة فيختصر ممتدة المعاملات البيزو كهربية ليصبح:

$$\begin{pmatrix} -2.3 & 2.3 & 0 & -0.67 & 0 & 0 \\ 0 & 0 & 0 & 0 & 0.67 & 4.6 \\ 0 & 0 & 0 & 0 & 0 & 0 \end{pmatrix} \times 10^{-12} \text{ MKS units}$$

### مثال عددي

هب أن إجهاد ضغط مقداره  $1 \text{ kg/cm}^2$  (أو  $9.81 \times 10^4 \text{ N/m}^2$ ) قد طبق باتجاه المحور الثنائي لبلورة كوارتز يمينية اليد، فيكون الاستقطاب الناتج هو:

$$P_1 = d_{11} T_1 (-2.3 \times 10^{-12}) \times (-9.81 \times 10^4)$$

$$= 2.3 \times 10^{-7} \text{ Coul m}^{-2}$$

أما إذا طبق على نفس البلورة مجال كهربائي مقداره  $100 \text{ V/cm}$  (أو  $10^4 \text{ V/m}$ ) باتجاه المحور الثنائي  $x_1$  فإن الانفعال الناشئ بامتداد هذا المحور سيكون انكماسيا ويعطى بالعلاقة:

$$S_1 = d_{11} E_1 = -2.3 \times 10^{-12} \times 10^4 = -2.3 \times 10^{-8}$$

أى أن هذا المجال سينشئ استطالة بامتداد  $x_2$  وقصا حول  $x_1$ :

$$S_2 = d_{12} E_1 = -d_{11} E_1 = 2.3 \times 10^{-8}$$

$$S_4 = d^{14} E_1 = -0.67 \times 10^{-8}$$

### ٨-٣-٢ الخواص البصرية للبلورات

يختلف سلوك البلورات عند مرور الضوء من خلالها تبعاً لتماثلها. ومن أهم الظواهر المرتبطة بهذا السلوك ظاهرة الانكسار المزدوج Birefringence. وقد يكون هذا الانكسار المزدوج طبيعياً نتيجة كون البلورة لأيزوتروبية بطبعها، أو اصطناعياً نتيجة تطبيق مجال خارجي على البلورة. فالمجال الكهربائي يؤدى إلى الظاهرة الكهربائية، أما المجال المغناطيسي فيؤدي إلى حدوث ظاهرة فارادي.

وتحتاج بعض البلورات بخواص بصرية أخرى كالنشاط البصري، حيث تقوم البلورة بإدارة مستوى استقطاب الضوء المار خلالها.

وقد اعتبر المجسم المثل لغير معاملات الانكسار مع الاتجاهات أساساً لتصنيف البلورات من حيث خواصها البصرية كما يلى:

#### ١. الأجسام الأيزوتروبية - موحدة الخواص

تحدد الخواص العزلية في الأجسام الأيزوتروبية عند الترددات العالية بالعلاقة:

$$\mathbf{D} = k_0 \mathbf{K} \mathbf{E} \quad \text{أو} \quad \mathbf{D} = k \mathbf{E} \quad (2-45)$$

حيث  $k$  سماحية الجسم و  $k_0$  سماحية الفراغ،  $K$  هو ثابت العازل، وإذا اعتبرنا أن الإنفاذية المغناطيسية النسبية تساوى الوحدة فإن معادلات ماكسويل تؤول إلى أن سرعة انتشار الموجات الكهرومغناطيسية خلال الوسط هي:

$$v = \frac{c}{\sqrt{K}} \quad (2-46)$$

حيث  $c$  هي سرعة تلك الموجات في الفراغ، أما معامل الانكسار  $n$  فهو:

$$n = \sqrt{K} \quad (2-47)$$

## بـ. الأجسام اللاأيزوتropicية - غير موحدة الخواص

إذا رجعنا إلى المعادلين (2-37)، (2-38) فإننا ندرك على الفور أن العلاقة (3-45) يجب أن تستبدل بها العلاقة الآتية في حالة الأجسام اللاأيزوتropicية:

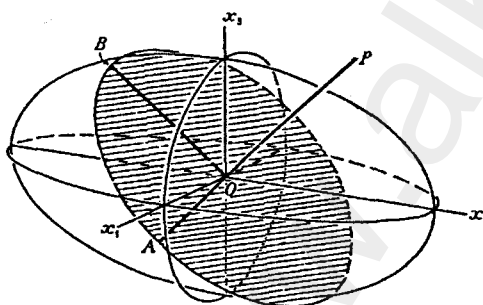
$$D_i = k_0 K_{ij} E_j \quad \text{أو} \quad D_i = k_{ij} E_j \quad (2-48)$$

ونعلم من مقرر البصريات الفيزيائية أن موجات الضوء تنقسم داخل البلورة اللاأيزوتropicية إلى نوعين من الموجات وكل منها سرعة خاصة به، كما أن كلا النوعين مستقطباً استوائياً. وتسمى النسبة  $n = c/v$  لكل موجة معامل إنكسار تلك الموجة. ويمكن تшиيل معاملات إنكسار الموجتين والعمود الموجي المشترك لهما بمجسم قطع ناقص. ولو كانت المحاور  $X_1, X_2, X_3$  هي المحاور الرئيسية لمتمثّل ثابت العازل (أو السماحية) فإن معادلة المجسم تكون:

$$\frac{x_1}{n_1^2} + \frac{x_2}{n_2^2} + \frac{x_3}{n_3^2} = 1 \quad (2-49)$$

حيث  $n_1 = \sqrt{K_1}$  ،  $n_2 = \sqrt{K_2}$  ،  $n_3 = \sqrt{K_3}$  ،  $K_1, K_2, K_3$  هي ثوابت العازل الرئيسية.

ويبيّن الشكل (٨-٢) المجسم المذكور أعلاه والذي يتمتع بالخاصية الآتية:

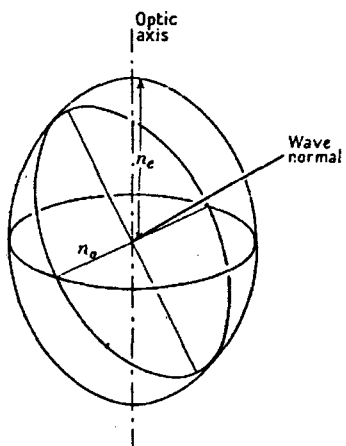


شكل (٨-٢)

مجسم معاملات الإنكسار الذي يعطي قيم معامل الإنكسار واتجاهات تدبّب  $D$  للموجتين المستقطبتين استوائيًا

هبّ أننا رسمنا خطًا مستقيماً  $OP$  يمرّ ب نقطة الأصل وفي أي اتجاه، ثم لتخيل مقطعًا مركريّاً متعمداً مع ذلك الخط. ولا بد أن يكون هذا المقطع قطعاً ناقصاً. تنتشر جبهتان موجيتان عمودياً على  $OP$

خلال البلورة، ويكون معاملان إنكسارهما متساوين لأنصاف محاور ذلك القطع الناقص وهما  $OA$  و  $OB$ . أما متجه الإزاحة الكهربائية  $D$  فيتذبذب في الموجة المستقطبة استوائيًا والتي معامل إنكسارها  $OA$  بحيث يكون موازياً للخط  $OA$ .



شكل (٩-٢)

**جسم معاملات الانكسار  
لبلورة أحادية المحور (موجبة)**

وبالمثل يتذبذب متوجه الإزاحة في الموجة التي معامل انكسارها يساوى  $OB$  بحيث يكون موازيا للخط  $OB$ . وتسمى  $n_1, n_2, n_3$  معاملات الانكسار الرئيسية، جدير باللحظة أن معاملات الانكسار نفسها ليست كميات ممتدة على الرغم من أن تغيرها مع الاتجاهات يتحدد كما رأينا من ثابت العزل، الذي هو كمية ممتدة.

ولا بد أن ينعكس تماثل البلورة على مجسم معاملات الانكسار حيث يكون الجسم الخاص ببلورة مكعبية على هيئة كرة. وبديهي أن كل مقاطع الكرة المركزية هي دوائر ولذلك لا تظهر مثل هذه البلورات انكسارات مزدوجة.

أما في حالة البلورات السادسية والرابعة والثلاثية فإن الجسم لا بد وأن يتخذ شكل مجسم قطع ناقص Ellipsoid دورانی حول محور التماثيل الرئيسي (الشكل ٩-٢)؛ فإذا كان هذا المحور هو  $x_3$  فإن المعادلة تصبح:

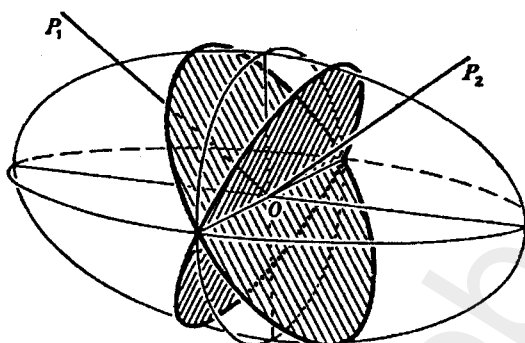
$$\frac{x_1^2}{n_0^2} + \frac{x_2^2}{n_0^2} + \frac{x_3^2}{n_e^2} = 1$$

وهناك قطع واحد متعامد مع المحور الرئيسي وهو على شكل دائرة نصف قطرها  $n_0$ ، ومن ثم لا يظهر به انكسار مزدوج عندما يكون العمود الموجي في اتجاه المحور الرئيسي، الذي يسمى في هذه الحالة المحور البصري.

ويطلق على هذه البلورات مصطلح أحادية المحور، كما يسمى  $n_0$  معامل الانكسار الاعتيادي،  $n_e$  معامل الانكسار غير الاعتيادي وإذا كان  $(n_0 - n_e)$  موجبا وصفت البلورة بأنها موجبة، أما إذا كان سالبا فالبلورة سالبة.

بقيت مجموعات بلورية ثلاثة هي المعينة القائمة وأحادية الميل وثلاثية الميل، وهذه يمكن تمثيلها بمجسم قطع ناقص ثلاثي المحاور يتمتع بقطفين دائرين

(الشكل ٢ - ١)؛ ولذلك يكون هناك اتجاهان مفضلان للعمود الموجي لا يحدث في اتجاههما انكسار مزدوج وهذا الاتجاهان هما المحوران البصريان الأوليان أو ببساطة المحوران البصريان.. أما البلورة فتكون ثنائية المحور.



شكل (١٠-٢)  
يوضح الشكل المقطعين الدائريين والمحورين البصريين  
 $OP_2, OP_1$  لبلورة ثنائية المحور



## مسائل وأسئلة على الفصل الثاني

- ١ - عند استخدام مجموعة المحاور  $x_1, x_2, x_3$  فإن متد الموصولة الكهربائية لبلورة ما في إطار هذه المحاور يكون على النحو التالي:

$$\sigma_{ij} = \begin{bmatrix} 25 \times 10^7 & 0 & 0 \\ 0 & 7 \times 10^7 & -3\sqrt{3} \times 10^7 \\ 0 & -3\sqrt{3} \times 10^7 & 13 \times 10^7 \end{bmatrix}$$

بوحدات  $\text{Ohm}^{-1} \text{m}^{-1}$ . وعند تحويل هذه المحاور إلى مجموعة محاور جديدة  $x'_1, x'_2, x'_3$  معطاة بالزوايا:

$$x'_1 O x_1 = 0, \quad x'_2 O x_2 = 30^\circ, \\ x'_2 O x_3 = 60^\circ, \quad x'_3 O x_3 = 30^\circ$$

عليك عمل جدول على غرار الجدول (١-٢) وتأكد من أن مجموع مربعات  $z_{ij}$  في كل صف وكل عمود يساوى ١.

- ٢ - احسب قيم المركبات  $z_{ij}^5$  واكتب تعليقك على التائج.  
 ٣ - إذا طبق مجال مقداره  $1 \text{ Volt/m}$  في الاتجاه  $OP$  فما هي المركبات  $E_i$  باتجاه المحاور المختلفة  $x_i$ ، وما هي قيم كثافة التيار  $I_j$ .

- ٤ - يبلغ حجم بلورة صغيرة  $1 \text{ mm}^3$  والقيمة الرئيسية للقابلية المغناطيسية هي:

$$\chi_1 = 1.0 \times 10^{-5}, \quad \chi_2 = 0.6 \times 10^{-5}, \quad \chi_3 = 2.5 \times 10^{-5}$$

وتوجد البلورة في مجال مغناطيسي غير منتظم إستاتيكي. وكانت مركبات المجال وبعض قيم ميلها باتجاه المحاور الرئيسية هي:

$$H_1 = 1.0 \times 10^6 \quad , \quad H_2 = 0.5 \times 10^6 \quad , \quad H_3 = 2.0 \times 10^6 \quad ,$$

$$\frac{\partial H_1}{\partial x_1} = 1.0 \times 10^8 \quad , \quad \frac{\partial H_1}{\partial x_2} = 1.2 \times 10^8 \quad , \quad \frac{\partial H_1}{\partial x_3} = 0.5 \times 10^8 \quad ,$$

$$\frac{\partial H_2}{\partial x_2} = 0.8 \times 10^8 \quad , \quad \frac{\partial H_2}{\partial x_3} = 2.0 \times 10^8$$

احسب مقدار واتجاه القوة المحصلة والازدواج المؤثرين على البلورة.

- ٥ - ما هو الفرق بين الممتد الذى يصف خاصية بلورية وممتد الإجهاد أو الانفعال؟
- ٦ - ما هو المقصود بالظاهرة البيزوكهربية المباشرة والعكسية؟
- ٧ - ضع تقسيما للبلورات من حيث خواصها البصرية.



## **الباب الثاني**

# **الأشعة السينية وذريعة الحيوط**

**الفصل الثالث:**

**الأشعة السينية**

**الفصل الرابع:**

**حيود الأشعة السينية من البلورات**

**الفصل الخامس:**

**طرق تسجيل شكل الحيود**

# الأشعة السينية

## ١-٣ توليد الأشعة السينية (أشعة إكس)

اكتشفت الأشعة السينية عام ١٨٩٥ على أيدي رونتجن وتأكدت طبيعتها الموجية عام ١٩١٣ عندما أجريت أولى تجارب الحيود التي اقترتها «فون لاوا». ثم بينت التجارب اللاحقة أن الأشعة السينية موجات مستعرضة وأنها موجات كهرومغناطيسية.

يتراوح الطول الموجي للأشعة السينية بين  $0.1 \text{ \AA}$  (وهو الحد الأدنى لأنشعة جاما) و  $100 \text{ \AA}$  (وهو الحد الأقصى للموجات فوق البنفسجية). ويناظر هذا المدى تراوح طاقتها من  $0.1 \text{ keV}$  إلى  $100 \text{ keV}$ .

وتحسب طاقة الفوتون من الأشعة السينية (بوحدات الفولت الإلكتروني  $eV$ ) والذي طول موجته  $\lambda$  (بالأنجشتروم  $\text{\AA}$ ) من العلاقة :

$$E = \frac{12400}{\lambda}$$

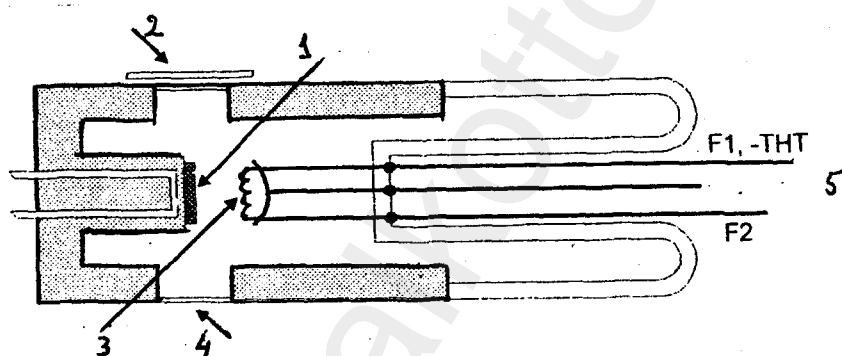
$$\left( 1 \text{ ev} = 1.6 \times 10^{-19} \text{ Joule}, E = h v = \frac{hc}{\lambda} \right)$$

ويتراوح الطول الموجي للأشعة السينية المستخدمة في مجال دراسة التركيب البلوري بين  $0.5 \text{ \AA}$  و  $2.5 \text{ \AA}$ .

وتنشأ الأشعة السينية عندما يصطدم إلكترون تم تعجيله في مجال كهربائي بهدف مصنع من مادة فلزية ويسمى هذا الهدف المصعد. ولا تحول كل طاقة الإلكترون المعجل إلى طاقة إشعاعية -لأسباب كثيرة- ولذلك اصطلاح على تعريف مقدار يسمى بكماءة توليد الأشعة السينية (η).

$$\frac{\text{طاقة الفوتون}}{\text{طاقة الإلكترون}} = \eta = 1.1 \times 10^{-9} Z.v$$

حيث Z العدد الذري للمصعد و V الجهد الكهربائي المستخدم في تعجيل الإلكترونات مقاساً بالفولت. وقد تصل كفاءة مصعد التنجستن، مثلاً، إلى نحو 0.8% إذا كان يعمل عند جهد مقداره 100 kV.



شكل (١-٣)

#### أنبوبة حديثة لإنتاج الأشعة السينية

١- مصعد. ٢- مرشح ٣- فتيل ٤- نافذة من البريليوم ٥- التجميع في بؤرة

يبي الشكل (١-٣) أنبوبة حديثة لإنتاج الأشعة السينية. بالأنبوبة مصعد مصنوع من الصلب وبها أربع نوافذ مصنوعة من عنصر البريليوم الذي يعتبر شفافاً بالنسبة للأشعة السينية. ويتصل المصعد بكتلة من النحاس تتخللها أنابيب دقيقة يمر بها ماء للتبريد.

وتنتهي الأنبوية بعنق زجاجي ثبت بقاعه التوصيلات الكهربائية. ويحفظ بالأنبوية تحت تفريغ عال لستجنب حدوث أكسدة للأجزاء المعدنية المعرضة لارتفاع درجة حرارتها، وحتى لا يحدث انهيار كهربائي بين عناصرها التي بينها فرق مرتفع للجهد.

من أهم العناصر داخل الأنبوية أيضاً قليل من التنجستن يتم تسخينه بتيار كهربائي متعدد، ويكتنأ تغيير شدة التيار للحصول على درجة حرارة تسمح بالحصول على مستوى معين من الانبعاث الإلكتروني الذي يحدد بدوره مستوى تيار الأنبوية.

ودائماً ما يكون جهد القليل سالباً بالنسبة لجهد المصعد الذي يظل عند جهد الأرض (أى صفر). وقد اختير هذا النظام من أجل سلامة الأنبوية وكفاءة عملها.

يتم تركيز الشعاع الإلكتروني بواسطة غطاء معدني، فيسقط الشعاع على منطقة مستطيلة الشكل وصغيرة المساحة من الهدف، كما أن هناك مجموعات تتيح الحصول على شعاع من الأشعة السينية ذي شكل وهندسة محددين لدى خروجه من الأنبوية.

وتراوح القدرة الكهربائية المستهلكة في أنبوية معتادة بين 1.5 إلى 2 كيلووات.

ويلاحظ أن معظم هذه القدرة يتحول إلى طاقة حرارية قد تؤدي إلى انصهار مادة المصعد وتدميره، ولهذا كان من الواجب إدارة المصعد حتى تتوزع الحرارة عليه.

وبعد خروج الأشعة السينية من نوافذ البريليوم، يأتي دور المشحثات اللازمة لاستبعاد بعض الأطوال الموجية والسماح للبعض الآخر.

### **١-١-٣ مصادر الطاقة الكهربائية:**

من المعروف أن أنبوبة الأشعة السينية تقوم بتقويم الجهد الكهربائي المتعدد - مثلما تفعل أجهزة التقويم الأخرى - إلا أن دواعي الاستقرار في التشغيل تجعلنا نمد الأنبوية بتيار كهربائي المستمر الذي يمكن التحكم فيه لتوفير جهد في المدى من . 30 kv حتى 10 kv

أما تيار الأنبوبة ذاته فيتراوح بين بضع وحدات من الميللى أمبير وحتى 60 ميللى أمبير.

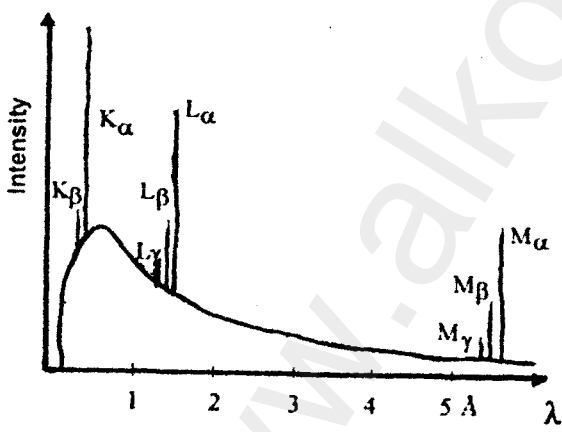
يعتمد استهلاك الطاقة الكهربائية على مقدار التيار المار خلال الأنبوة. ولابد من عزل المحولات الكهربائية المستعملة وكذا أسلاك التوصيل عزلاً جيداً حتى يتم التعامل بأمان تام مع الجهد الكهربائية المرتفعة.

وستستخدم بعض المراكيز المتقدمة والتي تخصصت في إنتاج حزم قوية للغاية من الأشعة السينية، ما يسمى بإشعاع السينكروترون الذي يتولد أثناء حركة الإلكترونات بسرعات هائلة تقترب من سرعة الضوء في حلقات التخزين، ثم يتلو ذلك انطلاق الإشعاع بشكل مماثل لمسار الإلكترونات. ويحمل هذا الإشعاع جميع الأطوال الموجية. وقد تصل شدة الأشعة السينية في هذه الحالة من  $10^4$  إلى  $10^5$  مرة قدر الشدة الناتجة من المصادر التقليدية للأشعة السينية.

### ٢-١-٣ طيف الأشعة الصادرة من المصعد

يصور الشكل (٢-٣)

الطيف المنبعث من مصعد من التجستن عندما يكون فرق الجهد الكهربائي بينه وبين المهبط نحو 100 kv يتكون هذا الانبعاث من طيف مستمر يتراكب معه طيف خطى متمثل في الخطوط  $K_\alpha$ ,  $K_\beta$ ,  $L_\alpha$ ,  $L_\beta$ ,  $M_\alpha$ ,  $M_\beta$ ,  $M_\gamma$ .



شكل (٢-٣) طيف الأشعة السينية

على شكل مجموعات أو سلاسل K, L, M, إلخ. وقد تبين من الفحص الدقيق لهذه الخطوط أنها ذات تركيب معقد، وأن شدتها أكبر بكثير من شدة الطيف المستمر بما يزيد عن مائة ضعف في حالة الخط  $K_\alpha$  الصادر من مصعد نحاسي.

ويتميز الطيف المستمر بانقطاع مفاجئ عند الطرف الأدنى للأطوال الموجية. وستتناول كلا من النوعين: الطيف المستمر والطيف الخطى بالتفصيل كما يلى:

### ٣-١-٣ الطيف المستمر:

من الطريق أن الإشعاع المصاحب للطيف المستمر قد أطلق عليه إشعاع الفرملة. ومصدر هذا النوع من الأشعة الكهرومغناطيسية هو ما يحدث للإلكترونات المكونة للحزمة الساقطة على المصعد، حيث إنها تعانى من حدوث تباطؤ مفاجئ نتيجة تناقضها مع الإلكترونات الهدف أى المصعد. أما الانقطاع المفاجئ للطيف المستمر عند الأطوال الموجية الصغيرة، فهو راجع إلى التحول الكامل لطاقة الإلكترون الساقط إلى فوتونات الأشعة السينية المنبعثة. ويمكننا تلخيص هذا الموقف بالمعادلات الآتية:

$$W = e.V = h\nu_{\max} = \frac{hc}{\lambda_{\min}}$$

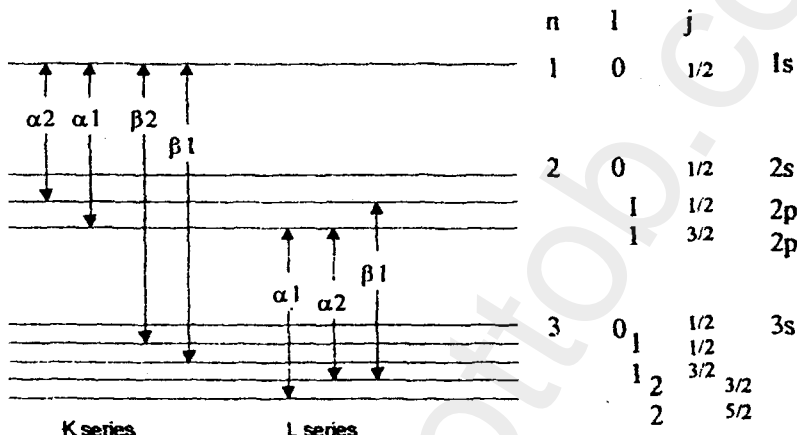
$$\lambda_{\min} \text{ Å} = \frac{h.c}{e.V} = \frac{12394}{V(\text{volt})}$$

وحيث إن كفاءة الأنبوة فى إنتاج إشعاع مستمر (أبيض) تعتمد على العدد الذرى لمادة المصعد؛ لذا يستخدم -عادة- مصعد من عنصر ذى عدد ذرى كبير، وبطبيق عليه جهد كهربائى مرتفع.

### ٤-١-٣ الطيف المميز:

يطلق هذا الوصف على الطيف الخطى لأنه يميز مادة المصعد وهو ناتج عن انتقال الإلكترونات بين مستويات الطاقة الذرية لمادة المصعد. ويكون لفوتوны الإشعاع المستمر ما يكفى من الطاقة لجعل الإلكترونات التى تشغل مدارات داخلية للذرات أن ترتفع من حيث الطاقة لتشغل مستويات أعلى. ويحدث بعد ذلك أن ترتد تلك الإلكترونات إلى الحالة المستقرة، ويصاحب ذلك انبعاث ناتج من الانتقالات بين مستويات الطاقة المختلفة.

ويحدث أن يتلقى إلكترون في القشرة K قدرًا من الطاقة يجعله يتحرر من الذرة، ويأتي هذا القدر من الطاقة من الإشعاع المستمر. وعندما تفقد الذرة إلكترونا من القشرة K، أى أنها تصبح مؤينة، فليس من الضروري أن تقوم بإصدار فوتون. والطاقة المنطلقة عند انتقال إلكترون خارجي إلى القشرة K، يمكن أن تستخدم في إخراج إلكترون آخر، وتسمى هذه العملية انبثاث «أوجيه».



شكل (٣-٣)  
مخطط مستويات الطاقة والأرقام الكمية المصاحبة لها

وهناك تفسير بسيط للطيف الخطي للأشعة السينية في إطار قوانين الفيزياء الذرية، كما بين الشكل (٣-٣) مخططًا لمستويات الطاقة والأرقام الكمية المصاحبة لها والتي يمكن تلخيصها كما يلى:

- ١ - قيم العدد الكمي الأساسي ( $n$ ) هي التي تحدد القشرات M, L, K إلخ.
- ٢ - قيم العدد الكمي المداري الزاوي  $\ell$  هي التي تحدد المستويات d, p, s إلخ. وتتراوح قيم  $\ell$  (بالعلاقة  $-1 \leq \ell \leq 0$ ) من الصفر حتى  $(n-1)$ .
- ٣ - يتخذ العدد الكمي المغناطيسي  $m$  القيم  $-\ell \leq m \leq \ell$ .
- ٤ - يتخذ العدد الكمي المغزلي  $s$  القيم  $\pm \frac{1}{2}$ .
- ٥ - يتخذ العدد الكمي الزاوي الكلي  $j = \ell + s$  القيم  $j = 1, 2, 3, \dots$

إذا تأينت القشرة K (انتزع منها إلكترون) فإن الذرة تصبح في حالة ذات طاقة مقدارها  $E_K$ ، أما الموضع الشاغر لخروج الإلكترون فيتمملؤه بواسطة إلكترون قادم من إحدى القشرات الخارجية للذرة.

وتكتسب السلسلة اسمها من مستوى القشرة التي يتوجه إليها الإلكترون، فالانتقال  $K \rightarrow L$  يكتب  $K_\alpha \rightarrow L$  والانتقال  $K \rightarrow M$  يكتب  $K_\beta \rightarrow M$ . وهكذا.

جدير بالذكر أن نفس مستوى الطاقة قد يحتوى على طاقات مدارية متقاربة جداً وهذا ما يؤدى إلى ظهور خطوط متعددة multiplets يميزها فرق طفيف في الطول الموجي، فمثلاً :

$$K_{\alpha_1} \Rightarrow K - L_3 , \quad K_{\alpha_2} \Rightarrow K - L_2 , \quad K_{\beta_1} \Rightarrow K - M_3$$

$$K_{\beta_2}^I \Rightarrow K - N_3 , \quad K_{\beta_2}^{II} \Rightarrow K - N_2 , \quad \dots$$

وتحدد قواعد الانتقال في الفيزياء الذرية الانتقالات المسموح بها بين المستويات (أى التي تزيد احتمال حدوثها عن الصفر) وتتلخص تلك القواعد في ما يلى :

$$\Delta n \geq 1 , \quad \Delta \ell = \pm 1 , \quad \Delta j = 0, \pm 1$$

وتتحدد نهاية سلسلة طيفية ما بالحالة التي يقفز إليها إلكترون حر إلى المستوى المؤين. ويكون الطول الموجي عندئذ هو :

$$\lambda_K = \frac{hc}{E_K}$$

ولكى تنبئ سلسلة طيفية ما  $S$  فلابد أن تكون طاقة الإلكترونات الساقطة على الهدف أكبر من حد معين أو أن يكون فرق جهد تعجيل الإلكترونات أكبر من حد التأين الخاص بالمستوى  $S$ .

وتناسب شدة خط طيفي ما مع احتمال الانتقال الإلكتروني من المستوى الابتدائي إلى المستوى النهائي، والخطان  $K_{\alpha_1}$ ،  $K_{\alpha_2}$  لهما تقريرياً نفس الطاقة الابتدائية، ولكن مستوى إشغال المستوى  $2p^{5/2}$  (أربعة إلكترونات) هو ضعف مستوى الإشغال في المستوى  $2p^{3/2}$  ولذلك فإن شدة الخط  $K_{\alpha_1}$  ضعف شدة الخط  $K_{\alpha_2}$  تقريرياً إذا كان العدد الذري  $Z$  يقع ما بين 20، 50.

## جدول (١-٣)

المقصود (الهدف)		الطول الموجى Å			الجهد المشرفي V	
	Z	$K_{\alpha_2} - K_{\alpha_1}$	$K_{\beta}$	K limit	/volt	
Chromium	الكروم	24	2.2935 - 2.2896	2.0848	2.070	5950
Iron	الحديد	26	1.9399 - 1.9360	1.7565	1.743	7100
Cobalt	الكوبات	27	1.7928 - 1.7889	1.6208	1.608	7700
Nickel	nickel	28	1.6616 - 1.6578	1.5001	1.488	8300
Copper	النحاس	29	1.5443 - 1.5406	1.3922	1.380	9000
Molybdenum	الموليبدنوم	42	0.7135 - 0.7093	0.6323	0.6198	20000
Tungsten	التستن	74	0.2138 - 0.2090	0.1844	0.1783	69500

يبين الجدول (١-٣) الأطوال الموجية المنبعثة من أكثر الأهداف شيوعا في مجال علم البلورات بالأشعة السينية (يعتبر الطول الموجي للإشعاع  $\lambda_{Cu K\alpha_1}$  من مصعد نحاسي عياريا ومقداره  $1.5405974 \text{ \AA}$ ). .

ومن المعروف أن خطوط انبعاث الأشعة السينية لا تتأثر تقريبا بالروابط الكيميائية بين العناصر؛ وذلك لأن استثارة الإلكترونات تتم في القشرات الداخلية للذرات ولا يعتمد تردد تلك الخطوط إلا على العدد الذري Z للذرة طبقا لقانون

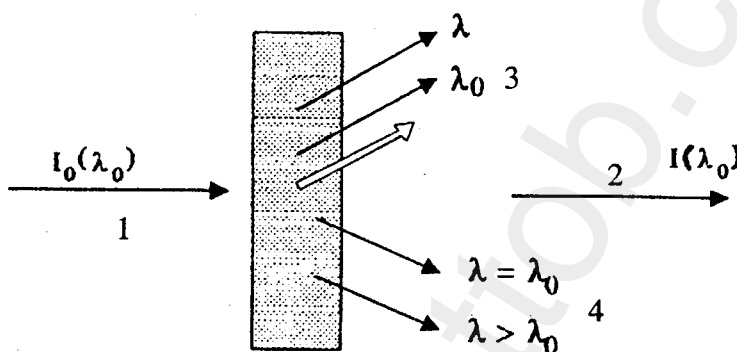
$$\sqrt{v} = A (Z - B) \quad \text{موزلى} \text{ التجربى:}$$

حيث المقاديران A و B ثابتان يميزان السلسلة الطيفية.

يتم اختيار الأطوال الموجية عادة طبقا لشواشب الخلية البلورية للمركب المراد دراسته وكذلك حسب العناصر الكيميائية الموجودة في المركب. فلا يوصى - مثلا، باستخدام مصعد من النحاس عند دراسة مركب يحتوى على الحديد؛ لأن طاقة فوتونات  $Cu K\alpha$  من الكبر بحيث يمكنها تأمين المستوى K للحديد فيقوم الأخير بإصدار إشعاعه المميز مما يزيد من شدة إشعاع الطيف الأبيض (المستمر).

## ٢-٣ امتصاص الأشعة السينية:

تختص الأشعة السينية في الأجسام المختلفة بسبب ظاهرتين: التشتت والاثر الكهروضوئي، وإن كانت تأثيرات التشتت ضئيلة بشكل أو بآخر إذا قورنت بالاثر الكهروضوئي. ويشمل التشتت نوعين هما التشتت المترابط الذي لا يصاحبه تغير في الطول الموجي (وهو يعرف بتشتت طومسون) والتشتت غير المترابط (ويسمى تشتت كومتون) (انظر الشكل ٤-٣).



شكل (٤-٣) امتصاص الأشعة السينية

- ١- حزمة ساقطة
- ٢- إلكترونات أوجيه الثانوية
- ٣- الآثر الكهروضوئي
- ٤- التشتت

## ١-٢-٣ معامل الامتصاص الكتلي:

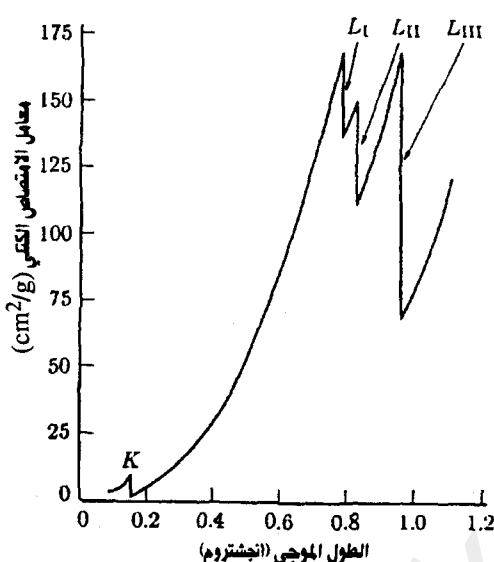
هب أن حزمة أشعة أحادية اللون ذات مقطع مستعرض مساحته الوحدة، تمر من خلال حائل متتجانس. تفقد هذه الحزمة طاقة مقدارها  $dI$  وهو يتناسب مع كتلة وحدة المساحات من هذا الحائل ( $dp$ )، فإذا كانت شدة الأشعة الساقطة  $I_0$  فإن:

$$dI = -\mu I dp$$

حيث  $\mu$  هو معامل الامتصاص الكتلي للحائل. وبإجراء التكامل لهذه العلاقة نجد:

$$\frac{I}{I_0} = e^{-\mu p} = e^{-\mu \rho x}$$

حيث  $x$  هو سماكة الحائل و  $\rho$  كثافة مادته. و يعتمد معامل الامتصاص الكتلي على العدد الذري للعنصر والطول الموجي للأشعة. وقد وجد أن العلاقة بين معامل الامتصاص  $\mu$  والطول الموجي  $\lambda$  تظهر بعض التغيرات المفاجئة، وقد أعزى ذلك إلى الأثر الكهروضوئي، حيث يؤدى امتصاص الذرة لأحد الفوتونات إلى



شكل (٥-٣)

تغير  $\mu$  مع الطول الموجي في حالة  
حائل مصنوع من التنجستن

اقتلاع إلكترون منها، مما يؤدى إلى انبعاث إشعاع ثانوي (تسمى هذه الظاهرة «الفلورية»)، كما قد يكون مصحوباً بانبعاث إلكترونات أولية وإلكترونات ثانوية (الشكل ٥-٣).

ولكى تتأين قشرة ما، فلابد وأن تزيد طاقة الفوتون الأولى  $h\nu$  على طاقة ربط الإلكترون بذرته؛ أي أن قشرة ذرية ما ولتكن  $K$  لن تتأين إلا بإشعاع تردد  $v$  أكبر من  $v_K$  بحيث:

$$h\nu > h\nu_K = W_K = \frac{hc}{\lambda_K}$$

وعلى ذلك لابد أن يكون الطول الموجي أقل من:  $\lambda_K$  حيث:

$$\lambda_K \text{ Å} = \frac{hc}{eV_K} = \frac{12394}{V_K(\text{volt})}$$

وب مجرد أن يصبح الطول الموجي  $\lambda$  أقصر من  $\lambda_K$  فإن القشرة  $K$  تصبح معرضة للتتأين ويصل امتصاص الأشعة بسبب هذه القشرة إلى حده الأقصى، ثم يتضائل بعد ذلك كلما كبر الطول الموجي  $\lambda$ . وتتكرر نفس الظاهرة مع القشرة  $L$  وإن كانت السعة النسبية للتغيرات أقل.

ويتغير معامل الامتصاص الكتلي لعنصر ما في المناطق الواقعة بين التغيرات المفاجئة تبعاً لقانون يسمى قانون «براج - بيرس»:

$$\mu = C \cdot Z^3 \cdot \lambda^3$$

أى أن الامتصاص يزداد بزيادة العدد الذري للعنصر، حيث يكون امتصاص العناصر الخفيفة ضعيفاً، على عكس العناصر الثقيلة التي تتمتع بامتصاص قوى للأشعة السينية، ولا يتغير معامل الامتصاص مع العدد الذري بصورة منتظمة وإنما تتشوب العلاقة بعض الانقطاعات التي تعزى لنفس السبب السابق.

وإذا اعتربنا الخط  $K_{\alpha}$  للنحاس ( $\lambda = 1.542 \text{ \AA}$ )، مثلاً، فإن العناصر التي يكون عددها الذري مساوياً أو أقل من 27 (وهو العدد الذري للكوبالت) سيناظرها طول موجي حرج  $\lambda_K$  أكبر من ( $\lambda_K \text{ Co} = 1.608 \text{ \AA}$ ).

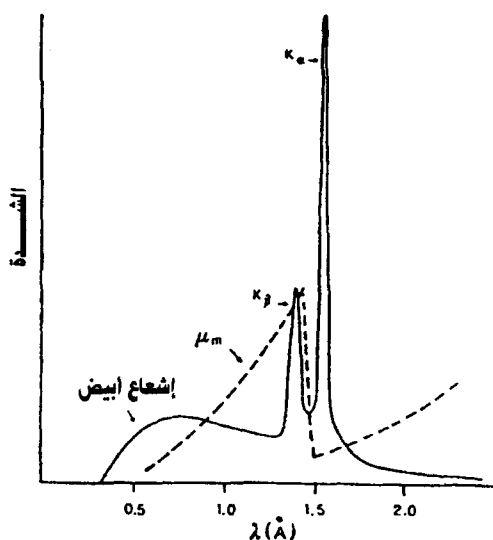
ويكون العكس صحيحاً بالنسبة للعناصر التي تلي الكوبالت إذ إن  $\lambda_K \text{ Ni} = 1.489 \text{ \AA}$ ، ويصبح تأين القشرة K عندئذ مستحيلًا. وبالنسبة لإشعاع  $K_{\alpha}$  فإن هناك انخفاضاً حاداً في معامل الامتصاص لما فيما بين الكوبالت والنikel.

### ٢-٢-٣ النوافذ والسواتر Windows and Screens

تصنع نوافذ أنابيب الأشعة السينية من مواد أعدادها الذرية منخفضة؛ لذا فهي ضعيفة الامتصاص أى أنها تنفذ الأشعة بسهولة. ولما كانت المواد العضوية غير قادرة عادة على الاحتفاظ بتغليف مناسب داخل أنبوبة الأشعة؛ لذا تم الاستعانة بعنصر البريليوم على الرغم من صعوبة تشغيله. أما الزجاج العادي فهو امتصاص مرتفع. أما الرصاص - بما له من قدرة عالية على الامتصاص - فهو من أكثر المواد التي يشيع استعمالها في صناعة السواتر المستخدمة للحماية من الإشعاع.. وهو يستخدم على هيئة صفائح معدنية أو كنوافذ من الزجاج الرصاصي.

### ٣-٢-٣ أجهزة الترشيح Filters

هناك بعض المواد التي يقع الانقطاع في معامل امتصاصها عند  $\lambda_K$  ولذلك فهي تتمتع بامتصاص قوى للأطوال الموجية الأقصر من  $\lambda_K$  ويقع الخط الثنائي  $K_{\alpha}$  قريباً جداً من الخط  $K_{\beta}$  (الشكل ٦-٣) والذي يتمتع بشدة نسبية مرتفعة. ويحدث



الشكل (٦-٣) تغير معامل الامتصاص مع الطول الموجي وكيفية اختيار المرشح

في حين يتبع المرشح استبعاد الخط  $K_\beta$  تقريرياً، إلا أنه غير قادر على إزالة الطيف المستمر (الأبيض)، كما أنه لا يفصل بين الخطين  $K_{\alpha_1}$ ،  $K_{\alpha_2}$ .

ويبين الجدول (٢-٣) أنواع المرشحات المستخدمة مع المصاعد الشائعة للتخلص من الخط  $K_\beta$ . وقد تم حساب السمك بحيث تصبح النسبة بين شدة  $K_\beta$  إلى  $K_\alpha$  نحو واحد في المائة. ومثال ذلك أن مصدع الكروم يستخدم له مرشح من القاناديوم وإن كان الحصول على صفيحة رقيقة للغاية منه يكاد يكون مستحيلاً؛ لذا يتم صنع المرشح من أكسيد القاناديوم المخلوط بمادة رابطة.

جدول (٢-٣)  
المرشحات المستخدمة مع أكثر المصاعد شيوعاً

عنصر المصعد	$K_\alpha/\text{\AA}$	المرشح		النفاذية % $K_\alpha$	النفاذية % $K_\beta$
		العنصر	$\mu_m$ السمك		
Cr	2.291	V	11	58	3
Fe	1.937	Mn	11	59	3
Co	1.791	Fe	12	57	3
Cu	1.542	Ni	15	52	2
Mo	0.710	Zr	81	44	1

أن تراكمات ظواهر الحيود الخاصة بالخط  $K_\alpha$  مع تلك الخاصة بالخط  $K_\beta$ ، وعندئذ يصبح من العسير تفسير أنماط الحيود الناتجة. وللتغلب على هذه المشكلة فإننا نلجأ إلى الاستفادة من حقيقة أن الطول الموجي للخط  $K_\beta$  أقصر من الطول الموجي للخط  $K_\alpha$ ، فإذا استخدم مرشح مصنوع من مادة تتضمن معظم شدة الخط  $K_\beta$  والقليل من  $K_\alpha$  حتى يصير لدينا حزمة ذات طاقة واحدة تقريباً. ومادة المرشح ذات انقطاع K بين الخطين  $K_\alpha$  و  $K_\beta$ . ويلاحظ أنه

### ٣-٣ كاشفات الأشعة السينية: (ذكرت بتوسيع في الفصل الخامس)

#### ١- الشاشة الفلورية:

من المعروف أن الأشعة السينية لا ترى بالعين إلا أنه أمكن جعلها تدرك بالعين وذلك بفضل «الظاهرة الفلورية». فعندما تسقط الأشعة السينية على مادة مثل كبريتيد الزنك فإن الأخيرة تصدر ضوءاً مرئياً. وكلما زادت شدة حزمة الأشعة السينية كان الضوء المنبعث من شاشة رسبت عليها تلك المادة أكثر سطوعاً. وقد كان هذه هو أساس نشأة علم الأشعة الطبي. ولا زالت مثل هذه الشاشات تستخدم لتحديد موقع حزم الأشعة أثناء عمليات ضبط الأجهزة.

#### ٢- الأغشية الفوتوغرافية:

استمر استخدام الأغشية (الأفلام) الفوتوغرافية للعديد من السنين كأدلة لتحديد موقع وشدة الخطوط في أنماط الحيوان وإن اتجه العمل في التقنيات الأحدث إلى نبذ هذه الطريقة.

وقد كانت المستحببات الفوتوغرافية المستخدمة ذات حبيبات كبيرة من مادة بروميد الفضة، فإذا وقع عليها فوتون من الأشعة السينية فإنه يحول أيون الفضة  $\text{Ag}^+$  إلى ذرة فضة متعادلة فت تكون صورة دائمة لنمط الحيوان في المستحلب. ثم تأتي بعد ذلك عملية إظهار الصورة حيث تتحول كل أيونات الفضة  $\text{Ag}^+$  في حبيبات المستحلب إلى ذرات فضة  $\text{Ag}^0$ . ويتم إظهار القليل من الحبيبات غير المنشطة تلقائياً وفي نفس الوقت مما يجعل الصورة ضبابية، ثم تزال الحبيبات غير الظاهرة بواسطة المادة المشببة وفي حالة الشدة المتوسطة للأشعة فإن درجة اعتام الفيلم تكون متناسبة مع زمن التعرض للأشعة. على أن قياسات الشدة تفتقر إلى الدقة حتى مع مراعاة أقصى درجات العناية أثناء العمل. وقد اقتصر استخدام الأفلام - حالياً - على التقنيات التي لا تستلزم قياس شدة أنماط الحيوان.

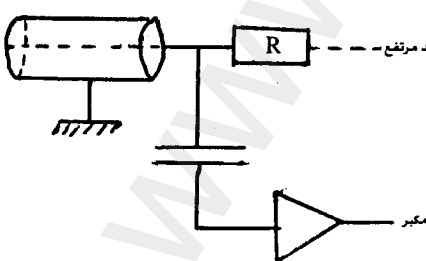
### ٣- العدادات الغازية: Gas. Counters

#### ١- عداد جايجر- مولر Geiger- Muller Counter

عندما يصطدم فوتون من فوتونات الأشعة السينية بذررة غاز خامل (كالزينون مثلاً) فإن الذرة تتأين فيتخرج زوج من الأيونات أحدهما موجب الشحنة والآخر سالبها. وتتراوح الطاقة اللازمة لذلك ما بين 20، 30 فولت إلكتروني (eV) لذررة الزيون.

وحيث إن طاقة فوتون  $\text{Cu K}_\alpha$  هي 8.04 keV لذا فهو قادر على توليد نحو 350 زوجاً من الأيونات في وسط غازي.

ويكون عداد جايجر- مولر من أنبوبة معدنية يتصل جسمها بالأرضي، وير من خلالها دون أن يمس جسمها سلك يقوم بدور المصعد. ويحمل جهداً كهربائياً موجباً يتراوح بين 1500، 2000 فولت. وتملاً الأنبوبة - عادة - بخلط من الغازات، وتزود بنافذة شفافة بالنسبة للأشعة السينية. وتنجذب الإلكترونات الناتجة عن عملية التأين نحو المصعد، بينما تنجذب الأيونات الموجبة نحو جسم الأنبوبة. وتسارع الإلكترونات تحت تأثير المجال الكهربائي حول المصعد فتكسب ما يكفي من طاقة الحركة لكي تؤين ما يصادفها من ذرات الغاز المتعادلة مما يؤدي في النهاية إلى حدوث انهمار سيل الإلكترونات، حيث يتراوح معامل التكبير ما بين  $10^4$  إلى  $10^7$  اعتماداً على شدة المجال الكهربائي. وتتسبب هذه الدفقة من الإلكترونات التي تصل إلى المصعد في هبوط الجهد الواقع عند المكثف المتصل بالمصعد (الشكل ٧-٣). ثم يتم تكبير النسبة الكهربائية المترتبة بواسطة مكبر إلكتروني، ثم تشكل وترسل إلى عداد إلكتروني.



شكل (٧-٣)  
عداد جايجر - مولر

أما الأيونات الموجبة التي تكونت نتيجة التأين فإنها تستغرق وقتاً حتى تتشلاشى. وهذا الوقت هو ما يسمى «الوقت الميت» ولو افترضنا دخول فوتون آخر إلى الأنبوبة خلال هذا الوقت فإنه لا يكتشف. وعندما تكون شدة الأشعة

مرتفعة فإن العداد يصاب بالتشبع وتصبح استجابته لا خطية. وللتغلب على هذه المشكلة تضاف بعض الغازات المخلوطة داخل الأنبوة بغرض الحصول على أقصر وقت ميت ممكن (نحو  $10^{-4}$  ثانية).

### **بـ- العداد التناصبي Proportional Counter**

استطرادا لما ذكر في عداد جايجر - مولر، فقد وجد أن استخدام مجال كهربائي أقل شدة ومعامل تكبير أقل من  $10^5$  يجعل سعة نبضة الجهد متناسبة مع طاقة الفوتون، وعليها في مقابل ذلك أن نستخدم مكيراً أقوى من الذي يستخدم في عداد جايجر - مولر، وإن كان الوقت الميت في هذه الحالة يكون أقصر بكثير. حيث إن سعة النبضة قد أصبحت تتناسب مع طاقة الفوتونات؛ لذا يصبح من الممكن تمييز الفوتونات المطلوبة، أي التي تناظر الطول الموجي «المطلوب» عن غيرها من الفوتونات. وهكذا فإن الفوتونات المسماوة لها بالنفاذ هي تلك التي تناظر نبضات محصورة بين حددين واضحين ومعلومين (ويسمى الفرق بين هذين الحدين «نافذة»).

وقد أمكن استخدام تقنية «انتخاب ارتفاع النبضات» في تحسين قيمة النسبة بين سعة الإشارة إلى سعة الضوضاء الإلكترونية بشكل ملحوظ. ويرجع ذلك إلى استبعاد الطيف الأبيض وفلورية العينات.

### **٤- عدادات الوميض Scintillation Counters**

تحمول طاقة الفوتون في هذا النوع من العدادات إلى طاقة كهربائية من خلال عمليتين. فيتحول فوتون الأشعة السينية في الأولى إلى فوتون مرئي (العملية الفوسفورية) وذلك حين يخترق بلوره من مادة أيدوديد الصوديوم NaI المطعمة بعنصر الثاليلوم، وعندئذ تصدر من البلوره ومضة ضوئية ذات طول موجي مقداره  $4100\text{\AA}$ .

ثم تتحول طاقة الفوتون المرئي إلى طاقة كهربائية بواسطة ما يسمى بالمضاعف الضوئي، الذي يضخم الإشارة الكهربائية.

ويتمتع المضاعف الضوئي باستجابة سريعة، كما أنه سهل الضبط. والوقت الميت لديه قصير للغاية، كما أن الاستجابة خطية عبر مدى عريض من قيم شدة الأشعة السينية.

### أسئلة وسائل على الفصل الثالث

- ١- تعمل أنبوبة أشعة إكس عند جهد مقداره  $30 \text{ kV}$  فيصدر عنها طيف مستمر طول الموجة الأدنى فيه  $\lambda_{\min} = 0.0414 \text{ nm}$ . احسب ثابت بلانك.
- ٢- ما هو أقصر طول موجي ينبعث من أنبوبة أشعة إكس إذا كان الجهد المطبق عليها هو  $50 \text{ kV}$  ؟
- ٣- احسب مقدار الطاقة الحرارية المترسبة في الدقيقة داخل هدف لأنبوبة أشعة سينية إذا كان الجهد المستخدم هو  $20 \text{ kV}$  والتيار المار هو  $10 \text{ mA}$  وما مقدار القدرة المنبعثة إذا كانت الكفاءة  $0.2\%$  ؟
- ٤- يبلغ معامل الامتصاص الكتلي للأشعة السينية في الألومنيوم  $0.6 \text{ m}^2/\text{kg}$  والطول الموجي للأشعة هو  $\lambda = 0.032 \text{ nm}$ . فإذا كانت كثافة الألومنيوم  $2700 \text{ kg/m}^3$  فما هو معامل الامتصاص الخطى للألومنيوم وما هو مقدار سمك طبقة نصف القيمة؟
- ٥- ما هو فرق الجهد المطلوب لتعجيل الإلكترون من السكون لكي يصطدم بهدف فيصدر عن ذلك إشعاع له طول موجي أدنى مقداره  $10^{-10} \text{ m}$ ، وما هي أقصى سرعة للإلكترون؟
- ٦- تنخفض شدة شعاع من الأشعة السينية إلى  $0.075$  من الشدة الأصلية عندما تمر خلال سمك مقداره  $1.05 \text{ mm}$  من النحاس. احسب معامل الامتصاص الكتلي للنحاس إذا كانت كثافته  $8930 \text{ kg/m}^3$ .

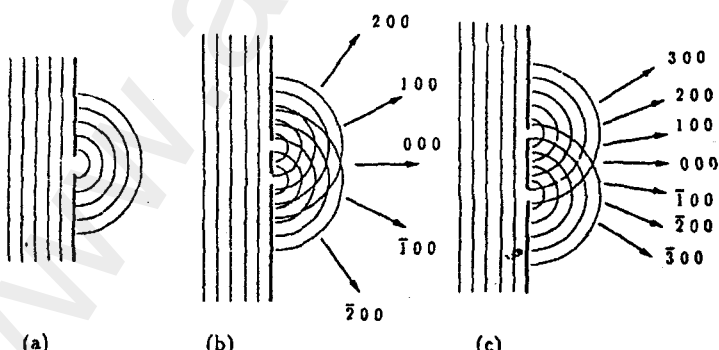


# حيود الأشعة السينية من البلورات

## ١-٤ حيود الضوء المزدوج بواسطة الثقوب الصغيرة والشقوق:

إن مفهومنا الحالى لطبيعة الضوء كحركة موجية ناجم من الدراسات التى أجرتها كريستيان هايجنز Christiaan Huygens الذى اعتبر الضوء اضطرابات موجية وعندما تنتشر هذه الموجات بشكل سطحها الأمامى عند أى لحظة ما يسمى واجهة الموجة أو صدر الموجة (wave front) والمبدأ الذى يسمى الآن مبدأ هايجنز- فريزنل Huygens- Fresnel principle ينص على:

عند أى لحظة تكون الأجزاء غير المحتجبة من واجهة الموجة مصدر لموجات ثانوية لها نفس طول الموجة مثل الموجة الأصلية، وهذه الموجات الثانوية تنتشر لتعطى واجهة موجة جديدة (شكل ١-٤).



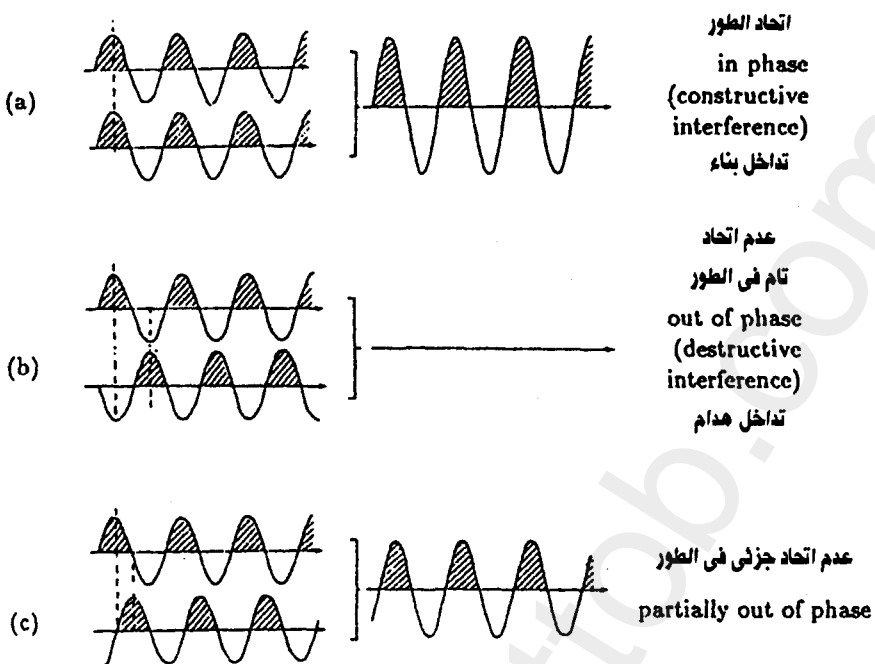
شكل (١-٤)

وشكل الأشعة المشتتة بواسطة أي مصدر يسمى شكل الحيوود له وعندما تكون هذه المصادر كبيرة مقارنة بطول موجة الضوء الساقط عليها فإنه يحدث ظللاً حادة لحد ما كما هو متوقع حيث يعتبر الضوء يسير في خطوط مستقيمة، ولكن إذا كانت قيمة طول الموجة للضوء وحجم المصدر في نفس المدى تقريرياً فإن قدراً من الضوء يُرى وقد انتشر في المساحة المتوقع أن تكون في الظل. يبدو هذا التأثير واضحاً عندما يمر الضوء خلال شقوق ضيقة أو يمر بحافة مصدر معتم وعلى سبيل المثال فقد لاحظ فرانسيسكو ماريا جرимальدي Francesco Maria Grimaldi في القرن السابع عشر أن الخط الرفيع لا يلقى بظل حاد كما هو متوقع حيث تظهر أهداب (أو حواش) من شرائط متوازية معتمة ومضيئة عند حواف الظل وهذه الظاهرة سماها حيوداً.

وتعبر الحيود يستخدم عندما تنطلق واجهة موجة في خط مستقيم في وسط متجانس ثم يحدث لمسارها ما يجعله يغير من اتجاهه ويجب الإشارة إلى أن هذا يختلف عن الانكسار الذي يعرف على أنه انحناء الضوء الحادث عندما تتغير طبيعة الوسط.

ويوضح شكل (٤-١) الحيود الحادث من انتشار الضوء عند ثقب والدواير المتشرة التي تساوى المسافات البينية بينها تمثل القمم للموجات، وهذه القمم تقوى بعضها عندما تتقاطع والزوايا التي يحدث عنها تقوية (أشعة الحيود) موضحة بالأسمهم ورتبة (order) الحيود هي عدد أطوال الموجات في فرق المسار بين أشعة الحيود المنطلقة من الشقين (٠٠٠ هو رتبة الشعاع الساقط الأساسي، ١٠٠ هي الرتبة الأولى وهكذا).

حدوث ظاهرة الحيود تكون بالضرورة نتيجة وجود اختلاف في الطور بين موجتين أو أكثر، ويقال أن شعاعين متعدد الطور إذا كانت قيمة المجال الكهربائي لهما لها نفس القيمة والاتجاه في نفس اللحظة عند نفس النقطة في اتجاه سير الموجة وتكون الأشعة غير متعددة الطور إذا كان الفرق في المسار يساوى نصف طول الموجة وفي هذه الحالة يكون المتجه الكهربائي للأشعة إما يساوى الصفر أو يكون لهما متساوٍ في القيمة ومتضاد في الاتجاه وعلى هذا يلاشى أحدهما الآخر (شكل ٢-٤).



شكل (٢-٤)

ويكن القول أن الأشعة تكون متعددة الطور تماماً إذا كان الفرق في المسار إما يساوى الصفر أو يساوى عدداً صحيحاً من أطوال الأمواج.

#### ٤-٤ حيود الأشعة السينية من البلورات:

##### ٤-٢-٤ تشتت الأشعة السينية بواسطة الذرات المفردة:

إذا حدث واعتراض أحد الإلكترونات مسار موجة من الأشعة السينية فإنه يتذبذب نتيجة لتغير المجال الكهربائي الدورى لأشعة إكس الساقط عليه ولكن لأن كل دقيقة مشحونة كهربائياً تعتبر هي نفسها مصدرأً لأشعة كهرومغناطيسية، وحيث إن الإلكترون تكون ذبذبته متعددة في الطور مع أشعة إكس فإن الإلكترون يكون هو المصدر لأشعة كهرومغناطيسية لها نفس التردد وطول الموجة مثل الأشعة الأصلية.

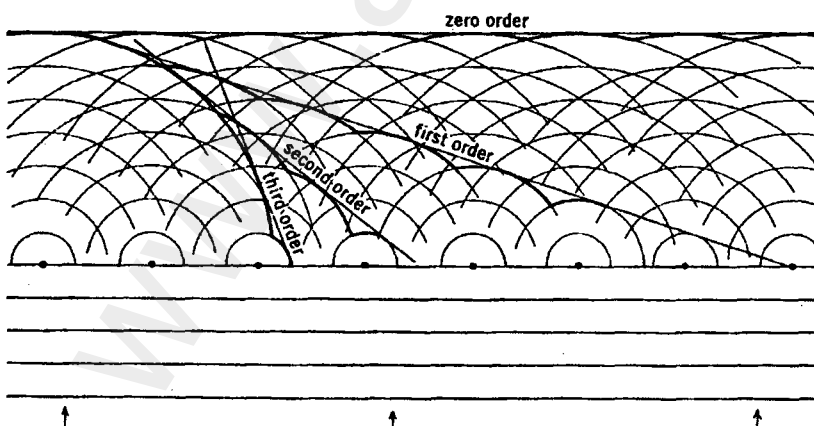
بهذه الطريقة يمكن القول بأن الإلكترون يشتت أشعة إكس الأصلية والذرة تحتوى على أعداد كبيرة من الإلكترونات حول النواة موجة الشحنة، ويمكن إهمال

علاقة النواة بعملية التشتت نتيجة كتلتها الكبيرة، أما الإلكترونات فكل إلكترون يقوم بعملية تشتت بمفرده، وعلى ذلك فإن الذرة ككل تشتت الأشعة لدرجة تعتمد على عدد الإلكترونات بها أي على العدد الذري لها وشدة الأشعة المشتتة تتغير بتغيير الاتجاه حيث تقل كلما زادت الزاوية بين الشعاع المشتت والشعاع الأصلي، كما سيتضمن فيما بعد، ويمكن في الوضع الحالى اعتبار أن الذرة هي مصدر نقطى لأنشعة سينية مشتتة.

#### ٢-٤ تشتت الأشعة السينية بواسطة صف من الذرات:

يوضح شكل (٣-٤) مجموعة من واجهات الموجة لأشعة X مصطدمة بصف من الذرات بينها مسافات متساوية. تقوم كل ذرة بتشتيت الأشعة حيث تحدث حولها مجموعة أغلفة جديدة لموجات دائيرية ويشكل كل خط متند من الأغلفة موجة متحدة في اتجاه الماس المشترك، وهذا التشتت المتحد من الموجات يسمى حيودا، ومن الواضح أنه تنشأ واجهة موجة على امتداد الماس لكل خط يبر بواجهة الموجة المستديرة وهذه الموجة هي الشعاع الأصلي (direct beam) ويوضح الشكل أنه توجد مماسات أخرى لأوجه الموجات الدائرية أي أنه ستنشأ واجهات موجات حيود على امتداد أي ماس مشترك لأغلفة للموجات الدائرية الناتجة عن التشتت بواسطة صف من الذرات.

#### الرتبة الصفرية

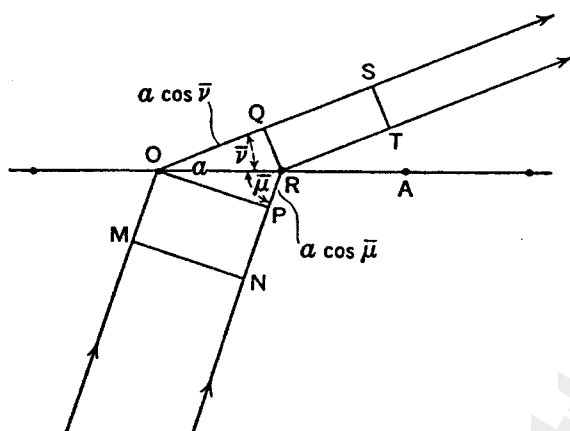


شكل (٣-٤)

### ٣-٢-٤ شروط حدوث الحيود بواسطة صف من الذرات:

سبق أن أوضحنا كيف أنه نتيجة الحيود يمكن أن تنشأ واجهة موجة على امتداد ماس مشترك لأغلفة الموجات الكروية المشتتة من صف من الذرات وهذه

الووجه تمتد كشعاع عمودي على هذا الماس، ويمكن إعادة صياغة هذه العبارة بطريقة أخرى: إن شعاع الحيود يتشر في أي الاتجاه بحيث إن مساهمة الموجات من ذرتين متجاورتين تكونان في نفس الطور في هذا الاتجاه. ويوضح شكل (٤-٤) واجهة موجة  $MN$  تقدم نحو صف من الذرات



شكل (٤-٤)

وواجهة الموجة  $ST$  المتكونة نتيجة التشتت المتعاون بواسطة صف من الذرات، ولدواعي التبسيط نضع في الاعتبار الذرتين  $R, O$  فقط، فلكي تكون الأشعة المشتتة من  $O, R$  في نفس الطور في الاتجاه  $OS$  لابد أن يكون طول المسار  $MOQS$  يزداد على طول المسار  $NPRT$  بعدد صحيح من طول الموجات، وحيث إن  $QS = RT$ ,  $MO = NP$  فإن هذا يتطلب أن تكون  $OQ$  أطول من  $PR$  بعدد صحيح  $m$  من أطوال الموجات أي أن:

$$OQ - PR = m \lambda \quad (4-1)$$

وإذا كانت  $a$  هي المسافة بين الذرات على طول الصف فإن:

$$\cos \bar{\nu} = \frac{OQ}{a} \quad (4-2)$$

$$\cos \bar{\mu} = \frac{PR}{a} \quad (4-3)$$

وبالتعويض عن قيم PR, OQ في (4-2)، (4-3) نحصل على:

$$\begin{aligned} a \cos \bar{v} - a \cos \bar{\mu} &= m \lambda \\ \therefore a (\cos \bar{v} - \cos \bar{\mu}) &= m \lambda \end{aligned} \quad (4-4)$$

وهذه العلاقة يمكن تفسيرها كالتالي:

إذا كان عندنا صف من الذرات المسافات بينها  $a$  وكان شعاع من أشعة X له طول موجة  $\lambda$  يميل بزاوية  $\bar{m}$  على صف الذرات فإن شعاع حيود سينبع عن طريق التشتت المتعاون من صف الذرات واتجاه هذا الشعاع يكون:

$$\cos \bar{v} = \cos \bar{\mu} + \frac{m\lambda}{a} \quad (4-5)$$

حيث  $m$  هي عدد صحيح.

والمعادلة (4-5) تعطينا الزاوية  $\bar{v}$  من المرتبة رقم  $m$ .

وإذا كانت  $m=0$  فإنها من المعادلة (4-5) تكون:

$$\bar{\mu} = \bar{v}$$

#### ٤-٤-٤ الحيود من مستوى من ذرات شبكة بلورية:

الصورة الكمية لكيفية حدوث الحيود من شبكة مستوى يمكن وضعها كالتالي:

شرط حدوث تشتت متعدد في الطور من الخط OA هو:

$$a (\cos \bar{v}_1 - \cos \bar{\mu}_1) = m \lambda \quad (4-6)$$

وشرط حدوث التشتت متعدد الطور من الخط OB هو:

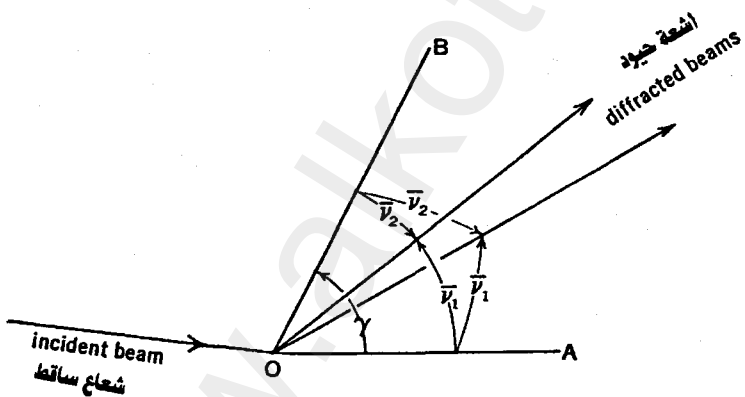
$$b (\cos \bar{v}_2 - \cos \bar{\mu}_2) = n \lambda \quad (4-7)$$

وعندما يتحقق الشرطان (٤-٦)، (٤-٧) في نفس الوقت فإن التشتت من مستوى الشبكة كله يصبح أيضا متعددًا في الطور.

ويمكن كتابة المعادلين (٤-٦)، (٤-٧) كالتالي:

$$\left. \begin{aligned} \cos \bar{\nu}_1 &= \cos \bar{\mu}_1 + \frac{m}{a} \lambda \\ \cos \bar{\nu}_2 &= \cos \bar{\mu}_2 + \frac{n}{b} \lambda \end{aligned} \right\} \quad (4-8)$$

الجانب الأيسر من هاتين المعادلين الآيتين مما جيوب التمام لشعاع الحيود بالنسبة للمحاور المائلة OB، OA والزاوية بينهما تساوى  $\gamma$  (شكل ٥-٤) أي أنه لكل قيمة لطول الموجة ولقييم الأعداد  $m, n$  يكون لأى شبكة مستوى في أي وضع زوج من جيوب التمام لأشعة الحيود تحدد زوجا من الاتجاهات الحقيقية وهذا هو اتجاه أشعة الحيود لقيم  $n, m$  المعطاء.



شكل (٥-٤)

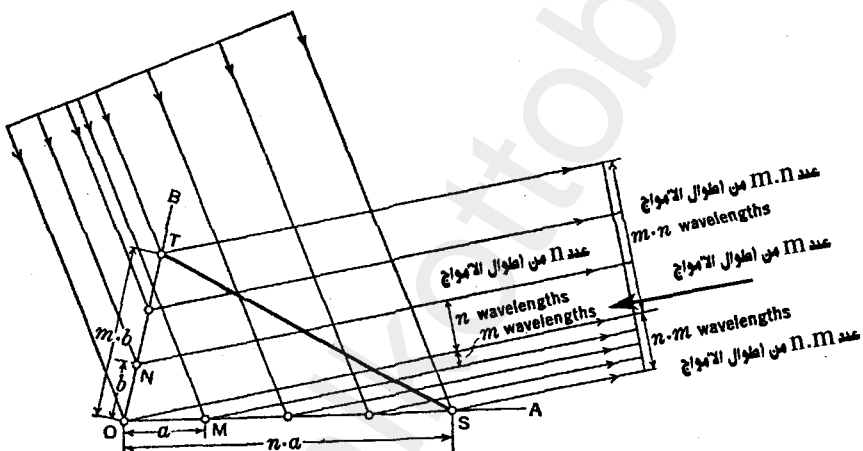
إلا أن قيم  $n, m, n$  لا يمكن أن تزداد بلا حدود لأنه بزيادة قيمة  $m$  مثلا، فإننا سنصل إلى نقطة تكون قيمة الجانب الأيمن من المعادلة أكبر من الواحد الصحيح ويصبح حل المعادلة لقيمة  $\gamma \cos \gamma$  غير ممكن.

والأعداد الصحيحة  $n, m$  تعرف على أنها معاملات شعاع الحيود فلكل قيم  $n, m$  توجد قيم محددة ممكنة للمعاملات  $\bar{\nu}_1, \bar{\nu}_2, \bar{\mu}_1, \bar{\mu}_2, \lambda, b, a$

قيمة  $\lambda$  كبيرة جداً أو قيمة  $a$ ,  $b$  صغيرة جداً فإن الجانب الأيمن من المعادلة (٤-٨) يصبح أكبر من الواحد الصحيح، وفي هذه الحالة لا يوجد حل للجانب الأيسر من المعادلة.

#### ٤-٢-٥ انعكاس الأشعة السينية The Reflection of X-rays

يمكن التعبير عن حدوث الحد الأعلى للحيود Diffraction maximum ليس فقط بدلالة الاتحاد بين مراتب الحيود من خطوط المحاور ولكن أيضاً بدلالة الانعكاس من خطوط الشبكة (وفي حالة الحيود من شبكة في الفراغ بدلالة الانعكاس من مستويات الشبكة).



شكل (٤-٤)

في شكل (٤-٤) يسقط شعاع من الأشعة السينية على شبكة مستوية حيث يحدث الحيود في مستوى الشبكة. الخط OA في الشبكة يحدث الحيود في المرتبة  $m$  والخط OB يحدث الحيود في المرتبة  $n$  وهذا يعني أنه بين الأشعة المشتتة بواسطة الذرتين المجاورتين O, M يكون فرق المسار يساوى  $m$  وبين الذرتين N, S يكون الفرق  $n$  من أطوال الموجات.

على ذلك فإن فرق المسار بين الموجة المشتتة من النقطة O وتلك المشتتة من النقطة S التي تبعد عن O مسافة  $a$  يكون مساوياً  $n \cdot m$  من أطوال الموجات

وبالمثل الموجة المشتتة من النقطة T التي تبعد مسافة عن O قدرها  $m \cdot b$  يكون فرق المسار بينها وتلك المشتتة من النقطة O مساوياً لعدد  $m \cdot n$  من أطوال الأمواج، وحيث إن النقطتين S, T يشتتن الموجات بحيث يكون الفرق في الطور بين كل منها ونقط الأصل نفس عدد أطوال الأمواج وهو  $m \cdot n$  فإنهما يشتتن الموجات بحيث تكونان متزامنتين في الطور، وحيث إن الذرتين T, S يقعان على خط في الشبكة البلورية يقطع المحاور على مسافات  $m, n$  فإن معاملاته تكون  $\left(\frac{1}{n}, \frac{1}{m}\right)$  وحيث إن طول المسار من واجهة موجة قبل الحيود إلى واجهة موجة بعد الحيود يختلف بفارق عددي من أطوال الموجات يساوى صفراء من الشعاعين المشتتين من T, S وفي الواقع للأشعة المشتتة من كل الذرات على الخط ST تكون أشعة الحيود من الخط ST لا تعانى من أي تغير في الطول الكلى لذلك يبدو الخط وكأنه يعكس الأشعة.

#### ٦-٢-٤ الحيود من صفوف ذرات شبكة بلورية في ثلاثة أبعاد:

الحيود من شبكة بلورية في ثلاثة أبعاد يمكن أن يعامل تحليلياً بنفس الطريقة التي أتبعت في حالة الشبكة في بعدين فإذا كانت  $c, b, a$  هي المسافات بين الذرات على امتداد المحاور الثلاث OC, OB, OA فإن شروط حدوث تشتت من هذه الصفوف هي مثيلة بتلك الموضحة في (4-6), (4-7).

$$OA \left( \cos \bar{v}_1 - \cos \bar{\mu}_1 \right) = m \lambda ,$$

$$OB \left( \cos \bar{v}_2 - \cos \bar{\mu}_2 \right) = n \lambda , \quad (4-9)$$

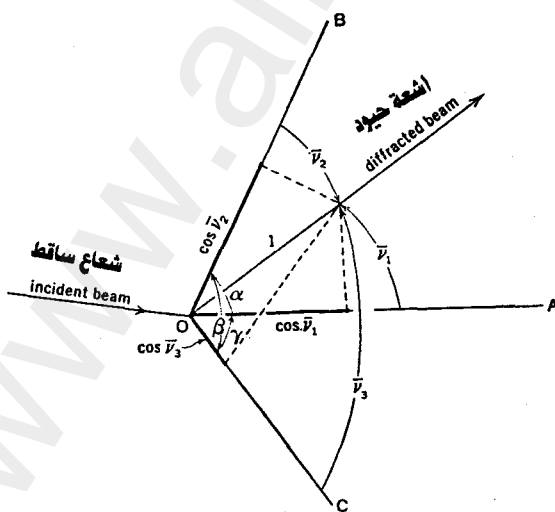
$$OC \left( \cos \bar{v}_3 - \cos \bar{\mu}_3 \right) = p \lambda$$

وهذه هي الشروط التي وضعها لاوى Laue لحدوث الحيود من البلورات وتسمى Laue equations (معادلات لاوى) فلكل حيود للأشعة السينية فلابد لهذه الشروط الثلاثة أن تتحقق في نفس الاتجاه وفي نفس الوقت.

وهذه العلاقات (4-9) يمكن أن توضع كالتالي:

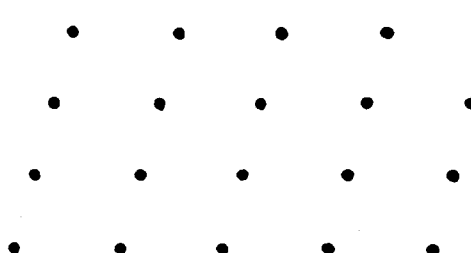
$$\begin{aligned}\cos \bar{\nu}_1 &= \cos \bar{\mu}_1 + \frac{m \lambda}{a} , \\ \cos \bar{\nu}_2 &= \cos \bar{\mu}_2 + \frac{n \lambda}{b} , \\ \cos \bar{\nu}_3 &= \cos \bar{\mu}_3 + \frac{p \lambda}{c} \end{aligned} \quad (4-10)$$

واتجاه شعاع الحيود يُعرف بالقيم  $\cos \bar{\nu}_1, \cos \bar{\nu}_2, \cos \bar{\nu}_3$  التي تنسب إلى نظام الإحداثيات المائل OC, OB, OA (شكل ٤-٤) فلكي يحدث تشتت متعاون في اتجاه ما فلابد أن كلا من الاتجاهات المحددة في (4-10) تكون واحدة، وحيث إن الزاوية  $\alpha$  بين الشعاع الساقط وصفوف الذرات متغيرة، فإنه في الإمكان التحكم في هذا التغير بحيث تصبح الزوايا  $\bar{\nu}$  محددة لاتجاه واحد، وفي هذه الحالة تصبح صفوف الشبيكة كلها في وضع يسمح لها بتشتت الأشعة السينية بحيث تكون في نفس الطور في هذا الاتجاه وبذلك يحدث الحيود. وفي حالة الشبيكة في الأبعاد الثلاثة يمكن توضيح أنه كما يحدث في حالة الشبيكة في بعدين فإنه عندما يحدث حيود في المرتبة  $m$  للصف OA وفي المرتبة  $n$  للصف OB وفي المرتبة  $P$  للصف OC فإن ذلك يكون مكافئاً لانعكاس الشعاع الساقط بواسطة الذرات للمستوى  $mnp$ .



شكل (٤-٤)

### ٤- قانون براج Bragg's Law



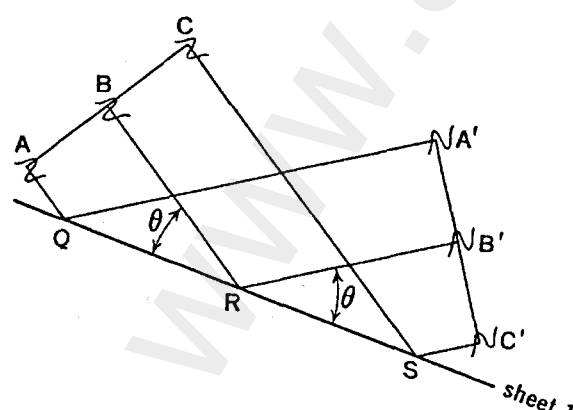
شكل (٨-٤)

كانت وجهة النظر التي اتخذت في التعامل مع ظاهرة حيود الأشعة السينية من شبكة بلورية هي أن ما يحدث ما هو إلا حيود متعاون من صفوف من الذرات لا تقع في مستوى واحد، وقد وضح أن

الظاهرة كلها تكافئ عملية انعكاس متعاون من مستويات من الذرات، ولدوعى التبسيط فإن الاتجاه أصبح معاملة ظاهرة حيود الأشعة السينية من البلورات على أنها انعكاس متعاون للأشعة من مستويات البلورة.

يوضح شكل (٨-٤)

سلسلة من الذرات مرتبة في شبكة بلورية، وشكل (٩-٤) يوضح اصطدام هذه الذرات في مستويات عديدة تسمى شرائح sheets إذا أخذنا مثلا الشريحة رقم 1 نجد أن كل نقطة في هذا المستوى تعكس الأشعة السينية بصرف النظر عن زاوية السقوط  $\theta$ .



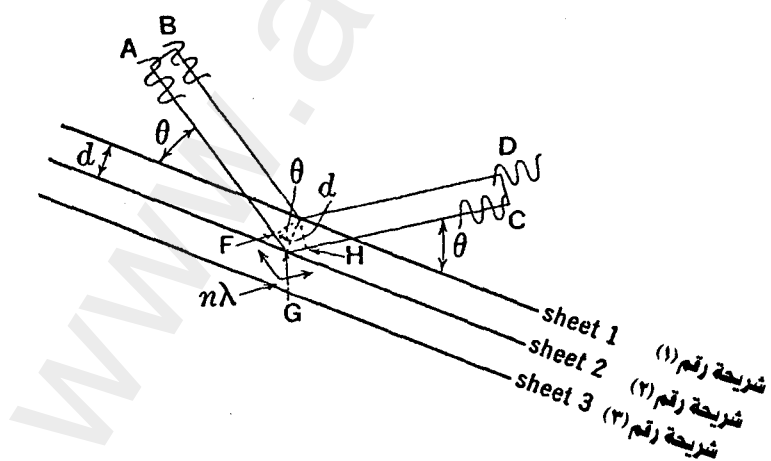
شكل (٩-٤)

في الشكل (١٠-٤)

تكون أشعة X في نفس الطور على طول واجهة الموجة ABC حيث تتشتت S, R, Q, CS, والعديد من الأشعة، يمكن أن تتحدد بعد BR, AQ

التشتت لتكون واجهة جديدة؛ وذلك إذا افترضنا أنها متعددة في الطور مع بعضها. هذا يعني أن المسارات 'CSC', 'BRB', 'AQA' تحتوى على نفس العدد من أطوال الموجات، أي أن ' $AQA' = BRB' = CSC$ ' وهذا يمكن حدوثه فقط بالانعكاس من المستوى QRS. وعلى ذلك فإذا سقطت أشعة X على مستوى X من الذرات بأى زاوية  $\theta$  فإنه يمكن أن يحدث لها حيود بالطريقة التى تتبع قوانين الانعكاس للضوء (ويجب ملاحظة أن تساوى المسارات الضوئية ' $ACA' = BRB' = CSC$ ' ينطبق ليس فقط للنقاط S, R, Q فى المستوى ولكن لكل النقاط، أي أن أية نقطة فى المستوى يمكن أن تعمل كنقطة انعكاس تساهم فى بناء واجهة الموجة ' $A'B'C'$  إذا كانت توجد ذرة فى هذا المكان لتشتت الأشعة، أي أن قدرة مستوى الذرات لعكس أشعة X لا تعتمد على الترتيب المتنظم للذرات فى المستوى الذرى لهذا المستوى).

لا يكفى معرفة أن الذرات لأى مستوى بفرده تعكس الأشعة السينية عند كل الزوايا Q ولا يجب فقط أن تكون الذرات من كل مستوى (شريحة 2، شريحة 3) تعكس الأشعة ولكن أيضا يجب أن يكون هناك تعاون فى انعكاس الأشعة أي لا يجب أن يؤدى الأمر إلى حدوث تداخل هدام، والشرط المطلوب توافره حتى لا تلاشى الانعكاسات من كل مستوى من الذرات بعضها البعض أي أن تكون الموجات المنفردة المنعكسة فى نفس الطور، وشكل (١١-٤) يوضح كيفية حدوث ذلك.



شكل (١١-٤)

إذا كانت الزيادة في طول المسار لكل مستوى من الذرات يساوى بالضبط عدداً صحيحاً من أطوال الموجات فإن كل الموجات المنعكسة تصبح في نفس الطور ثانيةً على طول الواجهة DC والموجات من كل مستوى تقوى بعضها بعضاً.

من الواضح أن الزيادة في طول المسار للشريحة رقم 2 هو  $FGH$  وهذا يجب أن يساوى عدد صحيح من أطوال الموجات فإذا كان  $n$  هو عدد صحيح.

$$\therefore n \lambda = FGH \quad (4-11)$$

وحيث إن المسار  $AGC$  هو شعاع منعكss وأن الشعاع الساقط والمنعكس كليهما يماثل ويساوى الآخر كذلك فالزيادة في المسار يمكن أن تنقسم نصفين:

$$\therefore \frac{n \lambda}{2} = FG \quad (4-12)$$

وواضح من الشكل (٤-١١) أن الطول  $FG$  يرتبط بالمسافة بينية  $d$  وزاوية الميل  $\theta$  بالعلاقة:

$$\therefore \sin \theta = \frac{FG}{d} \quad (4-13)$$

وبالتعويض عن قيمة  $FG$  من (٤-١٢) في (٤-١٣) نحصل على العلاقة الهامة:

$$\sin \theta = \frac{n\lambda}{2d} \quad (4-14)$$

وهذا ما يسمى قانون براج ويكتب:

$$2d \sin \theta = n \lambda \quad (4-15)$$

وهو يعطى الزاوية التي عندها يحدث انعكاس متعاون من كل الشرائح لمجموعة مستويات لها مسافة بينية  $d$ .

وحيث إن  $\sin \theta$  لا يمكن أن تزيد قيمتها عن الواحد الصحيح فإن قانون براج (4-14) يوضح أن  $n\lambda$  لابد وأن تكون أقل من  $d$ ، وحيث إن أقل قيمة للعدد  $n$  هي الواحد الصحيح على هذا يكون الشرط الواجب توافره لحدوث حيود عند زاوية  $2\theta$  (الزاوية بين شعاع الحيود والشعاع النافذ أى امتداد الشعاع الساقط تكون دائمًا  $2\theta < d$ ) هو  $d > 2\lambda$ .

فإذا كانت  $d \leq 3\text{\AA}$  فإن  $\lambda$  لن تزيد عن  $6\text{\AA}$  أى أن البلورات لا يمكن لها أن تستخدم حيود الأشعة فوق البنفسجية مثلا حيث تكون  $\lambda = 5000\text{\AA}$  ويمكن كتابة قانون براج كالتالي :

$$\lambda = 2 \frac{d}{n} \sin \theta \quad (4-16)$$

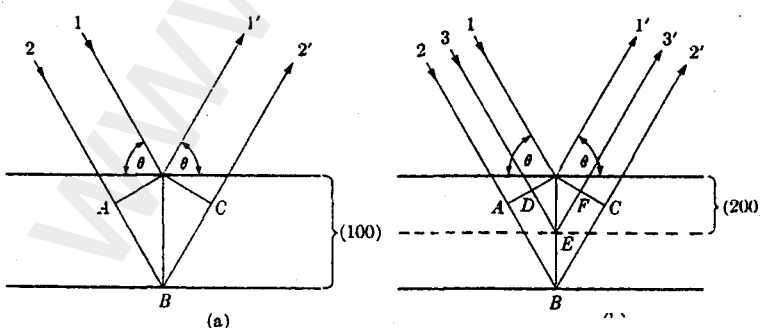
$$\therefore \lambda = 2 d' \sin \theta \quad (4-17)$$

حيث :

$$d' = \frac{d}{n}$$

وحيث إن معامل  $\lambda$  هو الوحدة فإنه يمكن اعتبار أى انعكاس مهما كانت رتبة (order) على أنه من المرتبة الأولى، غير أن المستويات منها لها مسافة بينية تساوى  $\frac{1}{n}$  من المسافة بينية السابقة.

وشكل قانون براج رقم (4-17) هو المستخدم عادة حيث يوضح (شكل ٤-١) أن الانعكاس ذو المرتبة الثانية من المستوى (100) يجب أن يكون له



شكل (٤-١)

فرق في المسار يساوى ABC بين مستويين متتاليين من مجموعة المستويات (100) ويكون هذا الفرق مساوياً لعدد صحيح من أطوال الأمواج حتى إذا لم يكن توجد ذرات بين المستويات (100) فإنه يمكننا تخيل ذلك.

من شكل (٤-١٢) نجد أن الخط السقطي الذي يقع في متصف المسافة بين مجموعة المستويات (100) يكون جزءاً من مجموعة المستويات (200) حيث يكون الفرق في المسار DEF مساوياً فقط لطول موجة واحد، وعلى هذا يمكن اعتبار هذا الانعكاس هو انعكاس من المرتبة الأولى للمستوى (200).

وبالمثل الانعكاسات (300)، (400) وغيرها فهي تكافئ الانعكاسات من المرتبة الثالثة والرابعة وغيرها من المستوى (100) وبصفة عامة فإن الانعكاس ذات المرتبة  $n$  من أي مستوى  $(h k \ell)$  له مسافة بينية  $d$  يمكن أن يعتبر انعكاساً من المرتبة الأولى من المستوى  $(nh nk n \ell)$  ذات المسافة بينية  $\frac{d}{n} = d'$  وعلى هذا يمكن كتابة قانون براج كالتالي:

$$2d_{(h k \ell)} \sin \theta = \lambda \quad (4-18)$$

#### ٤-٣-٤ الفرق بين الانعكاس والحيود:

ربما يبدو أن حيود الأشعة السينية بواسطة البلورات وأن انعكاس الضوء المرئي بواسطة المرايا متشابهان إلى حد بعيد حيث إنه في كلتا الظاهرتين تكون زاوية السقوط متساوية لزاوية الانعكاس، ولكن الحيود والانعكاس يختلفان أساساً في ثلث نقاط على الأقل.

١ - يتكون شعاع الحيود من البلورة من الأشعة المشتتة من كل الذرات في البلورة بينما يحدث الانعكاس للضوء المرئي من طبقة رقيقة من السطح فقط.

٢ - حيود الأشعة السينية وحيدة الموجة يحدث فقط عند زوايا السقوط التي تتحقق قانون براج بينما يحدث الانعكاس للضوء المرئي عند آية زاوية سقوط.

٣- إن انعكاس الضوء المرئي بواسطة مرآة جيدة يكون تقريراً ذا كفاءة تساوي 100% بينما أن شدة شعاع الحيوود للأشعة السينية تكون متناهية في الصغر بالنسبة لشدة الشعاع الساقط.

وبالرغم من ذلك فنحن نتحدث دائماً عن مستويات الانعكاس والأشعة المنشكة عندما نعني مستويات الحيوود وأشعة الحيوود.

#### ٤- الشبكة العكسية (المقلوبة) The Reciprocal Lattice

بما أن حيود الأشعة السينية بواسطة البلورة يمكن معاملته على أنه انعكاس بواسطة مجموعات من المستويات المتوازية في البلورة لذلك أصبح من الأمور الهامة إيجاد طريقة للتعامل مع العديد من المستويات بميلها المختلفة وأحد الطرق التي استخدمت لحصر المستويات العديدة وميلها وكذلك المسافات البينية لها هو مفهوم الشبكة العكسية (المقلوبة).

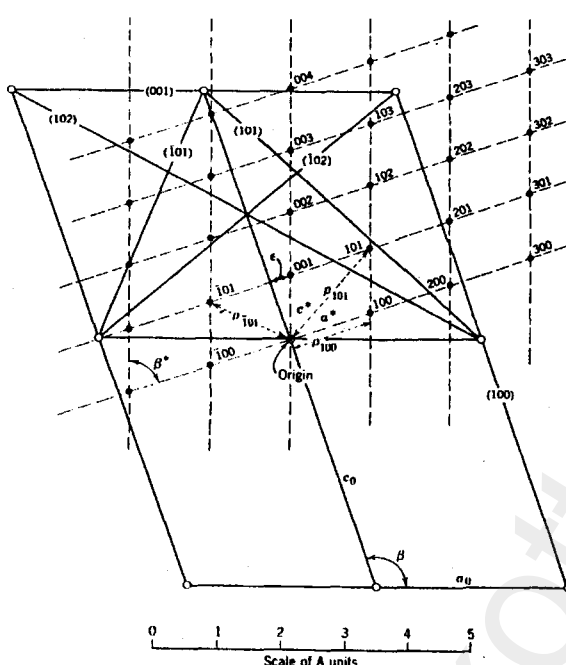
استخدم مفهوم الشبكة العكسية أولاً بواسطة Ewald وامتد استخدامه بواسطة برنال Bernal لوصف العلاقة بين التركيب البلوري وطيف الحيوود والشبكة المقلوبة هي شبكة تخيلية فلكل شبكة بلورية حقيقة يمكن بناء شبكة تخيلية مقلوبة (عكسية).

لبناء شبكة مقلوبة نأخذ أي نقطة من الشبكة البلورية الحقيقة كمركز يرسم منه خطوط عمودية على كل مجموعة من المستويات البلورية الحقيقة، وبذلك تنشأ نقاط لشبكة مقلوبة على مسافات تتناسب عكسياً مع المسافات البينية للمستويات الحقيقة، وهي تقع أيضاً علىمجموعات مستويات متوازية وتكون معاملات ميل  $hkl$  للنقطة في الشبكة المقلوبة هي نفس المعاملات للمستويات في الشبكة الحقيقة التي تمثلها هذه النقطة.

وتبعد النقطة في الشبكة المقلوبة مسافة  $\sigma$  من المركز حيث  $\sigma = k/d_{hkl}$  و تكون  $k$  كمية ثابتة تؤخذ مساوية لـ  $\lambda$  أو 1.

ويوضح شكل (٤-١٣) العلاقة بين شبكة حقيقة في بعدين وشبكتها المقلوبة والشبكة في الأبعاد الثلاثة تكون ببساطة من مستويات شبكات في

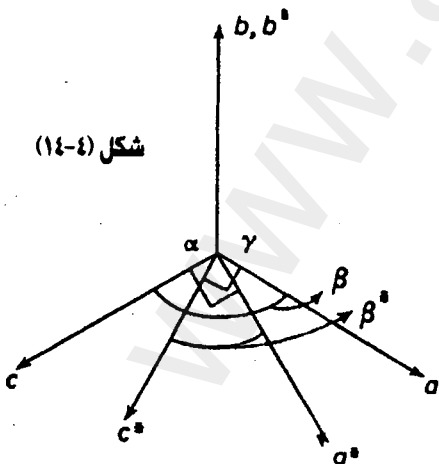
بعدين تقع الواحدة فوق الأخرى وتكون العلاقة بين هذه المستويات معتمدة على النظام البلوري.



شكل (١٣-٤)

كما أنه من المعاد تسمية المحاور والزوايا للوحدة البنائية للشبكة الحقيقة  $a, b, c, \alpha, \beta, \gamma$  وفي حالة الشبكة المقلوبة تسمى  $a^*, b^*, c^*, \alpha^*, \beta^*, \gamma^*$  كذلك يسمى الحجم في حالة الشبكة الحقيقة  $V$  وفي حالة الشبكة المقلوبة  $V^*$  والعلاقة بين الوحدة البنائية الحقيقة والمقلوبة تعتمد على النظام البلوري، فإذا كانت  $\alpha = \beta = \gamma = 90^\circ$  فإن محاور الوحدة الحقيقة والمقلوبة تكون منطبقاً على بعضها وفي حالة النظام أحادي الميل  $\alpha = \gamma = 90^\circ$   $\beta \neq 90^\circ$  Monoclinic ف تكون المحور  $b$  فقط متفقاً مع مقلوبة (شكل ١٤-٤).

شكل (١٤-٤)



وفي حالة النظام ثلاثي الميل Triclinic فلا ينطبق أى من المحاور الحقيقة مع المحاور المقلوبة (إلا إذا كان ذلك بطريق الصدفة) يحتوى الجدول (١-٤) على معاملات توضح العلاقة بين معاملات الشبكة الحقيقة والمقلوبة.

العلاقة الأساسية بين أطوال محاور الوحدة البنائية للشيكة الحقيقة والملووبة تتضح من تعريف الشيكة الملووبة وهي:

$$a^* = k/d_{(100)} \quad , \quad b^* = k/d_{(010)} \quad , \quad c^* = k/d_{(001)} \quad (4-19)$$

$d$  هي المسافة البينية بين المستويات يمكن أن تساوى أو لا تساوى طول المحور الحقيقي معتمدة على النظام البلوري وإذا كانت  $\lambda = k$  وهو طول موجه الأشعة المستخدمة في عملية الحيود فإن أطوال المحاور  $a^*, b^*, c^*$  تكون بدون وحدات dimensionless.

جدول (٤-١)

$$a^* = \frac{b \ c \ \sin\alpha}{V} \quad , \quad b^* = \frac{a \ c \ \sin\beta}{V} \quad , \quad c^* = \frac{a \ b \ \sin\gamma}{V}$$

$$a = \frac{b^* c^* \sin\alpha^*}{V^*} \quad , \quad b = \frac{a^* c^* \sin\beta}{V^*} \quad , \quad c = \frac{a^* b^* \sin\gamma^*}{V^*}$$

$$V = \frac{1}{V^*} = abc \sqrt{1 - \cos^2\alpha - \cos^2\beta - \cos^2\gamma + 2\cos\alpha \cos\beta \cos\gamma}$$

$$V^* = \frac{1}{V} = a^* b^* c^* \sqrt{1 - \cos^2\alpha^* - \cos^2\beta^* - \cos^2\gamma^* + 2\cos\alpha^* \cos\beta^* \cos\gamma^*}$$

$$\cos\alpha^* = \frac{\cos\beta \cos\gamma - \cos\alpha}{\sin\beta \sin\gamma} \quad ; \quad \cos\beta^* = \frac{\cos\alpha \cos\gamma - \cos\beta}{\sin\alpha \sin\gamma}$$

$$\cos\gamma^* = \frac{\cos\alpha \cos\beta - \cos\gamma}{\sin\alpha \sin\beta}$$

$$\cos\alpha = \frac{\cos\beta^* \cos\gamma^* - \cos\alpha^*}{\sin\beta^* \sin\gamma^*} \quad ; \quad \cos\beta = \frac{\cos\alpha^* \cos\gamma^* - \cos\beta^*}{\sin\alpha^* \sin\gamma^*}$$

$$\cos\gamma = \frac{\cos\alpha^* \cos\beta^* - \cos\gamma^*}{\sin\alpha^* \sin\beta^*}$$

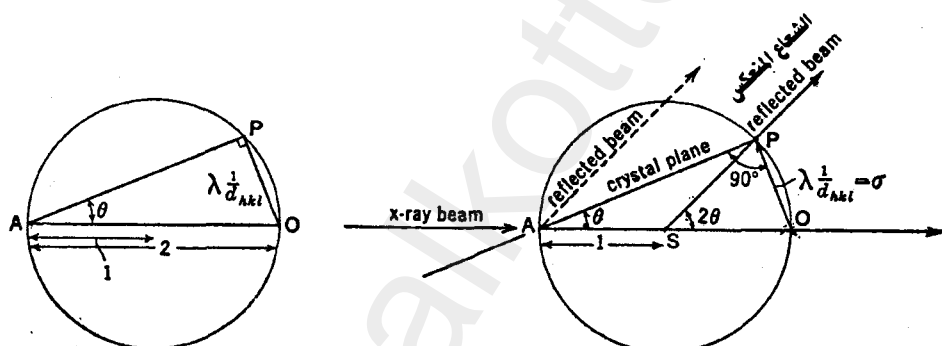
#### ٤-٤-٤ التفسير الهندسي لقانون براج:

#### Geometrical Interpretation of Bragg's Law

مفهوم الشبكة المقلوبة وَفَرَّطِيقَة سهلة وذات كفاءة للتعامل مع المشاكل الناشئة من ظاهرة حيود الأشعة السينية من البلورات، فقانون براج يمكن أن يكتب بالطريقة:

$$\sin \theta = \frac{\lambda}{2d(hk\ell)} \quad (4-20)$$

والتفسير الهندسي المباشر لهذه المعادلة مبين في شكل (٤-١٥) حيث  $\theta$  الزاوية بين قطر دائرة نصف قطرها 1 وخط واصل لنقطة في شبكة عكسية في نهاية متوجه قيمته  $\lambda/d(hk\ell)$ .



شكل (٤-١٥)

وهذا التفسير الهندسي هو عبارة عن شكل متوجهي له بعض الخواص الهامة تمثل في الآتى:

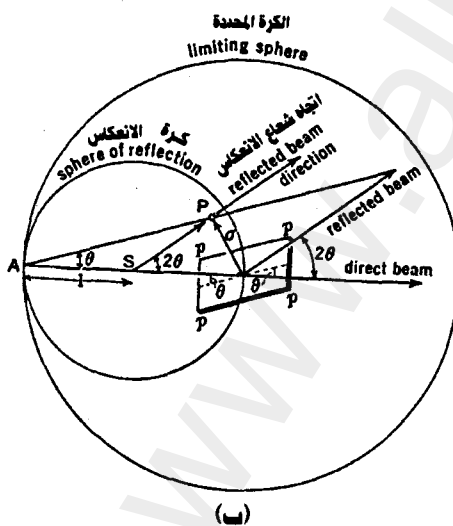
أ - يمثل الخط  $AO$  اتجاه أشعة  $X$ ،  $AP$  ميل المستوى البلوري العاكس حيث إنه يصنع زاوية  $\theta$  مع  $AO$ .

ب - حيث إن  $OP$  عمودي على المستوى  $AP$  فهو إذن اتجاه المتوجه من المركز إلى النقطة  $P$  في الشبكة المقلوبة التي تمثل المستوى الذي له ميل  $AP$ .

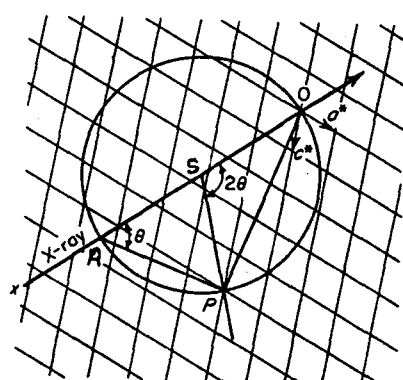
جـ- حيث إن  $OP$  بني أساساً مساوٍ للمتجه  $\lambda/d(hkl)$  فإن  $OP$  حقيقة يمثل متجه الشبكة المقلوبة في الطول (إذا كانت  $k = \lambda$ ) وكذلك في الاتجاه بالنسبة لشعاع أشعة  $X$ .

دـ- حيث إن الزاوية  $OSP$  تساوى  $2\theta$  فإن  $SP$  هو المتجه من مركز الدائرة إلى نقطة الشبكة المقلوبة  $P_{hkl}$  يمثل اتجاه الشعاع المنعكس.

في أي تجربة يكون طول الموجة  $\lambda$  ثابتاً واتجاه الشعاع  $AO$  كذلك ثابتاً ويكون المتغير في تجربة الحيوان البلور هو المسافة بين المستويات  $ld_{(hk\ell)}$  وكذلك وضع المستوى  $(hk\ell)$ . ويوضح الشكل (١٦-٤) أن عملية الحيوان تحدث فقط عندما يكون وضع البلور بحيث تكون نقطة الشبكة المقلوبة  $P$  ملائمة لحيط الدائرة  $S$  التي لها نصف قطر يساوى الوحدة وعندما يحدث ذلك ينبعث شعاع حيود في الاتجاه  $SP$ . هذا يسمح فقط ل نقاط الشبكة المقلوبة التي تكون قيمة  $5$  لها أصغر من العدد  $2$  أن تحدث انعكاساً. والمحل الهندسي لهذه النقط هو النقاط المحصورة داخل كره لها نصف قطر يساوى العدد  $2$  تسمى الكرة المحددة The Limiting Sphere (شكل ١٦-٤) أما الكرة التي نصف قطرها يساوى الوحدة فتسمى كرة الانعكاس Reflecting Sphere.



شكل (١٦-٤)



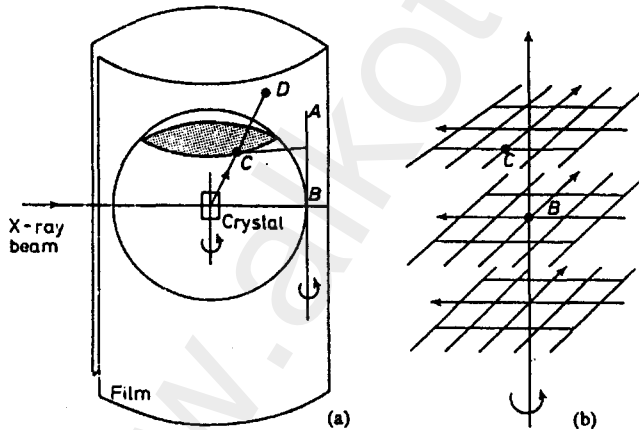
(b)

## ٤-٤ الشبكة المقلوبة وحيود الأشعة السينية:

### The Reciprocal Lattice and Diffraction of x-rays

يوضح شكل (١٧-٤) بلورة تدور حول محور عمودي على شعاع أشعة X إذا تصورنا كرية ذات نصف قطر يساوى الوحدة بنيت حول البلورة المتمرکزة في مركزها فإنه يمكن وصف الحيوانات الانعكاس من مستوى في البلورة كالتالي:

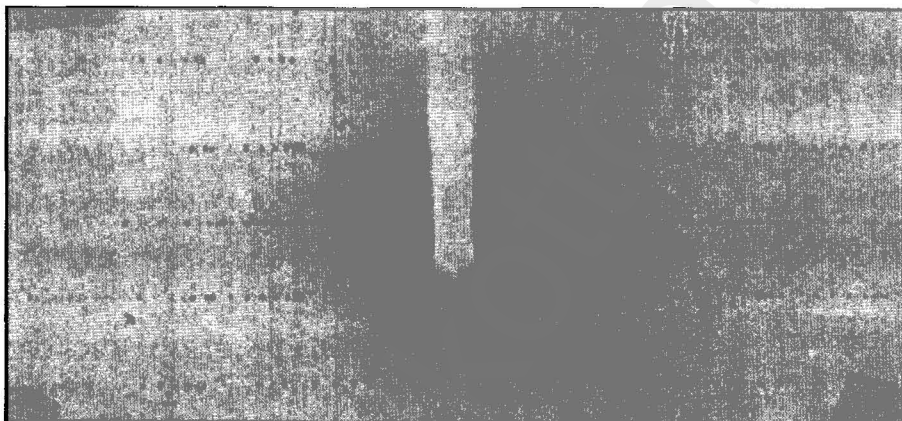
النقطة B التي تمثل النقطة التي يمر بها الشعاع الساقط عند خروجه من الكرة يمكن أن تعتبرها مركز الشبكة المقلوبة. وعند دوران البلورة حول محورها تدور الشبكة العكسية حول محور يمر بالنقطة B مواز لمحور الدوران، وكلما قطعت نقطة C مثلاً في الشبكة المقلوبة سطح الكرة ينبعث شعاع منعكس من البلورة يمر ببنقطة الشبكة المقلوبة الملائمة لسطح الكرة ثم يسقط على لوح فوتوغرافي حيث يكون موضوع (مثلاً) في شكل أسطوانة لها محور متطابق مع محور دوران البلورة حيث يسجل على اللوح في النقطة D.



شكل (١٧-٤)

ويوضح الشكل منظراً جانبياً للشبكة التي تدور حول نفسها حيث يحتوى كل مستوى (layer) في بعدين على شبكة من النقاط سوف تمر بسطح الكرة في مقطع دائري وإذا وصلت كل النقاط التي تمر بسطح هذا المقطع الدائري بالبلورة فإنه سينشأ مخروط من أشعة مختلفة لكل مستوى من الشبكة المقلوبة. هذه المخروطات هي مخروطات للأشعة المنعكسة ستقع لتسجل على الفيلم الفوتوغرافي

المحيط بالبلورة ويمكن تصور أن كل نقطة الشبكة المقلوبة في المستوى الواحد التي تقع على مخروط واحد سوف تسجل على الفيلم في نقطة تقع على خط مستقيم أفقى إذا ما بسط الفيلم الفوتوغرافي المطوى على شكل أسطوانة (شكل ١٨-٤) عملية وصف حيود الأشعة السينية من البلورة بدلالة الشبكة المقلوبة وكروة الانعكاس لها تطبيقات هامة في تفسير البيانات على الأفلام الفوتوغرافية وعلى سبيل المثال من الممكن معرفة إحداثيات ميلر  $hkl$  للانعكاسات التي تظهر كنقاط على الأفلام التي تسمى أفلام فايزنبرج كما سيتضح فيما بعد.



شكل (١٨-٤)

#### ٤- حيود الإلكترونات والنيوترونات Electron and Neutron Diffraction

كما أن شعاع الأشعة السينية له طبيعة مزدوجة حيث يعامل كموجة وك دقيقة فإنه بالطريقة العكسية يكون لفيض من الدقائق خواص الموجات؛ وللهذا فمثل هذا الفيض من الدقائق يمكن أن يحدث له ظاهرة الحيود من ترتيب منتظم لراكيز تشتيت وهذا ما تكهنت به ديروجلى سنة ١٩٢٤ وأثبتت عملياً بواسطة دافيسون وكرامر سنة ١٩٢٧ في حالة الإلكترونات، وبواسطة فون هالبان وبريسوبرك سنة ١٩٣٦ في حالة النيوترونات والمجات المصاحبة لفيض من الدقائق يكون لها طول مساو للمقدار:

$$\lambda = \frac{h}{mv} \quad (4-21)$$

حيث  $h$  ثابت بلانك،  $mv$  هي كمية الحركة لهذه الدقائق ( $m$  هو وزن الدقيقة،  $v$  هي سرعتها).

إذا سقط فيض من الدقائق على بلوحة فإنه يحدث حيودا حسب قانون براج كما يحدث في حالة الأشعة السينية وفي هذه الحالة يمكن التكهن باتجاه شعاع الحيود باستخدام هذا القانون وحساب طول الموجة المصاحبة من المعادلة (4-21). وقد ثبت أن كلًا من الإلكترونات والنيوترونات دقائق ذات فائدة في دراسة تركيب المواد الصلبة باستخدام ظاهرة الحيود ووجد أن لهذه التقنية تطبيقات كثيرة في مجال دراسة المعادن وفيزياء وكيمياء المواد الصلبة، والفرق بين حيود الأشعة السينية والإلكترونات والنيوترونات من البلورات أن هذه التقنيات تكمل بعضها البعض بدرجة كبيرة كل منها يعطينا معلومات معينة لا تعطيها التقنيات الأخرى.

#### ٤-٥-١ حيود الإلكترونات:

يمكن الحصول على فيض من الإلكترونات السريعة بطرق مماثلة للحصول على الأشعة السينية من الأنابيب وطول موجة الموجات المصاحبة للإلكترونات تعتمد على فرق الجهد المستخدم حيث إن طاقة الحركة للإلكترونات تعطى بالمعادلة :

$$\frac{1}{2} m v^2 = e V \quad (4-22)$$

حيث  $e$  هي شحنة الإلكترون،  $V$  هو فرق الجهد من (4-21)، (4-22) نجد أن  $\lambda$  تتناسب عكسيا مع  $V$  كالتالي :

$$\lambda = \sqrt{\frac{150}{V}}$$

حيث تكون  $\lambda$  بالإنجستروم وتكون  $V$  بالفولت.

المعادلة السابقة ينقصها بعض التصويبات النسبية عند استخدام الجهد العالي نتيجة لتغير كتلة الإلكترون مع السرعة. فإذا كان الجهد المستخدم يساوى 100 KV (مائة كيلو فولت) فإن طول الموجة المصاحبة للإلكترون (طول موجة

الإلكترون) تكون حوالي  $0.04 \text{ \AA}$  وهي أقصر من طول موجة الأشعة السينية المستخدمة في تجارب الحيوان.

ويختلف حيود الإلكترونات عن حيود الأشعة السينية في النقاط التالية:

- ١ - أن الأشعة الإلكترونية تكون أقل في قدرتها على الاختراق من الأشعة السينية وهي ت penetrate بسهولة أكثر بواسطة الهواء الذي يعني أن العينة المراد فحصها والفيلم الحساس الذي يسجل عليه شكل الحيوان لابد وأن يكونا داخل الأنبوة المفرغة التي يتبع فيها الشعاع الإلكتروني، ولا يمكن الحصول على شكل الحيوان النافذ إلا إذا كان سمك العينة قليلاً جداً أي تكون على شكل رقائق أو شرائط. ويمكن الحصول على شكل حيود انعكاسي من العينات السميكة باستخدام تقنية معينة (glancing angle technique)، ولهذا فإن حيود الإلكترونات يصلح لدراسة طبقات الأسطح الرقيقة (حوالي جزء من مائة من الميكرومتر).
- ٢ - إن الإلكترونات تتشتت بنسبة أكبر كثيراً من الأشعة السينية وعلى هذا فإن شريحة رقيقة من المادة يمكن أن تعطي شكل الحيوان في وقت قصير.
- ٣ - إن شدة تشتت الإلكترونات تقل بزيادة الزاوية  $2\theta$  كما هو حادث في حالة الأشعة السينية ولكن معدل النقصان يكون بنسبة أكبر، وفي هذه الظروف بالإضافة لقصر طول موجة الأشعة الإلكترونية فإن هذا يجعل شكل الحيوان محدوداً بقيمة للزاوية  $2\theta \approx 4^\circ$ . وكل الدراسات التي تجري في الوقت الحالي تكون باستخدام الميكروسکوب الإلكتروني وبذلك يعمل الجهاز كميكروسکوب وجهاز حيود في نفس الوقت وشكل الحيوان يوضح لنا وضع البلورات (الحييات) تحت الاختبار.

وتطبيقات آخر في مجال الحيود للإلكترونات ذات الطاقة المنخفضة Low Energy Electron Diffraction (LEED) وهو يجرى باستخدام أجهزة خاصة تعمل بجهد تشغيل في حدود 100 فولت، وبذلك تكون الإلكترونات لها

طاقة منخفضة لا تسمح إلا باختراق طبقة واحدة من الذرات على سطح العينة، وبذلك يكون شكل الحبيود الناتج موضحاً ترتيب هذه الطبقة من الذرات على السطح وهو غالباً ما يكون ترتيباً مختلفاً عن ذلك الموجود داخل المادة، وهذه الدراسات تعتبر هامة في تفهم ظاهرة ظاهرة العوامل المساعدة في التفاعل . (Catalysis)

#### ٤-٥-٤ حبيود النيوترونات:

يمكن الحصول على تيار من النيوترونات من خلال فتحات في مفاعل نووي، والنيوترونات في مثل هذا الشعاع تكون لها طاقة حركة تمتد على مدى ملموس ولكن للحصول على شعاع من النيوترونات وحيد الموجة أى يتكون من نيوترونات لها نفس قيمة الطاقة فيمكن الحصول عليه بعد حيوده من البلورة، وبعد ذلك يمكن استخدامه في تجارب للحيود فإذا كانت  $E$  هي طاقة الحركة للنيوترونات فيكون:

$$E = \frac{1}{2} mv^2 \quad (4-23)$$

حيث  $m$  هي كتلة النيوترون ( $1.68 \times 10^{-27}$  كيلو جرام)،  $v$  هي سرعته ومن المعادلات (4-21)، (4-23) يمكن استنتاج طول موجه الشعاع النيوتروني

$$\lambda = h / \sqrt{2mE} \quad (4-24)$$

والنيوترونات الصادرة من المفاعل النووي يمكن توزيع طاقتها الحرارية مثل ذلك التوزيع لجزيئات الغاز في حالة اتزان حراري. أى أنها تتبع قانون ماكسويل للتوزيع Maxwell distribution law، وعلى هذا فالنسبة الأكبر من هذه النيوترونات الحرارية Thermal neutrons لها طاقة حرارية تساوى  $KT$  حيث  $K$  هو ثابت بولتزمان Boltzmann's constant و  $T$  هي درجة الحرارة المطلقة. وإذا كانت هذه النسبة هي المختارة بواسطة البلورة فإنه بالتعويض عن  $E = KT$  ينتج:

$$\lambda = \frac{h}{\sqrt{2mkT}} \quad (4-25)$$

وإذا كانت  $T$  في حدود  $300^{\circ}\text{K}$  إلى  $400^{\circ}\text{K}$  فإن هذا يعني أن  $\lambda$  تتراوح بين  $1\text{\AA}$  إلى  $2\text{\AA}$  أي أنها تكون في حدود طول موجة الأشعة السينية.

وتجرى التجارب باستخدام جهاز حيود النيوترونات حيث تقامس شدة شعاع الحيود من العينة باستخدام عدد التنااسب الملموء بغاز  $\text{BF}_3$ .

وحيود النيوترونات يختلف اختلافاً كبيراً عن حيود الأشعة السينية والإلكترونات في الآتي :

١ - الشعاع النيوتروني يكون له قدرة نفاذية أكبر فإذا وضع لوح من الحديد سماكة  $1\text{cm}$  في مسار أشعة إلكترونية فإنه يمتصها بنسبة 100% وكذلك يمتص أشعة إكس التي طول موجتها  $1.5\text{\AA}$  بنفس النسبة بينما يسمح بنفذ 35% من شعاع نيوتروني طول موجته  $1.5\text{\AA}$ .

٢ - شدة تشتت الأشعة النيوترونية تتغير تغيراً غير منتظم مع العدد الذري  $Z$  للذرات المشتتة؛ فالذرات التي لها تقريريا نفس العدد الذري يمكن أن يكون لها قدرة تشتت مختلفة كما أنه يمكن لبعض العناصر التي يكون لها أعداد ذرية قيمتها بعيدة عن بعضها البعض أن تشتت النيوترونات بنفس القدرة وأبعد من ذلك فإن بعض المواد الخفيفة مثل الكربون نجدها تشتت النيوترونات بقدرة أكبر من بعض المواد الثقيلة مثل التنجستين. وعلى ذلك فإنه يمكن تعين التركيب باستخدام حيود النيوترونات لمواد لا يمكن تعين تركيبها أو يكون من الصعب تعينه باستخدام حيود الأشعة السينية أو حيود الإلكترونات، وعلى سبيل المثال ففي بعض المركبات التي تحتوي على ذرات كربون وأيدروجين ومادة ثقيلة فإن الأشعة السينية لا ترى ذرات الأيدروجين بسهولة نتيجة قدرتها الضعيفة على تشتت الأشعة، بينما موقعها في الشبيكة البلورية يمكن تعينه بسهولة باستخدام حيود النيوترونات.

النيوترونات أيضاً يمكن أن تفرق في أحوال عديدة بين عناصر تختلف أعدادها الذرية بقيمة الوحدة وهي العناصر التي تشتت الأشعة السينية بنفس القدرة تقريرياً.

-٣- النيوترونات لها عزم مغناطيسي صغير وإذا كانت الذرة المشتتة هي أيضا لها عزم مغناطيسي فإنه يحدث تفاعل بين الاثنين ويؤثر ذلك على التشتت الكلى . فى الماد الذى لها ترتيب منتظم لعزم الذرات (الماد الفرومغناطيسية الفري מגناطيسية ferromagnetic and ferrimagnetic) يمكن بواسطة حيود النيوترونات الكشف عن قيم هذه العزوم واتجاهها فقط؛ لذا فإنه بواسطة حيود النيوترونات يمكن دراسة التركيب المغناطيسي .



## أسئلة على الفصل الرابع

- ١- عرف ما يأتي :
- ب- الشبيكة المقلوبة .
  - أ- الحيود .
  - ج- كرة الانعكاس .
  - د - الكرة المحددة .
- ٢- اذكر قانون براج واشرح كيف يمكن استخدامه بدون العدد الصحيح  $n$  .
- ٣- كيف يمكن تفسير قانون براج هندسيا .
- ٤- ما هو الفرق بين الانعكاس والحيود من البلورات .
- ٥- ما هي أوجه الخلاف بين حيود النيوتونيات وكل من حيود الأشعة السينية والإلكترونات .



# طرق تسجيل شكل الحيوان

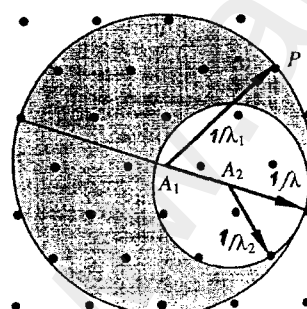
توجد طرق كثيرة لتسجيل شكل الحيوان تعتمد على الشكل الذي توجد عليه العينة إن كانت بلورة أحادية أو مادة على شكل مسحوق وكذلك على نوع الأشعة المستخدمة إن كانت أشعة ذات طيف مستمر أو أشعة وحيدة الموجة.

## ١-٥ الحيوان من البلورات الأحادية:

حيوان الأشعة السينية من البلورات الأحادية هو الطريقة العملية الرئيسية لتعيين التركيب البلوري والجزئي وهي تشمل عدداً من التقنيات باستخدام دوران البلوره وتسجيل شكل الحيوان بواسطة أفلام فوتونغرافية أو مناقل goniometers بها عدادات لقياس شدة الأشعة وتجميع البيانات.

### ١-١-٥ طريقة لاوى Laue Photograph

تستخدم في هذه الطريقة بلورات أحادية وتكون الأشعة المستخدمة هي الأشعة ذات الطيف المستمر (white radiation) واتجاهها بالنسبة للبلوره اتجاه ثابت، وكذلك تكون البلوره ثابتة في مكانها وإذا افترضنا أن الأشعة المستخدمة يختلف الطول الموجي لها بين  $\lambda_1$  كنهاية صغرى،  $\lambda_2$  كنهاية عظمى.



شكل (١-٥)

وحيث إن الشبكة العكسية التخيلية ترسم نقاطها على أبعاد  $\frac{k}{d}$  فإنه إذا كانت  $k$  وهي الكمية الشابة تساوى الواحد الصحيح فإن دائرة الانعكاس في هذه الحالة يكون نصف قطرها  $\frac{1}{\lambda}$  وبذلك فإن الدائريتين المبيتين في الشكل ذوات الأقطار  $\frac{1}{\lambda_1}$  ،  $\frac{1}{\lambda_2}$  هما دائري الانعكاس لحدود طول الموجة المستخدمين وتكون المستويات التي تمثلها نقاط الشبكة البلورية العكسية المحصورة بين محيطي الدائريتين هي المستويات التي تحقق قانون براج وهي التي يمكن أن تعطى انعكاسات.

وتوجد طريقتان لتصوير الحيوان بهذه الطريقة تعتمد على وضع المصدر بالنسبة للبلورة والفيلم وفي كلتا الطريقتين يكون الفيلم مستويا ويوضع عموديا على الشعاع الساقط.

في الطريقة النافذة يوضع الفيلم خلف البلورة حتى يمكن تسجيل الأشعة المنعكسة في الاتجاه الأمامي، وتسمى هذه الطريقة بالطريقة النافذة لأن الأشعة تنفذ نسبيا خلال البلورة.

أما في طريقة الانعكاس الخلفي فيوضع الفيلم بين البلورة ومصدر الأشعة حيث يمر الشعاع الساقط خلال ثقب في الفيلم حيث تسجل الانعكاسات التي تحدث في الاتجاه الخلفي.

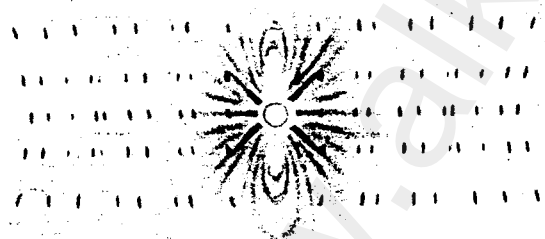
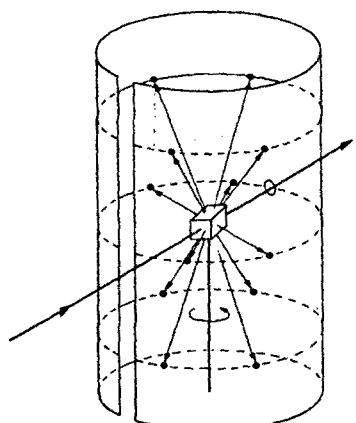
ويعتمد مكان النقاط في الفيلم على وضع البلورة بالنسبة للشعاع الساقط، ومن الصعب معرفة المستويات المحدثة لأية نقطة على الفيلم حيث إن كل مستوى يعكس أشعة ذات طول موجي مختلف عن المستوى الآخر.

الفائدة الرئيسية لهذا النوع من الأفلام هي معرفة متماثل البلورة الذي يظهر في تماثل شكل الحيوان.

## ٢-٥ طريقة البلورة الدوارة Rotation Photographs

في هذه الطريقة تعلق البلورة وأحد محاورها عموديا على الأشعة السينية التي تكون وحيدة الموجة ويحيط بالبلورة فيلم على هيئة أسطوانة حيث تدور البلورة حول محورها ويكون محور الفيلم متخدما مع محور دوران البلورة، وكلما دارت البلورة يحدث أن بعض المستويات تكون لحظيا في وضع بحيث إن زاوية براج تكون مناسبة لطول موجة الأشعة الساقطة، حيث يحدث انعكاس لحظي من هذه المستويات.

ولأن البلورة تكون معلقة بحيث إن محورها يكون رأسيا فإن محور الشبكة المقلوبة يكون أيضا رأسيا وتكون نقاط الشبكة العكسية مرتبة في مستويات عمودية على محور الدوران، وبهذا تقطع نقاط الشبكة البلورية كرة الانعكاس في مستويات عمودية على محور الدوران وتقع الأشعة المنعكسة على مخروطات لها زوايا تختلف باختلاف مستوى الشبكة النقطية المقلوبة، والنتيجة أن النقاط على الفيلم عندما يسط تكون واقعة على خطوط أفقية تخيلية كما هو واضح في شكل (٢-٥).



شكل (٢-٥)

إذا كانت البلورة مثلا معلقة على المحور  $c$  فإن النقاط على كل خط أفقي يكون لها نفس المعامل  $\beta$  ويمكن حساب طول المحور الرأسى للبلورة من المسافة البينية بين مستويات النقاط على الفيلم التي يمكن قياسها حيث إن:

$$c = \frac{n\lambda}{\beta} \quad (5-1)$$

$n$  هو رقم مستوى النقاط على الفيلم.

$\beta$  تعطى بالمعادلة:

$$\beta = \frac{y}{\sqrt{y^2 + r^2}} \quad (5-2)$$

حيث  $y$  هي المسافة بين المستوى  $n$  والمستوى الصفرى على الفيلم وتقاس  $y$  بالملليمتر وكذلك  $r$  وهى نصف قطر الفيلم.

ومن ثلاثة أفلام تؤخذ للبلورة وهى تدور حول محاورها الثلاثة يمكن حساب أطوال المحاور  $a$ ,  $b$ ,  $c$ .

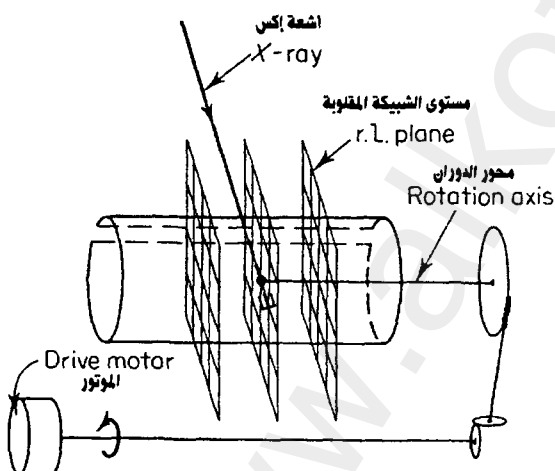
أما عملية تعين إحداثيات ميلر  $hk\ell$  (Indexing) لكل الانعكاسات على الفيلم فإنها تتم بمعاونة الشبكة المقلوبة المناسبة وذلك بمقارنة الإحداثيات  $\ell$ ،  $h$ ،  $k$  لكل نقطة على الفيلم.

$\ell$ ،  $h$ ،  $k$  هي إحداثيات النقاط في الشبكة المقلوبة ويمكن حسابها من الفيلم بالمعادلة (5-2)، (5-3) بمعاونة خرائط خاصة.

$$\frac{\lambda}{d} = \frac{\ell}{\sin \theta} \quad (5-3)$$

وهذه العملية من الصعب تحقيقها عملياً نظراً لكثره عدد الانعكاسات وتراكمها فوق بعضها؛ ولذلك يمكن جعل البلورة تتذبذب فقط حول وضع معين لزاوية بسيطة أو استخدام طريقة الأفلام المتحركة.

### ٣-١ طريقة الأفلام المتحركة



شكل (٣-٥)

تركيب الكاميرا لفائزنبرج والمكان المتوقع لثلاث مستويات من الشبكة المقلوبة

خطا واحداً على فيلم البلورة الدوارة حيث تنتشر على فيلم فوتوغرافي يوضع على حامل أسطواني يتحرك بسرعة منتظمة موازياً لمحور البلورة.

طريقة الفيلم المتحرك تعود إلى فائزنبرج Weissenberg عن طريقة البلورة الدوارة في أن تجميع الانعكاسات يتم في نفس الوقت لمستوى واحد فقط من النقاط (شكل ٣-٥) حيث تستخدم حواجز أسطوانية توضع بحيث تحجز كل الانعكاسات الصادرة من البلورة إلا التي تقع على سطح مخروط واحد وهي التي تكون

ويتم تجميع الانعكاسات على الفيلم أثناء ذبذبة البلورة بزاوية  $180^\circ$  وتحريك حامل الفيلم بحيث تكون ذبذبة البلورة وحركة الفيلم متقاربة ومترادفة، وعلى هذا فإن جميع الانعكاسات التي تقع على سطح مخروط واحد أى المكونة لخط واحد على فيلم البلورة الدوارة تنتشر على سطح الفيلم كله.

وكل كاميرا من هذا النوع تكون مصنعة بحيث يكون لها ثوابت هي:  
 $C_1, C_2$  تعطى بالمعادلات :

$$r = C_1 x$$

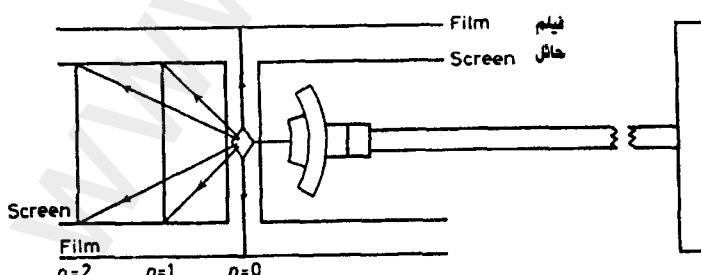
$$C_1 = \frac{r}{x} = \frac{360}{2\pi r_f} \quad (5-4)$$

حيث  $\tau$  هي زاوية الانعكاس  $2\theta$ ،  $x$  هي المسافة بين النقطة المنعكسة إلى الخط المركزي للفيلم،  $r_f$  هو نصف قطر قطر الفيلم.

وإذا كان نصف قطر الفيلم  $r_f$  يساوى  $57.296 \text{ mm}$  تكون  $C_1 = 2$  وهي القيمة المناسبة لكاميرات فيزنيبرج حيث تكون في هذه الحالة قيمة  $x = 2\theta$  أى أن  $x$  بالمليمتر = قيمة  $\theta$  بالدرجات.

أما الثابت  $C_2$  فيعطي المعادلة .

$\omega$  هي زاوية دوران البلورة اللازم دورانها من نقطة البداية حتى يحدث انعكاس،  $z$  هي المسافة التي يتحرك بها الفيلم خلال الدوران بالزاوية  $\omega$  وعادة تختار قيمة  $C_2$  لتكون مساوية لقيمة  $C_1$  أى أنه بدوران البلورة درجة واحدة يكون الفيلم قد تحرك مسافة 2 ملليمتر (شكل ٤-٥).



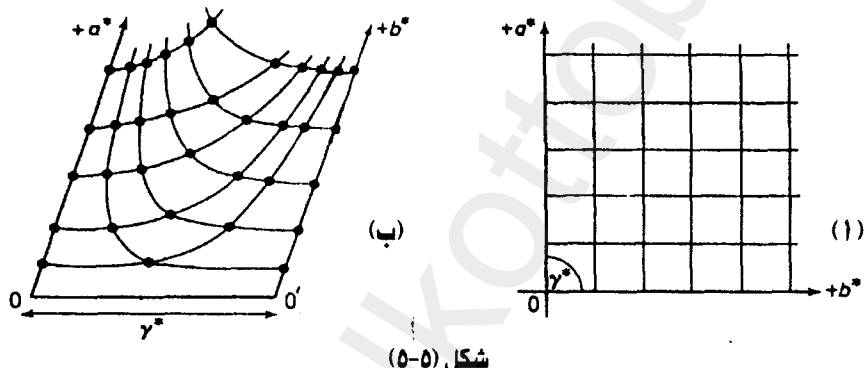
شكل (٤-٥) شكل يوضح كيفية السماح لمستوى واحد من الانعكاسات (n=0) للوصول للفيلم لتسجيل الانعكاسات الصادرة منه فقط

ويوجد نوعان من أفلام فايزنبرج هي:

#### ٤-٥-٤ أفلام فايزنبرج ذات الشعاع العمودي:

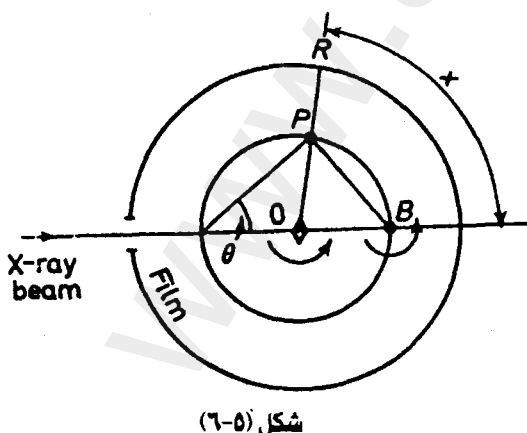
#### Normal Beam Weissenberg Photographs

في هذا النوع من الأفلام يكون محور ذبذبة البلورة عموديا على الشعاع الساقط ويكون الفيلم الفوتوغرافي في هذه الحالة ما هو إلا صورة محرفة للشبكة العكسية في مستويين فكل نقطة في الشبكة العكسية تصبح انعكاسا من مجموعة مستويات في الشبكة الحقيقية (شكل ٥-٥) ويمكن تحديد معاملات ميل للانعكاسات على الفيلم بالنظر كما أنه في الإمكان من مثل هذا الفيلم تعين أطوال محورين من محاور الشبكة العكسية وكذلك الزاوية بينهما كالتالي:



#### ٤-١-٤ من شبكة مقلوبة

بـ- النقاط الموجودة في هذا الربع من الشبكة المقلوبة وكيفية ظهورها على الفيلم



بعا لنظرية الشبكة العكسية فإن الانعكاس يحدث عندما تلامس نقطة في الشبكة العكسية دائرة الانعكاس، ويوضح شكل (٦-٥) المستوى الصفرى لشبكة عكسية تدور عند النقطة B ونقطة من الشبكة العكسية تقطع دائرة الانعكاس

عند P. والدائرة الخارجية تمثل الفيلم الفوتوغرافي والشعاع المنعكس من البلورة يقع على الفيلم عند R.

$$\hat{POB} = 2\theta$$

والمسافة الرأسية (x) لنقطة على الفيلم من خط الاعتدال للفيلم تعطى بالمعادلة:

$$\frac{x}{\pi r} = \frac{2\theta}{180} \quad (5-5)$$

حيث  $r$  نصف قطر الفيلم الذي يختار بحيث إن  $\pi r = 90^\circ$  وبذلك تكون  $x$  مساوية للزاوية  $\theta$ .

من قانون براج ...

$$\therefore \frac{\lambda}{d} = 2 \sin \theta = a^*$$

حيث تفاس  $x$  بالملليمتر، ومنها يمكن حساب طول  $a^*$  لحساب الوحدة التكرارية، وعادة تستخدم النقطة التي تكون قيمة  $\theta$  لها كبيرة ومن  $a^*$  يمكن حساب طول الوحدة البنائية في الشبكة الحقيقية.

أما طريقة تعين الزوايا بين محاور الشبكة العكسية فتتم برسم المحاور العكسية على الفيلم ثم قياس المسافة بينها عند نقطة التقائها مع خط الاعتدال (equator) للفيلم وضِعْف هذه المسافة المقاسة بالملليمتر تعطى الزاوية بين المحاور.

وعمليا يتم معايرة أفلام فايزنبرج باستخدام فيلم لعينة على شكل مسحوق معروف قيمة  $d$  لأنعكاساتها بدرجة كبيرة من الدقة حتى يكون تعين أبعاد الوحدة البنائية على نفس القدر من الدقة.

## ٥-١-٥ أفلام فايزنبرج متساوية الميل:

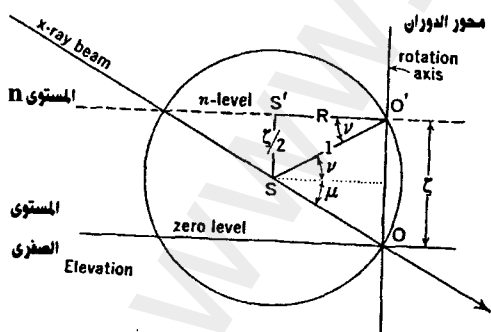
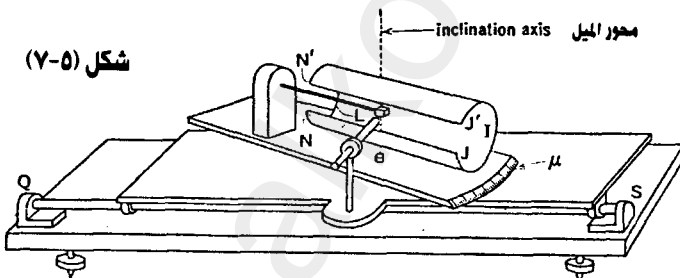
### Equi- in elation Weissenberg Photographs

هذا النوع من الأفلام يستخدم لتصوير الانعكاسات للمستويات الأعلى من المستوى الصفرى للبلاوره الدواره حيث وجد أنه إذا صورت هذه الانعكاسات على فيلم فايزنبرج يؤخذ بحيث يكون الشعاع الساقط والأشعة المنعكسة متساوية في ميلها على مستويات الشبيكة العكسية فإن عملية تفسيرها يكون بسيطا إلى حد بعيد.

في هذه الحالة تدار الكاميرا بزاوية  $\gamma$  شكل (٧-٥) بحيث يصبح الشعاع الساقط على البلاوره يقع على امتداد أحد المسات المكونة لخروف الانعكاسات الناتجة من مستوى الشبيكة العكسية  $n$  الذي يراد فحصه (تصويره) وإذا كانت زاوية الميل  $\mu$  تساوى  $\gamma$ .

$$\therefore \mu = -\gamma = \sin^{-1} \frac{\gamma}{2} \quad (5-6)$$

شكل (٧-٥)



شكل (٨-٥)

ويوضح شكل (٨-٥) أن مركز الشبيكة العكسية يقع عند نقطة التقائه الشعاع الساقط مع دائرة الانعكاس عند خروجه منها وأن مركز الشبيكة العكسية لمستوى  $n$  يقع عند النقطة  $R$  حيث يلامس أيضا دائرة الانعكاس وبذلك فإن الدائرة تكون مائلة للدائرة الاستوائية للأشعة المنعكسة من مستوى الصفرى للشبيكة العكسية

وحيث إن نصف قطر كرة الانعكاس يساوى الوحدة،  $CD = \frac{r}{2}$  فإن نصف قطر الدائرة  $AB$  يصبح:  $\sqrt{\frac{r^2}{4} - (\frac{r}{2})^2}$  وليس الوحدة كما هو في حالة المستوى الصفرى،  $\gamma$  هى الإحداثى الموازى لمحور الدوران لل المستوى  $n$  للشبيكة العكسية المسافة  $s$  التي يجب أن يحرك بها الحاجز الأسطوانى من وضع المستوى الصفرى حتى يصبح من الممكن سقوط الانعكاسات من المستوى الأعلى على الفيلم هى  $s = R \tan \mu$  حيث  $R$  هو نصف قطر الحاجز.

وفي حالة المحاور البلورية العمودية يكون من الصعب تفسير الانعكاسات الموجودة أى معرفة معاملات ميلر لها بمجرد النظر إليها ويفضل رسم أو بناء الشبيكة العكسية من القيم المقاومة لكل من  $\varphi$ ،  $\gamma$  وهى إحداثيات نقط الشبيكة العكسية حيث تعطى بالمعادلات:

$$\gamma = 2\sqrt{1 - (\frac{r}{2})^2} \sin \frac{\varphi}{2} \quad (5-7)$$

$$\bar{\varphi} = \omega - \frac{\pi}{2} \quad (5-8)$$

## ٢- جهاز الحيود من البلورات الأحادية: Single Crystal Diffractometer

يتكون جهاز الحيود بصفة عامة من أجزاء عدة تكون معتادة في كل الأجهزة وهي مصدر لأشعة X- جهاز للحصول على شعاع أولى من الأشعة السينية- حامل للعينة ووحدة للكشف وإجراء عملية عد لقياس شدة الأشعة المنعكسة من العينة (عداد للأشعة السينية) ومن الضروري أيضا وجود وحدة لقياس الزوايا (Goniometer) لقياس الأوضاع المتبادلة للشعاع الساقط والعينة واتجاه الأشعة المنعكسة حتى يمكن تحقيق شروط حدوث الانعكاس.

في معظم الأحوال تكون أجهزة الحيود مزودة بمكشاف للأشعة له نافذة لالتقاط الأشعة المنعكسة، وهذه العدادات لها القدرة على فحص نقطة واحدة في الفضاء العكسي (reciprocal space) للشبيكة البلورية في نفس اللحظة وهي لذلك تسمى مكشافات نقطية point detector وهذا يعني أنه يجب عمل المسح لكل النقط في الفضاء العكسي للشبيكة البلورية الواحدة تلو الأخرى باستخدام مثل هذه

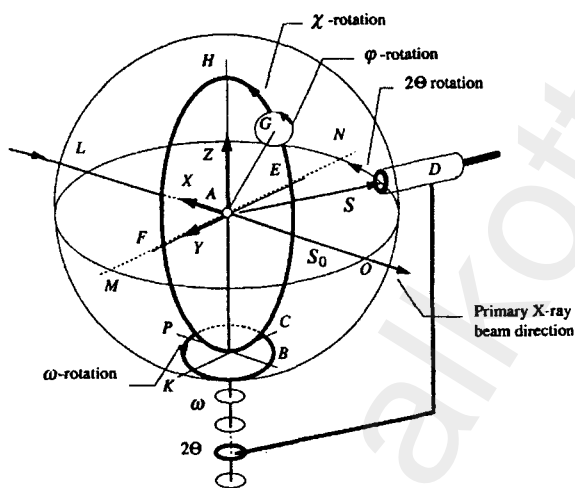
المكشافات حتى يمكن الحصول على كل مجموعة الانعكاسات الصادرة في الأبعاد الثلاثة، وهذا المسح الشامل يمكن الحصول عليه بعملية ضبط لدوران البلورة ووضع كل من مصدر الأشعة الساقطة والمكشاف على مقاييس الزوايا (النقل) Goniometer. يوجد نوعان من تصميم أجهزة حيود الأشعة السينية من البلورات الأحادية بحيث تفي هندسيا بال أغراض الموضحة عاليه.

وهذان النوعان هما:

١ - أجهزة حيود ذات ثلاث دوائر Three circle diffractometer

٢ - أجهزة حيود ذات أربع دوائر Four circle diffractometer

والنوع الثاني هو النوع الواسع الاستخدام في مجال تعين التركيب البلوري. وتصميم الجهاز موضح بشكل (٩-٥).



شكل (٩-٥)

المبدأ الهندسي لجهاز تسجيل الحيود ذو الأربع دوائر

وفي الأجهزة المعتادة يكون مصدر أشعة إكس (أنبوبة الأشعة) ثابتًا والشعاع دائمًا يمر خلال مركز LAQ جهاز قياس الزوايا (النقل) الذي يكون مركزاً مشتركاً لكل الدوائر الأربع للجهاز

ومركز نظام الإحداثيات (Eulerian coordinate system) الثابت في الفضاء الحقيقي يكون عند مركز جهاز قياس الزوايا، وتوضع البلورة عند هذه النقطة A والشعاع الساقط LAO والأشعة المنعكسة S تكون دائماً في المستوى الأفقي أي المستوى الصفرى LMON. أما المكشاف D الذي يسجل أشعة الحيود فهو يدور حول المحور الرأسى AH الذي يمر خلال مركز جهاز قياس الزوايا (Goniometer) وتكون نافذته أيضاً في المستوى الصفرى (الأفقي) والبلورة الأحادية توضع في

المركز عند النقطة A وتوصل بحامل العينة الذى يمكن العينة من الدوران حول ثلاثة محاور، فالدائرة الأولى تمكن العينة من الدوران حول المحور AG ويسمى المحور φ وهذا المحور يمكن الدوران فى المستوى FHE. كما هو واضح من الشكل، وهذا يعني أن الدائرة G الخاصة بالدوران حول المحور φ هى نفسها يمكنها الحركة على امتداد الدائرة FHE. هذه الدائرة (FHE) تسمى الدائرة ψ. وهذا التجمع من الدائرتين φ، ψ ككل يمكنه الدوران حول محور رأسى Z يسمى المحور ω (وبالتالى فإن الدائرة PKBC تسمى الدائرة ω).

ومن الرسم يتضح أن المحاور الهندسية ω، θ، 2θ في نفس المستوى.

هذا يعني أنه خلال أي دوران يظل مكان العينة أثناء دورانها في مركز الجهاز وأنها طول الوقت معرضة لسقوط الأشعة عليها.

وأثناء القياس لأى انعكاس يدور المكشاف (العداد) خلال الزاوية 2θ وفي نفس الوقت تدور الدائرة حول المحور الرأسى خلال زاوية ω تساوى θ وهذا يحدث بواسطة الدائرة الرابعة ω وهذه الدائرة متحددة المركز مع الدائرة 2θ والتي ترکب عليها الدائرة ψ والوضع المعتمد يكون بحيث إن الدائرة ψ تنصف الشعاع الساقط والشعاع المنعكس.

وتلخيصا لما سبق فإن الدائرتين φ، ψ تضبطان بحيث يكون الشعاع المنعكس في المستوى الأفقي ويمكان الدائرتين ω، 2θ أن يجعلا البلورة تدور لوضع انعكاس وأن شعاع الانعكاس يقع على كاشف الأشعة.

معظم أجهزة الحيوיד من البلورات الأحادية الحديثة أجهزة أوتوماتيكية تماماً أى أن تشغيلها يتم التحكم فيه بواسطة حاسب آلى صغير. وكل المطلوب هو تعليق البلورة عند مركز الجهاز ثم يقوم الحاسب الآلى بتعيين أبعاد الوحدة البنائية باستخدام برنامج خاص بذلك والطريقة تتلخص في الآتى:

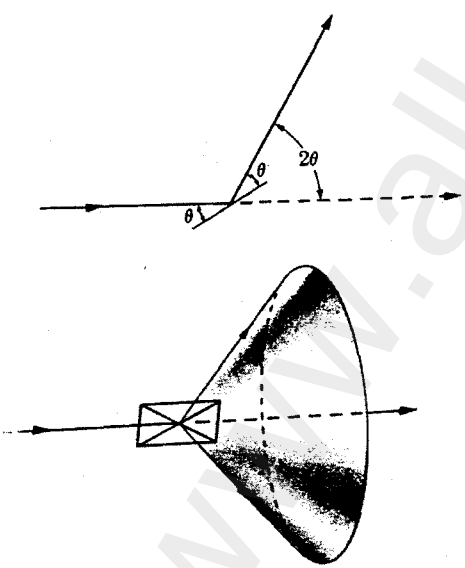
أ- تعيين مكان الانعكاسات حيث تقام قيم الزوايا 2θ، ψ، φ وذلك لكل انعكاس.

ب- تعيين قيمة أبعاد الوحدة البنائية في الفضاء العكسي Reciprocal space ويتمثل كل انعكاس بنقطة في الفضاء العكسي وكل زوج من النقط يكون متوجهها ويقوم الحاسب الآلى بإيجاد أقصر متوجه ( $a^*$ ) مثلاً ثم

يسمى أقصر متجه لا يوازي  $a^*$  بالتجه  $(b^*)$  ثم بعد ذلك يختار أقصر متجه آخر لا يقع في المستوى  $a^* b^*$  بالتجه  $(c^*)$  وبعد ذلك يمكن حساب الوحدة البنائية .  $a, b, c$

### ٣- الحيوان المساحيق Power Diffraction

بعض المواد يصعب وجودها على هيئة بلورات أحادية وإن كانت مواد متبلورة بل توجد على هيئة مسحوق، ويكون المسحوق عبارة عن بلورات صغيرة الحجم جدا تكون حبيبات المسحوق، ولتصوير حيوان حبيبات هذه المواد تطحن المادة حتى يصير حجم الحبيبات أقل ما يمكن ونكون منها عينة بخلطها بمادة لاصقة وتوضع في مركز كاميرا أو جهاز حيوان الأشعة السينية من المساحيق. عند سقوط شعاع من الأشعة السينية أحادية اللون (طول الموجة) على العينة يحدث أن تكون بعض الحبيبات (البلورات الصغيرة) في وضع بحيث إن زاوية سقوط الأشعة على بعض مستوياتها يحقق قانون براج، ويمكن لحببيات أخرى أن يكون وضعها بحيث إن مستويات أخرى يمكن أن تكون في وضع انعكاس والنتيجة أن كل مجموعة من مستويات الشبكة تكون في وضع يسمح لها بالانعكاس.

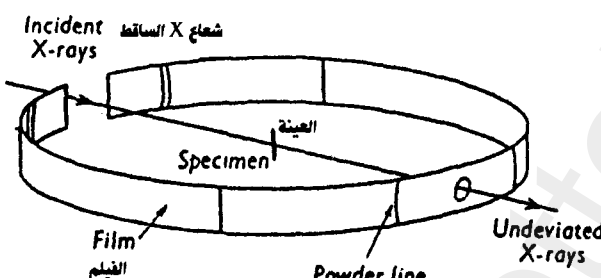


(شكل ١٠-٥)

الآن نفترض أن أحد الحبيبات لها مستوى  $hkl$  الذي يكون بالصدفة في وضع بحيث تسقط الأشعة عليه بزاوية  $\theta$  (هي زاوية براج) وإذا أدير هذا حول الشعاع الساقط كمحور بطريقة تجعل الزاوية  $\theta$  دائما ثابتة فإن الشعاع المنعكس سيسير على سطح المخروط الموضح بشكل (١٠-٥) ويكون محور المخروط متخدما مع الشعاع النافذ، ومثل هذا الدوران لا يحدث في الحقيقة ولكن وجود عدد

كبير من حبيبات البلورات لها كل الأوضاع الممكنة يكافيء هذا الدوران حيث إنه من بين هذه الحبيبات ستوجد نسبة تكون مستوياتها  $\ell$  ( $hk\ell$ ) تصنع زاوية براج مع الشعاع الساقط وتكون في نفس الوقت موجودة في كل الأوضاع الدورانية حول محور الشعاع الساقط، وبذلك تكون الانعكاسات  $hk\ell$  من الكتلة الساكنة من المسحوق لها شكل مخروط من الأشعة المنعكسة، ويكون مخروط منفصل لكل مجموعة من المستويات المختلفة أوضاعها، وهذه تسمى طريقة ديبي شيرر (Debye Scherrer) للمسحوق وفي الكاميرا الخاصة بدبياي شيرر يستخدم شريط من فيلم يلف حول أسطوانة قصيرة حيث توضع العينة على محور الكاميرا

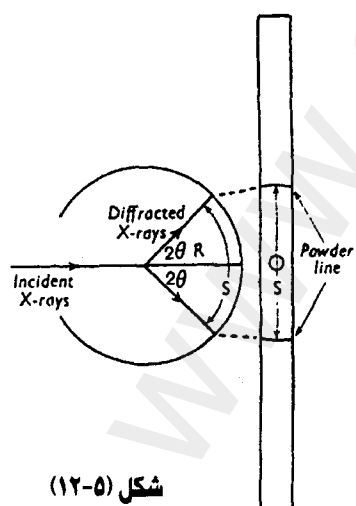
والشعاع الساقط يوجه عموديا على محورها، وكل مخروط لأشعة منعكسة يقطع شريحة الفيلم في خطوط وعند بسط الشريحة يكون شكل الحيود كما هو موضح



شكل (١١-٥)

بشكل (١١-٥). ويكون كل خط على الفيلم من عدد كبير من النقط الصغيرة كل نقطة صادرة من بلورة منفردة ولكن النقط

تقع متقاربة من بعضها البعض حتى أنها تبدو كخط متصل. ومن قياس موقع أي خط على الفيلم يمكن تعين قيمة  $\theta$  وبمعرفة قيمة طول موجة الأشعة  $\lambda$  يمكن حساب المسافة البينية لهذه المستويات التي صنعت هذا الخط (شكل ١٢-٥).

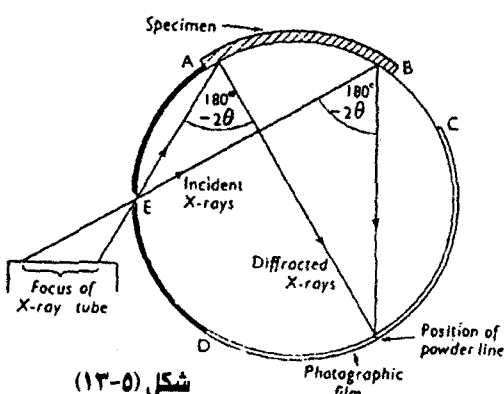


شكل (١٢-٥)

إذا كان  $R$  هو نصف قطر الفيلم،  $2s$  هي المسافة بين خطين متsequلين على الفيلم فإن:

$$2\theta = \frac{S}{R}$$

### ١-٣-٥ كاميرات التركيز: Focusing Cameras



شكل (١٣-٥)

الكاميرات التي تكون فيها أشعة الحبيود صادرة من منطقة ممتدة من العينة ثم تقارب لتلتقي في نقطة على الفيلم تسمى كاميرات التركيز وتصميم مثل هذه الكاميرات يعتمد على النظرية الهندسية الآتية: (شكل ١٣-٥)

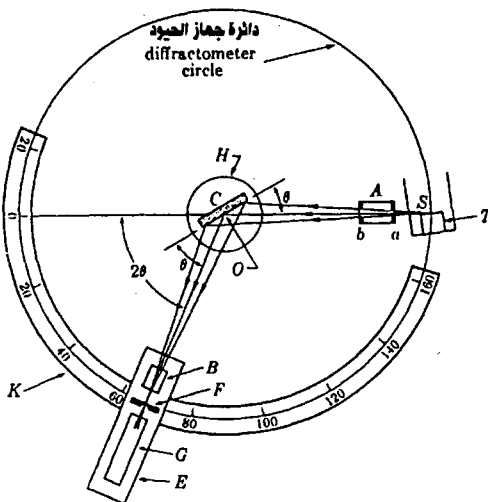
كل الروابي المحيطة على

سطح دائرة وعلى نفس القوس تكون متساوية وتساوي نصف الزاوية المركزية المقاومة على نفس القوس، فإذا افترضنا أن الأشعة المنعكسة بواسطة المستوى  $hkl$  تحدث من كل نقطة على العينة الموضعة على القوس AB وأن الأشعة الساقطة على العينة تأخذ الاتجاهات المحددة بالاتجاهين EB, EA وبالتالي الأشعة المنعكسة من النقطتين A, B سوف تنحرف بزاوية  $2\theta$  ولكن كل من زاويتي الانحراف  $2\theta$  تساوى كل منهما الآخر، الذي يعني أن الأشعة المنعكسة سوف تأخذ الاتجاهات وتلتقي في البؤرة على الفيلم الذي يوضع على سطح الدائرة، وهذه الطريقة تزيد من شدة الأشعة المنعكسة وذلك يقلل من زمن تعرض الفيلم للأشعة وهو المطلوب عمليا.

### ٢-٣-٥ جهاز الحبيود من المساحيق: Powder diffractometer

في هذا الجهاز تفاصي شدة الانعكاسات بطريقة مباشرة إما بواسطة التأين الذي تحدثه الأشعة في غاز أو الوميض الذي تحدثه في مواد صلبة.

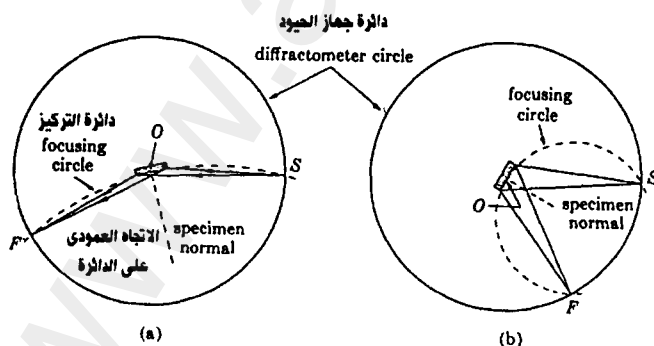
وقد صمم الجهاز أساساً مثل كاميرات ديبي شيرر Debye Sherrer باستثناء العداد المتحرك الذي يحل محل شريحة الفيلم، وفي كلتا الطريقتين لابد أن تكون الأشعة الساقطة وحيدة الموجة ومكشاف الأشعة سواء كان فيلماً أو عدادة يوضع على محيط دائرة توضع في مركزها العينة. في جهاز الحبيود تكون العينة C على شكل شريحة مستوية معلقة على منضدة H يمكنها أن تدور حول محور O عمودي على مستوى الرسم (شكل ١٤-٥) تخرج الأشعة من المصدر فتبعد ثم تنعكس



شكل (١٤-٥) جهاز حيود الأشعة السينية من المساحيق

دوران العداد خلال زاوية  $2\theta$  مصحوباً أوتوماتيكياً بدوران العينة بزاوية  $\theta$ . هذا يضمن أن تكون زاويتا السقوط على العينة المستوية والانعكاس منها متساويتين دائماً ومساوين لنصف الزاوية الكلية للحيود، وهو النظام الضروري للاحتفاظ بشرط التركيز، وذلك حتى يتسمى قياس شدة الانعكاسات الضعيفة (شكل ١٥-٥).

من العينة لتكون أشعة منعكسة متقاربة حتى تلتقي في بؤرة عند الفتحة  $F$  ثم بعد ذلك تدخل العداد  $G$ . أما  $A, B$  فهي فتحات خاصة لتحديد الأشعة الساقطة والمنعكسة وجعلها متوازية، والفتحات التي تستقبل الأشعة والعداد تكون مركبة على الحامل  $E$  الذي يمكنه الدوران حول المحور  $O$  والذي يكون وضعه الزاوي  $2\theta$  يمكن قراءته على المقياس المدرج  $k$  والحوامل  $H, E$  تكون متقاربة ميكانيكيًا بحيث يكون



شكل (١٥-٥)

#### ٤-٥ الكشف عن الأشعة السينية:

العمل الرئيسي في قياس حيود الأشعة السينية هو تعين عدد فوتونات الأشعة السينية (شدة الأشعة) المشتتة بواسطة العينة كدالة في الاتجاه بالنسبة لاتجاه الأشعة الساقطة، ومن الناحية الهندسية فإنه توجد أربعة أنواع من مكشافات الأشعة لقياس حيود الأشعة السينية هي :

- ١ - مكشاف نقطى (point detector) يقوم بقياس عدد الفوتونات فى وحدة الزمن التى تصل عند نقطة وجود المكشاف.
- ٢ - مكشاف خطى حساس للموضع (Linear position sensitive detector) يستطيع قياس عدد الفوتونات فى وحدة الزمن كما يحدد نقطة حولها على خط العنصر الحساس من المكشاف.
- ٣ - مكشاف مسطح وهو أيضا جهاز حساس للموضع يقىس عدد الفوتونات التى تصل فى وحدة الزمن كدالة فى الموضع على سطح نافذة المكشاف.
- ٤ - كاشفات تفريق الطاقة وهى التى تكون عالية الكفاءة فى حالة الحيود من المساحيق.

المكشاف المسطح يمكنه قياس شكل الحيود فى بعدين فى نفس الوقت مثله مثل اللوح الفوتوجرافى ، وهو بالإضافة لذلك يعطى النتائج فى شكل رقمى يمكن إدخالها فى حاسب آلى يوضع على الخط مع تجربة القياس.

الطريقة الوحيدة التى تستخدم فى الكشف عن فوتونات الأشعة السينية فى مدى الطاقة المناسب لدراسات الحيود تكمن فى تفاعل الفوتونات مع الإلكترونات داخل القشرات الداخلية وامتصاصها كلها الذى تتبعه عمليات أخرى بعد عملية الامتصاص وهى :

- ١ - تأين غاز مما يؤدى إلى إنتاج إلكترونات وأيونات موجبة .
- ٢ - توليد أزواج من الإلكترونون - فجوة .
- ٣ - التأثير الكهروضوئى الذى يتبع فيه انتشار إلكترونات ضوئية من نتيجة امتصاص فوتونات الأشعة السينية .

٤- التأثير الفلوري الذى يتحول فيه جزء من طاقة الأشعة السينية إلى طاقة فوتونات الضوء المرئى أو الأشعة فوق البنفسجية التى يمكن الكشف عنها بعملية أخرى.

٥- تأثير كيميائى مثل تحول هاليد الفضة إلى معدن الفضة فى طبقة المستحلب الحساسة فى اللوح الفوتوغرافى.

كل هذه التأثيرات أمكن توظيفها فى تصميم الأنواع المختلفة من المكشافات.

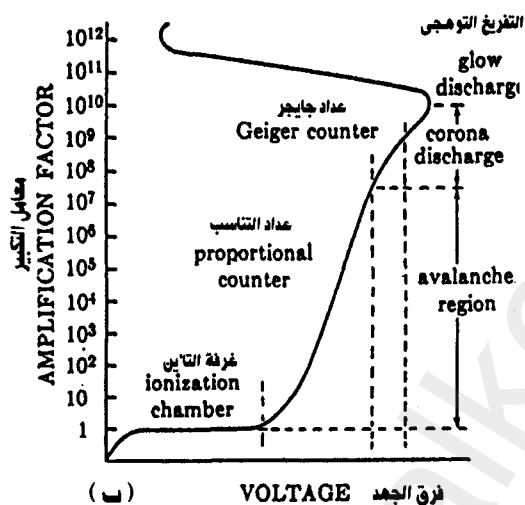
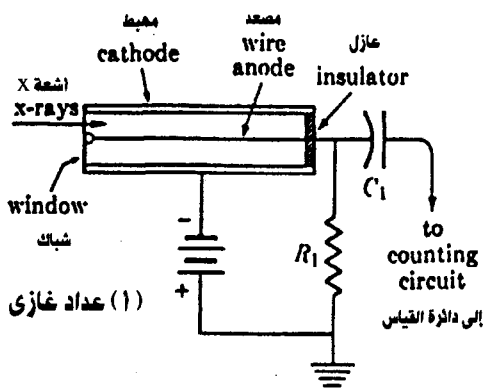
#### **٤-٤ مكشافات الأشعة:**

مكشافات أشعة إكس الإلكترونية يمكن أن تقسم حسب طريقة تحول طاقة الأشعة إلى إشارات إلكترونية مثل غرف التأين ومكشاف الوميض، فطاقة الإشعاع التى تختص بواسطة المكشاف تستهلك فى إنتاج أزواج من حاملات الشحنات داخل المنطقة الحساسة من غرفة التأين. حاملات الشحنة هذه تنتقل بواسطة المجال الكهربى للمكشاف إلى أقطاب المكشاف، وفى أغلب الأحيان تكون عملية انتقال الشحنة مصحوبة بعملية تكبير للشحنة التى تزيد من حساسية الجهاز.

بالإضافة لهذا التقسيم فإن غرف التأين وبالتالي يمكن أن تنقسم إلى غرف تأين غازية ومكشافات الحالة الصلبة.

#### **٤-٤-١ مكشافات التأين الغازية:**

تكون عدادات الغاز فى العادة مملوقة بغاز الأرجون Argon أو الجزيئون Xenon أو مخلوط منهما. وهذه الغازات هى الأكثر ملائمة للكشف عن الأشعة السينية، وفي البداية تختص فوتونات الأشعة بواسطة ذرات الغاز التى تقوم بإشعاع إلكترونات ضوئية، وعلى سبيل المثال فإن طاقة التأين لغاز الجزيئون حوالي  $22.5 \text{ eV}$  وامتصاص فوتون واحد من أشعة النحاس  $\text{Cu K}_\alpha$  الذى طاقتها  $8.05 \text{ keV}$  يمكن أن تتحتحو حوالى  $358$  زوجاً من الإلكترون-أيون. والجسيمات المشحونة التى تتولد تنجذب بعد ذلك بواسطة مجال كهربى ضعيف (أقل من حوالي  $10^3 \text{ V/cm}$ ) إلى أقطاب المكشاف التى تجمعها وتقوم بإرسال نبضات كهربائية للدائرة الكهربية حيث يحدث لها عملية تكبير. وإذا كان الجهد بين الأقطاب كافياً فإن



شكل (١٦-٥)

الغرفة كعداد تناسب proportional counter. عدادات التناسب الغازية تستخدم على نطاق واسع في أجهزة حيود الأشعة السينية.

أما غرف التأين المسماة عدادات جايجر Geiger-Muller Counters فهي تاريخياً أقدم عدادات استخدمت في تجارب حيود الأشعة السينية، وغرفة هذا العداد تملأ بغاز نبيل noble gas مضافاً إليه قليل من الكحول أو غاز هالوجيني halogen gas. وتأين الغاز بواسطة كمات الأشعة السينية داخل الغرفة يؤدى إلى تفريغ كهربى بين أقطاب العداد الذى يعمل عند جهد حوالى 1000 فولت أو أكثر، والجهد فى عداد جايجر يكون جهداً عالياً (أعلى من جهد تشغيل عداد التناسب)

قيمة التيار الناتج داخل الغرفة يعتمد فقط على كمية الفوتونات الممتصة فى وحدة الزمن وعلى طاقتها (شكل ١٦-٥).

إذا ازداد المجال الجامع فى غرفة التأين فإن الأقطاب ترتفع طاقتها لتكون كافية لإنتاج مزيد من التأين وذلك نتيجة الاصطدام بالجزيئات المتعادلة للغاز وبذلك تبدأ عملية تكبير غازى تسمى Avalanche (التىهور) ومعامل تكبير الغاز يعتمد مباشرة على الجهد بين الأقطاب للمكشاف وتصل الزيادة من عملية التىهور إلى  $10^6$ .

وفي مدى معين من الجهد يكون جهد النبضة الناشئة بواسطة الفوتون المستoch مناسب مع طاقة الفوتون ويكون عالياً بمقدار كاف (أكثر من  $10^7$  إلكترون) لعملية تكبير إلكترونى أكثر. وفي هذه الحالة تعمل

بدرجة تجعل النبضات التي تحدث نتيجة امتصاص الفوتونات تكبر بغير الاعتماد على طاقة الكمات المتصلة، وكل عملية تفريغ تكون نتيجة كم واحد من الطاقة وبذلك يكون تعداد عمليات التفريغ هو عدد كمات أشعة إكس المتصلة بواسطة العداد ونتيجة لفرق الجهد بين الأقطاب فإن التفريغ الحادث بواسطة كمات الأشعة (أو الجسيمات المشحونة) تحدث تيهور (avalanche) في عداد جايجر يستمر أكثر من  $100\text{ }\mu\text{s}$  (مائة ميكروثانية) وعملية استرخاء كاملة للمجال داخل العداد يمكن تعينها بتجميع الأيونات الموجبة حيث تتحقق في زمن يتراوح بين 150 إلى 300 ميكروثانية بعد امتصاص كم الطاقة.

ونتيجة لطول فترة التوقف (dead time) فإن عدادات جايجر لا تستخدم في الوقت الحالى في عمليات استخدام الأشعة السينية في تعين التركيب البلورى.

### ٣-٤-٥ عدادات الوميض Scintillation counters

المبدأ الأساسي لعدادات الوميض يرتكز على إثارة المادة الوميضية بواسطة الأشعة، فعندما يختص كم من أشعة إكس بواسطة البلورة الوميضية (التي تمثل الجزء الهام في العداد) يشع عدد من الفوتونات الضوئية (أو الأشعة فوق البنفسجية) معظم هذه الفوتونات يتحول إلى نبضات كهربائية تكبر بواسطة أنبوبة التضاعف الضوئي photo-electron multiplier tube وعدادات الوميض المستخدمة إلى الآن هي عدادات أيديد الصوديوم  $\text{Na I}$  التي تستخدم في أجهزة المحويد غير

متعددة القنوات

وتعتبر عدادات ذات

قيمة عالية

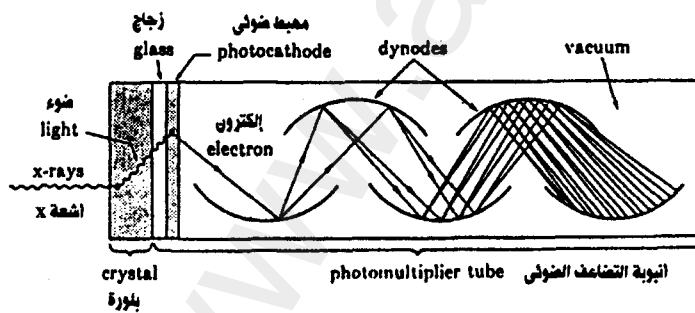
لتسجيل

الإشعاعات في

مدى لطول

الموجة يتراوح بين

0.3 إلى  $0.5\text{ \AA}$  (شكل ١٧-٥) (شكل ١٧-٥).



والإشارة الكهربائية electrical signal الصادرة نتيجة سقوط الفوتون بصفة عامة تكون متناسبة مع كم الطاقة ولكن قوة التفريغ للطاقة تكون صغيرة جداً والانحراف عن التحويل المناسب يكون محسوساً بنسبة أكبر في حالة مكشاف

الوميض عنها في حالة غرف التأين، والسبب هو اعتماد كفاءة التحويل في المواد الوميضية على كثافة تأينها بواسطة الأشعة، وهذا الاعتماد يكون أقوى في حالة الوميضيات العضوية بمقارنتها بتلك غير العضوية. وعلى سبيل المثال فإن هذا الاعتماد يمكن إهماله في حالة أيوديد الصوديوم (NaI) في مدى الطاقة من 10<sup>3</sup> كيلو إلكترون فولت.

بلورات أيوديد الصوديوم NaI تستخدم بصفة رئيسية في عدادات الوميض لأنشعة X طويلة الموجة في أجهزة الحيوان نتيجة لقصر فترة الوميض وبالتالي قصر فترة التوقف (dead time) ومكشافات الوميض لها معامل امتصاص عالي (على سبيل المثال معامل الامتصاص لأنشعة الفضة  $\mu = 65.5 \text{ cm}^{-1}$ ) وبالتالي فإن كفاءتها تكون عالية فالبلورة التي سماكتها 0.5 mm تتصنف 96% من الأشعة، فإذا كان السمك 0.1 mm ووقت التوقف (dead time) لهذه العدادات يعرف على أنه معدل استيعاب الكمامات بواسطة الدائرة الإلكترونية للمكشاف.

## ٥-٥ مكشاف أشباه الموصلات: Semiconductor detector

مكشاف أشباه الموصلات يتبع مكشافات غرف التأين فالفوتون الساقط على مكشاف أشباه الموصلات يولد أزواجا من الإلكترون - فجوة بدلا من أزواج الإلكترون - أيون كما هو الحال في غرف التأين الغازية، والطاقة المطلوبة لإنتاج زوج من الإلكترون - فجوة في مادة شبه موصلة تكون عددا صغيرا من الإلكترون فولت (حوالى 3.8 إلكترون فولت في حالة السيليكون، 2.9 إلكترون فولت في حالة الجermanium) مقارنة بعشرات من وحدات الإلكترون فولت لإنتاج زوج من الإلكترون - أيون في غرف التأين الغازى.

ونتيجة لصغر قيمة الطاقة اللازمة لإنتاج زوج من الإلكترون - فجوة فإن أشباه الموصلات يكون لها قوة تفريق للطاقة أكبر منها في حالة غرف التأين الغازى أو مكشافات الوميض حيث إنه يمكن أن تصل إلى أكثر من 2% في منطقة الأشعة ذات الطاقة المساوية لـ 8 إلكترون فولت، وهذا يعتبر أفضل بمقدار 15 ضعفا مقارنة بمكشاف الوميض.

الحجم الحساس في مكشاف أشباه الموصلات هو الطبقة الخاصة بالوصلة الثنائية n-p التي تنشأ في بلورة شبه موصلة والمواد التي تستخدم كمكشافات في

مدى الأشعة السينية طويلة الموجة (soft) هي بلورات من السيليكون المعجون (doped) بعadge الليثيوم (Li)، Si، Ge (Li)، Ge، Cd Te، Hg I<sub>2</sub> تعتبر مواد صالحة كمكونات، ولكن تكون المواد شبه الموصلة حساسة للكشف عن الفوتونات لابد وأن تكون الموصلية الكهربائية لها أقل ما يمكن.

المكشاف (Si) هو أكثر المكشافات شيوعا في الاستخدام حيث إن بلورات السيليكون تكون من النوع p ووجود مادة الليثيوم يكون مفعوله هو اصطدام حاملات الشحنة وزيادة المقاومة الكهربائية، ومن مميزات مكشاف (Si) هو الكفاءة العالية وإمكانية اختيار مدى الطاقة للأشعة المراد قياسها (تفريق الطاقة أكثر من 200 eV) وعلى سبيل المثال يمكن اختيار الخط  $K_{\alpha}$  من الطيف المميز للأشعة السينية دون الخط  $K_{\beta}$  باستخدام المكشاف (Si) بدون الحاجة للبلورة تعمل كمحدد لطول الموجة monochromator ولكن من عيوب هذا المكشاف أنه يعمل في درجة حرارة الترددin السائل (-196°C = 77 K) وذلك للتقليل من كل من:

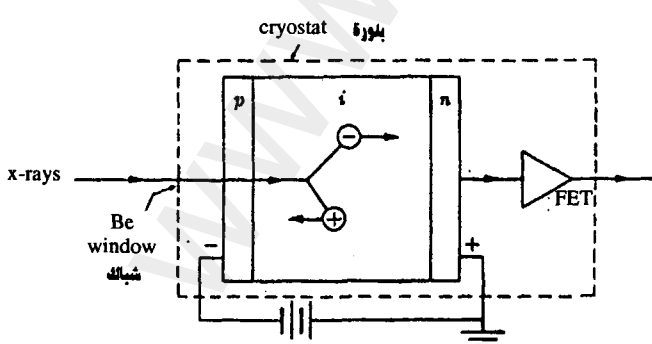
أ - التيار المار خلال المكشاف حتى في عدم وجود أشعة X نتيجة الإثارة الحرارية.

ب - الانتشار الحراري لعنصر الليثيوم الذي يحطّم التوزيع المنظم له حتى إذا لم يكن المكشاف يعمل.

بالنسبة للمكشاف من النوع (Cd Te) فإنه يعمل بنجاح في درجة حرارة الغرفة إلا أن قوة تفريغ الطاقة تكون أقل منها في حالة (Si) (Li).

أمكـن الوصول إلى نتائج أفضـل في حالة المكـشاف (Hg I<sub>2</sub>) حيث تكون قـوة

التفـريق في درـجة حرـارة الغـرفة إلا أن مشـكلـة إـنـاء بلـورـات كـبـيرـة منـ أيـودـيدـ الزـئـيقـ أـكـثـر تعـقـيدـاـ منهاـ فيـ حالـةـ (Si) (Li)ـ (شكلـ ١٨ـ٥ـ).



شكل (١٨-٥)

## ١-٥-٥ المكشاف حساس الموضع: Position-sensitive detector

كل أجهزة الكشف عن الأشعة السابقة يمكن استخدامها في أجهزة الحيوان العادي ويطلق عليها اسم المكشاف النقطي وهو يقوم بقياس شدة شعاع واحد ضيق في عملية لمسح شكل الحيوان، بينما يقاس الوضع الزاوي للمكشاف بالنسبة للشعاع الساقط بواسطة جهاز المقل goniometer الحامل للمكشاف، وقد أدى ذلك إلى تطوير أجهزة للكشف تكون حساسة للموضع.

مبدئياً أجهزة الكشف الحساسة للموضع استخدمت منذ اكتشاف حيوان الأشعة السينية من البلورات وأقدمها هي الأفلام الفوتوغرافية ولكن من عيوب الأفلام قلة الحساسية وانخفاض الدقة في قياس الشدة.

الآن توجد أجهزة شائعة الاستخدام (خاصة في حالة دراسة البروتينيات) بها غرف لأنوار الصور (Image plate) وحاسب آلي يدعى (IPDS). Image Plate Diffraction System

المبدأ الأساسي لاستخدام ألواح الصور تتكون من طبقة أمورفية amorphous layer سمكها ( $150\text{ }\mu\text{m}$ ) من مادة  $\text{Ba F Br}$  :  $\text{Eu}^{2+}$  أو  $\text{Ba F(Br.I)}$ :  $\text{Eu}^{2+}$  وهي مواد يمكن تنشيطها بفوتوتونات الأشعة السينية فتحول ذرات  $\text{Eu}^{2+}$  إلى  $\text{Eu}^{3+}$  والإلكترونات الضوئية تتصب بواسطة الفراغات في الحالوجينات محدثة مراكز ألوان colour centers (انظر تذيل ٥).

نظام ألواح الصور له كل ميزات الأفلام الفوتوغرافية وهي الكفاءة العالية وعدم وجود زمن للتوقف، كما أنها تعتبر أجهزة مجتمعة . Integrating device

تطور آخر في مجال المكشاف الحساس للموضع تضمن استخدام تقنية المكشاف الإلكتروني. أبسط أنواع المكشاف الإلكتروني الحساس للموضع (PSD) يمكن أن يكون على هيئة مجموعة من المكشافات النقطية مرتبة على خط (يسمى مكشاف خطى أو مكشاف البعد الواحد) أو المرتبة في مستوى (تسمى مكشاف مساحى أو مكشاف في بعدين Two dimensional or area detector).

من تطبيقات فكرة المكشافات شبه الموصلة تصميم المكشاف حساس الموضع (metal oxide semi-conductor) من مركبات أول أكسيد الفلزات شبه الموصلة

(MOS) كذلك تصميم أجهزة الشحنة المزدوجة (CCD) (charge coupled device) وهذه المكشافات استخدمت أولاً في مجال الفيزياء الفلكية وكمواد حساسة في الكاميرات التليفزيونية للكشف عن أشعة X طويلة الموجة. وقد وجد أن أشباه الموصلات في كاميرات التليفزيون تكون حساسة للأشعة السينية في مدى الطاقة الواقع بين  $0.8$ ،  $12.0$  KeV.



## أسئلة الفصل الخامس

- ١ - إذا علقت بلوره بحيث يكون المحور  $a$  ( $3.8 \text{ \AA}$ ) رأسيا في كاميرا نصف قطرها  $3.0 \text{ cm}$  وأسقطت عليها أشعة طول موجتها  $1.54 \text{ \AA}$  لأخذ فيلم أثناء دوران البلوره. احسب المسافة  $y$  بين المستوى الأول والمستوى الصفرى على الفيلم.
- ٢ - ما هي الزاوية  $\beta$  بين المحورين  $-a$ ،  $-c$  بلوره تتمى للنظام أحادى الميل إذا كان البعدين  $a^*$ ،  $c^*$  على فيلم فيزنبرج عند التقائهما بخط الاعتدال (الاستواء)  $.42 \text{ mm}$  equator.
- ٣ - ما هي الأنواع المختلفة لمكشافات الأشعة السينية.
- ٤ - عرّف ما يأتي:  
التكبير الغازى - فترة التوقف (dead time) - مراكز الألوان .
- ٥ - تكلم عن الفكرة الأساسية لكاميرات التركيز.



## **الباب الثالث**

**تطبيقات حيود الأشعة السينية من البلورات الأحادية**

**الفصل السادس:**

**المجموعات الفراغية**

**الفصل السابع:**

**العوامل المؤثرة في شدة أشعة الحيود**

**الفصل الثامن:**

**تعيين التركيب البلوري للبلورات الأحادية**

**الفصل التاسع:**

**التعبئة في البلورات**

# المجموعات الفراغية

## SPACE GROUPS

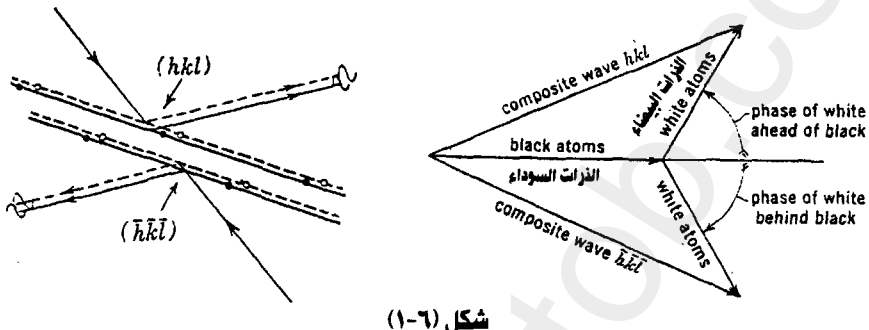
### ٦- التمايل في شكل الحيود Diffraction Symmetry

عندما نتكلّم عن التمايل في شكل الحيود من بلورة ما فنحن لا نتحدث عن المجموعة النقاطية لهذه البلورة لأن تمايل شكل الحيود يختلف عن تمايل المجموعة النقاطية في شيء واحد هام جدا وهو أن شكل الحيود دائماً يكون له مركز تمايل حتى لو لم تكن البلورة لها مركز تمايل؛ وذلك لأن كل انعكاس  $hkl$  يكون متساوياً للانعكاس  $\bar{h}\bar{k}\bar{l}$  وهذا ما يعرف بقانون فريدل . Friedel's law

لتوضيح ذلك نفترض مستويين  $(h_1k_1l_1)$  و  $(h_2k_2l_2)$  فإذا كان المستويان لا تربطهما أية علاقة تمايل فإن التركيب البلوري لأسطح المستويين يكون مختلفاً كذلك تكون طريقة رص الشرائح مختلفة للمستويين، وهذا يؤدي لأن تكون الانعكاسات المنبعثة من المستويين مختلفة في الشدة، وفي الجانب الآخر إذا كان المستويان متكافئين (ترتبطهما علاقة تمايل) فإن الانعكاسات المنبعثة منها تكون متماثلة، فعلى سبيل المثال في حالة البلورة التي تتبع نظام المعين القائم (Orthorhombic (mmm) فإن المستويين  $(111)$  و  $(\bar{1}\bar{1}\bar{1})$  يكونان متكافئين وبالتالي يعطيان انعكاسين متماثلين، أما في حالة

النظام ثلاثي الميل Triclinic فإن المستويين  $(111)$  و  $(\bar{1}\bar{1}1)$  غير متكافئين، فهـما بالـتالي يعطـيان انعـكـاسـين مـخـتـلـفـين فـي الشـدـةـ، وـهـذـا كـانـ السـبـبـ فـي الـاتـجـاهـ نـحـوـ تـحـديـدـ تـمـاثـلـ الـبـلـورـةـ مـنـ درـاسـةـ التـمـاثـلـ فـيـ شـدـةـ الـانـعـكـاســاتـ.

لـكـنـ يـجـبـ أـنـ يـوـضـعـ فـيـ الـاعـتـباـرـ حـقـيقـةـ هـامـةـ وـهـىـ أـنـ شـدـتـىـ الـانـعـكـاســاتـ مـنـ الـمـسـتـوـىـ  $(hkl)$  وـالـمـسـتـوـىـ  $(\bar{h}\bar{k}\bar{l})$  مـتـكـافـئـانـ وـشـكـلـ (١-٦) يـوـضـعـ تـفـسـيرـ ذـلـكـ.



شكل (١-٦)

فسـرـائـحـ المـسـتـوـىـ  $(hkl)$  تـتـكـونـ مـنـ نـوـعـيـنـ مـخـتـلـفـيـنـ مـنـ الـذـرـاتـ وـالـانـعـكـاســ منـ السـطـحـ العـلـوـيـ لـلـشـريـحةـ لـلـمـسـتـوـىـ  $(hkl)$  هوـ اـتـحـادـ مـنـ الـمـوجـاتـ النـاتـجـ مـنـ مـرـكـبـيـنـ وـالـانـعـكـاســ مـنـ قـاعـ الشـريـحةـ لـلـمـسـتـوـىـ  $(hkl)$  يـكـونـ مـكـافـئـاـ لـلـانـعـكـاســ مـنـ سـطـحـ الشـريـحةـ لـلـمـسـتـوـىـ  $(\bar{h}\bar{k}\bar{l})$  فـهـوـ أـيـضـاـ اـتـحـادـ مـنـ مـرـكـبـيـنـ مـنـ الـمـوجـاتـ، وـيـكـونـ الفـرقـ بـيـنـ الـانـعـكـاســ مـنـ الـمـسـتـوـىـ  $hkl$  وـ  $\bar{h}\bar{k}\bar{l}$ ـ هوـ فـقـطـ أـنـهـ لـلـمـسـتـوـىـ  $hkl$ ـ يـكـونـ الطـورـ لـلـمـرـكـبـةـ مـنـ الـذـرـةـ الـبـيـضـاءـ يـسـبـقـ ذـلـكـ الـخـاصـ بـمـرـكـبـهـ الـذـرـةـ السـوـدـاءـ بـيـنـماـ فـيـ حـالـةـ الـمـسـتـوـىـ  $\bar{h}\bar{k}\bar{l}$ ـ يـكـونـ الطـورـ لـمـرـكـبـهـ الـذـرـةـ الـبـيـضـاءـ خـلـفـ ذـلـكـ الـخـاصـ بـالـذـرـةـ السـوـدـاءـ.

وـحـيثـ إـنـ الـانـعـكـاســاتـ مـنـ الـمـسـتـوـيـاتـ  $(hkl)$  وـ  $(\bar{h}\bar{k}\bar{l})$ ـ لاـ يـمـكـنـ التـفـرـيقـ بـيـنـهاـ فـيـ ذـلـكـ تـكـونـ نـتـيـجـتـهـ أـنـ كـلـ أـشـكـالـ حـيـودـ الـأـشـعـةـ السـيـنـيـةـ تـكـونـ لـهـاـ مـرـكـزـ تـمـاثـلــ.

### ١-٦ مـجمـوعـاتـ لـاوـيـ: Laue Groups

نتـيـجـةـ لـاـ عـرـفـ بـقـانـونـ فـرـيدـيـلـ فـيـإـنـ تـمـاثـلـ شـكـلـ الـحـيـودـ يـكـونـ هوـ تـمـاثـلـ المـجـمـوعـةـ النـقـطـيـةـ لـلـبـلـورـةـ بـالـإـضـافـةـ لـمـرـكـزـ تـمـاثـلـ وـبـهـذـهـ الطـرـيـقـةـ فـيـإـنـ المـجـمـوعـاتـ النـقـطـيـةـ وـعـدـدهـاـ 32ـ عـنـدـمـاـ يـضـافـ مـرـكـزـ تـمـاثـلـ لـهـاـ (أـىـ تـلـكـ الـتـيـ لـاـ تـحـتـوىـ عـلـىـ مـرـكـزـ تـمـاثـلـ)ـ يـصـبـحـ عـدـدهـاـ 11ـ مـجـمـوعـةـ فـقـطـ تـسـمـىـ مـجـمـوعـاتـ لـاوـيــ.

ويوضح الجدول المجموعات الحادية عشرة:

المجموعات المتماثلة لـ ٤	نماذج المتماثلة لـ ٤	النظام البلوري
$1, \bar{1}$	1	الميل الثلاثة
$2, m, 2/m$	$2/m$	أحادي الميل
$222, mm2, mmm$	mmm	المعيني القائم
$4, \bar{4}, 4/m : 422, 4mm, \bar{4}2m, 4/mmm$	$4/m, 4/mmm$	الرباعي
$3, \bar{3} : 32, 3m, \bar{3}m$	$\bar{3}; \bar{3}m$	الثلاثي
$6, \bar{6}, 6/m : 622, 6mm, \bar{6}m2, 6/mmm$	$6/m, 6/mmm$	السداسي
$23, m3 : 432, 43m, m3m$	$m3, m3m$	المكعب

وللتبسيط ذلك نأخذ النظام أحادى الميل فنجد المجموعات النقطية الثلاث  $2/m, m, 2$  تتبع نفس مجموعة لـ ٤ أي أن تماثل شكل الحبيبات لها هو  $2/m$  أي أن المجموعات النقطية الثلاث لا يمكن التفريق بينها بدراسة شكل الحبيبات.

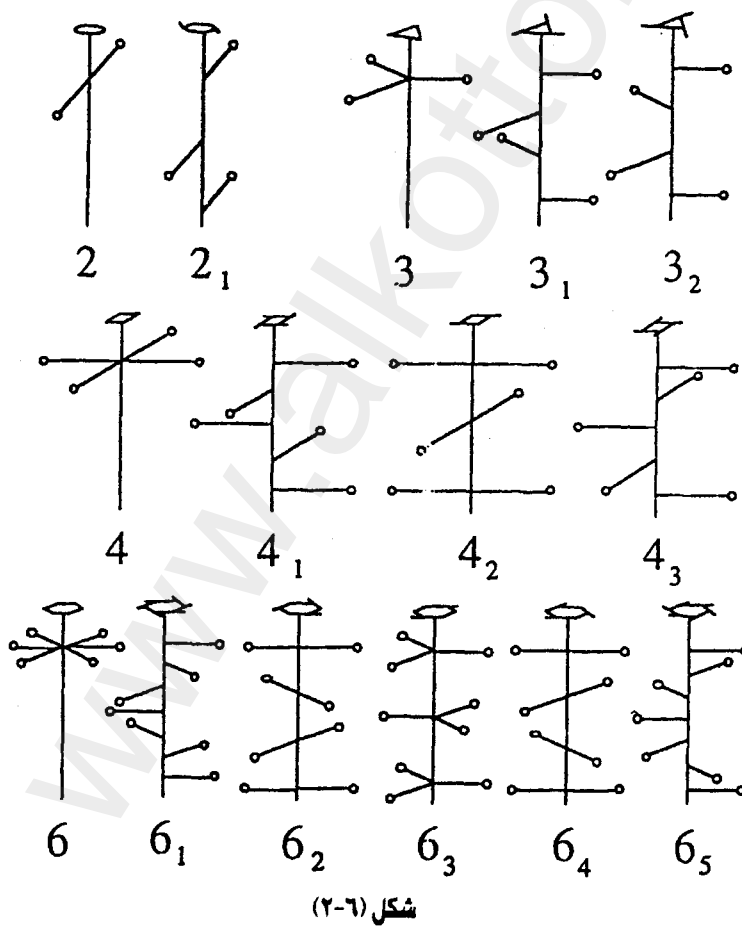
## ٦- التماثل الداخلي:

تستخدم المجموعات النقطية لوصف التماثل الذي يمكن أن يحدث حول نقطة وقد استخدمت المجموعات النقطية في توصيف الشكل البلوري وكذلك في ترتيب الذرات أو الجزيئات حول نقطة في شبكة وفي هذه الحالة الأخيرة يكون لها أهمية أكبر في تعريف التركيب البلوري.

عند توصيف الشبكة البلورية اعتبرت الوحدة التكرارية عبارة عن نقطة حيث يتم بتكرارها بناء الشبكة النقطية في الأبعاد الثلاثة، وفي البلورة يمكن أن تكون الوحدة المتكررة في الأبعاد الثلاثة إما مجموعة من الذرات أو الجزيئات وعند استخدام عناصر التماثل لتوصيف الترتيب الداخلي للبلورات لابد أن نضع في الاعتبار عناصر التماثل التي تحتوى على إزاحة وهم المحاور اللولبية ومستويات الانزلاق.

## ١-٢-٦ المحاور اللولبية: Screw axes

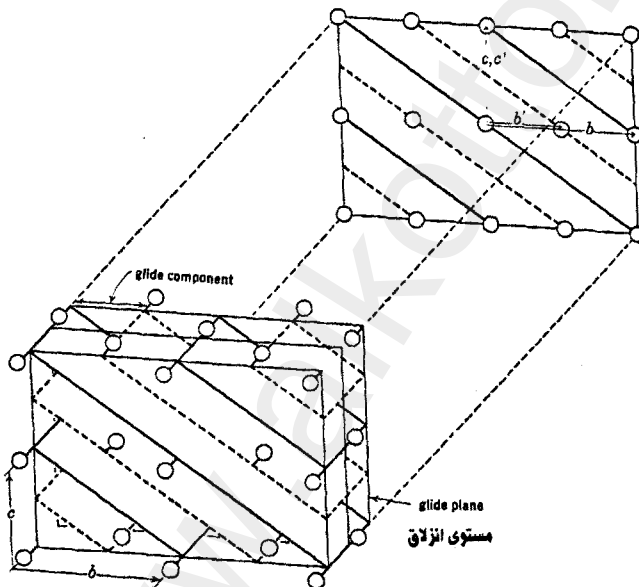
إن الجمع بين محور التماثل الدوراني مع الإزاحة الموازية لأحد المحاور ينتج محور تماثل لولبي واتجاه مثل هذا المحور يكون عادة على امتداد أحد محاور البلورة والإزاحة لابد أن تكون جزءاً نسبياً من طول محور البلورة ويرمز للمحاور اللولبية بأعداد صحيحة  $n$  لها رمز سفلي  $m$  حيث تأخذ  $n$  الأعداد  $1, 2, 3, 4, 6$  والرموز السفلية أعداد صحيحة تقل عن  $n$  فالمحور  $3_1$  هو محور ثلاثي لولبي حيث تكون مسافة الإزاحة بين كل نقطتين متتاليتين تساوى  $(m/n)$  أي  $1/3$  من وحدة الإزاحة (شكل ٢-٦) وبالمثل المحور  $3_2$  يعني أنه محور لولبي ثلاثي له إزاحة تساوى  $2/3$  من وحدة الإزاحة، والشكل يوضح المقارنة بين  $3_1$  ،  $3_2$  والمحور اللولبي  $1_2$  يعني محور ثنائي يمثل دوران حول المحور وإزاحة تساوى  $1/2$ .



شكل (٢-٦)

## ٢-٢-٦ مستويات الانزلاق: Glide Planes

الجمع بين مستوى انعكاس وإزاحة موازية لمستوى الانعكاس يتيح مستوى انزلاق وتكون الإزاحة في مثل هذا المستوى على امتداد حافة أو وجه قطرى للوحدة البنائية، وفي معظم الأحوال تكون قيمتها نصف طول المحور أو القطر ويسمى مستوى الانزلاق  $a$  أو  $b$  أو  $c$  إذا كانت الإزاحة  $a/2$  أو  $b/2$  أو  $c/2$  ويرمز له بالرمز  $n$  إذا كانت الإزاحة  $a/2$  أو  $(a+b)/2$  أو  $(a+c)/2$  أو  $(b+c)/2$  أي نصف طول أي من أقطار الأوجه (شكل ٣-٦).



شكل (٣-٦)

ويوضح الجدول (٦-١) كل الأنواع الممكنة من مستويات الانزلاق والمحاور اللولبية.

جدول (١-٦)

عنصر التماثل	الرمز	التأثير
مستوى انزلاق (محوري)	a	إزاحة مقدارها $a/2$
(محوري)	b	إزاحة مقدارها $b/2$
(محوري)	c	إزاحة مقدارها $c/2$
(قطري)	n	إزاحة $\frac{c+a}{2}$ أو $\frac{b+c}{2}$ أو $\frac{a+b}{2}$
(ماسي)	d	إزاحة $(c \pm a)/4$ أو $(b \pm c)/4$ أو $(a \pm b)/4$
محور لولى	$2_1$	إزاحة $b/2$ , $a/2$ أو $c/2$ على امتداد محور
	$3_1$	إزاحة $c/3$
	$3_2$	إزاحة $2c/3$
	$4_1$	إزاحة $c/4$
	$4_2$	إزاحة $2c/4$
	$4_3$	إزاحة $3c/4$
	$6_1$	إزاحة $c/6$
	$6_2$	إزاحة $2c/6$
	$6_3$	إزاحة $3c/6$
	$6_4$	إزاحة $4c/6$
	$6_5$	إزاحة $5c/6$

### ٣-٢-٦ المجموعات الفراغية: Space Groups

عند تكرار وحدة في الفراغ فإنه توجد 230 طريقة فقط لترتيبها وهذه تسمى المجموعات الفراغية.

يمكن توصيف المجموعات الفراغية لكل نظام بلوري إذا أرفقنا بكل نقطة في الشبكة البلورية عناصر التماثل الخاصة بالنظام البلوري مع الأخذ في الاعتبار أن محاور الدوران في التماثل الخارجي يمكن أن تمثل بمحاور لولبية في المجموعة الفراغية كذلك فإن مستويات الانعكاس في التماثل الخارجي يمكن أن تمثل مستويات انزلاق في المجموعة الفراغية.

يوجد توصيف تفصيلي لكل المجموعات الفراغية الـ 230 في

International Tables for x-ray Crystallography vol. 1 (Kynoch Press)

أمثلة :

مثال ١ :

المجموعة الفراغية الشائعة الوجود  $P2_1/c$

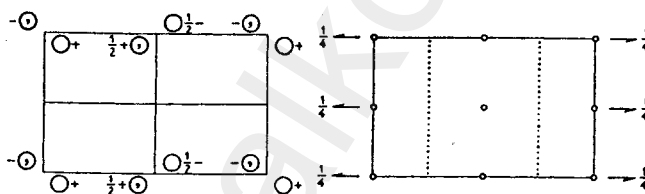
هذه الشبيكة بدائية Primitive لها محور تماثل ثنائي لولبي يختار عادة على أنه المحور  $b$  كما يوجد مستوى تماثل ازلاقي عمودي على المحور  $b$  وله إزاحة في الاتجاه  $c$  قيمتها  $c/2$  (شكل ٤-٦) ويوضح الشكل أن المحور اللولبي على امتداد المحور  $b$  يقع عند  $c/4$  وكذلك مستوى الانزلاق العمودي على المحور  $b$  يقع عند  $b/4$  ونتيجة خاصية التكرار من وحدة بنائية لأخرى فإن العناصر تتكرر على أبعاد  $b/4$

Monoclinic  $2/m$   
أحادي الميل

$P\bar{1} 2_1/c 1$

No. 14

$P2_1/c$   
 $C_{2h}^5$



Origin at I; unique axis  $b$

Number of positions,  
Wyckoff notation,  
and point symmetry

Co-ordinates of equivalent positions  
إحداثيات الأوضاع المكافئة

4     e     1      $x, y, z$ ;     $\bar{x}, \bar{y}, \bar{z}$ ;     $\bar{x}, \frac{1}{2} + y, \frac{1}{2} - z$ ;     $x, \frac{1}{2} - y, \frac{1}{2} + z$ .

شكل (٤-٦)

تساوي نصف أطوال الوحدة البنائية، ويوضح الشكل أيضاً أن تقاطع عناصر التماثل نشأ عنه وجود مراكز تماثل تتكرر على أبعاد تساوي نصف أطوال الوحدة البنائية، وقد اختير المركز عند أحد مراكز التماثل هذه  $\bar{I}$ . ويوضح شكل (٤-٦)

الأماكن المكافئة داخل الوحدة البنائية وعددتها أربعة ولذلك فإن حجم الوحدة اللامتماثلة asymmetric unit تساوى  $\frac{1}{4}$  حجم الوحدة البنائية للبلورة أي أن عدد الوحدات اللامتماثلة هو أربع وحدات، وفي أغلب الأحيان تحتوى كل وحدة على جزء من المادة، إلا أنه في بعض الأحيان تحتوى الوحدة على أكثر من جزء أو جزء من جزء ربما  $\frac{1}{2}$  أو  $\frac{1}{4}$ .

وإذا أخذنا الموضع الأول  $x, y, z$  نجد أنه مرتبط بالموضع الثالث  $-z, -y, \frac{1}{2} + x$  بواسطة المحور اللولبي 2 على امتداد المحور b كذلك الموضع الرابع  $x, \frac{1}{2} + y, \frac{1}{2} + z$  فهو مرتبط بالموضع الأول  $x, y, z$  بواسطة مستوى الانزلاق عند  $\frac{b}{4}$ . أما الموضع الثاني  $\bar{z}, \bar{y}, \bar{x}$  فإنه ينشأ باستخدام مستوى الانزلاق عند  $\frac{3b}{4}$ .

ويوضح الجدول (٢-٦) الأماكن المكافئة لبعض عناصر التماثل والجداول (٣-٦) به الرموز الخاصة بعناصر التماثل المختلفة.

جدول (٢-٦)  
بعض عناصر التماثل والاماكن المكانية الخاصة بها

الاماكن المكانية equivalent positions	موازي للاتجاه موازي لـ	المحور
$x, \bar{y}, \bar{z}$ ; $x, y, z$	a	2
$\bar{x}, y, \bar{z}$ ; $x, y, z$	b	2
$\bar{x}, \bar{y}, z$ ; $x, y, z$	c	2
$x + \frac{1}{2}, \bar{y}, \bar{z}$ ; $x, y, z$	a	$2_1$
$\bar{x}, y + \frac{1}{2}, \bar{z}$ ; $x, y, z$	b	$2_1$
$\bar{x}, \bar{y}, z + \frac{1}{2}$ ; $x, y, z$	c	$2_1$
	عمودي على	المستوى
$\bar{x}, y, z$ ; $x, y, z$	a	m
$x, \bar{y}, z$ ; $x, y, z$	b	m
$x, y, \bar{z}$ ; $x, y, z$	c	m
$x + \frac{1}{2}, \bar{y}, z$ ; $x, y, z$	b	a
$x + \frac{1}{2}, y, \bar{z}$ ; $x, y, z$	c	a
$\bar{x}, y + \frac{1}{2}, z$ ; $x, y, z$	a	b
$x, y + \frac{1}{2}, \bar{z}$ ; $x, y, z$	c	b
$\bar{x}, y, z + \frac{1}{2}$ ; $x, y, z$	a	c
$x, \bar{y}, z + \frac{1}{2}$ ; $x, y, z$	b	c
$\bar{x}, y + \frac{1}{2}, z + \frac{1}{2}$ ; $x, y, z$	a	n
$x + \frac{1}{2}, \bar{y}, z + \frac{1}{2}$ ; $x, y, z$	b	n
$x + \frac{1}{2}, y + \frac{1}{2}, \bar{z}$ ; $x, y, z$	c	n

جدول (٣-٦)  
الرموز الخاصة بعناصر التماثل المختلفة

عنصر التماثل	الرمز إذا كان عمودي على مستوى	الرمز إذا كان موازي لمستوى	الرمز
مركز تماثل	○	○	1
محور دوراني ثانى	●	↔	2
محور دوراني ثالثى	▲	—	3
محور دوراني رابعى	■	—	4
محور دوراني سادسى	●	—	6
محور لولبى ثانى	○	↔	2 <sub>1</sub>
محور لولبى ثالثى	▲	—	3 <sub>1</sub>
محور لولبى ثالثى	▲	—	3 <sub>2</sub>
محور لولبى رباعى	■	—	4 <sub>1</sub>
محور لولبى رباعى	■	—	4 <sub>2</sub>
محور لولبى رباعى	■	—	4 <sub>3</sub>
محور لولبى سادسى	○	—	6 <sub>1</sub>
محور لولبى سادسى	○	—	6 <sub>2</sub>
محور لولبى سادسى	○	—	6 <sub>3</sub>
محور لولبى سادسى	○	—	6 <sub>4</sub>
محور لولبى سادسى	○	—	6 <sub>5</sub>
مرآة	—	—	m
مستوى انزلاق a	----	↓	a
مستوى انزلاق b	----	←	b
مستوى انزلاق c	.....	—	c
مستوى انزلاق n	.......	↖	n
مستوى انزلاق d	..→...	↗	d

## مثال ٢ : المجموعة الفراغية 2 Ccc

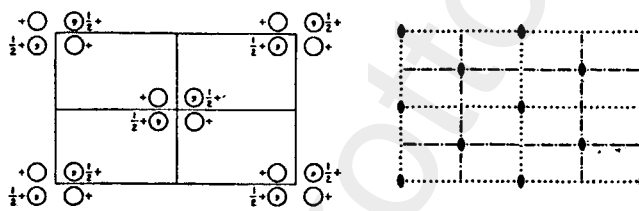
يتضح من رمز المجموعة الفراغية أن الوحدة البنائية متمركزة الوجه C وأنه توجد مستويات ازلاق عمودية على المحورين a و b بزاوية تساوى  $90^\circ$  كما يوجد محور تماثل ثنائي على امتداد المحور c، أما مركز الوحدة البنائية فهو عند نقطة تلاقى عناصر التماثل الثلاثة (شكل ٥-٦) ومن المعടأن يكون المحور الأفقي الموازى لحافة الصفحة هو المحور b أما المحور الرأسى فهو المحور a والمحور c هو المحور خارج مستوى الصفحة والمركز يكون عند الركن الذى يقع عند الناحية الشمالية العلوية من الرسم.

Orthorhombic  $m\ m\ 2$   
المعيني القائم

Ccc2

No. 37

$C_{2v}^{13}$



Origin on cc2

Number of positions,  
Wyckoff notation,  
and point symmetry

Co-ordinates of equivalent positions

إحداثيات الأوضاع المكافئة

$$(0,0,0; \frac{1}{2},\frac{1}{2},0)+$$

$$8 \quad d \quad 1 \quad x,y,z; \quad \bar{x},\bar{y},z; \quad \bar{x},y,\frac{1}{2}+z; \quad x,\bar{y},\frac{1}{2}+z.$$

شكل (٥-٦)

والموضع المتكافئ فى هذه الحالة هى ثمانى موقع داخل الوحدة البنائية بيانها

كالتالى :

$$x, y, z ; \quad \bar{x}, \bar{y}, z$$

$$\bar{x}, y, \frac{1}{2}+z ; \quad x, \bar{y}, \frac{1}{2}+z$$

$$\frac{1}{2}+x, \frac{1}{2}+y, z ; \quad \frac{1}{2}-x, \frac{1}{2}-y, z$$

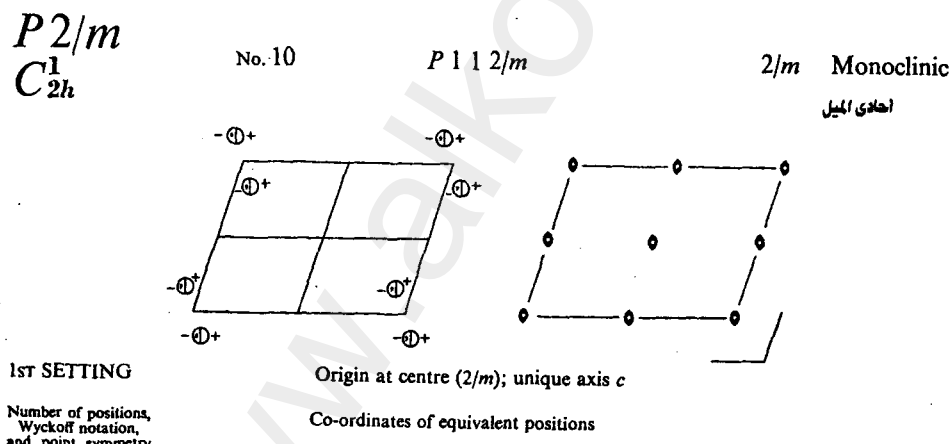
$$\frac{1}{2}-x, \frac{1}{2}+y, \frac{1}{2}+z ; \quad \frac{1}{2}+x, \frac{1}{2}-y, \frac{1}{2}+z$$

وتجدر بالذكر أن معرفة عدد المواقع المتكافئة شيء هام في تعين التركيب الداخلي للبلورة كما أن معرفة مكونات الموقع المكافئ الواحد كافية لمعرفة التركيب الكلى داخل البلورة.

### مسائل:

- ١- استنبط إحداثيات الأوضاع المتكافئة لكل من المجموعات الفراغية الآتية:
  - أ - المجموعة الفراغية  $P2/m$  شكل (٦-٦).
  - ب - المجموعة الفراغية  $P2_1/m$  شكل (٧-٦).
  - ج - المجموعة الفراغية  $b$   $P2/m$  شكل (٨-٦).
  - د - المجموعة الفراغية  $n$   $Pnn$  شكل (٩-٦).

الإجابة آخر الفصل.



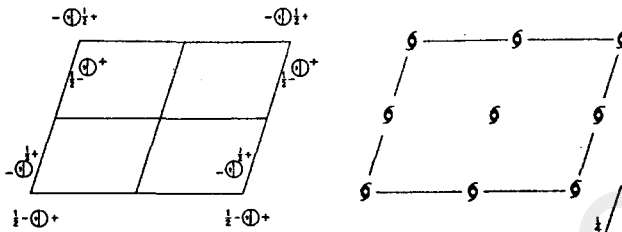
شكل (٦-٦)

$P\bar{2}_1/m$   
 $C_{2h}^2$

No. 11

 $P\bar{1}\bar{1}2_1/m$ 

$2/m$  Monoclinic  
 (حادي الميل)



1ST SETTING

Origin at  $\bar{1}$ ; unique axis  $c$ 

Number of positions,  
 Wyckoff notation,  
 and point symmetry

Co-ordinates of equivalent positions

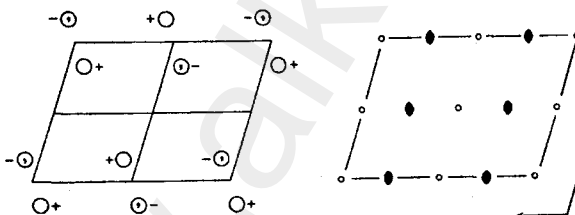
شكل (٧-٦)

$P2/b$   
 $C_{2h}^4$

No. 13

 $P\bar{1}\bar{1}2/b$ 

$2/m$  Monoclinic  
 (حادي الميل)



1ST SETTING

Origin at  $\bar{1}$ ; unique axis  $c$ 

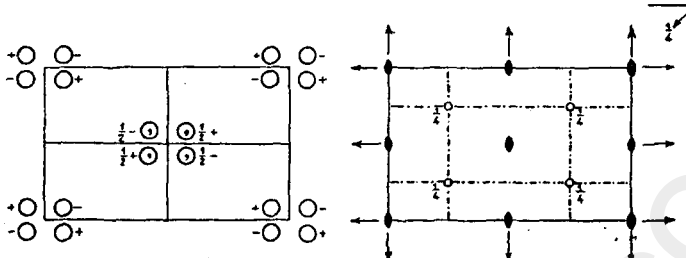
Number of positions,  
 Wyckoff notation,  
 and point symmetry

Co-ordinates of equivalent positions

شكل (٨-٦)

$Pnnn$   
 $D_{2h}^2$

No. 48

 $P 2/n 2/n 2/n$  $m m m$ Orthorhombic  
المعین القائمOrigin at 222, at  $\frac{1}{2}, \frac{1}{2}, \frac{1}{2}$  from I (compare next page for alternative origin)Number of positions,  
Wyckoff notation,  
and point symmetry

Co-ordinates of equivalent positions

شكل (٩-٦)

٢- ما هي عناصر التماثل الموجودة في كل مجموعة من المجموعات الفراغية الآتية:

أ - المجموعة الفراغية  $P222$  شكل (١٠-٦).ب - المجموعة الفراغية  $P2_12_12$  شكل (١١-٦).ج - المجموعة الفراغية  $b/a B2$  شكل (١٢-٦).د - المجموعة الفراغية  $Cc$  شكل (١٣-٦).

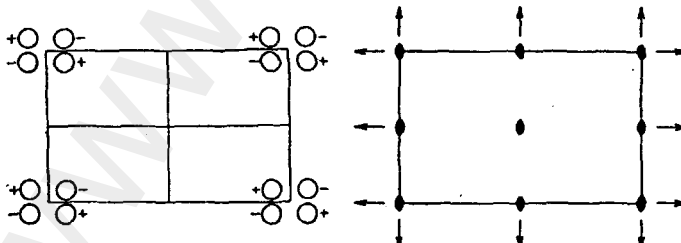
الإجابة آخر الفصل.

$P222$   
 $D_2^1$

No. 16

 $P 2 2 2$ 

222

Orthorhombic  
المعین القائم

Origin at 222

Number of positions,  
Wyckoff notation,  
and point symmetry

Co-ordinates of equivalent positions

4       $u$       1       $x, y, z; \bar{x}, \bar{y}, \bar{z}; x, \bar{y}, \bar{z}; \bar{x}, y, \bar{z}$ .

شكل (١٠-٦)

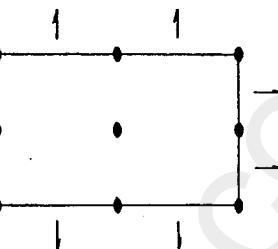
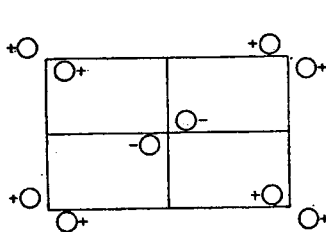
$P\bar{2}_1\bar{2}_1\bar{2}$   
 $D_2^3$

No. 18

 $\bar{P}\bar{2}_1\bar{2}_1\bar{2}$ 

222 Orthorhombic

المعين القائم

Origin at 112 in plane of  $\bar{2}_1\bar{2}_1$ Number of positions,  
Wyckoff notation,  
and point symmetry

Co-ordinates of equivalent positions

$$4 \quad c \quad 1 \quad x,y,z; \quad \bar{x},\bar{y},z; \quad \frac{1}{2}+x,\frac{1}{2}-y,\bar{z}; \quad \frac{1}{2}-x,\frac{1}{2}+y,\bar{z}.$$

شكل (١١-٦)

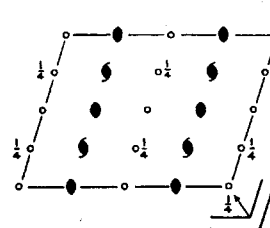
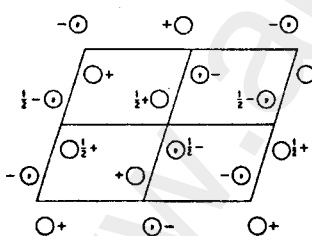
$B\bar{2}/b$   
 $C_{2h}^6$

No. 15

 $\bar{B}11\bar{2}/b$ 

2/m Monoclinic

أحادي الميل



1ST SETTING

Number of positions,  
Wyckoff notation,  
and point symmetryOrigin at I on glide-plane  $b$ ; unique axis  $c$ 

Co-ordinates of equivalent positions

$$(0,0,0; \quad \frac{1}{2},0,\frac{1}{2})+$$

$$8 \quad f \quad 1 \quad x,y,z; \quad \bar{x},\bar{y},\bar{z}; \quad \bar{x},\frac{1}{2}-y,z; \quad x,\frac{1}{2}+y,\bar{z}.$$

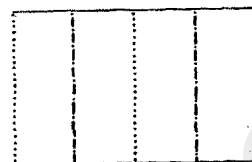
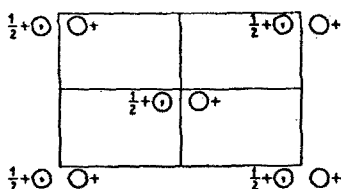
شكل (١٢-٦)

Monoclinic *m*

حادي الميل

*C1c1*

No. 9

 $C_c$   
 $C_s^4$ 
Origin on glide-plane *c*; unique axis *b*Number of positions  
Wyckoff notation  
and point symmetry

Co-ordinates of equivalent positions

شكل (١٣-٦)

$$(0,0,0; \frac{1}{2},\frac{1}{2},0)+$$

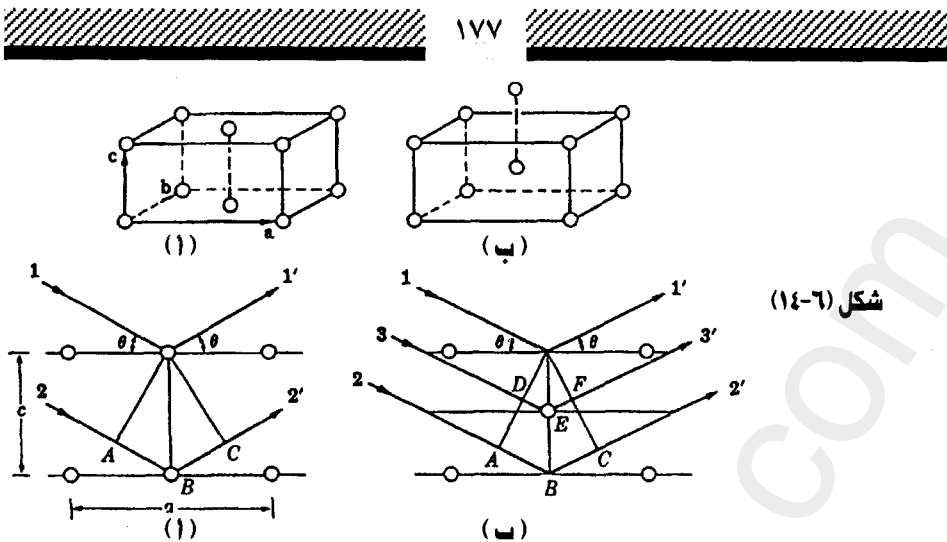
$$4 \quad a \quad 1 \quad x,y,z; \quad x,\bar{y},\frac{1}{2}+z.$$

### ٣-٦ تعين الترتيب الفراغي:

كل من عناصر التماثل التي تحتوى على إزاحة بالإضافة للإزاحات الثلاث للشبيكة البلورية لها تأثير هام ألا وهو القضاء على فضائل معينة من طيف حيود الأشعة السينية. وغياب هذه الفضائل من الانعكاسات له أهمية كبيرة في مجال التركيب البلوري لأن كل منها مميز لنوع معين من هذه الإزاحات؛ وبذلك فإن قائمة الانعكاسات الغائبة لبلورة ما تكون مميزة للتترتيب الفراغي لهذه البلورة والعناصر المحدثة لهذا الغياب المتنظم Systematic absences هي ثلاثة عناصر ألا وهي: مركز الشبيكة البلورية، ومستويات الانزلاق، والمحاور اللولية.

على سبيل المثال الشكل (١٤-٦) يوضح وحدتين من شبكتين تتبعان النظام المعينى القائم Orthorhombic كل منهما تحتوى على ذرتين من نفس النوع فى الوحدة البنائية إحداهما متمرکزة فى الوسط والأخرى متمرکزة فى القاعدة.

الآن ندرس الانعكاس من المستوى (001) في الحالتين ففي حالة الشبيكة المتمرکزة في قاعدتها إذا كان قانون براج يتحقق لزاوية سقوط  $\theta$  وطول موجة  $\lambda$  فإن هذا يعني أن الفرق في المسار ABC بين الشعاعين  $1'$ ،  $2'$  يكون طولاً مساوياً لطول موجة واحد وبذلك يكون الشعاعان  $1'$ ،  $2'$  في نفس الطور ويحدث انعكاس في الاتجاه الموضح في الشكل، وبالمثل في حالة الشبيكة المتمرکزة في الوسط يكون الشعاعان  $1'$ ،  $2'$  في نفس الطور حيث إن الفرق في المسار بينهما



شكل (٦-١٤)

ABC يساوى طول موجة واحد إلا أنه في هذه الحالة يوجد مستوى آخر من الذرات في متصرف المسافة بين المستويات (001) والفرق في المسار DEF بين الشعاعين  $1^{\circ}$ ,  $3^{\circ}$  يكون مساويا تماما لنصف الطول ABC أي مساويا لنصف طول موجة، وعلى ذلك يكون الشعاعان  $1^{\circ}$ ,  $3^{\circ}$  مختلفين تماما في الطور ويلاشى كل منهما الآخر، وبالتالي الشعاعان  $4^{\circ}$  (من المستوى التالي)،  $2^{\circ}$  يلاشى كل منهما الآخر وهكذا بالنسبة لكل البلورة وبذلك لا يظهر الانعكاس من المستوى (001) لأى بلورة متمرکزة في الوسط.

المثل السابق يوضح أن أى إعادة ترتيب للذرات داخل الوحدة البنائية يمكن أن يلاشى بعض الانعكاسات كلياً.

والجدول (٦-٤) يوضح أنواع التمرکز في الشبیکة البلوريه ونوع الانعکاسات الغائبه غيابا متنظما نتيجة لذلك التمرکز، كما يوضح الجدول (٥-٦) تلك الناتجه من وجود مستويات انزلال ومحاور لوليه.

كل الشبیکات البلوريه المتمركزة في الوسط تعانى من غياب الانعکاسات التي تكون مجموع معاملات ميلر لها  $h+k+l$  كمية فردية أما الشبیکات المتمركزة في الأوجه فإن الانعکاسات التي لا تختفى هي فقط التي تكون معاملات ميلر لها إما كلها كميات فردية أو كميات زوجية.

والجدواں الدولیه vol. 1 International Tables تحتوى على الانعکاسات التي يمكن الحصول عليها لكل الترتیبات الفراغیه وعددہا 230.

ففى حالة الترتيب الفراغي  $C\bar{2}22$  كمثال نجد أن الانعكاسات الآتية هي فقط التي يمكن مشاهدتها.

$hkl$	$h+k=2n$	$hoo$	$(h=2n)$
$okl$	$(k=2n)$	$oko$	$(k=2n)$
$hol$	$(h=2n)$	$ool$	$\ell=2n$
$hko$	$(h+k=2n)$		

أى أن الانعكاسات  $hkl$  التي تكون لها قيمة  $h+k$  عدد زوجى هي فقط الموجودة.

جدول (٤-٦)

#### الغياب المنتظم للانعكاسات نتيجة تمركز الشبكة البلورية

نوع الشبكة	نوع الانعكاسات الغائبة
متمركزة في الوسط	$hkl$ التي تكون قيم $h+k+\ell$ قيماً فردية
متمركزة في الوجه A (100)	$hkl$ التي تكون قيم $k+\ell$ قيماً فردية
متمركزة في الوجه B (010)	$hkl$ التي تكون قيم $h+\ell$ قيماً فردية
متمركزة في الوجه C (001)	$hkl$ التي تكون قيم $h+k$ قيماً فردية
متمركزة في كل الأوجه	$hkl$ التي تكون قيم $h+k$ أو $k+\ell$ أو $\ell+h$ قيماً فردية

وليس فى الإمكان فى كل الأحوال تحديد المجموعة الفراغية للبلورة تحديداً أوحداً من دراسة الغياب المنتظم للانعكاسات والسبب فى ذلك أن عناصر التماثل التي تحتوى على إزاحات هي فقط المسيبة لغياب منتظم للانعكاسات، وأن كل أشكال الحيوود الصادرة عن أي بلورة يكون لها مركز تماثل حتى لو أن البلورة ليست كذلك حيث ينص قانون فريديل على أن انعكاس الأشعة السينية من مجموعة مستويات  $(hkl)$  يكون مساوياً للانعكاس من المجموعة  $(\bar{h}\bar{k}\bar{l})$  وعلى هذا فإنه حتى لو أن البلورة ليس لها مركز تماثل فإن شكل الحيوود لها يكون له مركز تماثل.

## جدول (٥-٦)

الغياب المنتظم للانعكاسات نتيجة وجود عناصر بمقابل تحتوي على إزاحة

الانعكاسات الغائبة	الانعكاسات المتناثرة	عنصر التماثل
$h = 2n + 1 = \text{odd}$	hoo	a
$k = 2n + 1$	oko	b
$l = 2n + 1$	ool	c
$l = 3n + 1, 3n + 2$	ool	c*
$h = 4n + 1, 2 \text{ or } 3$	hoo	a
$k = 4n + 1, 2 \text{ or } 3$	oko	b
$l = 4n + 1, 2 \text{ or } 3$	ool	c
$l = 6n + 1, 2, 3, 4 \text{ or } 5$	ool	c*
$k = 2n + 1$	okl	b
$l = 2n + 1$		
$k + l = 2n + 1$		
$k + l = 4n + 1, 2, \text{ or } 3$		
$h = 2n + 1$	hol	c
$l = 2n + 1$		
$h + l = 2n + 1$		
$h + l = 4n + 1, 2, \text{ or } 3$		
$h = 2n + 1$	hko	c
$k = 2n + 1$		
$h + k = 2n + 1$		
$h + k = 4n + 1, 2, \text{ or } 3$		

الطريقة المتبعة عادة في تعين المجموعة الفراغية من بيانات الحبيود تتلخص في إيجاد النظام البلوري ومن معرفة الغياب المتنظم للانعكاسات يمكن تحديد نوع الشبكة وبعض عناصر التماثل ، ومن تماثل شكل الحبيود يمكن تحديد مجموعة لاوي للبلورة.

وتجدر بالذكر أن كل المعلومات التي يمكن الوصول إليها عن تماثل البلورة أحيانا لا تكون كافية لتعيين المجموعة الفراغية وفي مثل هذه الأحوال يكون تعين التركيب البلوري والجزئي من بيانات الحبيود تعينا صحيحا هو الذي يحدد المجموعة الفراغية للبلورة.

#### تعين عدد الجزيئات في الوحدة البنائية:

يمكن قياس كثافة البلورة بطريقة سهلة ألا وهي طريقة الطفو floatation ومن تعين أبعاد الوحدة البنائية يمكن حساب حجم الوحدة البنائية وبالتالي يكون من السهل حساب وزن المادة في الوحدة البنائية ومنها يتم حساب  $n$  وهو عدد الجزيئات فيها.

إذا كانت  $\rho$  هي كثافة البلورة،  $M$  الوزن الجزئي :

$$\therefore n = \frac{V \times N \times \rho}{M}$$

حيث  $N$  هو عدد أثو جادرو.

وتعين العدد  $n$  ذو أهمية كبيرة في تعين التركيب البلوري حيث إنه بعلومية المجموعة الفراغية يمكن حساب عدد الجزيئات في الوحدة غير التماثلة (عدد الوحدات غير التماثلة هو عدد الأوضاع المتكافئة) فالمجلس الدولي International Tables vol. 1 تحتوى على عدد الأوضاع المتكافئة لكل المجموعات الفراغية.

في بعض الأحيان تكون معرفة عدد الجزيئات في الوحدة غير التماثلة لها تأثير كبير في تقليل عدد المجاهيل المطلوب معرفتها للوصول لمعرفة التركيب وذلك إذا كانت الوحدة غير التماثلة تحتوى على  $1/2$  أو  $1/3$  أو  $1/4$  .. من الجزيئي فقط.

**مثال:** الجدول الآتى يحتوى على المجموعات الفراغية للنظام أحادى الميل والانعكاسات الموجودة فى كل مجموعة . Monoclinic

جدول (٦-٦)

شروط وجود الانعكاسات	المركز	S.G	شروط وجود الانعكاسات	المركز	S.G
لا توجد شروط	$2/m$	$P2/m$	لا توجد شروط	$2$	$P2$
لا توجد شروط : $hkl$	$\bar{1}$	$P2_{1/m}$	لا توجد شروط : $hkl$ لا توجد شروط : $hol$	$2_1$	$P2_1$
لا توجد شروط : $hol$			$k = 2n$ : $oko$		
$k = 2n$ : $oko$			$h + k = 2n$ : $hkl$	$2$	$C2$
$h + k = 2n$ : $hkl$	$2/m$	$C2/m$	$h = 2n$ : $hol$		
$h = 2n$ : $hol$			$h = 2n$ : $hol$		
$k = 2n$ : $oko$			$k = 2n$ : $oko$		
لا توجد شروط : $hkl$	$\bar{1}$	$P2/c$	لا توجد شروط	$m$	$Pm$
$l = 2n$ : $hol$			$hkl$ $hol$ $oko$		
لا توجد شروط : $oko$					
لا توجد شروط : $hkl$	$\bar{1}$	$P2_{1/c}$	لا توجد شروط	$c$	$Pc$
$l = 2n$ : $hol$			$l = 2n$ : $hol$		
$k = 2n$ : $oko$			لا توجد شروط		
$h + k = 2n$ : $hkl$	$\bar{1}$	$C2/c$	$oko$		
$l = 2n$ , $h = 2n$ : $hol$			$h + k = 2n$ : $hkl$	$m$	$Cm$
$k = 2n$ : $oko$			$h = 2n$ : $hol$		
			$k = 2n$ : $oko$		
			$h + k = 2n$ : $hkl$	$c$	$Cc$
			$l = 2n$ , $h = 2n$ : $hol$		
			$k = 2n$ : $oko$		

استنبط الترتيب الفراغي للبلورات التي رصدت لها الشروط الآتية لظهور الانعكاسات المختلفة:

أ-

لا توجد شروط  $hkl$

لا توجد شروط  $hol$

$k = 2n$  : oko

ب-

لا توجد شروط  $hkl$

$\ell = 2n$  :  $hol$

$k = 2n$  : oko

ج-

$h+k = 2n$  :  $hkl$

$h = 2n$  :  $hol$

$k = 2n$  : oko

د-

لا توجد شروط  $hkl$

لا توجد شروط  $hol$

لا توجد شروط oko

(الإجابة : أ -  $C_{2/m}$  أو  $C_2$  - ب -  $P2_{1/c}$  أو  $p2_1$  - ج -  $P2_{1/m}$  أو  $Pc$  - د -  $P2$ )

## إجابات الأسئلة ص ١٧٤، ١٧٢ :

$$x,y,z ; x,y,\bar{z} ; \bar{x},\bar{y},z ; \bar{x},\bar{y},\bar{z} \quad -\text{أ}-1$$

$$x,y,z ; \bar{x},\bar{y},\bar{z} ; \bar{x},\bar{y},\frac{1}{2}+z ; x,y,\frac{1}{2}-z \quad -\text{ب}'$$

$$x,y,z ; \bar{x},\bar{y},\bar{z} ; \bar{x},\frac{1}{2}-y,z ; x,\frac{1}{2}+y,\bar{z} \quad -\text{ج}'$$

$$x, y, z ; \bar{x}, \bar{y}, z ; \frac{1}{2} - x, \frac{1}{2} - y, \frac{1}{2} - z ; \frac{1}{2} + x, \frac{1}{2} + y, \frac{1}{2} - z \quad -\text{د}$$

$$x, \bar{y}, \bar{z} ; \bar{x}, y, \bar{z} ; \frac{1}{2} - x, \frac{1}{2} + y, \frac{1}{2} + z ; \frac{1}{2} + x, \frac{1}{2} - y, \frac{1}{2} + z$$

أ - ثلاثة محاور تماثل ثنائية على امتداد المحاور - a - ، b - ، c -

ب - محوران لولبيان على امتداد المحورين - a - ، b - ، وكذلك محور ثالث على امتداد المحور - c .

ج - محور تماثل ثالث على امتداد المحور - c ، كذلك مستوى انزلاق عمودي على - c عند  $b/2$  بزاوية  $c/4$  ، بالإضافة لأن الشبيكة متمركزة في الوجه B (يلاحظ عناصر التماثل التي ظهرت إضافية وأهمها مركز التماثل عند المركز) .

د - مستوى انزلاق عمودي على - b بزاوية  $c/2$  كما أن الشبيكة متمركزة في الوجه C .



# العوامل المؤثرة في شدة أشعة الحيوود

## ١-٧ اختزال بيانات الحيوود: Data Reduction

بيانات شدة أشعة الحيوود المجمعة بالوسائل الموضحة سابقا تكون المادة الأساسية (الخام) التي يتم منها تعين التركيب البلوري والمعالجة المبدئية لهذه القياسات تكون بتحويلها إلى شكل يجعلها أسهل في استخدامها.

### ١-١-٧ تصحيح لورنتز وتصحيح الاستقطاب:

#### Lorentz and Polarization Correction

أهم كمية يمكن استنتاجها من قياسات شدة أشعة الحيوود هي القيمة العددية لمعامل التركيب  $|F_{hkl}|$  Structure factor modulus والعلاقة بين هذه الكمية وشدة الأشعة المقاسة عمليا هي كالتالي :

$$|F| \propto \sqrt{I} \quad (7-1)$$

وهي أيضا يمكن حسابها نظريا بمعرفة أوضاع الذرات في الوحدة البنائية للبلورة ومعاملات التركيب هذه هي أيضا التي تستخدم في حساب خرائط الكثافة الإلكترونية التي يمكن منها تعين أماكن الذرات. من أجل هذه الأسباب فإنه من المعتمد تحويل شدة الانعكاسات المقاسة عمليا إلى معاملات التركيب

باستخدام برنامج على الحاسوب الآلى حيث تستخدم بعد ذلك فى الحسابات الالازمة.

العلاقة بين  $|F_{0\bar{l}}|$  &  $\sqrt{I}$  تعتمد على عوامل كثيرة بعضها عوامل هندسية تعتمد على الانعكاسات الفردية وعلى الجهاز المستخدم فى القياس ومن ناحية المبدأ يمكن الأخذ فى الاعتبار هذه العوامل بدرجة كبيرة من الدقة ومعالجتها ويمكن كتابة المعادلة (7-1) كالتى:

$$|F_{hkl}| = \sqrt{\frac{k I_{hkl}}{L_p}} \quad (7-2)$$

حيث  $P$  هي معامل الاستقطاب ويعطى بالمعادلة:

$$P = \frac{1+\cos^2 2\theta}{2} \quad (7-3)$$

أى أنه دالة في  $2\theta$  ولا يعتمد على الطريقة التي جمعت بها النتائج أما معامل لورنتر  $L$  فهو يعتمد على طريقة قياس شدة الانعكاسات، فإذا استخدم تكنيك الميل المتساوي لفايزنبرج Equi-inclination Wiessenberg Technique فإنه يأخذ القيمة:

$$L = \frac{\sin \theta}{\sin 2\theta \sqrt{\sin^2 \theta - \sin^2 \mu}} \quad (7-4)$$

حيث  $\mu$  هي زاوية تساوى الميل وبذلك فإنه في حالة الانعكاسات في المستوى الصفرى zero-layer فإن المعادلة تختصر إلى:

$$L = \frac{1}{\sin^2 \theta} \quad (7-5)$$

وهذه هي المعادلة التي تطبق أيضا على الانعكاسات التي تقام على جهاز الحيد للبلورات الأحادية Four-circle diffractometer.

أما المعامل  $k$  الذي يظهر في المعادلة (7-2) فإنه يعتمد على حجم البلورة وشدة الشعاع الساقط وثوابت أخرى وقيمتها تكون ذات أهمية فقط عندما نحتاج حساب قيم  $|F|$  المطلقة ولكن من المعتمد حذف هذا المعامل  $k$  من حسابات اختزال البيانات وتكون الناتج هي قيم معامل التركيب النسبي  $|F_{\text{relative}}|$  التي تعرف كالأتي:

$$|F_{\text{rel}}| = k' |F_0| = \sqrt{I_{hkl}/L_p} \quad (7-6)$$

عملية استنباط المقياس بين  $|F_0|$ ,  $|F_{\text{rel}}|$  عادة تجرى في مرحلة متأخرة نوعاً وذلك بمقارنة قيم  $|F_{\text{rel}}|$  مع قيم  $|F_{\text{calculated}}|$  ( $|F_{\text{calculated}}|$ ) التي يتم حسابها بعد معرفة التركيب وحيث إن التكنيك يضيف متغيراً واحداً (وفي بعض الأحيان عدداً من المتغيرات إذا كانت عملية القياس ستم لكل مستوى من الانعكاسات على حدة) فإن تأثير ذلك لا يكون له خطورة على دقة النتائج النهائية.

معامل الاستقطاب  $P$  ينشأ نتيجة لطبيعة الأشعة السينية والطريقة التي تتغير بها كفاءة الانعكاس بتغيير زاوية الانعكاس، فشعاع الأشعة السينية المعتمد يكون غير مستقطب أى أن المتجهات الكهربائية المصاحبة للفوتونات يمكن أن تأخذ أى اتجاه عمودي على اتجاه الانتشار.

ومعامل لورنتز ( $L$ ) ينشأ لأن الوقت اللازم لكي تمر نقطة في الشبكة العكسية بسطح كرة الانعكاس لا يكون ثابتاً ولكنه يتغير مع تغير موضع النقطة في الفضاء العكسي (reciprocal space) وكذلك الاتجاه الذي تقترب منه النقطة نحو الكرة. وأبسط الحالات هي تلك الخاصة بالمستوى الصفرى للفيلم المؤخذ للبلورة الدوارة أو لفيلم فايزنبرج، فالبلورة هي والشبكة العكسية يدوران بسرعة زاوية ثابتة  $\omega$  وعلى هذا فإن السرعة الخطية لنقطة في الشبكة العكسية عند اقترابها من الكرة هي:

$$v = d^* \omega \quad (7-7)$$

$$v = (2\sin \theta) \omega \quad (7-8)$$

والوقت اللازم للنقطة لكي تمر خلال الكرة على المسار الذي طوله  $P$  هو :

$$t = P/v \quad (7-9)$$

$$t = \frac{P}{2\omega \sin\theta} \quad (7-10)$$

وطول المسار يعتمد على الزاوية بين سطح الكرة والمسار الذي تتبعه نقطة الشبكة العكسية . ويمكن إثبات أن :

$$P \propto \frac{1}{\cos\theta} \quad (7-11)$$

ويحذف الكمية الثابتة في المعادلة (7-10) وهي  $\omega$  يتبع أن :

$$t = \frac{1}{2\cos\theta \sin\theta} \quad (7-12)$$

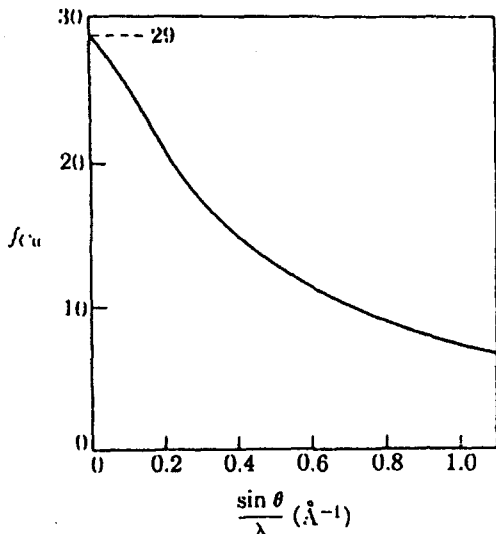
وحيث إن :

فالمعادلتان (7-12)، (7-5) متساويتان ماعدا ثابت التناوب .

الصورة المركبة للمعادلة (7-4) في حالة طريقة التصوير لفايزنبرج تنشأ من حقيقة أن طول المسار هو دالة لكل من  $\theta$  ،  $v$  . وفي برنامج اختزال بيانات الحيوود تكون شدة الانعكاسات لمستويات ميلر المختلفة هي المعلومات الدالة للبرنامج مع أطوال الوحدة البنائية للبلوررة كما يجب التعريف بالطريقة التي استخدمت في تجميع شدة الانعكاسات هل هي باستخدام جهاز الحيوود single crystal diffractometer أو بطريقة فايزنبرج حتى تستخدم المعادلة المناسبة لحساب تصحيح لورنتز وفي حالة استخدام طريقة فايزنبرج يجب إدخال بيان بزاوية الميل  $v$  الخاصة بكل مستوى .

## ٢-١-٧ معاملات التشتت الذري: Atomic Scattering Factors

يمكن إثبات أنه إذا افترضنا أن الذرات تكون كروية الشكل فإن قدرتها على تشتت الأشعة تكون معتمدة فقط على نوع الذرة،  $\frac{(\sin\theta)}{\lambda}$  وقدرة الذرة على تشتت الأشعة لانعكاس معين تسمى معامل التشتت (الاستطارة) الذري ( $f$ ) ويعبر عنه بدلالة قدرة عدد مكافئ من الإلكترونات يقع في مكان نواة الذرة.



شكل (١-٧)  
معامل التشتت لذرة النحاس

من الذرة يكون لدرجة متزايدة غير متعدد في الطور مع الأشعة المشتتة من أجزاء أخرى من السحابة الإلكترونية، وعلى هذا فإن التغير في معامل التشتت هو نتيجة الحجم المحدود للذرة باعتبارها هي المصدر المشتت.

الأشكال البيانية للذرات الأخرى تشبه ذلك الخاص بذرة الكربون وتختلف عنه في قيمة المعامل عندما تكون الكمية  $\frac{\sin\theta}{\lambda}$  مساوية للصفر وكذلك تختلف عن بعضها في تفاصيل الشكل البياني، وهذه الأشكال تم حسابها لعدد كبير من الذرات باستخدام توزيعات إلكترونية مختلفة ونتيجة هذه الحسابات النظرية مدونة في الجداول العالمية لعلم البلورات vol. 3 International Tables

وكتقريب أولى يمكن اعتبار القدرة على التشتت للأنواع المختلفة من الذرات متساوية بعض النظر عن الأشعة المستخدمة (كل الأشعة ذات أطوال الموجات المختلفة).

وتغير معامل التشتت للنحاس مع  $\sin\theta/\lambda$  موضح بشكل (١-٧) وعندما تكون الكمية  $\sin\theta/\lambda$  متساوية للصفر تكون قيمة معامل التشتت دائماً متساوية لعدد الإلكترونات في الذرة وعند زيادة  $\sin\theta/\lambda$  تقل قيمة معامل التشتت للذرة لأن أشعة إكس المشتتة من أي إلكترون في جزء ما

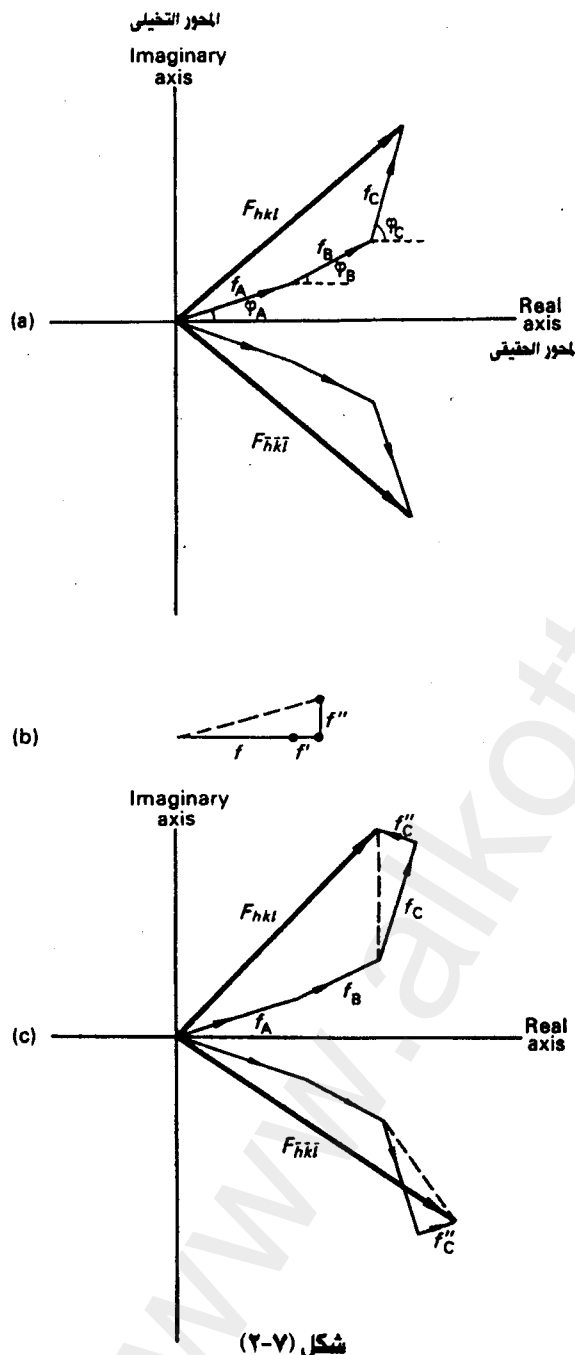
### ٣-١-٧ التشتت الشاذ

#### Anomalous Scattering

إن أي انعكاس ما هو إلا الجمع المتجهي للموجات المشتتة من الذرات المختلفة الموجودة في الوحدة البنائية، وشكل (٢-٧) هو شكل متجهي فيه  $F_C, F_B, F_A$  هى أطوار الموجات المشتتة بواسطة الذرات C, B, A في وحدة بنائية لا تحتوى على مركز تمايل.

ومع أن المحصلتين  $F_{\bar{h}\bar{k}\bar{l}}$ ,  $F_{hkl}$  يختلفان في أطوارهما إلا أنه يكون لهما نفس القيمة العددية ولذلك فإن شدة الانعكاسين تكون واحدة وقانون فريديل ينطبق في هذه الحالة.

ويلاحظ أننا افترضنا أن زوايا الطور  $\varphi_A, \varphi_B, \dots$  تعتمد فقط على موضع الذرات المشتتة للموجات أي أن الذرات عند تشتيتها



شكل (٤-٧)

للأشعة لا تحدث أي تغير إضافي في زوايا الطور النسبية وفي العادة يكون هذا صحيحا إلا أنه يوجد بعض الاستثناءات وذلك في حالة بعض الذرات التي تكون

حافة الامتصاص لها بالقرب من تردد الأشعة الساقطة إذ إنها تحدث تغيراً إضافياً في زوايا الطور، وهذا يسمى التشتت الشاذ، وحيث إن معامل التشتت يتم حسابه بافتراض أن الإلكترونات في الذرة يمكن اعتبارها حرة وهذا الافتراض يجب أن يعدل في حالة التشتت الشاذ إذ يجب الأخذ في الاعتبار تفاعل الأشعة الساقطة على الإلكترونات المرتبطة بالنواة حيث إن هذا التفاعل هو الذي يحدث حافة الامتصاص، والشكل يوضح هذا التعديل إذ إن معامل التشتت البسيط يصبح كمية مركبة " $f + f' + f''$ " والجزء التخيلي " $f''$ " هو الذي يهمنا حيث إن هذه المركبة هي التي تدخل التغيير في الطور. وتأثير وجود ذرات لها تشتت شاذ في حالة البلورات التي لا تحتوى على مركز مثائل موضح بالشكل. فالجزء التخيلي " $f''$ " يجعل المحصلتين  $F_{\bar{h}\bar{k}\bar{l}}$ ،  $F_{hkl}$  مختلفتين في القيمة وزاوية الطور.

#### ٤-١-٧ Absorption:

إجراء التصحيح للامتصاص هو أصعب التصويبات التي تجرى وكذلك أقلها حدوثاً وحيث إن الامتصاص هو أحد المصادر الرئيسية للأخطاء التي ما زالت لم يجر لها تصويب في حالات التعيين الدقيق للتركيب فإن إزالة تأثيرها يكون ذات أهمية كبيرة. وصعوبة إجراء تصويب للامتصاص يكمن في الحسابات المعقدة في الحالات العامة فلإجراء تصحيح للامتصاص لأى انعكاس يجب حساب الامتصاص الحادث على الطول الذى يسلكه الشعاع المنعكس من كل جزء من البلورة ثم تجمع هذه النتائج لتعطى الانعكاس من كل البلورة.

#### ٥-١-٧ Primary and Secondary Extinction:

تصور داروين Darwin أن الفرق بين شدة الانعكاس من البلورات الحقيقية وتلك المتوقعة من بلورات مثالية ينشأ نتيجة عاملين أسماهما الأضمحلال الأولى والثانوية، وأن كلاً منها يعمل كمعامل امتصاص إضافي عند زاوية الانعكاس الدقيقة؛ فالبلورة المثالية التي لا تكون عند الوضع الذى يعطى انعكاس براج تحدث امتصاصاً صغيراً ولكن محدداً لأنشعة إكس التى تمر خلالها حسب المعادلة :

$$I = I_0 e^{-\mu x}$$

وأثناء حدوث انعكاس براج تقوم كل المستويات المتالية بعكس كمية صغيرة من الطاقة من الشعاع الساقط وتكون النتيجة أن الشعاع أضعف كلما مررنا إلى مستويات أسفل المستوى السطحي .

وبالإضافة لذلك فإن جزءاً من الموجات المتعكسة يمكن أن يتعرض لعملية انعكاس للمرة الثانية من الوجه السفلي للذرارات مما يجعل الموجات تعود بالعكس في اتجاه الشعاع الساقط حيث يحدث تداخل بينها محدثاً اضمحلالاً زائداً في شدة الأشعة الساقطة . وهذا التأثير يعملاً أنثناء عملية الانعكاس من المستويات الذرية ذلك بالإضافة لمعامل الامتصاص العادي  $\mu$  ، هذا الامتصاص غير العادي يسمى **الاضمحلال الأولى Primary extinction** وتأثيره يكون أقل في حالة الانعكاسات عند الزوايا الكبيرة ، وتكون النتيجة أن نتائج قياس الانعكاسات الكبيرة الشديدة تكون عادة أقل مما يجب أن تكون عليه بالمقارنة بالانعكاسات الضعيفة .

وحيث إن معظم البلورات الحقيقية هي بلورات غير مثالية وهي قريبة من نوع البلورات الفسيفسائية التركيب mosaic فإن مثل هذه البلورات إذا كانت في وضع يسمح بحدوث انعكاس من أحد مستوياتها فإن الشعاع الساقط سوف ينعكس من عدد كبير من الكتل البلورية crystal blocks التي تكون في وضع يحقق زاوية براج لهذا المستوى ، وعند دوران هذه البلورة قليلاً يصبح وضع هذه الكتل غير محقق لزاوية براج ولكن يمكن لعدد جديد من الكتل أن يصبح في وضع صحيح محققاً لزاوية براج ويكون شعاع الحبيبات الكلية هو مجموع هذه المساهمات contributions خلال مدى زاوية براج ولأن الكتل البلورية تكون بعيدة قليلاً عن الوضع الصحيح فإن الشعاع المنعكس تكون طاقته أكثر مما لو أن البلورات كانت مثالية ، وخلال انتبعاث شعاع الحبيبات هذا تكون الكتل البلورية القريبة من السطح سبباً في تقليل شدة الشعاع النافذ إلى الكتل البلورية الغائرة في الداخل ، ونفس الشيء يحدث للشعاع خلال خروجه من البلورة وهذا يزيد من معامل الامتصاص عن القيمة العادية لمعامل

الامتصاص للبلورات  $\text{La}$  وهذا يسمى الأضمحلال الشانوى، كما أن هذه الكتل البلورية الصغيرة يمكن أن تعانى أيضا من الأضمحلال الأولى وينظر الأضمحلال الشانوى بوضوح فى حالة الانعكاسات القوية أكثر منه فى حالة الانعكاسات الضعيفة.

والمساحيق التى يقع حجم بلوراتها بين  $10^{-2} \text{ cm} - 10^{-3} \text{ cm}$  لا تعانى من هذا التأثير نتيجة لقلة عدد الحبيبات البلورية فى العينة التى يحدث أن تكون فى وضع يسمح بالانعكاس للأشعة الساقطة.

وبصفة عامة فإن التصحيح لعامل الأضمحلال هو شيء غاية فى الصعوبة ولكن يمكن الاستفادة من نتائج حيد الأشعة السينية بدون إجراء تصحيح لهذا التأثير.

## ٢-٧ القياس المطلق ومعامل الحرارة :

### Absolute Scaling and Temperature Factors

مع أن المعلومات المحتواه فى نتائج اختزال بيانات الحيدود لا يمكن استخدامها بصفة مباشرة فى تعين التركيب البلوري إلا أنه يمكن الحصول منها على حقائق مفيدة فمن المقارنة بين البيانات العملية وتلك المتوقعة نظرياً لبلورات تتكون من ترتيب عشوائى للذرات يمكن وضع قيم  $F$  فى القياس المطلق كذلك يمكن الحصول على معامل الذبذبة الحراري للذرات وتسمى هذه الطريقة طريقة ويلسون A. J. C. Wilson.

وكمقدمة لهذه الطريقة يجب أن تأخذ فى الاعتبار تأثير درجة الحرارة على شدة الأشعة المنعكسة فكما أوردنا سابقاً فإن انخفاض قدرة الذرة على التشتت للانعكاسات التى تزيد فيها قيمة  $\sin\theta/\lambda$  يعزى إلى حجم السحابة الإلكترونية المحدودة حول النواه. وكلما ازدادت هذه السحابة لعدد معين من الإلكترونات ازدادت سرعة النقصان فى معامل الاستطارة (التشتت). والشكل البيانى الطبيعى لمعامل الاستطارة يمكن حسابه على أساس التوزيع الإلكترونى فى الذرة الساكنة

ولكن في الواقع تكون الذرات في البلورات دائماً متذبذبة حول أماكنها الساكنة ومقدار التذبذب يعتمد على درجة الحرارة وكتلة الذرة وكذلك على القوى التي تجعلها ثابتة في مكانها بواسطة رابطة تساهمية مثلًا أو غيرها وبصفة عامة كلما ازدادت الحرارة ازدادت التذبذبة.

ويكون تأثير الحركة الحرارية هذه هو انتشار الكثافة الإلكترونية على حجم أكبر، وهذا يجعل قدرة الذرة على الاستطارة تقل بسرعة أكثر منها في حالة الذرة المنشالية في التركيب الساكن، وقد أمكن نظرياً وعملياً إثبات أن القدرة على الاستطارة تتغير حسب المعادلة:

$$e^{-B(\sin^2\theta)/\lambda^2} \quad (7-14)$$

حيث تكون العلاقة بين  $B$  ومتosط السعة المربعة  $(\bar{\mu}^2)$  للذبذبة الذرية كالتالي:

$$B = 8\pi^2 \bar{\mu}^2 \quad (7-15)$$

أى أن معامل الاستطارة لذرة حقيقة ليس ببساطة  $f_0$  ولكنه عبارة عن:

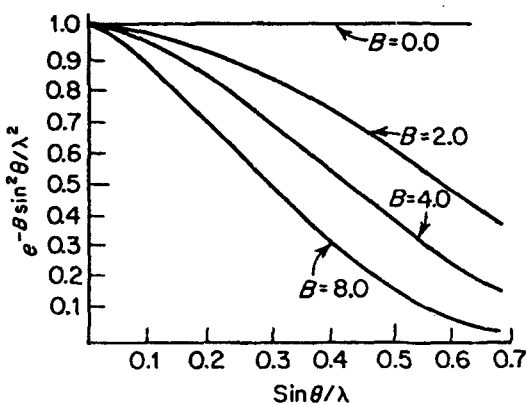
$$f = f_0 e^{-B(\sin^2\theta)/\lambda^2} \quad (7-16)$$

انظر شكل (٣-٧)

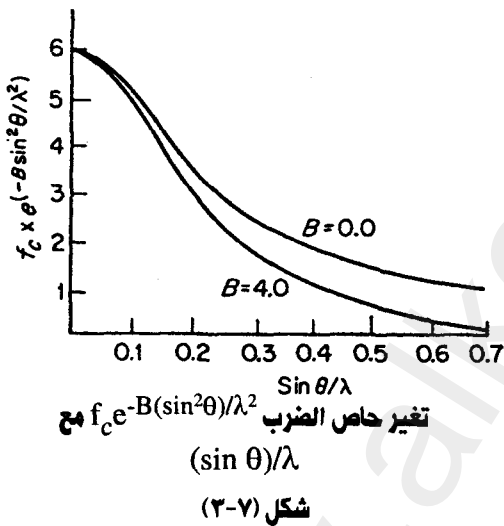
ومن الأفضل الحصول على قيمة  $B$  للبلورة كلها قبل بداية تعين التركيب، ومع أن التجارب أثبتت أنه يمكن التكهن بقيمة عادة تكون ما بين 2.0 Å إلى 5.0 Å إلا أن طريقة ويلسون تعطينا قيمة أدق.

والآن دعنا نعرف قيمة لمتوسط شدة الانعكاس التي صوبت لورتنز والاستقطاب  $L_p$  بحيث تكون كالتالي:

$$\bar{I}_{rel} = \left\langle |F_{rel}|^2 \right\rangle_{av} \quad (7-17)$$



غير معامل التتبّب الحراري مع  $\sin \theta / \lambda$



(٢-٧)

شكل

وفي حالة الوحدة البنائية التي تحتوى على عدد N من الذرات يمكن إثبات أن متوسط شدة الانعكاس نظرياً يعطى بالمعادلة:

$$\bar{I}_{abs} = \sum_{i=1}^N f_i^2 \quad (7-18)$$

أى أن متوسط شدة الأشعة يعتمد على ما هو موجود في الوحدة البنائية للبلورة وليس على مكان وجودها، وحيث إن المشكلة هي مشكلة إحصائية فلذلك نشأت صعوبات إن كانت محظيات الوحدة تختلف كثيراً عن التوزيع العشوائي ولكن في حالة المركبات العضوية فالحال ليس كذلك والنسبة بين  $\bar{I}_{abs}$  و  $\bar{I}_{rel}$  يجب أن تكون هي مقدار

معامل القياس scaling factor المطلوب معرفته لكي تغير قيمة  $I_{rel}$  إلى المقياس المطلق، ولكن الموضوع لا يتم بهذه البساطة لسببين أولهما أن قيم F ليست ثابتة ولكنها تتغير بتغير  $\sin \theta / \lambda$  ولذلك قيمة  $\bar{I}_{abs}$  تتغير هي الأخرى مع تغير  $\sin \theta / \lambda$  وهذا التغير عادة يؤخذ في الاعتبار ولذلك يقسم الفضاء العكسي reciprocal space إلى قشerras متعددة المركز وحقيقة السمك بحيث إن التغير في قيمة F مع  $\sin \theta / \lambda$  خلال كل قشرة يمكن إهماله ثم يحسب المتوسط لقيم  $I_{rels}$  من الانعكاسات في كل قشرة على حدة، وهذه القيمة لـ  $\bar{I}_{rel}$  يمكن أن تقارن بعد ذلك مع القيم المحسوبة  $\bar{I}_{abs}$  من قيمة F الخاصة بكل قشرة.

أما المشكلاة الثانية وهي الأخطر فهى أن قيم  $f_s$  الالازمة للمعادلة (7-18) هي تلك القيم التي تصف الذرات كما هى في البلورة أى أنها تتذبذب بفعل الحرارة ولذلك يجب أن تتحدد المعادلتان (7-17)، (7-18).

$$\bar{I}_{abs} = \sum_{i=1}^N f_{0i}^2 e^{-2B(\sin^2\theta)/\lambda^2} \quad (7-19)$$

ولتعيين قيمة  $B$  نفترض أن لها نفس القيمة لكل الذرات ..

$$\therefore \bar{I}_{abs} = e^{-2B(\sin^2\theta)/\lambda^2} \sum_{i=1}^N f_{0i}^2 \quad (7-20)$$

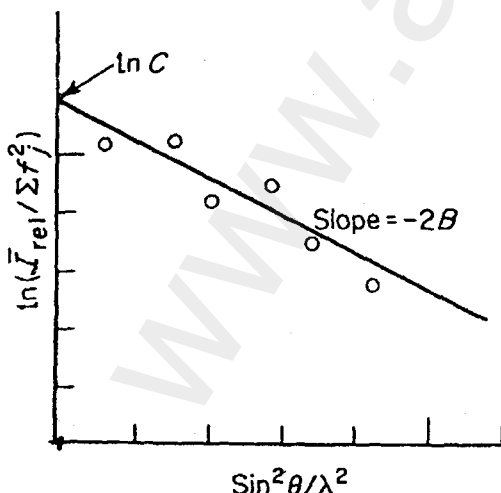
والآن إذا كانت :

$$\bar{I}_{rel} = C \bar{I}_{abs} \quad (7-21)$$

$$\therefore \bar{I}_{rel} = C e^{-2B(\sin^2\theta)/\lambda^2} \sum_{i=1}^N f_{0i}^2 \quad (7-22)$$

$$\frac{\bar{I}_{rel}}{\sum_{i=1}^N f_{0i}^2} = C e^{-2B(\sin^2\theta)/\lambda^2} \quad (7-23)$$

$$\therefore \ln \left( \frac{\bar{I}_{rel}}{\sum_{i=1}^N f_{0i}^2} \right) = \ln C - 2B \left( \frac{\sin^2\theta}{\lambda^2} \right) \quad (7-24)$$



وهكذا إذا تم حساب الجانب الأيسر من المعادلة لكل قشرة لها القيم الثابتة. انظر شكل (٤-٧).

شكل (٤-٧)  
طريقة ويلسون لتعيين معامل القياس والمعامل العزاري

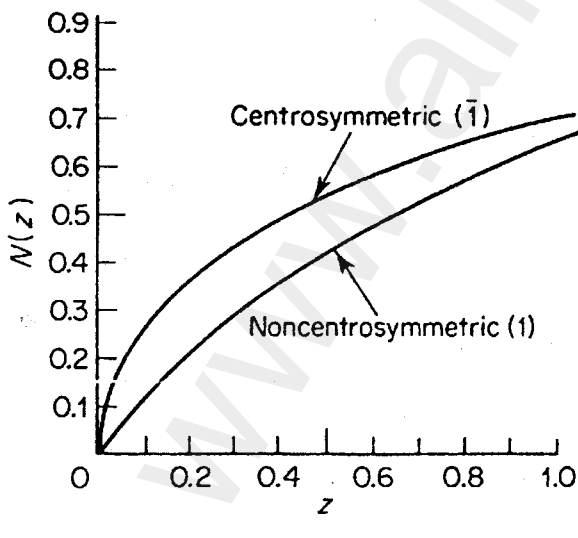
### ٣-٧ التماهٰl: Symmetry

من النتائج ذات الفائدة التي يمكن الحصول عليها من دراسة شدة الانعكاسات هو بعض المعلومات عن احتمال وجود مركز تماهٰl من عدمه في البلورة، فكما ذكرنا من قبل أن معظم المجموعات الفراغية لا يمكن تعينها تماماً بمعرفة الانعكاسات الغائية بصفة منتظمٍ؛ فمع أن متوسط شدة الانعكاسات تعتمد كما أوضحتنا من قبل فقط على طبيعة محتويات الوحدة البنائية للبلورة وليس على توزيعها ولكن الوضع ليس كذلك بالنسبة لتوزيع شدة الانعكاسات حول هذا المتوسط.

أوضح ويلسون وأخرون أن شدة الأشعة من البلورات التي لا تحتوى على مركز تماهٰl قليل إلى أن تشكل حزمة أكثر إحكاماً حول هذا المتوسط عنها في حالة تلك التي تحتوى على مركز تماهٰl ونتيجة لهذه الحقيقة فالبلورات التي لها مركز تماهٰl تميل إلى أن يكون لها انعكاسات ضعيفة أو غير مرئية أكثر من تلك البلورات التي ليس لها مركز تماهٰl.

وقد ابتكرت اختبارات عديدة كثيرة لمقارنة التوزيع لشدة الانعكاسات مع ذلك التوزيع المتنبأ به نظرياً والاختبار الشائع الاستخدام هو ذلك الخاص بالعلماء هووبلز وفيليپ وروجرز Howells, Phillips and Rogers وهو يشتمل على تعين

النسبة  $N(z)$  من الانعكاسات (باستثناء تلك الغائية بصفة منتظمٍ) التي تقل شدتها عن نسبة محددة من الشدة المتوسطة ثم رسم هذه القيم بيانياً مع بعضها.



يوضح شكل (٥-٧) الرسم البياني النظري لكل من التوزيعين ذوى مراكز التماهٰl (I) والخاليين منه (I') بينما يوضح الجدول قيم  $N(z)$  كدالة في المعادلة  $Z = \frac{I}{I'}$

يوضح الشكل أنه يوجد فرق كبير بين الشكلين وفي التجارب العملية يكفي أن نفرق بين التوزيعين، ولسوء الحظ أن وجود تماثل معين أو شبه تماثل في الوحدة البنائية سواء أكانت بين عناصر التماثل للترتيب الفراغي (للمجموعة الفراغية) أم لا فإنها يمكن أن تسبب في أن تؤثر في التوزيع فيصبح له شكل التوزيع الخاص بالتماثل (A) حتى لو كانت البلورة ليس لها مركز تماثل.

لذلك فإن ظهور شكل يماثل ذلك التوزيع الخاص بالبلورات التي تحتوى على مركز تماثل لا يعتبر برهاناً على أن البلورة لها مركز تماثل إلا أن الحصول على التوزيع الخاص بالبلورات التي لا تحتوى على مركز تماثل يدل دلالة واضحة (قوية) على أن المجموعة الفراغية ليس لها مركز تماثل.

وهذا الاختبار للكشف عن وجود مركز التماثل يجرى عادة بعد تقسيم الانعكاسات إلى قشerras لقيم  $\lambda / \sin\theta$  كما هو الحال في رسم ويلسون Wilson plot ونتائج التوزيع التي نحصل عليها من كل قشرة تستخدم للحصول على القيمة المتوسطة للتباينة الكلية.

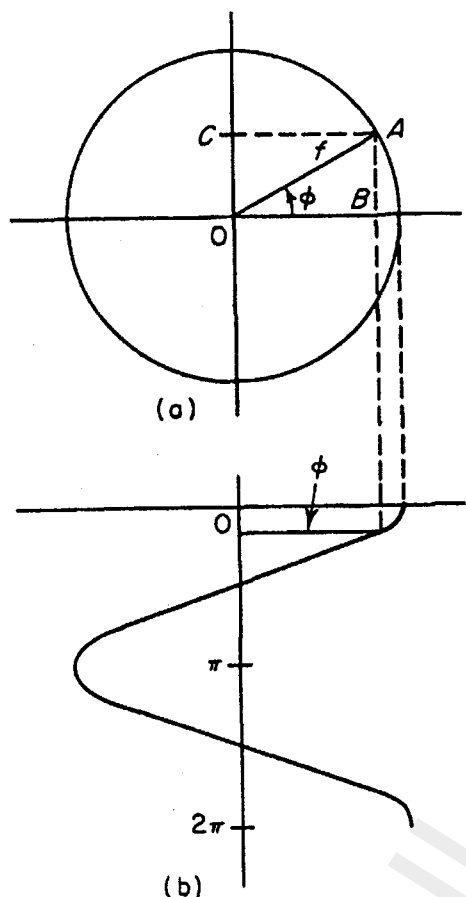
#### ٤-٧ نظرية المعامل التركيبى: Theory of Structure Factor

تعتبر المعادلات التي تعبر عن معامل التركيب  $F_{hkl}$  كدالة في أماكن الذرات المكونة للتركيب ومعاملات ميل ذات أهمية عظمى في تحديد التركيب البلوري ولكن نستوعب هذه المعادلات لابد أن نفهم أولاً الحركة الموجية ومعادلاتها.

#### ٤-٨ الحركة التوافقية البسيطة: Simple Harmonic Motion

يمكن وصف الحركة التوافقية البسيطة بدلالة نقطة A تتحرك على دائرة بسرعة زاوية ثابتة (شكل ٤-٧) ويكون مسقط النقطة A على المحور x وهي النقطة B تؤدي حركة توافقية بسيطة، ورسم الإزاحة للنقطة B كدالة للإزاحة الزاوية  $\varphi$  للمنتج النصف قطري (radius vector) يعطي دالة عادية بجيب التمام. والإزاحة القصوى تكون متساوية لقيمة العددية للمتجه f وتعرف بسعة الموجة.

وتحب الإشارة إلى أن السرعة الزاوية  $\omega$  ، للنقطة A تكون ثابتة، الزاوية  $\varphi$  تكون متناسبة مع الكمية t عند زمن t . وعلى ذلك فرسم الإزاحة كدالة للزمن



تعطى كما في الشكل (٦-٧) وتعدد الموجة يكون عدد دورات النقطة A في وحدة الزمن .

النقطة C أيضا هي مسقط A على المحور y وهي تؤدي حركة توافقية بسيطة ولكنها تكون غير متعددة في الطور مع النقطة B والفرق بين الطورين يكون  $90^\circ$  وعند أي وقت تكون :

$$OB = f \cos \varphi \quad (7-25)$$

$$OC = f \sin \varphi \quad (7-26)$$

وفي حالة المحاور المتعامدة تكون :

$$F = \sqrt{OB^2 + OC^2} \quad (7-27)$$

#### ٢-٤-٧ تراكب الموجات:

#### Superposition of Waves

شكل (٦-٧)

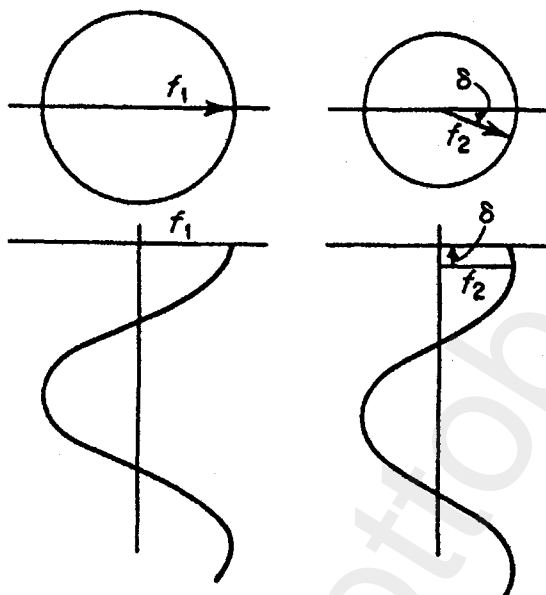
مبدأ التراكب للموجات ينص على دالة جيب تمام كتمثل لحركة توافقية بسيطة أن السعة التي تتبع من التأثير المتزامن لعدة موجات عند نقطة هي مجموعة الإزاحات للمكونات المنفردة (الفردية) وهذا يسرى على أي عدد من الموجات بصرف النظر عن أطوارها أو ترددتها أو سعتها. ولكن حيث إننا نريد أن نطبق هذا المبدأ على تشتت الأشعة السينية وحيدة الموجة فإننا سوف نفترض فيما يلى أن التردد ثابت.

نفترض تراكب موجتين من موجات جيب تمام cosine waves لهما نفس التردد ولكن غير متعددين في الطور ويمكن تمثيلها جبرياً كالتالي :

$$x_1 = f_1 \cos \varphi \quad (7-28)$$

$$x_2 = f_2 \cos (\varphi + \delta) \quad (7-29)$$

ويمكن اعتبارهما صادرتين من متجهات لها القيمة  $f_1$ ،  $f_2$  (شكل ٧-٧) والفرق في الطور بينهما  $\delta$  يكون هو الزاوية بين المتجهين.



شكل (٧-٧)  
موجتان لجيب التمام بينهما فرق في الطور قيمته  $\delta$

فإذا تراكبت هاتان الموجتان فإن الإزاحة الناتجة تكون في أي وقت ..

$$x_r = x_1 + x_2 = f_1 \cos\varphi + f_2 \cos(\varphi + \delta) \quad (7-30)$$

$$\therefore x_r = f_1 \cos\varphi + f_2 \cos\varphi \cos\delta - f_2 \sin\varphi \sin\delta \quad (7-31)$$

وتراكب موجتين من موجات جيب التمام لهما نفس التردد يعطي موجة جديدة لها نفس التردد، فإذا عرفنا  $x_r$  كالتالي :

$$x_r = F \cos(\varphi + \alpha) \quad (7-32)$$

$$\therefore F \cos\varphi \cos\alpha - F \sin\varphi \sin\alpha = (f_1 + f_2 \cos\delta) \cos\varphi - (f_2 \sin\delta) \sin\varphi \quad (7-33)$$

$$F \cos \alpha = f_1 + f_2 \cos \delta \quad (7-34)$$

$$F \sin \alpha = f_2 \sin \delta \quad (7-35)$$

فالمتجهان  $f_1$ ,  $f_2$  يجمعان في متجه ثالث له طول  $F'$  وزاوية طور  $\alpha'$ .  
وعناصر هذا المتجه على المحورين تكون:

$$x = F' \cos \alpha' \quad (7-36)$$

$$y = F' \sin \alpha' \quad (7-37)$$

ومنها:

$$x = f_1 + f_2 \cos \delta \quad (7-38)$$

$$y = f_2 \sin \delta \quad (7-39)$$

$$\therefore F' = F \quad (7-40)$$

$$\alpha' = \alpha \quad (7-41)$$

أى أن مجموع المتجهين هو متجه ثالث للموجة المحصلة.

وما حصلنا عليه بالنسبة لجمع الموجتين يمكن الحصول عليه بالنسبة لجمع عدة موجات، حيث إن محصلة أى اثنين يمكن أن تجمع مع موجة ثالثة وهكذا.

$$\therefore x = f_1 \cos \delta_1 + f_2 \cos \delta_2 + f_3 \cos \delta_3 = \sum_j f_j \cos \delta_j \quad (7-42)$$

كذلك:

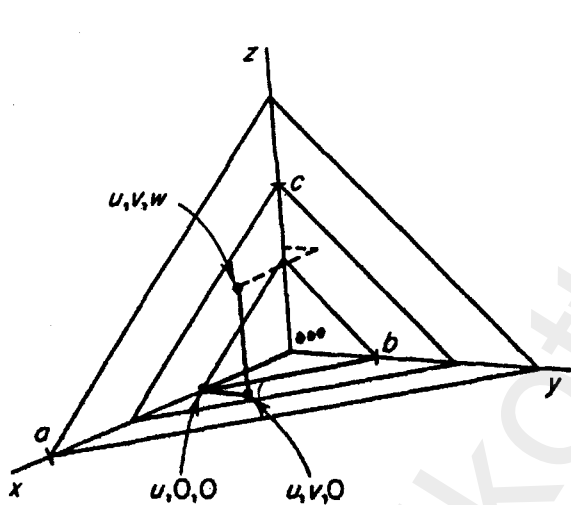
$$y = f_1 \sin \delta_1 + f_2 \sin \delta_2 + f_3 \sin \delta_3 = \sum_j f_j \sin \delta_j \quad (7-43)$$

$$\therefore |F| = \sqrt{x^2 + y^2} = \sqrt{\left( \sum_j f_j \cos \delta_j \right)^2 + \left( \sum_j f_j \sin \delta_j \right)^2} \quad (7-44)$$

زاوية الطور:

$$\alpha = \tan^{-1} \left( \frac{\sum_j f_j \sin \delta_j}{\sum_j f_j \cos \delta_j} \right) \quad (7-45)$$

### ٤-٣-٤ المعامل التركبي: The Structure Factor



شكل (٨-٧)

المعامل التركبي هو  $F_{hkl}$  هو محصلة لعدد ز من الموجات مشتتة في اتجاه الانعكاس  $hkl$  بواسطة عدد ز من الذرات في الوحدة البنائية كل من هذه الموجات لها سعة متناسبة مع  $z_j$  وهي معامل الاستطارة للذرة ولها زاوية طور  $\delta$  تقام بالنسبة للموجة المشتتة بواسطة إلكترونات يفترض أنها عند مركز الوحدة البنائية، ولإمكانية حساب المعامل التركبي توجد

حاجة لاستنباط معادلة تربط بين أطوار الانعكاسات وأماكن الذرات ومعاملات ميلر ومثل هذه العلاقة يمكن اشتقاها باستخدام شكل (٨-٧) فمن تعريف معاملات ميلر، فمجموعه المستويات  $hkl$  تُقطع المحور  $a$  إلى عدد  $h$  والمحور  $b$  إلى عدد  $k$  و  $c$  إلى عدد  $l$  من الأقسام وحيث إنه يوجد فرق في الطور يساوى  $2\pi$  (360°) بين الانعكاسات من المستويات المتتالية لكل مجموعه  $hkl$  فمن الواضح أن الفرق في الطور لإزاحة قدرها الوحدة في اتجاه المحاور أو أي خط موازي لهذه المحاور يكون  $2\pi h, 2\pi k, 2\pi l$  على التوالي، وفي حالة الإزاحة التي تساوى جزءاً من الوحدة فإن الفرق في الطور يكون أيضاً جزءاً من ذلك المقابل لوحدة الإزاحة، ومن الشكل يمكن استنتاج أن الفرق في الطور بين النقاطين  $0,0,0$  و  $u,v,w$

لمجموعة المستويات  $hkl$  هو :

$$\delta = 2\pi (hx + ky + \ell z) \quad (7-46)$$

وبال subsituting في المعادلة (7-46) نحصل على القيمة العددية للمعامل الترکيبي ..

$$|F_{hkl}| = \sqrt{\left[ \sum_j f_j \cos 2\pi(hx_j + ky_j + \ell z_j) \right]^2 + \left[ \sum_j f_j \sin 2\pi(hx_j + ky_j + \ell z_j) \right]^2} \quad (7-47)$$

$$\therefore |F_{hkl}| = \sqrt{A_{dtl}^2 + B_{dtl}^2} \quad (7-48)$$

حيث :

$$A_{hkl} \equiv \sum_j f_j \cos 2\pi(hx_j + ky_j + \ell z_j) \quad (7-48)$$

$$B_{hkl} \equiv \sum_j f_j \sin 2\pi(hx_j + ky_j + \ell z_j) \quad (7-49)$$

والمقارنة بالمعادلة (7-44) وبالرجوع للالمعادلة (7-45) نجد أن زاوية الطور للموجة المحصلة .

$$\alpha_{hkl} = \tan^{-1} \left( \frac{B_{hkl}}{A_{hkl}} \right) \quad (7-50)$$

المعامل الترکيبي يمكن التعبير عنه أيضا بعدد مركب يتكون من جزء حقيقي وجزء تخيلي .

$$F = A + iB \quad (7-51)$$

#### ٤-٤ قانون فرييدل Friedel's law:

ينص قانون فرييدل على أن  $F_{hkl} = I_{\bar{h}\bar{k}\bar{l}}$

ويكمن استنتاج القانون من معادلة المعامل التربيعى كالتالى:

$$F = A + iB \quad (7-52)$$

من المعادلين (7-48)، (7-49) يتضح أن:

$$A = A_{\bar{h}\bar{k}\bar{l}} \quad (7-53)$$

$$B = -B_{\bar{h}\bar{k}\bar{l}} \quad (7-54)$$

وحيث إن:

$$I = A^2 + B^2$$

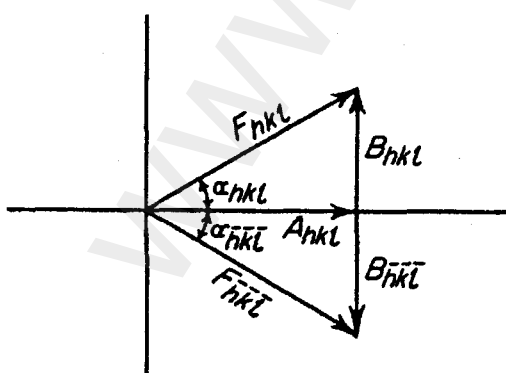
$$\therefore I_{hkl} = I_{\bar{h}\bar{k}\bar{l}} \quad (7-55)$$

ونتجب الإشارة إلى أن قانون فرييدل لا يتطلب أن تكون  $\bar{F}_{\bar{h}\bar{k}\bar{l}}$  ولكن فقط تكون:

$$|F_{hkl}| = |\bar{F}_{\bar{h}\bar{k}\bar{l}}|$$

ويوضح الشكل (٩-٧) أن:

$$\alpha_{hkl} = -\alpha_{\bar{h}\bar{k}\bar{l}} \quad (7-56)$$



شكل (٩-٧)  
رسم متجهين لكل من  
 $F_{\bar{h}\bar{k}\bar{l}}$  و  $F_{hkl}$

#### ٧-٤-٥ المعامل التركيبي في الصورة الأسيّة:

#### The Structure Factor in Exponential Form

يمكن إثبات أن  $e^x$ ,  $\cos x$ ,  $\sin x$  يمكن التعبير عنها بدلالة المتسلسلات:

$$e^x = 1 + \frac{x^2}{2!} + \frac{x^3}{3!} + \dots \quad (7-57)$$

$$\cos x = 1 - \frac{x^2}{2!} + \frac{x^4}{4!} - \dots \quad (7-58)$$

$$\sin x = x - \frac{x^3}{3!} + \frac{x^5}{5!} - \dots \quad (7-59)$$

وبالتعويض عن  $i\delta$  في المعادلة الأسيّة (7-57) وضرب طرفي المعادلة في  $f$  نحصل على:

$$fe^{i\delta} = f \left( 1 + i\delta - \frac{\delta^2}{2!} - \frac{\delta^3}{3!} + \frac{\delta^4}{4!} + \dots \right) \quad (7-60)$$

$$fe^{i\delta} = f \left[ 1 - \frac{\delta^2}{2!} + \frac{\delta^4}{4!} + \dots + i \left( \delta - \frac{\delta^3}{3!} + \frac{\delta^5}{5!} - \dots \right) \right] \quad (7-61)$$

$$fe^{i\delta} = f (\cos \delta + i \sin \delta) \quad (7-62)$$

الطرف الأيمن للمعادلة (7-62) هو عدد مركب يمثل موجة لها سعة  $f$  وزاوية طور  $\delta$  الطرف الأيسر يجعل من الممكن كتابة معادلة تعبّر عن المعامل التركيبي على أساس أنه مجموع موجات مشتّتة بواسطة عدد  $n$  من الذرات في وحدة التركيب.

$$F = \sum_j f_j e^{i\delta_j} \quad (7-63)$$

حيث  $f_j$  هو معامل الاستطارة الذري للذرة  $j$ ,  $\delta$  هي زاوية الطور بالنسبة لمركز معين وبالتعويض في (7-63) عن قيمة الفرق في الطور من المعادلة (7-46) نحصل على :

$$F_{hkl} = \sum_j f_j e^{2\pi i(hx_j + ky_j + \ell z_j)} \quad (7-64)$$

#### ٦-٤-٧ معامل التركيب العام :

إن اعتبار معامل التركيب هو متحصلة جمع الموجات المشتقة في اتجاه الانعكاس  $hkl$  من عدد من الذرات  $Z$  في وحدة التركيب يعتمد أساساً على فرضية أن قدرة الكشافة الإلكترونية المحيطة بكل ذرة يمكن اعتبارها متساوية مع قدرة الإلكترونات إذا اعتبرناها متمركزة في مركز الذرة، ولكن يمكن أيضاً اعتبار أن معامل التركيب هو مجموع الموجات المشتقة من كل العناصر المتناهية في الصغر للكشافة الإلكترونية في الوحدة البنائية وحيث إن  $v$  تعرف على أنها عدد الإلكترونات في وحدة الحجم فإنه وبالتالي يكون عدد الإلكترونات في عنصر من الحجم  $\delta v$  هو :

$$\rho(x, y, z) dv$$

وباستخدام التعبير الأسى تصبح :

$$\rho(x, y, z) e^{2\pi i(hx + hy + \ell z)} dv$$

وتكون النتيجة هي مجموع كل العناصر في الوحدة البنائية أى التكامل على الحجم :

$$F_{hkl} = \int_v \rho(x, y, z) e^{2\pi i(hx + ky + \ell z)} dv \quad (7-65)$$

ومع أن هذه المعادلة لا تستخدم في حساب معامل التركيب عملياً إلا أنها تستخدم في اشتقاق معادلة حساب الكثافة الإلكترونية في المواد الصلبة.

### ٧-٤-٧ أمثلة لحساب المعامل التركيبي:

العلاقات مهمة:

$$e^{\pi i} = e^{3\pi i} = e^{5\pi i} = -1 ; \quad e^{2\pi i} = e^{4\pi i} = e^{6\pi i} = +1 ;$$

$$e^{\pi n i} = e^{-\pi n i} ; \quad e^{ix} + e^{-ix} = 2 \cos x$$

- ١ - احسب قيمة  $F$  لوحدة بنائية تحتوى على ذرة واحدة عند المركز أى أن إحداثياتها  $0, 0, 0$ .

الحل:

$$F = f e^{2\pi(0)} = f \quad \therefore F^2 = f^2$$

أى أن  $F^2$  لا تعتمد على  $hkl$  ولها نفس القيمة لجميع الانعكاسات.

- ٢ - احسب قيمة  $F$  لوحدة بنائية متمركزة في القاعدة حيث تحتوى على ذرتين من نفس النوع في كل وحدة عند الأماكن  $0, 0, 0$  ،  $\frac{1}{2}, \frac{1}{2}, 0$

الحل:

$$F = f e^{2\pi(0)} + F = f e^{2\pi(h/2+k/2)} \\ = f \left[ 1 + e^{\pi i(h+k)} \right]$$

وحيث إن  $(h+k)$  دائماً أعداد صحيحة وبالتالي تكون  $F$  كمية حقيقة وليس كمية مرتبطة وإذا كانت قيم  $h, k$  إما كليهما كميات زوجية أو كليهما كميات فردية فإن مجموعهما يكون دائماً زوجياً وله القيمة  $1 +$  لل Macedar  $e^{\pi i(h+k)}$

$$\therefore F = 2f$$

$$\therefore F^2 = 4f^2$$

أما إذا كانت قيم  $h, k$  أحدهما فردى والأخر زوجى، فإن مجموعهما يكون فردياً وتكون قيمة  $e^{\pi i(h+k)}$  مساوية  $-1$ .

$$\therefore F = 0$$

$$F^2 = 0$$

ويجب ملاحظة أنه في كلتا الحالتين يكون المعامل  $f$  ليس له تأثير على معامل التركيب، وعلى سبيل المثال تكون الانعكاسات 111، 113، 021، 023 كلها لها نفس قيمة  $F$  وهي  $2f$  وبالمثل تكون الانعكاسات 103، 102، 013، 012، 011 كلها لها قيمة للمعامل التركيبية مساوية للصفر.

٣- احسب المعامل التركيبى لوحدة متمركزة فى الوسط أى أن بها ذرة فى الوضع 0, 0, 0 وأخرى عند  $1/2, 1/2, 1/2$

الحل:

$$F = fe^{2\pi i(0)} + fe^{2\pi i(h/2+k/2+\ell/2)}$$

$$= f[1+e^{2\pi i(h+k+\ell)}]$$

$$\therefore F = 2f$$

عندما تكون  $(h+k+\ell)$  لها قيمة زوجية

$$\therefore F^2 = 4f^2$$

وعندما تكون  $(h+k+\ell)$  لها قيمة فردية تكون

$$\therefore F^2 = 0$$

٤- احسب المعامل التركيبى لشبيكة متمركزة فى الأوجه تتبع النظام المكعبى أى أن الوحدة البنائية تحتوى على أربع ذرات من نفس النوع متمركزة فى الواقع  $0, 0, 0, 0; 1/2, 1/2, 1/2, 1/2; 1/2, 1/2, 1/2, 1/2$

$$\therefore F = fe^{2\pi i(0)} + fe^{2\pi i(h/2+k/2)} + fe^{2\pi i(h/2+\ell/2)} + fe^{2\pi i(k/2+\ell/2)}$$

$$= f[1+e^{\pi i(h+k)}+e^{\pi i(h+\ell)}+e^{\pi i(k+\ell)}]$$

وإذا كانت قيم  $h, k, \ell$  إما كلها زوجية أو كلها فردية فإن الترميم  $(h+k), (h+\ell), (k+\ell)$  تكون قيمًا صحيحة زوجية وكل مقدار في المعادلة السابقة له قيمة تساوى الواحد الصحيح.

$$\therefore F = 4f$$

$$F^2 = 16f^2$$

أما إذا كانت قيم  $h, k, \ell$  تأخذ أى قيم سواء زوجية أو فردية عندئذ يكون مجموع المقادير الأساسية الثلاثة تساوى 1 - سواء أكان اثنان من المعاملات فردية والمعامل الثالث زوجيا أو كان اثنان منهم زوجيا والثالث فرديا.

على سبيل المثال 012

عندئذ يكون:

$$F = f(1 - 1 + 1 - 1) = 0$$

ولا يحدث انعكاس حيث  $F^2 = 0$

وعلى هذا فإن الانعكاس سوف يحدث للمستويات (111)، (200)، (220) وليس للانعكاسات (100)، (210)، (112).

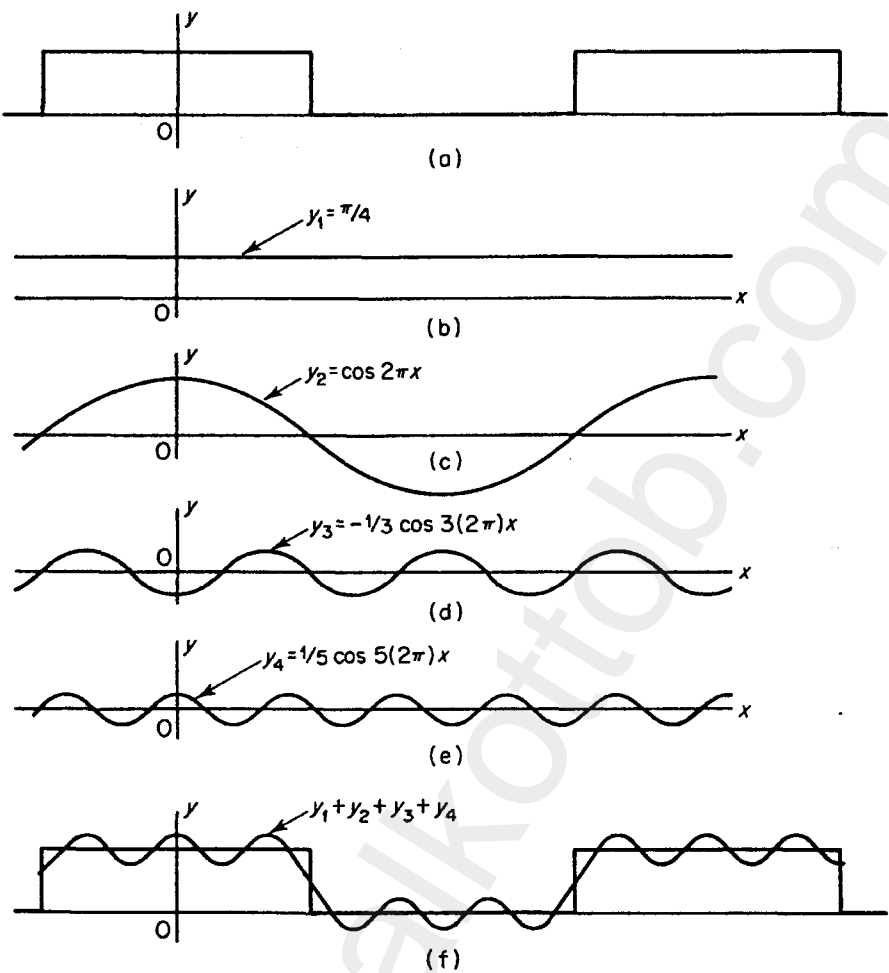
## ٥-٧ متسلسلات فوريير: Fourier Series

رأينا فيما قبل كيف أنه في الإمكان حساب المعامل التركيبي بعمومية توزيع إلكترونى سواء أكان توزيعا ذريا أو توزيعا مستمرا، ومن الضرورى أيضا إجراء العملية العكسية ألا وهي الحصول على التوزيع الإلكتروني بعمومية معاملات التركيب فلأن البلورات هي تركيبات دورية (periodic)؛ لذلك فإنه من الطبيعي تمثيلها بدالة دورية periodic function، وقد وجد أن أنساب هذه الدوال هي متسلسلات دوال الجيب وجيب التمام، ومثل هذه المتسلسلات تسمى متسلسلات فوريير Fourier series وأحد أشكال هذه المتسلسلات هي المتسلسلة في بعده واحد كالتالى:

$$F(x) = a_0 + a_1 \cos 2\pi x + a_2 \cos 2\pi (2x) + \dots + a_n \cos 2\pi (nx) \\ + b_1 \sin 2\pi x + b_2 \sin 2\pi (2x) + \dots + b_n \sin 2\pi (nx) \quad (7-66)$$

$$F(x) = a_0 + \sum_{h=1}^n (a_h \cos 2\pi h x + b_h \sin 2\pi h x) \quad (7-67)$$

حيث قيم  $h$  قيم ثابتة من الأعداد الصحيحة،  $x$  هي جزء نسبي من دورة كاملة. مثال بسيط لمتسلسلة فوريير موضح بشكل (١٠-٧).



شكل (١٠-٧)

(a) دالة دورية ذات درجات (خطوات) من (b) إلى (e) رسم للاربع قيم الأولى من متسلسلة فوريير الممثلة في (a)

(f) مجموع القيم الأربع الممثلة في الأشكال من b إلى e لتقريب الدالة

وغالبا يكون من الأنسب تمثيل متسلسلة فوريير بدالة الأعداد المركبة والاستعانة بالمعادلات (7-57)، (7-58)، (7-59) حيث نجد أن:

$$\cos x = \frac{e^{ix} + e^{-ix}}{2} \quad (7-68)$$

$$\sin x = \frac{-1(e^{ix} - e^{-ix})}{2} \quad (7-69)$$

وبالتعويض في المعادلة (7-67) نحصل على :

$$F(x) = a_0 + (1/2) [a_1 e^{2\pi ix} + a_1 e^{-2\pi ix} + a_2 e^{2\pi i(2x)} + a_2 e^{-2\pi i(2x)} + \dots] \\ - (i/2) [b_1 e^{2\pi ix} - b_1 e^{-2\pi ix} + b_2 e^{2\pi i(2x)} - b_2 e^{-2\pi i(2x)} + \dots] \quad (7-70)$$

$$F(x) = a_0 + (1/2) [(a_1 - ib_1) e^{2\pi ix} + (a_2 - ib_2) e^{2\pi i(2x)} + \dots] \\ + [(a_1 + ib_1) e^{-2\pi ix} + (a_2 + ib_2) e^{-2\pi i(2x)} + \dots] \quad (7-71)$$

$$F(x) = \sum_{-n}^n C_h e^{2\pi i h x} \quad (7-72)$$

حيث قد عرفنا :

$$C_0 = a_0 \quad , \quad C_{\bar{h}} = (a_h + ib_n)/2 \quad , \quad C_h = (a_h - ib_h)/2$$

وهذا هو الشكل العام لمتسلسلة فوريير في بعد واحد في الشكل الأسني والصورة الأخرى المستخدمة في الحسابات يمكن الحصول عليها من المعادلة (7-62) وهي :

$$F(x) = \sum_{-n}^n C_h (\cos 2\pi h x + i \sin 2\pi h x) \quad (7-73)$$

والآن لنفترض أن الكثافة الإلكترونية الدورية في الأبعاد الثلاثة لبلورة يمكن أن تمثل بمتسلسلة لفوريير في الثلاثة أبعاد مماثلة لتلك في المعادلة (7-72) :

$$\therefore \rho(x, y, z) = \sum_{h'} \sum_{k'} \sum_{\ell'} C_{\bar{h}\bar{k}\bar{\ell}} e^{2\pi i(h'x + k'y + \ell'z)} \quad (7-74)$$

حيث  $\ell'$  و  $k'$  و  $h'$  أعداد صحيحة بين  $-\infty$  ،  $\infty$

وبالتعويض بالمعادلة (7-74) في المعادلة (7-65) نحصل على:

$$F_{h'k'l'} = \int \sum_{v} \sum_{h'} \sum_{k'} \sum_{l'} C_{h'k'l'} e^{2\pi(h'x+k'y+l'z)} e^{2\pi i(hx+ky+lz)} dv \quad (7-75)$$

$$F_{h'k'l'} = \int \sum_{v} \sum_{h'} \sum_{k'} \sum_{l'} C_{h'k'l'} e^{2\pi i[(h+h')x+(k+k')y+(l+l')z]} dv \quad (7-76)$$

وحيث إن التكامل على دورة واحدة يساوى الصفر لكل العناصر إلا التي تكون  $-h = -h'$ ,  $k = -k'$ ,  $l = -l'$  ، عندئذ تتلاشى الصفة الدورية وتصبح:

$$F_{h'k'l'} = \int_v C_{\bar{h}\bar{k}\bar{l}} dv = V C_{\bar{h}\bar{k}\bar{l}} \quad (7-77)$$

$$C_{\bar{h}\bar{k}\bar{l}} = \frac{1}{V} F_{h'k'l'} \quad (7-78)$$

وبالتعويض في المعادلة (7-74) عن قيم  $h'$ ,  $k'$  و  $l'$  بالقيم  $\bar{h}$ ,  $\bar{k}$ ,  $\bar{l}$  وعن قيمة  $C_{\bar{h}\bar{k}\bar{l}}$  من المعادلة (7-78) نحصل على المتسلسلة المطلوبة:

$$\rho(x,y,z) = \frac{1}{V} \sum_h \sum_k \sum_l F_{h'k'l'} e^{-2\pi i(hx+ky+lz)} \quad (7-79)$$

وبمقارنة هذه المعادلة (7-79) للكثافة الإلكترونية بالمعادلة (7-64) للمعامل التركيبي نلاحظ التشابه بينهما حيث نجد أن الكثافة الإلكترونية هي تحويل فوريير (Fourier Transform) للمعامل التركيبي وكذلك المعامل التركيبي هو تحويل فوريير للكثافة الإلكترونية.

شكل آخر لمعادلة متسلسلة فوريير في الأبعاد الثلاثة يمكن الحصول عليه:

$$F_{h'k'l'} = |F_{h'k'l'}| e^{2\pi i \alpha'_{h'k'l'}} = |F_{h'k'l'}| e^{i \alpha_{h'k'l'}} \quad (7-80)$$

حيث  $2\pi \alpha'_{h'k'l'}$  هي زاوية الطور.

بالتعويض في المعادلة (7-79) نجد أن:

$$\rho(x,y,z) = \frac{1}{V} \sum_h \sum_k \sum_{\ell} |F_{hkl}| e^{2\pi i \alpha'_{hkl}} e^{-2\pi i (hx + ky + \ell z)} \quad (7-81)$$

$$\rho(x,y,z) = \frac{1}{V} \sum_h \sum_k \sum_{\ell} |F_{hkl}| e^{-2\pi i (hx + ky + \ell z - \alpha'_{hkl})} \quad (7-82)$$

وإذا أخذنا مفهوم هذه المعادلة بدلالة الجيب وجيب التمام والأخذ في الاعتبار قانون فريدل Friedel's law حيث يكون تأثيره هو تلاشى قيم المقادير التي تحتوى على الجيوب (sin) للمقادير  $F_{hkl}$  و  $F_{\overline{hkl}}$  لنحصل على:

$$\rho(x,y,z) = \frac{1}{V} \sum_h \sum_k \sum_{\ell} |F_{hkl}| \cos 2\pi (hx + ky + \ell z - \alpha'_{hkl})$$

وهذا الشكل متسلسلة فوريير أكثر فائدة حيث نجد زاوية الطور موجودة بصفة مفردة.



# **تعيين التركيب البلوري من حيود الأشعة السينية**

في هذا الفصل سوف نرى كيف تستخدم البيانات المستخرجة من حيود الأشعة السينية من البلورات الأحادية للوصول لمعرفة التركيب المجزئي للمواد وكيف تستخدم في حساب أطوال الروابط الذرية وزوايا التكافؤ وكيفية ارتباط الجزيئات مع بعضها البعض.

## **١-٨ المبدأ الأساسي:**

حيث إن التركيب البلوري لمادة ما هو الذي يحدد شكل الحيود لها فلابد أنه من شكل الحيود لأى مادة يمكن التوصل إلى تركيبها الداخلى، فشكل وحجم الوحدة البنائية هو الذي يحدد الزوايا التي تحدث عندها أشعة الحيود كما أن ترتيب الذرات داخل الوحدة البنائية للبلورة هو الذي يحدد شدة الأشعة المنعكسة من المستويات المختلفة.

و بما أن التركيب الداخلى هو الذي يحدد شكل الحيود فلابد أنه من الممكن أن الاتجاه المعاكس صحيح أي أنه يمكن أن نعيين التركيب من شكل الحيود وفي الإمكان الوصول إلى ذلك ولكن ليس بطريقة مباشرة.

فلتعيين تركيب غير معروف نتبع الخطوات الآتية:

- ١- تعين أبعاد الوحدة البنائية يتم من الأفلام أو من جهاز الحيدود كما رأينا فيما قبل .
- ٢- تعين المجموعة الفراغية يتم من دراسة الانعكاسات الغائبة بانتظام .
- ٣- تعين مواضع الذرات في الوحدة البنائية يتم بقياس شدة الأشعة المنعكسة من المستويات المختلفة .
- الخطوة رقم (٣) هي أصعب الخطوات حيث إنه إذا أردنا حساب مواقع الذرات في الوحدة البنائية يجب التعويض في المعادلة التالية لحساب الكثافة الإلكترونية لكل قيم الإحداثيات في الوحدة البنائية .

$$\rho(x, y, z) = \frac{1}{V} \sum_h \sum_k \sum_{\ell} |F_{hkl}| \cos 2 \pi (hx + ky + \ell z - \alpha_{hkl}) \quad (8-1)$$

حيث  $|F_{hkl}|$  يمكن استنباطها من شدة الأشعة المنعكسة .

$$|F_{hkl}| \propto \sqrt{I_{hkl}} \quad (8-2)$$

إلا أن  $\alpha_{hkl}$  وهي زاوية الطور لكل انعكاس هي كمية لا تقاد عمليا وهذا يشكل ما يسمى مشكلة الأطوار .

#### ١-٨ التغلب على مشكلة الأطوار :

#### **Overcoming the Phase Problem**

إن البيانات التي نحصل عليها من تسجيل الحيدود إما باستخدام الأفلام الفوتوغرافية أو العدادات يجب أن تخضع لتصويبات كثيرة قبل استخدامها في تعين التركيب البلوري وهذا ما يسمى باختزال بيانات الحيدود .

والتعامل مع البيانات بعد إجراء التصويبات الالازمة ينقسم إلى شقين رئيسيين حيث يعتمد على الطريقة التي تستخدم في معرفة التركيب أولاً وهى إما طرق مباشرة أو طرق غير مباشرة .

الطرق غير المباشرة تعتمد على محاولة معرفة أماكن بعض الذرات في الوحدة البنائية بالأخص الذرات ذات العدد الذري الكبير وتسمى الذرات الثقيلة Heavy atoms والتي تكون مساهمتها في تحديد إشارة الانعكاسات القوية ملموسة، وعن طريق حساب معاملات التركيب لهذه الانعكاسات باستخدام إحداثيات الذرات يمكن معرفة أطوارها حيث تستخدم هذه الأطوار مع قيم معاملات التركيب المقاسة عمليا  $F_{\text{obs}}$  لإجراء حساب للكثافة الإلكترونية للوحدة البنائية كلها حيث يمكن معرفة أماكن باقي الذرات بصفة مبدئية.

أما الطرق المباشرة فهي طرق رياضية تعتمد على نظريات الاحتمالات لمحاولة تحديد أطوار الانعكاسات القوية عن طريق إيجاد علاقات بين الأطوار، وقد أصبحت هذه الطرق ذات كفاءة عالية وتم باستخدام برامج على الحاسوب الآلي بطريقة آلية ونجحت في تعين تركيب البلورات في حالة الجزيئات الكبيرة.



## ٢-٨ الطرق غير المباشرة :

### ١-٢-٨ طريقة المحاولة والخطأ : Trial and Error Method

تعتبر طريقة المحاولة والخطأ تاريجيا أول طريقة استخدمت لتعيين التركيب البلوري باستخدام حيود الأشعة السينية، ومع أن هذه الطريقة بمفردها نادراً ما تستخدم حالياً إلا أن كثيراً من مفاهيمها ما زالت جزءاً هاماً في طرق أكثر تعقيداً.

تلخص طريقة المحاولة والخطأ أساساً في محاولة بناء التركيب داخل الحدود المعلومة للوحدة البنائية والترتيب الفراغي بحيث تُفسّر شدة بعض الانعكاسات الهامة وكذلك التركيب الكيميائي، والتركيب الذي يمكن التوصل إليه بهذه الطريقة تخبر صحته بمقارنة قيم معاملات التركيب التي يتم حسابها بمعلومية إحداثيات الذرات للتركيب المفترض مع قيم معاملات التركيب التي نحصل عليها عملياً من قياس شدة الانعكاسات وأى متغيرات لا يتم تحديدها نتيجة قيود الترتيب الفراغي يتم ضبطها حتى تعطى أحسن توافق بين القياسات العملية والحسابات النظرية.

وقد استخدمت هذه الطريقة بنجاح في البدايات بقياسات بصريّة لشدة الانعكاسات باستخدام مقياس يبدأ من قيم ضعيفة جداً إلى قيم قوية جداً، وحسابات معاملات التركيب تجري على الحاسوب الآلي باستخدام برامج مخصصة لذلك وتكون مخرجات هذه البرامج هي إحداثيات ميلر لكل الانعكاسات والقيم العددية لخاصل ضرب معامل التركيب العملي في معامل القياس المناسب  $|F_0|$  كذلك معامل التركيب المحسوب من إحداثيات الذرات  $F_c$  وزاوية الطور الخاصة به.

$$|F_c| = \sqrt{A^2 + B^2} \quad (8-3)$$

$|F_c|$  تؤخذ على أنها الجذر الموجب لمعامل التركيب وزاوية الطور  $\alpha$  يمكن حسابها من:

$$\alpha = \tan^{-1} \left( \frac{B}{A} \right) \quad (8-4)$$

ويفضل حساب ..

$$\cos \alpha = \frac{A}{|F_c|} \quad (8-5)$$

$$\sin \alpha = \frac{A}{|F_c|} \quad (8-6)$$

في حالة الترتيب الفراغي الذي يحتوى على مركز مماثل يتلاشى الجزء  $B$  ويكون:

$$|F_c| = |A| \quad (8-7)$$

$$\cos \alpha = \pm 1 \quad (8-8)$$

$$\sin \alpha = 0 \quad (8-9)$$

أى أن  $\alpha$  تكون إما  $0$  أو  $180$  وعليه فإن  $F_c$  في هذه الحالة تعرف على أنها:

$$F_c = A \quad (8-10)$$

وبعد ضبط معامل القياس حتى يصبح تقريراً مساوياً 1.0 ينشأ السؤال عن مدى التوافق لكل انعكاس على حدة بين قيمته المقاومة عملياً والمحسوبة وأصبح من المعاد قياس ذلك بما يسمى دليل الثقة Reliability index.

$$R = \frac{\sum |\Delta F|}{\sum |F_0|} = \frac{\sum \|F_0 - F_c\|}{\sum |F_0|} \quad (8-11)$$

ومن حساب  $R$  يمكن الحكم على التركيب المفترض إن كان صحيحاً أو قريباً من ذلك وفي المراحل الأولى عندما يكون التركيب ينقصه بعض الذرات تكون قيمة  $R$  ليست مؤشراً كافياً إذ يجب الإضافة لذلك مقارنه قيمة  $|F_0|$ ،  $|F_c|$  إلى أن يتم تحديد موقع جميع الذرات، وبصفة عامة فإن قيمة  $R$  تكون أقل في حالة البلورات التي لا تحتوى على مركز مماثل، وإذا كانت قيمة  $R$  تقل عن 0.25 فإنه يمكن اعتبار أن التركيب صحيح حيث إن هذه القيمة ستقل عندما نضع في الاعتبار تحسين التغيرات الأخرى غير موقع الذرات مثل معاملات ذبذبة الذرات.

## ٤-٤-٨ طريقة باترسون: Patterson method

إن علم دراسة البلورات بالأشعة السينية يَدين للعالم A.L. Patterson بالفضل في إنشاء فرع رئيسي للتقدم في مجال مشكلة أطوار الانعكاسات حيث اتجهت الدراسات التي قام بها باترسون إلى الإجابة على السؤال عن ما هي أقصى معلومات يمكن الحصول عليها من القيم العددية لمعاملات التركيب  $|F|^2$  ،  $|F|$  التي نحصل عليها عملياً والتي تخلو من معرفة أطوارها وكانت الإجابة التي توصل إليها باترسون هي:

إذا كان عندنا متسلسلتان من متسلسلات فوريير تثنان الكثافة الإلكترونية للبلورة وأوجدنا حاصل ضربهما فإننا سنحصل على قيم  $|F_{hkl}|^2$  وهي القيمة التي نحصل عليها من شدة الانعكاسات المقاومة عملياً وبذلك عَرَفَ باترسون الدالة الآتية:

$$P(UVW) = V \iiint_{000}^{111} \rho(x,y,z) \rho(x+U,y+V,z+W) dx dy dz \quad (8-12)$$

حيث  $\rho(x,y,z)$  هي الكثافة الإلكترونية عند النقطة  $x, y, z$  وتعطى بالمعادلة:

$$\rho(xyz) = \frac{1}{V} \sum h \sum k \sum \ell F_{hkl} e^{-2\pi i(hx+ky+\ell z)} \quad (8-13)$$

حيث  $h, k, \ell$  هي إحداثيات ميلر لمستويات الانعكاس.

من (8-12)، (8-13) نحصل على:

$$P(UVW) = \frac{1}{V} \sum h \sum k \sum \ell |F_{hkl}|^2 e^{2\pi i(hU+kV+\ell W)} \quad (8-14)$$

وهذه المعادلة هي ما تعرف بدالة باترسون ووجود قمة عند النقطة  $(UVW)$  في خريطة باترسون تكون نتيجة وجود ذرتين في الوحدة البنائية عند نقطتين إحداثياتهما  $x', y', z'$  ،  $x, y, z$  بحيث تكون:

$$U = x - x' ,$$

$$V = y - y' ,$$

$$W = z - z'$$

وإذا قارنا بين إحداثيات ذرتين متماثلتين في وحدتين متقاربتين نجد أنه في هذه الحالة تكون  $x' = z$  ،  $y' = y$  ،  $x = x'$  ،  $z = z'$  الأمر الذي يؤدي إلى قمة عند المركز حيث تكون  $U = 0.0$  ،  $V = 0.0$  ،  $W = 0.0$  أي أن كل ذرة تساهم في القمة عند المركز في خريطة باترسون وعند حساب خريطة باترسون فيبعدين كالمسقط على المحور a مثلا فإن الدالة تصبح :

$$P(VW) = \frac{1}{A} \sum k \sum \ell \left| F_{(hk\ell)} \right|^2 e^{2\pi i (kV + \ell W)} \quad (8-15)$$

### ٣-٢-٨ خصائص الخريطة المتجهة لباترسون:

#### Characteristics of Patterson vector mab

حساب دالة باترسون يعطينا خرائط للمتجهات بين الذرات المحتواة داخل الوحدة البنائية للبلورة، وقيمة  $P(u v m)$  تكون مساوية للصفر في كل مكان ما عدا الأماكن التي تكون الإحداثيات  $U V W$  لها تمثل متجهاً بين ذرتين، وفي بعض الأحوال المرضحة فيما بعد يمكن تعين أماكن بعض الذرات من هذه الخرائط.

وفيما يلى خصائص دالة باترسون:

١ - كل زوج من الذرات في الوحدة البنائية يتبع قمة في خريطة المتجهات وعلى هذا إذا كان عندنا عدد  $N$  من الذرات في الوحدة البنائية فيكون عندنا عدد  $N^2$  من القمم في خريطة المتجهات.

٢ - عدد من هذه المتجهات قيمته  $N$  يكون نتيجة المتجه من كل ذرة نفسها وهذه المتجهات توجد عند المركز وبذلك يكون عدد القمم البعيدة عن المركز يساوى  $N^2 - N$  أي  $N(N-1)$ .

٣ - كل قيمة في خريطة المتجهات تُغَرِّى لذرتين في الوحدة البنائية لهما العدد الذري  $Z_1$  ،  $Z_2$  يكون لها حجم متناسب مع  $Z_1 Z_2$  أي أن حجم القمة في خريطة المتجهات يتناسب مع كثافة الذرات التي تمثلها.

٤- حيث إن دالة پاترسون لها مركز تماثل لذلك فكل قمة في خريطة المتجهات يكون لها قمة مماثلة ترتبط بها بمركز التماثل.

عند حساب دالة پاترسون للبلورة التي تحتوى على ذرة ثقيلة نجد أن القمم التي تمثل المتجهات بين ذرتين ثقيلتين تظهر في خريطة المتجهات كقمم أكبر كثيراً من كل القمم الأخرى، ومن المحتمل ظهور قمم كبيرة أخرى نتيجة تراكم القمم الصغيرة وهي مشكلة تظهر في حساب مساقط دالة پاترسون أكثر منها في حالة الدالة في الأبعاد الثلاثة.

وبعض المقاطع الخاصة في خريطة المتجهات تحتوى على معلومات عن الذرات التي ترتبط بعضها عن طريق علاقات تماثل في الوحدة البنائية وهذه المقاطع تسمى مقاطع هاركر Harker section.

#### ٤-٢-٨ مقاطع هاركر: Harker section

أمكن استنتاج أنه إذا احتوت البلورة على محاور أو مستويات تماثل فإن خرائط المتجهات التي تمثل الوحدة البنائية تحتوى على معلومات ذاتفائدة في الوصول إلى تعين إحداثيات بعض الذرات في الوحدة البنائية مثال ذلك:

١- إذا كانت الوحدة البنائية تحتوى على محور تماثل دورانى موازى للمحور  $b$  للوحدة البنائية فإن معنى ذلك أنه لكل ذرة عند  $x, y, z$  توجد ذرة أخرى عند  $-x, -y, -z$  ترتبط بعلاقة تماثل بالذرة الأولى، وتبعاً لذلك ستظهر قمة في خريطة المتجهات عند  $2x, 0, 0$  (أى  $W = 2z, V = 0, U = 2x$ ) والقطع الذي يؤخذ عمودياً على المحور  $b$  في الفرق بين الإحداثيات) والمقطع الذى يؤخذ عمودياً على المحور  $b$  فى فضاء المتجهات عند  $V = 0$  سيحتوى على مثل هذه القمم، ومن إحداثيات هذه القمم يمكن تعين إحداثيات  $x, y, z$  لهذه الذرات وذلك بقسمتها ببساطة على العدد 2.

٢- في حالة المحور الثنائي اللولبى الموازى للمحور  $b$  للوحدة البنائية فالذرات المتكافئة ستكون إحداثياتها  $x, y, z$  ،  $\bar{x}, \bar{y} + \frac{1}{2}, \bar{z}$  والتجه الذى يمثل المسافة بين الذرتين تكون إحداثياته  $U = 2x, V = 1/2, W = 2x$  وتبعد لذلك فالمسافة بين الذرات والمحور اللولبى يمكن أن توجد فى هذا المقطع.

-٣ إذا كان يوجد مستوى تماثل (مرآة) عمودي على المحور  $b$  للبلورة فإن الذرات التي ترتبط بعضها عن طريق مستوى التماثل المذكور تحدث قمما على المحور  $b$  لخريطة المتجهات أى على الخط  $0, V=y, U=0$ . وبذلك يمكن تعين المسافة بين هذه الذرات ومستوى التماثل (المرآة).

-٤ إذا كان يوجد مستوى انزلاق عمودي على المحور  $b$  وله إزاحة  $c/2$  فإن ذلك يحدث قمما على طول الخط  $0, V=y, U=0$  ،  $W=1/2$ .

ويوضح جدول (١-٨) مقاطع هاركر المقابلة لعناصر التماثل المختلفة.

جدول (١-٨)

مقاطع هاركر	عنصر تماثل عمودي على $b$	مقاطع هاركر	عنصر تماثل مواز للمحور $b$
$P(0 V 0)$	$m$	$P(U 0 W)$	$2, 3, \bar{3}, 4, \bar{4}, 6, \bar{6}$
$P(1/2 V 0)$	$a$	$P(U 1/6 W)$	$6_1, 6_5$
$P(1/2 V 1/2)$	$n$	$P(U 1/4 W)$	$4_1, 4_3$
$P(1/4 V 1/4)$	$d$	$P(U 1/3 W)$	$3_1, 3_2, 6_2, 6_4$
		$P(U 1/2 W)$	$2_1, 4_2, 6_3$

### ٥-٢-٨ تقنية الذرات الثقيلة: Heavy Atom Technique

إن القمم في خرائط المتجهات التي تمثل المتجهات بين الذرات الثقيلة بالإضافة إلى معلومية إحداثيات الأماكن المتكافئة للمجموعة الفراغية التي تتبعها البلورة قد تكون كافية لتعيين إحداثيات الذرات الثقيلة في الوحدة البنائية، فإذا كان التركيب يحتوى على عدد قليل من الذرات الثقيلة فإنه يمكن إهمال وجود الذرات الخفيفة في بادئ الأمر وحساب الكثافة الإلكترونية باعتبار المركب يحتوى فقط على الذرات الثقيلة وحساب الكثافة الإلكترونية عدة مرات متتالية يمكن في كل مرة تعين عدد من الذرات الخفيفة حتى يتم تعين مواضع كل الذرات الخفيفة.

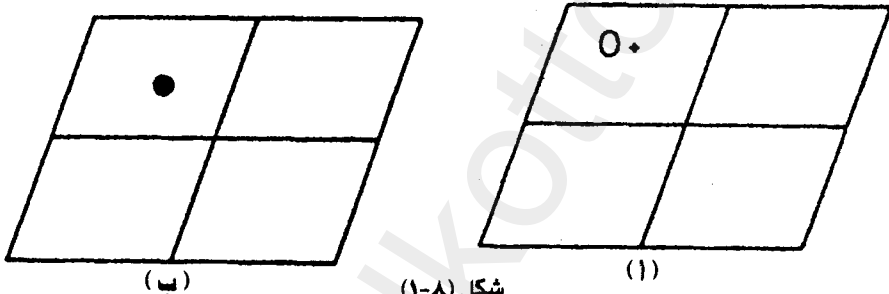
### ٦-٢-٨ أمثلة لتعيين إحداثيات الذرات من دالة باترسون:

١- المركب :  $\text{cis} - \text{Pt}(\text{NH}_3)_2 \text{Cl}_2$

حيث إن المجموعة الفراغية لهذا المركب هي  $\bar{P}$  فإن عدد المواقع المكافئة هو اثنان عند  $x, y, z$  ،  $\bar{x}, \bar{y}, \bar{z}$  وحيث إنه يوجد عدد 2 من الجزيئات في الوحدة البنائية فإن كل موقع مكافئ يحتوى على جزء واحد.

يوضح شكل (١-٨) الإحداثيات الحقيقية للوحدة البنائية وكذلك إحداثيات المتجه بين النقطتين  $U = 2x$  ،  $V = 2y$  ،  $W = 2z$  وباعتبار أن القمة الكبيرة في خريطة المتجهات هي المقابلة للمتجه بين  $\text{Pt}-\text{Pt}$  فإنه يمكن تعين  $x, y, z$  لذرة البلاتين من خرائط باترسون.

- ⑥



شكل (١-٨)

الترتيب الفراغي  $\bar{P}$

- ١- الإحداثيات الحقيقية  $x, y, z$  ،  $\bar{x}, \bar{y}, \bar{z}$  ،  $x, y, z$  ،  $\bar{x}, \bar{y}, \bar{z}$
- ٢- إحداثيات الوحدة المتجهة  $U = 2x$  ،  $V = 2y$  ،  $W = 2z$

### ٢- المركب Copper- glycyl- L- Glutanic acid

المجموعة الفراغية لهذا المركب  $C_2H_2O_2$  وهي لا تحتوى على مركز تمايل والوحدة البنائية تحتوى على ثمانية مواقع متكافئة هى:

$$x, y, z ; \bar{x}, \bar{y}, \bar{z} ; \bar{x}, \bar{y}, \frac{1}{2} + z ; \bar{x}, y, \frac{1}{2} - z$$

بالإضافة لأربعة مواقع أخرى نتيجة المركزية عند الوجه  $C$  أى عند

$$\frac{1}{2}, \frac{1}{2}, 0$$

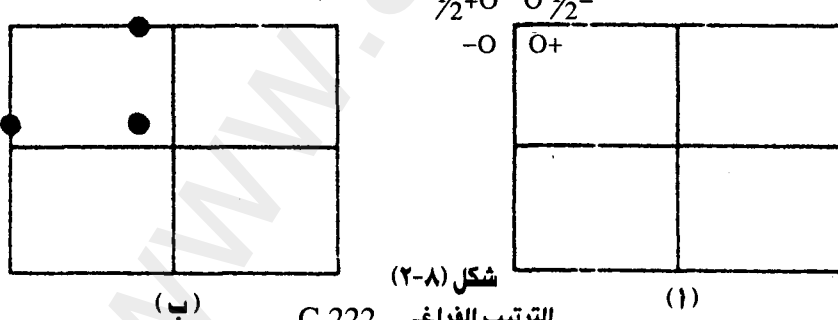
$$\frac{1}{2}+x, \frac{1}{2}+y, z ; \frac{1}{2}+x, \frac{1}{2}-y, \bar{z} ; \frac{1}{2}-x, \frac{1}{2}-y, \frac{1}{2}+z ; \frac{1}{2}-x, \frac{1}{2}+y, \frac{1}{2}-z$$

إحداثيات قم الذرة الثقيلة في خرائط باترسون يمكن تعينها من طرح إحداثيات كل المواقع المكافئة في الوحدة البنائية من المواقع الأخرى، وهذا موضح بالجدول (٢-٨).

جدول (٢-٨)

	$x, y, z$	$x, \bar{y}, \bar{z}$	$\bar{x}, \bar{y}, \frac{1}{2} + z$	$\bar{x}, y, \frac{1}{2} - z$
$x, y, z$	0	$0, 2y, 2x$	$2x, 2y, -\frac{1}{2}$	$2x, 0, -\frac{1}{2} + 2x$
$x, \bar{y}, \bar{z}$	$0, \bar{2y}, \bar{2z}$	0	$2x, 0, -\frac{1}{2} - 2x$	$2x, \bar{2y}, -\frac{1}{2}$
$\bar{x}, \bar{y}, \frac{1}{2} + z$	$\bar{2x}, \bar{2y}, \frac{1}{2}$	$\bar{2x}, 0, \frac{1}{2} + 2x$	0	$0, \bar{2y}, 2x$
$\bar{x}, y, \frac{1}{2} - z$	$\bar{2x}, 0, \frac{1}{2} - 2x$	$\bar{2x}, 2y, \frac{1}{2}$	$0, \bar{2y}, 2x$	0

والشكل (٢-٨) يوضح الوحدة البنائية الحقيقية وخريطة باترسون المقابلة وعملياً ليس من الضروري حساب خرائط باترسون في الأبعاد الثلاثية للوحدة البنائية كلها ولكن يكفي حساب هذا الجزء المسمى الوحدة غير التمائلة asymmetric unit التي يمكن منها بناء كل الخريطة المتجهة في الأبعاد الثلاثية.



الترتيب الفراغي C 2221

- ١- إحداثيات الوحدة الحقيقية:  $\bar{x}, y, \frac{1}{2} - z ; \bar{x}, \bar{y}, \frac{1}{2} + z ; x, \bar{y}, \bar{z} ; x, y, z$
- ب- إحداثيات الوحدة المتجهة:  $U(=2x), V(=2y), W(=-\frac{1}{2}) ; U(=0), V(=2y), W(=2z) ; U(=2x), V(=0), W(=2z - \frac{1}{2})$

## ٣-٨ الطرق المباشرة : Direct Methods

توجد طرق كثيرة لتعيين أطوار الانعكاسات بطريقة مباشرة وستقسم بشرح أساسيات تلك الطرق التي تستخدم غالباً والتي تعتبر أسهل في التطبيق وأوسع في الانتشار.

### ١-٣-٨ المتبادرات : Inequalities

من أوائل المحاولات التي استخدمت لإيجاد علاقة بين أطوار الانعكاسات وشذتها التي أدت إلى ما يسمى المتبادرات لهاركر وكاسبر Harker- Kasper inequalities وهي نتيجة للجمع بين العامل التركيبي Structure factor وبعض المتبادرات الكلاسيكية أدت إلى أول طريقة لتعيين طور أحد الانعكاسات بدالة القيمة العددية لشذته هو وانعكاسات أخرى .. والآن ننظر للمعادلة البسيطة الآتية:

$$|F_{hkl}|^2 < F_{000}^2 \quad (8-16)$$

وبإضافة متطلبات مركز التمايز . .

$$\therefore F_{hkl}^2 < F_{000} \left[ \frac{1}{2} F_{000} + \frac{1}{2} F_{2h, 2k, 2l} \right] \quad (8-17)$$

بالقسمة على  $F_{000}$

$$U_{hkl} = \frac{F_{hkl}}{F_{000}} \quad (8-18)$$

والمعادلة (8-17) تصبح . .

$$U_{hkl}^2 < \frac{1}{2} + \frac{1}{2} U_{2h, 2k, 2l} \quad (8-19)$$

وأهمية المعادلة (8-19) تكمن في حقيقة أن كلاً من القيمة العددية والإشارة (+) للكمية  $U_{hkl}^2$  معروفة بينما الإشارة للكمية  $U_{2h, 2k, 2l}$  تبقى هي الوحيدة المجهولة :

$$\therefore U_{hkl}^2 < \frac{1}{2} \left( \pm \frac{1}{2} |U_{2h,2k,2\ell}| \right) \quad (8-20)$$

وإذا كانت القيمة العددية لكل من  $U_{hkl}^2$  ،  $|U_{2h,2k,2\ell}|$  كبيرة بالقدر الكافي فربما يؤدي ذلك إلى اختيار الإشارة الموجبة للانعكاس الأخير حتى تصبح التباینة صحيحة.

ويوضح الجدول (8-3) بعض الأمثلة . والقيم الموجودة في هذا الجدول توضح أنه للحصول على نتائج صحيحة لابد وأن تكون الانعكاسات المستخدمة لها سعة ذات قيمة كبيرة بحيث تكون نسبتها إلى قيمة  $F_{000}$  نسبة كبيرة أى أنها لابد وأن تمثل التشتيت المتشدد في الطور لمعظم الإلكترونات في الوحدة البنائية ولكن مثل هذه الانعكاسات تكون نادرة في حالة البليورات للمواد العضوية ، ولهذا السبب لا تعتبر التباينات طريقة ذات فائدة كبيرة لتعيين الأطوار للمركيبات المعقده.

إذا افترضنا وجود عناصر تماثل أكثر من مراكز التماثل فإنه يمكن استبعاد متباینات أخرى ، وهذه تكون أكثر تعقيدا من المعادلة (8-20) ولكنها تكون عادة ذات فاعلية أكبر ولا تتطلب أن تكون قيم  $M$  بهذا الكبر لتصبح مؤثرة ، وعلى أيه حال فإن عدد الانعكاسات التي يمكن تعينها بهذه الطريقة تكون محدودة جدا.

جدول (٣-٨)

ملاحظات	- الطور	+ الطور	$ U_{2h,2k,2\ell} $	$U_{hkl}^2$
$U_{(2h,2k,2\ell)}$				
لا بد أن تكون موجبة	0.40	0.60	0.20	0.60
لا بد أن تكون موجبة	0.45	0.55	0.10	0.50
يمكن أن تكون واجهة أو ساقية	0.45	0.55	0.10	0.40
لا بد أن تكون موجبة	0.35	0.65	0.30	0.40
تكون تقريباً موجبة	0.25	0.75	0.50	0.25
يمكن أن تكون موجبة أو ساقية	0.35	0.65	0.30	0.25

### ٢-٣-٨ المعامل التركيبى السوى: Normalized structure factor

أحد معوقات تطبيق المقابلات على قيم  $|F|$  العادلة أن عملية نقصان قيم  $|F|$  مع  $\sin \theta$  يكون لها تأثير على النسبة  $|F|/F_{000}$  فتصبح أقل من المستوى الذي يتيح الفرصة لمعرفة بيانات عن الطور لهذه الانعكاسات، فعند اشتقاق المقابلات لم يؤخذ في الاعتبار شكل الذرات في الوحدة البنائية ويمكن استخدامها بنفس الكفاءة لقيم  $F$  point أي قيم  $F$  التي يمكن أن توجد إذا كانت الذرات يستعراض مكانتها بذرات نقطية؛ ولذلك فإنه من المعتمد تعريف ما يسمى المعامل التركيبى الوحدوى أو  $U$ , unitary structure factor :

$$U_{hkl} = \frac{F_{hkl, \text{point}}}{F_{000}} \quad (8-21)$$

$$\therefore \sum_i^N Z_i = F_{000} \quad \text{أو}$$

$$U_{hkl} = \frac{F_{hkl}}{e^{-B(\sin^2 \theta / \lambda^2)} \left( \sum_i^N f_{oi} \right)} \quad (8-22)$$

ويستخدم المعادلة العامة لمعامل التشتت (7-16) نحصل على :

$$U_{hkl} = \frac{F_{hkl}}{\sum_i^N f_{oi}} \quad (8-23)$$

أي أن  $U$  هي معامل تركيبى أيضا له نفس الطور مثل  $F$  إلا أن قيمته تتراوح بين  $-1$  ،  $+1$  وهى القيمة التى تكون الأشعة المشتقة من جميع الذرات لها نفس الطور.

فى حالة البلورة التى تحتوى على مركز تماثل نحصل على :

$$U_{hkl} = 2 \sum_i^{N/2} n_i \cos 2\pi (hx_i + ky_i + \ell z_i) \quad (8-24)$$

حيث  $n_i$  التى تخص معامل التشتت تعطى بالمعادلة :

$$n_i = \frac{f_i}{\sum_j f_j} \quad (8-25)$$

أى أنها تساوى ذلك الجزء من قدرة التشتت الممثل بالذرة رقم  $j$ .  
وإذا كانت كل الذرات متشابهة نحصل على ..

$$n_i = \frac{1}{N} \quad (8-26)$$

بنفس الطريقة نجد أن قيمة  $F^2$  المتوسطة تعطى بالمعادلة ..

$$\overline{F^2} = \sum_i^N f_i^2 \quad (8-27)$$

وبالنسبة لذلك فإن قيمة  $U^2$  المتوسطة تعطى بالمعادلة ..

$$\overline{U^2} = \sum_i^N n_i^2 \quad (8-28)$$

$$U_{rms} = \left( \sum_i^N n_i^2 \right)^{\frac{1}{2}} \quad (8-29)$$

في المركبات العضوية التي لا تحتوى على ذرات ثقيلة (لها عدد ذرى كبير)  
يمكن اعتبار الذرات متشابهة ونحصل على ..

$$U_{rms} \approx \frac{1}{\sqrt{N}} \quad (8-30)$$

ويتضح من المعادلة (8-30) أنه ليس من الضروري وجود ذرات كثيرة في  
الوحدة البنائية قبل أن تتناقص قيمة  $|U|$  تحت القيمة التي تجعل من الممكن استخدام  
المتغيرات عملياً، وبينما بعض الانعكاسات ربما يكون لها قيمة كبيرة للكلمية  $|U|$  حتى  
إذا كانت  $N$  لها قيمة كبيرة فإن عدد هذه الانعكاسات يتناقص بسرعة إلى الحد الذي  
يجعل تعين التركيب بواسطة المتغيرات فقط شيئاً غير ممكن، وكما سنرى فيما بعد أن  
طرق المناسبة مثل هذا العدد الكبير يجب أن تعتمد على الاحتمالات.

لهذا السبب ولأسباب أخرى أدخل كارل و هوبيمان Karle & hauptmann  
ما يسمى بالمعامل التركيبى السوى  $E_{hkl}$  وهو يعطى بالمعادلة :

$$E_{hkl}^2 = \frac{U_{hkl}^2}{U^2} \quad (8-31)$$

ومن ميزات هذه القيم أنها تبيح عملية تسوية كل مجموعات الانعكاسات لقاعدة عامة، وبذلك يمكن تفادي مصادر الأخطاء في مضاهاة مجموعة معينة من الانعكاسات مع بعضها البعض.

والعامل الهام في حساب قيم  $E$  هو أن أي قيمة  $U$  لا بد وأن تنسب إلى  $\overline{U^2}$  لمجموعة الانعكاسات التي تتبع إليها، وفي حالة الانعكاسات العامة  $hkl$  تكون هذه القيمة هي المعطاة في المعادلة (8-28) وهي تمثل المتوسط مأخوذا على كل الانعكاسات بما فيها الانعكاسات الغائبة بانتظام Systematically absent أما إذا كان كما هو الحال الانعكاسات الموجودة فقط في المجموعة هي التي تؤخذ في الاعتبار، وهذه تزداد شدتها بنسبة تعتمد على نسبة الانعكاسات التي حذفت؛ ولذلك تدمج المعادلتان (8-28)، (8-31) في شكل عام:

$$E_{hkl}^2 = \frac{U_{hkl}^2}{\epsilon \sum_i^N n_i^2} \quad (8-32)$$

وهي تكافئ الصيغة المستخدمة بصفة عامة في الحسابات وهي:

$$E^2 = \frac{|F_{hkl}|^2}{\epsilon \sum_i^N n_i^2} \quad (8-33)$$

وقيمة  $E$  في هذه المعادلات هي أعداد صحيحة تكون غالبا 1 ولكن يمكن أن تأخذ قيمًا أخرى لبعض مجموعات الانعكاسات في بعض المجموعات الفراغية فمثلا في حالة المجموعة الفراغية  $P2_1/c$  تأخذ  $E$  القيمة 2 للانعكاسات  $h0l$  ، وتأخذ القيمة 1 لباقي الانعكاسات وقيم  $E$  لأى ترتيب فراغي يمكن الحصول عليها من الجداول الدولية International tables .

### ٣-٣-٨ طرق الاحتمالات: Probability methods

الأساس الذى بنيت عليه الطرق التى سيتم شرحها فيما يلى هو البحث الذى نشر سنة ١٩٥٢ بواسطة ساير Sayre على الرغم من أن نتائج رياضية مماثلة له قد نشرت فيما قبل ذلك التاريخ بحيث يمكن إثبات المعادلة التالية فى حالة وجود بعض القيود.

$$F_{hkl} = \varphi_{hkl} \sum_{h'} \sum_{k'} \sum_{l'} F_{h'k'l'} \cdot F_{h-h', k-k', l-l'} \quad (8-34)$$

حيث تكون  $\varphi_{hkl}$  معامل قياس Scale factor يمكن حسابه. وتطبيق هذه المعادلة يعني أن أى معامل تركيبى يمكن تعينه من حاصل ضرب معاملات التركيب لكل زوج من الانعكاسات يكون مجموع إحداثيات ميلر لها يعطى إحداثيات ميلر للانعكاس المطلوب تعين معامله التركيبى.

أى أن المعامل التركيبى للانعكاس (213) يعتمد على حاصل ضرب  $F$  ،  $(\bar{1}\bar{1}1)$  ،  $F(604)$  ،  $(\bar{4}\bar{1}\bar{1})$  وهكذا.

وللوهلة الأولى يعتقد أن المعادلة (8-34) غير ذات فائدة حيث يبدو أنه لتعيين قيمة  $F$  لأحد الانعكاسات لابد من معرفة القيمة العددية وكذلك زاوية الطور لكل الانعكاسات الأخرى ولكن فى حالة إذا كانت قيمة  $F_{hkl}$  كبيرة يمكن تطبيق المعادلة الآتية:

$$S(F_{hkl}) \sim S(F_{h'k'l'}) \cdot S(F_{h-h', k-k', l-l'}) \quad (8-35)$$

أو كما تكتب أحياناً .

$$S(F_{hkl}) \cdot S(F_{h'k'l'}) \cdot S(F_{h-h', k-k', l-l'}) \sim +1 \quad (8-36)$$

$S$  معناها إشارة «Sign» والعلامة ~ معناها احتمال أن تكون مساوية وقيم  $S$  ربما تأخذ القيمة +1 أو -1.

نجد أن المعادلة (8-35) هي معادلة احتمالية اشتقت من المعادلة (8-34) وهي أساس معظم عمليات تعين أنظمة الانعكاسات بالطرق المباشرة، والمعادلة (8-35) تسرى أيضا على الحالات التي يمكن أن تستخدم فيها المقابلات أى أن المقابلات تمثل الحالات التي تصبح فيها الاحتمالات مؤكدة.

$$F(2h,2k,2\ell) \sim S(hkl) \bullet S(hkl) \quad (8-37)$$

أى أنه بصرف النظر عن إشارة  $F_{hkl}$  فإن  $F(2h,2k,2\ell)$  ستكون موجبة  $\{(-1)^2 \text{ أو } (+1)\}$  إذا كانت الانعكاسات قوية بدرجة كافية، وهذه هي نفس النتيجة التي نوصل إليها بتطبيق المقابلات في المعادلة (8-20) ولهذا السبب فإن المقابلات لا تستخدم عمليا لأن نفس النتائج نحصل عليها بدرجة عالية من الاحتمال من المعادلة (8-35).

والسؤال ما هي قيمة الاحتمالات بدقة للمعادلة (8-35)، (8-37) يعتبر سؤالاً مهما وقد درست هذه المشكلة ووضعت لها إجابات عده.

والمعادلة التي تعطى الاحتمال والتى تستخدم غالبا هي التي استنبطها Cochran and woolfson

$$P = \frac{1}{2} + \frac{1}{2} \tanh \left\{ \left( \sigma_3 / \sigma_2^3 \right) \left| U_{hkl} U_{h'k'\ell'} U_{h-h',k-k',\ell-\ell'} \right| \right\} \quad (8-38)$$

حيث  $p$  هي احتمال أن المعادلة (8-35) يمكن تطبيقها.

$$\sigma_3 = \sum_i^N n_i^3 \quad (8-39)$$

$$\sigma_2 = \sum_i^N n_i^2 \quad (8-40)$$

حيث قيم  $n$  هي المعرفة في المعادلة (8-25) وإذا كانت كل الذرات للوحدة البنائية متساوية نحصل على:

$$\frac{\sigma_3}{\sigma_2} = \frac{N}{N^3} \left( \frac{N}{N^3} \right)^{-3} = N \quad (8-41)$$

$$\therefore P = \frac{1}{2} + \frac{1}{2} \tanh \left\{ N \left| U_{hkl} U_{h'k'l'} U_{h-h', k-k', l-l'} \right| \right\} \quad (8-42)$$

وبتحويل قيم  $U$  إلى  $E$  نحصل على ..

$$P = \frac{1}{2} + \frac{1}{2} \tanh \left\{ \left( \sigma_3 / \sigma_2 \right)^{3/2} \left| E_{hkl} E_{h'k'l'} E_{h-h', k-k', l-l'} \right| \right\} \quad (8-43)$$

أو ..

$$P = \frac{1}{2} + \frac{1}{2} \tan h \left\{ \frac{1}{\sqrt{N}} \left| E_{hkl} E_{h'k'l'} E_{h-h', k-k', l-l'} \right| \right\} \quad (8-44)$$

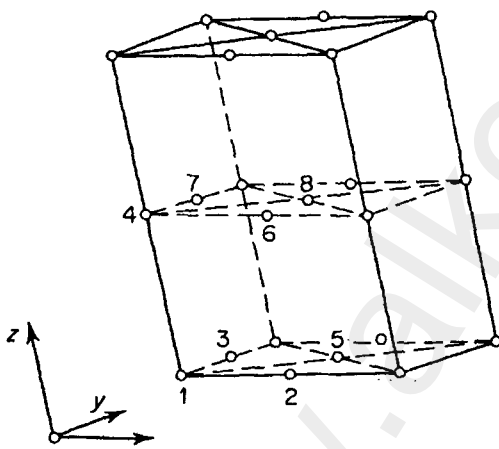
#### ٤-٣-٨ طريقة جمع الرموز: symbolic addition method

استخدمت عدة تقنيات لتطبيق المعادلة (8-35) ومشتقاتها في مشكلة تعين الأطوار عملياً وستقوم بشرح الطريقة التي استخدمها زكرياسن Zachariasen سنة 1952 حيث نشرت في بحث مرفق بذلك الخاص بـ Sayre ومنذ ذلك التاريخ والمحاولات لم تكف عن محاولة استخدامها إلى أن شاع استخدامها وسميت بعد ذلك طريقة جمع الرموز symbolic addition method وقد قام كارل Karle وأخرون باستخدامها في تعين التركيب بنجاح لعدد كبير من المركبات التي تحتوى على مركز تماثل.

الطريقة تعتمد على أن نبتدئ أولاً بعدد محدود من الأطوار تستخدم بالاستعانة بالمعادلة (8-35) لتعيين أطوار أكثر وأكثر للحصول على عدد كاف لحساب الكثافة الإلكترونية باستخدام متسلسلة فوريير تمثل التركيب، والخطورة في هذه الطريقة تكمن في أن أي خطأ في تعين أحد الأطوار في المراحل الأولى ينشأ عنه بناء هرم خاطئ من الأطوار، وللتغلب على ذلك تقوم بناء هرميات كثيرة من الأطوار ونختبرها لمعرفة الصحيح منها. وقد أصبح ذلك ممكناً مع تطور الحاسوبات الإلكترونية في العصر الحالي.

أول مشكلة يجب التغلب عليها عملياً هي كيفية الحصول على أطوار يمكن استخدامها كبداية، ومن حسن الحظ أنه يمكن اختيار عدد محدود غالباً ما يكون ثلاثة (وإن كان أحياناً أقل) يمكن أن تُعطى لها قيمة اعتباراً مع الأخذ في الاعتبار بعض القيود وهذه القيم الاعتبارية تكون هي القائمة الأولى.

ومشكلة تحديد الانعكاسات التي يمكن أن نعطي لها قيمة للأطوار اعتباراً درست لكل المجموعات الفراغية وسنشرح بالتفصيل أبسط الحالات وهي الخاصة بالمجموعات الفراغية التي تحتوى على مركز تماثل في حالة النظام: ثلاثي الميل وأحادي الميل والمعيني القائم (triclinic; monoclinic; orthorhombic) وأى من هذه المجموعات الفراغية يمكن أن يكون شكل الوحدة البنائية لها كما هو موضح في شكل (٣-٨) الذي يحتوى على مراكز التماثل فقط دون عناصر التماثل الأخرى، في مثل هذه الأحوال يختار مركز الوحدة البنائية عند أحد مراكز التماثل.



شكل (٣-٨)

وحدة بنائية في تركيب له مركز تماثل والمراكز المختلفة

وسنوضح فيما يلى أن تغير المركز للوحدة البنائية من مركز تماثل لآخر يؤثر فقط على الأطوار وليس القيمة العددية للمعادلات التركيبة للانعكاسات المحسوبة من مواقع الذرات، وعلى هذا فإنه لا مفاضلة بين أى من مراكز التماثل هذه.

حيث إن معادلة المعامل

التركيزى لبلورة لها تماثل هى:

$$F_{hkl} = 2 \sum_i^{N/2} f_i \cos 2\pi (hx + ky + lz) \quad (8-45)$$

نفترض أن المركز سيتغير من الوضع (1) إلى الوضع (2) أى أنه سيصبح عند

$$x - \frac{1}{2}$$

$$\therefore F'_{hkl} = 2 \sum_i^{N/2} f_i \cos 2\pi \left( hx - \frac{h}{2} + ky + lz \right) \quad (8-46)$$

$$\therefore F'_{hkl} = 2 \sum_i^{N/2} f_i \cos [2\pi (hx + ky + lz) - \pi h] \quad (8-47)$$

$$\begin{aligned} \therefore F'_{hkl} &= 2 \sum_i^{N/2} f_i [\cos 2\pi(hx + ky + lz) \cos(-\pi h) \\ &\quad + \sin 2\pi(hx + ky + lz) \sin(-\pi h)] \end{aligned} \quad (8-48)$$

وبما أن:  $\sin n\pi = 0$  ،  $\cos n\pi = (-1)^n$  لـ أي عدد صحيح  $n$ .

$$\therefore F'_{hkl} = 2 \sum_i^{N/2} f_i \cos 2\pi (hx + ky + lz) (-1)^h \quad (8-49)$$

$$\therefore F'_{hkl} = (-1)^h / F_{hkl} \quad (8-50)$$

وعلى ذلك فإن إزاحة المركز مسافة  $a/2$  يؤدى إلى تغيير إشارة كل الانعكاسات التي تكون قيمة  $h$  لها فردية ولكن لا تتغير قيمة  $|F|$ .

ويكمن بالمثل اشتراق معادلات لكل إزاحة للمراكز المبنية في الشكل (٨-٣) توضح أن التغيير بقدر  $1/2$  على امتداد أي محور يتبع عنه تغير الإشارة للانعكاسات التابعة له التي تكون إحداثيات ميلر لها كمية فردية، أما الانعكاسات التي تكون إحداثيات ميلر لها زوجية فإنها لا تتأثر.

وإذا كانت الإزاحة تتضمن اتجاهين من المحاور مثل  $a/2, b/2$  للوصول للمركز رقم ٥ مثل فإن النتيجة تصبح:

$$\therefore F_{hkl}^2 = (-1)^{h+k} F_{hkl} \quad (8-51)$$

ولا يحدث تغير في الإشارة إلا إذا كان أحد المعاملات  $h$  أو  $k$  وليس كلاهما له قيمة فردية.

الجدول (٤-٨) يوضح المجموعة الكاملة للتغيرات الإشارة لمجموعة من الانعكاسات كانت بداية الإشارة لها موجبة، وذلك لكل التجمعات الممكنة للإحداثيات الفردية والزوجية وكذلك المراكز، والجدول يعطينا القواعد التي تتبع في كيفية اختيار الإشارات، وحيث إن الإشارات للانعكاسات من النوع  $eee$  لا تغير أبداً فمن الواضح أنها إشارات ثابتة معتمدة على التركيب (structure invariants) ولا يمكن إعطاءها قيمًا حسب رغبتنا. أما باقي الفصائل فهي تكون موجبة لعدد أربعة مراكز للوحدة البنائية وتكون سالبة في حالة اختيار المراكز الأربع الأخرى للوحدة البنائية.

وطالما أننا نجد إشارات موجبة وسالبة في الجدول لأى مجموعة من الانعكاسات فإن بعض الانعكاسات التي تتبع هذه المجموعة يمكن أن تعطى إشارة اعتباطياً حيث إن هذا يعني فقط اختيار مركز من الاثنين الممكنين.

**جدول (٤-٨)**  
**العلاقات بين الإشارات للمراكز الممكنة**

نوع الانعكاس									المراكز	الإزاحة
ooo	eoo	oeo	ooe	eeo	eo e	oe e	oee	eee		
+	+	+	+	+	+	+	+	+	a	1
-	+	-	-	+	+	-	-	+	a/2	2
-	-	+	-	+	-	+	+	+	b/2	3
-	-	-	+	-	+	+	+	+	c/2	4
+	-	-	+	+	-	-	-	+	(a+b)/2	5
+	-	+	-	-	+	-	-	+	(a+c)/2	6
+	+	-	-	-	-	+	+	+	(b+c)/2	7
-	+	+	+	-	-	-	-	+	(a+b+c)/2	8

وعلى سبيل المثال فإن الانعكاس من النوع  $oee$  مثل ٧٤٤ يعرف على أنه + (موجب) وهذا يقلل من العدد الممكن للمراكز الأربع (١, ٣, ٤, ٧). وإشارات

الانعكاسات من النوع  $oee$  أصبحت الآن ثابتة، وعلى هذا لا نستطيع اختيار أي انعكاسات من هذه المجموعة، وباقى المجموعات كلها تعطى احتمالين بإشارة موجبة واثنين بإشارة سالبة وذلك للمراكز الأربع التي تجعل المجموعة  $oee$  موجبة. وعلى هذا أي انعكاس من هذه المجموعات على سبيل المثال 516 وهو من المجموعة  $ooo$  يمكن أن يأخذ الإشارة الموجبة، وهذا يضيق عملية الاختيار للمراكز 1 ، 4 فقط وبعد ذلك يجب أن يحدث اختيار لأحدهما وهذا الاختيار الأخير يكون مقيداً أكثر مما قبله، فالمجموعة  $ooo$  ،  $ooo$  سبق أن ثبتت والاختيار من المجموعة  $ooo$  أيضاً غير مسموح به، فكما يوضح الجدول (٤-٨) فإن الانعكاسات في المجموعة  $ooo$  تكون موجبة لكل من المراكز 1 ، 4 أي أن الإشارات لهذه المجموعة تكون قد حدّدت فعلاً بالخيارات التي أجريت ولا يمكن أن تختار اعتباطاً. أما باقى المجموعات فكلها لها إشارة موجبة وإشارة سالبة لهذه المراكز وأي منها يمكن أن يستخدم لتحديد الإشارة الثالثة لتحديد المركز في النهاية.

ويمكن تلخيص المناقشة السابقة بدلالة الاتحادات المسموح بها إحداثيات ميلر باستخدام رياضيات التعادل Parity arithmetic التي تتضمن :

$$e + e = o + o = e \quad (8-52)$$

$$e + o = o + e = o \quad (8-53)$$

والقاعدة هي أنه بنفس الطريقة التي تجعل الانعكاسات التي تكون إحداثياتها كلها زوجية لا يمكن استخدامها، كذلك فإنه لا يُسمح باستخدام مجموعة من الانعكاسات (اثنان أو ثلاثة) يكون مجموع إحداثيات ميلر لها كلها زوجية والجدول (٨-٥) يعطينا أمثلة للمجموعات المسموح وغير المسموح بها.

## جدول (٥-٨)

المجموعات غير المسموح بها	المجموعات المسموح بها	
e e e	e e o , etc.	1
e o e + e o e = e e e	e e o + o o o = o o e	2
e e o + o o e + o o o = e e e	o e e + o o e + o o o = o e o	3
o e e + o o e + e o e = e e e	o o o + o o e + e o o = e o e	4
o e o + o o e + e o o = e e e	e e o + e o e + o e e = o o o	5

ما تقدم يتضح أنه مع الأخذ في الاعتبار القواعد السالفة الذكر فإنه يمكن إعطاء إشارات لعدد ثلاث انعكاسات، كما أنه من الممكن أيضاً تعين إشارات الانعكاسات التي ترتبط بعلاقات تماثل بالانعكاسات الثلاث الأصلية وعلى سبيل المثال فإنه في حالة النظام أحادى الميل يكون عندنا العلاقات الآتية  
إذا كانت  $h+\ell$  كمية زوجية تكون .. (International tables vol.1)

$$F_{hkl} = F_{h\bar{k}\ell} = F_{\bar{h}k\bar{\ell}} \quad (8-54)$$

$$F_{\bar{h}k\bar{l}} = F_{\bar{h}\bar{k}\ell} = F_{h\bar{k}\bar{\ell}} \quad (8-55)$$

إذا كانت  $h+\ell$  كمية فردية تكون ..

$$F_{hkl} = -F_{h\bar{k}\ell} = -F_{\bar{h}k\bar{\ell}} \quad (8-56)$$

$$F_{\bar{h}k\bar{l}} = -F_{\bar{h}\bar{k}\ell} = -F_{h\bar{k}\bar{\ell}} \quad (8-57)$$

وذلك في حالة المجموعة الفراغية  $P2_{1/C}$ .

إلى جانب الإشارات التي تعطى لتحديد المركز فإنه يمكن أيضاً إعطاء بعض الانعكاسات رموزاً لتحديد إشارتها مثل a ، b ، c ، .... حيث تضاف إلى الانعكاسات السالفة الذكر لتكون المجموعة الأساسية التي ستستخدم في إيجاد علاقة تعين إشارات جديدة، وفي النهاية نجد أنه في الإمكان تعين الإشارات الصحيحة للرموز a ، b ، ....

والدراسة الخاصة بعملية اختيار المركز وأطوار الانعكاسات التي لها علاقات بالانعكاسات الأخرى في حالة الشبيكات غير البسيطة والمجموعات الفراغية ذات التمايل العالى تكون مشابهة لذلك ولكنها أكثر تعقيداً، والآن توجد برامج على الحاسوب الآلى تعمل أوتوماتيكياً ليس فقط في حالة البلورات التي تحتوى على مركز تماثل ولكن أيضاً في حالة البلورات التي ليس لها مركز تماثل، ولو أن تعين الأطوار فى مثل هذه الحالات يكون أكثر صعوبة حيث إن قيم الأطوار لا تكون محصورة بين  $0^{\circ}$  و  $180^{\circ}$  كما هو الحال في حالة البلورات التي لا تحتوى على مركز تماثل.

وفى حالة البلورات التي لا تحتوى على مركز تماثل فإنه إلى جانب الأطوار الثلاثة اللازمة لتحديد المركز يضاف طور رابع للاختيار بين الشكلين الإينتييومورفين enantiomorphic forms (هما الشكلان الذى يعطى أحدهما زاوية طور لأحد الانعكاسات قيمتها  $\alpha$  ويعطى الشكل الثاني زاوية طور قيمتها  $-\alpha$  لنفس الانعكاس) (شكل ٤-٨).

وفي هذه الحالة تعين الأطوار التي تتراوح قيمتها بين  $-\pi$  ،  $\pi$  باستخدام العلاقات التى وضعها I. L. Karle & J. Karle سنة ١٩٦٦ م وهى :

$$\phi_h \approx \langle \phi_k + \phi_{h-k} \rangle k_r \quad (8-58)$$

حيث تعنى  $h$  الانعكاس  $hkl$  ،  $\phi_h$  هو طور معامل التركيب السوى  $E_h$ .

$$\phi_h \approx \frac{\sum_{k_r} |E_k E_{h-k}| (\phi_k + \phi_{h-k})}{E_{k_r} |E_k E_{h-k}|} \quad (8-59)$$

$$\tan \phi_h = \frac{\sum_{k_r} |E_k E_{h-k}| \sin(\phi_k + \phi_{h-k})}{E_{k_r} |E_k E_{h-k}| \cos(\phi_k + \phi_{h-k})} \quad (8-60)$$

$k_r$  تدل على الحدود  $p$  في مفهوك تيلر Taylor لدالة الجيب وهي تتطلب أن تكون البيانات المستخدمة هي فقط التي تكون قيمتها  $(|E|)$  كبيرة.

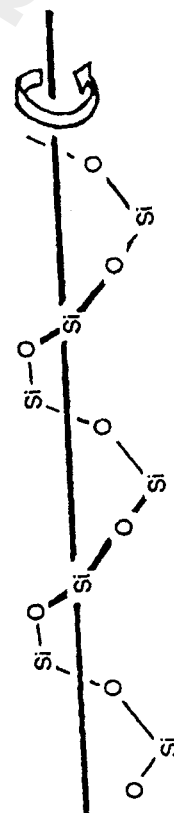
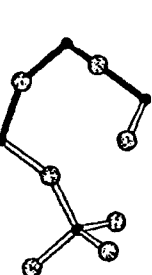
يوضح مimir ملحوظ له وشكل المبردة

شكل (٤-٨)  
تراكيب الكوارتز  
 $\text{SiO}_2$

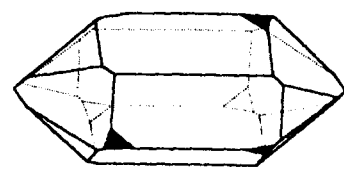
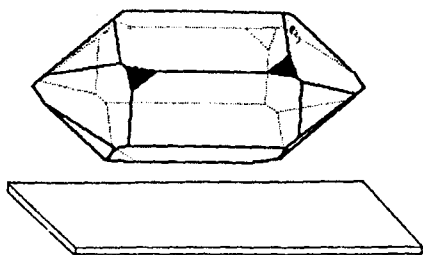
(٤)

right-handed quartz

mirror quartz



(b)



### ٥-٣-٨ طريقة الاستبدال المتشاكل: Isomorphous Replacement method

طريقة الاستبدال المتشاكل هي أول طريقة تستخدم لتعيين الأطوار في حالة تعين التركيب البلوري للبروتينات، وأول وصف لظاهرة التشاكل كان سنة ١٨١٩ فالبلورات المتشاكلة من تعريفها هي بلورات تكون متماثلة طبق الأصل ما عدا أن أحد ذراتها أو أكثر تكون مستبدلة بذرات أخرى تشبهها كيميائياً وتختلف في قدراتها على تشتت الأشعة السينية والطريقة المتبعة لتعيين الأطوار لزوج من البلورات المتشاكلة تعتمد على المعرفة بالفروق في شدة الأشعة بين مجموعات البيانات للبلورتين المشابهتين وموضع الذرة المترغبة وهي الكمية التي يمكن الحصول عليها من تحليل خرائط باترسون أو من خرائط الفروق للكثافة الإلكترونية (انظر ص ٢٤٢).

### ٤-٨ تدقيق نتائج تعين التركيب: Refining Crystal Structure

مرحلة تحسين نتائج تعين التركيب تبدأ بعد الحصول على تركيب يحتوى على كل الذرات ولا توجد قيمة واحدة للكمية  $R = \frac{\sum |F_0| - |F_c|}{\sum |F_0|}$  يمكن اعتبارها مقاييساً لتكون قيمة النهاية الصغرى التي يمكن أن تتأكد عند الوصول إليها بنجاح عملية التدقيق ولكن عادة يمكن البدء في هذه العملية إذا كانت قيمة  $R$  حوالي 0.3، ومن ناحية أخرى يمكن أن يحتوى التركيب على مظاهر خاطئة في بعض الأحوال رغم أن قيمة  $R$  يمكن أن تقل عن ذلك وفي هذه الحالة تفشل عملية التدقيق.

### ٤-٩ التدقيق باستخدام متسلسلة فورير:

#### Refinement by Successive Fourier Syntheses

يمكن باستخدام متسلسلة فورير وقيم  $F_0$  كمعاملات لها أن يتم حساب الكثافة الإلكترونية وتعيين موقع الذرات من جديد حيث تستخدم في إعادة حساب معاملات التركيب ثم تستخدم الأطوار الجديدة مع قيم معاملات التركيب المقاسة عملياً لإعادة حساب الكثافة الإلكترونية وتعاد هذه العملية عدة دورات حتى لا تجد تغيراً يذكر في أماكن الذرات، وبالتالي لا يوجد تغيير في الأطوار التي تم حسابها من معاملات التركيب، وفي مثل هذه الحالات نستنبط إحداثيات الذرات من خرائط الكثافة الإلكترونية بيانياً.

## ٤-٤-٢ التدقيق بمتسلسلة فوريير للفرق:

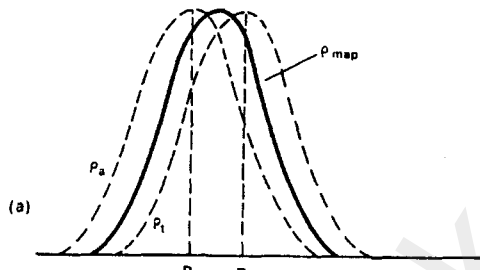
### Refinement by Difference Fourier

طريقة أخرى لتحسين نتائج تعيين التركيب يمكن إجراؤها باستخدام متسلسلة فوريير التي تكون معاملاتها  $\Delta F$  بدلاً من  $F_0$  حيث  $\Delta F$  هي الفرق بين معاملى التركيب المقاس عملياً  $F_0$  والذى يحسب بعمومية إحداثيات الذرات  $F_c$ .

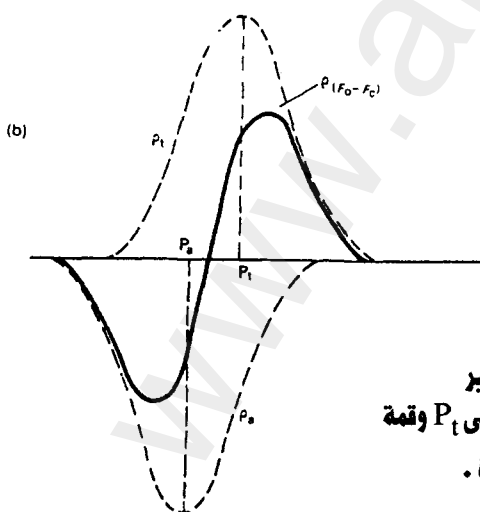
$$\Delta F = F_0 - F_c \quad (8-61)$$

وميزات مثل هذه الدالة يمكن تلخيصها كالتالي :

$$\delta_0 - \delta_0 = \frac{1}{V} \sum_h \sum_k \sum_\ell \Delta F_{hkl} e^{-2\pi i(hx+ky+\ell z)} \quad (8-62)$$



هذه الدالة تمثل الفرق بين الكثافة الإلكترونية الحقيقة وتلك المفترض أنها خاصة بالشكل الذى استخدم فى حساب قيم  $F_c$ ؛ ولذلك فلها الخاصية الإضافية وهى توضيع الأخطاء فى التركيب، ويمكن أن تستخدم كأساس لعملية التحسين؛ فالأوضاع الصحيحة للذرات تظهر لسطح مستوى تقريباً قليل الانحدار، حيث إن القسم الخاصة بها تكون قد



شكل (٨-٤)

عملية تدقيق بواسطة متسلسلات فوريير

- العلاقة بين الموقع المفترض  $P_a$  والموقع الحقيقى  $P$  وقيمة

الكثافة الإلكترونية نتيجة إزاحة بسيطة للذرة .

b- علاقة مماثلة في حالة متسلسلة الفروق.

أزيلت، أما بالنسبة للذرات التي يوجد خطأ في أوضاعها فإن الوضع الخطأ لها يقع على نقطة منخفضة في خريطة الكثافة الإلكترونية والوضع الصحيح لها يقع على قمة، وفي هذه الأحوال فالوضع الذي كان مفترضاً يمكن أن يتم تصحيحه بإزاحته من القاع إلى القمة. أما إذا كان الوضع المفترض به الخطأ بسيط فإنه يقع على منحدر بين القمة والقاع، وفي هذه الحالة يمكن تصحيحه بإزاحته نحو أعلى المنحدر (انظر الشكل ٥-٨).

### ٣-٤-٨ التدقيق باستخدام المربعات الصغرى: Least squares Refinement

في هذه الطريقة تتم عملية التدقيق بطريقة تكرارية تُحسن فيها المتغيرات التي تؤثر في حساب المعامل التركيبى حتى تكون القيم المحسوبة أقرب إلى القيم المقاسية عملياً والمتغيرات التي يتم تحسينها أو تعينها بدقة أكثر هي: إحداثيات الذرات، القييم التي تحدد تذبذب الذرات الحراري حول مواقعها، كذلك معامل القياس الذي يستخدم لوضع المعامل التركيبى المقاس عملياً في مقياس مطلق absolute scale أما البيانات العملية فهي قيم معاملات التركيب التي نحصل عليها من قيم شدة الانعكاسات المقاسة عملياً والأطوار التي نحصل عليها (يتم تعينها) بالطرق المباشرة أو غير المباشرة.

وفيمما يلى المتغيرات التي تجرى عليها عملية التدقيق:

#### ١- إحداثيات الذرات: Atomic Coordinates

يتم تحسين إحداثيات الذرات عن طريق حساب معاملات التركيب التي تدخل في حسابها ..

$$F(hk\ell) = \sum_j f_j (hk\ell) \exp [2\pi i (hx_j + ky_j + \ell z_j)] \quad (8-63)$$

وإذا كانت البلورة لها مركز تمايل فإن المعادلة تصبح ..

$$F(hk\ell) = \sum_j f_j (hk\ell) \cos 2\pi (hx_j + ky_j + \ell z_j) \quad (8-64)$$

حيث  $x_j, y_j, z_j$  هى إحداثيات الذرات منسوب لطول محاور الوحدة البنائية.

## ٢- معامل التذبذب الحراري للذرات: Atomic Vibration Parameters

سبق أن أوضحنا أن معامل التشتت الذري  $F$  يعتمد ليس فقط على عدد الإلكترونات في الذرة ولكن أيضاً على التذبذب الحراري للذرات حول موقعها حيث إن هذا يزيد من الحجم الذي تشغله الإلكترونات في الذرة وهي التي تحدث تشتت الأشعة السينية، والت نتيجة هي تقليل قيمة  $F$  مع  $\sin\theta/\lambda^2$  بسرعة أكبر مما هي لو كانت الذرة ساكنة لا تذبذب، وهذا يمكن أخذه في الاعتبار إذا ضربت  $f_0$  في معامل حراري كالتالي:

$$F = f_0 e^{-\frac{(B \sin^2 \theta)}{\lambda^2}} \quad (8-65)$$

حيث  $B$  هو المعامل الحراري الذي يرتبط مع متوسط مربع الإزاحة للذرات بالعلاقة:

$$B = 8\pi^2 \bar{u}^2 \quad (8-66)$$

وهذه المعادلة تسرى في حالة إذا كان تذبذب الذرة متساوياً في جميع الاتجاهات isotropic وحيث إن تذبذب الذرات يكون غير متساوٍ anisotropic فإن  $u$  تعطى بالمعادلة:

$$\bar{U^2} = U_{11}\ell_1^2 + U_{22}\ell_2^2 + U_{33}\ell_3^2 + 2U_{23}\ell_2\ell_3 + 2U_{31}\ell_3\ell_1 + 2U_{12}\ell_1\ell_2$$

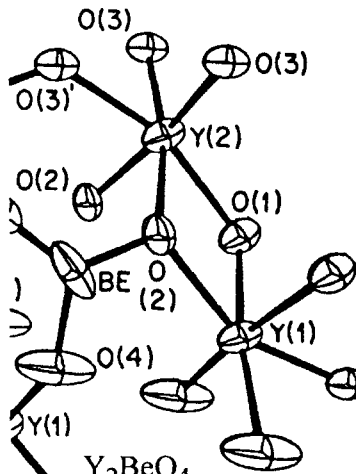
حيث  $\bar{U^2}$  هو متوسط مربع السعة للذبذبة في اتجاه متوجه السوحدة  $\ell$  والمعامل 2 ينشأ نتيجة أن  $U_{32} = U_{23}$  وهكذا.

و  $U$  ،  $\ell$  تعرف بالنسبة لمحاور الشبكة العكسية  $c^*$  و  $b^*$  و  $a^*$  وبذلك تكون مركبة  $U$  في الاتجاه [100] الموازية للمحور  $a^*$  هي

$$U^2 = U_{11} \quad (8-67)$$

وعند كل نقطة في الشبكة العكسية يكون المعامل الحراري.

$$q(hk\ell) = \exp \left[ -2\pi^2 \left( U_{11}h^2 a^{*2} + U_{22}k^2 b^{*2} + U_{33}\ell^2 c^{*2} + 2U_{23}k\ell b^* c^* + 2U_{32}\ell h c^* a^* + 2U_{12}h k a^* b^* \right) \right] \quad (8-67)$$



شكل (٦-٨)

والوحدات لقيم  $U_{ij}$  تكون  $\text{\AA}^2$  وقيم  $U_{ij}$  الاست تكون قطعاً ناقصاً للذبذبة كما في شكل (٦-٨).

وطريقة أخرى يمكن بها التعامل مع الذبذبة غير المتساوية في الاتجاهات المختلفة هي إعادة ترتيب التعبير الخاص بالمعامل الحراري ..

$$\exp \left[ -B \left( \frac{\sin \theta}{\lambda} \right)^2 \right] = \exp \left[ - \frac{B}{4} \left( \frac{\sin \theta}{\lambda} \right)^2 \right]$$

$$= \exp \left[ - \frac{B}{4} \left( \frac{1}{d} \right)^2 \right] \quad (8-68)$$

حيث  $d$  هي المسافة بين المستويات وبذلك تكون  $\frac{1}{d(hkl)}$  هو طول متوجه في الشيكة العكسية من المركز حتى النقطة  $hkl$ .

$$\therefore \frac{1}{d(hkl)} = \left( h^2 a^{*2} + k^2 b^{*2} + \ell^2 c^{*2} + 2hka^* b^* \cos \gamma^* + 2hla^* c^* \cos \beta^* + 2k\ell b^* c^* \cos \alpha^* \right)^{1/2}$$

$$\therefore \text{المعامل الحراري} =$$

$$\exp \left[ - \frac{1}{4} \left( B_{11} h^2 a^{*2} + B_{22} k^2 b^{*2} + B_{33} \ell^2 c^{*2} + 2B_{12} hka^* b^* \cos \gamma^* + 2B_{13} hla^* c^* \cos \beta^* + 2k\ell b^* c^* B_{23} \cos \alpha^* \right) \right] \quad (8-69)$$

#### ٤-٤-٨ طريقة المربعات الصغرى: Least Squares Method

طريقة المربعات الصغرى كما وصفها في الأصل Legendre تطبق بجعل مجموع المربعات للأخطاء في  $F_c$  أقل ما يمكن، ويتم إجراء دورات عديدة حيث يتم تحسين قيم كل متغير بعد كل دورة ويستمر تكرار العملية إلى أن نصل إلى نقطة لا يحدث فيها أي تحسن كما توضحه لنا معادلة معامل التوافق  $R$  (معامل الثقة).

$$R = \sum ( |F_0| - |F_c| ) / \sum |F_0| \quad (8-70)$$

وهذا يمكن التعبير عنه إما بنسبة مئوية أو بكسر عشرى (0.10% أو 10%) وقد أوضح Cruick shank أنه للحصول على أطوال الروابط بدرجة من الدقة فى حدود  $0.01 \text{ \AA}$  فإن معامل التوافق  $R$  لابد أن يصل إلى 1% والقيمة المعتادة للمعامل  $R$  فى حالة الحصول على بيانات الحيوان من الأفلام تتراوح بين 7% إلى 10% وفي حالة تعين التركيب من قياسات أشعة الحيوان على جهاز الحيوان من البلورات الأحادية تقل قيمة  $R$  حيث تكون قياسات شدة الانعكاسات أكثر دقة.

الطريقة التى تستخدم لحل عدد  $N$  من المعادلات الآنية فى عدد  $n$  من المجاهيل حيث  $n > N$  تطبق فى عملية تدقيق نتائج تعين التركيب البلورى كالتالى:

إذا كانت الأخطاء فى قيم  $F_0$ 's تبع توزيع جاووس فإن أفضل قيم للمتغيرات هى تلك التى تنتج من جعل قيمة المعادلة التالية نهاية صغرى :

$$R = \sum_{hkl} \omega(hkl) \left( |F_0(hkl)| - |F_c(hkl)| \right)^2 \quad (8-71)$$

حيث  $\omega$  هو كمية الثقل الخاص بكل حد ويؤخذ متناسب عكسى مع مربع الخطأ المتوقع فى قيمة  $F_0$  أى أن:

$$\omega(hkl) = \frac{1}{\sigma^2(hkl)} \quad (8-72)$$

وحيث إن  $R$  تعتمد على كل المتغيرات المؤثرة على قيمة معامل التركيب وهى إحداثيات الذرات ومعاملات الذبذبة الحرارية ومعامل القياس ..

فدعنا نفترض أن  $P_1, P_2, P_3, \dots, P_n$  هى المتغيرات التى عددها  $n$  الموجودة فى  $|F_c|$  ومطلوب تعينها، أما معامل القياس للكمية  $|F_c|$  فيجب تعينه من المتغير المقلوب للكمية  $|F_c|$ .

فلنكون  $R$  نهاية صغرى يجب أن يكون:

$$\frac{\partial R}{\partial P_j} = 0 \quad (j = 1, \dots, n) \quad (8-73)$$

$$\text{i. e. } \sum_{hkl} \omega \Delta \frac{\partial |F_c|}{\partial P_j} = 0 \quad (j = 1, \dots, n) \quad (8-74)$$

$$\Delta = |F_0| - |F_c|$$

ولمجموعه من قيم  $P_j$  القريرية من القيم الصحيحة يمكن أن نحصل على مفکوك القيمة  $\Delta$  بواسطه متسلسلة تيلور Taylor's series للمرتبة الأولى كما يأتى:

$$\Delta(p + \varepsilon) = \Delta(p) - \sum_{j=1}^n \varepsilon_j \frac{\partial |F_c|}{\partial P_j} \quad (8-75)$$

حيث  $\varepsilon$  هو إزاحة صغيرة في قيمة أحد المتغيرات  $P_i$ . وبالتعويض من المعادلة (8-75) في (8-74) نحصل على المعادلات السوية .Normal Equations

$$\sum_{j=1}^n \left\{ \sum_{hkl} \omega(hkl) \frac{\partial |F_c|}{\partial P_i} \frac{\partial |F_c|}{\partial P_j} \right\} \varepsilon_j = \sum_{hkl} \omega(hkl) \Delta \frac{\partial |F_c|}{\partial P_j} \quad (8-76)$$

$$j = 1, \dots, n$$

وهذه المعادلات في شكل مصفوفة تكون:

$$\sum_i a_{ij} \varepsilon_j = b_j \quad (8-77)$$

## ٥-٨ تعيين التركيب للجزيئات الكبيرة:

### Determination of the Structure of Macromolecules

تعتبر الجزيئات الكبيرة يقصد بها مركبات مختلفة تشمل مركبات لها أهمية بيولوجية مثل البروتينات والأحماض النووية وبعض البلمرات الهامة المحضررة معملياً. ونتيجة لكبر حجم جزيئات هذه المركبات فإن أشكالها تختلف اختلافاً كبيراً كما أن الشكل الهندسي لهذه الجزيئات له تأثير كبير على سلوكها الكيماوي والبيولوجي.

والجزيئات الكبيرة ذات الأهمية للبيولوجيين والعلميين في الكيمياء الحيوية يمكن أن تنمو منها بلورات جيدة إذا توفرت الظروف المناسبة لإتمامها، فقد أمكن الحصول على بلورات من الهيموجلوبين منذ سنة ١٨٣٠ وأول بلورات تم الحصول عليها لإنزيم كانت بواسطة العالم James H. Sumner سنة ١٩٢٦ حيث حصل على بلورات لليوريز Urease وفي سنة ١٩٣٠ تمكن العالم John H. Northrop من الحصول على بلورات من البيسين والتريسين والكيموتربسين Pepsin, Trypsin, Chemotrypsin ومع أن بعض العلماء الأوائل المشغلين بالتركيب البلوري استطاعوا الحصول على تسجيل حيود من مثل هذه المركبات، إلا أن الظروف العملية أتاحت فقط الحصول على انعكاسات ضعيفة، وقد كان يعتقد أن تركيب البروتينات التي درست مثل الهيموجلوبين معقدة لدرجة يصعب معها تحديد تركيبها باستخدام الأشعة السينية، ولكن في عام ١٩٣٠ وجد J. D. Bernal D. C. Hodgkin أن بلورات من البروتين يمكن أن تعطي أشكال حيود جديدة وذلك في حالة إذا كانت البلورات أثناء إجراء التجربة تكون معلقة في محلولها الأم، وذلك أفضل من أن ترفع منها وتترك لتجف، مع أن هؤلاء العلماء أوضحوا أن بلورات البيسين عندما تعلق بهذه الطريقة تعطي أشكالاً للحيود واضحة إلا أنه قد مررت سنوات طويلة قبل أن يصبح من الممكن تحديد تركيب البروتينات مع دراسة حيود الأشعة السينية من بلوراتها.

## ١-٥-٨ الاستبدال المتشاكل للجزيئات الكبيرة:

### Isomorphous Replacement of Macromolecules

تعيين التركيب البلوري للجزيئات الكبيرة يتم بطريقة مختلفة من تلك المستخدمة في حالة الجزيئات الصغيرة، والطريقة المتبعة في حالة الجزيئات الكبيرة يتم فيها استخدام طريقة الاستبدال المتشاكل (Isomorphous Replacement) لذرات خفيفة

(مثل جزيئات المذيبات) بذرات ثقيلة (عناصر لها عدد ذرى كبير). والجزيئات الكبيرة تحتوى على عدد كبير من الذرات، كذلك فإن عدد الانعكاسات الصادرة منها تكون أكثر كثيراً من تلك الصادرة من الجزيئات صغيرة.

وعلى الرغم من ذلك فإن الطرق الإحصائية (الطرق المباشرة) التى تستخدم فى حالة الجزيئات الصغيرة لا يمكن بصفة عامة استخدامها فى حالة الجزيئات الكبيرة لأن القياسات التى نحصل عليها لشدة الانعكاسات لا تصل حدود التفريق بين الذرات (atomic resolution) بالإضافة إلى ذلك فإنه يصعب التغلب على مشكلة الأطوال بطريقة پاترسون، حيث إن خريطة المتجهات فى حالة الجزيئات الكبيرة تحتوى على قمم كثيرة ( $N^2$ ) حيث  $N$  هو عدد الذرات.

معظم الجزيئات البيولوجية تم تعين تركيبها باستخدام طريقة الاستبدال المتشاكل البروتينات والأحماض النووية تتبلور بكميات كبيرة من الماء (٣٠٪ - ٩٠٪) في الوحدة البنائية وبذلك توجد قنوات مائة في البلورات، وهذه القنوات تعمل كطرق يمكن أن يمر خلالها محاليل من مركبات تحتوى على ذرات ثقيلة يمكن أن تنتشر وتفتاعل مع السلسل الجانبية على سطح البروتين وإذا اتصلت الذرات الثقيلة بالجزيئات الكبيرة في أماكن محددة تكون ثابتة هي نفسها من وحدة بنائية لأخرى فإن التغيير في شدة الانعكاسات نتيجة إضافة هذه الذرات الثقيلة سيظهر في شكل الحيويد. وعلى هذا فإن طريقة الاستبدال المتشاكل يمكن أن تستخدم لاستبيان الأطوار للجزيء الأصلي.

إن التشاكل isomorphism بين تركيب الجزء الكبير الأصلي والبلورات التي تتخللها الذرات الثقيلة هي أساس هذه الطريقة في هذه الحالة يفترض أن ذرات المعدن الثقيل حل محل مجموعة من الذرات الخفيفة مثل جزيئات بعض المذيبات ولکى تكون الطريقة مؤثرة فإنه يلزم تحضير عدة مشتقات تحتوى على ذرات ثقيلة مختلفة تلتتحق بموقع مختلف في البروتين.

وحيث إن قيمة المعامل التركيبى  $F_p$  تعتمد على أوضاع وقدرة كل ذرة في الوحدة البنائية على التشتت وإذا تغيرت إحدى الذرات أو أضيفت ذرة جديدة ولم تحدث تغييراً في تركيب البلورة فإن قيمة جديدة لمعاملات التركيب  $F_{PH}$  نحصل عليها بعملية جمع المتجهات كالآتى:

$$F_{PH} = F_p + F_H \quad (8-78)$$

حيث تمثل  $P$  المركب الأصلي،  $H$  تمثل الذرة التي تم تغييرها (تغيير أو إضافة ذرة ثقيلة على سبيل المثال)  $PH$  هو المركب المتشاكل الآخر أي أنه المركب المحتوى على الذرة الثقيلة وكل معامل من معاملى التركيب له زاوية طور وقيمة عددية (سعة) والقيمة العددية لهما يمكن قياسها  $|F_p|$  و  $|F_{PH}|$  كما يمكن تحديد موقع الذرة الثقيلة من حساب دالة لپاترسون تكون معاملاتها  $||F_{PH}||^2 - ||F_p||^2$  وتحليل الخرائط الخاصة بها التي تمثل في هذه الحالة متوجهات بين الذرات الثقيلة يمكن منها حساب مواقع الذرات.

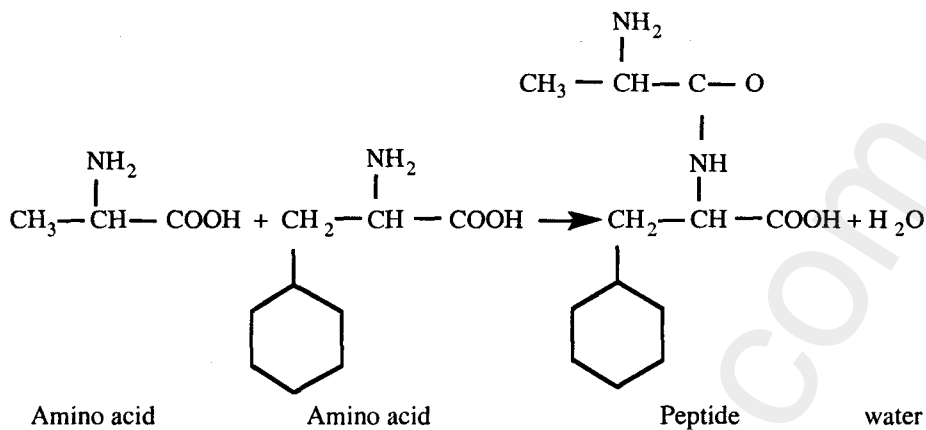
وبالتالى يمكن حساب  $F_H$  بكمياتها العددية وأطوارها ويمكن كتابة المعادلة (8-78) كالتالى:

$$F_{PH} - F_p = F_H \quad (8-79)$$

وحيث إن كلا من  $F_H$  ،  $|F_p|$  ،  $|F_{PH}|$  أصبحت كميات معروفة فإنه يمكن البدء فى استنباط زاوية الطور  $(hkl)\alpha$  للجزء الأصلى (native) وإذا كان يوجد مشتق واحد يحتوى على ذرة ثقيلة فإنه سيحدث التباس فى تعين قيمة  $(hkl)\alpha$ ؛ ولذلك يلزم وجود مشتقتين على الأقل يحتويان على ذرات ثقيلة حتى يمكن تعين  $(hkl)\alpha$  خاصة فى حالة الجزيئات الحيوية التى تتبلور فى مجموعات فراغية لا تحتوى على مراكز تماثل.

## ٢-٥-٨ تعين تركيب البروتينات

البروتينات هي أهم مكونات الكائنات الحية؛ فألياف العضلات والجلد والأعصاب والدم مكونها الرئيسي هو البروتينات، كما أن بعض الهرمونات والإنزيمات هي بروتينات. والبروتينات هي بولимерات من الأحماض الأمينية متصلة بواسطة روابط بيبيدية. وعلى سبيل المثال:



وأفراد هذه المجموعة من الجزيئات تسمى أيضا بيبتيدات أو بوليببتيدات والبروتينات تُعرف أيضاً بأنها ببتيدات طبيعية تحتوى على أكثر من 50 وحدة من الأحماض الأمينية، ويصل الوزن الجزيئي للبروتينات إلى بضعة آلاف أو أكثر. تستخدم طريقة الاستبدال المتشاكل في تعين التركيب للبروتينات وتلخص الطريقة في الخطوات الآتية:

- ١- تقاس أبعاد الوحدة البنائية وشدة الانعكاسات لبلوره البروتين الأصلى.
- ٢- تحضر مشتقات من البروتين تحتوى على ذرات ثقيلة في مواضع مختلفة في الوحدة البنائية ثم تقاس شدة الانعكاسات لكل مشتق يحتوى على ذرة ثقيلة.
- ٣- تعَّين مواضع الذرات الثقيلة من خرائط پاترسون للفروق.
- ٤- تُحسَّن نتائج تعين مواضع الذرات الثقيلة باستخدام خرائط فوريير للفروق.
- ٥- تعَّين أطوار الانعكاسات للبروتين الأصلى (البلوره الأم).

### ٣-٥-٨ تركيب الأحماض النووية: structure of nucleic acid

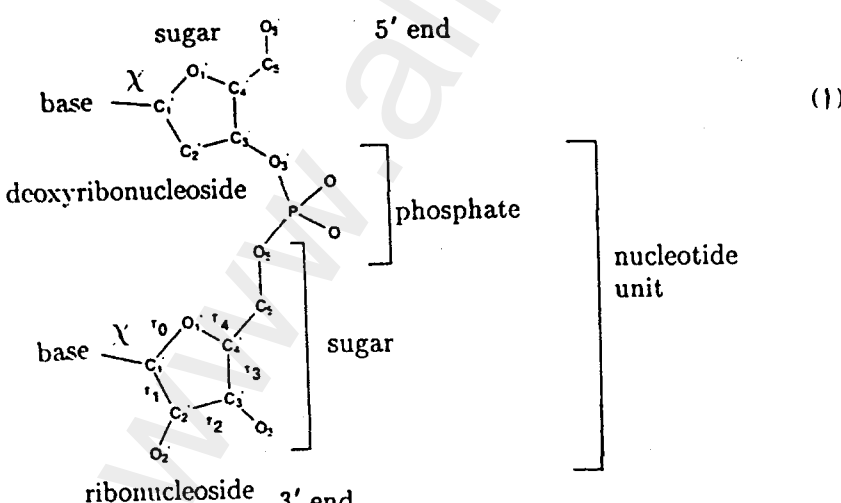
درس شكل الحيوان المتوقع من التركيب الحازوني نظرياً بواسطة كل من: William Cochran, Francis H.C. Crick and Vladimir Vand

نموذج الخلazon  $\alpha$  وهذه الدراسة وضعت الأساس لتفسير شكل الحيد للبروتينات كما أدت على غير المتوقع إلى تفهم تركيب الحمض النووي الذي انتهى بتعيين التركيب الفراغي للحمض James d.watson (Deoxyribonucleic Acid) DNA بواسطة Rosalind Franklin and Frances h.c. Crick من فيلم فوتوغرافي أخذ بواسطة النيوكليوتيدات والأحماض النووية الموجودة طبيعيا تتكون من ثلاث وحدات: شكل (٧-٨).

١- سكر يسمى  $\beta$ -D-ribose في المركب في المركب RNA ويسمى  $\beta$ -d-z-deoxyribose في المركب DNA وهذا السكر في حالة حلقة خماسية.

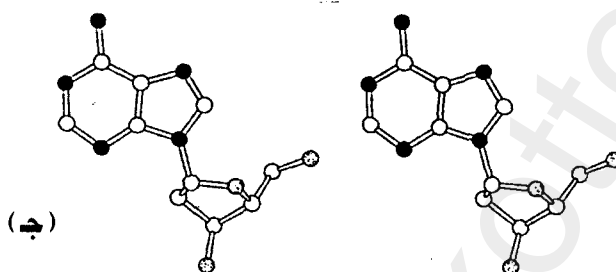
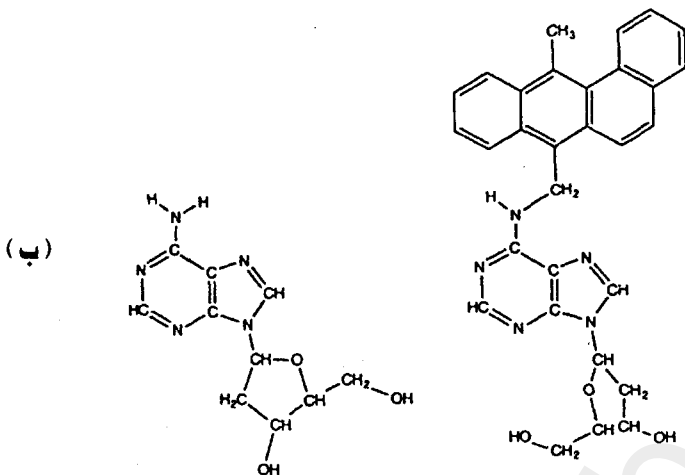
٢- قاعدة حلقة من النوع جوانين (guanine) وأدينين (adenine) سيتوتين (cytosine) يوراسييل (uracil) في حالة RNA أو ثايمين (thymine) في حالة DNA حيث تحل القاعدة عند ذرة الكلورين محل السكر.

٣- مجموعة فوسفات: وفي النيوكليوتيدات (nucleosides) والنيوكلوسيدات (nucleotides) تأخذ القاعدة وضعين حول رابطة الجلايلوزيل تسميان syn ، anti .

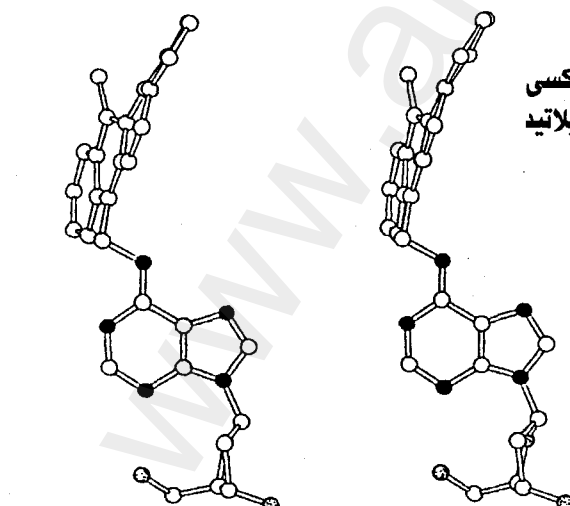


شكل (٧-٨)

١- وحدة نيوكلوتيدي في DNA



*anti conformation (stereoview)*



*syn conformation (stereoview)*

تابع شكل (٧-٨)  
 بـ- المعادلات الكيميائية للمركبين ديوكسى  
 ادينوزين (الى اليسار) والكيلاتيد  
 ديوكسى ادينوزين.  
 جـ- وضعان للقاعدة متعاكسان.  
 دـ- وضعان للقاعدة متوافقان.

## ٦-٨ تحديد أماكن ذرات الأيدروجين: Location of hydrogen atoms

تعين أماكن ذرات الأيدروجين في خرائط الكثافة الإلكترونية لا يتم بدقة حيث إن القمم الخاصة بها لا تبدو منفصلة عن الذرات المجاورة لها؛ لذا فإن خرائط الكثافة الإلكترونية تحسب باستخدام متسلسلات فوريير التي تكون معاملاتها  $\Delta F$  بدلاً من  $F_0$  حيث  $\Delta F$  هي الفرق بين معامل التركيب المقايس عملياً وذلك المحسوب من إحداثيات الذرات باستثناء ذرات الأيدروجين.

$$\Delta F = F_0 - F_c \quad (8-80)$$

. Difference Fourier وهي في هذه الحالة تسمى متسلسلة الفروق لفوريير

$$\rho_0 - \rho_c = \frac{1}{V} \sum_h \sum_k \sum_\ell \Delta F e^{-2\pi i(hx+ky+\ell z)} \quad (8-81)$$

وهذه الدالة تمثل الفرق بين الكثافة الإلكترونية الحقيقة وتلك المفترض أنها خاصة بالشكل الذري الذي تم حساب قيم  $F_c$  منه ولذلك فإن ذرات الأيدروجين التي لم تدخل في حسابات  $F_c$  سيظهر في خريطة  $\Delta F$ ، ويجب ملاحظة أنه قبل محاولة تعين موقع الأيدروجين بهذه الطريقة مراعاة أن كلاً من التغيرات الخاصة بموقع ذيذبة الذرات (غير ذرات الأيدروجين) التي تدخل في حساب  $\Delta F$  أن تكون قد مرت بمرحلة التدقيق، وأبعد من ذلك فإنه يلزم أن تكون نتائج قياس شدة الانعكاسات دقيقة حتى يمكن تعين موقع ذرات الأيدروجين تعيناً صحيحاً.

## ٧-٨ الشكل الهندسي للجزيئات : Moleculen Conformation

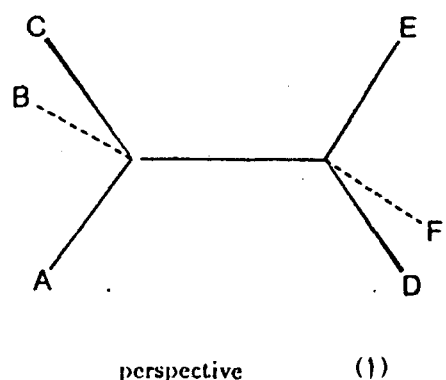
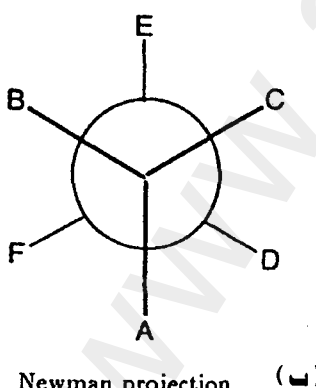
نتائج تعين التركيب البلوري والجزيئي للمواد بالأشعة السينية هي تعين أبعاد الروابط وزوايا التكافؤ كذلك زوايا اللف وهذه المعلومات تصف تركيب الجزيء في الأبعاد الثلاث وتعبير conformation يعني الشكل الهندسي الفراغي للجزيء، وهو يختلف عن الكلمة Configuration التي تعني الوضع النسبي للذرات في الجزيء، فالشكل الهندسي للجزيء يتغير إذا ما حدث لف أو التواء حول رابطة أحادية مثلاً ولكن في هذه الحالة لا يتغير الوضع النسبي للذرات.

والجزء الذى يحتوى على روابط أحادية عديدة يمكن أن يتغير شكله الهندسى بعملية دوران حول هذه الروابط، ومثل عمليات الدوران هذه يتكرر حدوثها فى الحالة السائلة أو الغازية حيث تكون القوى بين الجزيئات (التي تجعل الجزيئات فى البليورات صلبة) غير موجودة وعمليات الدوران حول الروابط هذه عملية واضحة فى الأشكال المختلفة لنفس الجزيئات فى التركيبات البليورية المختلفة.

والشكل الثابت نسبياً للجزء يكون هو الذى تكون طاقة الوضع له نهاية صغرى .

### ١-٧-٨ زوايا اللي : Torsion Angles

مفهوم زوايا اللي أو زوايا الانحناء أدخل لوصف العلاقات بين الزوايا حول الروابط الأحادية وكذلك لوصف هندسيّة الحلقة الكيماوية، فإذا نظر أي شخص مباشرة خلال رابطة بين ذرتين فإنهما يقعان فوق بعضهما البعض كما في الشكل (٨-٨) وتتمثل هذا بالرسم معروف للعاملين في مجال الكيمياء العضوية بما يعرف بمسقط نيومان Newman Projection حيث تظهر في هذا المسقط الذرات القريبة من المشاهد مثلثة بأقطار تبعد عن بعضها البعض بزايا  $120^\circ$  والذرات بعيدة عن المشاهد تمثل بدائرة لها امتدادات لأقطارها تبعد عن بعضها البعض مسافات متساوية، والروابط للذرات القريبة ترسم بحيث تخترق الدائرة وبهذا يوضح مسق



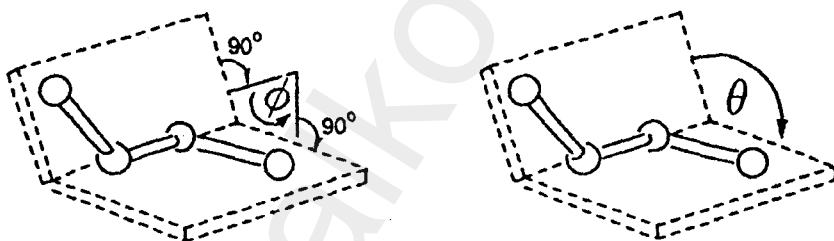
شكل (٨-٨)  
١- رسم منظوري ب- مسقط نيومان

نيلمان التفرقة بين الذرات القرية والبعيدة ونتائج حيود الأشعة السينية يمكن تعطينا فيما دققناه للزوايا بين هذه الأقطار والطريقة الرياضية لوصف الشكل الهندسي Conformation يكون بحساب زوايا اللي حول كل رابطة حيث تقيس زوايا اللي الالتواء الذي يحدث لروابط الذرات المستبدلة Substituted التي تكون مرتبطة بذرة عند طرفها.

زاوية اللي الموجبة هي الزاوية التي تكون في اتجاه عقارب الساعة والزاوية السالبة هي التي تكون في عكس عقارب الساعة.

#### ٢-٧-٨ الزوايا التنسطحية : Dihedral angles

إذا أردنا معرفة وضع أو ميل جزيئين أو أكثر بالنسبة لبعضهما البعض فإن الطريقة هي حساب الزاوية بين سطحين يمكن تحديدهما بواسطة بعض الذرات التي تمر بهما. وتعرف الزاوية التنسطحية بين سطحين على أنها الزاوية بين العمودين على هاتين السطحين (شكل ٩-٨).



الزاوية التنسطحية  
(b) dihedral angle =  $180^\circ - \text{torsion angle}$       (a) (torsion angle) زاوية اللي

شكل (٩-٨) زوايا اللي

## ٨-٨ تعين الشكل الهندسى للجزئيات نظرياً : Conformational analysis

لا شك أن معرفة الشكل الهندسى للجزئيات له أهمية كبيرة حيث إن تركيب الجزيئات غالباً ما يكون له تأثير على نشاطها خاصةً الجزيئات الكبيرة فالمركبات العضوية (الطبيعي منها والمحضر معملياً) تعتبر المصدر الرئيسي للعقاقير الطبية medical agents وفي أحوال وجدت علاقة مباشرة بين نشاط المركبات العضوية وتركيبها، وإذا كانت ظاهرة حiod الأشعة السينية تستخدم للوصول لمعرفة التركيب الجزيئي داخل البلورة عملياً فإنه توجد طرق أخرى لمحاولة معرفة التركيب للجزيء في حالته الحرة المفردة، وهذا ما يعرف بـ conformational analysis وهذه طريقة نظرية للتنبؤ بمعرفة التركيب الهندسى للجزيء عن طريق إيجاد ذلك التركيب الذى تكون طاقتة نهاية صغرى حيث إن المواد فى الطبيعة تفضل ذلك التركيب الذى تكون طاقتة أقل ما يمكن.

غالباً ما يستخدم بنجاح نموذج ميكانيكى classical mechanical model لحساب الشكل الهندسى للجزيء وتبعاً لهذا النموذج يكون الشكل المفضل هو نتيجة اختيار الوضع الذى يكون وسطاً نتيجة محاولة الذرات غير المرتبطة بروابط كيميائية أن تبتعد عن بعضها البعض، وفي نفس الوقت محاولة زوايا التكافؤ أن تصل للقيمة المثلثى. فكل زاوية تكافؤ يفترض أن تكون مرنة. وكل التفاعلات بين الذرات غير المرتبطة بروابط كيميائية تكون نتيجة الجهد الذى تعتمد فقط على الأبعاد بين الذرات.

## ١-٨-٨ الميكانيكا الجزيئية Molecular Mechanics

الميكانيكا الجزيئية هى طريقة لحساب الشكل الهندسى المترن وكذلك بعض الخواص للحالة السفلية (الدنيا) للجزئيات ground state باستخدام نموذج ميكانيكى كلاسيكى. صرف purely classical mechanical فالجزيء يعامل على أنه مجموعة من الذرات مرتبطة مع بعضها بروابط مرنة elastic springs كما أن الأبعاد بين الذرات وزوايا التكافؤ وكذلك زوايا اللف والأبعاد بين الذرات غير المرتبطة بروابط كيميائية تعطى قيمها للاتزان الطبيعي، وكل إزاحة قيمتها من القيمة الطبيعية يصاحبها قوة معاكسة restoring force تتناسب مع الإزاحة نفسها..

$$F = -k \Delta x \quad (8-82)$$

وكذلك طاقة تتناسب مع مربعها..

$$E = k (\Delta x)^2 / 2 \quad (8-83)$$

والميكانيكا الجزيئية هي بالتأكيد محاولة لتحديد قيم لكل قيم الاتزان الطبيعي وكذلك ثوابت القوى  $k$  حيث تعرف المجموعة الكاملة لهذه الثوابت بمجال القوى Force field ومعرفة هذه القيم يمكننا من حساب سطح طاقة الوضع لحركة الذرات داخل الجزيئات، والطاقة المحسوبة تفترض معنى طاقة التشوّه steric energy على أنها طاقة الابتعاد عن شكل معين للجزيء بالنسبة للشكل الهندسي المتزن.

قيم المتغيرات التي تُعرَفُ مجال القوى يتم الحصول عليها تجريبياً (empirical) بمقارنة الشكل الهندسي العملي والنظري، كما أن خواص أخرى يمكن معرفتها أو تحديدها، وغالباً ما تكون هي المحتوى الحراري (حرارة التكوين) وكذلك تردد الذبذبة الحرارية.

وبصفة خاصة فإن مجال القوى الذي يمكن منه حساب كل من الشكل الهندسي والتردد يسمى المجال الثابت أو المتماسك consistent field والنقطة الأساسية تكون هي المقدرة على حساب خواص عدد كبير من الجزيئات المختلفة باستخدام أقل عدد ممكن من الثوابت التي يمكن تحويلها من جزء إلى آخر.

الآن توجد برامج كثيرة على الحاسوب الآلي لحساب الميكانيكا الجزيئية والطاقة الكلية  $E$  تحسب على أنها مجموعة مساهمات مختلفة هي:

$$E_{\text{pot}} = E_{\text{bnd}} + E_{\text{ang}} + E_{\text{tor}} + E_{\text{VDW}} + E_{\text{elc}} \quad (8-84)$$

### ٢-٨-٨ تفاعلات الذرات المترابطة: Interaction of Bonded Atoms

تمثل القيمة  $E_{\text{bnd}}$  الطاقة اللازمة لشد أو ضغط الرابطة بين ذرتين، فالرابطة بين ذرتين يمكن اعتبارها مشابهة للزنبرك حيث تكون الطاقة اللازمة لشد الرابطة أو ضغطها مماثلة تقريباً بجهد هوك للزنبرك المثالى (Hookean potential).

$$E_{\text{bnd}} = \sum_{\text{bnd}} k_r (r - r_0)^2 \quad (8-85)$$

حيث  $r_0$  هو طول الاتزان للزنبرك ،  $k$  هي ثابت الشد للزنبرك ،  $r$  هي المسافة بين الذرتين .

أما  $E_{ang}$  فهى الطاقة اللازمة لثنى أو انحناء الرابطة من وضعها المترن  $\theta_0$  وهذا النظام يمكن أيضا تشييده بنموذج الزنبرك ، والطاقة أيضا يعبر عنها بجهد هوك Hookian potential بالنسبة للزاوية ..

$$E_{ang} = \sum_{ang} k_\theta (\theta - \theta_0)^2 \quad (8-86)$$

حيث  $k_\theta$  هي ثابت قوة الثنى ،  $\theta$  هي الزاوية بين الرابطتين .

### ٣-٨-٨ تفاعلات الذرات غير المترابطة: Non bond interaction

#### ١- تفاعلات فان در فال Van der Waals interaction :

وهي التفاعلات المسئولة عن تسهيل الغازات غير المستقطبة non-polar gases مثل الأكسجين والتتروجين وهى أيضا التى تحكم طاقة التفاعلات للذرات غير المرتبطة داخل الجزيئات . وهذه التفاعلات هى غالبا أهم العاملات التى تحدد الشكل الهندسى العام للجزيئات ، ومثل هذه التفاعلات هى من الأهمية القصوى فى تعين التركيب ثلاثي الأبعاد لكثير من الجزيئات البيولوجية خاصة البروتينات .

يوضح الشكل العلاقة بين طاقة فان در فال والمسافة بين ذرتين من الأيدروجين فعندما تكون المسافة بين الذرتين كبيرة توجد قوى تجاذب وعندما تقترب الذرتان من بعضهما البعض تكون هناك قوى تنافر ، ومع أنه توجد قوى تجاذب وتنافر فى نفس الوقت إلا أن قوى التنافر تكون هى الأهم فى تعين شكل الجزيء ويعتبر نصف قطر فان در فال Van der waals radius هو مقياس لحجم الذرة والمسافة التى تعطى أقل قيمة للطاقة بين ذرتين هى مجموع أنصاف قطرى فان در فال ، والنهاية الصغرى فى شكل (١٠-٨) تمثل هذه النقطة والتفاعل بين ذرتين بينهما مسافة أكبر من تلك المقابلة للطاقة السفلى يتحكم فيها قوى الجذب بين الذرات (أى أنها تكون نتيجة لقوى تجاذب بين الذرات) وعند مسافات أقل من مسافة النهاية الصغرى للطاقة تكون قوى التنافر هي السائدة .

معادلة طاقة ثان درفال هي:

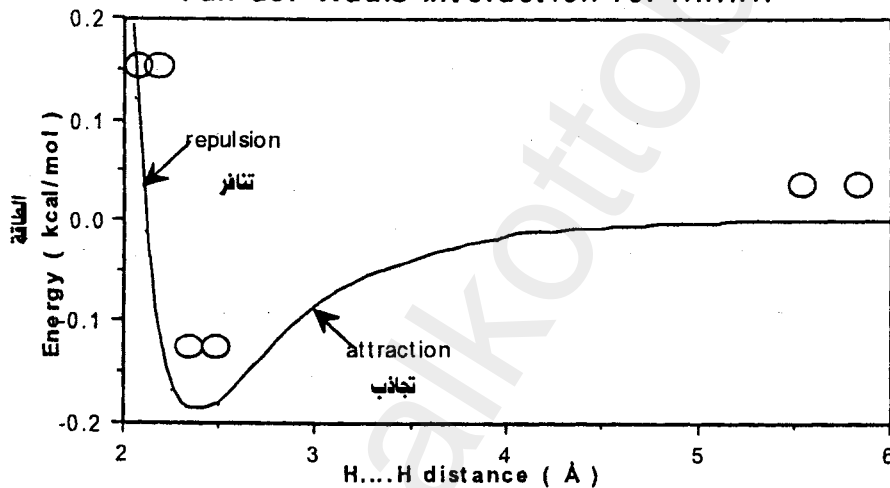
$$E_{VdW} = \sum_{i,j} \left[ \frac{A}{r_{ij}^{12}} - \frac{B_{ij}}{r_{ij}^6} \right] \quad (8-87)$$

حيث A، B هي ثوابت تعتمد على الذرتين،  $r_{ij}$  هي المسافة بالأنجستروم التي تفصل بينهما، وهذه المعادلة تسمى أيضاً معادلة جهد لينارد جونز.

وحيث إنه بالتعريف تكون الطاقة السفلية هي المفضلة فإن  $\frac{A}{r^6}$  هو الجزء الخاص بالتجاذب،  $\frac{B}{r^{12}}$  هو الجزء الخاص بالتنافر.

تفاعل ثان درفال

### Van der Waals Interaction for H.....H



شكل (١٠-٨)

تفاعلات ثان درفال بين ذرتين من الآيدروجين في جزيء

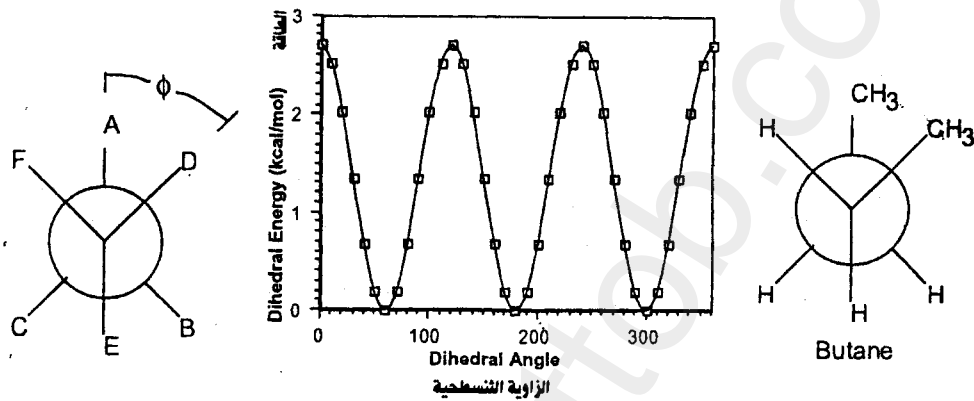
### ب- تفاعل زوايا اللقى: Torsional interaction

$E_{tor}$  هي الطاقة الالازمة لللقي حول الرابطة، ومثل هذه الطاقة لها أهمية فقط في حالة الروابط الأحادية لأن الروابط الثنائية والثلاثية تكون من الصلابة بحيث لا تسمح بالدوران والطاقة مثل هذه التفاعلات تعطى بالمعادلة:

$$E_{tor} = \frac{1}{2} k_{tor,1}(1-\cos\varphi) + \frac{1}{2} k_{tor,2}(1-\cos 2\varphi) + \frac{1}{2} k_{tor,3}(1-\cos 3\varphi) \quad (8-88)$$

الزاوية  $\varphi$  هي الزاوية الشسطحية dihedral angle حول الرابطة  $k_{\text{tor},1}$ ,  $k_{\text{tor},2}$ ,  $k_{\text{tor},3}$  هي ثوابت.

وي بعض المؤلفين يعتبرون أن طاقة الله ما هي إلا طاقة تنافر الروابط التي تربط مجموعة من الذرات حول رابطة مركزية شكل (٨-١١).



## شكل (١١-٨) تفاعلات زوايا اللي

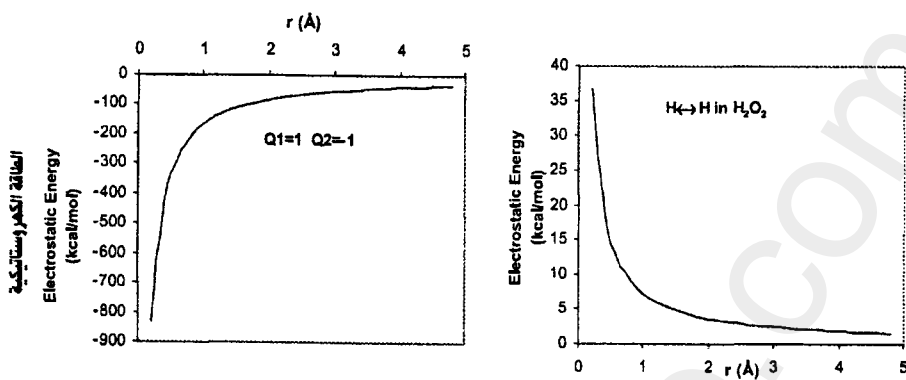
## ٤- التفاعلات الكهروستاتيكية : Electrostatic Interaction

إذا كانت الروابط في جزء ما روابط قطبية فإن جزءاً من الشحنات يبقى على الذرات ويمثل التفاعل بين الذرات بدلالة جهود كولومبية Columbic potential

$$E_{qq,ij} = \frac{k Q_i Q_j}{4\pi \epsilon r_{ii}} \quad (8-89)$$

حيث  $Q_i$  ،  $Q_j$  هى شحنات جزئية للذرارات  $i$  ،  $j$  التي تبعد عن بعضها مسافة  $r_{ij}$ ،  $\epsilon$  هو ثابت العزل الجزئي (عادة تكون قيمته تساوى 1.0) أما قيمة  $K$  فهى تساوى 2086.4 إذا كانت النتيجة بوحدات kcal/mob والشحنات المشابهة تزيد من كمية الطاقة، أما الشحنات ذات الإشارات المختلفة فإنها تقلل من قيمة الطاقة. ويوضح شكل (١٢-٨) . جهود كولوم لوحدات من الشحنات المختلفة والمتماثلة ..

كل التفاعلات السابقة تكون ما يسمى بـ مجال القوى .Force field



شكل (١٢-٨)

- ١- قوى تجاذب كولوم بين شحنة موجبة وسلبية
- ٢- قوى تناقض كولوم بين ذرتى أيدروجين فى H<sub>2</sub>O<sub>2</sub>



## التعبيء في البلورات

من الطبيعي أن يتساءل الدارس لعلم البلورات عن القوى التي تمسك بأجزاء البلورة من ذرات وجزيئات معاً لكي تتخذ الأشكال التي مررنا بها. وقد تأكد أن القوى الكهروستاتيكية الجاذبة بين الشحنات الكهربائية المعاكسة للإلكترونات والشحنات الموجبة للنوى هي المسؤولة الأولى عن تمسك المواد الصلبة. أما القوى المغناطيسية فهي ذات أثر ضعيف في تمسك البلورات كما أن قوى الجذب العام فتكاد تكون مهملة تماماً.

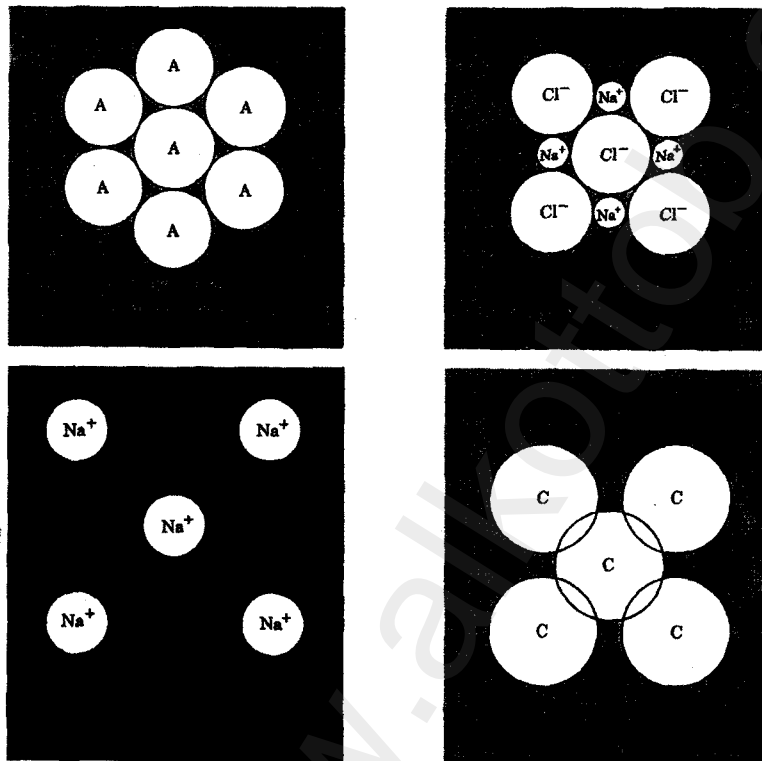
وتتيح لنا معرفة توزيع الشحنات وسرعاتها داخل البلورة من أن نحسب طاقة ترابط البلورة؛ ولذلك من الواجب التعرف على المصطلحات المستخدمة في تصنيف أنواع الطاقة، فهناك طاقة التبادل وقوى ثان درفال وطاقة الاستقرار الرئيسي والروابط التساهمية.

ويراعى عند معالجة ربط الذرات معاً في بلورة من خلال التجاذب الكهروستاتيكي بين إلكترونات التكافؤ وقلوب الأيونات ما يلى:

- 1 - أن تكون قلوب الأيونات الموجبة بعيدة عن بعضها البعض حتى يكون التنافر الكولومبي بين الشحنات المشابهة أقل ما يمكن.

- ٢- أن تظل إلكترونات التكافؤ بعيدة عن بعضها البعض.
- ٣- أن تكون إلكترونات التكافؤ قرية من الأيونات الموجبة حتى يكون التجاذب الكولومي بين الشحنات المختلفة أكبر ما يمكن.
- ٤- قد تؤدي القاطط الثلاث الأولى إلى خفض طاقة وضع المجموعة ولكنها لا يجب أن تتم بحيث تزيد طاقة حركة المجموعة بشكل كبير.

وعلينا  
عند مناقشة  
مسألة  
التماسك أن  
نقارن بين  
الطاقة الكلية  
للبلورة  
الصلبة، أي  
مجموع  
طاقة الحركة  
والوضع، مع  
طاقة نفس  
عدد الذرات  
المتعادلة التي  
تتحققها عن  
بعضها البعض  
مسافات لا  
نهاية، بحيث



شكل (١-٩)

الأنواع الرئيسية لقوى الترابط في البلورات

- ١- بلورات الارجون (قوى دفاع)    ٢- كلوريde الصوديوم (روابط أيونية)  
 ج- فلز الصوديوم (روابط فنزية)    د - الالماس (روابط تساهمية)

لا تكون البلورة مستقرة إلا إذا كانت طاقتها الكلية أدنى من الطاقة الكلية للذرات أو الجزيئات الحرة. ويطلق على الفرق بين طاقة الذرات الحرجة وطاقة البلورة مصطلح طاقة التماسك وقد وجد أن بلورات الغازات الخامدة ذات ترابط واهن للغاية، أما

بلورات الفلزات القلوية فتتمتع بقيم متوسطة لطاقة التماسك والفلزات الانتقالية ذات ترابط قوى ومثلها في ذلك المركبات الأيونية. ويمثل الشكل (١-٩) الأنواع الرئيسية لقوى الترابط في البلورات.

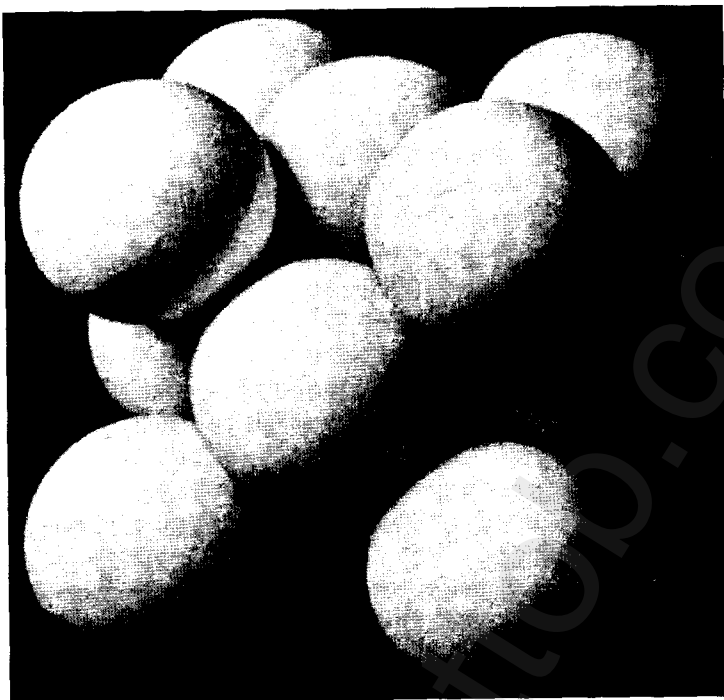
### ١-٩ بلورات الغازات الخامدة:

تعتبر بلورات الغازات الخامدة من أبسط أنواع البلورات المعروفة ويلخص الجدول (١-٢) خواص تلك البلورات عند درجة حرارة الصفر المطلق. وهي بلورات شفافة وعازلة وروابطها واهية، كما أن درجات انصهارها منخفضة للغاية. وتكون من ذرات ذات طاقات تأين مرتفعة جداً.

جدول (١-٩)  
خواص بلورات الغازات الخامدة

	المسافة إلى قرب جار in Å	طاقة التماسك		درجة الانصهار K	جهد التأين لذرة حرارة e V	بيانات جهد ليوتارد-جوائز $\epsilon$ , in $10^{16}$ erg	$\sigma$ , in Å
He		سائل عند ضغط صفرى (liquid at zero pressure)			24.58	14	2.56
Ne	3.13	1.88	0.02	24	21.56	50	2.67
Ar	3.76	7.74	0.080	84	15.67	167	3.40
Kr	4.01	11.2	0.116	117	14.00	225	3.65
Xe	4.35	16.0	0.17	161	12.13	320	3.98

وذرات هذه الغازات لها قشرات إلكترونية خارجية ممتلئة تماماً، كما أن توزيع الشحنات الإلكترونية في الذرات الحرية كروي التماثل. وعند تكون بلورة من تلك الذرات فإن الأخيرة تترافق بشكل متلاصق إلى أقصى حد؛ ولذا تكون البلورات من النوع المكعبى متلاحم الترافق (مكعبى متتمرکز الأوجه FCC) (الشكل ٢-٩). على أن نظيرى الهليوم  $H_e^3$  ،  $H_e^4$  لا يتجمدان مطلقاً حين يكون الضغط الواقع عليهما صفراء حتى ولو انخفضت درجة الحرارة إلى قرب الصفر المطلق. وهنا يبرز سؤال حول ما الذى يجعل بلورة الغاز الخامد تماسكاً. اعتبر أن لدينا ذرتين من غاز خامل تفصلهما مسافة مقدارها R، أكبر من نصف قطر ذرة. ولما كانت



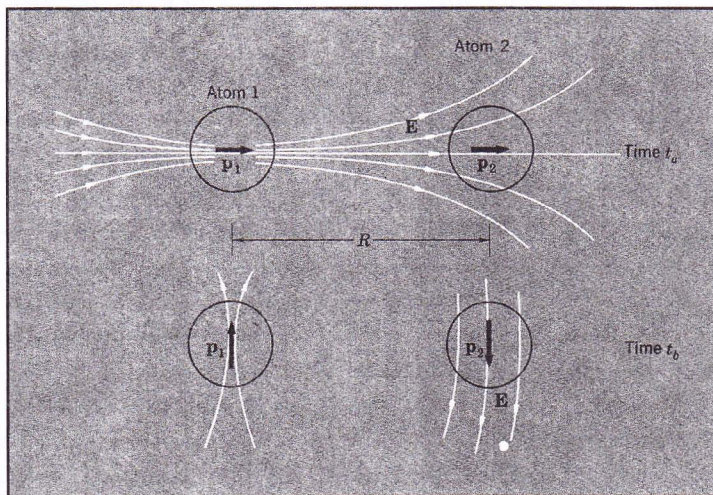
شكل (٢-٩)

**التركيب البلوري للغازات الخامدة  
Ne . Ar . Kr . Xe**  
**وهو مكعبى متلاصق الرض FCC**

الإلكترونات الخارجية في حالة حركة دائمة حول النواة حتى في أدنى الحالات الإلكترونية لذلك يكون هناك احتمال لوجود عزم ثانوي قطب كهربائي نتيجة لهذه الحركة . فإذا كان عزم ثانوي القطب اللحظي هو  $P_1$  فإنه ينشئ مجالاً كهربائياً شدته  $E = \frac{2P_1}{R^3}$  (انظر الشكل ٣-٩) عند مركز الذرة الثانية التي تبعد مسافة مقدارها  $R$  عن الذرة الأولى ، وهذا المجال نفسه ينشئ عزم ثانوي القطب لحظياً هو  $P_2 = \alpha E = \frac{2\alpha P_1}{R^3}$  عند الذرة الثانية ، و  $\alpha$  هي الاستقطابية الإلكترونية (وهي عزم ثانوي القطب لوحدة شدة المجال الكهربائي) .

وتكون طاقة التفاعل بين العزمين  $\vec{P}_1$  ،  $\vec{P}_2$  اللذين تفصلهما مسافة  $R$  هي :

$$U(R) = \frac{\vec{P}_1 \cdot \vec{P}_2}{R^3} - \frac{(\vec{P}_1 \cdot \vec{R})(\vec{P}_2 \cdot \vec{R})}{R^5} \quad (9-1)$$



شكل (٣-٩)

مصدر قوى ثان درقال. ثنائى القطب الاول له عزم مقداره  $P_1$  ينشأ عنه مجال كهربائي  $E$  يؤثر على الذرة 2، فتكتسب عزماً مقداره  $P_2$ . ويكون التفاعل بين الذرتين موجباً دائماً ويزداد عند اقتراب الذرتين من بعضهما البعض

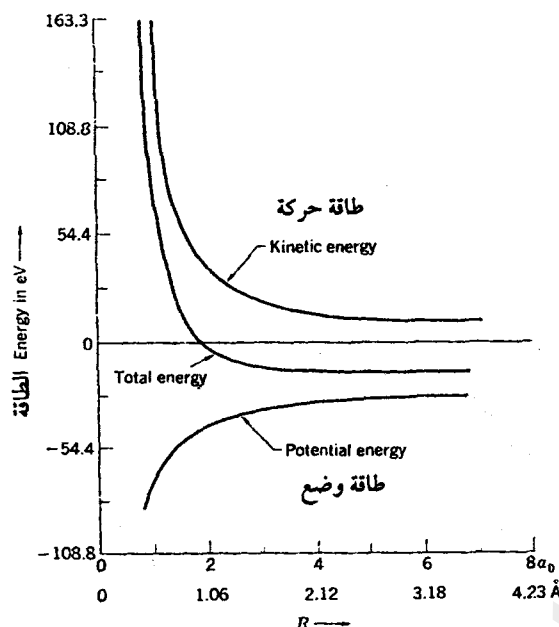
وحيث إن العزوم في حالة تفاعل «ثان درقال» متوازية فإن طاقة وضع تلك العزوم هي:

$$U(R) = -\frac{2P_1 P_2}{R^3} = -\frac{4 \alpha P_1^2}{R^6} \quad (9-2)$$

$$= -\frac{C}{R^6}$$

حيث  $C$  مقدار ثابت. وتشير الإشارة السالبة إلى أن التفاعل بينهما من النوع التجاذبى ويسمى تفاعل «ثان درقال» أو تفاعل «لندن» أو تفاعل ثنائى قطب مع ثنائى قطب مستحدث. وهذا هو التفاعل التجاذبى الأساسى فى بلورات الغازات الخامدة وببلورات العديد من المواد العضوية.

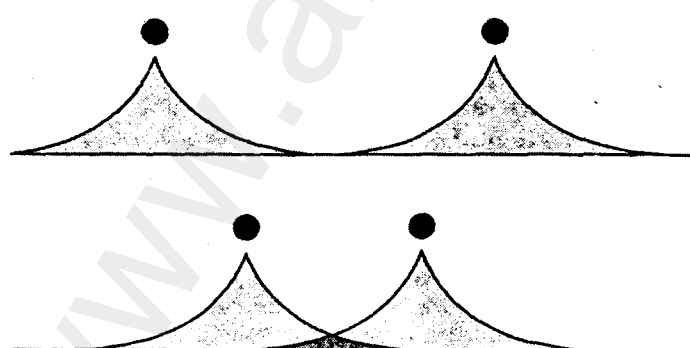
على أن هذا التفاعل يقابل تفاعل تناافری. ولو تخيلنا أن التوزيع الإلكتروني لذرة ما قد أقحم داخل حيز كروي جامد، لأخذت طاقة الحركة الإلكترونية في



شكل (٤-٩)

طاقة الحركة وطاقة الوضع والطاقة الكلية لذرة هيدروجين داخل حيز كروي جامد نصف قطره  $R$ . تزداد الطاقة الكلية كلما قل نصف قطر الحيز

الارتفاع (الشكل ٤-٩). وتعمل هذه الزيادة كقوة تنافر تقاوم الانضغاط. وإلى جانب هذا فهناك سبب آخر للتنافر وهو تراكب التوزيعين الإلكترونيين للذرتين. وكلما زاد تقارب الذرتين، تراكب شحتاهما تدريجياً مما يؤدي إلى تغير الطاقة الكهروستاتيكية للمجموعة. وعندما تصبح المسافة الفاصلة بينهما ضئيلة بما فيه الكفاية فإن طاقة التراكب تصبح تنافية تماماً (الشكل ٥-٩).



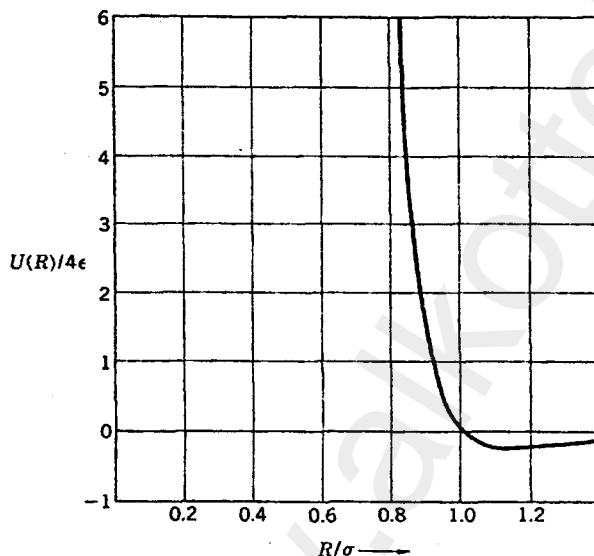
شكل (٥-٩)

يتراكب توزيع الشحنة لكل من الذرتين عند اقترابهما بعضهما البعض. وتشير الدوائر المصمتة إلى النوى

وتشير الحسابات النظرية للغازات الخامدة إلى أن جهد التنافر قد يأخذ الصورة؛  $\frac{B}{R^{12}}$  ، حيث B مقدار ثابت موجب، وعلى ذلك، فإن طاقة الوضع الكلية لذرتين تفصلهما مسافة R تصبح ..

$$U(R) = \frac{B}{R^{12}} - \frac{C}{R^6} \quad (9-3)$$

ويطلق على هذا المقدار -أحياناً- جهد «لينارد-چونز» ويمثل بيانياً كما في شكل (٦-٩).

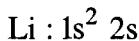
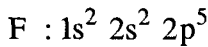


شكل (٦-٩)  
تمثيل بياني لجهد لينارد-چونز  
(المعادلة ٩-٣) والذي يصف  
التفاعل بين ذرتى غاز خامل

## ٢-٩ البلورات الأيونية:

تتكون البلورات الأيونية من أيونات سالبة وأخرى موجبة. ويتم ترتيب الأيونات بحيث يكون تجاذب الأيونات مختلفة الشحنة أقوى من تنافر الأيونات متشابهة الشحنة. والرابطة الأيونية هي ما ينشأ عن التفاعل الكهروستاتيكي بين الأيونات مختلفة الشحنة، ومن أشهر أمثلة هذه البلورات: كلوريد الصوديوم وكلوريد السيرزيوم اللذان جاء ذكرهما من قبل.

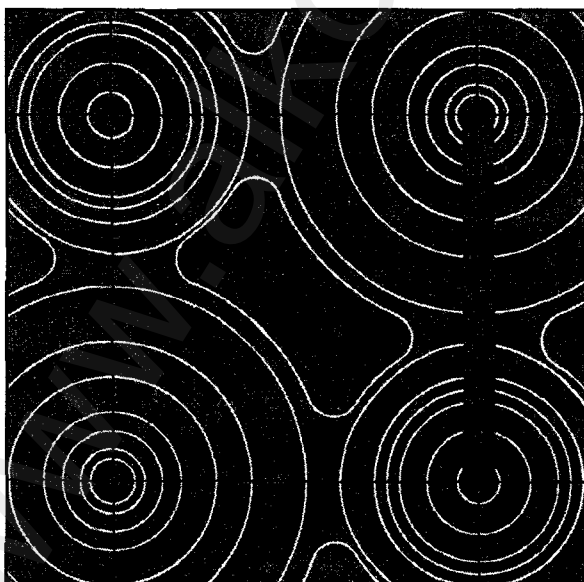
ويكمننا -على وجه العموم- اعتبار كل الأيونات داخل بلورة مكعبية بسيطة بأنها ذات قشرات إلكترونية مغلقة (مكتملة) كما في ذرات الغازات الخاملة. وعلى ذلك تكون الذرات المتعادلة في حالة فلوريد الليثيوم LiF -مثلاً- ذات هيئة إلكترونية على النحو التالي:



أما الأيونان وحيداً الشحنة فيكونان كما يلى:

$\text{Li}^+ : 1s^2$ ,  $\text{F}^- : 1s^2 \ 2s^2 \ 2p^6$  وهمما في هذه الحالة شبيهان بذرتي الهليوم والنيون على الترتيب.

علينا -إذن- أن نتوقع توزيعاً كروي التمايل للشحنة حول كل أيون في بلورة أيونية، وقد يكون هناك بعض التشوه في منطقة تماس الذرات المجاورة، كما تأكّد من دراسات الأشعة السينية للتوزيع الإلكتروني (الشكل ٧-٩).



شكل (٧-٩)  
توزيع كثافة الإلكترونات في المستوى القاعدي  
لبلورة كلوريد الصوديوم

## ١-٢-٩ طاقة الشبكة في البلورات الأيونية:

من المعروف أن قوى التجاذب بين أيونين مختلفي الشحنة ( $q \pm$ ) هي  $\frac{q}{r^2}$  ، أما إذا كان الأيونان متفقين في الشحنة فالقوى بينهما تنازليه وهي  $\frac{q}{r^2} +$  ، إذا كانت المسافة بينهما هي  $r$  . وعندما تتنظم الأيونات في تركيب بلوري ما ، فإن ذلك يكون عندما يتوازن أقوى تجاذب مع قوى التنازف التي تتجلى عند مسافات صغيرة بين قلب الأيونين . أما إسهام قوى «فان در فال» في طاقة التماسك داخل البلورة الأيونية فيكون ضئيلا ولا يتجاوز من 1 إلى 2 في المائة . أما الإسهام الرئيسي في طاقة الترابط للبلورات فيكون كهروستاتيكيا وتسمى الطاقة عندئذ «طاقة ماديلونج» .

هب أن لدينا أيونين ونرمز لهما بالرموز  $i$  و  $j$  ، وأن طاقة التفاعل بينهما هي  $U_{ij}$  . وتكون مجموع الطاقات  $U_i$  التي يشترك فيها الأيون  $(i)$  هي :

$$U_i = \sum_j' U_{ij} \quad (9-4)$$

حيث يضم المجموع  $\Sigma$  كل الأيونات فيما عدا الحالة  $j = i$  وإذا افترضنا أن  $U_{ij}$  هي مجموع جهد تنازفي لمجال مرکزى على الصورة  $\left( \frac{-r}{\rho} \right) \lambda \exp \left( \frac{-r}{\rho} \right)$  ، حيث  $\rho$  ،  $\lambda$  بaramترات تجريبية مضافا إليه جهد كولومي هو  $\frac{\pm q^2}{r}$  ، أى أن :

$$U_{ij} = \lambda \exp \left( \frac{-r_{ij}}{\rho} \right) \pm \frac{q^2}{r} \quad (9-5)$$

حيث تؤخذ الإشارة الموجبة (+) في حالة الشحنات المتشابهة والإشارة السالبة (-) للشحنات المختلفة . ويصف الحد التنازفي حقيقة أن القشرات الإلكترونية تتصرّف كما لو كانت كيانات صلبة متماسكة ، وأن كل أيون يقاوم التوزيعات الإلكترونية للأيونات المجاورة . وتعتبر الشدة  $\lambda$  والمدى  $\rho$  من الثوابت التي يتم تعينها من ثوابت الشبكة وقيم الانضغاطية . ويلاحظ أننا قد استخدمنا الصيغة الأساسية للتنازف بدلاً من صيغة  $R^{12}$  التي استخدمت من قبل في حالة الغازات الخامدة . وذلك لسهولة التعبير بها عن التنازف .

وستتناول بلورة كلوريد الصوديوم كمثال، وإذا تغاضينا عن تأثيرات السطح فإن الطاقة الكلية للشبكة  $U_{tot}$  لبلورة مكونة من  $N$  جزء أو  $2N$  أيون، فإن:

$$U_{tot} = N U_i \quad (9-6)$$

حيث  $U_i$  هي الكمية المعرفة في المعادلة (9-4) وقد استخدمنا  $N$  بدلاً من  $2N$  لأننا لابد وأن نعد كل زوج من التفاعلات مرة واحدة (أو كل رابطة مرة واحدة). أما الطاقة الكلية في (9-6) فهي الطاقة اللازمة لتفتيت البلورة إلى أيونات منفردة يبعد بعضها عن البعض مسافات لا نهاية.

ومن المناسب هنا أن نعرف كميات جديدة هي  $p_{ij}$  بحيث  $R = p_{ij} r_{ij}$ ، حيث  $R$  هي المسافة بين أقرب الجيران في البلورة وعلى هذا:

$$U_{ij} = \begin{cases} \lambda e^{-R/\rho} - q^2/R & \text{لأقرب الجيران} \\ \pm \frac{1}{p_{ij}} q^2/R & \text{لباقي الجيران} \end{cases} \quad (9-7)$$

ومن ثم ..

$$U_{tot} = N U_i = N \left( z \lambda e^{-R/\rho} - \frac{\alpha}{R} q^2 \right) \quad (9-8)$$

حيث  $z$  هو عدد أقرب الجيران من أي أيون، أما ..

$$\alpha = \sum_j \frac{(\pm)}{p_{ij}} \equiv \text{ثابت ماديلونج} \quad (9-9)$$

ولابد أن يشمل المجموع إسهام أقرب الجيران وهو العدد  $z$ . أما الرمز  $(\pm)$  فسيأتي ذكره بعد قليل. وتعتبر قيمة ثابت ماديلونج على جانب كبير من الأهمية في نظرية البلورات الأيونية.

وعند حدوث اتزان فإن المسافة بين الذرات يمكن تحديدها من الشرط الآتي:

$$\text{حيث } \frac{d U_{\text{tot}}}{d R} = 0$$

$$\text{أو } N \frac{d U_i}{d R} = - \frac{N z \lambda}{\rho} e^{-R/\rho} + \frac{N \alpha q^2}{R^2} = 0 \quad (9-10)$$

$$R_0^2 e^{-R_0/\rho} = \frac{\rho \alpha q^2}{z \lambda} \quad (9-11)$$

والمعادلة الأخيرة هي التي تعطى مسافة الاتزان  $R_0$  عندما تكون الثوابت  $\rho$ ،  $\lambda$  لقوى التنافر معروفة. يلاحظ أن المعادلات السابقة قد تم اشتقاقها على وحدات CGS، أما إذا أردنا التحويل إلى وحدات SI فعليها وضع  $q^2/4\pi\epsilon_0$  بدلاً من  $q^2$ .

وفي بلورة مكونة من  $2N$  أيون موزعة على موقع محددة بمسافات الاتزان  $R_0$ ، فإن الطاقة الكلية للشيكة تصبح -طبقاً للمعادلتين (9-8)، (9-11) - كما يلى:

$$U_{\text{tot}} = \frac{-N \alpha q^2}{R_0} \left( 1 - \frac{\rho}{R_0} \right) \quad (9-12)$$

ويعرف المقدار  $\left( -\frac{N \alpha q^2}{R_0} \right)$  بطاقة ماديلونج، حيث تقترب قيمة  $\rho$  من  $0.1 R_0$ ؛ أي أن طاقة التماسك يتحكمها إسهام ماديلونج. وكلما كانت قيمة  $\rho/R_0$  صغيرة، كان تغير قوى التنافر حاداً وكانت القوى ذات مدى قصير جداً.

وفيمَا يلى بعض القيم النموذجية لثابت ماديلونج لبعض البلورات الأيونية الشائعة. وقد حسبت على أساس أن الشحنات أحادية ومنسوبة إلى مسافة أقرب الجiran:

$\alpha$	التركيب
1.7476	كلوريد الصوديوم $\text{Na Cl}$
1.7627	كلوريد السيزيوم $\text{Cs Cl}$
1.6381	كبريتيد الرنگ $\text{Zn S}$

### ٣-٩ البلورات التساهمية

تعتبر الرابطة التساهمية هي الرابطة التقليدية بين زوج من الإلكترونات أو ما تسمى الرابطة متجانسة القطبية في مجال الكيمياء وخاصة الكيمياء العضوية. وهي رابطة قوية: إذ تبلغ طاقة التماسك في رابطة بين ذرتى كربون في بلورة الماس نحو  $7.3 \text{ eV}$  بالنسبة للذرتين متعادلتين ومتفصلتين. وتقرب هذه القيمة نظيرتها في البلورات الأيونية على الرغم من أن الرابطة التساهمية تقوم بين الذرات المتعادلة ويكون لها خواص اتجاهية قوية. ويدرك أن الكربون والسليلكون والجرمانيوم تتخذ تركيب الماس، أي أن كل ذرة ترتبط مع أربعة من أقرب الجيران، بحيث تكون الزوايا المحددة للمجسم هي من نوع زوايا الشكل رباعي الأوجه، على الرغم من أن هذا الترتيب يؤدي إلى إشغال منخفض للحيز المتاح، فالكرات في تركيب الماس تماماً نحو 0.34 من الحيز، مقارنة بنحو 0.74 في حالة التركيب متلاصق الرص. وتسمح الرابطة رباعية الأوجه بوجود أربعة جيران، في حين يسمح التركيب متلاصق الرص بوجود اثنى عشر من أقرب الجيران.

ت تكون الرابطة التساهمية -عادة- من إلكترونين، واحد من كل ذرة من الذرتين المشتركتين في الرابطة. ويميل هذان الإلكترونون إلى احتلال موقع في المنطقة الواقعة بين الذرتين اللتين تصل الرابطة بينهما. ويكون لف إلكترونى الرابطة متوازيين ومتضادين.

وهناك عدد كبير من البلورات التي يتراوح الترابط بين ذراتها بين الأيوني والتساهمي، ولذا كان من الأهمية تحديد مدى «أيونية» الرابطة وهذا ما يبينه الجدول (٢-٩)، حيث تصل نسبة الأيونية إلى نحو 96% في فلوريد الروبيديوم  $\text{Rb F}$  و 18% في كربيد السليلكون  $\text{Si C}$ .

ويعتبر الترابط القائم في جزء الهيدروجين  $\text{H}_2$  مثلاً بسيطاً على الرابطة التساهمية. ويكون الترابط أقوى ما يمكن عندما يكون اللسان الإلكترونيان متوازيين ومتضادين.

جدول (٢-٩)  
نسبة الطبيعة الأيونية في روابط  
البلورات الثنائية

البلورة Crysta	الطبيعة الأيونية Fractional ionic character	البلورة Crysta	الطبيعة الأيونية Fractional ionic character
Si	0.00	CuCl	0.75
SiC	0.18	CuBr	0.74
Ge	0.00	AgCl	0.86
ZnO	0.62	AgBr	0.85
ZnS	0.62	Agl	0.77
ZnSe	0.63	Mgo	0.84
ZnTe	0.61	MgS	0.79
CdO	0.79	MgSe	0.79
CdS	0.69	LiF	0.92
CdSe	0.70	NaCl	0.94
CdTe	0.67	RbF	0.96
InP	0.44		
InAs	0.35		
InSb	0.32		
GaAs	0.32		
GaSb	0.26		

#### ٤- البلورات الفلزية:

تتميز الفلزات -كما هو معروف- بارتفاع قيم التوصيل الكهربائي بها نتيجة لكبر عدد الإلكترونات القادر على الحركة بحرية تحت تأثير المجال الكهربائي، حيث يتراوح عددها بين إلكترون واثنين لكل ذرة. وهذه الإلكترونات هي ما تعرف بالكترونات التوصيل. والتفاعل بين قلوب الأيونات وتلك الإلكترونات في بعض الفلزات هو السبب الرئيسي للقيم المعروفة لطاقة الترابط.

ويمكن اعتبار بلورات الفلزات القلوية مكونة من صفوف متراصمة من الشحنات الموجبة المغمورة في «بحر» متجانس تقريباً من الشحنات السالبة. أما في الفلزات الانتقالية فإن المقدرات الإلكترونية الداخلية تسهم بترتبط إضافي، حيث تتمتع تلك الفلزات وما يتلوها من فلزات في الجدول الدوري للعناصر بقدرات إلكترونية كبيرة من النوع d ولها طاقة ترابط كبيرة. وقد يعزى ذلك جزئياً إلى الترابط التساهمي وقوى «فان در فال» القائمة بين القلوب الأيونية. ومثال ذلك ما يحدث في حالة الحديد والتنجستين حيث تسهم الإلكترونات الواقعة في المقدمة d بشكل كبير في طاقة الترابط.

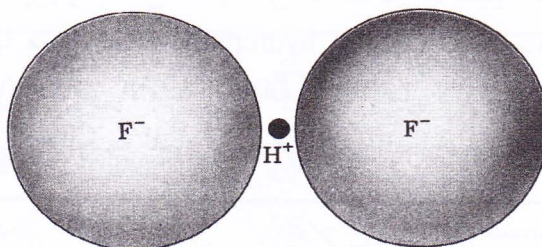
على أن طاقة الترابط في بلورة فلز قلوي أقل بكثير من تلك التي لبلورة من الهاليدات القلوية. مثل كلوريد الصوديوم  $\text{Na Cl}$  لأن الرابطة التي ينشئها إلكترون توصيل شبه حر لا تكون قوية جداً. كما أن المسافات البينية في الفلزات القلوية كبيرة نسبياً، وذلك يجعل طاقة حركة الإلكترونات أقل مما يؤدي وبالتالي إلى ضعف الترابط. وتقليل الفلزات -بوجه عام- إلى التبلور في هيكل متلاصق الرص نسبياً مثل النظام السادس متلاصق الرص  $h c p$ ، والمكعبي متمركز الأوجه  $f c c$  والمكعبي متمركز الجسم  $b c c$  وغيرها.

## ٥-٩ البلورات ذات الرابطة الهيدروجينية

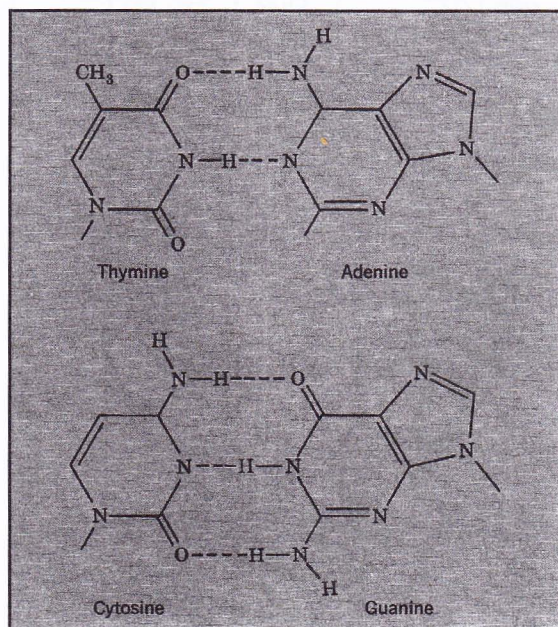
تمثل ذرة الهيدروجين المتعادلة إلكتروناً واحداً؛ ولذلك تكون رابطة تساهمية مع ذرة واحد مثلها فقط وإن كان من المعروف أنه تحت ظروف معينة قد تنجدب ذرة هيدروجين بشدة نحو ذرتين بحيث تتناوب الاقتراب من كل منهما على حدة وتنشأ رابطة يطلق عليها رابطة هيدروجينية بين تلكما الذرتين. وتبلغ طاقة هذه الرابطة نحو  $0.1 \text{ eV}$

ويعتقد أن الرابطة الهيدروجينية ذات طابع أيوني لكونها تنشأ بين أكثر الذرات سالبة الشحنة مثل الفلور F والأكسجين O والنيتروجين N. وتقوم ذرة الهيدروجين -في الحالة الأيونية القصوى للرابطة الهيدروجينية- بفقد إلكترونها لكي يلتحق بذرة أخرى في الجزء، ثم يقوم البروتون (أيون الهيدروجين) بتكوين الرابطة الهيدروجينية. ويتيح صغر حجم البروتون حيزاً لذرتين فقط من أقرب الجيران؛

وذلك لأن الذرتين الملاصقتين للبروتون تكونان قريبتين جداً من بعضهما البعض بحيث لا يتسع الحيز لوجود ذرة ثالثة، أي أن الرابطة الهيدروجينية لا تصل إلا بين ذرتين فحسب (الشكل ٨-٩).



شكل (٨-٩)  
أيون ثنائي فلوريد الهيدروجين



شكل (٩-٩)  
الرابطة الهيدروجينية في DNA

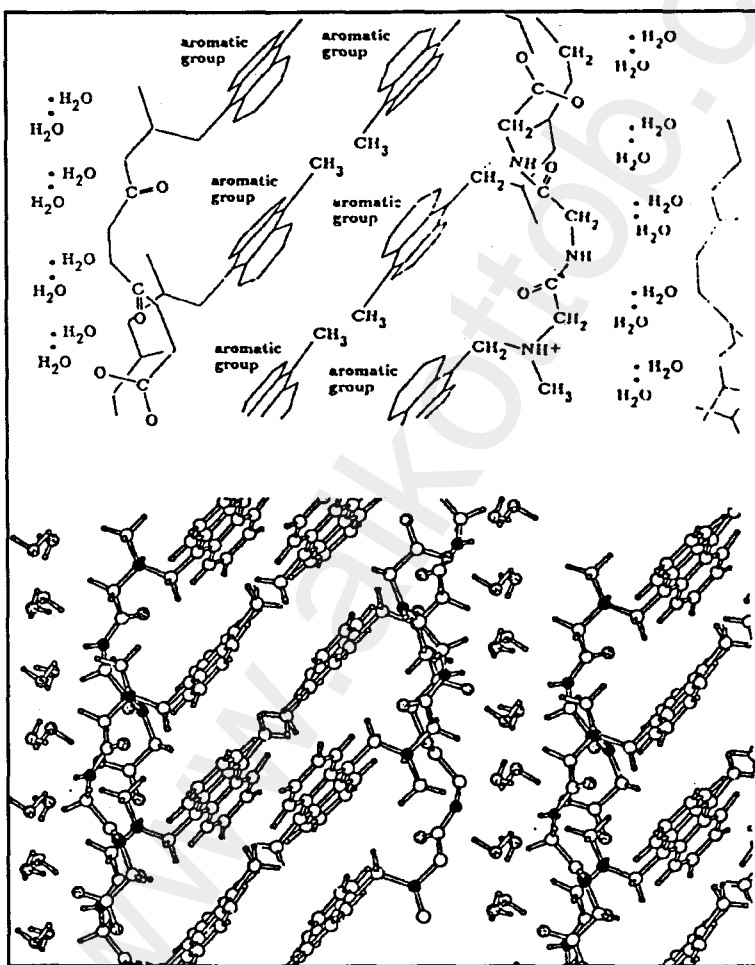
وتمثل الرابطة الهيدروجينية ركناً مهماً من التفاعل بين جزيئات الماء  $H_2O$ ، وتكون مسؤولة - جنباً إلى جنب - مع التجاذب الكهروستاتيكي بين عزوم ثنائيات القطب - عن الخواص الفيزيائية المبهرة للماء والثلج. وهي مسؤولة أيضاً عن تبلمر فلوريد الهيدروجين وحامض الفورميك. وتلعب الرابطة - أيضاً - دوراً كبيراً في حالة بعض البلورات الفروكهربية مثل فوسفات البوتاسيوم ثنائية الهيدروجين  $KH_2PO_4$ .

وكذلك في علم الوراثة الجزيئية حيث تحكم جزيئاً في تزاوج خيطي جزء DNA (انظر الشكل ٩-٩).

## ٦-٩ التعبئة في البروتينات والبيوليبيتيدات:

### Packing in Polypeptides and Proteins

ت تكون البروتينات من العديد من الأحماض الأمينية التي تحتوى على سلاسل جانبية بعضها محب للماء hydrophilic وبعضها كاره للماء hydrophobic والمب丹 الأساسي أن الأحماض الأمينية الكارهة للماء تمثل لأن تستقر في قلب البروتين بينما السلاسل الجانبية المحبة للماء تكون في الأطراف الخارجية شكل (٩-١٠) وقابلية

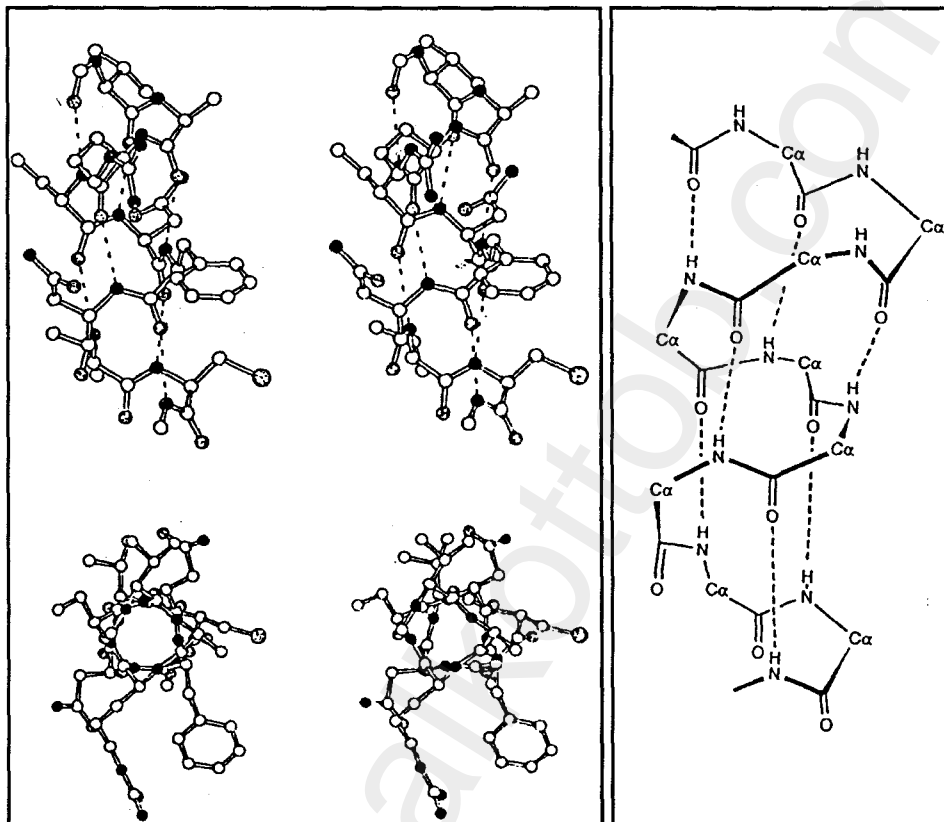


شكل (٩-١٠)

١- يوضح عملية التعبئة لجزيئات من البيوليبيتيدات وكيفية عزل الأجزاء المحبة للماء والكارهة للماء في أماكن مختلفة.

ب- يوضح التركيب البلوري ووجود جزيئين من الماء لكل جزء من البيوليبيتيد.

الانجداب للماء للوحدات الكربونية والأمينية في العمود الفقرى للبروتين تتعادل بواسطة روابط هيدروجينية كما هو الحال في الجلزون  $\alpha$  (أشكال ١١-٩، ١٢-٩، ١٣-٩).



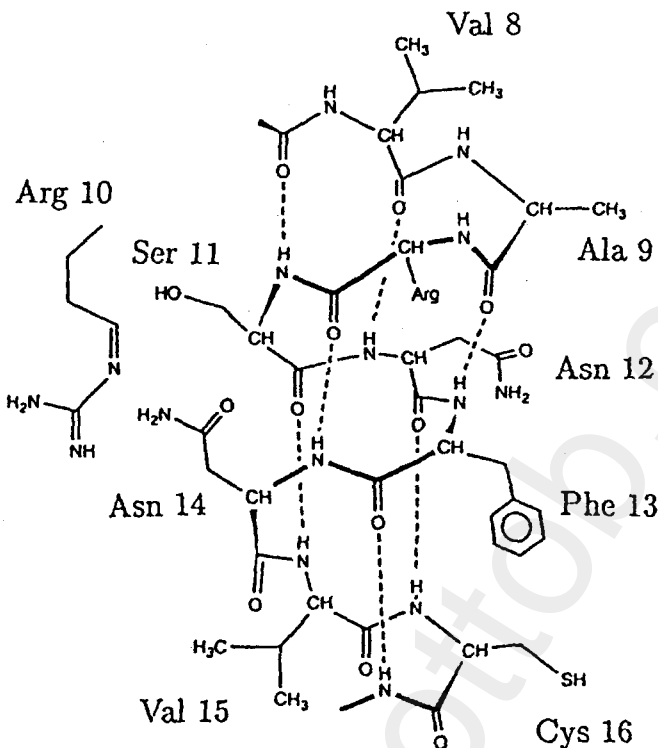
شكل (١٢-٩)

لقطات توضح الشكل الفراغي لللوبل  $\alpha$  اخذت عمودية على المحور اللولبي

شكل (١١-٩)

شكل اللوبل  $\alpha$  يوضح أهمية الروابط  
الهيدروجينية

تأثير عملية التعبئة في البلورات على الشكل الهندسى للجزئيات له أهمية لأنه يجيب على السؤال: هل شكل الجزء في البلورة هو نفسه (كشكل له طاقة منخفضة وليس بالضرورة الشكل ذا الطاقة الدنيا) الموجود في المحاليل أو الغازات فتأثير عملية التعبئة بصفة عامة له تأثير متواضع على الشكل الهندسى للجزئيات إلا أن طاقة التعبئة ربما ترجح أحد الأشكال على الآخر.



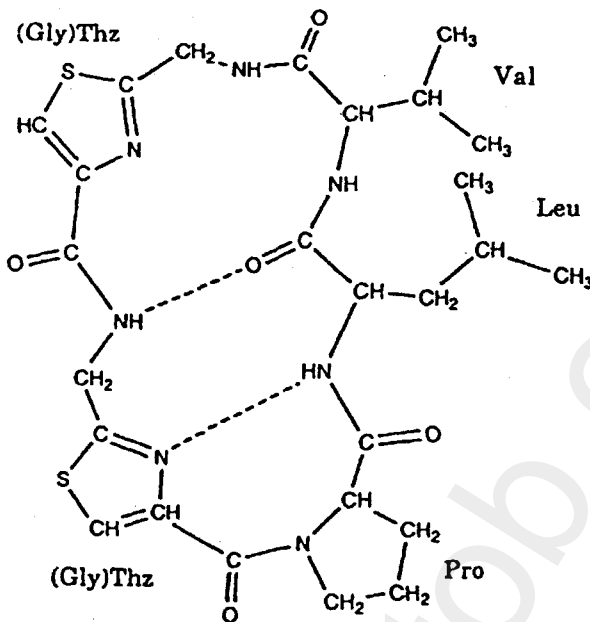
Val 8-Ala 9-Arg 10-Ser 11-Asn 12-Phe 13-Asn 14-Val 15-Cys 16

شکل (۹-۱۳)

## ترتيب الاحماض الامينية في جزء من بيروت

وعلى أي حال فإنه من المحتمل أن تكون الظروف التي تتم فيها إثبات البلورة هي التي تجعل الشكل الهندسي للجزء هو نفسه الشكل الموجود في محلول حتى لو أنه ليس بالضرورة الشكل الموجود بصورة متشرة popular.

وقد تمت دراسة أمثلة كثيرة، وعلى سبيل المثال فإن خماسي البيتيد الحلقي cyclic pent peptide تكون بلورته من أربعة جزيئات في الوحدة اللامتماثلة بالإضافة لعدد سبعة جزيئات من التولوين Toluene وجزيئين من الميثانول methanol، وقد وجد أن الشكل الهندسي لجزيئات البيتيد الأربعية متساوية تماماً عدا بعض الاختلافات البسيطة كما في الشكل (١٤-٩) وهذا يبرهن على تغير الشكل الجزيئي داخل البلورة.



شكل (١٤-٩)

أربع جزيئات من البيتيد في الوحدة الامثلة للوحدة البنائية للبلورة

## ٧-٩ التعبئة في بلورات المواد العضوية:

تشكل المواد العضوية الجزء الأكبر من البلورات الجزيئية حيث توجد بلورات جزيئية مكونة من بعض المواد غير العضوية مثل المكونة من ذرات التتروجين والفوسفور، أما بلورات المواد العضوية فكلها بلورات جزيئية ماعدا الأملاح العضوية؛ ولذلك فإن علم فيزياء البلورات الجزيئية هو علم فيزياء بلورات المواد العضوية والمبدأ الأساسي لعملية التعبئة المتلاصقة للجزيئات close packing في البلورة يكمن في توصيف طاقة التفاعل بين الجزيئات على أنها مجموع التفاعلات للذرارات التي تكون هذه الجزيئات، وهذه الفكرة جعلت العالم كيتايجو رودسكي Kitaigorodsky يفترض شكلا آخر أدق للجزيء أسماه الشكل الفيزيائي، والشكل الفيزيائي للبلورة المادة العضوية له أهمية تنبؤية Predictive أكثر من الشكل الهندسي لأنه باستخدام هذا الشكل يمكن حساب التركيب البلوري بدقة أكثر، وبجانب ذلك يمكن تقدير الخواص الحرمو ديناميكية Thermodynamic Properties للمركب في البلورة.

## ١-٧-٩ النموذج الهندسي: Geometrical Model

الأوضاع المتبادلة بين الجزيئات تحدّد بأطوال النهاية الصغرى للأبعاد بين الجزيئات المتتالية، وفي معظم الأحيان تكون عملية التعبئة للجزيئات معتمدة على تفاعل ذرات الأيدروجين مع بعضها أو تفاعلها مع ذرات أخرى، وبدراسة كل ظواهر التعبئة للجزيئات في بلورات المواد العضوية وهي التماثل في الترتيب وزوايا الانحناء والعلاقة بين كثافة الرص وخواص البلورات تؤيد فكرة التعبئة الملاصقة Close packing، ويمكن القول أن التركيب الذي نحصل عليه هندسياً يعطينا نتائج تكون متفقة لدرجة ممتازة مع النتائج العملية، كذلك يمكن القول أنه عند درجة الصفر المطلق يكون التركيب البلوري متفقاً أكثر مع التركيب الذي نحصل عليه هندسياً عن الانفاق الذي نحصل عليه عند المقارنة بالتركيب عند درجة  $k^{\circ} 300$  التي تجرى عندها التجارب العملية لحيود الأشعة السينية.

## ٨-٩ الطريقة النظرية لتعيين التركيب البلوري:

استخدم كثير من العلماء بنجاح طريقة التعبئة في البلورة للوصول إلى معرفة مبدئية لشكل التركيب، وحساب الشكل التركيبي المبدئي يمكن أن يسبق استخدام تحليل نتائج حيود الأشعة السينية من البلورة، وفي الوقت الحالى أصبح في الإمكان توظيف الحاسوبات الإلكترونية لإجراء مثل هذه التحاليل الهندسية أى حساب كل الأوضاع الممكنة للجزيئات بافتراض معرفة شكلها وكذلك حجم وتماثل الوحدة البنائية، ويستخدم التركيب الذي يكون ممكناً من الناحية الهندسية يمكن أن نحصل على التركيب الصحيح والدقيق؛ وذلك من تحليل نتائج شدة الانعكاسات لحيود الأشعة السينية من البلورة.

## ١-٨-٩ النموذج الفيزيائي: Physical Model

إن تفسير التركيب الثابت في حالة المواد العضوية وكذلك تفسير خواصها الطبيعية يتم بالأخذ في الاعتبار الطاقة الحرية للبلورات Crystal free energy فالجزيئات أو الأيونات تُعبأ بطريقة منتظمة بحيث إن الطاقة الحرية للنظام ككل تكون نهاية صغرى، وهذه التعبئة يمكن تعينها عن طريق القوى بين الذرات معبراً عنها بالحجم والشكل والشحنات وثنائيات الأقطاب للجزيئات أو الأيونات المفردة.

وتكون الطاقة الحرجة في البلورات نهاية صغرى بالنسبة لترتيب الجزيئات والأيونات بداخلها، وأحد الأدلة المهمة على وجود القوى بين أجزاء مكونات البلورات هي الطاقة اللازمة لتبييض البلورات إلى مكوناتها من جزيئات وأيونات، وبعض هذه القيم كالتالي:

في حالة البلورات الأيونية مثل كلوريد الصوديوم تكون الطاقة اللازمة لكسر البلورات إلى مكوناتها من أيونات هي  $247 \text{ kcal/mole}$ .

وفي حالة البلورات ذات الروابط التساهمية مثل الماس تكون الطاقة  $170 \text{ k cal/mole}$ .

والبلورات الجزيئية Molecular crystals تحتوى على مجتمعات مرتبطة بروابط فان در فال Vander Waals وروابط هيدروجينية وغيرها وفي حالة ثاني أكسيد الكربون مثلا تكون الطاقة في حدود  $6 \text{ k cal/mole}$  وقوى الجذب بين الجزيئات في البلورات هي قوى كهربائية. فالجزيء له خواص كهربية حتى لو كان متعادل الشحنة (أي أن مجموع الشحنة عليه تساوى صفراء) ولكن نأخذ في الاعتبار هذه الخاصية فعلينا أن نعتبر الجزيء ثنائى قطب فإذا كانت كل الجزيئات في المادة لها عزم ثنائى قطب ثابت فإن ذلك يؤدي إلى تفاعل بين الجزيئات بعضها البعض، ويمكن القول بأنه دائما يكون هناك تفاعل بين ثنائى أقطاب لحظية فكل جزء يعبر ثنائى قطب لحظى عند كل لحظة من الوقت؛ وذلك لأن مركز نقل الإلكترونات لا يكون منطبقا أبدا مع مركز نقل الأنوية.

وقوى التجاذب المتعددة تتعادل مع قوى التناحر بين السحب الإلكترونية للجزئيات المجاورة، فمبدأ باولى للاستبعاد لا يسمح بتدخل السحب الإلكترونية؛ لذلك فإن قوى التجاذب يجعل الجزيئات تتماس.

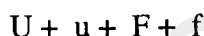
ومع أن طاقة الروابط تتغير في البلورات الجزيئية بشكل ملموس إلا أن المسافات بين الجزيئات تعتمد على درجة الاستقطاب، وكذلك على طاقة الربط وغيرها، ومن الواضح أن الأبعاد بين الجزيئات يمكن تعينها من الحدود الواضحة التي تحوى بداخلها السحابة الإلكترونية للجزيء.

وشكل الجزيء يحدد طبيعة تعبئة الجزيئات وكذلك الأبعاد بينها. أما استقطاب الجزيئات وكذلك قوى التجاذب فهي لا تؤثر على الأبعاد بين الجزيئات، وأيضا لا

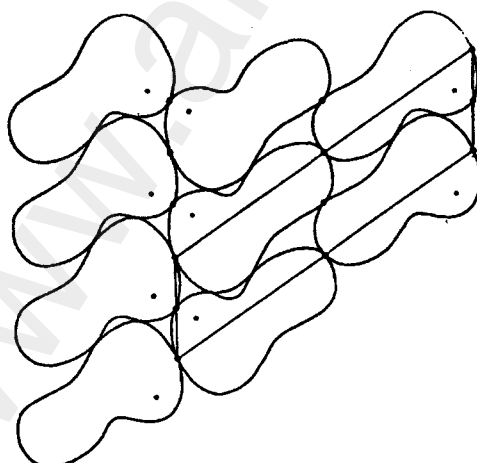
تؤثر على ميل الجزيئات للتبعبة الملاصقة؛ وعلى هذا ففى كل الأحوال يمكن الوصول إلى النهاية الصغرى للطاقة بعملية التبعبة الملاصقة للجزيئات، حيث إن البلورات الجزئية تتبع نظرية التبعبة المحكمة (compact packing) إلا أن البعض فقط من أنواع التركيبات والتماثل هى التي توجد داخل مثل هذه البلورات.

ومن الواضح أنه يمكن النظر إلى عملية التبعبة للجزيئات على أنها تبعبة محكمة لطبقات مضغوطه كما في الشكل (١٥-٩). وجدير بالذكر أن ٩٠٪ من بلورات المواد العضوية تتكون من مثل هذه الطبقات وفيها ترص الجزيئات بالطريقة الموضحة كخط متعرج (Zigzag) ويتم حساب الطاقة الحرجة للبلورات على أنها مجموع طاقات الوضع بين الذرات بالإضافة لطاقة ذبذبة الذرات وكل منها يمكن أن يقسم إلى نوعين:

- ١- الناشئة بين الذرات المكونة لجزيئات مختلفة intermolecular .
- ٢- الناشئة بين الذرات داخل الجزيء الواحد intramolecular .



ولحساب الطاقة بين الجزيئات في الشبيكة البلورية تستخدم عادة طريقة شبه تجريبية (semi empirical) .



شكل (١٥-٩)  
تبعبة مضغوطه للجزيئات (محكمة الطبقات)

## ٢-٨-٩ الجهد بين الذرات: Atom- Atom Potentials

حيث إنه لا يوجد تبادل للإلكترونات في التفاعلات بين الجزيئات المشبعة saturated molecules لذلك فإن حساب طاقة الوضع للجزيئات يكون أكثر سهولة وحساب مثل هذه الطاقة باستخدام ميكانيكا الكم يقابل ببعض الصعوبات؛ ولذلك تستخدم غالباً طريقة شبه تجريبية semi empirical لحساب التفاعل بين الجزيئات في الشيكة البلورية، وأهم مميزات هذه الطريقة لدراسة المواد العضوية هي أنها تسمح باختيار الجهد بين الذرات من نتائج عملية لبعض فصائل المركبات ليتم استخدامها للتنبؤ predicting بخواص المركبات الأخرى التابعة لنفس الفصيلة إلا أنه في هذه الطريقة ربما تهمل قوى التجاذب الإلكتروستاتيكية من البلورات الجزيئية وهي الناجمة عن وجود عزوم دائمة في الجزيء ومثل هذه التفاعلات لا تلعب دوراً مهماً في الشيكة.

أى أن قوى التفاعل في البلورة تتضمن قوى التجاذب متفرقة وقوى تنافر نتيجة تراكم القشierات الإلكترونية (مجموع هذه التفاعلات يسمى تفاعلات ثان درفال) بالإضافة للتفاعلات الكهروستاتيكية بفرض أن الجزيئات لها عزوم قطبية متعددة دائمة.

حساب طاقة التجاذب غالباً ما يكون معتمداً على نظرية لندن التي وضعت London's theory 1930 وحسب هذه النظرية تكون طاقة التجاذب بين جسمين لهما مماثل كروي على مسافة كبيرة بالنسبة لحجميهما متناسبة عكسياً مع القوة السادسة للمسافة الفاصلة بينهما أي ..

$$U = - A r^{-6} \quad (9-13)$$

ومعادلة لندن تطبق على الجزيئات الكاملة (أو على الجزيئات وحيدة الذرة للغازات الخامدة) وقيمة الثابت  $A$  يمكن حسابه إما من نتائج تجريبية أو empirical باستخدام ميكانيكا الكم.

أما طاقة التنافر فتحسب من المعادلة التي وضعت أولاً بواسطة بورن وباللينج Born and Pauling للتنافر بين الأيونات  $Br^{-n}$  أو  $Be^{-\alpha r}$  وقيم  $B$  ،  $n$  ،  $\alpha$  تختار من النتائج التجريبية.

وتحتيبة للحقيقة التي وضحت وهي أن الجزيئات تكون ترتيباً متلاصقاً التعبئة (close packings) في البلورات العضوية وأن ذرات كل جزء تمثل لأن تأخذ مواقع لها بين ذرات الجزء المجاور ولذلك ملتصق أكثر مما يمكن بهذا الجزء أصبح المقترن ليس إجراء عملية التجميج على الجهود بين الجزيئات ولكن أيضاً على الجهود بين الذرات (الطاقات بين الذرات) ولتوسيع التفاعل بين الذرات غير المرتبطة بروابط كيميائية التابعة لجزئيات مختلفة يمكن استخدام معادلة لندن لقوى التجاذب بين الذرات والمعادلة الأساسية لحساب قوى التناحر، وهذه المعادلة تطبق على الذرات وليس على الجزيئات أو على مجموعات من الذرات وذلك لأنه:

أولاً: قيمة عزوم ثانوي القطب المتوسطة الثابتة لمنظومة الإلكترونات للذرة الواحدة تكون دائماً متساوية للصفر وهو ما لا يمكن تطبيقه على مجموعة من الذرات.

ثانياً: إن الدراسات التي أجريت باستخدام حيود الأشعة السينية أوضحت أنه يمكن الحصول على نتائج متفقة بشكل كبير مع النتائج العملية إذا قمت بالحسابات باستخدام معاملات تشتت للذرة متساوية في جميع الاتجاهات isotropic وأن شكل الكثافة الإلكترونية تبدو وكأنها تراكم لذرات لها تماثل كروي كذلك من الناحية القطبية يمكن اعتبار الذرات متساوية في جميع الاتجاهات.

الطريقة التجريبية لتعيين قيم الثوابت  $A$  ،  $B$  ،  $\alpha$  لكل المسافات القصيرة والطويلة تبدو أنها الطريقة الممكنة لحساب الجهود بين الذرات ودراسة الجزيئات في البلورات العضوية تعطينا معلومات مهمة لأنها من خصائص المواد العضوية أن الجزيئات المختلفة اختلافاً كبيراً تكون مكونة من عدد محدود من الذرات المختلفة.

وحساب طاقة التفاعل الكهروستاتيكية في البلورات الجزيئية عملية معقدة غالباً ما يهمل حسابها عند استخدام طريقة الجهود بين الذرات عند حساب التركيب للمواد العضوية.

### ٣-٨-٩ حساب التركيب بمساعدة الجهد بين الذرات:

#### Calculation Structure with the help of atom- atom potentials

حيث إنه يمكن إهمال الطاقة الكهروستاتيكية وتأثيرها على طاقة الربط للشبكة البلورية فلذلك فإن حساب هذه الطاقة يمكن أن يقتصر على حساب الطاقة الناتجة عن تفاعلات قان درفال Van der Waals Interactions.

وباستخدام هذه الطريقة التقريرية تكون طاقة الربط الناتجة عن تفاعلات قان درفال هي مجموع طاقات المتجهات التي تربط الذرات المكونة لجزء واحد بكل الذرات للجزيئات المجاورة أى أن:

$$U = \frac{1}{2} \sum_{j=1}^k \sum_{j=k+1}^{\infty} \left( -Ar_{ij}^{-6} + Be^{-\alpha r_{ij}} \right) \quad (9-14)$$

وبصفة عامة فإن القيم  $\sum_{j=1}^k r_{ij}$  و  $\sum_{j=k+1}^{\infty} e^{-\alpha r_{ij}}$  يمكن حسابها باستخدام الحاسوب الآلى وحيث إن طاقة قان درفال تتناقص بازدياد المسافة فإنه يمكن إجراء الحسابات فقط للمسافات التي لا تزيد عن 15 Å أو 20 Å، وقد أثبتت بعض الحسابات أنه في بعض البلورات العضوية يكون الخطأ في هذه الحالة لا يتعدى 0.1%， ومن المهم الإشارة إلى أنه في بعض الأغراض العملية يمكن أن يكون نصف القطر للتجميع أقل من ذلك، وتحبب الإشارة إلى أنه نتيجة لبعض العمليات الفيزيائية التي تتضمن تشوهها أو تتمدد حرارياً أو انضغاطاً وغيرها يحدث تغير في شكل وحجم الوحدة البنائية وكذلك ترتيب الجزيئات بالنسبة لبعضها البعض، وتبعاً لذلك يحدث تغير لطاقة الشبكة البلورية ولكن نأخذ في الاعتبار هذه التغيرات سنقوم بتعريف طاقة الربط للشبكة البلورية على أنها دالة متعددة الأبعاد للمتغيرات الآتية:

المسافات البنية للشبكة البلورية  $\gamma, \beta, \alpha, b, c$  ، ثم زوايا أوليريان Eulerian angles  $\theta, \varphi, \psi$ ، وهي التي تحدد وضع الجزء بالنسبة لمحاور البلورة ثم إحداثيات مركز ثقل الجزء  $X, Y, Z$ .

$$\therefore U = u(a, b, c, \alpha, \beta, \gamma, \theta, \varphi, \psi, X, Y, Z)$$

وفي معظم الأحيان يمكن الافتراض أن الاختلافات في التغيرات السابقة لا تؤثر على ترتيب الذرات داخل الجزيء.

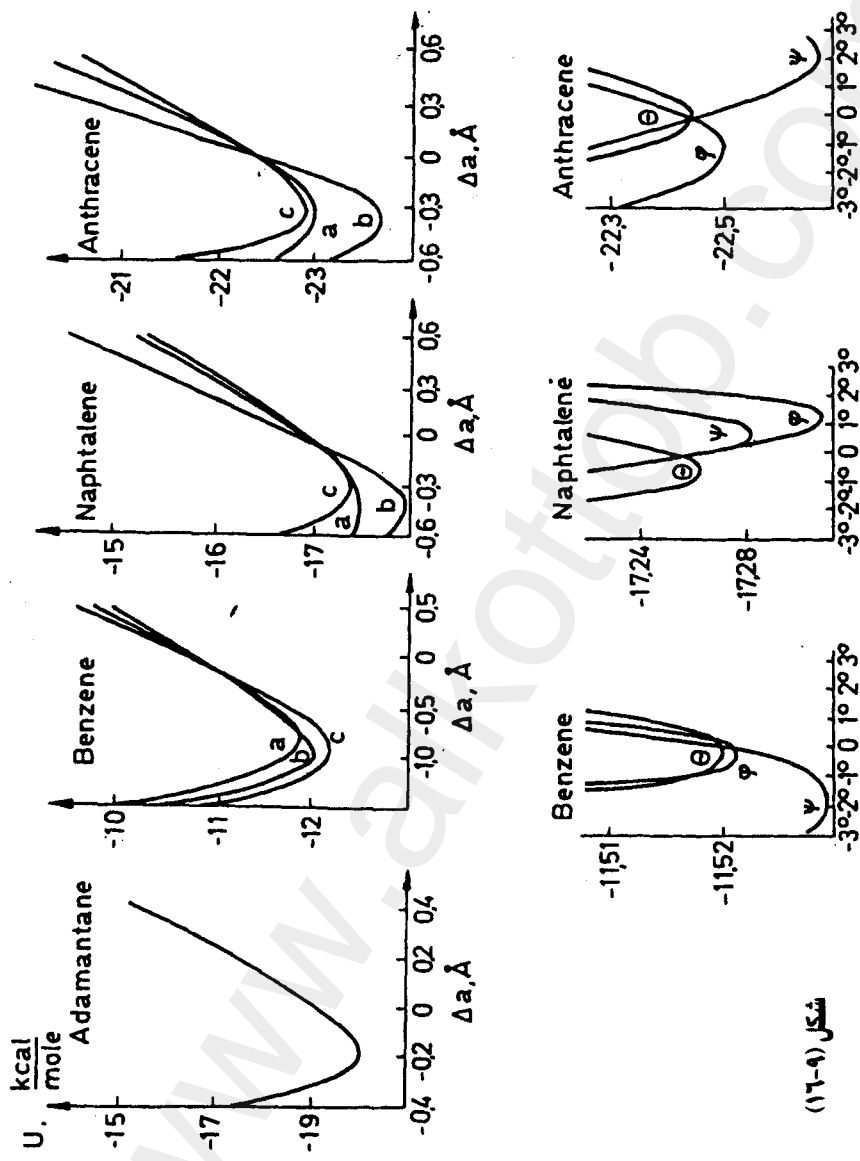
ويمعرفة شكل السطح متعدد الأبعاد يمكننا حساب بعض الخواص الطبيعية للبلورات نتيجة طاقة الربط ل الشيكة البلورية عند نقطة النهاية الصغرى والتي يمكن تعينها بدرجة من الدقة في حدود طاقة التذبذب عند نقطة الصفر zero point، فطاقة الربط عند النهاية الصغرى تساوى حرارة التبخير للبلورة عند نقطة الصفر المطلق (طاقة نقطة الصفر لمعظم البلورات الجزيئية لا تتعدي 1-2%) والتفاضل الثاني لطاقة الشيكة البلورية بالنسبة للتشوه عند نقطة النهاية الصغرى للطاقة يعطينا معامل المرونة عند درجة الصفر ( $0^{\circ} \text{K}$ ).

البلورات المكونة من ذرات من الكربون والأيدروجين تعتبر هدفا (object) مناسبا لاختبار دقة طريقة الجهد بين الذرات عندما تطبق على البلورات الجزيئية فكما ذكرنا من قبل يمكن إهمال مساهمة القوى الكهروستاتيكية وكذلك ذبذبة نقطة الصفر zero point oscillation في حرارة التبخير أو التسامي sublimation وكذلك في التركيب المتزن في مثل هذه البلورات وبذلك يكون سطح الربط الناتج من طاقة تفاعل ثان درقال بمفرده هو الذي يفسر الخواص الطبيعية للبلورات بدرجة كبيرة من الدقة ولحساب طاقة التفاعل للجزيئات الهيدروكربونية نحتاج لثلاثة منحنيات لطاقة التفاعل بين الذرات هي  $\text{CC}$ ,  $\text{CH}$ ,  $\text{HH}$  وفي المراحل الأولى لاختبار هذه الطريقة كتبت برامج على الحاسوب الآلي لحساب طاقة الربط ل الشيكة البلورية لبعض المركبات بمقارنة النتائج مع القيم العملية وفيما يلى بعض القيم :

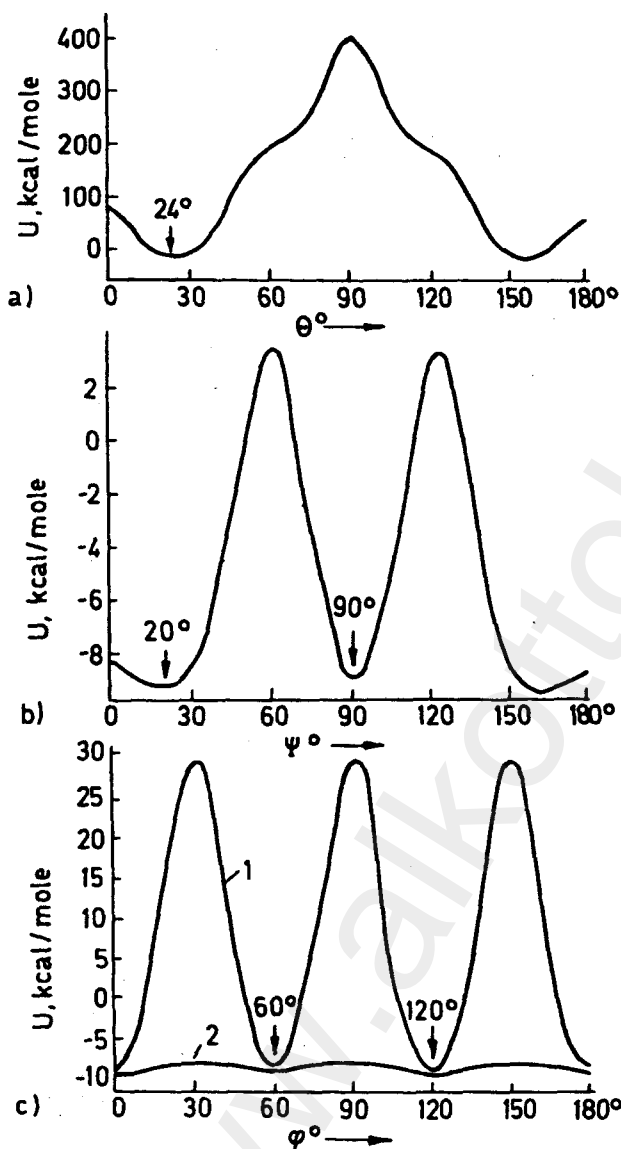
### حرارة التبخير (التسامي) النظرية

حرارة التبخير (التسامي) العملية	
10.0 kcal/ mole	البنزين
16.7 kcal/ mole	الفثالين
22.6 kcal/ mole	الانثرين
12.7 kcal/ mole	الأدامستان

انظر شكل (٩-١٦)، (٩-١٧).



شكل (١١-٩)

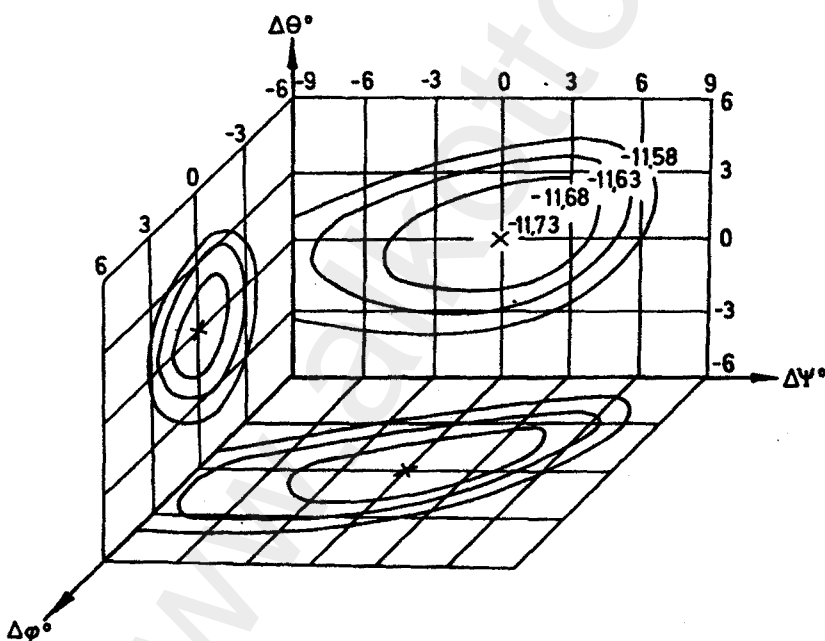


شكل (١٧-٩)

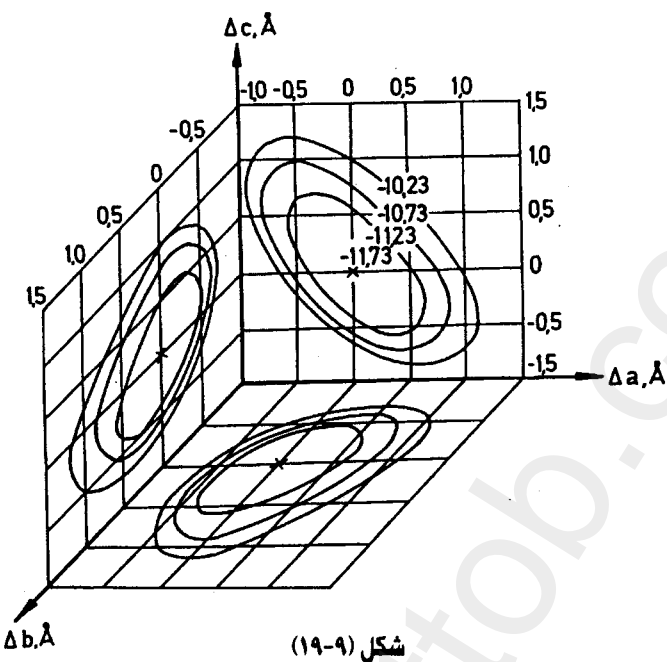
تعين الوضع المترن للجزيئات في الشبكة البلورية بقيم  
معينة لأبعاد الوحدة البنائية

- $U(\theta)$  with  $\varphi = 0^\circ$ ;  $\psi = 0^\circ$ ;
- $U(\psi)$  with  $\theta = 24^\circ$ ,  $\varphi = 0^\circ$ ;
- $U(\varphi)$  with  $\theta = 24^\circ$  and  $\psi = 20^\circ$

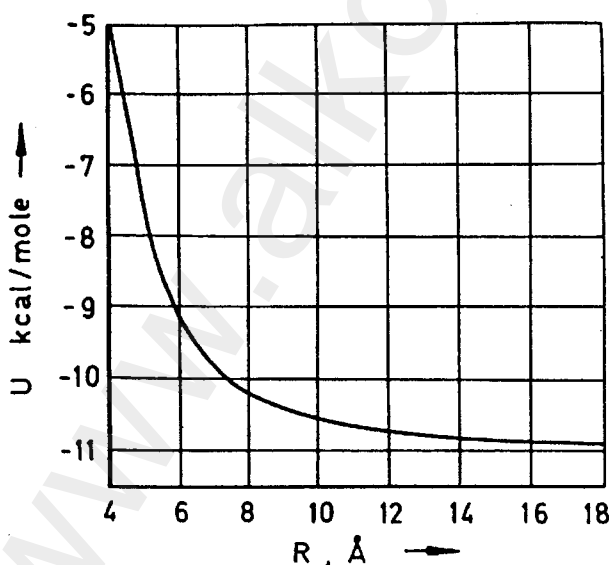
وإحداثيات النهاية الصغرى لسطح الطاقة الكلية مع كل التغيرات يجب أن يكون في هذه الحالة أيضا تكون الجهد بين النرية مماثلة لتركيب الشبكة البلورية بدرجة كبيرة من الدقة، ويوضح شكلا (١٨-٩، ١٩-٩) تغير الطاقة  $U$  مع  $a, b, c, \theta, \varphi, \psi$ . وشكل (٢٠-٩) يوضح تغير قيمة  $U$  مع نصف قطر التجميع ولدراسة التركيب البلوري عند درجة الصفر المطلق يكون المطلوب قيمة النهاية الصغرى لسطح الطاقة عند القيم المتغيرة الست ألا وهي ( $\psi, \theta, \varphi, a, b, c$ ) وحسب المعنى الفيزيائى لهذه التغيرات يمكن أن تنقسم إلى مجموعتين الأولى هى مجموعة زوايا تحديد ميل الجزء على محاور الوحدة البنائية Eulerian angles  $\theta, \varphi, \psi$  والثانية هى أطوال الوحدة البنائية  $a, b, c$  وكل من المجموعتين يمكن أن نبحث له عن النهاية الصغرى للطاقة بصورة منفردة (شكل ١٩-٩، ١٨-٩).



شكل (١٨-٩)



شكل (١٩-٩)



شكل (٢٠-٩)

تغير طاقة الشبيكة البلورية لبلورات البنزين مع نصف قطر التجميع

## أسئلة ومسائل على الفصل التاسع

١- إذا كانت طاقة الارتباط بين جسمين في مجال كل منهما الآخر تعطى بالمعادلة:

$$U(r) = -\frac{a}{r} + \frac{b}{r^9}$$

حيث  $a, b$  ثابتان، اثبت أن الجسمين يكونان مركبا مستقرا عندما تكون:

$$r = r_0 = \left[ \frac{9b}{a} \right]^{\frac{1}{8}}$$

٢- تعطى طاقة وضع جزئ ذي ذرتين بدلالة المسافة  $r$  بين الذرتين بالمعادلة:

$$U(r) = -\frac{a}{r^2} + \frac{b}{r^{10}}$$

احسب المسافة بينهما عند وضع الاستقرار وكذا الطاقة اللازمة لتفكك الجزيء،

علما بأن:  $a = 1.44 \times 10^{-39} \text{ Jm}^2$  و  $b = 2.19 \times 10^{-115} \text{ J.m}^{10}$

٣- احسب طاقة ترابط جزئ  $\text{NaI}$  عندما تكون مسافة أقرب الجيران  $n = 0.324 \text{ nm}$ . عبر عن الإجابة بوحدات  $eV$  وكذا بوحدات  $\text{kJ/mol}$ . ثابت ماديلونج لهذه المادة هو  $1.748 \text{ eV}$  و  $n = 9.5$ .



# **الباب الرابع**

## **تطبيقات حيوط الأشعة السينية من المساحيق**

**الفصل العاشر:**

**تفسير شكل الحيوود من المساحيق**

**الفصل الحادى عشر:**

**تركيب المواد عديدة التبلور**

**الفصل الثانى عشر:**

**التحليل الفلورى بالأشعة السينية**

**الفصل الثالث عشر:**

**دراسة المواد الأمورفية بالأشعة السينية**

# تفسير شكل الحيود من المساحيق

## INTERPRETATION OF POWDER PATTERNS

### ١-١٠ التعرف على المواد المتبلورة من بيانات الحيود

#### Identification of Crystalline Materials from Diffraction Data

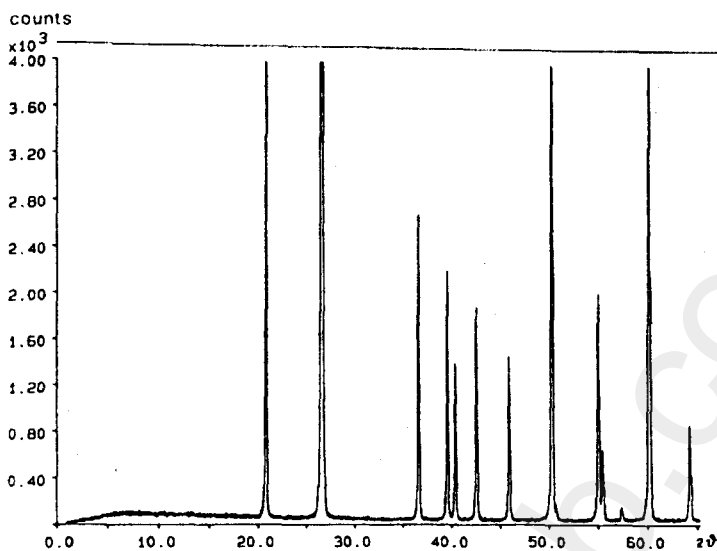
### ١-١-١٠ التحليل باستخدام الحيود من المساحيق:

من أهم استخدامات الحيود من المساحيق التعرف على المواد، وهو ما يعرف في بعض الأحيان بأنه أحد أفرع التحليل الكيماوى، وهو ليس كذلك لأن الهدف من الطرق المختلفة للتحليل الكيماوى هو معرفة العناصر الموجودة في المادة، وفي حالة التحليلات الكمية معرفة نسبة وجود كل عنصر كذلك يكون الهدف من إجراء التحليل الطيفى هو توظيف طيف الامتصاص والابتعاث في حالة الضوء المرئى وما يجاوره في التعرف على عناصر معينة في العينة وفي بعض الأحيان تعين نسبهم تقريرياً والطيف الانبعاثي في حالة الأشعة السينية يستخدم أيضاً لنفس الغرض، وهذا يشكل أحد أفرع التحليل الطيفي.

أما التعرف على المواد المتبلورة فهو شيء آخر، وهذا يحدث أحياناً بدون معرفة المكونات الكيميائية للمادة. ومع أن التعرف على المواد يمكن أن يتم باستخدام حيود الأشعة السينية من البلورات

الأحادية إلا أن الطريقة الشائعة الاستخدام هي الحيوانات من المواد عديدة التبلور من القياسات التي تتم على الفيلم الفوتوغرافي للحيوانات من المسحوق، أو القياسات التي تتم باستخدام جهاز الحيوان، حيث يمكننا الحصول على قيم المسافات بين المستويات  $d_{hk\ell}$  وكذلك شدة الانعكاسات بالنسبة لبعضها والتغيرات الممكنة لهذه القياسات تكون متفاوتة لحد كبير يمكن معه القول بصفة عامة أن شكل الحيوان من المسحوق يكون مميزاً للمادة المتبلورة التي تعطيه، ونحن نعني بشكل الحيوان كلاً من أماكن الانعكاسات وشدةاتها النسبية، وبالطبع في حالة المركبات البسيطة يوجد تشابه بين أشكال الحيوان، وهذا يؤكد أهمية إجراء التحليل أكثر من مرة، وفي حالة الخامات المعدنية وكذلك السبيقات غالباً ما تخل بعض الذرات محل ذرات أخرى مما يجعل التعرف على المواد أكثر صعوبة، وحيث إن إعداد العينة للحصول على شكل للحيوان لا يتطلب إلا كمية ضئيلة (أقل من 1 ملليجرام) فإن هذه الطريقة تكون ذات فائدة كبيرة إذا كانت المادة المراد تحليلها (التعرف عليها) لا توجد منها إلا كمية صغيرة، وجدير بالذكر أن الجمع بين أكثر من طريقة هو أحسن السبل للتعرف على المواد بدرجة كبيرة من التأكيد، وتعتبر طريقة استخدام حيوان الأشعنة السينية من المواد عديدة التبلور أسرع الطرق وأكثرها قرباً من التأكيد وإذا كانت العينة تحتوى على أكثر من مادة فإن استخدام هذه الطريقة يمكن أيضاً أن يعطينا فكرة عن النسبة بين كميات وجود كل مادة.

عملياً تكون المعلومات التي نحصل عليها من أي عينة على شكل مسحوق لا يجب أن نعتمد على نوع الأشعة المستخدمة (طول موجتها) أو نوع الجهاز المستخدم في تسجيل شكل الحيوان، ولهذا يعرف كل انعكاس من العينة بقيمة المسافة البينية بين المستويات النسبية لهذا الانعكاس ( $d = \lambda/2 \sin \theta$ ) وكذلك بشدته متنسوبة إلى شدة أقوى انعكاس نحصل عليه من نفس العينة (مثال لشكل الحيوان الذي نحصل عليه من جهاز تسجيل الحيوان موضح بشكل (١٠-١)).



(١-١٠)

شكل الحبيبات مادة عديدة التبلور مسجل من جهاز تسجيل الحبيبات ويلاحظ انفصال القمم الخاصة بالخطوط  $k\alpha_1, k\alpha_2$  عند القيم الكبيرة لزاوية  $2\theta$

## ٢-١-١٠ ملف بيانات حبيبات الأشعة السينية من المساحيق:

### X-ray Powder Data File

أول ملفات بيانات حبيبات الأشعة السينية من المساحيق صدر سنة ١٩٣٨ وهو الفهرست الخاص بـ Hanawalt, Rinn and Frevel ثم تلى ذلك سنة ١٩٣٩ الفهرست الخاص بـ Boldyrev, Mikheiev, Kovalev and Dubinina ثم سنة ١٩٤٢ بواسطة Harcoart والأول صدر بواسطة American Society for testing materials وفيه ترتيب المواد حسب قيم  $d$  للانعكاسات صاحبة القيم الكبرى للشدة الأول ثم الثاني ثم الثالث وحيث إن البطاقات تكون مرتبة حسب قيم  $d$  فكل مادة تظهر ثلاث مرات في الفهرست (شكل ١٠-٢) وفي أعلى البطاقة تظهر قيم  $d$  شدة الانعكاس النسبية للانعكاسات الثلاث ذات القيم العظمى للشدة كما تحتوى البطاقة على أبعاد الوحدة البنائية والمجموعة الفراغية وكثافة المادة.



Barium Aluminum Fluoride (α-phase)						
d	3.55	2.22	2.34	4.96	BaAlF <sub>5</sub>	
1/l <sub>1</sub>	100	35	30	20		
Rad. CuK $\alpha$	λ 1.5418	Filter Ni	Dia.			
Cut off	1/l <sub>1</sub>	Diffractometer	1/l <sub>1</sub> cor.			
Ref. Schultz et al.,	Acta Chem. Scand.	26	2623-30			
(1972)						
Sys. Orthorhombic	S.G.					
a <sub>0</sub> 5.156	b <sub>0</sub> 7.575	c <sub>0</sub> 19.64	A	C	3.27	17
α	β	γ	Z	D <sub>x</sub>	3.01	15
Ref. *					2.919	12
					2.633	13
					2.584	25
					2.505	3
ε <sup>a</sup>	nωβ	εγ	Si gray	Color	2.478	7
2V	D 4.53	mp			2.458	8
Ref. Ibid.					2.403	5
					2.335	30
					2.284	30
					2.254	20
					2.230	16
					2.216	35
					2.176	17
					2.122	15
						0.09
						0.35

\*Holter: Hovedforsarbeide for den Matematiske  
Naturvitenskapelige Fakulteten,  
Universitetet i Trondheim, Trondheim (1969)  
α-phase is stable below 770°C.  
Compound formed at 50 mol. % BaF<sub>2</sub> with AlF<sub>3</sub>.

FORM M-2

N

شكل (٢-١٠)

J.C.P.D.S شكل البطاقة الصادرة من ماذ البيانات الصادر من

Joint Committee on Powder Diffraction Standards 1975

باستخدام هذه الملفات يمكن التعرف على المواد سواء كانت مواد نقيّة أو مخالط.

في حالة المواد النقيّة يكون التعرف عليها عملية غير معقدة تتم بفحص فهرست الأعداد numerical search manual إلا أن الثقة فيما نحصل عليه من نتائج يتوقف على خبرة الشخص الذي يقوم بالعملية.

أما في حالة المخلوط فإن العملية تكون أكثر صعوبة ولكنها غير مستحيلة وعدد التمكّن من الوصول لمعرفة المكون الأول للعينة يتم فصل بقية الانعكاسات ثم يتم زيادة شدة الانعكاس الأقوى حتى تصبح قيمتها 100 ثم يتم إجراء نفس الخطوات لمعرفة المكون الثاني ثم الثالث وهكذا.

## ٢-١ التحليل الكمي: Quantitative Analysis

يمكن باستخدام الكيمياء التحليلية الكمية تعين (معرفة) التركيب العنصري (أى معرفة العناصر الموجودة) لمادة ما ولكنه غالباً ما يكون من الصعوبة عليها التفرقة بين الوحدات (المركبات) الكيميائية في مخلوط وكذلك في تعين الكميات الدقيقة لكل الأطوار الموجودة.

أما حيود الأشعة السينية من المساحيق فإنه يعتبر الوسيلة المثلثى للتعرف على المواد في المخلوط حيث إن كل مكون في المخلوط يعطى شكل الحيود الخاص به غير معتمد على المكونات الأخرى، وبذلك يمكن فصل أشكال الحيود لكل مكون على حدة، هذا بالإضافة إلى أن شدة الأشعة لكل مكون تكون متناسبة مع النسبة الكمية من هذا المكون (باستثناء تصحيح الامتصاص) وبذلك يمكن إجراء التحليل الكمي.

على سبيل المثال يمكن تعين نسبة وجود الكوارتز في وجود الأملاح المعدنية للسيليكates التي تكون مخلوطاً بنسب مختلفة من مركبات مختلفة مكونة من نفس العناصر وذلك باستخدام حيود الأشعة السينية بطريقة روتينية، بينما يكون ذلك مستحيلاً باستخدام الطرق الكيماوية، ومع ذلك كان العالم Nall سنة ١٩٣٩ قد ذكر أنه لم يحدث أن أجرى تحليلاً كمياً قبل عام ١٩٣٦ عندما قام كلارك ورينولدز Clark & Reynolds بشرح طريقة تحليل التراب (dust) وهي طريقة تعتمد على استخدام معيار داخلي.

## Basic Principles: المبدأ الأساسي ١-٢-١

التحليل الكمي باستخدام ظاهرة الحيود يعتمد على حقيقة أن شدة أشعة الحيود لأحد المكونات في مخلوط تعتمد على تركيز هذا المكون في المخلوط، والعلاقة بين شدة الأشعة والتركيز ليست علاقة خطية (Linear) لأن شدة الأشعة تعتمد على معامل الامتصاص للخلط وهذا بدوره يتغير بتغيير التركيز.

لإيجاد العلاقة بين شدة أشعة الحيود وتركيز المادة في العينة ندرس المعادلة الأساسية التي توضح شدة الأشعة في حالة المسحوق، وشكل هذه المعادلة يعتمد على نوع الجهاز المستخدم إذا كان كاميرا للتصوير أو جهازاً لتسجيل الحيود Dihractometer وشكل المعادلة في حالة جهاز الحيود الذي تكون فيه العينة على شكل شريحة مستوية يكون كالتالي:

$$I = \left( \frac{I_0 A \lambda^3}{32\pi r} \right) \left[ \left( \frac{\mu_0}{4\pi} \right)^2 \frac{e^4}{m^2} \right] \left( \frac{1}{V^2} \right) \left[ |F|^2 P \left( \frac{1 + \cos^2 2\theta}{\sin^2 \theta \cos \theta} \right) \right] \left( \frac{e^{-2M}}{2\mu} \right) \quad (10-1)$$

حيث  $I$  هو تكامل الأشعة لوحدة الأطوال من خط الحيود مقدرة بالجول لكل ثانية لكل متر،  $I_0$  شدة الأشعة الساقطة ( $\text{Joules sec}^{-1} \text{m}^{-1} \text{m}^{-2}$ )،  $A$  مساحة مقطع الأشعة الساقطة ( $\text{m}^2$ )،  $\lambda$  طول موجة الأشعة الساقطة ( $\text{m}$ )،  $r$  نصف قطر دائرة جهاز الحيود،  $\mu_0 = 4\pi \times 10^{-7} \text{ m kg c}^{-2}$  هي شحنة الإلكترون،  $m$  كتلة الإلكترون ( $\text{kg}$ )،  $V$  حجم الوحدة البنائية ( $\text{m}^3$ )،  $F$  هو المعامل الترکيبي،  $p$  هو معامل التضاعف،  $\theta$  زاوية براج،  $e^{-2M}$  هو معامل التذبذب الحراري،  $\mu$  معامل الامتصاص ( $\text{m}^{-1}$ ) ويعرف معامل التضاعف بأنه عدد المستويات المختلفة التي لها نفس المسافة  $d$  حيث إنها جميعاً تساهم في أشعة الحيود المكونة لنفس المخروط وكمثال لذلك في حالة البلورة المكعبة توجد ثمان مجموعات من المستويات من النوع {111} وهي: 111، 111̄، 11̄1، 11̄1̄، 11̄1̄1، 11̄1̄1̄، 11̄1̄1̄1، 11̄1̄1̄1̄.

يبينما توجد فقط ست مجموعات من النوع {100}. وهي:

. 100 010 001 000 011 101

## ٢-٢-١٠ ظاهرة الامتصاص والتحليل الكمي :

إن مجرد النظرة البسيطة لشكل الحبيود من مخالفات المسحوق يوضح أن ظاهرة الامتصاص تعوق المقارنة المباشرة بين شدة الانعكاسات للمكونات المختلفة في المخلوط، فالمكونات تحتوى على مواد معامل امتصاصها للأشعة صغير وأخرى معامل امتصاصها كبير حيث يؤدى ذلك إلى خطأ في تعين نسبة المكونات، وقد توصل العالمان ألكسندر وكلوج Alexander and Klug إلى الطريقة العملية الآتية للتحليل الكمي للمخالفات.

معامل العينة على أنها خليط متتجانس من عدد  $n$  من المكونات على أن تكون ذات سماك صغير لتعطى أشعة حبيود لها الشدة القصوى، وفي هذه الظروف فإنه للمكون  $i$  مثلاً في المخلوط تكون الشدة الكلية لأشعة الحبيود من مستوى  $(hk\ell)$  من الممكن أن تعطى بالمعادلة:

$$I_i = \frac{k_i f_i}{\mu} \quad (10-2)$$

حيث تعتمد  $I_i$  على المكون  $i$  وكذلك على هندسة الجهاز،  $f_i$  هي النسبة الحجمية للمكون  $i$ ،  $\mu$  هي معامل الامتصاص للخليط. وإذا كانت  $x_i$  هي النسبة الوزنية،  $\rho_i$  هي كثافة المكون  $i$  فإنه يمكن كتابة المعادلة كالتالى:

$$f_i = \frac{x_i / \rho_i}{\sum_i^n (x_i / \rho_i)} \quad (10-3)$$

وبالمثل تكون قيمة  $\mu$  كالتالى:

$$\mu = \frac{\sum x_i (\mu_i / \rho_i)}{\sum (x_i / \rho_i)} = \frac{\sum x_i (\mu_i^*)}{\sum x_i / \rho_i} \quad (10-4)$$

حيث  $\mu_i$  هي معامل الامتصاص للمكون  $i$  ،  $\mu_i^* = \mu_i / \rho_i$  هي معامل الامتصاص الكتلى.

وبالتعويض بالمعادلتين (10-3)، (10-4) في المعادلة (10-2) نحصل على:

$$I_i = k_i \times \frac{x_i / \rho_i}{\sum \mu_i^* x_i} \quad (10-5)$$

أحد الطرق التي تتبع في حالة الخليط لعدد  $n$  من المكونات هو اعتبار العينة تتكون من مكونين فقط؛ المكون الأول هو الذي يراد تعين نسبته ومجموع باقي المكونات التي تسمى الوسط أو النسيج matrix ويذلك تكون النسبة الوزنية للمكون  $i$  في الوسط  $M$  هي:

$$x_i(M) = W_i / W_M = \frac{W_{xi}}{W(1-x_1)} = \frac{x_i}{1-x_1} \quad (10-6)$$

حيث  $W_i$  هي النسبة الوزنية للعينة والمكون  $i$  بالترتيب ويكون الامتصاص للوسط هو:

$$\mu_M^* = \mu_2^*(x_2)_M + \mu_3^*(x_3)_M + \mu_4^*(x_4)_M + \dots = \frac{\sum_{i=2}^n \mu_i^* x_i}{1-x_1} \quad (10-7)$$

وبذلك تصبح المعادلة (10-5) بالنسبة للمكون  $1$  كالتالي:

$$I_1 = \frac{k_1 x_1}{\rho_1 \left[ x_1 \left( \mu_1^* - \mu_M^* \right) + \mu_M^* \right]} \quad (10-8)$$

المعادلة (10-8) تعتبر هي العلاقة التي على أساسها يبني كل تحليل كمي باستخدام حيود الأشعة السينية.

### ٣-٢-١٠ خليط من $n$ من المكونات $\mu_M^* = \mu_1^*$ :

في مثل هذه المخلوط تكون قدرة المكونات غير المعلومة على الامتصاص هي نفسها قدرة الخليط كله وهذه تكون حالات غير شائعة الحدوث مثل ذلك مخلوط المواد البوليمورية للمادة وفي هذه الحالة تصبح المعادلة (10-8) كالتالي:

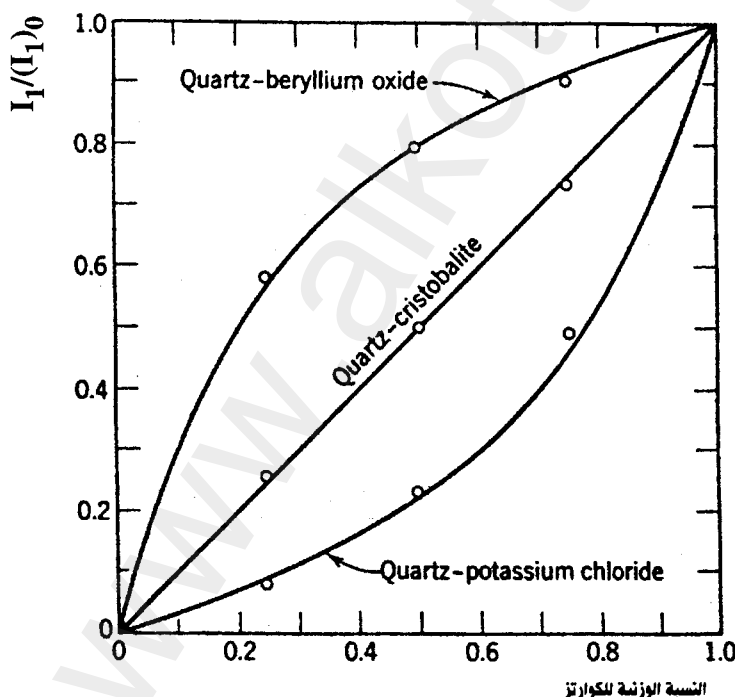
$$I_1 = \left( \frac{k}{\rho_1 \mu_M^*} \right) x_1 = k x_1 \quad (10-9)$$

ما يدل على أن شدة الأشعة تكون متناسبة مع الترکیز.

وكمثال لصحة المعادلة (9-10) نأخذ نتائج حیود الأشعة من خليط من الكوارتز والكريستو باليت (Quartz and Cristobalite) وهم شكلان مختلفان لمادة واحدة. هذان المركبان تم خلطهما بنسب مختلفة حيث تحتوى العينات على نسبة مئوية قيمتها 25، 50، 75 من الكوارتز تمت إضافتها إلى الكريستو باليت.

تقاس شدة الأشعة لخط الكوارتز الذي تكون  $d$  له مساوية لقيمة  $3.34 \text{ \AA}$  ويراعى أن تكون عدد نبضات عدد جايجر كبيرة حتى يكون الخطأ صغيرا.

ويوضح شكل (٣-١٠) النتائج للمقارنة بين الخط البياني النظري (الخط المتصل) والخط المرسوم مارا بالنقاط المفتوحة (النتائج العملية)



شكل (٣-١٠)

#### ٤-٢-٤ خليط من عدد 2 من مكونات $\mu_1^* \neq \mu_2^*$ :

في مثل هذه الحالة يكون الشكل الذي يعطى العلاقة بين شدة الأشعة والتركيز ليس خطأ مستقيماً نتيجة عدم تساوى القدرة على امتصاص لكل من المجهول والوسط ويكون حساب منحنى شدة التركيز كالتالي:

بالنسبة للمكون رقم 1 يكون:

$$(I_1)_0 = \frac{k_1}{\rho_1 \mu_1^*} \quad (10-10)$$

وبالنسبة للمخلوط الثنائي الذي نسبته الوزنية  $x_1$  لهذا المكون يكون:

$$I_1 = \frac{k_1 x_1}{\rho_1 [x_1 (\mu_1^* - \mu_2^*) + \mu_2^*]} \quad (10-11)$$

بقسمة المعادلة (10-11) على (10-10) نحصل على:

$$\frac{I_1}{(I_1)_0} = \frac{x_1 \mu_1^*}{x_1 (\mu_1^* - \mu_2^*) + \mu_2^*} \quad (10-12)$$

ويوضح شكل (٣-١٠) العلاقة بين  $x_i$  ،  $\frac{I_1}{(I_1)_0}$

#### ٤-٢-٥ مخلوط من n من المكونات $\mu_1^* \neq \mu_M^*$ :

##### طريقة المعيار الداخلي: Internal standard method

هذه هي الحالة العامة حيث معامل امتصاص المجهول (المطلوب تعين نسبته) لا يساوى معامل امتصاص الوسط الذي يكون بدوره غير معروف.

هذه الظروف تجعلنا نستخدم معياراً داخلياً internal standard نفترض أن المادة التي ستستخدم كمعيار داخلي،  $s$  ، ستضاف إلى العينة بنسبة معروفة وأن النسبة الحجمية لكل من المجهول والمعيار الداخلي بعد إضافته هي  $f_1$  و  $f_s$  والنسبة الحجمية للمكون رقم 1 في العينة الأصلية هو  $f_1$ . من المعادلة (4-10) نجد أن:

$$I_1 = k_1 \frac{f'_1}{\mu} ; \quad I_s = k_s \frac{f_s}{\mu} \quad (10-13)$$

بقسمة  $I_1$  على  $I_s$  والتعويض عن  $f'_1$  و  $f_s$  من المعادلة (10-5) نحصل على :

$$\frac{I_1}{I_s} = \frac{k_1 x'_1 \rho_s}{k_s \rho_1 x_s} \quad (10-14)$$

ومنها نحصل على :

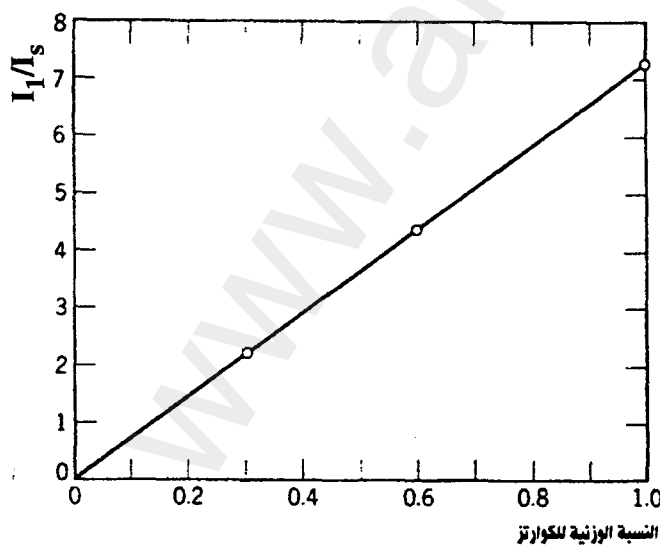
$$x'_1 = \frac{k_s \rho_1 x_s}{k_1 \rho_s} \times \frac{I_1}{I_s} = k' \times \frac{I_1}{I_s} \quad (10-15)$$

وذلك إذا كانت  $x_s$  كمية ثابتة. وعلاقة  $x'_1$  بالكمية  $x_1$  المطلوب تعينها هي :

$$x_1 = \frac{x'_1}{1 - x_s} \quad (10-16)$$

من المعادلين (10-15)، (10-16) نحصل على :

$$x_1 = \frac{k'}{1-x_s} \times \frac{I_1}{I_s} = k \frac{I_1}{I_s} \quad (10-17)$$



أي أنه إذا أضيف المعيار الداخلي بنسبة ثابتة  $x_s$  فإن منحنى تغير تركيز المكون رقم 1 مع النسبة  $I_1/I_s$  يكون خطًا مستقيماً كما في شكل (٤-١٠).

## ٦-٢-١٠ طريقة المقارنة المباشرة Direct Comparison Method

طريقة المقارنة المباشرة لا تتطلب وجود مادة نقية من المكون المراد تعين نسبته في العينة ولكنها تتطلب معرفة التركيب البلوري لمكونات العينة.

نفترض أن العينة تحتوى على مادتين لهما نفس التركيب الكيماوى ولكن ليس لهما نفس التركيب وأنه يصعب العثور على المادة التى يراد تعين نسبتها في المخلوط فى صورة نقية فإنه يمكن اتباع الطريقة الآتية:

بالرجوع لمعادلة شدة أشعة الحيدود (10-1) يمكن تعريف القيم  $k_2$  ،  $R$  كالتالى :

$$k_2 = \left( \frac{I_0 A \lambda^3}{32 \pi r} \right) \left[ \left( \frac{\mu_0}{4 \pi} \right)^2 \frac{e^4}{m^2} \right] \quad (10-18)$$

$$R = \left( \frac{1}{V^2} \right) \left[ |F|^2 p \left( \frac{1+\cos^2 2\theta}{\sin^2 \theta \cos \theta} \right) \right] (e^{-2M}) \quad (10-19)$$

وبذلك يمكن كتابة معادلة الشدة كالتالى :

$$I = \frac{k_2 R}{2\mu} \quad (10-20)$$

حيث  $k_2$  كمية ثابتة لا تعتمد على نوع وكمية المادة فى العينة،  $R$  كمية تعتمد على  $\theta$  ،  $h k l$  ونوع المادة.

المعادلة (10-20) يمكن كتابتها لأى انعكاس من المادة الأولى كالتالى :

$$I_\gamma = \frac{k_2 R_\gamma C_\gamma}{2 \mu m} \quad (10-21)$$

وأى انعكاس من المادة الثانية .

$$I_\alpha = \frac{k_2 R_\alpha C_\alpha}{2 \mu m} \quad (10-22)$$

وبقسمة المعادلتين نحصل على :

$$\frac{I_\gamma}{I_\alpha} = \frac{R_\gamma C_\gamma}{R_\alpha C_\alpha} \quad (10-23)$$

أى أن قيمة  $C_\gamma/C_\alpha$  يمكن الحصول عليها من قياس  $I_\gamma/I_\alpha$  وحساب  $R_\gamma$  ،  $R_\alpha$  وحساب هذه القيم يتطلب معرفة التركيب البلورى والجزئى وأبعاد الوحدة البنائية لكل من المادتين وبعدها يمكن حساب  $C_\gamma$  وذلك بالأخذ فى الاعتبار العلاقة . . .

$$C_\gamma + C_\alpha = 1 \quad (10-24)$$

وهذه العملية يمكن إجراؤها لأكثر من انعكاس لكل مادة وأخذ المتوسط وإذا كانت العينة تحتوى على ثلث مكونات فإن العلاقة (10-24) تصبح . .

$$C_\gamma + C_\alpha + C_c = 1 \quad (10-25)$$

وعند اختيار الانعكاسات التى ستجرى عليها قياس الشدة يراعى أن لا تكون ملاصقة لانعكاسات خاصة بمادة أخرى .

### ٣-٢ تعين إحداثيات ميلر لشكل الحيدود من المساحيق :

#### Indexing of Powder Patterns

من قياسات زاوية براج  $\theta$  للانعكاسات من عينة على شكل مسحوق وإذا كانت أبعاد الوحدة البنائية معروفة فإنه يمكن بطريقة بسيطة تعين إحداثيات ميلر وإن كانت الحسابات تكون طويلة فى حالة الفضائل systems ذات التمايل المنخفض .

أما إذا كانت أبعاد الوحدة البنائية غير معروفة فإن تحديد إحداثيات ميلر يكون أكثر صعوبة ، وفي هذه الحالة يجب أن نلجأ إلى تكتيك المحاولة والخطأ  $\lambda$  ، وإذا كان النظام البلورى هو النظام المكعبى ، كما فى حالة كلوريد الصوديوم فإنه يكون من السهل تعين إحداثيات ميلر لكل الانعكاسات وحساب طول محور الوحدة البنائية . ومع زيادة حجم الوحدة البنائية يصبح شكل الحيدود أكثر تعقيدا إلا أنه دائمًا يكون من الممكن تعين إحداثيات ميلر للانعكاسات فى حالة النظام المكعبى .

أشكال الحيوانات من المواد التي تتبع النظم وحيدة المحور uniaxial وهي الرباعي والثلاثي والسداسي تكون أكثر صعوبة، ولكن يكون دائماً من الممكن الوصول لمعرفة إحداثيات ميلر ولكن الحيوانات ذات البلورات ذات النظام المعين القائم orthorhombic تكون معقدة للغاية خاصة إذا كان أحد المحاور كبيرة.

وفي حالة النظام أحادى الميل وثلاثي الميل monoclinic & triclinic تكون هذه العملية مستحيلة نتيجة كثرة عدد التغيرات في أبعاد الوحدة البنائية إلا إذا كانت هذه الأبعاد صغيرة جداً (انظر تذيل ٤).

### ١٠-٣-١٠ تعين الإحداثيات في حالة معرفة أبعاد الوحدة البنائية:

في حالة معرفة أبعاد الوحدة البنائية تكون هناك ثلاثة مراحل لتحديد إحداثيات ميلر للانعكاسات.

- أ - استنباط زوايا براج.
- ب - حساب زوايا براج لكل الإحداثيات الممكنة.
- ج - مقارنة مجموعتي النتائج السابقتين.

#### في حالة النظام المكعب:

حيث إن  $\lambda = 2d \sin \theta$  (قانون براج).

$$d = a / \sqrt{h^2 + k^2 + l^2}$$

$$\therefore \sin^2 \theta = \frac{\lambda^2}{4a^2} (h^2 + k^2 + l^2) \quad (10-26)$$

والكمية  $h^2 + k^2 + l^2$  هي كمية عدديه وبذلك يكون كل المطلوب حساب الكمية  $\lambda^2 / 4a^2$  وإيجاد حاصل ضرب هذه الكمية في كل القيم الممكنة للكمية  $h^2 + k^2 + l^2$ .

وليس من الضروري الوصول إلى كميات  $(\lambda^2 / 4a^2)(h^2 + k^2 + l^2)$  تكون أكبر من الواحد الصحيح ثم تقارن هذه القيمة مع قيمة  $\sin^2 \theta$  المشاهدة عملياً لتحديد الانعكاسات التي ظهرت فعلاً.

في حالة النظام الرباعي والثلاثي والسداسي:

### Tetragonal, Hexagonal & Trigonal

في النظام الرباعي تكون المعادلة كالتالي:

$$\sin^2 \theta_{hkl} = \frac{\lambda^2}{4a^2} (h^2 + k^2) + \frac{\lambda^2}{4c^2} \ell^2 \quad (10-27)$$

$$\frac{\lambda^2}{4a^2} = A \quad \& \quad \frac{\lambda^2}{4c^2} = C$$

وبفرض أن:

فبحسب نحتاج إلى كل القيم الناتجة من حاصل ضرب A في كل القيم الممكنة للكمية  $h^2 + k^2$  وكذلك القيم الناتجة من حاصل ضرب C في  $\ell^2$  وعلى سبيل المثال إذا كانت  $C = 0.07$  ،  $A = 0.10$  فإننا يمكن إعداد جدول كالتالي:

جدول (١٠-١)

$h, k$	1, 0	1, 1	2, 0	2, 1	2, 2	3, 0
$A(h^2+k^2)$	0.10	0.20	0.40	0.50	0.80	0.90

$\ell$	1	2	3
$C\ell^2$	0.07	0.28	0.63

والقيم الممكنة للكمية  $\sin^2 \theta$  نجدها في الجدول الآتي:

جدول (١٠-٢)

$h, k$	0,0	1,0	1,1	2,0	2,1	2,2	3,0
$\ell$	0	0.00	0.10	0.20	0.40	0.50	0.80
	1	0.07	0.17	0.27	0.47	0.57	0.87
	2	0.28	0.38	0.48	0.68	0.78	
	3	0.63	0.73	0.83			

أما في حالة النظام السادس فنجد أن المعادلة تصبح:

$$\sin^2 \theta_{hkl} = \frac{\lambda^2}{3a^2} (h^2 + hk + k^2) + \frac{\lambda^2}{4c^2} \ell^2 \quad (10-28)$$

وهذه المعادلة تستخدم أيضاً في حالة البلورات الثلاثية عند استخدام محاور لوحدة بنائية سداسية.

### في حالة النظام المعيني القائم: Orthorhombic

في هذه الحالة تكون المعادلة كالتالي:

$$\sin^2 \theta_{hkl} = \frac{\lambda^2}{4a^2} h^2 + \frac{\lambda^2}{4b^2} k^2 + \frac{\lambda^2}{4c^2} \ell^2 \quad (10-29)$$

التي يمكن كتابتها كالتالي:

$$\sin^2 \theta_{hkl} = A h^2 + B k^2 + C \ell^2 \quad (10-30)$$

ويمكن حساب A, B, C وإعداد جدول مثل الموضح لبلورة Ni Al<sub>3</sub> حيث تكون أبعاد الوحدة البنائية كالتالي: a = 6.61, b = 7.36, c = 4.81 Å وطول موجة أشعة الكوبالت k<sub>α</sub> هي: λ = 1.79 Å.

$$\therefore A = 0.01833, \quad B = 0.01478, \quad C = 0.0346$$

وقيم Ah<sup>2</sup>, Bk<sup>2</sup>, CA<sup>2</sup> كما هو موضح بالجدول (٣-١٠)

## جدول (٣-١٠)

$h, k \text{ or } \ell$	$Ah^2$	$Bk^2$	$C\ell^2$
0	0.00	0.00	0.00
1	0.0183	0.0148	0.0346
2	0.0733	0.0591	0.1386
3	0.1650	0.1330	0.3118
4	0.2933	0.2365	0.5544
5	0.4582	0.3695	0.8662
6	0.6599	0.5321	-
7	0.8982	0.7242	-
8	-	0.9459	-

من هذا الجدول يمكن حساب  $\sin^2 \theta_{hkl}$  مثال ذلك:

$$\sin^2 \theta_{200} = 0.0733$$

$$\sin^2 \theta_{210} = 0.0733 + 0.0148 = 0.0881$$

$$\sin^2 \theta_{213} = 0.0733 + 0.0148 + 0.3118 = 0.3999$$

$$\sin^2 \theta_{543} = 0.4582 + 0.2365 + 0.3118 = 1.0065$$

ومن البديهي أن الانعكاس الأخير لن يظهر.

ومن الضروري حساب كل القيم للكمية  $\sin^2 \theta$  حيث إن الانعكاس يمكن أن يكون مكوناً من أكثر من واحد وعلى سبيل المثال إذ كانت  $\sin^2 \theta = 0.1325$  فإن الانعكاس يمكن أن يكون 030 أو 220 حيث  $\sin^2 \theta = 0.1324$ .

**فى حالة النظام أحادى الميل وثلاثى الميل:**

فى هذه الحالة يكون من الأفضل حساب قيم  $\sin^2 \theta_{hkl}$  من الشبيكة المقلوبة

كالآتى:

$$\sin^2 \theta_{hkl} = \frac{1}{4} (\zeta_{hkl}^2 + \xi_{hkl}^2)$$

حيث  $\zeta_{hkl}$  تعطى بالمعادلة (5.2)،  $\xi_{hkl}$  تعطى بالمعادلة (5.3).

### ٢-٣-١٠ تعين الإحداثيات فى حالة عدم معرفة أبعاد الوحدة البنائية:

**الطريقة التحليلية:**

**النظام المكعبى:**

فى النظام المكعبى تكون المسافة البينية بين المستويات  $d$  تساوى:

$$d^2 = \frac{a^2}{h^2 + k^2 + \ell^2} \quad (10-31)$$

ومن قانون براج تكون قيمة  $d^2$  هى :

$$d^2 = \lambda^2 / 4 \sin^2 \theta \quad (10-32)$$

$$\therefore \lambda^2 / 4 \sin^2 \theta = \frac{a^2}{h^2 + k^2 + \ell^2}$$

$$\therefore \frac{\sin^2 \theta}{h^2 + k^2 + \ell^2} = \frac{\lambda^2}{4 a^2} \quad (10-33)$$

$$Q_{hkl} = \frac{1}{d^2} \quad \text{إذا كانت:}$$

$$\therefore Q_{hkl} = \frac{4 \sin^2 \theta}{\lambda^2} = \frac{h^2 + k^2 + \ell^2}{a^2} = N_c Q_{100} \quad (10-34)$$

حيث:

$$\therefore Q_{hkl}/Q_{100} = N_c$$

$$\therefore N_c = 1, 2, 3, 4, 5, 6, 7, 8, 9, 10, 11, \dots$$

وذلك تبعاً للجدول الآتي:

جدول (٤-١٠)

$N_c$	$h k l$	$N_c$	$h k l$	$N_c$	$h k l$
1	1 0 0	10	3 1 0	19	3 3 1
2	1 1 0	11	3 1 1	20	4 2 0
3	1 1 1	12	2 2 2	21	4 2 1
4	2 0 0	13	3 2 0	22	3 3 2
5	2 1 0	14	3 2 1	24	4 2 2
6	2 1 1	16	4 0 0	25	5 0 0;
8	2 2 0	17	4 1 0;		4 3 0
9	3 0 0;		3 2 2	26	5 1 0;
	2 2 1	18	4 1 1;		4 3 1
			3 3 0	27	5 1 1;
					333

إذا كانت أول قيمة مشاهدة عملياً هي  $Q_{100}$  فإن النسبة بين كل قيم  $Q, Q_1$  تكون عدداً حقيقياً قريباً من الأعداد الصحيحة الموضحة عالياً ..

$$Q_2/Q_1 \approx N_c$$

أما إذا كانت  $Q_{100}$  غير موجودة (نتيجة أن الانعكاس ضعيف الشدة أو أنه أحد الانعكاسات الغائبة نتيجة المجموعة الفراغية) فإن  $Q/Q_1$  تكون قيمة حقيقة تعطى بالمعادلة:

$$Q/Q_1 = N' Q_{100}/N Q_{100} = N'/N$$

وحاصل ضرب هذه النسب بأحد قيم  $N_c$  المسموح بها يكون الحصول على مجموعة من القيم قريبة من الأعداد الصحيحة المتوقعة.

$$(Q/Q_1) N = N'$$

وتحب الإشارة إلى أن قيم  $N$  تعتمد على نوع الشبكة.

المكعب البسيط (simple cubic) تكون:

1, 2, 3, 4, 5, 6, 7, 8, 9, 10, 11, 12, 13, 14, 15, 16, ...

المكعب متمرکز الوسط (Body centered cubic) تكون:

2, 4, 6, 8, 10, 12, 14, 16, ...

المكعب متمرکز الأوجه (Face centered cubic) تكون:

3, 4, 8, 11, 12, 16, ...

المكعب الماسي (Diamond cubic) تكون:

3, 8, 11, 16, ...

ويكن اختبار كل مجموعة على حدة فإذا لم نجد مجموعة أعداد صحيحة يمكن أن تتفق مع (33-10) فهذا يعني أن العينة لا تتبع النظام المكعبى ويجب اختبار نظم بلورية أخرى مثل الرباعي أو السادس أو غير ذلك.

**مثال:**

فيما يلى نجد مجموعة من قيم  $\sin^2 \theta$  تم قياسها من أحد أشكال الحيدود:

line	1	2	3	4	5	6	7
$\sin^2 \theta$	0.140	0.185	0.369	0.503	0.548	0.726	0.861

وبقسمة كل قيم  $\sin^2 \theta$  على أصغر قيمة وهي 0.140 نحصل على القيم:

1 ; 1.321 ; 2.635 ; 3.592 ; 3.914 ; 5.186 ; 6.150

وبضرب هذه القيم في العدد 3 نحصل على:  
3 ; 4 ; 8 ; 11 ; 12 ; 16 ; 19

وهذا يبيّن أن البلورات لهذه العينة على شكل مكعب متتركز الأوجه وأن إحداثيات ميل لهذه الانعكاسات كما هو في الجدول التالي :

(جدول ٥-١٠)

Line	$\sin^2 \theta$	$N = h^2 + k^2 + \ell^2$	$\lambda^2 / 4 a^2$	$a(\text{\AA})$	$h k \ell$
1	0.140	3	0.0467	3.57	1 1 1
2	0.185	4	0.0463	3.59	2 0 0
3	0.369	8	0.0461	3.59	2 2 0
4	0.503	11	0.0457	3.61	3 1 1
5	0.548	12	0.0457	3.61	2 2 2
6	0.726	16	0.0454	3.62	4 0 0
7	0.861	19	0.0453	3.62	3 3 1

### البلورات غير المكعبة:

الطريقة التحليلية لتعيين الإحداثيات للانعكاسات من هذه البلورات تتضمن معالجة رياضية لقيم  $\sin^2 \theta$  المشاهدة عملياً لمحاولة إيجاد علاقات معينة بين هذه القيم، وبما أن كل نظام بلوري يكون مميزاً بعلاقات معينة بين هذه القيم فإن تعين (معرفة) هذه العلاقة تكون الوسيلة للتعرف على النظام البلوري ومنه يمكن أن نصل إلى معرفة إحداثيات الانعكاسات.

### النظام الرباعي:

في هذا النظام لابد لقيم  $\sin^2 \theta$  أن تبع العلاقة :

$$\sin^2 \theta = A(h^2 + k^2) + C\ell^2 \quad (10-36)$$

حيث  $A = \lambda^2 / 4 c^2$ ،  $C = \lambda^2 / 4 a^2$  هى كميات ثابتة لكل شكل للحيود وتكون المشكلة هى معرفة هذه الثوابت لأن معرفتها تقود لمعرفة أبعاد الوحدة البنائية

c,a وبالتالي حساب إحداثيات ميلر. قيمة A يمكن الحصول عليها من انعكاسات من النوع  $h k o$  عندما تكون  $\theta = \ell$  حيث تصبح المعادلة (10-36) كالتالي:

$$\sin^2 \theta = A (h^2 + k^2) \quad (10-37)$$

والقيم المسموح بها لـ  $(h^2 + k^2)$  هي 1, 2, 4, 5, 8, ..., 9-10 (الجدول 1-1). ولذلك فإن الانعكاسات من النوع  $h k o$  لا بد أن تحتوى على قيم  $\sin^2 \theta$  يكون بينها النسب المذكورة و A ستكون أعداد لهذه الانعكاسات عبارة عن أجزاء من قيم  $\sin^2 \theta$  مساوية لـ  $\frac{1}{2}, \frac{1}{4}, \frac{1}{5}, \frac{1}{8}$  منها:

أما C فنحصل عليها من انعكاسات أخرى حسب المعادلة (10-36) كالتالي:

$$\sin^2 \theta - A (h^2 + k^2) = C \ell^2 \quad (10-38)$$

والقيم في الطرف الأيسر لهذه المعادلة (وهي عبارة عن حاصل طرح كميتين) يمكن الحصول عليها بافتراض قيم لـ  $k, h$  وذلك في محاولة للحصول على قيم  $C \ell^2$  تكون بينها نسب مساوية للأعداد ... etc 1, 4, 9, 16 ... فإذا أمكن الحصول على هذه القيم يمكن حساب C.

### النظام السادس:

في هذا النظام نحسب قيمة  $\sin^2 \theta$  بالمعادلة الآتية:

$$\sin^2 \theta = A (h^2 + hk + k^2) + C \ell^2$$

$$C = 2/4 c^2, A = \lambda^2 / 3 a^2$$

والقيم المسموح بها للكمية  $h^2 + hk + k^2$  موضحة بالجدول التالي:



## جدول (٦-١٠)

$h k \ell$	$h^2 + hk + k^2$	$h k \ell$	$h^2 + hk + k^2$
1 0 0	1	1 2 0	7
1 1 0	3	3 0 0	9
2 0 0	4	2 2 0	12
		3 1 0	13

وهي الأعداد 1, 3, 4, 7, 9, 12, 13, ... (انظر جدول ٦-١٠).

طريقة تعين الإحداثيات للانعكاسات يمكن توضيحيها بالمثل التالي وهو لشكل الحبيود من مادة الزنك.

- ١- نقوم بقسمة قيمة  $\sin^2 \theta$  على الأعداد 1, 3, 4, ... .
- ٢- نفحص القيم (جدول ٧-١) للبحث عن قيم تكون متساوية وفي هذه الحالة نجد القيمتين 0.111 و 0.112 أكثر القيم تقارباً، وعلى هذا يمكن افتراض أن الانعكاسين رقمي 2، 5 من النوع  $h k o$ .
- ٣- نحدد قيمة A بالعدد 0.112 وهذا يعني أن الانعكاس رقم 2 هو 100.
- ٤- حيث إن قيمة  $\sin^2 \theta$  للانعكاس رقم 5 لها قيمة قريبة جداً من ثلاثة أضعاف تلك الخاصة بالانعكاس رقم 2 فإن هذا يعني أن الانعكاس رقم 5 لا بد وأن يكون هو الانعكاس 110.
- ٥- لاستنتاج قيمة C يجب أن نستخدم المعادلة:

$$\sin^2 \theta = A (h^2 + hk + k^2) = C \ell^2$$

ولهذا نقوم بطرح من كل قيمة لـ  $\sin^2 \theta$  الكثيارات الآتية:

$$A (=0.112) ; \quad 3A (=0.33) ; \quad 4A (=0.448) \text{ etc}$$

ثم نفحص القيم المتبقية بعد الطرح بحثاً عن قيم تكون متناسبة مع الأعداد ... 1, 4, 9, 16, ... والجدول (٧-١٠) يوضح أنه توجد أعداد قريبة جداً من هذه النسب هي الأعداد الآتية:

$$0.024 , \quad 0.097 , \quad 0.221 , \quad 0.390$$

بعاً لذلك سنحدد تساوى القيم الآتية:

$$0.24 = C(1)^2 ; \quad 0.097 = C(2)^2$$

$$0.221 = C(3)^2 ; \quad 0.390 = C(4)^2$$

وهذا يعطينا قيمة  $C$  مساوية للكمية 0.024 ويعرف الانعكاس الأول على أنه الانعكاس رقم 6 على أنه 004، وحيث إن الانعكاس رقم 3 تكون قيمة  $\sin^2 \theta$  له مساوية لمجموع  $A$ ،  $C$  لذلك فإن إحداثياته ستكون 101.

وبالمثل الانعكاسين 4 ، 5 تكون إحداثياتهما هي 102 ، 103 بالترتيب.

جدول (٧-١٠)

الانعكاس	$\sin^2 \theta$	$\frac{\sin^2 \theta}{3}$	$\frac{\sin^2 \theta}{4}$	$\frac{\sin^2 \theta}{7}$	$h k \ell$
1	0.097	0.032	0.024	0.014	
2	0.112*	0.037	0.028	0.016	1 0 0
3	0.136	0.045	0.034	0.019	
4	0.209	0.070	0.052	0.030	
5	0.332	0.111*	0.083	0.047	1 0 0
6	0.390	0.130	0.098	0.056	

## (٨-١٠) جدول

الانعكاس	$\sin^2 \theta$	$\sin^2 \theta - A$	$\sin^2 \theta - 3A$	$h k \ell$
1	0.097			0 0 2
2	0.112	0		1 0 0
3	0.136	0.024		1 0 1
4	0.209	0.097		1 0 2
5	0.332	0.221		1 1 0 , 1 0 3
6	0.390	0.278	0.054	0 0 4

**النظام المعيني القائم:**

في هذا النظام تكون معادلة  $\theta = \sin^2$  كالتالي :

$$\sin^2 \theta = Ah^2 + Bk^2 + Cl^2$$

وعملية تحديد الإحداثيات تكون معقدة ذلك لأنه يكون المطلوب تعين ثلاثة ثوابت هي  $A$  ،  $B$  ،  $C$  والخطوات المتّعة تكون طويلة لدرجة كبيرة يصعب شرحها في هذا المجال .

وعلى أية حال فإنه قد أمكن تحديد إحداثيات ميلر للانعكاسات في أشكال حيود كثيرة تابعة لنظام المعيني القائم .

**النظام أحادي الميل وتلائني الميل:**

هذه النظم تتضمن أربعة أو ستة ثوابت يجب تعينها أولاً، ومثل هذه الأشكال للحيود نادراً ما أمكن تعين إحداثيات انعكاساتها إلا بمساعدة الحاسوب الآلي (انظر تذيل ٤) .

## جدول (٩-١٠)

جدول يوضح قيم  $N$  في حالة النظام الرباعي ( $NT = h^2 + k^2$ )

$N$	$h \ k$	$N$	$h \ k$
1	1 0	16	4 0
2	1 1	17	4 0
4	2 0	18	3 3
5	2 1	20	4 2
8	2 2	25	0 5
9	3 0	26	5 1
10	3 1	29	5 2
13	3 2	32	4 4

## جدول (١٠-١٠)

جدول يوضح قيم  $N$  في حالة النظام السادس للانعكاسات  $o$

$$N_H = h^2 + hk + k^2$$

$N$	$h \ k$	$N$	$h \ k$
1	1 0	1 9	3 2
3	1 1	2 1	4 1
4	2 0	2 5	5 0
7	2 1	2 7	3 3
9	3 0	2 8	4 2
12	2 2	3 1	5 1
13	3 1	3 6	6 0
16	4 0	3 7	4 3

## أسئلة على الفصل العاشر :

١ - عرّف ما يأتى :

أ - معامل الامتصاص للخلط .

ب- معامل التضاعف .

ج- ملف بيانات الحيود من المساحيق .

٢ - اشرح باختصار طريقة المقارنة المباشرة للتحليل الكمى .

٣ - احسب قيم  $2\theta_{hk\ell}$  للخطوط الثلاثة الأولى (التي تكون قيم  $2\theta$  لها أقل القيم) لشكل الحيود من المسحوق ملادة تكون مواصفات الوحدة البنائية لها كالتى :

أ - شكل الوحدة مكعبى بسيط له البعد  $a = 3.0 \text{ \AA}$

ب- شكل الوحدة رباعى بسيط له الأبعاد  $a = c = 3.0 \text{ \AA}$

ج- شكل الوحدة رباعى بسيط له الأبعاد  $a = 3.0 \text{ \AA}$   $c = 2.0 \text{ \AA}$



# تركيب المواد عديدة التبلور

## ١-١١ تعين التركيب الجزيئي باستخدام الحيوذ من المساحيق:

مع أن الاستخدام الشائع للحيود من المساحيق هو التعرف على المواد بما يعرف بتكنيك بصمة الإصبع Fingerprinting technique إلا أنه يوجد حاليا تكنيك لدراسة تفصيلية لشكل الحيوذ للحصول على بيانات شبيهة بتلك التي نحصل عليها من البلورات الأحادية ونتيجة لذلك فإنه يمكن تعين التركيب، وفي بعض الأحيان يكون في الإمكان أيضا الوصول إلى تدقيق باستخدام معاملات التذبذب الحراري (anisotropic temperature factors).

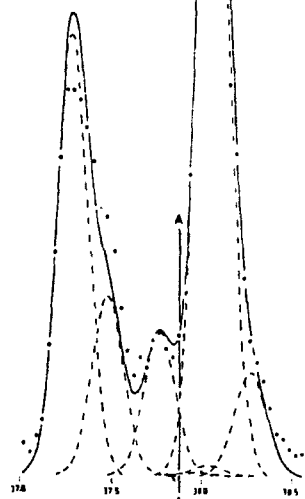
واستخدام الحيوذ من المساحيق رغم صعوبة الوصول إلى نتائج موثوق بها خاصة في حالة الجزيئات الكبيرة إلا أنه يمكن أن يكون له أحد المميزات حيث إنه يعطينا إمكانية الدراسة في مدى أكثر من درجات الحرارة والضغط وهو كذلك يعتبر مناسبا للدراسة التغير الطوري phase transformation.

المبدأ الأساسي يكون بتجميع بيانات الحيوذ من المواد عديدة التبلور بطريقة المسح خطوة خطوة باستخدام جهاز الحيوذ من المساحيق أي قياس شدة الانعكاس لفترة زمنية محددة أثناء دوران العينة من موضع لأخر حيث تتغير قيم كل من  $\theta$ ،  $2\theta$  وبعد ذلك يتم تعين إحداثيات ميلر لكل الانعكاسات التي تظهر في شكل الحيوذ كله حيث يتم تعين أبعاد الوحدة البنائية بدقة، ولأنه من الصعب تقدير الأخطاء في قياس زوايا الحيوذ وكذلك نتيجة تزاحم الانعكاسات فوق بعضها شكل (١-١١) فإن عملية تحديد إحداثيات ميلر تكون عملية صعبة خاصة في حالة البلورات التي يكون حجم الوحدة البنائية كبيرا وكذلك في حالة البلورات ذات التمايز

الضعيف، وفي الوقت الحالى توجد طرق كثيرة لهذا الغرض باستخدام برامج على الحاسوب الآلى وهى غالباً ما تعطى أكثر من إجابة ولذلك يستخدم ما يسمى رقم الجدارة (Figure of merit) للتفرقة بين الحل الصحيح وغير الصحيح.

بعد الوصول لهذه المرحلة تتبعها بمرحلة أخرى وهى دراسة الانعكاسات الغائية بانتظام وذلك لتحديد المجموعة الفراغية وإذا كان بإمكاننا معرفة شكل التركيب (حتى لو كان غير دقيق) فإنه عند هذه المرحلة يمكن مقارنة شدة الانعكاسات  $y_{i0}$  المقاسة عملياً بقيم  $y_{ic}$  التي تم حسابها باستخدام طريقة ريتفييلد Rietveld.

وتجدر بالذكر الإشارة إلى أن نجاح طريقة ريتفييلد يعتمد على إمكانية قياس شدة الانعكاسات الفردية وفصل الانعكاسات المترادفة فوق بعضها؛ ولذلك يفضل استخدام مصادر الأشعة السينية الصادرة من السينكروترون (انظر تذيل ٦).



شكل (١-١١)

### ٢-١-١١ تدقيق ريتفييلد: Rietveld Refinement

طريقة ريتفييلد في جوهرها ما هي إلا تدقيق بيانات حيود الأشعة السينية بطريقة المربعات الصغرى بحيث تصبح الفروق بين قيم شدة الأشعة المقاسة عملياً  $y_{i0}$  وتلك المحسوبة باستخدام شكل للجسم المحدث للتشتت  $y_{ic}$  لا أقل ما يمكن، وفي هذه الطريقة تعطى قيم لثقل هذه الفروق الفردية متناسبة مع مقلوب هذه الفروق يفترض في هذه الطريقة أن المادة عديدة التبلور متكونة من عدد كبير من البلورات المثالية وأن العينة لا تعانى من وجود اتجاه مفضل preferred orientation.

وبعد لريتفييلد يعرف معامل المقياس كالتالي:

$$s = \sum \omega_i |Y_{i0} - Y_{ic}|^2 \quad (11-1)$$

حيث  $\omega$  هو الثقل المناسب ويعطى بالمعادلة:

$$(\omega_i)^{-1} = \sigma_i^2 = \sigma_{ip}^2 + \sigma_{ih}^2 \quad (11-2)$$

$\sigma_{ip}$  هو الانحراف القياسي standard deviation الخاص بشدة الأشعة عند القيمة (وهو في المعتاد يعتمد على حسابات إحصائية)،  $\sigma_{ih}$  هو ذلك الخاص بشدة الأشعة الخلفية (back ground)،  $y_{ic}$  هو مجموع المساهمات من انعكاسات براج المجاورة بالإضافة للشدة الخلفية.

$$y_{ic} = s \sum_k m_k L_k |F_k|^2 G(\Delta\theta_{ik}) + y_{ib} \quad (11-3)$$

حيث  $s$  هو معامل القياس scale factor.

$L_k$  هو معامل لورنتز والاستقطاب للانعكاس  $k$  ،  $F_k$  هو معامل التركيب (multiplicity factor) .  $m_k$  هو معامل التضاعف (reflection profile function).

$$\Delta\theta_{ik} = 2\theta_i - 2\theta_k \quad (11-4)$$

حيث  $\Delta\theta_{ik}$  هو الموضع المحسوب لقيمة براج بعد إجراء التصويب (الخاص بالنقطة الصفرية لكشاف الأشعة) عليه،  $G(\Delta\theta_{ik})$  هي دالة الشكل الجانبي للانعكاس (reflection profile function).

المتغيرات التي يجب ضبطها بعملية التدقيق تشمل أبعاد الوحدة البنائية ومواقع الذرات والمتغيرات الحرارية والمتغيرات التي تعرف الدالة  $G$  ،  $y_{ib}$ .

وتعين نموذج دقيق لدالة الشكل الجانبي  $G(\Delta\theta_{ik})$  هو أحد الأشياء الأساسية في حالات دراسة شكل الحيوانات سواء كان ذلك للقمر المفردة أو للشكل كله كما في حالة ريفيلد، وقد أصبح ذلك حقيقة واضحة في الوقت الحاضر حيث أصبح من الممكن الحصول على التفاصيل في شكل الحيوانات باستخدام الأجهزة الحديثة، فشكل الحيوان يعتمد على متغيرات عديدة مثل مصدر الأشعة وشكل العينة ونوع المكشاف. وتباعاً لذلك فإنه توجد اختيارات كثيرة لشكل دالة الحيوان هي:

١- في حالة إذا كان شكل الحيوان يتبع توزيع جاووس (Gaussian) ..

$$\frac{C_0^{1/2}}{\sqrt{\pi} H_k} \exp(-C_0 X_{ik}^2)$$

٢- في حالة إذا كان شكل الحبيود .. Lorentzian

$$\frac{C_1^{1/2}}{\pi H_K} (1+C_1 X_{ik}^2)^{-1}$$

٣- في حالة إذا كان شكل الحبيود .. modif. 1 Lorentzian

$$\frac{2C_2^{1/2}}{\pi H_K} (1+C_2 X_{ik}^2)^{-2}$$

٤- في حالة إذا كان شكل الحبيود .. modif. 2 Lorentzian

$$\frac{C_3^{1/2}}{2H_K} (1+C_3 X_{ik}^2)^{-1.5}$$

٥- في حالة إذا كان شكل الحبيود .. pseudo - Voigt

$$\frac{\eta C_1^{1/2}}{\pi H_K} (1 + C_1 X_{ik}^2)^{-1} + (1-\eta) \frac{C_0^{1/2}}{\pi^{1/2} H_K} \exp(-C_0 X_{ik}^2)$$

with  $0 \leq \eta \leq 1$

حيث ..

$$C_0 = 4 \ln 2, \quad C_1 = 4, \quad C_2 = 4(\sqrt{2}-1), \quad C_3 = 4(2^{2/3}-1),$$

$$C_4 = 2^{\frac{1}{\beta}} - 1, \quad X_{ik} = \Delta \theta_{ik} / H_k$$

$H_k$  هو العرض الكلى عند نصف ارتفاع القمة لانعكاس براج . (FWHM) Full - width at half maximum (FWHM)

يكون عادة متغيرا مع زاوية التشتت حسب المعادلة ..

$$(FWHM)_G = \left( U \tan^2 \theta + V \tan \theta - W \right)^{1/2} \quad (11-5)$$

وذلك لمركبة جاووس . Gaussian components

كذلك ..

$$(FWHM)_L = (X \tan \theta + Y/\cos \theta) \quad (11-6)$$

وذلك لمركبة لورنتز ..

أما  $U, V, W, X, Y$  فهي كميات متغيرة.

أما بالنسبة للأشعة الخلفية back ground فإنه لا توجد طريقة معينة للتعامل معه فهو نتيجة لعدة مصادر هي :

الحجب غير الكافى insufficient shielding

التشتت المتشير diffuse scattering

التشتت غير الذاتى incoherent scattering

وهذه الأشعة الخلفية وتغيرها مع الزاوية غالبا ما تعرف بتدقيق متسلسلة فى 20 كالاتى :

$$y_{ib} = \sum_n b_n (2\theta_i)^n \quad (11-7)$$

حيث  $b_n$  هى متغيرات خاصة للتدقيق حسب المعادلة (11-1) والتوافق بين النموذج المقترض والبيانات العملية للحيود تقاس بالكميات الآتية :

١ - لشكل الحيود الكمية  $R_p$  تعطى بالمعادلة ..

$$R_p = \sum |y_{io} - y_{ic}| / (\sum y_{io})$$

٢ - لشكل الحيود المزود بالانتقال (weighted)  $R_{wp}$  تعطى بالمعادلة ..

$$R_{wp} = \left[ \sum \omega_i (y_{io} - y_{ic})^2 / \sum \omega_i y_{io}^2 \right]^{1/2}$$

٣- قيمة براج الكمية RB تعطى بالمعادلة ..

$$R_B = \Sigma |I_{ko} - I_{kc}| / (\Sigma I_{ko})$$

٤- قيمة جودة المطابقة (Goodness of fit) التي يجب أن تقترب من الواحد الصحيح .

$$GOFF = \sum \omega_i (y_{io} - y_{ic})^2 / (N-P) = \left( R_{wp}/R_E \right)^2$$

حيث N، P هما عدد النقاط في شكل الحيود وعدد المتغيرات التي يتم تدقيقها بالترتيب .

وأهم القيم السابق ذكرها هما قيمتي  $R_{wp}$ ، GOFF حيث توضحان في المقام القيم التي يجري تصغيرها، كذلك القيمة RB لها استخدام كبير حيث إنها تعتمد على مطابقة متغيرات التركيب أكثر من متغيرات شكل الحيود .

## ٢-١١ قياس حجم البلورات في المواد عديدة التبلور :

قياس حجم البلورات لعينات المواد عديدة التبلور بواسطة الأشعة السينية يعتمد على تأثيرين واضحين؛ أولهما هو الشكل العام لفيلم حيود الأشعة السينية الذي يمكن بمجرد النظر إليه تحديد إذا كانت العينة تتكون من بلورات كبيرة أو صغيرة وثانيهما هو خطوط الحيود، وقد زاد عرضها نتيجة صغر حجم البلورات عن حد معين .

الطريقة الأولى تستخدم إذا كان حجم البلورات أقل من  $10^{-4} \text{ cm}$  في الطول والظاهرة الثانية لا تبدو واضحة إلا إذا صغر حجم الحبيبات إلى بعد يقل عن  $10^{-5} \text{ cm}$  وبذلك توجد منطقة لا يمكن قياس حجم الحبيبات فيها وهي الواقعة بين  $10^{-5} \text{ cm} \text{، } 10^{-4} \text{ cm}$  ولكن بصفة عامة فإن استخدام الأشعة السينية يمكن أن يعطي منطقة تعين حجم البلورات جيدا.

## ١-٢-١١ أفلام المساحيق النقطية:

نفترض أن فيلما فوتوغرافيا قد أخذت مادة عديدة التبلور باستخدام أشعة سينية تحتوى على أشعة الطيف المستمر والطيف الخطى كما هو المعتاد، فحجم بلورات العينة سيكون له أثر على شكل الفيلم، وعلى سبيل المثال إذا كانت البلورات كبيرة وكانت العينة ثابتة في وضعها بالنسبة للأشعة الساقطة عليها فإنه في هذه الحالة سنحصل على فيلم ربما يحتوى على انعكاسات نتيجة أشعة الطيف الخطى وربما لا، ولنفترض أن العديد من البلورات قد سقطت عليها الأشعة فإنه في هذه الحالة سيكون شكل الحيد عبارة عن أفلام عديدة (Laue) تقع فوق بعضها البعض يستحيل تفسير (معرفة) المستويات التي تحدث هذه الانعكاسات والانعكاسات الحادثة من المستويات نتيجة الأشعة المميزة تكون هي الأكثر احتمالا للظهور حيث توجد فرصة لأن تكون المستويات في وضع يسمح لها بانعكاس لهذه الأشعة وهي تكون لها قوة كبيرة، وكلما زاد عدد البلورات المعرض للأشعة يزداد عدد النقط للانعكاسات بالأشعة المميزة ويمكن التعرف عليها بسهولة لأنها تقع في موقع خطوط المساحيق للأشعة المميزة أي أن الفيلم الفوتوغرافي يصبح له شكل فيلم نقطى ولكن الخلفية للفيلم تكون أيضا نقطية لفيلم لاوى.

وكلما أصبح حجم البلورات أصغر تصبح مساحة النقط أصغر وقريبة من بعضها البعض وبذلك تصبح خطوط المسحوق الناتج من الأشعة المميزة أكثر تساويا في الشدة كما تصبح الخلفية في الفيلم أكثر تجانسا.

وإذا صغر حجم البلورات أكثر لا نستطيع بهذه الطريقة التعرف على أي تغيرات في حجم البلورات وعادة تكون هذه الحدود هي حوالي  $10^{-4} \text{ cm}$ .

## ٢-٢-١١ طريقة تعين حجم الحبيبات من الفيلم النقطى:

من الصعب تعين حجم الحبيبات من الأفلام والطريقة الأفضل كما وضعها كلارك Clark سنة ١٩٤٠ هي بأخذ أفلام قياسية لعينات سبق تعين حجم الحبيبات لها بواسطة الميكروскоп.

تؤخذ أفلام للعينات تحت الاختبار بواسطة نفس الجهاز ومن مظهر الأفلام يمكن أن تكون فكرة جيدة عن حجم الحبيبات، وهذا يصلح فقط إذا كانت العينة

تعطينا فيلما نقطيا حيث يمكن أن تعد النقط في الحلقة فتدلنا على حجم الحبيبات في العينة.

من الضروري استخدام نفس الجهاز للأفلام القياسية والأفلام تحت الاختبار وحتى إذا روئى ذلك فإن النتائج التي نحصل عليها تعطينا أحياناً قيمة غير صحيحة، وهذا نتيجة أن توزيع أحجام الحبيبات في العينة غالباً ما يكون له تأثير على شكل الفيلم (توزيع الأحجام يعني الخلط بين حبيبات كبيرة وصغيرة) كما أن العينات تحت المقارنة يجب أن تكون مشابهة لتلك الصادرة من عينات ذات حجم أقل للحبيبات وبذا يتضح أن هذه الطريقة بهذه المصاعب تبدو أنها لا تتميز بمقارنتها بطريقة الميكروскоп.

### ٣-١١ زيادة العرض لخطوط الحبيبات من المساحيق:

#### The Broadening of Powder Lines

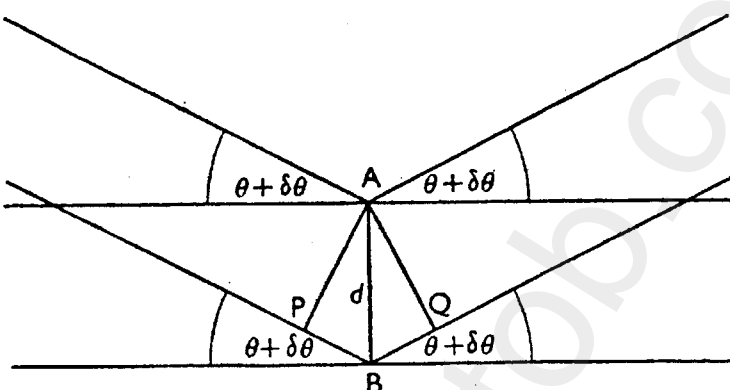
لتفهم السبب في أن خطوط حبيبات الأشعة السينية من المساحيق تصبح ذات عرض أكبر من الطبيعي في حالة البلورات صغيرة الحجم سنعيد التفكير في استنباط قانون براج على أن منتدى بالطريقة لتشمل عملية التقوية غير الكاملة للموجات المشتدة بواسطة مستويات الشبكة المتالية، فقانون براج ( $2d \sin \theta = \lambda$ ) يتم اشتقاده بأن مجرد الظروف التي تكون فيها الموجات المنعكسة من كل المستويات في البلورة متحدة في الطور مع بعضها البعض. وعلى أي حال سيكون هناك كمية محسوسة من الأشعة مشتتة حتى لو كان القانون غير متحقق تماماً (بدقة).

وفيما يلى سنوضح أن الانحراف الممكن حدوثه عن تحقيق هذا القانون سيكون أكبر إذا كانت البلورات أصغر.

ففي حالة البلورات الصغيرة يكون الانحراف (البعد) كبير للدرجة كبيرة حتى أن الانعكاسات تبدو واضحة على مدى أوسع من الزوايا وبذلك تسمى الخطوط: خطوطاً عريضة.

\* القيمة العددية للعرض يمكن استنتاجها بطريقة بسيطة وضعها ستوكس.

نفترض شعاعاً من الأشعة السينية يسقط على مجموعة من المستويات  $2m + d\theta$  حيث يتشتت بنفس الزاوية (يتضح من الشكل أنه إذا لم يتحقق ذلك الشرط فإنه لن يحدث أى شعاع ضعيف متشتت من المستويات الممتدة).  $\delta\theta$  هي زاوية الانحراف (البعد) عن زاوية براج  $\theta$  لانعكاس من مستويات الشبكة.



شكل (٢-١١)

أشعة سينية ساقطة على مستويات شبكة بلورية بزاوية تختلف قليلاً عن زاوية براج

يتضح من الشكل (٢-١١) أن الفرق في المسار  $PBQ$  للموجات المشتتة من المستويات المتعاقبة هو  $2d \sin(\theta + \delta\theta)$  وشرط التقوية الكاملة للموجات هو بالطبع  $\lambda = 2d \sin \theta$ . ولكن نفترض أن  $\delta\theta$  لها قيمة بحيث إن المستوى  $m + 1$  يقوم بتشتيت الموجات بحيث يكون الفرق في الطور بين هذه الموجات والتى تتشتت من المستوى الأول يساوى  $180^\circ$  أى أن:

$$2md \sin(\theta + \delta\theta) = \left(m + \frac{1}{2}\right)\lambda \quad (11-8)$$

بدلاً من قانون براج . .

$$2md \sin\theta = m\lambda \quad (11-9)$$

إذا كانت المعادلة (11-8) صحيحة للمستوى الأول والمستوى  $m+1$  فإنها ستكون صحيحة أيضاً لأى مستوىين لهما نفس الإزاحة (المسافة الفاصلة Separation) وذلك حتى المستويات  $.2m, m$ .

وعلى ذلك فإن البلورة يمكن تقسيمها لجزئين حيث يكون التشتت من الجزء الأول منها له فرق في الطور يساوى  $180^\circ$  عن ذلك المتشتت من الجزء الثاني وبذلك يلاشى كل منهما الآخر. وقيمة الزاوية  $\delta\theta$  المبين بالمعادلة (11-8)، (11-9) تكون هي القيمة المقابلة لتشتت قيمته الصفر.

وقيمة الزاوية  $\delta\theta$  يمكن استنتاجها بطرح المعادلة (9-11) من المعادلة (8-11) الذي يعطى ..

$$2md \cos \theta \delta\theta = \lambda/2$$

أو :

$$\delta\theta = \lambda/2t \cos \theta \quad (11-10)$$

حيث  $t = 2 md$  هي سمك البلورة. والتشتت من البلورة يكون أيضاً مساواً للصفر عندما تكون  $\delta\theta = \lambda/2t \cos \theta$ ، وبذلك تكون الزاوية بين الاتجاهين اللذين يكون عندهما التشتت متساوية للصفر هي  $\lambda/t \cos \theta$ .

وهذه القيمة لا يمكن اعتبارها قيمة دقيقة في ظل الافتراض الذي وضع عند اشتقاها.

ويستخدم مفهوم الشبكة المقلوبة (صفحة ١٢٢) نuber عن العرض الزائد للاتعكاسات بأنه زيادة في مساحة النقطة في الشبكة المقلوبة، فإذا كانت البلورة كروية الشكل ولها نصف قطر  $t$  تكون كل نقطة في الشبكة المقلوبة لها نصف قطر  $\delta\theta = \lambda/t \cos \theta$ .

وفي هذه الحالة تكون المسافة من مركز الشبكة في الفراغ المقلوب متساوية للكمية.

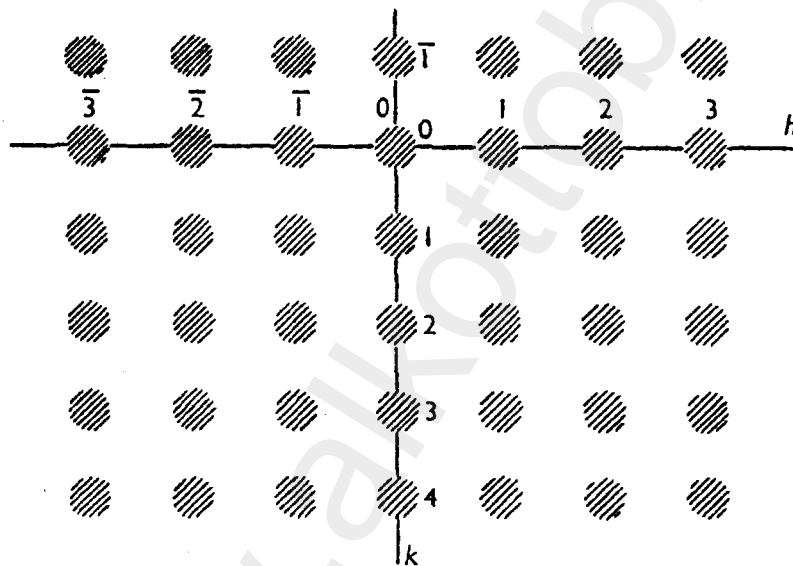
$$\lambda/d = 2 \sin \theta \quad (11-11)$$

وبذلك يكون قطر كل نقطة في الشبكة المقلوبة  $(2 \sin \theta) \delta$  مساوياً للكمية  $.2 \cos \theta \delta \theta$ .

ومن قيمة  $\delta \theta$  الموضحة فيما سبق نجد أن قطر كل نقطة في الشبكة المقلوبة يعطى بالمعادلة ..

$$(\lambda/t \cos \theta) \times 2 \cos \theta = 2 \lambda/t \quad (11-12)$$

وهي قيمة لا تعتمد على  $\theta$ ، وعلى هذا فكل نقط الشبكة المقلوبة تكون ذات عرض واحد. (شكل ٣-١١).



شكل (٣-١١)

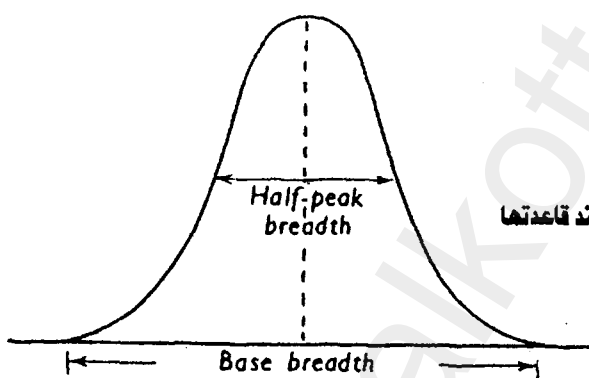
مقطع في الشبكة المقلوبة لبورة كروية صغيرة الحجم

### ١-٣-١١ تعريف عرض خطوط الحيود Definitions of breadths

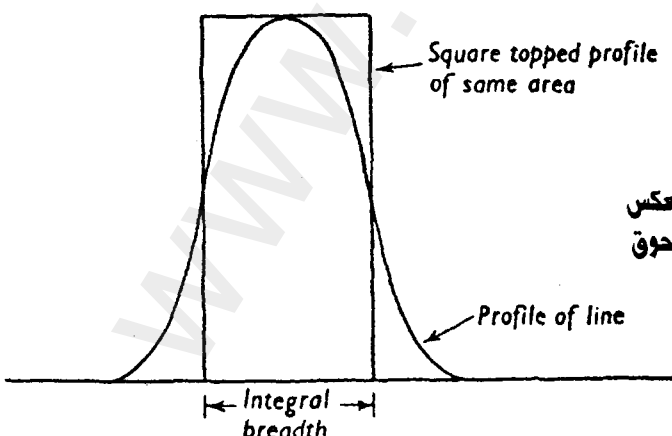
على الرغم من أن العرض الزائد في خطوط حيود أشعة إكس يمكن ملاحظته بالعين المجردة إلا أنه يجب تعريفه كمياً، فكما هو واضح من الشكل فإن طول قاعدة الخط يصعب قياسه بدقة حيث إنه كما يبدو من الشكل فإن حدود الخط لا تبدو واضحة.

ويستخدم مفهوم العرض عند منتصف طول القمة half peak breadth وهي المسافة بين النقطتين التي تكون عندها الشدة لها نصف قيمة القمة (شكل ٤-١١) ومع أن هذا التعريف قد استخدم كثيراً فإنه يعاني من عيب أساسى وهو أنه لا يأخذ في الاعتبار الجزء السفلي من شكل خط الحيود line profile، وقد اقترح لاوي سنة ١٩٢٦ مفهوماً آخر وهو العرض التكاملى integral breadth وهو عرض الخط باعتبار شكله له قمة مربعة الشكل حيث تكون المساحة الكلية للشكل وكذلك الارتفاع مماثلاً لشكل الخط كما هو موضح بشكل (٥-١١) وتبعاً لهذا التعريف يمكن الحصول على عرض الخط بقسمة المساحة الكلية على قيمة القمة لشدة الأشعة.

$$\beta = \frac{\int_{2\theta_1}^{2\theta_2} I(2\theta) d(2\theta)}{I_{\max}} \quad (11-13)$$



شكل (٤-١١)  
العرض عند منتصف ارتفاع القمة وعند قاعدتها



شكل (٥-١١)  
العرض التكاملى لخط منعكس  
من عينة على هيئة مسحوق

## ٤-٣-١١ طريقة وارين لقياس العرض:

### Warren's method of measurement of broadening

يجب الأخذ في الاعتبار أنه حتى في حالة البلورات الكبيرة المثالية (perfect) تكون الانعكاسات ذات عرض محدد وهذا يرجع لعدة أسباب هي:

١- تفرق أو تباعد الأشعة الساقطة (divergence).

٢- أبعاد العينة.

٣- العرض الطبيعي لأشعة إكس نفسها.

وتوجد صعوبات نظرية للأخذ في الاعتبار هذه العوامل.

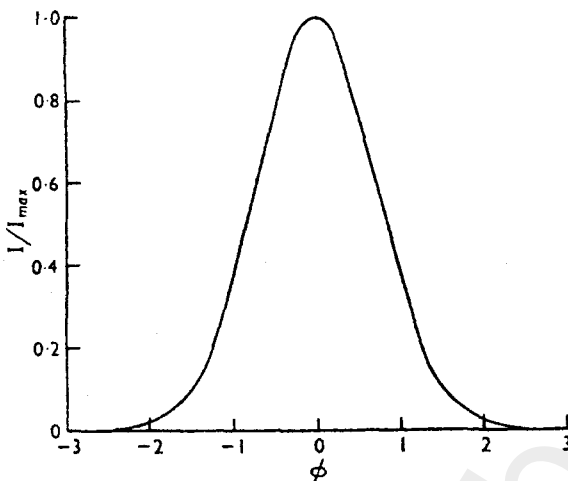
وفي سنة ١٩٤١م اقترح وارين Warren أن مربع الأجزاء من عرض الخطوط يمكن جمعها على بعضها، فإذا كان  $B$  هو العرض الكلى لخط الحبيود،  $b$  هو العرض نتيجة الظروف العملية المذكورة سابقاً فيكون  $\beta$  هو العرض نتيجة صغر حجم البلورات حيث يعطى بالمعادلة:

$$\beta^2 = B^2 - b^2 \quad (11-14)$$

ويثبت هذه العلاقة يعتمد على فرضية أن توزيع الشدة على خط الانعكاس له الشكل :

$$I = I_{\max} \exp(-\alpha \varphi^2) \quad (11-15)$$

ويسمى منحنى الخطأ (error curve) حيث  $I$  هي شدة الأشعة المقاسة عند زاوية انحراف  $\varphi$  من القيمة الحقيقة للكميات  $\theta$ ،  $\alpha$  هي كمية ثابتة وهذه الدالة الموضحة بشكل (٦-١١) اختيرت لأن لها القيمة العظمى عند  $\varphi = zero$  وتقل إلى الصفر كلما ازدادت قيمة  $\varphi$ ، كما أنه في طريقة إثبات العلاقة السابقة يفترض أن عناصر الانعكاسات (elements of broadening) لها أيضاً هذا الشكل.



شكل (٦-١١)  
منحنى الخطأ

$$I = I_{\max} \exp(-\phi^2)$$

ومن الواضح أن العرض الطبيعي للخط المنبعث لا يتوافق مع هذه الفرضية ذلك لأنه يحتوى على قمتين هما  $\alpha_1$  ،  $\alpha_2$  ويجب مراعاة أن يؤخذ فى الاعتبار أن يكون  $B_T$  هو العرض المشاهد عملياً بعد تصحيحه نتيجة وجود الثنائي  $\alpha_1 \alpha_2$ . عملياً لا يمكن اعتبار طريقة وارين يمكن تطبيقها في جميع الأحوال لأن عناصر عرض الانعكاسات (elements of broadening) لا يكون لها شكل منحنى الخطأ.

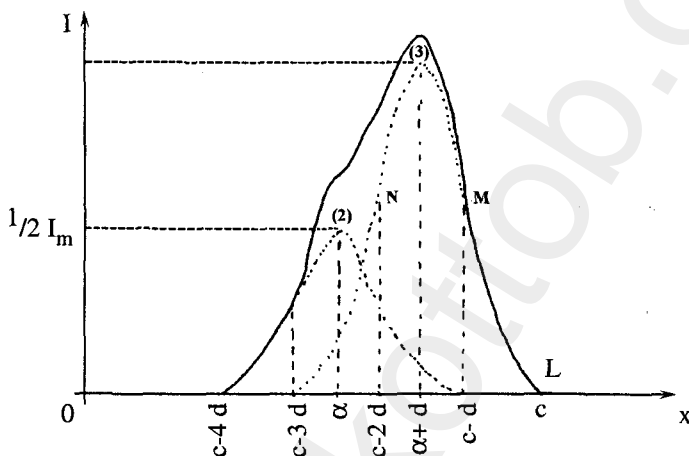
### ٣-٣-١١ تصحيح راشنجر لقياس عرض الخطوط لازدواج $: \alpha_1 \alpha_2$

**Rachinger Correction for the  $\alpha_1 \alpha_2$  doablet in the measurement of widths of lines**

أحد الصعوبات التي تواجه قياس عرض الخطوط هي ازدواج الخطوط نتيجة  $\alpha_1 \alpha_2$  وهذه الخطوط المزدوجة تقع فوق بعضها عندما تصبح الخطوط عريضة وتكون المشكلة هي الحصول على عرض  $\alpha_1$  في وجود  $\alpha_2$ .

والمعلومات التي يمكن الحصول عليها هي:

- أ- شكل الخط المزدوج  $(\alpha_2 + \alpha_1)$ .
- ب- البعد بين المكونين  $\alpha_1$  ،  $\alpha_2$  الذي يمكن حسابه من المسافة بين المستويات العاكسة وطول الموجتين  $\alpha_1$  ،  $\alpha_2$  والشكل الهندسي للجهاز.
- ج- نسبة شدة الخط  $\alpha_1$  إلى الخط  $\alpha_2$  الذي أمكن قياسه سابقاً وهو يساوى 2 تقريرياً.



شكل (٧-١١)

الشكل (٧-١١) يوضح خطين  $\alpha_1$  ،  $\alpha_2$  لأحد الانعكاسات والمحصلة أي الخط الذي يوضح تمثيلهما بالمعادلتين:

$$I \alpha_1 = f(x) \quad (11-16)$$

$$I \alpha_2 = f(x-d) = \frac{1}{2} f(x) \quad (11-17)$$

حيث  $d$  هي المسافة بينهما وذلك لأن..

$$2 = \frac{\text{شدة المكون } \alpha_1}{\text{شدة المكون } \alpha_2}$$

العرض التكاملى  $B$  (Integral width) للمكون  $1$  هو الكمية المراد تعينها يمكن الحصول عليها من المعادلة :

$$B = \frac{\frac{\alpha_1}{\alpha_2} \frac{\text{المساحة المحسورة بواسطة المنحنى}}{\text{ارتفاع القمة للمنحنى}}}{I_m} = \frac{\int f(x) dx}{I_m}$$

$$= \frac{2/3 \left( \frac{\alpha_1 + \alpha_2}{I_m} \right)}{(11-18)}$$

أى أن المطلوب هو فقط قياس العرض التكاملى وذلك للحصول على  $I_m$  وأكثر الطرق استخداما لتعيين  $I_m$  هي تلك الخاصة بالعالم Brill وتلك الخاصة بـ Jones إلا أنها طرق غير دقيقة حيث إنها تفترض شكلا علينا خط الحيود وأفضل منها طريقة الرسم التى باستخدامها يمكن تعين  $I_m$  وكذلك فصل الأزواح  $\alpha_1$  ،  $\alpha_2$  تماما، وهى تتلخص فى أنه من الواضح أن شدة الانعكاس  $\alpha_1$  يكون مساويا للصفر عند  $x = c$  وأن المنحنى  $\alpha_2$  تصبح قيمته صفر عند  $d - c = x$  وعلى ذلك فإن المنحنى المحصل  $\alpha_2 + \alpha_1$  يصبح متفقا مع المنحنى (LM)  $\alpha_1$  فى المدى (المنطقة)  $c \leq x \leq d$  وبناء لذلك فإنه من هذا الجزء المعلوم من المنحنى  $\alpha_1$  يمكن استنباط شكل الأجزاء الباقية وتكون الخطوط كما يلى :

نقسم الشكل إلى شرائط مستطيلة رأسية بحيث يكون البعد الأفقي يساوى  $d$  فيكون المحور الرأسى الأول عند  $x=c$  ويمكن رسم المنحنى  $\alpha_2$  فى المنطقة  $(LM)$   $c - 2d \leq x \leq c - d$  من القطاع المحدد بالخطين  $x = c$  ،  $x = c - d$  (أى المنحنى  $\alpha_2 + \alpha_1$ ) وذلك بتخفيض قيمة المحدى الرأسى للجزء  $LM$  بمقدار النصف ثم إزاحة هذا المنحنى مسافة  $d$  فى الاتجاه  $x$  - بعد ذلك يمكن الحصول على المنحنى  $\alpha_1$  فى المنطقة  $MN$  بطرح المنحنى  $\alpha_2$  من المنحنى  $\alpha_2 + \alpha_1$ .

وتعاد نفس الخطوات بقسمة كل قيم المحور الرأسى على 2 وذلك للمنحنى  $\alpha_1$  فى المنطقة  $c - 2d \leq x \leq c - 3d$  أى  $MN$  وإزاحة هذا المنحنى المنخفض مسافة  $-d$

وبذلك يمكن الحصول على المنحنى  $\alpha_2$  في هذا المدى ثم يتم الحصول على المنحنى  $\alpha_1$  في المدى السابق بعملية طرح المنحنى  $\alpha_2$  من المنحنى  $\alpha_1 + \alpha_2$  وتعاد العملية مرة ثانية حتى يمكن الحصول على عملية تفريق لكل المنحنى وعملية رسم المنحنى  $\alpha_2$  من المنحنى  $\alpha_1$  بتخفيض القيمة الرئيسية للمنحنى  $\alpha_1$  إلى النصف واستبعاد ذلك بالإزاحة للمنحنى المنخفض مسافة  $d$  - تم بسهولة باستخدام مسطرة مزدوجة الجدار ذات سmk  $d$ .

وبهذه الطريقة السابقة يمكن تعين  $I_m$  وبالتالي العرض التكاملي للخط  $\alpha_1$  ببساطة وحيث إنه أمكن تفريق الأزدواج فإنه يمكن تعين قيمة نصف العرض للخط المفرد (أى قيمة العرض عند نصف الارتفاع أو أية قياسات أخرى).

#### ١١-٤ التحليل الالتفافي لعوامل التجهيزات المؤثرة على شكل الحيوذ:

##### Convolution analysis of the instrumental factors affecting diffraction profile

لمعرفة تأثير أى جهاز للحيود على قمة الانعكاس فإن القمة يمكن تحليلا باعتبار أن الشكل الجانبي للقمة ( $\epsilon$ )  $h$  هو عبارة عن تعانق (convolution) بين شكل الحيود النقى (pure) ( $\epsilon$ )  $f$  ودالة الأجهزة المستخدمة ( $\epsilon$ )  $g$ .

$$h(\epsilon) = \int_{-\infty}^{+\infty} g(\zeta) f(\epsilon - \zeta) d\zeta \quad (11-19)$$

والكمية ( $\epsilon$ )  $h$  تعرف عند علماء الرياضية بأنها التعانق (fold) بين ( $\epsilon$ )  $f$  ، ( $\epsilon$ )  $g$  (انظر المثال آخر الفصل) والدالة  $g$  تعبر عن تأثير الأجهزة على الدالة النقية ( $\epsilon$ )  $f$  والمتغير  $\epsilon$  هو مقياس الانحراف الزاوي لأى نقطة عن القيمة النظرية لزاوية التشتت  $20^\circ$  وهى والمتغير  $\zeta$  الإضافى لهما نفس الوحدات dimensions.

## ١٤-١ تحليل فوريير لشكل الخطوط:

### Fourier Analysis of Line profiles

أفضل طريقة لإجراء تصحيح لعرض الخطوط نتيجة الظروف العملية هي طريقة التحليل الانلتفافي Convolution analysis وتبعداً لهذه النظرية فإن لأى جهاز للحجيد دالة  $(\epsilon) g$  حيث يمكن تحويل الشكل النقى لخطوط الحجود  $(\epsilon) f$  إلى الشكل  $(\epsilon) h$  المشاهد عملياً حسب المعادلة:

$$h(\epsilon) = \int_{-\infty}^{+\infty} g(\zeta) f(\epsilon - \zeta) d\zeta \quad (11-20)$$

وهذه المعادلة يمكن كتابتها بالشكل:

$$h(\epsilon) = \int_{-\infty}^{+\infty} f(\zeta) g(\epsilon - \zeta) d\zeta \quad (11-21)$$

في البدايات تمكّن جونز Jones من إثبات أن مثل هذه المعادلة تعطى العلاقة بين شكل الخط النقى pure diffraction maximum وشكل الخط الذى نحصل عليه عملياً، ثم أوضح كل من shull، stokes، Paterson كيف أن الدالة  $(\epsilon) f$  يمكن الحصول عليها من الدوال المقابلة عملياً  $(\epsilon) g$ ،  $(\epsilon) h$  باستخدام نظرية تحويلات Fourier transform كالآتى:

نفترض أن الدوال  $(\epsilon) h$ ،  $(\epsilon) g$ ،  $(\epsilon) f$  يمكن تمثيلها بمسلسلة فوريير:

$$f(\epsilon) = \frac{1}{\sqrt{2\pi}} \int_{-\infty}^{+\infty} F(\zeta) e^{-2\pi i \epsilon \zeta} d\zeta \quad (11-22)$$

$$g(\epsilon) = \frac{1}{\sqrt{2\pi}} \int_{-\infty}^{+\infty} G(\zeta) e^{-2\pi i \epsilon \zeta} d\zeta \quad (11-23)$$

$$h(\epsilon) = \frac{1}{\sqrt{2\pi}} \int_{-\infty}^{+\infty} H(\zeta) e^{-2\pi i \epsilon \zeta} d\zeta \quad (11-24)$$

في هذه المعادلات تكون المعاملات  $F, G, H$  هي تحويلات Fourier لالمعادلات  $f, g, h$  ويمكن أن تعطى بمعادلات كالمعادلة الآتية:

$$F(\zeta) = \frac{1}{\sqrt{2\pi}} \int_{-\infty}^{\infty} f(\epsilon) e^{2\pi i \epsilon \zeta} d\epsilon \quad (11-25)$$

وغيرها.

وبالتعويض عن  $f, g, h$  من المعادلات (11-23), (11-22), (11-24) في (11-20) نحصل على ..

$$F(\zeta) = \frac{H(\zeta)}{G(\zeta)} \quad (11-26)$$

التي تعطينا للمعادلة (11-22) القيمة ..

$$f(\epsilon) = \frac{1}{\sqrt{2\pi}} \int_{-\infty}^{\infty} \frac{H(\zeta)}{G(\zeta)} e^{-2\pi i \epsilon \zeta} d\zeta \quad (11-27)$$

وهذا التكامل يجعل من الممكن حساب شكل الحبيبات  $f$  من معرفة تحويل Fourier لكل من الدوال المقاسة  $h, g$  ، ويمكن استبدال شكل التكامل في المعادلة بالشكل الأسني حيث يكون أكثر عمومية للسماح له بأن يجرى التكامل على الدوال التماثلية وغير التماثلية.

وتبعاً لطريقة ستوكس Stokes' method يتم استبدال التكامل بالتجمیع كما تغير حدود  $\epsilon$  من  $\pm \infty$  إلى  $\pm \epsilon_m$  وهي النهاية الصغرى للمتغير  $\epsilon$  حيث يحدث للقيم الأبعد فيها أن تقل شدة الأشعة إلى قيمة شدة الخلفية back ground وعلى هذا يمكن كتابة (11-27) كالتالي:

$$f(\epsilon) = \frac{1}{\sqrt{2\pi}} \sum_{\zeta} \frac{H(\zeta)}{\epsilon_m G(\zeta)} e^{-2\pi i \epsilon \zeta / \epsilon_m \Delta \zeta} \quad (11-28)$$

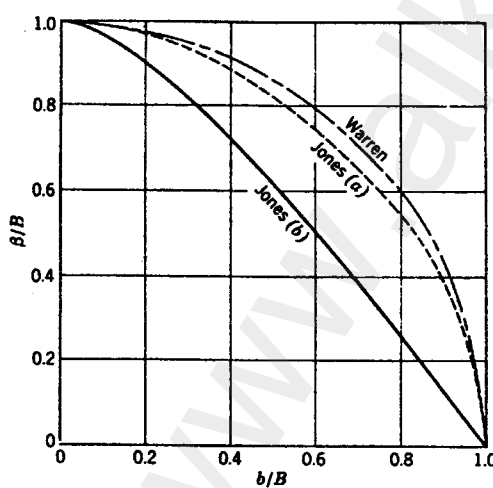
## ٢-٤-١١ طريقة جونز Jones لقياس عرض الانعكاسات:

اقتصر جونز Jones طريقة أخرى لتصحيح عرض الانعكاسات نتيجة وجود عرض لها أصلاً يعتمد على الظروف العملية إلا أنها ليست بالدقة التي تتناولها طريقة تحويل فوريير ولكنها تعتبر طريقة سريعة، فقد أثبت جونز أن كل قيم العرض التكاملى  $B$  ،  $\beta$  ،  $b$  تخضع للعلاقة :

$$\frac{f(\varepsilon)}{h(\varepsilon)} = \frac{\text{عرض}}{\text{عرض}} = \frac{\beta}{B} = \frac{\int f(\varepsilon) g(\varepsilon) d\varepsilon}{\int g(\varepsilon) d\varepsilon} \quad (11-29)$$

$$\frac{g(\varepsilon)}{h(\varepsilon)} = \frac{\text{عرض}}{\text{عرض}} = \frac{b}{B} = \frac{\int f(\varepsilon) g(\varepsilon) d\varepsilon}{\int f(\varepsilon) d\varepsilon} \quad (11-30)$$

والدالة  $g(\varepsilon)$  تكون غير متغيرة في حالة ثبات الظروف العملية التي تجرى عندها التجربة؛ ولذلك يمكن تعينها بقياس توزيع شدة الانعكاس لمادة يكون حجم بلوراتها كبيراً وبذلك تكون انعكاساتها لا تحتوى على عرض زائد، وقد أجرى جونز



شكل (٨-١١)

منحنى التصحيح لعرض خطوط الانعكاسات نتيجة عوامل التجهيزات العملية

الحسابات على خط الانعكاس عند زاوية  $\theta = 80^\circ$  حتى يكون الخطان  $k\alpha_2$  ،  $k\alpha_1$  منفصلين تماماً، وبالنسبة للدالة  $f(\varepsilon)$  فقد استخدم جونز المعادلة  $\frac{1}{(1+k^2\varepsilon^2)}$  للتعبير عن توزيع حجم البلورات في العينة وقام بحساب المعادلين (11-29)، (11-30) لمدى واسع من حجم البلورات وذلك بتغيير العرض لشكل الانعكاس  $(\varepsilon)$  حيث حصل على المنحنيات  $b$ ،  $a$  شكل (٨-١١) التي تعطى العلاقة بين  $b/B$  ،  $\beta/B$  عندما

تكون  $f = \frac{1}{(1+k^2\epsilon^2)}$  ،  $f(\epsilon) = e^{-k^2\epsilon^2}$  بالترتيب كما يوضح الشكل طريقة وارين Warren برسم المعادلة (14-11) في شكلها:

$$\frac{\beta}{B} = \sqrt{1 - \frac{b^2}{B^2}} \quad (11-31)$$

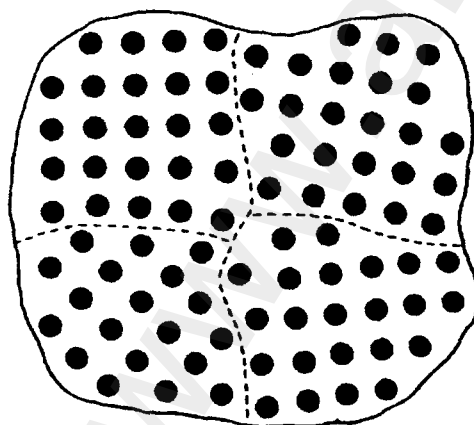
ويوضح الشكل (٨-١١) أن المنحنيات لا تختلف عن بعضها كثيراً حيث (وهو شيء متوقع) أن  $\epsilon$  g قريبة من توزيع جاوس Gaussian كما أن  $f(\epsilon)$  في الطريقتين تتبع توزيع جاوس.

#### ٦-٥ التطبيقات العملية لقياس عرض الانعكاسات :

##### ٦-٥-١ حجم البلورات الظاهري Apparent crystal size:

يستخدم عرض خطوط أشعة الحيدود كثيراً لتعيين حجم البلورات وهنا يجدر بنا الإشارة إلى أن الكمية التي تعين بهذه الطريقة هي حجم البلورات وليس حجم الحبيبات حيث إن الحبيبة الواحدة يمكن أن تحتوى على عدة بلورات (شكل ٩-١١).

$$t = k \frac{\lambda}{\beta} \cos \theta \quad (11-32)$$



شكل (٩-١١)

(وضع النزارات في حبيبة تتكون من أربع بلورات صغيرة)

وقد قام كثير من العلماء بتقدير قيمة  $k$  حيث أعطيت فيما كثيرة كلها تقارب الواحد الصحيح ( $k = 0.89$  أو  $1.0747$  أو  $0.92$  أو  $0.94$ ) ولذلك سميّت قيم  $t$  التي نحصل عليها من المعادلة بالحجم الظاهري للبلورات.

## ٢-٥-١١ العيوب التزكيبية: Structural Faults

إن وجود العيوب في البلورات على مستوى الذرات يمكن أن يؤدى إلى وجود عرض زائد لبعض الانعكاسات وقياس هذا العرض للخطوط المختلفة يمكن أن يعطينا معلومات عن نوع هذه العيوب وتعدد حدوثها.

وقياس عرض الانعكاسات يعتبر ذا أهمية أيضاً في دراسة المعادن المعرضة للتشغيل على البارد cold worked metals فمع أنه من المفترض أن عرض الانعكاسات الحادث هو بالدرجة الأولى نتيجة صغر حجم البلورات الذي يحدث للمعادن بعد تشغيلها على البارد فإن التجارب العملية تشير إلى أن العرض الزائد للانعكاسات هو نتيجة لحدوث تشوهات في الشبكة البلورية وهو ما يسمى أحياناً بالانفعال الميكروني micro strain وال العلاقة بين مثل هذا الانفعال وعرض الخطوط يمكن أن نحصل عليها بتفاضل قانون براج  $2d \sin \theta = \lambda$  حيث نحصل على:

$$\beta = \Delta 2\theta = -2 \frac{\Delta d}{d} \tan \theta$$

وحيث إن الكمية  $\frac{\Delta d}{d}$  تحتوى على كل من انفعال الشد وانفعال الضغط فإن انفعال الشد يكون مساوياً للمقدار

$$\therefore \epsilon = \frac{B}{4 \tan \theta} \quad (11-33)$$

وعندما يكون عرض الخطوط هو نتيجة لعاملين هما صغر حجم الحبيبات والتشوه في الشبكة البلورية فإن طريقة تعين كل منهما من قياس عرض الخطوط يكون بأحد الطرق:

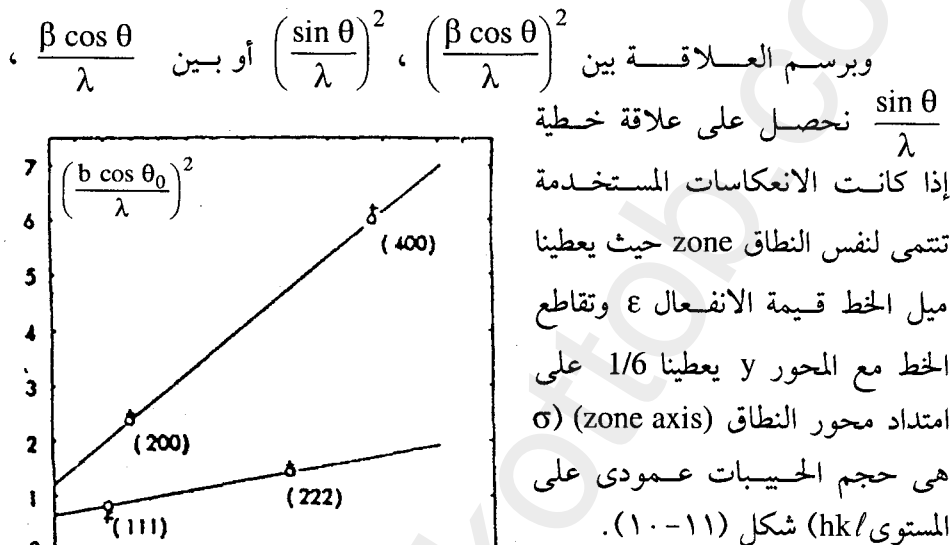
### ١- طريقة العرض التكاملى:

التأثير المزدوج على عرض الخطوط يعتمد على توزيع حجم الحبيبات وكذلك على توزيع الانفعال فإذا كان يتبع جاوس (Gaussian distribution) فإن المعادلة تكون:

$$\left(\frac{\beta \cos \theta}{\lambda}\right)^2 = \left(\frac{1}{\sigma}\right)^2 + \left(4\varepsilon \frac{\sin \theta}{\lambda}\right)^2 \quad (11-34)$$

وإذا كان التوزيع يتبع Cauchy فإن المعادلة تكون ..

$$\frac{\beta \cos \theta}{\lambda} = \frac{1}{\sigma} + 4\varepsilon \frac{\sin \theta}{\lambda} \quad (11-35)$$



$$\left(\sin \theta_0 / \lambda\right)^2 = \left(\frac{h_0}{2a}\right)^2$$

شكل (١٠-١١)

### ب- طريقة الاختلاف:

#### Variance method

يعرف الاختلاف (Variance)  $W(2\theta)$  في شكل خط الانعكاس على أنه العزم الثاني حول مركز الثقل center of gravity حيث يؤخذ مركز الثقل على أنه مقاييس لموقع الخط ويكون متوسط مربع الانحراف (البعد) عن مركز الثقل هو:

$$W(2\theta) = \frac{\int (2\theta - \langle 2\theta \rangle)^2 I(2\theta) d(2\theta)}{\int I(2\theta) d(2\theta)} \quad (11-36)$$

حيث  $\langle 2\theta \rangle$  هو مكان مركز التماثل الذي يعطى بالمعادلة ..

$$\langle 2\theta \rangle = \frac{\int 2\theta I(2\theta) d(2\theta)}{\int I(2\theta) d(2\theta)} \quad (11-37)$$

وقد وضع ولسون Wilson افتراض أن الاختلاف (Variance) الحقيقي يمكن أن يعطى بالمعادلة ..

$$W_s = W_h - W_g \quad (11-38)$$

حيث  $W_s$  هو الاختلاف الحقيقي . True Variance

$W_h$  هو الاختلاف المقاس من شدة الانعكاس المشاهد عمليا .

$W_g$  هو الاختلاف نتيجة تجهيزات القياس .

والاختلاف الحقيقي هو مجموع الاختلاف نتيجة صغر حجم الحبيبات والاختلاف نتيجة الانفعال Particle size Variance و قد وضع ولسون المعادلة التالية :

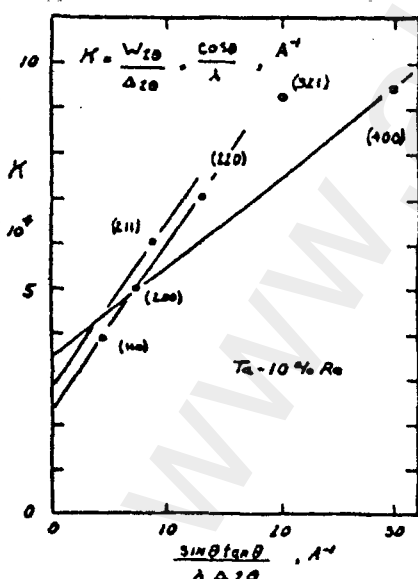
$$W(s) = W(2\theta) \frac{\cos^2 \theta}{\lambda^2} \quad (11-39)$$

$$\therefore W(s) = \frac{\cos \theta \Delta 2\theta}{2\pi^2 \lambda} \frac{1}{D_v(hk\ell)} + \langle \varepsilon_v^2 \rangle 4 \frac{\sin^2 \theta}{\lambda^2} \quad (11-40)$$

$$\therefore \frac{W(2\theta) \cos \theta}{\lambda \Delta 2\theta} = \frac{1}{2\pi^2 D_v(hk\ell)} + 4 \langle \varepsilon_v^2 \rangle \frac{\sin \theta \tan \theta}{\lambda \Delta 2\theta} \quad (11-41)$$

حيث  $\varepsilon_v$  هو الاختلاف نتيجة الانفعال .

$D_v$  هو الاختلاف نتيجة صغر حجم الحبيبات .



ويرسم العلاقة بين  $\frac{W(2\theta) \cos \theta}{\lambda \Delta 2\theta}$  نحصل على خط مستقيم  $\frac{\sin \theta \tan \theta}{\lambda \Delta 2\theta}$

حيث يكون تقاطعه مع المحور الرأسي يعطي الكمية  $\frac{1}{2\pi^2 D_v(hk\ell)}$  وميل الخط مساويا

للكمية  $\langle \varepsilon_v^2 \rangle$  (شكل 11-11). (11-11).

شكل (11-11)

### طريقة وارين - أفرباخ: Warren- Averbach Method

أوضح وارين سنة 1958 أن توزيع الطاقة لوحدة أطوال شعاع الحيود الذي نحصل عليه عملياً بعد تصحيحه لتأثير التجهيزات المعملية يعطى بالمعادلة:

$$P'(2\theta) = k(\theta) \sum_{-\infty}^{\infty} n \left[ (A_L \cos 2\pi L(s-s_0) + B_L \sin 2\pi L(s-s_0)) \right] \quad (11-42)$$

حيث  $s_0 = 2 \sin \theta / \lambda$  ،  $s = 2 \sin \theta / \lambda$  هي المسافة العمودية على مستوى الانعكاس ( $hk\ell$ ) وهي تساوى  $n a_3$  حيث  $n a_3 \propto \frac{1}{d}$  عدد صحيح والدالة  $A_L$  تمثل حاصل ضرب معامل حجم الحبيبات ومعامل الانفعال أي:

$$A_L = A_L^{PF} A_L^\varepsilon \quad (11-43)$$

الشكل اللوغاريتمي للمعادلة (11-43) هو:

$$\ln A(L) = \ln A^{PF}(L) + \ln^\varepsilon A(L)$$

وفي حالة البلورات المكعبية تكون:

$$\ln A_L = \ln A^{PF}(L) - h_0^2 \left[ 2\pi^2 L^2 \left( \langle \varepsilon_L^2 \rangle - \langle \varepsilon_L \rangle^2 \right) / a^2 \right] \quad (11-44)$$

حيث ..

$$h_0^2 = h^2 + k^2 + \ell^2 \quad (11-45)$$

ولأجل أن نعين معاملات فوريير  $A_L$  وتصحيحها لأنباء عرض الخطوط نتيجة التجهيزات المعملية نتبع طريقة ستوكس ونقسم القيمة  $k_{\alpha_1}$  إلى عدد من الأقسام المتساوية. ويراعى أن يكون المدى  $(2\theta_2 - 2\theta_1)$  ثابتاً للانعكاس الواحد لكل من الخط العريض والخط العياري، والانعكاسات يجب أن تصحح لعوامل الاستقطاب والعوامل الأخرى التي تعتمد على  $\theta$  الموجودة في المعادلة (11-42) وذلك بالقسمة على ..

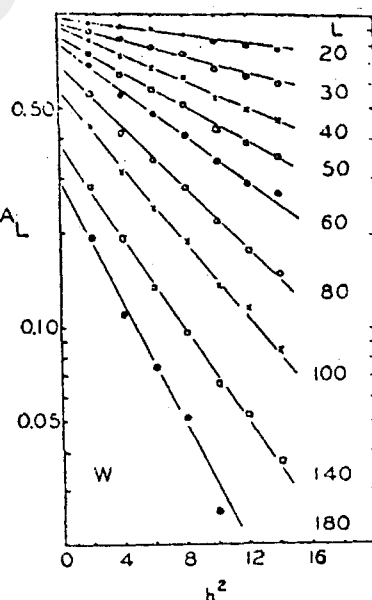
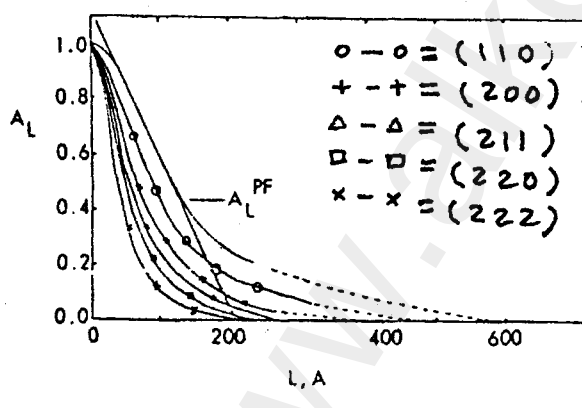
$$f \frac{1 + \cos^2 2\theta}{\sin^2 \theta \cos \theta}$$

حيث  $f$  هو معامل الاستطرارة الذري،  $\theta$  هي موقع مركز ثقل القمة  $k_{\alpha_1}$  ولفصل معاملات حجم الحبيبات والانفعال للمعادلة (11-43) ترسم العلاقة بين  $\ln A_L$  مع  $h_0^2$  أو العلاقة بين  $A(L)$  ،  $h_0^2$  على ورق شبه لوغاريتmic (semi-log) شكل (11-12 أ).

فإذا كانت المادة متساوية الخواص في جميع الاتجاهات isotropic نحصل على خط مستقيم.

وإذا كانت المادة غير ذلك anisotropic فيجب استخدام الانعكاسات من نفس النطاق (zone) وفي هذه الحالة يكون تقاطع الخط البياني مع المحور  $A(L)$  مساوياً لمعامل حجم الحبيبات  $A_{(L)}^{PF}$  وإذا رسمت هذه القيم كدالة للقيمة  $L$  فإن ميل المماس للخط مع  $L$  يكون مقياساً لحجم الحبيبات  $(hk\ell)$  شكل (11-12 ب).

$$\frac{1}{D_e}(hk\ell) = - \left[ \frac{dA^{PF}(L)}{dL} \right]_{L=0}$$



شكل (11-12)

## ٦-١١ اتجاه البلورات : Crystal Orientation

كل حبيبة في مجموعة من عينة عديدة التبلور يكون اتجاهها البلوري مختلفاً عن الحبيبة المجاورة لها، وبالنظر للحبيبات ككل نجد أن اتجاهاتها إما موزعة بطريقة عشوائية أو أن الحبيبات تجتمع حول اتجاه أو اتجاهات معينة، وأية مجموعة من الحبيبات بهذه الخاصية الأخيرة يعبر عنها بأن لها اتجاهها مفضلاً preferred orientation أو أن لها نسيجاً Texture وهو الذي يعرف ببساطة على أنه حالة تكون فيها توزيع اتجاه البلورات غير عشوائي.

الاتجاه المفضل هو حالة شائعة الحدوث في الفلزات والسبائك وهي تبدو بوضوح أكثر في الأسلاك والشرائح، وحدوث اتجاه مفضل نتيجة عمليات معينة مثل شد الأسلاك يسمى النسيج التشوبي deformation texture وهو ناتج من أن الحبيبات في المواد عديدة التبلور تميل للدوران أثناء التشوه اللدن (plasic) فكل حبيبة تؤدي حركة انزلاقية ودورانية حول اتجاهاتها تكون غير عشوائية وإذا تعرضت المعادن لعملية تشغيل على البارد بحيث اكتسبت نسيجاً تشوبياً ثم حدثت لها عملية تبلور بعد ذلك Recrystallization نتيجة تخميرها، فإن تركيب الحبيبات الجديدة عادة يكون له أيضاً اتجاه مفضل، وغالباً ما يختلف عن السابق، ويسمى هذا النسيج بنسيج إعادة التبلور Recrystallization texture أو نسيج التخمر annealing texture وهو ناتج لتأثير نسيج الوسط (المشغل على البارد) على عملية تجمع النويات لتكوين الحبيبات وغلوها في هذا الوسط ووجود اتجاه مفضل لا يقتصر فقط على المعادن ولكنه موجود أيضاً في الصخور والمواد الحرارية وكذلك في الألياف الطبيعية والصناعية والشرائح.

الحقيقة أن وجود اتجاه مفضل للحبيبات هي قاعدة بصفة عامة وليس استثناء وتحضير مادة متعددة التبلور وتكون بلوراتها مرتبة ترتيباً عشوائياً هي عملية صعبة.

الفائدة الصناعية لعملية الترتيب لحبيبات بحيث يكون لها اتجاه مفضل (غير عشوائي) غالباً ما يbedo تأثيرها واضحاً بصفة عامة على خواص المواد، بحيث إن كل البلورات الأحادية تكون غير متساوية الخواص في جميع الاتجاهات فيكون نتاج ذلك أن أي مادة عديدة التبلور وحببيتها لها اتجاه مفضل هي أن تكون خواصها لها صفة متوجهة لدرجة كبيرة أو صغيرة وهذه الخاصية ربما تكون ذات فائدة أو لا اعتماداً على استخدام المادة.

## ١-٦ النسيج الليفي: Fibre texture

تكون البليورات المنفردة في الأسلام مرتبة بحيث إن نفس الاتجاه [u v w] في معظم الحبيبات يكون متوازياً أو أقرب ما يمكن للتوازي في اتجاه محور السلك، ولأن نسيجاً مشابهاً يحدث في الألياف الطبيعية والصناعية فإنه يسمى نسيجاً ليافياً (يسمى محور السلك المحور الليفي) والمواد التي لها نسيج ليفي يكون لها تماثل دوراني حول محور بمفهوم أن كل اتجاهات البليورات حول هذا المحور يكون احتمال وجودها متساوياً؛ ولذلك فإن النسيج الليفي يكون متوقعاً في كل مادة متكونة بواسطة قوى لها تماثل دوراني حول محور. مثال ذلك في سلك أو قضيب مصنوع بواسطة الشد drawing أو الطرق swaging أو السحب extrusion وتوجد أمثلة أقل شيوعاً للنسيج الليفي وهي الموجودة في الشرائح المتكونة بواسطة الانضغاط البسيط وفي عملية الطلاء بالكهرباء electroplating والتبيخ وغير ذلك، ويكون المحور الليفي في هذه الحالات عمودياً على مستوى الشريحة وموازياً لمحور أعمدة البليورات. وقد لوحظ أن نسيج الألياف يختلف في درجة المثالية أى في التشتت من الاتجاه [u v w] حول محور الليفة وكل من النسيج الليفي الواحد والمزدوج، فأسلام الألومنيوم المسحوبة على البارد يكون نسيجاً هو [1 1 1] تقريباً ولكن النحاس يكون نسيجاً مزدوجاً من مجموع [1 1 1] + [0 0 1] أى أنه في أسلاك النحاس توجد مجموعتان من الحبيبات، ويكون المحور الليفي لأحد المجموعات [1 1 1] وللمجموعة الأخرى [0 0 0].

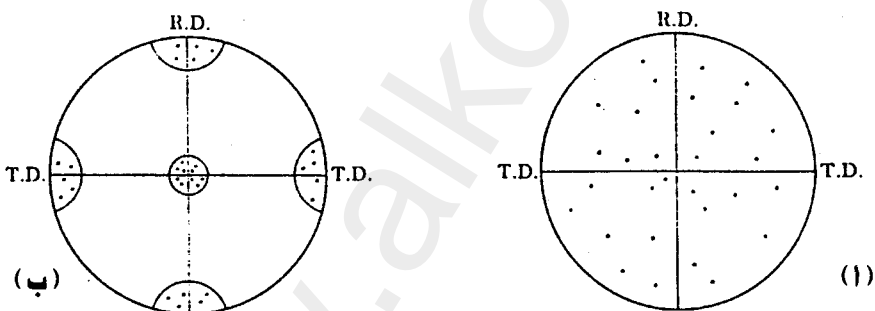
## ٢-٦ النسيج الشريحي: Sheet Texture

يتكون النسيج الشريحي بحيث تكون الحبيبات مرتبة بمستويات معينة ( $h k l$ ) موازية تقريباً لسطح الشريحة وبحيث يكون اتجاه معين [u v w] في هذا المستوى متوازياً تقريباً مع الاتجاه الذي رفقت فيه الشريحة، ولا توجد مثل هذه الحرية الدورانية لاتجاه الحبيبات الموجودة في الأنسجة الليفية والرمز [ $h k l$ ] ( $[u v w]$ ) يصف ما يسمى بالاتجاه المثالي، وبعض المعادن والسبائك يكون لها نسيج شريحي حاد جداً بحيث يمكن وصفه بذكر الاتجاه المثالي للحبيبات فيه.

### ٣-٦-١١ الشكل القطبي: Pole Figure

الشكل القطبي هو مسقط شكل فراغى له اتجاه محدد بالنسبة للعينة وهو يوضح تغير كثافة الأقطاب مع اتجاهها لمجموعة من مستويات البلورة، وهذه الطريقة Waver النسيج استخدمت في بادئ الأمر بواسطة العالم الألماني لعلم المعادن في سنة 1924 ومعناه يمكن توضيحه بالمثال التالي:

نفترض أن عندنا شريحة من معدن يتسمى للنظام المكعب ونفترض أن الشريحة من حبيبات كبيرة الحجم عددها عشرة فقط، فإذا أردنا تمثيل الاتجاهات لهذه الحبيبات جملة برسم أماكن الأقطاب [100] لها في مسقط ستيروجرافى stereographic projection (انظر تذيل ٩) بحيث يكون مستوى المسقط موازى لسطح الشريحة، وحيث إن كل حبيبة لها ثلاثة أقطاب [100] فإن ذلك يتبع  $30 = 10 \times 3$  قطب مرسوم على المسقط فإذا كانت الحبيبات لها اتجاهات عشوائية كلية فإن هذه الأقطاب تكون موزعة بطريقة متجانسة في المسقط كما هو موضح بالشكل (١٣-١١) ولكن إذا كان يوجد اتجاه مفضل للحبيبات فإن الأقطاب تميل لأن تكون متجمعة مع بعضها البعض في مساحات معينة في المستوى تاركة مساحات أخرى بدون أقطاب.

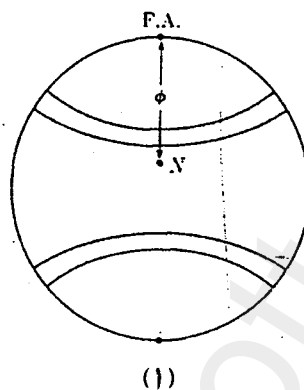


شكل (٣-١١)

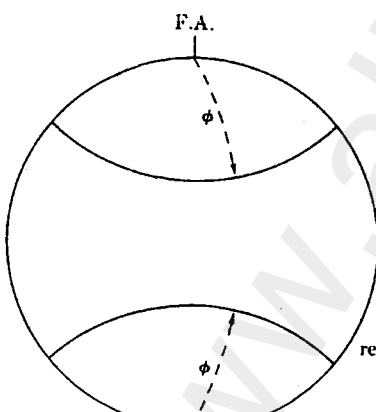
الشكل القطبي لمادة على هيئة شريحة توضح  
((أ)) اتجاهات عشوائية      ((ب)) اتجاه مفضل

وعلى سبيل المثال يمكن أن يكون هذا التجمع مثل الموضح بشكل (١٣-١١ ب) وهذا يسمى نسيجاً مكعبياً؛ لأن كل حبيبة يكون اتجاهها بحيث إن المستويات (100) تكون موازية لسطح الشريحة والاتجاه [001] يكون موازياً لاتجاه التدرج (اللف) rolling (هذا النسيج البسيط الذي يمكن وصفه بالرمز المختصر [001][001] يتكون عادة نتيجة عملية إعادة تبلور في معظم المعادن ذات النظام المكعي المتمركز الأوجه).

الشكل القطبي للنسيج الليفى يكون بالضرورة له تماثل دورانى حول المحور الليفى (شكل ١٤-١١) ودرجة التشتمت لهذا النسيج تعطى بالعرض الزاوي للنطاقات التي تظهر عند أماكن الأقطاب (١ ١ ١) والزاوية  $\phi$  هي الزاوية بين المحور الليفى ومكان أى قطب N وبالنسبة للنسيج الموضح تكون النطاقات متمركزة على قيم  $\phi$  التي تقام وأسفل المسقط بالقيمة ٥٤,٧ لأن هذه هي الزاوية بين المحور [١ ٠ ٠] والأقطاب (١ ١ ١) الموضحة (انظر الأشكال ١٥-١١، ١٦-١١).



(ا)



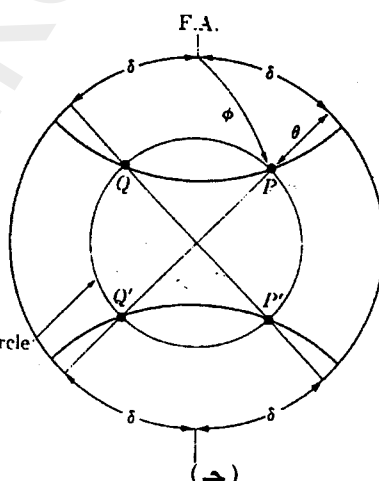
(ب)

شكل (١٤-١١)

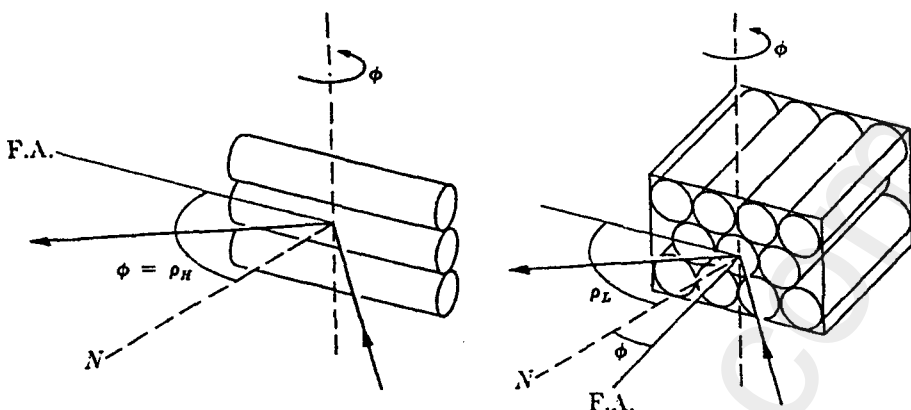
(ا) شكل قطبي لنسيج ليفى [١ ٠ ٠] غير مثالى.

(ب) شكل قطبي لنسيج ليفى [١ ٠ ٠] مثالى.

(ج) تحديد (وضع الاعمدة على المستويات).

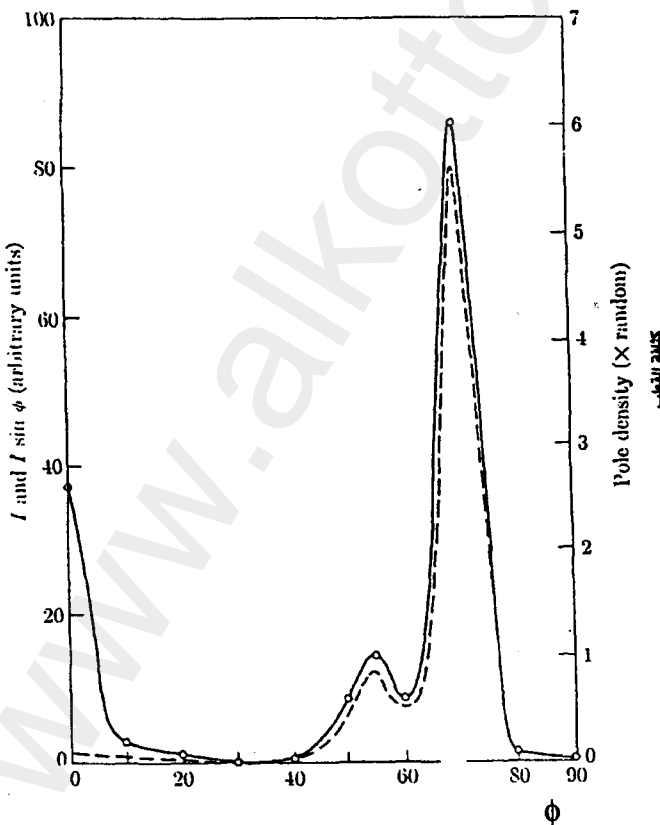


(ج)



شكل (١٥-١١)

الانعكاس من عينة مكونة من مجموعة من الأسلัก  $\phi$  هي الزاوية بين المحور الليفي F.A. والعمودي على مستويات الانعكاس  $N$ .  $\rho$  هي الزاوية بين  $N$  وسطح العينة

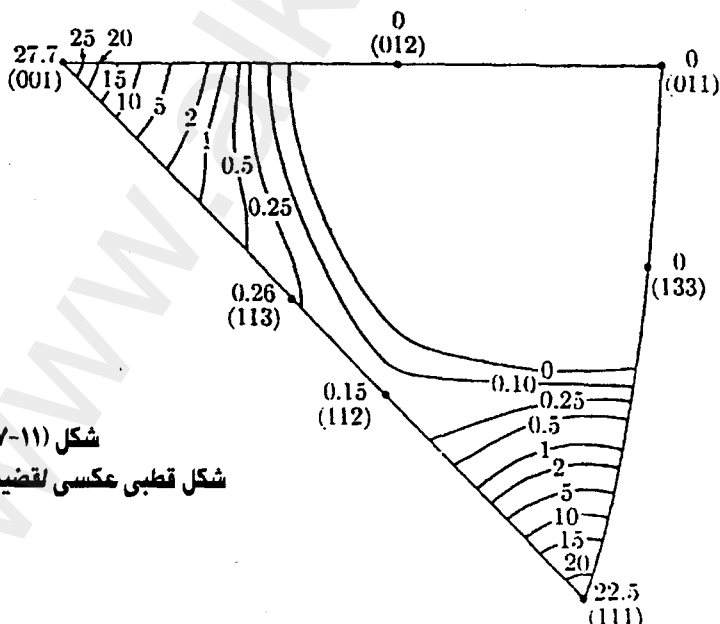


شكل (١٦-١١)

ورغم أن الشكل القطبي (pole figure) هو فقط الذي يعطينا معلومات كاملة عن الاتجاه المفضل للبلورات داخل عينة المسحوق إلا أنه يمكن الحصول على معلومات سريعة وذلك بمقارنة شدة أشعة الحيوود المحسوبة نظرياً بتلك المقاسة عملياً بجهاز تسجيل الحيوود حيث إن شدة الأشعة المعطاة بالمعادلة (1-10) تكون دقيقة فقط عندما يكون الترتيب للبلورات في العينة ترتيب عشوائي ولذلك فإن أي عدم توافق بين شدة الأشعة المقاسة عملياً والمحسوبة نظرياً يكون دليلاً على وجود اتجاه مفضل للبلورات.

#### ٤-٦-٤ الشكل القطبي العكسي: Inverse Pole Figures:

يوضح الشكل القطبي توزيع اتجاه بلوري مختار بالنسبة لاتجاهات معينة في العينة فإن معلومات عن النسيج يمكن أيضاً الحصول عليها مما يسمى الشكل القطبي العكسي الذي يوضح توزيع اتجاه بلوري معين في العينة بالنسبة لمحاور البلورة، وعلى هذا يكون مستوى المسقط للشكل القطبي العكسي هو مسقط عياري (standard) للبلورة حيث يكفي توضيح الوحدة الاستيروغرافية المثلثة والشكل (١١-١٧) هو شكل قطبي عكسي للنسيج الداخلي لقضيب من الألومنيوم يوضح توزيع كثافة محور القضيب.



شكل (١٧-١١)

شكل قطبي عكسي لقضيب من الألومنيوم

وقد أدخل تعير الشكل القطبي العكسي بواسطة هاريس Harris لوصف النسبة الحجمية  $P$  لمادة ما في أوضاع عديدة (الاتجاهات عديدة) بالنسبة للمحور الليفي في عينة لها نسيج ليفي.

وطريقة هاريس تعتمد على قياس شدة انعكاس الأشعة السينية من المستويات البلورية المختلفة التي تقع موازية لسطح العينة (في حالة القصيبي تكون مستويات القصيبي التي تقع عمودية على محور القصيبي) وشدة الانعكاسات من مستويات مشابهة من عينة عشوائية. وقد استخدمت هذه القياسات للشدة كوحدات لقياس شدة الانعكاسات من العينات التي يكون لها نسيج (اتجاه مفصل) وقد استخدم ميلر المعادلة الآتية لشدة الانعكاس التكاملية Integrated intensity .

$$I_{(hkl)} = C I_0 AL N_{hkl} |F_{hkl}|^2 P_{hkl} \quad (11-46)$$

حيث  $C$  كمية ثابتة للعينة الواحدة،  $I_0$  شدة الأشعة الساقطة والقيم  $A$ ،  $L_p$ ،  $|F|$ ،  $N$  هي معامل الامتصاص، معامل لورنتز والاستقطاب، معامل التركيب ومعامل التضاعف (multiplicity) على الترتيب.

أما  $P_{hkl}$  فهي نسبة جزء البلورات التي تكون أعمدة مستوياتها  $(hkl)$  موازية لمحور الليفة وتكون قيم  $|F_{hkl}|$  بوحدات تجعل القيمة المتوسطة لجميع الاتجاهات مساوية للوحدة.

$$\bar{P} = \frac{1}{4\pi} \int P_{hkl} d\Omega = 1 \quad (11-47)$$

أى أن العينة التي تكون حبيباتها عشوائية الاتجاهات تكون قيمة  $P$  في كل اتجاه مساوية لقيمة  $\bar{P}$  وفي العينة ذات النسيج (التي يكون لها اتجاه مفضل لحببياتها) فإنه يعبر عن كثافة الأقطاب (Pole densities) بدلالة الكثافة في العينة العشوائية لنفس المادة، وتصبح المعادلة (11-46) في حالة العينة ذات الترتيب العشوائي كالتالي :

$$I_r(hkl) = C_r I_0 AL N_{hkl} |F_{hkl}|^2 \quad (11-48)$$

وبقسمة المعادلة (11-46) على المعادلة (11-48) نحصل على النسبة

$$\therefore \frac{I_{(hkl)}}{I_r(hkl)} = \frac{C}{C_r} P_{(hkl)} \quad (11-49)$$

وإذا طبقت المعادلة (11-53) على عدد كبير من الانعكاسات فإنه يمكن حساب الكمية ..

$$\frac{1}{n} \sum \frac{I_{(hkl)}}{I_r(hkl)} = \frac{C}{C_r} \frac{\sum P_{(hkl)}}{n} \quad (11-50)$$

ويمكن اعتبار الكمية الآتية مساوية للواحد الصحيح وذلك إذا كانت قيمة  $n$  كبيرة وبذلك تصبح المعادلة (11-50) كالتالي:

$$\frac{C}{C_r} = \frac{1}{n} \sum \frac{I_{(hkl)}}{I_r(hkl)} \quad (11-51)$$

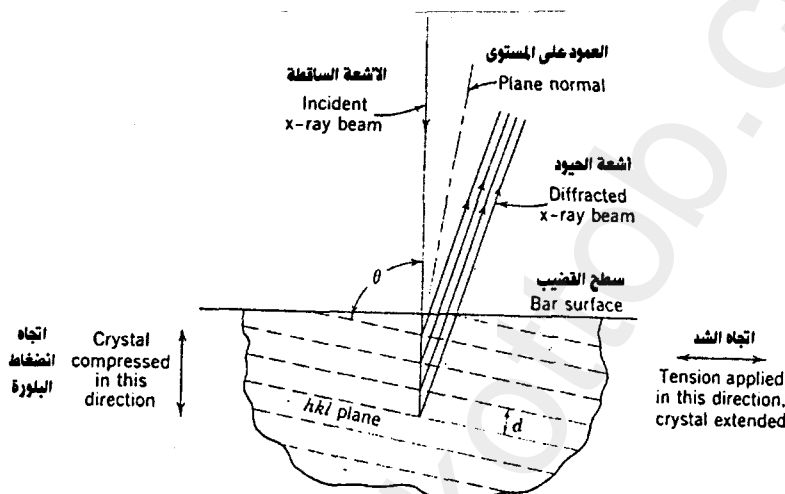
وتصبح المعادلة (11-49) كالتالي:

$$P_{(hkl)} = \frac{I_{(hkl)}}{I_r(hkl)} / \frac{1}{n} \sum \frac{I_{(hkl)}}{I_r(hkl)} \quad (11-52)$$

## ٧-١١ قياس الإجهاد في المعادن : Stress measurement in metals

نظريات الإجهاد والانفعال يمكن دراستها بالتغيير في أبعاد قضيب معدني عندما يعرض لعملية شد على طول محوره فتحتَ تأثير هذا الإجهاد يستطيع القضيب ونقل مساحة مقطعة حيث يتاسب هذا مع قيمة الإجهاد المؤثر، وذلك بفرض أننا لم نتجاوز الحد المرن وتكون محصلة التأثير على كل بلورة صغيرة في القضيب هي تمده في الاتجاه الموازي لمحور القضيب وتضاغط في الاتجاهات العمودية والمستويات البلورية العمودية على قوى الشد أو الضغط تغير مسافاتها البينية بقيم  $d \pm \Delta$  وقياس هذه التغيرات يعطينا مقاييس الانفعال المرن وبالتالي الإجهاد المرن.

يعتبر قياس الإجهاد باستخدام حيود الأشعة السينية شكل (١٨-١١) له مميزات محددة، ففى المقام الأول هى طريقة غير هدامة لتعيين الإجهاد الأولي أو الداخلى فى عينة بدون تقطيعها، وهذا شيء ممكن لأنه ليس من الضرورى إجراء القياسات للعينة فى حالتها غير المعرضة للإجهاد وهو الشيء المطلوب فى الطرق الأخرى المستخدمة لتعيين الإجهاد، هذا بالإضافة إلى أن هذه الطريقة تقىس الانفعال عند نقطة عادة لا يزيد قطرها عن 1mm إلى 2mm وهذا يجعل دراسة الإجهاد عند نقطة معينة شيئاً ممكناً.



شكل (١٨-١١)  
انعكاس خلفي لأشعة إكس من سطح بلوري لقضيب معدنى

في مقابل المميزات السابقة توجد حقيقة أنها لا تحصل على دقة كبيرة إلا إذا كان حجم الحبيبات ليس كبيراً جداً أو صغيراً جداً، وأحد العيوب الأخرى هي أنها لا تستطيع إلا قياس الإجهاد السطحي نتيجة لعدم قدرة الأشعة السينية على اختراق المعدن لعمق أكثر من 0.001 بوصة، وتبعاً للنظرية الكلاسيكية ويفرض أن الانفعال صغير بحيث لا يحدث تغير للمادة في شكلها أو أبعادها فالانفعال  $\epsilon$  يعرف بأنه ..

$$\epsilon = \Delta l / l \quad (11-53)$$

حيث  $\Delta l$  هو التغير في الطول للجسم الذي طوله  $l$  وإذا كان هذا الانفعال يحدث نتيجة إجهاد قيمته  $\sigma$  ويعمل في اتجاه واحد فإنه تبعاً لقانون هوك تكون:

$$e = \sigma / E \quad (11-54)$$

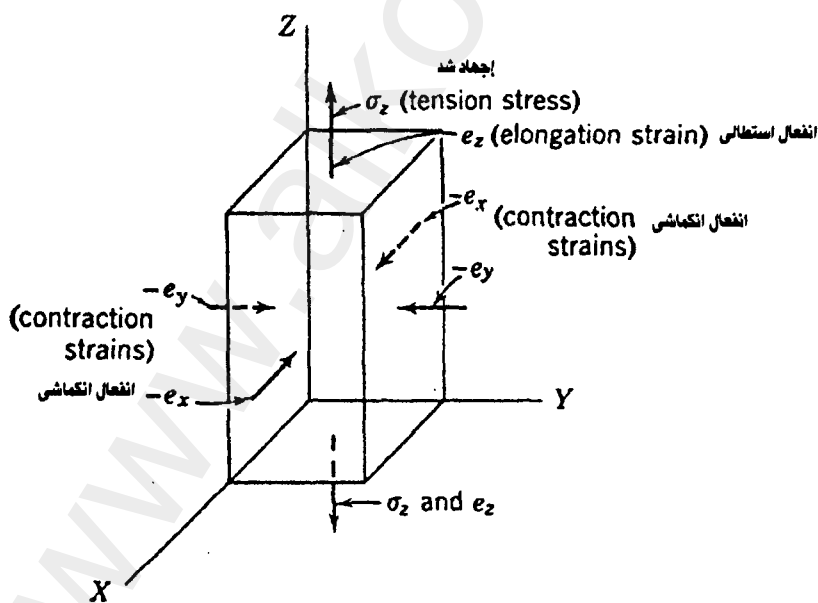
حيث  $E$  هو معامل يونج Young's modulus وإذا شد الجسم على امتداد المحور  $Z$  (شكل ١٩-١١) فإنه يستطيل في الاتجاه  $Z$  ويكون الانفعال هو  $e_z$  حيث:

$$e_z = \sigma_z / E \quad (11-55)$$

وفي نفس الوقت ينكش الجسم بنفس القيمة على امتداد المحاور  $X, Y$  وهذه الانفعالات ترتبط بالانفعال  $e_z$  خلال نسبة بواسون Poisson's ratio كالتالي:

$$-e_x = -e_y = v e_z = v \sigma_z / E \quad (11-56)$$

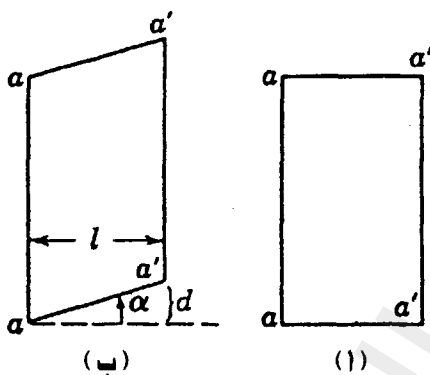
والإشارة السالبة تعني أن الانفعال هو انكماش.



شكل (١٩-١١)

ومثل هذ الإجهادا يعتبر إجهاد فى اتجاه واحد والانفعال للنظام ثلاثى الأبعاد يعطى بالمعادلات:

$$\left. \begin{array}{l} e_x = \frac{1}{E} [\sigma_x - v (\sigma_y + \sigma_z)] \\ e_y = \frac{1}{E} [\sigma_y - v (\sigma_z + \sigma_x)] \\ e_z = \frac{1}{E} [\sigma_z - v (\sigma_x + \sigma_y)] \end{array} \right\} \quad (11-57)$$



شكل (٢٠-١١)

الانفعالات المذكورة تعتبر انفعالات عمودية حيث إنها تنشأ نتيجة إجهادات عمودية على السطح. وفي المعتمد تكون مثل هذه الانفعالات العمودية مصحوبة بانفعالات إضافية وهي انفعالات القص shear strains في المستوى العمودي لاتجاه الإجهاد وإجهاد القص يجعل المستويات المتوازية في

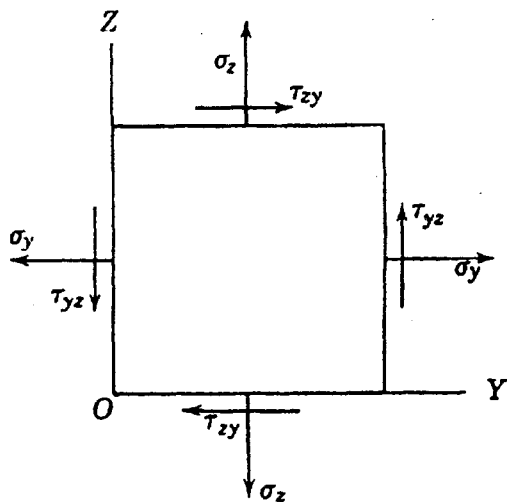
الجسم تنزلق على بعضها كما هو موضح بالشكل (٢٠-١١) ويعرف انفعال القص ٧ على أنه الإزاحة للمستويات المتوازية عند وحدة المسافة.

$$\gamma = \frac{d}{l} = \tan \alpha \quad (11-58)$$

العلاقة بين إجهاد القص وانفعال القص  $\gamma$  تعطى بالمعادلة:

$$\gamma = \frac{\tau}{G} \quad (11-59)$$

حيث  $G$  هي معامل المرونة في القص.



(٢١-١١)

يوضح شكل (٢١-١١) العلاقة بين الإجهاد والانفعال العمودي لنظام في بعدين. الرمز  $\tau_{zy}$  يعني إجهاد القص العمودي على المحور Z الذي ي العمل في اتجاه المحور Y وتحت ظروف الاتزان تكون:

$$\tau_{zy} = \tau_{yz} \quad (11-60)$$

ولذلك فإن القيم الثلاث اللازمة لتعريف النظام هي  $\tau_{yz}$  و  $\sigma_y$  و  $\sigma_z$  أما نظام

الإجهاد ثلاثي الأبعاد، فمن الواضح أنه يحتوى على ثلاثة أنظمة ثنائية الأبعاد، وفي هذه الحالة لا تحتاج إلا إلى ستة معاملات للإجهاد لتعريف حالة الإجهاد في الجسم الصلب ألا وهي:

$$\sigma_x, \sigma_y, \sigma_z, \tau_{xy}, \tau_{yz}, \tau_{zx}$$

هذه الإجهادات العمودية لا تكون بالضرورة أكبر إجهادات عمودية داخل الجسم، وهذه الأخيرة تسمى الإجهادات الرئيسية  $\sigma_1, \sigma_2, \sigma_3$  التي غالباً ما تكون موازية لمحاور الإحداثيات المتعامدة والعلاقة بين الإجهادات الرئيسية والانفعالات الرئيسية  $e_1, e_2, e_3$  تكون مشابهة للعلاقات (١١-٥٧) فإذا أخذت الإجهادات الرئيسية موازية للمحاور المتعامدة X, Y, Z فإن معاملة القطع الناقص المجسم للإجهاد stress ellipsoid يمكن أن تكتب كالتالي:

$$\frac{X^2}{\sigma_1^2} + \frac{Y^2}{\sigma_2^2} + \frac{Z^2}{\sigma_3^2} = 1 \quad (11-61)$$

وأى نقطة  $Z_n$  و  $Y_n$  و  $X_n$  على سطح هذا القطع الناقص المجسم تمثل معاملات الإجهاد العمودي  $\sigma_n$  وتعطى بالمعادلة:

$$\sigma_n = \sigma_1 \alpha_1^2 + \sigma_2 \alpha_2^2 + \sigma_3 \alpha_3^2 \quad (11-62)$$

حيث  $\alpha_1$  ،  $\alpha_2$  ،  $\alpha_3$  هى جيوب تمام الزوايا بين اتجاه الإجهاد العمودى  $\sigma_n$  والمحاور الرئيسية للانفعال.

ويمكن كتابة المعادلة التالية للتعبير عن القطع الناقص المجسم للانفعال.

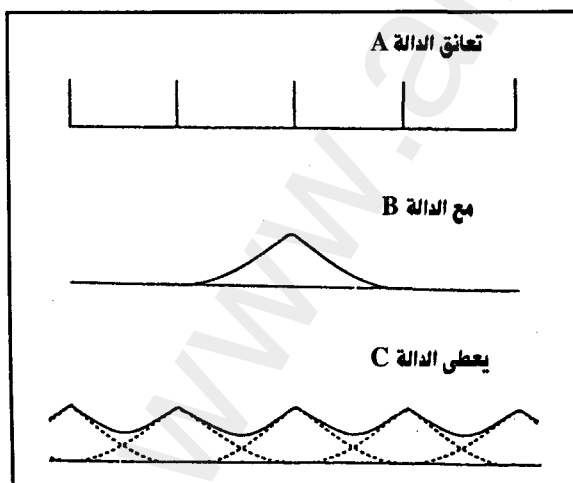
$$\sigma_n = e_1 \alpha_1^2 + e_2 \alpha_2^2 + e_3 \alpha_3^2 \quad (11-63)$$

### مثال عن التعانق :Convolution

التعانق بين دالتين رياضيتين  $f(y)$  ،  $g(y)$  هو دالة ثالثة تعطى بالمعادلة :

$$c(x) = \int_y f(y) g(x-y) dy$$

ولحساب هذه الدالة نضع مركز الدالة الأولى دوريا على كل مكان من الدالة الثانية، وفي كل مرة نضرب قيمة الدالة الأولى في كل وضع في قيمة الدالة الثانية عند هذه النقطة ثم تجمع كل هذه القيم أي أن التعانق بين دالتين  $f(y)$  ،  $g(y)$  عند نقطة  $x_0$  نحصل عليه بضرب قيم  $f(y)$  ،  $g(x_0-y)$  لكل مجموعة من القيم الممكنة لـ  $y$  وبعد ذلك نجمع كل نواتج حاصل الضرب وهذه العملية تكرر لكل قيم  $x$  (شكل ٢٢-١١).



شكل (٢٢-١١)



# التحليل الفلوري بالأشعة السينية

## X-ray Fluorescence Analysis

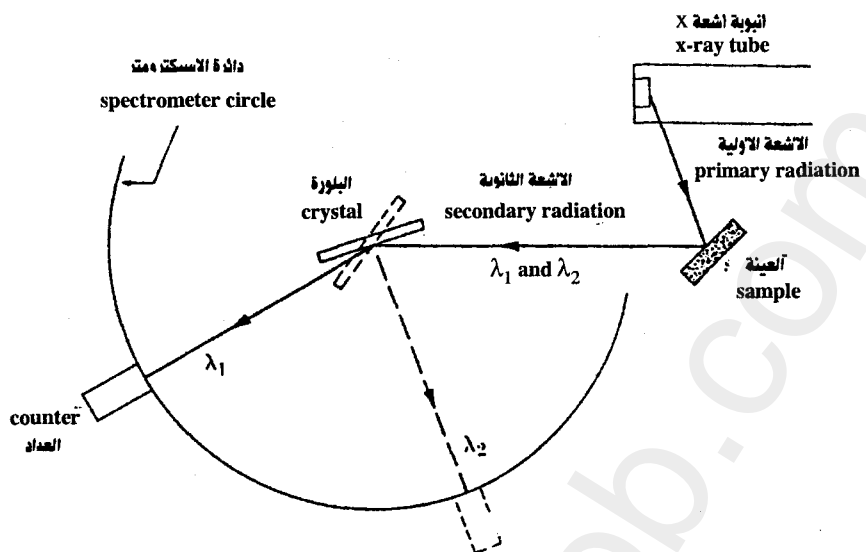
### ١٢- المبدأ الأساسي:

سبق أن رأينا أن خطوط الأشعة السينية المميزة تبعث عندهما تصطدام الإلكترونات ذات الطاقة العالية بسطح المعدن، وهذه الأشعة المميزة لنوع المعدن تكون ذات شدة عالية ولها طول موجة محدد، وهذه الخطوط للأشعة يمكن أن تبعث أيضاً عندما تسقط على المعدن أشعة سينية أخرى ذات طاقة عالية بمقدار كافٍ، هذه الخاصية تسمى الاستشعاع **Fluorescence** وقد استُخدِمت هذه الخاصية لإجراء تحليل كيماوى لمعرفة العناصر المكونة للعينة وذلك يجعل كل العناصر تقوم بإشعاع خطوطها المميزة بإسقاط إلكترونات أو أشعة أخرى عليها وبعد ذلك يُجرى تحليل للأشعة المنبعثة للتعرف على طول موجتها ومعرفة العناصر المميزة لها، وهذه العملية تتم باستخدام سبكترومتر للأشعة السينية.

والسبكترومترات تنقسم إلى قسمين تبعاً للطريقة المستخدمة لإثارة الأشعة المميزة من عناصر العينة.

### ١- الإثارة بأشعة إكس X-ray Excitation

في هذه الأجهزة تُقذف العينة بأشعة إكس من أنبوبة لتوليد الأشعة السينية (شكل ١-١٢) حيث تكون الأشعة الأولية السبب في إشعاع الأشعة الفلورية الثانوية التي تخلل بالسبكترومتر، وهذه



شكل (١-١٢)

الطريقة التي غالباً ما تسمى طريقة التحليل الفلورى واسعة الاستخدام في التحليل الكيماوى في الصناعة.

### **ب - الإثارة بالإلكترونات: Electron Excitation**

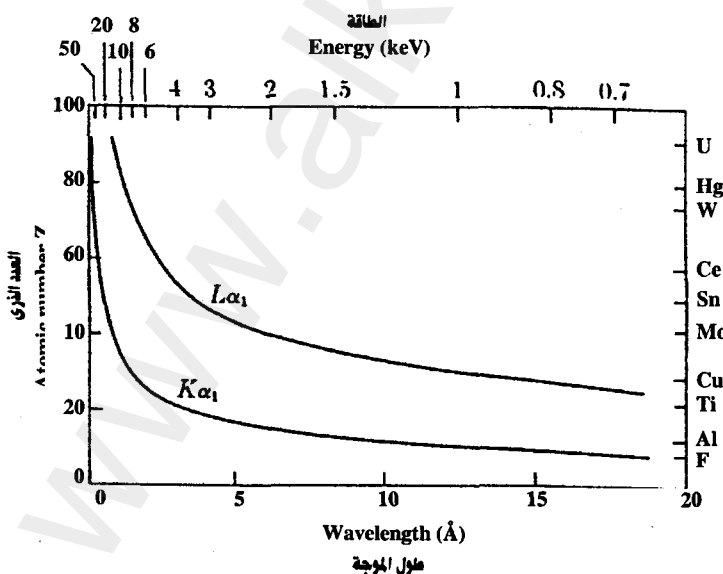
في هذه الطريقة تُقذف العينة بـإلكترونات ذات سرعة عالية صادرة من جهاز مفرغ من الهواء وهي ليست طريقة سريعة لتحليل العينات الكثيرة؛ لأن الجهاز لا بد أن يفرغ من الهواء بعد وضع كل عينة. ومثل هذه الأسبكترومترات تستخدمن في أغراض البحث العلمي وكجزء من جهاز المجس الإلكتروني للتحليل الميكرونى والتحليل الكيماوى بأجهزة سبيكترومترات الأشعة السينية يمكن أن يكون كييفيا إذا كان المطلوب فقط معرفة مكونات العينة من العناصر (وذلك بالتعرف عليها من الأطيف المنبعث منها) كما يمكن أن تكون كميّة (وذلك بقياس شدة الخطوط المنبعثة ومقارنتها بمقاييس مناسب).

وتجدر بالإشارة أن التحليل الفلوري بالأشعة السينية يعطينا معلومات عن العناصر الكيماوية في العينة بغض النظر عن الحالة التي توجد عليها في المركبات الكيميائية وذلك بخلاف التحليل بحيد الأشعة السينية الذي يحدد نوع المركب والطور الموجود عليه في العينة، كما أن طريقة التحليل الفلوري بالأشعة السينية طريقة غير هدامة nondestructive وأكثر سرعة من الطرق العادمة الكيميائية wet chemical analysis؛ لذلك فإن الأشعة الفلورية المنبعثة من العينة لا بد أن تكون كبيرة الشدة حتى يمكن قياس شدتها من وقت قصير بواسطة العدادات، وهذا يتوقف على طول موجة وكذلك شدة الأشعة الأولية الساقطة من أنبوبة الأشعة السينية على العينة.

نفترض أن أشعة وحيدة الموجة لها شدة ثابتة وطول موجتها  $\lambda$  سقطت على عنصر له حافة امتصاص  $\lambda_0$  وأنه بالإمكان تغيير قيمة  $\lambda$ . فعندما تقل قيمة  $\lambda$  حتى تصل إلى قيمة أكبر من  $\lambda_0$  قليلاً لا يحدث انبعاث لأشعة فلورية وعندما تصل إلى قيمة أقل من  $\lambda_0$  ولو بقيمة بسيطة جداً تبعث الأشعة الفلورية وتصل شدتها لأقصى قيمة لها، وإذا قلت قيمة  $\lambda$  بعد ذلك تقل شدة الأشعة الفلورية بنفس طريقة أضمحلال معامل الامتصاص ويعتبر هذا سلوكاً طبيعياً حيث إنه كما ذكرنا سابقاً فإن عملية الاستشعاع والامتصاص هما مظهران لنفس الظاهرة (phenomenon) وعند أي قيمة لطول الموجة  $\lambda$  تكون شدة الأشعة الفلورية متناسبة مع شدة الأشعة الساقطة، وعلى هذا يكون أحسن عوامل الإثارة هو خط قوى من خطوط الطيف المميز تكون طول موجته أقصر قليلاً من قيمة  $\lambda_0$ . ومن البديهي أنه يستحيل تحقيق ذلك لأن أكثر من عنصر واحد في وقت واحد وعملياً نستخدم أنبوبة من التجسستين أو أي معدن ثقيل آخر وبذال تكون الأشعة المثيرة هي جزء من الطيف المستمر والطيف الخطى التي لها أطوال أمواج قصيرة عن تلك الخاصة بحافة الامتصاص للعنصر الذي يبعث أشعاته المميزة و اختيار أنبوبة الأشعة السينية يعتمد على العناصر التي غالباً ما يراد تعينها، وأنبوبة التجسستين تعطى أشعة فلورية ذات شدة عالية من العناصر الثقيلة وأنبوبة الكروميوم تعطى أشعة فلورية ذات شدة عالية من العناصر الخفيفة، وبعض الأنابيب تكون ذات هدف Target مزدوج حيث يمكنها أن تشيع إشعاعات للتجسستين والكروميوم بدون المساس بتفریغ الأنبوبة.

والأشعة الثانوية الصادرة من العينة تكون أساساً من الأشعة الفلورية ولكن توجد مكونات ضعيفة أخرى وهي أشعة ذاتية مشتتة وأشعة حيود ذاتية وأشعة غير ذاتية (أشعة كومبتون) وهذه المكونات تظهر كخلفية حيث تظهر فوقها خطوط الطيف. والخلفية تكون عادة ضعيفة ولكنها تصبح أكبر إذا كانت العينة تشع كمية أكبر من أشعة كومبتون.

طول موجة الأشعة المستخدمة في التحليل الفلوري يمتد من حوالي  $0.2\text{\AA}$  إلى  $20\text{\AA}$  والحد الأدنى لهذا الطول الموجي يتحدد بالحد الأعلى لفرق الجهد الذي يمكن أن يوضع على أنبوبة الأشعة السينية الذي يتراوح بين  $50\text{ kV}$  ،  $100\text{ kV}$  في الأجهزة التجارية فعند  $100\text{ kV}$  يكون أقصر طول موجي للطيف المستمر من أنبوبة الأشعة السينية هو  $12\text{\AA}$ . وقيمة شدة الأشعة تحدث عند قيمة تقدر بمرة ونصف من القيمة السابقة أي عند  $0.18\text{\AA}$ . والأشعة الساقطة التي يكون لها هذا الطول الموجي يمكن أن تحدث أشعة فلورية من النوع  $k$  في المعدن ( $HF$ ) ( $z = 72$ ) وتكون الأشعة المنبعثة من النوع  $K\alpha$  لها الطول الموجي  $\lambda = 0.22\text{\AA}$  وبالنسبة للعناصر الأكثر ثقلًا يمكن لنا أن نستخدم الخطوط من النوع  $L$  بدلاً من النوع  $K$  وشكل (٢-١٢) يوضح كيف يتغير الطول الموجي لأقوى الخطوط من النوع  $L$  &  $K$  مع تغيير العدد الذري.



شكل (٢-١٢)

الحد الأعلى لطول الموجة يعتمد على الجهاز المستخدم ويتحكم في ذلك الامتصاص الكبير للأشعة الفلورية ذات أطوال الأمواج الطويلة وذلك بواسطة أي وسط موجود في طريق مسارها مثل الهواء ونافذة العداد المستخدم للكشف عن الأشعة؛ ولذلك فإن الامتصاص يضع حدًا أدنى على العناصر الخفيفة التي يمكن التعرف عليها، فإذا كان الجهاز يحتوى على هواء فإن التيتانيوم  $K\alpha$  ( $Z = 22$ ,  $K\alpha = 2.75\text{\AA}$ ) يكون أخف عنصر يمكن الكشف عنه فأشعة  $Ti$  للتيتانيوم تقل شدتها للنصف عند اختراعها الهواء لمسافة  $10\text{ cm}$ .

وإذا كانت الأشعة تخترق وسطاً ملوءاً بالهليوم فإن الامتصاص يقل إلى الحد الذي يصبح عنده من الممكن الكشف عن الألومنيوم ( $Z = 13$ ,  $K\alpha = 8.3\text{\AA}$ ) وفي الأسبكترومترات التي تعمل تحت تفريغ الهواء فإن الحد الأدنى يكون هو الفلورين ( $Z = 9$ ,  $K\alpha = 18.3\text{ A}$ )  $F$ .

من العوامل الهامة التي تجعل إمكانية الكشف عن العناصر الخفيفة محدودة هي الامتصاص في العينة نفسها، فالأشعة الفلورية تتولد ليس فقط على سطح العينة ولكن أيضاً في داخلها على عمق يعتمد على عمق نفاذ الشعاع الأولي (الأصلي) الساقط على العينة وهو وبالتالي يعتمد على معامل الامتصاص للعينة ككل، والأشعة الفلورية المتولدة (الناتجة) داخل العينة تعانى بعد ذلك من الامتصاص عند خروجها منها ولأن الأشعة الفلورية ذات طول الموجة الكبيرة تمتلك نسبة كبيرة بواسطة العينة فإن الأشعة الفلورية خارج العينة تكون صادرة من قشرة رقيقة من السطح؛ ولذلك تكون شدتها ضعيفة وعلى ذلك فإن التعرف على كميات صغيرة من العناصر الخفيفة الموجودة في وسط مكون من العناصر الثقيلة يكون مستحيلاً عملياً.

ومن ناحية أخرى فإن أجزاء قليلة من المليون من عناصر ثقيلة في وسط مكون من عناصر خفيفة يمكن الكشف عنها بسهولة.

## ١٢- أنواع أجهزة قياس الطيف (الإسبيكتومترات):

### ١- سبيكترومتر مفرق لأطوال الأمواج:

#### Wavelength dispersive Spectrometer

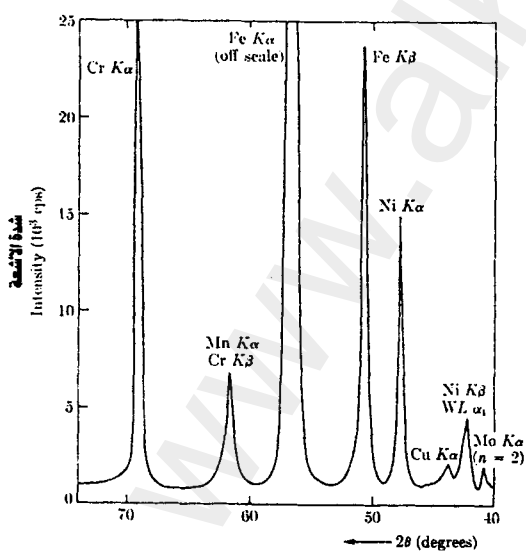
في هذا النوع تستخدم بلورة أحاديدية (المعروف المسافات البينية لمستوياتها) في انعكاس الأشعة المنبعثة من العينة، وتبعاً لقانون براج فإن موجة ذات طول معين فقط يمكن أن تتعكس لكل وضع للبلوره، ومثل هذا الإسبيكترومتر يسمى أحياناً سبيكترومتر بلوري.

### ٢- سبيكترومتر مفرق للطاقة:

في هذا النوع لا تحدث عملية حيود ولكن تُفرق الأشعة المنبعثة من العينة على أساس طاقتها بواسطة عدد من السيليكون واللithيوم counter (Li) وجهاز تحليل متعدد القنوات multichannel analyzer (MCA) وأنه لا يحدث تفريغ في الفضاء لأطوال الأمواج المختلفة فإن هذا الإسبيكترومتر يسمى أحياناً غير مفرق.

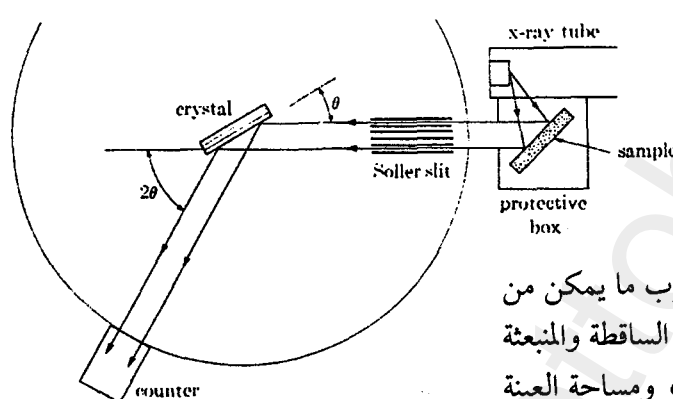
### ٣- الإسبيكتومترات المفرقة لأطوال الأمواج:

بعض هذه الإسبيكتومترات تسمى سبيكتومترات ذات قناة واحدة single channel Spectrometers وهذا يعني أن لها عداد أشعة واحداً حيث يعتبر مساراً تمر خلاله المعلومات، وفي هذه السبيكتومترات تكون بلوره التحليل analyzing crystal وعداد الأشعة مرتبطة بالحركة كما هو الحال في جهاز الحيود، وبناء عليه فعندما يضبط وضع البلوره على زاوية  $\theta$  فإن العداد تلقائياً يضبط



شكل (٣-١٢)

على زاوية  $2\theta$  ويتوصيل العداد إلى جهاز تسجيل نحصل على الطيف كله (مثال لذلك شكل ٤-١٢) مع ملاحظة أنه بينما الخطوط في شكل الحيوود لعينة على شكل مسحوق تكون عبارة عن نعكاسات لنفس طول الموجة من مستويات لها إحداثيات مختلفة  $hkl$  فإن الخطوط في هذا الشكل تكون كلها لها نفس الإحداثيات  $hkl$  لأحد مستويات بلورة التحليل ولكن كل واحد منها له طول موجة مختلف وطول الموجة هذا يمكن حسابه من زاوية براج والمسافة البينية  $d$  بين مستويات البلورة.



شكل ٤-١٢

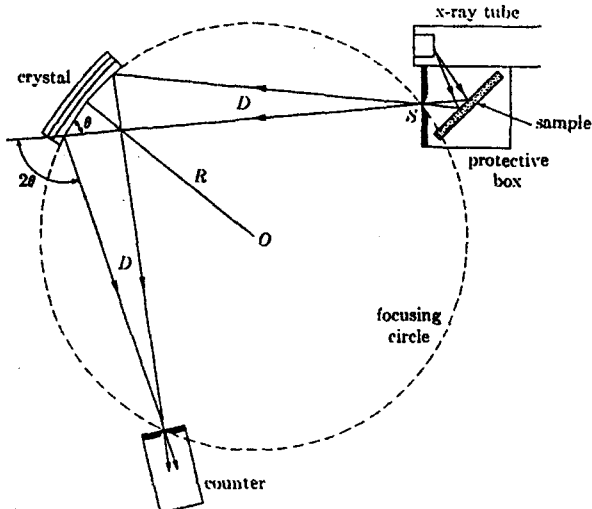
#### اسيكترومتر الأشعة السينية ذو البلورة المستوية

بلورة التحليل  
analysing crystal  
يمكن أن تكون مستوية  
(شكل ٤-١٢) أو على  
شكل منحني ويراعي

أن تكون أنبوبة الأشعة أقرب ما يمكن من العينة حتى تكون الأشعة الساقطة والمنبعثة منها شدتها أكبر ما يمكن، ومساحة العينة المعرضة للأشعة الساقطة تكون حوالي  $2\text{cm}^2$  والأشعة الفلورية تشع من هذه المساحة في كل الاتجاهات، ولأن المصدر

له مساحة كبيرة فإن الشعاع الفلوري يحتوى على أشعة متقاربة convergent وأشعة متفرقة divergent؛ ولذلك يلزم جعل هذه الأشعة متوازية (Collimated) قبل سقوطها على بلورة التحليل حتى نحصل على تفريق مناسب، وهذا يمكن الوصول إليه بجعل الشعاع يمر خلال فتحات متوازية كما في (شكل ٤-١٢).

وتقع الأشعة المتوازية على البلورة المستوية ويحدث حيود لجزء منها بواسطة مستويات البلورة حيث تقع أشعة الحيود على عدد الأشعة. أما في حالة بلورة التحليل ذات الانحناء (شكل ٤-٥) فإن الأشعة المنبعثة من العينة تمر خلال فتحة ضيقة  $S$  حيث تصرف قبل أن تقع على بلورة التحليل المنحني التي تكون مستوياتها ذات انحناء  $2R$  وسطحها له انحناء  $R$  وأشعة الحيود وحيدة الموجة تتجمع في بؤرة عند فتحة العداد الذي يقع على دائرة التركيز Focusing circle مارا بالفتحة  $S$  ووجه البلورة وحيث إن  $R$  لدائرة التركيز تكون ثابتة لبلورة ذات الانحناء المستخدمة ولأن



شكل (٥-١٢)

### إسكترومتر الأشعة السينية ذو البلورة المتحركة

المسافة  $D$  بين الفتحة  $S$  والبلورة وكذلك المسافة بين البلورة والعداد يجب أن يتغيران بتغيير  $\theta$  حيث إن شرط حدوث التركيز هو  $D = 2R \sin\theta$  هي أيضا المسافة بين البلورة والعداد) فإن هذا الشرط يتحقق بدوران كل من البلورة والعداد حول المركز  $O$  لدائرة التركيز بحيث يكون دوران البلورة بزاوية  $x$  حول  $O$  مصحوباً بدوران العداد بزاوية  $2x$ ، وفي نفس الوقت يدور العداد حول محور رأسى مارأً بفتحته حتى يكون دائماً مشيراً إلى البلورة.

وتزداد قيمة  $D$  بازدياد قيمة  $\theta$  وحتى لا تزداد  $D$  زيادة كبيرة من الضروري التغيير إلى بلورة أخرى ذات نصف قطر  $R_1$  للقيم الكبيرة للزاوية  $\theta$  (أى في حالة طول الموجة الكبير).

ويجب ملاحظة أن الزاوية  $2\theta$  التي ينعكس عنها طول موجة معين تعتمد على المسافة  $d$  لبلورة التحليل وأنه تبعاً لقانون براج يكون أكبر طول موجة يمكن انعكاسه يساوى  $2d$ ؛ لذلك فتحتاج بلورات ذات قيم صغيرة للمسافات  $d$  وذلك للموجات ذات الأطوال القصيرة (أى للمواد التي تكون قيمة  $Z$  لها كبيرة) وكذلك بلورات ذات قيم كبيرة للمسافات  $d$  (للمواد التي تكون قيمة  $Z$  لها صغيرة) وببلورات التحليل الشائع استخدامها هي :

- فلوريد الليثيوم Li F حيث يكون المستوى العاكس هو (420) وتكون  $d = 1.80 \text{ \AA}$ . كذلك يمكن أن يكون المستوى العاكس هو (200) وتكون  $d = 4.03 \text{ \AA}$ .

- ٢- الچرمانیوم Ge حيث يكون المستوى العاكس هو (111) وتكون  $d=6.53\text{\AA}$ .
- ٣- فوسفات الامونیوم الھیدروجيني Ammonium dihydrogen phosphate . (AD P)
- والمستوى العاكس في هذه البلورة هو (101)،  $d = 10.64$ ، أما عدادات الأشعة السينية المستخدمة عادة فهي عدادات الوميض Scintillation counters وعدادات التنااسب Proportional Counters.

عدادات الوميض تعتبر الأفضل في حالة الأمواج ذات الأطوال القصيرة لأنها تكون أكثر كفاءة وفي حدود الطول الموجي في المدى من  $1\text{\AA}$  إلى  $2\text{\AA}$  وفي حالة الموجات الطويلة يمكن استخدام النوعين السابقين وإن كان يفضل عداد التنااسب الغازى لقلة الامتصاص من نافذته.

وأهم ما يجب مراعاته في عملية التحليل الفلوري هي كيفية الحصول على تفريق كاف (Resolution) لخطوط الطيف الفلوري وكيف يكون لها شدة (Intensity) كافية فشدة الأشعة الفلورية المنبعثة بواسطة العينة تكون أقل كثيراً من الأشعة الأولية الساقطة عليها، ويمكن أن تكون ضعيفة جداً إذا كان العنصر المشع يشكل نسبة ضعيفة في العينة، وهذه الأشعة يحدث لها حيد بعد ذلك من بلورة التحليل فيحدث لها مرة أخرى انخفاض كبير في الشدة؛ ولهذا فإن شعاع الحيود الذي يصل إلى العداد ربما يكون ضعيفاً جداً، الأمر الذي يتطلب أن يزداد زمن العد حتى يمكن قياس شدة الأشعة بدقة كافية؛ لذلك فإن تصميم الأسپکترومتر يجب أن يضمن الشدة القصوى للأشعة التي تدخل العداد، وفي نفس الوقت لا بد أن يكون الأسپکترومتر له قوة تفريق عالية إذا كانت العناصر في العينة لها خطوط مميزة تتقارب قيم أطوال موجاتها، وهذا العاملان شدة الأشعة وقوة التفريق يتأثران بنوع البلورة المستخدمة، فالبلورات ذات الانحناء تعطينا شدة أكبر للأشعة نتيجة قدرتها على التركيز أكثر من البلورات المستوى.

التفريق يعتمد على كل من  $\Delta 2\theta$  وعلى  $B$  (عرض الخطوط عند نصف الارتفاع) فالتفريق يكون بدرجة كافية إذا كانت قيمة  $\Delta 2\theta$  تساوى أو تزيد على قيمة  $2B$ .

باجراء التفاضل على قانون براج نحصل على ..

$$\frac{\lambda}{\Delta \lambda} = \tan \frac{\theta}{B} \quad (12-1)$$

الطرف الأيسر في هذه المعادلة يعطينا قوة التفريقي resolving power المطلوبة لفصل خطين لهما متوسط طول موجة  $\lambda$  وفرق بين طول الموجة  $\Delta\lambda$ . والطرف الأيمن يعطينا قوة التفريقي التي نحصل عليها وهي تحتوى على زاوية براج وعرض الخطوط؛ وهذا يعني أنه لبلورتين تعطيان نفس عرض الخط تكون تلك التي يكون لها المسافة البينية بين المستويات  $d$  لها قيمة أصغر هي التي يكون لها قيمة أكبر لقوة التفريقي لأنها سوف تعطينا انعكاسات لقيم كبيرة للزاوية  $2\theta$ . وللبلورة الواحدة تكون الانعكاسات ذات المرتبة الثانية قوة تفريقي أكبر من تلك المتبعة من المستويات ذات المرتبة الأولى ولكن شدة الانعكاسات في هذه الحالة تكون أقل بمقدار الحمس من الانعكاسات من المرتبة الأولى.

والعوامل المؤثرة على عرض الخطوط  $B$  يمكن مناقشتها فقط بالنسبة لبعض الأسبكترومترات، ففي الأنواع ذات البلورات المستوية تكون قيمة  $B$  معتمدة جزئيا على توازى الأشعة الساقطة على البلورة وجزئيا على مثالية البلورة نفسها والشعاع المنعكس من البلورة على العداد يكون عريضا بدرجة كبيرة ويقاس عرضه الزاوي بمقدار تفرقة، وهذا يساوى (إذا كانت البلورة مثالية) لمقدار التفرقة في الشعاع الساقط على البلورة. والأخير وبالتالي يمكن التحكم فيه بجهاز الفتحات المتوازية فإذا كان  $\ell$  هو طول الفتحة،  $S$  هي المسافة بين الطبقات Plates فإن أقصى قيمة مسموح بها للتفرق هي:

$$\alpha = \frac{2s}{\ell} \text{ radian} \quad (12-2)$$

وفي حالة ما إذا كان  $10 = \ell$  ،  $s = 0.025$  تكون  $\alpha = 0.3^\circ$  ولكن إذا كانت بلورة التحليل غير مثالية التركيب فإنها تحدث تفرقة أكثر من ذلك؛ وهذا نتيجة عدم انتظام أوضاع الكتل البلورية وتكون قيمتها  $0.2^\circ$  للبلورة المعتمد استخدامها وعرض الخط  $B$  هو مجموع هذه التأثيرات وتكون في حدود  $0.5^\circ$  ويمكن أن تقل قيمة عرض الخط بزيادة درجة توازى الأشعة ولكن شدة الأشعة تقل أيضا، وفي المعتمد تضبط درجة التوازى بحيث يكون عرض الخط حوالي  $0.5^\circ$  وهذا يعطى درجة تفريقي كافية.

في حالة استخدام البلورة المنحنية يكون عرض الخط معتمداً على عرض فتحة المصدر S وعلى الدقة التي تمت بها عملية انحناء البلورة ويكون عرض الخط عادة في حدود ذلك الذي نحصل عليه في حالة البلورة المستوية أى حوالي  $0.5^{\circ}$ .

ويمعرفة d لبلورة التحليل وعرض الخط B الناتج منها يمكننا حساب قدرتها على التفريق وأصغر فرق في أطوال الأمواج في السلسلة K يكون بين الخط  $K_{\beta}$  لعنصر له عدد ذري Z، الخط  $K_{\alpha}$  لعنصر له عدد ذري  $(Z+1)$  وهذا الفرق يتغير بتغيير العدد الذري ويكون أقل ما يمكن بين الخط  $K_{\beta}$  لعنصر الفانديوم ( $Z=23$ ) والخط  $K_{\alpha}$  لعنصر الكروميوم ( $Z=24$ ) وهذا الفرق يساوى  $0.007\text{ \AA}$ .

من الواضح مما سبق أن التحليل الفلوري يتطلب زيادة شدة الأشعة حتى يمكن التعرف على المواد الموجودة بنسبة قليلة وكذلك يتطلب ارتفاع قيمة قوة التفريق للتعرف على المواد ذات الخطوط الطيفية المتقاربة.

#### ١-٤-١٢ التحليل الكيفي: Qualitative Analysis

لإجراء تحليل كييفي يكفي بأن يكون لدينا جدول بقيم  $\lambda, \theta, \lambda$ ، لبلورة التحليل المستخدمة وكذلك جدول للخطوط K, L لكل العناصر مرتبة حسب القيم العددية لأطوال الأمواج.

وحيث إنه من المهم معرفة العنصر الذي يكون له خط تابع له في الطيف الذي نحصل عليه هل هو عنصر في العينة أو عنصر في مادة الهدف لأنبوبة الأشعة السينية المستخدمة؛ لذا فلا بد أن نفحص أولاً الطيف الصادر من أنبوبة الأشعة وحدها، ولإجراء ذلك نستخدم مادة مثل الكربون أو البلاستيك توضع مكان العينة حيث تسقط عليها الأشعة بالطريقة المعتادة وتقوم هذه المادة بتشتيت جزء من الأشعة الأولية على الأسپكترومتر ولا تساهم بأى أشعة فلورية خاصة بها؛ لذلك فالطيف الذي نحصل عليه يحتوى فقط على الخطوط المميزة لعنصر الهدف والشوائب التي يحتويها.

#### ٢-٤-١٢ التحليل الكمي: Quantitative Analysis

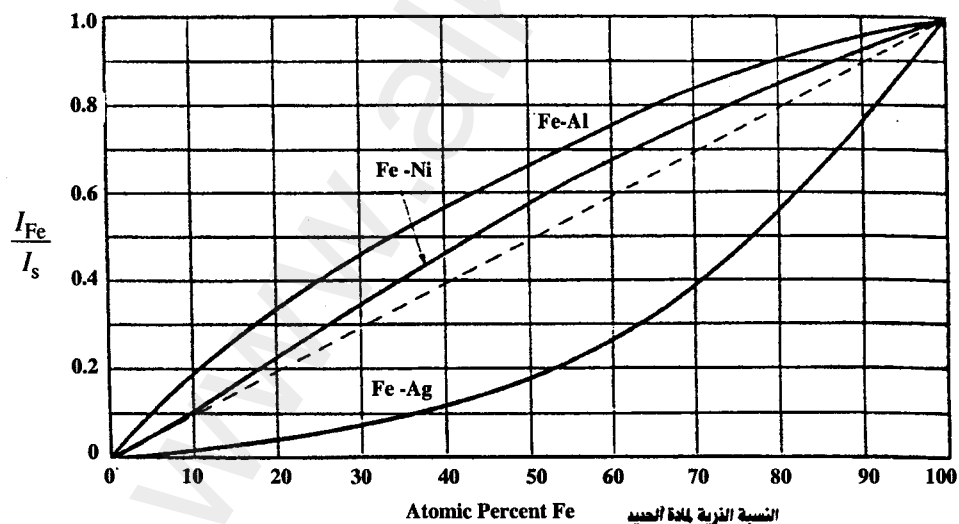
بافتراض أنه لا توجد عوامل مؤثرة جانبية فإنه من المتوقع أن تكون الشدة  $I_A$  لخط الأشعة الفلورية من عنصر ما (A) في العينة متناسبة مع النسبة الذرية لهذا

العنصر ولكن حيث إن هذا غير حادث بالفعل فإن شدة الأشعة الفلورية يمكن أن تبتعد كثيراً عن التناسب مع الكمية الموجودة، وشكل (٦-١٢) يوضح ثلاثة مخالفات مختلفة تحتوى على الحديد حيث يتضح أن شدة الأشعة الفلورية من عنصر ما تعتمد على العناصر الأخرى الموجودة بالعينة، وهذا يكون نتيجة لعاملين مؤثرين هما:

#### ١- الامتصاص بواسطة الوسط: Matrix Absorption

يتغير معامل امتصاص العينة بتغيير مكوناتها؛ لذلك فإن التغير الحادث في الامتصاص سواء للأشعة الأولية أو للأشعة الفلورية يتوقف على مكونات العينة التي سيمران من خلالها.

ومن الصعب حساب امتصاص الأشعة الأولية لأن جزءاً من هذه الأشعة يستنفذ في انباث الأشعة الفلورية K كما أن هذه الأشعة الساقطة تحتوى على مدى واسع من أطوال الأمواج التي يكون لها شدة متفاوتة وامتصاص مختلف عن بعضه البعض، أما معامل امتصاص الأشعة الفلورية الذي يكون له طول موجة محدد فإنه يكون معتمداً على معامل امتصاص العينة لطول الموجة المحدد، ويوضح شكل (٦-١٢) تأثير معامل الامتصاص على المتغيرات حيث يتضح أن معامل امتصاص



شكل (٦-١٢)

السبائك Al - Fe يكون أقل من السبيكة Ag - Fe المحتوية على نفس النسبة من الحديد وتكون النتيجة هي أن شدة الأشعة الفلورية  $Fe K\alpha$  خارج العينة أكبر في حالة السبيكة Al - Fe .

## ٢- تعدد الإثارة: Multiple Excitation

إذا كانت الأشعة الأولية يمكنها أن تثير الذرات للعنصر B ليشع الأشعة المميزة له  $\lambda_B$  وإذا كانت  $\lambda_B$  أقل من  $\lambda_{KA}$  فإن الأشعة الفلورية K من العنصر A يمكن أن تشع ليس فقط من الأشعة الساقطة ولكن أيضاً من الأشعة الفلورية الصادرة من العنصر B وهذا يبدو واضحًا في الشكل (٦-١٢) فأشعة النيكل  $Ni k\alpha$  يمكنها أن تثير الذرات لتشع  $Fe K\alpha$  وتكون النتيجة أن شدة الأشعة المشاهدة عملياً  $Fe K\alpha$  من السبيكة Ni - Fe أقرب إلى تلك الصادرة من السبيكة Fe - Al التي لها نفس النسبة من الحديد بدرجة أكبر من المتوقع عند مقارنة معامل الامتصاص للسبائك ، وفي حالة السبيكة Ag - Fe تكون الشدة المشاهدة عملياً للأشعة  $Fe K\alpha$  أقل كثيراً بالرغم من أن الشعاع  $Ag K\alpha$  يمكنه أن يشير الأشعة الفلورية  $Fe K\alpha$  وذلك نتيجة الامتصاص الكبير في العينة .

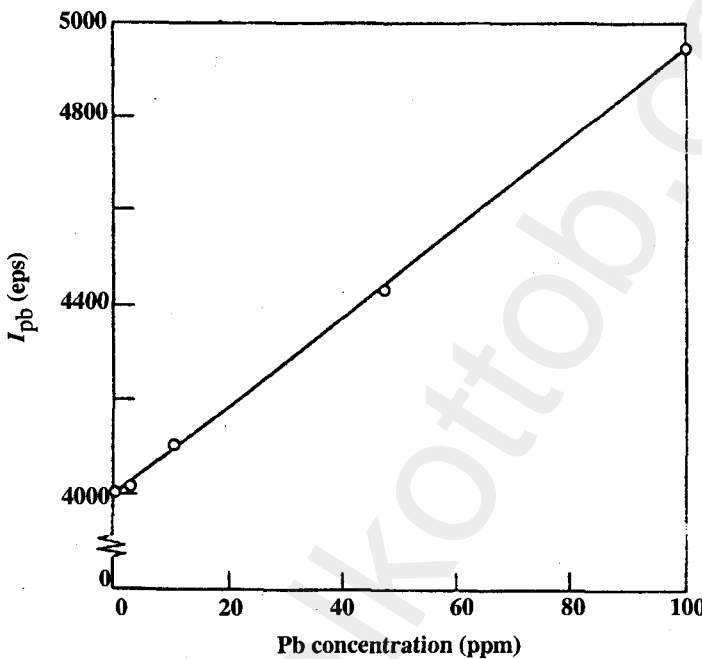
هذه المؤثرات تجعل حساب شدة الأشعة الفلورية معقدة مما جعل التحليل الكمي يُجرى على أساس تجريبية أي باستخدام عينات عيارية معروفة المكونات والعينات العيارية المعلوم مكوناتها يمكن الحصول عليها من المكتب القومي للعياريات National Bureau of Standards أو مصادر تجارية أخرى .

توجد ثلاث طرق تستخدم في التحليل الكمي وهي من حيث المعايرة **Calibration Curves** والمعاملات التجريبية Empirical Coefficifents والمتغيرات الاساسية Fundamental Parameters .

أما بالنسبة لتحضير العينة Sample Preparation فيجب الأخذ في الاعتبار أن طبيعة سطح العينة ودرجة خشونته roughness قد تؤثر على شدة الأشعة؛ ولذلك تمحض العينات الصلبة بعد طحنها حيث تكسس بعد خلطها في حامل مخصوص لذلك ، ويجب الاعتناء بعملية الخلط لأن التحليل يكون لطبقة رقيقة من السطح التي يجب أن تمثل العينة كلها ، أما العينات السائلة فتوضع في خلايا مخصصة لذلك .

### ٣-٤-١٢ منحنيات المعايرة: Calibration Curves

إذا كان المطلوب تعين عنصر واحد فقط فيكون تكوين الوسط ثابتاً وبذلك يكون امتصاصه ثابتاً وكذلك قدرته على تعدد الإثارة ويصبح المطلوب فقط هو إعداد منحنى معايرة ويوضح شكل (٧-١٢) مثال لذلك.



شكل (٧-١٢)

### ٤-٤ طريقة المعاملات التجريبية: Empirical Coefficient Method

هذه الطريقة هي الأوسع انتشاراً في استخدامها فهي مطلوب استخدامها في حالة السبائك والأسمنت والخامات حيث يلزم تعين حوالي خمس عناصر أو أكثر، وشدة الأشعة من أي عنصر A مثلاً تتناسب مع تركيز العنصر ولكن تعتمد أيضاً على تركيز العناصر B ، C ، D وذلك بسبب التغير في التركيز وكذلك تعدد الإثارة.

في هذه الطريقة لم تعد طريقة رسم منحنيات عيارية كافية حيث يلزم رسم منحنيات كثيرة ويستعاض عن ذلك بتطبيق طريقة تحليلية حيث تكون مجموعة

معادلات آتية تتضمن شدة الخطوط المقاسة عملياً والتركيز المطلوب والمعاملات التجريبية التي تم الحصول عليها من قياسات سابقة لعينات عيارية. وفيما يلى أبسط الطرق المستخدمة.

نفترض أن  $I_{AP}$  هي شدة أحد الخطوط من العنصر A النقي فتكون الشدة النسبية لهذا الخط من A هي  $R_A / I_{AP}$  وتقريب أولى يمكن أن نفترض أن  $W_A$  حيث  $W_A = R_A$  هي النسبة الوزنية للعنصر A في العينة.

وهذه المعادلة يمكن تصحيحها لتصبح:

$$W_A = R_A (\chi_{AA} W_A + \chi_{AB} W_B + \chi_{Ac} W_c + \dots) \quad (12-3)$$

والمعاملات في هذه المعادلة مثل  $\chi_{AB}$  تسمى أحياناً المعاملات المؤثرة وهي تقيس الامتصاص نتيجة تعدد الإثارة نتيجة تأثير العنصر B على  $I_A$  وتبعاً لذلك  $R_A$  والمعامل يقاس تأثيره (نقله) بكمية B الموجودة رغم أنها تعكس فقط تأثير B على  $R_A$  وتعتمد قيمتها على العناصر الأخرى الموجودة في العينة فإذا افترضنا أننا نود تحليل سبائك ثلاثة تحتوى على العناصر C، B، A، فإننا في هذه الحالة نحتاج إلى ثلاث عينات عيارية أى على الأقل عدد يساوى عدد العناصر المطلوب تعينها وذلك لإيجاد المعاملات  $\chi_{ij}$  وهذه العباريات يجب أن تغطى نفس مدى التكون مثل المجهول المطلوب تعينه، ومن القياسات للقيم  $R_A, R_B, R_C$  على كل من العباريات الثلاث يمكننا تعين المعاملات الأربع  $\chi_{ij}$  من ثلاث مجموعات من المعادلات مثل (12-3) لإجراء تحليل لمدة غير معروفة علينا أن نكون ثلاثة معادلات تحتوى على قيم  $R_A, R_B, R_C$  والمعاملات التسع ثم تحل هذه المعادلات بالإضافة للمعادلة ..

$$W_A + W_B + W_C = 1 \quad (12-4)$$

وذلك في المجاهيل  $W_C, W_B, W_A$  وبالطبع مثل هذا الحل للمعادلات يتطلب وجود جهاز حاسب آلى.

والاسپيكترومترات الحديثة غالباً تحتوى على حاسب آلى وبرامج خاصة لإتمام التحليل حيث تتم معالجة الجهاز باستخدام عينات عيارية.

## ٥-٤-١٢ طريقة المتغيرات الأساسية: Fundamental- Parameter Method

في هذه الطريقة يتم حساب شدة الأشعة الفلورية من التوزيع الطيفي لتغير الشدة مع طول الموجة للأشعة الأولية الصادرة من أنبوبة الأشعة السينية ومعامل الامتصاص الكتلي  $\mu/\mu$  لكل العناصر في العينة وكذلك ناتج الأشعة الفلورية لكل العناصر (٦).

وإجراء الحسابات يتطلب أن تحول شدة الأشعة المقاسة عملياً I من المادة المجهولة إلى شدة نسبيّة، ومن ميزات هذه الطريقة أن المطلوب توفره هو فقط العناصر العيارية النقيّة ومن مساوئها هو الحاجة لوجود حاسب آلّى كبير؛ لأن حساب شدة الأشعة لا بد أن يكون تكاملاً على كل أطوال الأمواج التي يحتويها الشعاع الأولى الساقط على العينة بالإضافة إلى أن قيم  $\mu/\mu$  تكون غير معروفة بالضبط وبالأخص للعناصر الخفيفة.

والمعادلات التي تعطى شدة الخطوط بدلالة التركيز التي يتم استنباطها بحسابات المتغيرات الأساسية تكون مشابهة في شكلها للمعادلات المستخدمة في طريقة المعاملات التجريبية. هذه الحسابات تعطينا بذلك قيم  $\alpha_{ij}$  مباشرة.

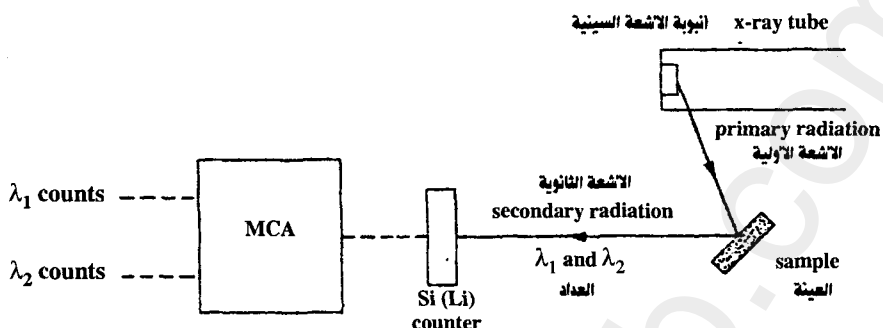
## ٥-١٢ الأسپكترومترات المفرقة للطاقة: Energy Dispersive Spectrometers

الأجزاء الأساسية للاسپكترومتر المفرق للطاقة هي عداد Si(Li) ومكبر FET يعملان بالتروجين السائل ومحلل متعدد القنوات (MCA) Multichannel Analyzer وهو لا يحتوى على بلورة تحليل وكذلك بسيط من الناحية الميكانيكية ولكن معقد من الناحية الإلكترونية نتيجة وجود المحلل متعدد القنوات (MCA) شكل (٨-١٢).

ميزات مثل هذه الأنواع من الأسپكترومترات تعتمد على خاصيتين:

- ١ - التفريق الممتاز نتيجة عدادات Si(Li) وهي أفضل من عدادات التناسب.
- ٢ - مقدرة المحلل متعدد القنوات على إنجاز تحليل سريع باستخدام ارتفاع النبضات، وهذه الخاصية تجعل هذا النوع من الأسپكترومترات أسرع كثيراً من الأسپكترومتر ذي القناة الواحدة والمحلل متعدد القنوات يمكنه قياس شدة كل خطوط الطيف من العينة في حوالي دقة واحدة، إلا في حالة وجود عناصر ذات تركيز منخفض، كما أن شدة الأشعة الفلورية

تكون أقوى في حالة هذا النوع من الأسبيكترومترات، حيث إنها لا تعانى من نقص فى الشدة نتيجة حيودها من بلورة التحليل ولا في جهاز توازي الأشعة collimator كما هو الحال في الأسبيكترومترات الأخرى.



(شكل ٨-١٢)  
الاسبيكترومتر المفرق للطاقة

وغياب كل من جهاز توازي الأشعة وبلورة التحليل يعني أن أي أنبوبة أشعة سينية ذات طاقة منخفضة يمكن أن تستخدم في هذا الجهاز ويكون التيار المطلوب أقل من واحد ميللي أمبير مقارنة بالاسبيكترومتر ذي البلورة الذي يتطلب أن يكون التيار مساوياً لعشرين الميللي أمبير، ونتيجة لعدم الحاجة إلى طاقة عالية لتشغيل الاسبيكترومتر أنه يمكن أيضاً استخدام مصدر مشع ضعيف الشدة لإثارة العينة بدلاً من أنبوبة الأشعة السينية، ومثل هذه المصادر جعلت من الممكن تصميم سبيكترومترات بسيطة يمكنه حملها (portable) محدودة القدرة ولكنها ذات فائدة في بعض الأعمال مثل تصنيف السبائك، والتنقيب عن الخامات (ore prospecting).

وتفريق (resolution) الاسبيكترومتر المفرق للطاقة يكون أفضل نتيجة أن طول الموجة يكون أقصر أو الطاقة تكون أكبر (المعادلة ١-١٢) العكس صحيح في حالة الاسبيكترومتر ذي البلورة الذي يتضح من (المعادلة ١-١٢) وإذا كان طول الموجة أكبر من حوالي  $1\text{ \AA}$  يكون الاسبيكترومتر ذو البلورة له تفريقي أكبر، وهذا المدى يحتوى على خطوط  $K_{\alpha}$  لعناصر أخف من عنصر الكرميوم ( $Z = 36$ ) وهذه النتيجة تسرى على بلورة  $\text{LiF}$  حيث  $d = 2\text{ \AA}$ . وحيث إن التفريقي يعرف بالكمية  $\Delta\lambda / \lambda$  وهي مقلوب معادلة قوة التفريقي  $\Delta\lambda / \lambda$ ؛ لذلك فإن التفريقي الجيد يعني قيمة عددية صغيرة للكمية  $\Delta\lambda / \lambda$ .

يتضح مما سبق أن الاسپکترومتر ذا البلورة المفرق لطول الموجة يتتفوق على الاسپکترومتر المفرق للطاقة؛ لأن تفريقه أفضل بالنسبة لعناصر كثيرة حيث يستخدم في التحليل الكمي في المخلوط بدقة عالية، أما الاسپکترومتر المفرق للطاقة فيستخدم في التحاليل الدقيقة وفي تصنيع الاسپکترومترات المحمولة حيث يعطى نتائج سريعة شبه كمية semi quantitative.



### أسئلة الفصل الثاني عشر :

- ١ - ما هي البلورات الشائع استخدامها كبلورات تحليل وما هي العدادات المستخدمة عادة في الاسپکترومترات ولماذا؟
- ٢ - اذكر أنواع الاسپکترومترات من حيث الطريقة المستخدمة لإثارة الأشعة المميزة من عناصر العينة.
- ٣ - ناقش الفرق بين التحليل الفلوري بالأشعة السينية والتحليل من حيث الأشعة السينية والتحليل الكيميائي بالطرق العادية.



## دراسة المواد الأمورفية بالأشعة السينية

إذا كانت الذرات في البلورات تتخذ موقع تشكل شبيكة ثلاثة الأبعاد وتمتد لمسافات معقولة، أي أن لها انتظاماً بعيد المدى، فإن السوائل والأجسام الأمورفية لا تتمتع إلا بانتظام قصير المدى.

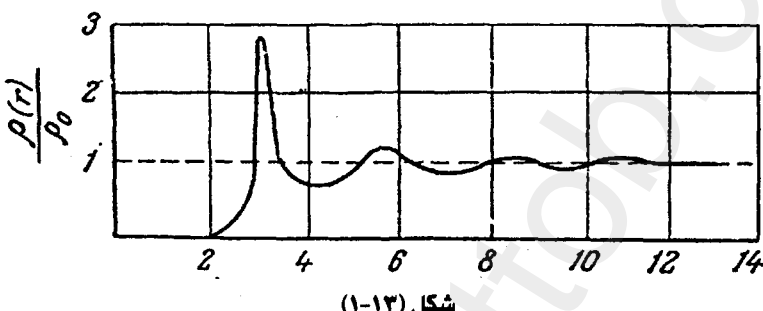
ويعنى هذا أن أقرب الجيران لذرة ما قد تنتظم في ترتيب معين يشبه تقريباً ما يحدث في البلورات. إلا أنه على بعد مسافة معينة من تلك الذرة يختفي الترتيب؛ لذلك فإن حيود الأشعة السينية من السوائل يتخد نمطاً يتكون من حلقة واحدة أو عدة حلقات سميكة، وقد اصطلاح على تسمية الحلقة الواحدة الهالة الأمورفية، وهي غالباً أعرض بكثير من الانعكاسات الناجمة عن حيود الأشعة السينية من بلورة أحادية وذلك بسبب تباعد المسافات بين الذرات المختلفة في المواد الأمورفية.

وتعالج أنماط الحيود للأشعة السينية من المواد الأمورفية باستخدام فوتومتر لقياس شدة الأشعة بعد حيودها كدالة في زاوية الحيود. ثم تجرى الحسابات بعد ذلك بطريقة التوزيع الشعاعي (القطري) وقد يكون الشكل (١-١٣) نموذجاً لمنحنى التوزيع القطري حيث ييدو تغير الكثافة مع المسافة المقاسة بالنسبة لذرة محددة، وتشير القمة الأولى بالمنحنى إلى المسافة بين تلك الذرة وأقرب جيرانها، أما المساحة المحصورة أسفل تلك القمة فتناسب مع عدد جيران الذرة المعنية.

أما القمة الثانية فهي أدنى وأكثر اتساعاً من الأولى مما يدل على تلاشي النظام أو الترتيب سريعاً إذا ما ابتعدنا عن الذرة المعنية وغالباً ما نلجم إلى معادلة «براج الشهيرة».

$$1.68 d \sin \theta = \lambda$$

لتقدير المسافة بين أقرب الجيران بصورة تقريرية، حيث  $d$  هي المسافة المطلوبة،  $\theta$  الزاوية المناظرة لمتصف الـ  $\lambda$  للأمورفية.



شكل (١-١٣)

منحنى التوزيع القطري لذرات الزنبق السائل  
حيث  $\rho(r)$  هي الكثافة عند مسافة  $r$  من ذرة محددة  
 $\rho_0$  متوسط الكثافة داخل العينة

### ١-١٣ حيود الأشعة السينية من البلمرات

من المعروف أن معظم البلمرات لا توجد في صورة بلورية كاملة، أي أن جزءاً من المادة يظل في حالة غير منتظمة وتبدو أنماط حيود الأشعة السينية من ثم وقد ظهرت بها حالة أمورفية عريضة جنباً إلى جنب مع انعكاسات حادة وذات شكل محدد وذلك في حالة البلمرات التي بها نسبة من التبلر.

وإذا قارنا أنماط حيود الأشعة السينية للبلمرات بتلك الخاصة ببلورات مواد ذات وزن جزيئي منخفض فإن عدد الانعكاسات من البلورات ذات درجة التبلر العالية يكون أقل بكثير من مثيلاتها في البلورات العادية. وقد بينت دراسة حيود الأشعة السينية للمواد ذات الوزن الجزيئي المرتفع (كالبلمرات) أن المناطق المتبلورة

داخل البلمرات تكون صغيرة نسبياً، بل إن درجة الانتظام والترتيب بتلك المناطق ليست بالوضوح المألف في البلمرات العادية. وعلى الرغم من هذه الحقائق، فقد أدى تحليل حيود الأشعة السينية من البلمرات إلى معرفة بنية البلمرات وتحديد ما إذا كانت تسمى إلى التركيب الأيزوتاكتي isotactic أو السنديوتاكتي Syndiotactic. كما يمكن معرفة اتجاهات الجزيئات العملاقة ودرجة ترتيبها ومدى تأثير ذلك بالمعاملات الحرارية والميكانيكية للمواد البوليميرية.

عندما يكون البوليمر على درجة عالية من التبلور فإنه يمكن من حيث المبدأ تعين ثابت الخلية الأولية وكذلك الإحداثيات الذرية كما هو الحال في دراسة التركيب البولوري للبلمرات العادية، وتمثل العقبة الرئيسية في استحالة إثاء بلورة أحادية من البوليمر بحيث تسمح ببعادها بالدراسة الدقيقة. ولعل ألياف البلمرات وأغشيتها الرقيقة هي أكثر صور البلمرات شيوعاً من حيث ملائمتها للتحليل بواسطة حيود الأشعة السينية. وتناول فيما يلى مثالين من البلمرات الشائعة:

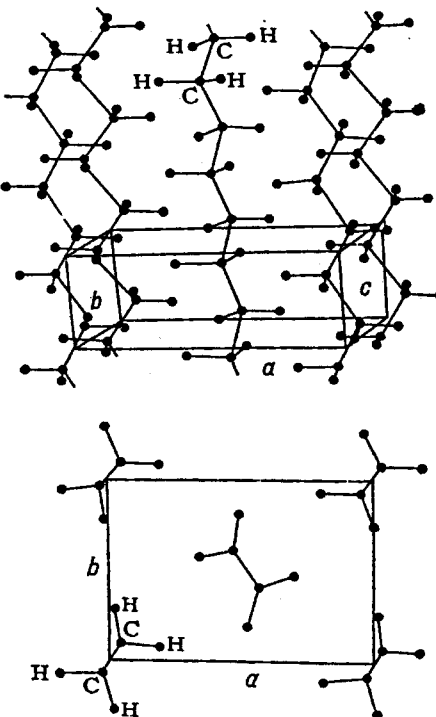
### ١- بولي إثيلين PE

يتميز هذا البوليمر بدرجة عالية من التبلور، وتعتمد نسبة ما به من طور أموف في على طريقة تحضيره، وإن كانت لا تتجاوز عادة من 30 إلى 40 بالمائة. ونرى في الشكل (٢-١٣) خلية أحادية من البولي إثيلين. والسلسلة المترجة مكونة من ذرات الكربون، حيث تقدر المسافة بين كل ذرتى كربون C-C بنحو  $\text{Å} = 1.54$ ، أما ثبات الخلية فهي  $a = 7.40$ ،  $b = 4.93$ ،  $c = 2.534$  أنجستروم. كما يلاحظ أن الجزيئات العملاقة تتنظم في خطوط متوازية تتدفق بطول المحور C للخلية الأحادية.

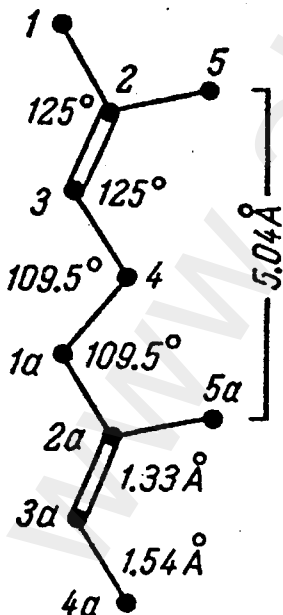
وثبت من دراسات حيود الأشعة السينية أن هناك اهتزازات حرارية محسوبة حول محور السلسلة وأن شدة هذه الاهتزازات تزداد بارتفاع درجات الحرارة مما يؤثر على قيمة الثابت « $a$ » حتى يصل إلى  $7.65 \text{ Å}$  عند درجة حرارة  $100^\circ\text{C}$ .

### ٢- المطاط وصمع جاوه

لقد أصبح من المعروف أن التحليل الكامل للمطاط الطبيعي ولصمع جاوه يؤدي إلى تكون مادة «أيزوبرين» Isoprene. ويختلف هذان البوليمران عن بعضهما البعض بشكل حاد من حيث الخواص الفيزيائية نظراً لتبسيط بنية السلسلة في كل



شكل (٢-١٢) خلية احادية من مادة بولي إثيلين



منهما؛ إذ تترتب متخلفات الأيزوبرين في المطاط الطبيعي على هيئة Cis (سيس)، بينما تترتب في Trans (ترانس) صمع جاوه على هيئة (ترانس) وذلك بالنسبة للرابطة المزدوجة. وقد أوضحت بيانات حيود الأشعة السينية أن «ثابت الشبيكية» يصل إلى  $4.8 \text{ \AA}$ ، وهي في الغالب المسافة بين مجموعتي ميشيل. وإذا اعتربنا أن مراكز جميع ذرات الكربون في جزء صمع جاوه تقع في نفس المستوى (راجع الشكل (٣-١٣)) وكانت المسافة  $O - C$  تساوى  $1.54 \text{ \AA}$  والمجموعة  $C - C$  تساوى  $1.33 \text{ \AA}$  أما الزوايا فهي  $C \diagup C$  و  $C \diagdown C$  على الترتيب  $109.5 \text{ \AA}$  و  $125 \text{ \AA}$  فإن المسافة بين مجموعتي الميشيل تكون  $5.04 \text{ \AA}$

← شكل (٣-١٣)  
نموذج لسلسلة جزيئية من مادة المطاط

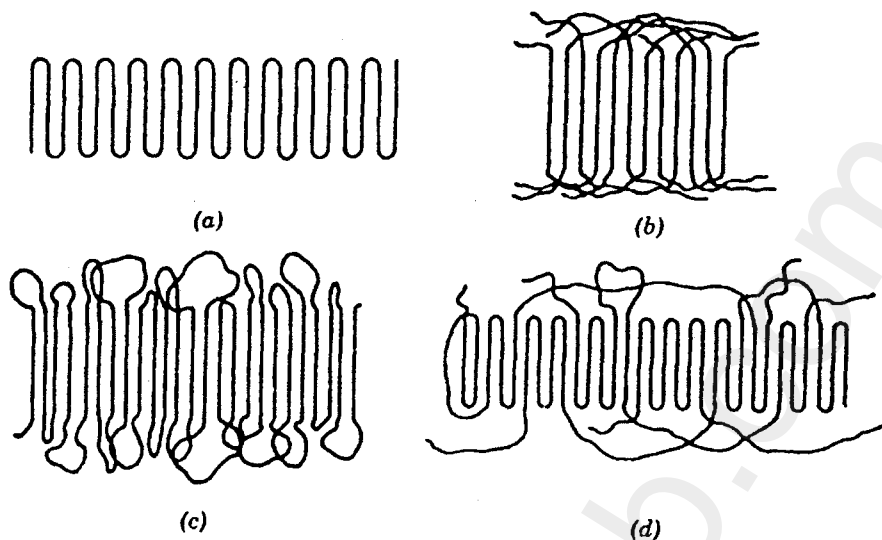
## Polymer Texture ٢-١٣ نسيج البالمرات

عندما تنتظم جميع الجزيئات العملاقة في عينة من بوليمر ما بحيث تصير متوازية تحت تأثير إجهاد شد أو غيره، فإن أكثر أنماط الانتظام شيوعا هو ما يطلق عليه النسيج المحوري الذي ينطبق فيه اتجاه السلاسل مع محور النسيج. وعندئذ تصير خواص العينة ثابتة في جميع الاتجاهات داخل المستوى القطري الذي يضم ذلك المحور. ويوجد مثل هذا النسيج المحوري في معظم الألياف الصناعية والطبيعية، بل إن كثيراً من الأغشية تتمتع بوجود مثل هذا الاتجاه إذا تعرضت لتشوه أحادي المحور.

ولا يختلف نمط حيود الأشعة السينية مثل هذا النسيج (وهو ما يسمى مخطط الأشعة السينية للألياف)، عن الصورة الفوتوغرافية الدورانية لبلورة أحادية. وحيث إن محور الجزء العملاق يتوجه عادة بحذاء محور النسيج، فإن طول الوحدة المونوميرية للجزء العملاق يمكن أن يتحدد بشكل مباشر إذا عرفت المسافة التكرارية.

## ٣-١٣ بنية البالمرات المتبلورة من المصهور

ذكرنا فيما سبق أنه على الرغم من ظهور سمات بلورية في بعض البالمرات بناءً على صور حيود الأشعة السينية، إلا أن انعكاسات «برايج» تبدو عريضة وبمهمة إذا قورنت بتلك الناشئة عن بلورات أحادية. وقد بيّنت نظرية الحيود أن هذا الاتساع في الخطوط راجع فيما يليه عن صغر حجم البذرة البلورية وإما عن عيوب في الشبيكة. أما في حالة البالمرات فأنمط الحيود تكون غالباً واهية بحيث يصعب التفرقة بين هذين الاحتمالين، وإن كان قد استقر أن صغر حجم البذرة البلورية هو أكبر الاحتمالين. وتشير التقديرات الأولية إلى أن حجم البلورات نادراً ما يزيد على بضع مئات، من وحدات الأنجستروم، كما يشير جانب منهم من الخلفية الناشئة عن التشتيت الانتشاري إلى وجود جزء أمورفي داخل تركيب البوليمر شكل (٤-١٣) وهناك اعتقاد بأن سلاسل البوليمر تترافق بإحكام داخل مناطق تناهض أبعادها البذرة البلورية، ولكن هذه المناطق تتضمن أيضاً بعض القطاعات غير المنتظمة التي لم تتبlier وتتضمن بهذا إلى المناطق الأمorfية.

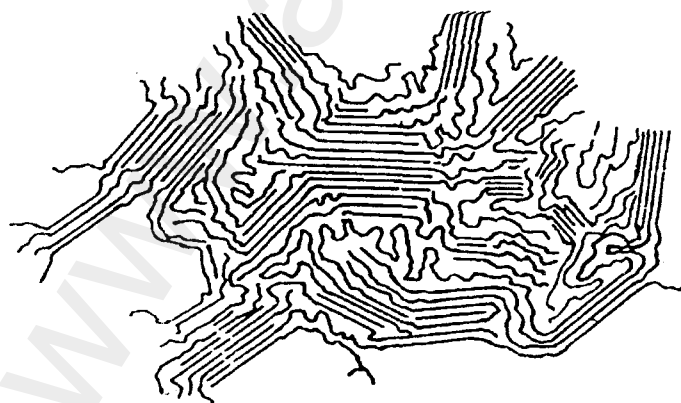


شكل (٤-١٣)

شكل ذو بعدين لطبقات البوليمر.

- (a) طيات حادة. (b) متشابكة.
- (c) عري غير محكمة. (d) تشكيلة من العري

ومن المعلوم أن سلاسل البلمرات طويلة جداً؛ ولهذا فهي تساهم ببعض القطاعات في تكوين مناطق بلورية وبيجوارها مناطق أمورفية بحيث تنتهي في النهاية بنية مؤلفة ذات طور واحد يعرف بنموذج الجزيء الغروي الهدي أو البذرة البلورية، الهدية شكل (٥-١٣).



شكل (٥-١٣)

نموذج غروي هدي للتركيب البلوري - الأمورفي للبلمرات

وقد شاع استعمال مفهوم الجزيء الغروي الهدبي لفترة طويلة نظراً لبساطته، ونجاح النتائج التي أدى إليها ومن بينها الترابط القوى بين المناطق البلورية والأمورفية مما يتيح تكون مادة مؤلفة ذات خواص ميكانيكية جيدة. كما ساعد على سهولة تفسير درجة التبلور بدلالة النسب المئوية للمناطق البلورية والأمورفية المحددة.

#### **٤-٤ عيوب تركيب البلمرات البلورية**

يشوب تركيب البلمرات - عادة - بعض العيوب التركيبية التي تشمل:

##### **١- العيوب النقاطية:**

مثل الواقع الشاغرة في الشبكة وكذلك الذرات الخلالية التي تشغل موقع تجعلها تزاحم فيها الذرات ذات الواقع المنتظمة. وترتبط نهايات السلسل عادة بموقع شاغرة؛ ولذا تعتبر عيوباً تركيبية في حد ذاتها وأنها تختلف كيميائياً عن باقي السلسلة. أما الذرات الخلالية فقد تكون من مادة غريبة أو تكون مرتبطة بالسلسلة مثل بعض السلسل الجانبية مثلاً.

##### **٢- الانخلاءات:**

وتكون من النوع اللولبى أو الحافى (الحدى) وقد تم رصد إنخلاءات لولبية كالتي تصاحب عملية إغاء البلمرات فى حالة البلمرات البوليميرية الأحادية أو فى البولمرات المتسلسلة.

##### **٣- عيوب ذات بعدين:**

ومن أهمها الأسطح المطوية (انظر الشكل ٤-١٣).

##### **٤- عيوب اضطرابات السلسلة:**

وهي تشمل الثنائيات وتغير الرص والتباينة وغيرها.

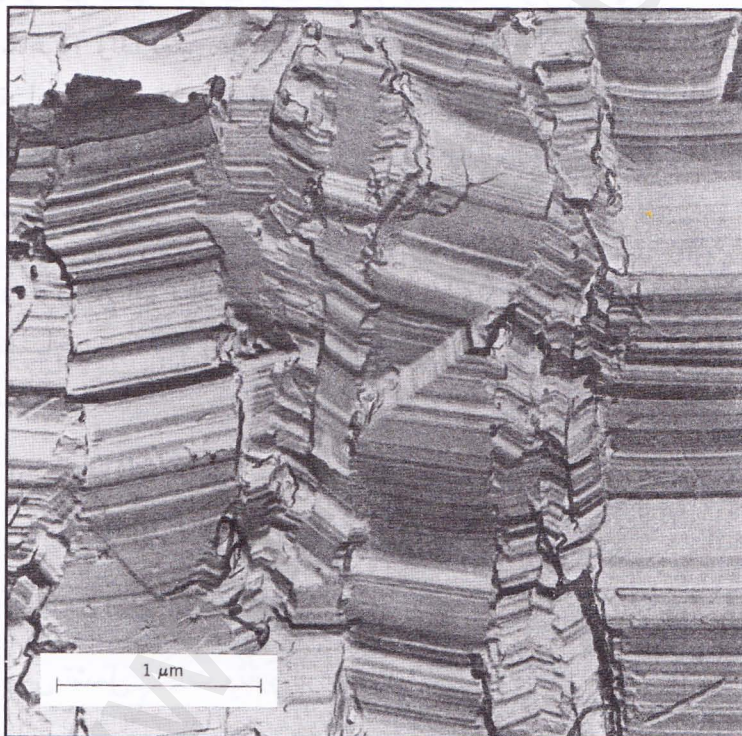
##### **٥- العيوب الأمorfية:**

وهي اضطرابات في التركيب من شأنها زعزعة الشبكة المحيطة بها وذلك باقتلاع ذرات أخرى من الواقع المعتاد داخل الشبكة.

ومن شأن كل هذه العيوب أن تؤدي إلى تكون مناطق أمورفية موضعية تساعد على حدوث تشتت انتشاري للأشعة السينية، كما تؤدي إلى ظهور شبكة مشوهه تجعل خطوط الأشعة السينية أكثر اتساعا.

### ٥-١٣ البلورات ذات السلسل الممتدة

قد يحدث أحياناً أن تبلور البلمرات من الم فهو على هيئة بلورات ذات سلسل ممتدة كما في الشكل (٦-١٣) وغالباً ما يشاهد هذا التركيب في البلمرات ذات الأوزان الجزيئية المنخفضة، وإن كان الأمر يعتمد أيضاً على ظروف التبلور ومنها الضغط والتبريد المستخدمين.

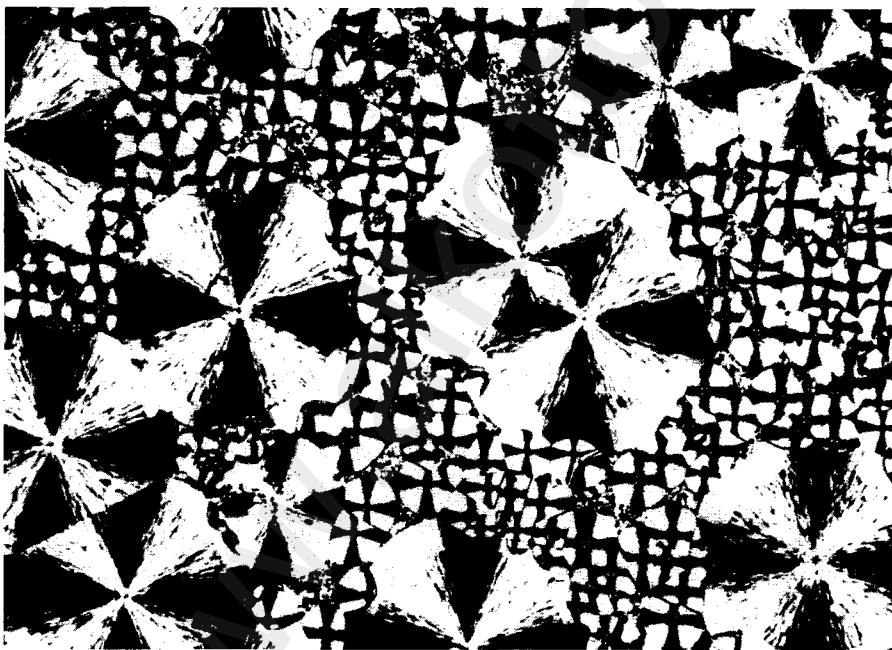


شكل (٦-١٣)

بلورات من مادة البولي إثيلين الخطية وتوصف بأنها ذات سلسل ممتدة.

## ٦-١٣ تركيب الكريات Spherulites

تتميز بعض البلمرات بوجود كريات عندما تبلور من المصهور وتتجلى تلك الكريات بوضوح عند الفحص تحت الميكروскоп الاستقطابي (انظر الشكل ١٣-٧). حيث تبدو الكريات كمساحات دائرية مزدوجة الانكسار ذات أشكال شبيهة بالصلبان. وترتبط تأثيرات الانكسار المزدوج بترتيب الجزيئات الذي يحكمه النظام الظبقي المميز في الكريات، وقد اصطلاح على أن الكريات تظهر كنواتج للتبلور الأولى. ومن المثير أن الكريات تتمتع بتركيب بلوري في حين تكون المناطق فيما بينها ذات طبيعة أمورافية. ويمكن للكريات أن تنمو في الحجم على حساب المناطق الأمورافية. وقد تكون نقطة البدء في نمو الكريات، أو نواتها حبيبة غروية، أو أن يتم الإنماء عفويًا داخل المصهور.

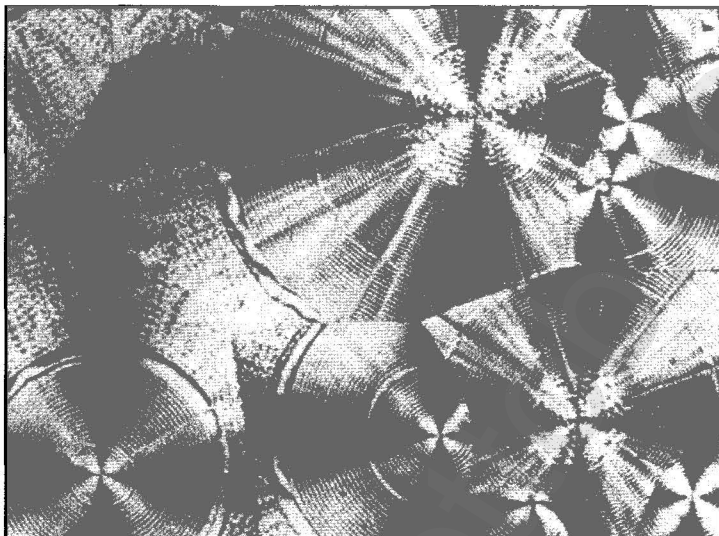


شكل (٧-١٣)

**كريات كما تظهر تحت الميكروскоп الاستقطابي**

وتتمتع الكريات بنية طقية، حسبما أوضحت الفحوص بالميكروскоп الإلكتروني - وذلك بالنسبة لجميع البلمرات. ثم يتشر التبلور عن طريق نمو الطبقات المفردة. وإذا ما التقى كريتان أثناء عملية التبلور فإن الطبقات في كل منهما تتدبر

حدودها المشتركة نحو أية منطقة غير متبلورة. ويؤدي هذا إلى تداخل يجعل المادة متماسكة. كما لوحظ أن الكريات المكونة في بعض البلمرات ذات بنية حلقة يشوبها التواء دوري في الطبقات. الشكل (٨-١٣).

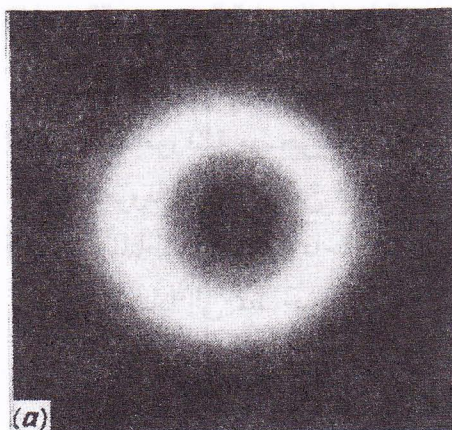


شكل (٨-١٣)

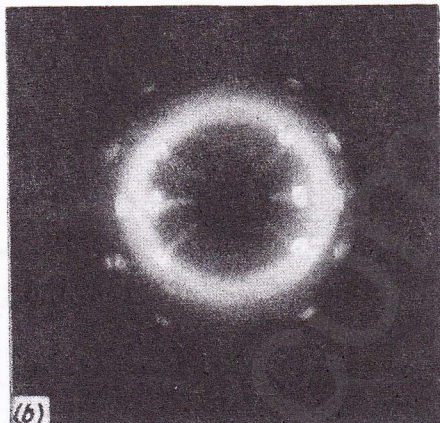
**كريات حلقية من مادة بولي تراميثنيلين جلوتارات كما ترى بين مستقطبين مقاطعين في ميكروسكوب استقطابي**

### ٧-١٣ اتجاه الجزيئات والتبلور بالشد

غالباً ما يكون انتظام الجزيئات العملاقة للبلمرات دليلاً على حدوث التبلور عند إجراء عمليات شد؛ ومعنى هذا أن انتظام الاتجاهات يساعد على التبلور لأنَّه من السهل بناء شبِّيكة بلورية من جزيئات متوازية. وإنْ كان التشوّه وحده لا يحدث تبلوراً فوريًا إلا في البلمرات، وتكون البذور البلورية التي تتكون نتيجة للشد ذات اتجاه محدد. وإذا حدث أنه لم ترصد سوى حالة أمورفية في نُط حيود الأشعة السينية لبولимер ما، فإنَّ الصورة تتغير بعد إجراء الشد وحدوث التبلور الشكل (١٣ - ٩) ومثال ذلك ظهور انعكاسات منفردة في نُط الأشعة السينية للمطاط الطبيعي إذا وقع تحت تأثير استطالة مقدارها 150 بالمائة. وتكون هذه الانعكاسات مصاحبة للهالة الأمورفية ويسير البولимер تمام التبلور إذا زاد انفعال الشد عن 500 بالمائة.



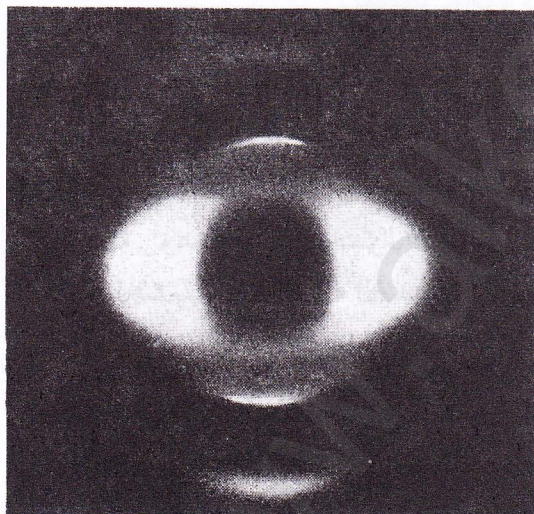
(a)



(b)

شكل (٩-١٣)

أنماط حيود الأشعة السينية لمادة بولي أيزوبوليالين (مطاط طبيعي)  
 (a) غير مشدودة . (b) مشدودة.



شكل (١٠-١٣)

صورة لنسيج أمورفي حيث تم شد غشاء من مادة  
 بولي إثيلين تيرى فثلات عند  $60^{\circ}\text{C}$

ولنأخذ مثلا آخر وهو مادة بولي إثيلين تيرى فثلات ، (PET) عندما يتعرض لحدوث شد يصبحه توجيه للجزيئات عند درجات حرارة تحت درجة  $800\text{ C}$ . إن نمط الأشعة السينية قبل الشد يناظر نمط الحالة الأمورفية؛ فإذا حدث شد لغشاء أيزوتوريبي أمورفي في اتجاه واحد فإننا نلاحظ ظهور ما يسمى بالعنق ، وهو عبارة عن منطقة ذات درجة عالية من توجيه الجزيئات العملاقة الشكل (١٠-١٣) وتكون أكثر الانعكاسات وضوحا عند خط المتصف ، أما البقعتان العري熹تان عند خط الاستواء فتشان من الهالة الأمورفية بعد أن تصطف الجزيئات في اتجاه واحد.

المتصف ، أما البقعتان العري熹تان عند خط الاستواء فتشان من الهالة الأمورفية بعد أن تصطف الجزيئات في اتجاه واحد.

## ٨-١٣ تقيير درجة تبلور البلمرات

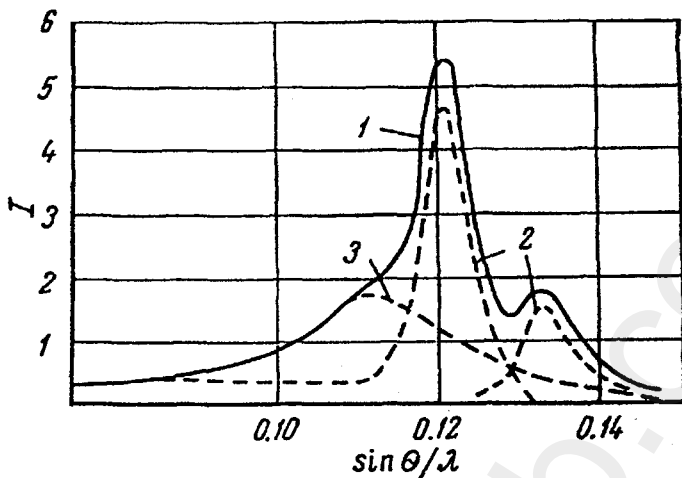
لقد أصبح من المعروف أن شدة مقداره نحو 300 بالمائة للمطاط يؤدى إلى ظهور حالة أمورفية مصحوبة بانعكاسات بلورية، وأصبح هذا النمط لحيود الأشعة السينية معروفاً لدى كثير من البلمرات. واستحدثت طرق عديدة لتقيير عدد المناطق البلورية والمناطق الأمورافية داخل بنية البوليمر، أو بمعنى آخر تقيير درجة التبلور في بوليمر ما استناداً إلى خط حيود الأشعة السينية له.

والآن لنفترض أن لدينا صورتين لحيود الأشعة السينية؛ الأولى لبوليمر أمورفي تماماً، والثانية لنفس البوليمر وقد صار متبلوراً بشكل جزئي.

علينا في البداية قياس شدة الهالة الأمورافية في كل من الصورتين، وإذا اعتبرنا هذه الشدة مقاييساً لمقدار المادة الأمورافية داخل العينة فإننا نستطيع أن نعين المحتوى النسبي للمادة الأمورافية في هذه العينة، بل إن مقدار المادة الأمورافية يساوي النسبة بين شدة الهالة الأمورافية في هذه العينة إلى الشدة في العينة تامة الأمورافية. على أنه يجب إجراء القياسات تحت ظروف متطابقة تماماً، كما أن يكون حجم العينتين متساوين ولتحقيق هذا الهدف تستخدم آلة خاصة تثبت في جهاز تصوير الإشعة السينية للتأكد من أن الأشعة الابتدائية ستسقط بعد اختراق العينة على غشاء فلزى، ثم تظهر الانعكاسات التي تنبت من الغشاء على أنماط الأشعة السينية للعينة المدروسة. وهكذا يمكن اختزال كل الأنماط إلى ظروف قياسية من حيث زمن التعرض للأشعة وشدة الحرمة الابتدائية.

أما إذا استحال الحصول على عينة أمورفية تماماً، فإن منحنى شدة الأشعة السينية الناجمة عن البوليمر المتبلور جزئياً، يتم تقسيمه إلى قطاعات تميز التشتت من المناطق الأمورافية وأخرى تميز المناطق البلورية. ثم يتم تعين درجة التبلور من النسبة بين الشدة التكاملية للهالة والشدة الكلية للانعكاسات البلورية شكل (١٢-١١).

وتتناسب درجة التبلور لمادة بولي إثيلين - مثلاً - مع النسبة بين المساحة الممحصورة تحت القمم البلورية والمساحة المحصورة تحت منحنى شدة الهالة الأمورافية.



شكل (١١ - ١٢)

تعيين درجة تبلور البولى إثيلين

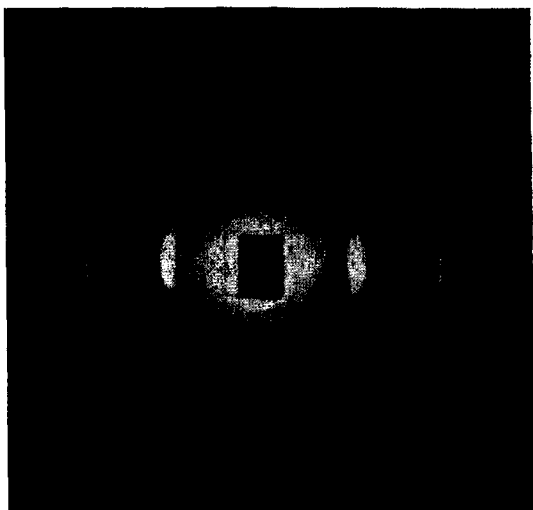
- ١- منحنى الشدة الكلية.
- ٢- منحنى الشدة لقطتين بلوريتين
- ٣- منحنى الشدة للجزء الأموري بالبوليمر.

### ٩-١٣ أنماط الأشعة السينية للبلمرات الأمورية

إن أول وأقوى حالة أمورية لمعظم البلمرات هي تلك التي تناظر مسافة بينية مقدارها  $d = 4.5 - 5 \text{ \AA}$ . ومن المعروف أن سلاسل الجزيئات في البلمرات الأمورية الخطية تكون متوازية تقريباً، ومعنى هذا أن هذه المسافة هي متوسط البعد بين السلاسل المجاورة.

ومن جانب آخر، تتيح طريقة التوزيع الشعاعي (القطري) تفسير أنماط الأشعة السينية للبلمرات الأمورية. الواقع أن منحنى التوزيع الشعاعي للبلمرات يتضمن بيانات حول المسافات التي تفصل بين السلاسل والمسافات بين أجزاء كل سلسلة في نفس الوقت، وهذا ما يجعل تفسير مثل هذه المنحنيات أكثر تعقيداً إذا قورن بحالات المواد الأمورية ذات الوزن الجزيئي المنخفض.

وقد ثبت من تفسيرات منحنيات التوزيع الشعاعي أن سلاسل البلمرات تتبع اتجاهات يوازي بعضها البعض. ولكن تقدير مدى الانتظام قد يكون محفوفاً بالكثير



شكل (١٢-١٣)

**نطح حيود الأشعة السينية من مادة الأكريلونيترينيل**

المسمى «إاتاكتيك» فإنه لا يمكن أن تكون شبكة بلورية ثلاثة الأبعاد؛ ولذلك لا تظهر انعكاسات إلا كتلك الموجودة عند خط الاستواء. ومن هنا يصعب في حالة مثل حالة هذا البوليمر - أن نجزم بأنه إمورف أو بلوري.

### ١٠-١٣ تشتت الأشعة السينية عند زوايا صغيرة

يطلق مصطلح حيود الأشعة السينية بزوايا صغيرة على التشتت خلال مدى ضئيل من الزوايا يتراوح بين عدة دقائق إلى درجة أو درجتين (والدرجة تحتوى - كما نعلم - على ستين دقيقة).

تيبح حيود الأشعة السينية في هذا المدى من الزوايا الصغيرة الكثير من المعلومات القيمة حول حجم وشكل وترتيب الجسيمات الكبيرة والتي قد تصل أبعادها إلى مئات وألاف وحدات الأنجلستروم. وتستخدم لهذا الغرض آلات تصوير خاصة تصل فيها المسافة بين العينة والفيلم الحساس إلى نحو 20 إلى 50 سنتيمترا.

وينقسم هذا النوع من الحيود إلى قسمين؛ حيث يتعرض نطح الأشعة السينية في أولها إلى اضمحلال تدريجي في الشدة حتى تصل إلى الصفر (عند  $\theta = 1-2^\circ$ )، وعادة ما تكون منحنيات الشدة المتصلة ناجمة عن الحيود من منظومة غير مرتبة من الجسيمات الكبيرة.

من الصعوبات. ومن أمثلة ذلك نطح الأشعة السينية لمادة بولي أكريلونيترينيل في صورة ألياف الشكل (١٢-١٣)، حيث تبدو انعكاسات حادة عند خط استواه فقط بينما لا يحتوى إلا على هالة انتشارية ضعيفة وعريضة. يدل وجود الانعكاسات الحادة على المقاطن المستعرضة للسلسلة والتي تكون شبكة ذات بعدين في مستوى يتعامد مع محور ألياف البوليمر. ونظرا لأن الجزيئات تتسمى إلى النوع

أما في القسم الثاني فإن نمط الحيوود يحتوى على قيم عظمى تدل على وجود ترتيب دورى مرتفع بحيث يصبح وجود الانعكاسات المفردة عند درجات صغيرة دليلاً على انتظام ترتيب الجسيمات الكبيرة.

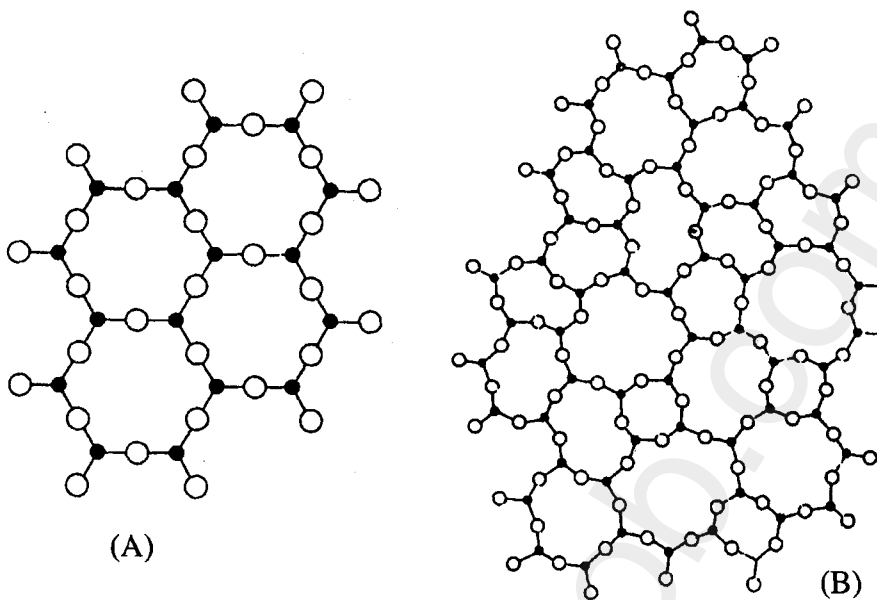
وقد لوحظ وجود هذين النوعين من التشتت فى مختلف البلمرات.

### ١١-١٣ المواد غير المتبلورة: Non crystalline materials

المواد غير المتبلورة هى المواد التى تكون درجة الانتظام فى موقع الذرات بها صغيرة جداً حيث قد أوضح ديابي Debye سنة ١٩١٥ أن الانتظام فى المواد المتبلورة ليس ضرورياً لحدوث ظاهرة الحيوود؛ ففى حالة السوائل والزجاج والبلمرات نحصل على حالة عريضة ومتشرة واحدة أو أكثر وذلك بدلاً من الخطوط الحادة التي نحصل عليها من المواد المتبلورة.

وفى السوائل والغازات وحيدة الذرات نجد أن ما يحيط بأى ذرة دائم التغير إلا أنه توجد درجة صغيرة من الترتيب ناتجة عن حقيقة أن أى ذرتين لا يمكن أن ينفصلاً عن بعضهما البعض بمسافة أصغر من تلك المسافة المساوية لمجموع أنصاف قطريهما، وفي حالة الغازات والسوائل الجزيئية تظهر مسافات أخرى في عملية الترتيب داخل الجزيئات وهي أطوال الروابط وكذلك الزوايا بينها كما تظهر ظاهرة تركيبية جديدة في الزجاج والبوليمرات الصلبة ألا وهي أن كل ذرة يكون لها ذرات مجاورة ثابتة على أبعاد محددة وفي اتجاهات محددة. ويوضح شكل (١٣-١٣) الفرق في بعدين بين ترتيب الذرات في البلورة (A) والترتيب في زجاج له نفس التركيب الكيميائي ( $A_2O_3$ ) ففي كلتا الحالتين نجد أن ترتيب الذرات O حول الذرات A هو نفس التركيب ولكنه في حالة البلورة يكون هناك انتظام إضافي للمجموعات  $AO_3$  حيث يكون الترتيب معاداً باطراد وهو ما يقتضيه التركيب في حالة الزجاج.

ولا يوجد خط فاصل واضح بين المواد المتبلورة والمواد الأمورفية، فكلما قل حجم البلورات المكونة للعينة يزداد عرض الخطوط المكونة لشكل الحيوود حتى تتلاشى حدود الخطوط الضعيفة. أما الخطوط القوية فتكون الهالة المتشرة المميزة للمواد غير المتبلورة وبحساب أبعاد البلورات المكونة للعينة من هذه الخطوط (النطاقات) العريضة نجد أنها غالباً ما تكون في حدود واحدة أو اثنتين من أبعاد الوحدات البنائية وهي



**شكل (٣-١٢) رسم في بعدين يوضح الفرق بين تركيب البلورة A والزجاج B الذي له نفس التركيب الكيماوى  $A_2O_3$**

نتيجة يصعب تفسيرها على أساس تركيب منتظم ومتكرر، وكما أوضحتنا فيما قبل فإن درجة من الانظام تظهر حتى في السوائل والزجاج كما تظهر في معظم الأجزاء الصغيرة من المواد المتبلورة وعلى هذا فيبدو أنه من الأوفق أن نستخدم التعبير بأن هذه المواد هي مواد غير متبلورة بدلاً من اعتبارها مواد أمورفية حيث إن التعبير الآخر يعني أنه لا يوجد أي نوع من الترتيب (الخلم من أي نوع من الترتيب).

ورغم أن شدة التشتت من المواد غير المتبلورة يمكن التعبير عنها بدلالة متغير زاوي واحد مثل  $\theta$  أو  $2\theta$  فقد وجد أنه من الأفضل توضيح اعتمادها على القيمة  $\sin \theta / \lambda$  ونتيجة لعدم وجود انتظام في التركيب لهذه المواد فإن شكل الحبيبات لها يفتقر إلى وجود فرق في التشتت في الاتجاهات المختلفة ويكون لهذا التأثير المباشر وهو أن شدة الأمواج المشتتة التي تحصل عليها تحمل معلومات تسمح بتعيين الأبعاد بين الذرات ولكن ليس اتجاهها وتكون النتيجة التي يمكن الوصول إليها هي دالة توضح التوزيع القطري أي تبين كثافة الذرات أو الإلكترونات كدالة في المسافة بين ذرة أو إلكترون يؤخذ كمرجع في التركيب.

## ١١-١٣ تحليل التوزيع القطرى Radial Distribution Analysis

### الخلفية النظرية:

وضع ديباى الأسس النظرية لعملية التحليل بالتوزيع القطرى حيث أوضح أن شدة التشتت بواسطة صف من الذرات فى مادة غير متبلورة عند زاوية  $\theta$  تعطى بالمعادلة :

$$I = \sum_m \sum_n f_m f_n \frac{\sin s r_{mn}}{s r_{mn}} \quad (13-1)$$

حيث ..

$$s = \frac{4\pi \sin \theta}{\lambda}$$

$f_m$  ،  $f_n$  هما معاملا التشتت الذرى للذرات  $n$ ،  $m$  ،  $r_{mn}$  هو مقدار المتجه الذى يفصل بين الذرتين، وتحجرى عملية التجمم على كل أزواج الذرات فى التركيب.

المعادلة (13-1) يمكن أن تتطبق على صفوف الذرات بافتراض كل الأوضاع فى الفراغ وهو ما يتحقق فى حالة المواد غير المتبلورة بدون دوران العينة، كما أن هذه المعادلة توضح أنه بالإمكان الوصول إلى الشكل الذرى الصحيح وذلك عن طريق مقارنة التشتت العملى مع التشتت النظري المحسوب لعدة أشكال من التركيب الذرى، وهذه الطريقة المبنية على التجربة والخطأ اتبعت فى المراحل الأولى لمثل هذه الدراسات وأدت إلى نجاح بدرجات متفاوتة ولكن بعد ذلك أمكن تطبيق نظرية تكامل فوريير التى اقترحها [Fourier integral theorem] Zernicke and Prins (radial - distribution function) للحصول على ما يسمى دالة التوزيع القطرى (radial distribution function) للعينة بدون آية افتراضات لتركيبيها وتطبيق نظرية تكامل فوريير يتم على الوجه الأكمل بدون عقبات فى حالة المواد التى تكون من نوع واحد من الذرات وعندئذ تصبح المعادلة (13-1) كالآتى :

$$I = N f^2 \sum_m \frac{\sin s r_{mn}}{s r_{mn}} \quad (13-2)$$

وهذا إذا افترضنا أن ما يحيط بأى ذرة هو مثل ما يحيط بأى ذرة أخرى وحيث أنه عند إجراء التجميع في المعادلة (13-2) تصبح كل ذرة بدورها ذرة مرجعية فإنها يصبح عندنا عدد  $N$  من العناصر في المعادلة نتيجة لتفاعل كل ذرة مع نفسها وتكون قيمة كل عنصر من هذه العناصر هي الوحدة لأنه عندما تؤول  $r_{mn}$  إلى الصفر ( $r_{mn} \rightarrow 0$ ) فإن القيمة ( $\sin s r_{mn} / s r_{mn}$ ) تصبح الوحدة، وعلى هذا فالمعادلة (13-2) يمكن أن تكتب بالشكل الآتى :

$$I = N f^2 \left[ 1 + \sum_{m'} \frac{\sin s r_{mn}}{s r_{mn}} \right] \quad (13-3)$$

وذلك إذا كان التجميع لا يسرى على الذرة عند المركز .

والآن يمكن اعتبار أن توزيع الذرات حول ذرة مرجعية يمثل بدالة مستمرة ويمكن استبدال التجميع بالتكامل . .

$$I = N f^2 \left[ 1 + \int_0^\infty 4 \pi r^2 \rho(r) \frac{\sin s r}{s r} dr \right] \quad (13-4)$$

حيث ( $\rho$ ) هي عدد الذرات في وحدة الحجم على مسافة  $r$  من الذرة المرجعية ، ( $4 \pi r^2 \rho(r)$ ) هو عدد الذرات المحتواة في قشرة كروية لها نصف قطر  $r$  وسمك  $dr$  وإذا كانت  $\rho_0$  هي متوسط كثافة الذرات في العينة فإن المعادلة (13-4)

يمكن كتابتها على الصورة :

$$I = N f^2 \left[ 1 + \int_0^\infty 4 \pi r^2 \{ \rho(r) - \rho_0 \} \frac{\sin s r}{s r} dr + \int_0^\infty 4 \pi r^2 \rho_0 \frac{\sin s r}{s r} dr \right] \quad (13-5)$$

والتكامل الثاني في هذه المعادلة يساوى صفرًا إلا إذا كانت  $s$  صغيرة جداً حيث تكون شدة الأشعة المشتقة لا يمكن فصلها عن الشعاع الأصلي ولا يمكن مشاهدتها ، وعلى هذا فإذا اقتصر الاهتمام على ما نحصل عليه عملياً فإن المعادلة (13-5) تصبح . .

$$\frac{1}{N f^2} - 1 = \int_0^\infty 4 \pi r^2 \{ \rho(r) - \rho_0 \} \frac{\sin s r}{s r} dr \quad (13-6)$$

وباستخدام نظرية تكامل فوريير Fourier integral theorem تؤول المعادلة (13-6) إلى ..

$$r \{ \rho(r) - \rho_0 \} = \frac{1}{2 \pi^2} \int_0^\infty S_i(s) \sin r s ds \quad \text{أو ..}$$

$$4 \pi r^2 \rho(r) = 4 \pi r^2 \rho_0 + \left( \frac{2r}{\pi} \right) \int_0^\infty i(s) \sin r s ds \quad (13-7)$$

حيث ..

$$i(s) = \frac{1}{N f^2} - 1 \quad (13-8)$$

وقد كان ديي ومينك Debye and Menke هما أول من استخدم نظرية تكامل فوريير لدراسة المواد غير المتبلورة التي تتكون من نوع واحد من الذرات وهو الزئبق وبعد ذلك أدخلت تعديلات على المعادلة (13-1) لتصبح صالحة للاستخدام في حالة وجود أكثر من نوع واحد من الذرات ولكنها تصبح ..

$$I = N \sum_{\rho} f_{\rho}^2 + \sum_m^{\text{m} \neq n} \sum_n f_m f_n \frac{\sin s r_{mn}}{s r_{mn}} \quad (13-9)$$

حيث  $m, n, \dots$  هي رموز للذرات المختلفة التي تكون وحدة التركيب (جزء على سبيل المثال) التي تشكل العينة بكمالها،  $N$  هو عدد هذه الوحدات. ويسرى التجميع الأول على كل الذرات المكونة لوحدة التركيب، أما التجميع الثاني فيسرى على كل زوج من الذرات في العينة بصرف النظر عن انتسابهما لوحدة التركيب.

والآن بالنظر إلى توزيع الذرات حول أي ذرة تُؤخذ كمرجع على أنه توزيع مستمر ففترض أن ذرة من النوع  $m$  هي الذرة المرجعية وأن متوسط عدد الذرات

من الأنواع  $n, m, \dots$  التي توجد في منطقة قشرية دائرية لها نصف قطر  $r$  وسمك  $dr$  هي  $a_n, a_m, \dots$  وغيرها.

والآن يمكن أن نعرف دالة الكثافة ذات الوزن  $(\rho_m(r))$  كالتالي :

$$4\pi r^2 \rho_m(r) = \sum_m a_m f_m \quad (13-10)$$

حيث يجري التجميع على كل الذرات في وحدة التركيب التي اختيرت مسبقاً وبذلك تصبح المعادلة (9-13) كالتالي :

$$I = N \left[ \sum_m f_m^2 + \sum_m f_m \int 4\pi r^2 \rho_m(r) \frac{\sin s r}{s r} dr \right] \quad (13-11)$$

وإذا افترضنا أن معامل التشتيت للذرة  $m$  يمكن أن يعبر عنه بدلالة معامل التشتيت للإلكترون  $f_e$  كالتالي :

$$f_m = k_m f_e \quad (13-12)$$

حيث  $k_m$  هو عدد الإلكترونات في الذرة  $m$  وهذا يعني الافتراض أن تغير  $f$  مع الزاوية  $\theta$  (زاوية الحيود أو التشتيت) هو تغير واحد لكل الذرات، وهذا يعتبر تقريباً مقبولاً للذرات التي لا تختلف اختلافاً كبيراً في عددها الذري ودالة الكثافة الذرية  $(r)$  في المعادلة (10-13) يمكن الآن أن يعبر عنها بدلالة  $f_e$  كالتالي :

$$\rho_m(r) = f_e g_m(r) \quad (13-13)$$

$g_m(r)$  هي دالة الكثافة الإلكترونية.

وبالتعويض من المعادلتين (12-13)، (13-13) في المعادلة (13-11) نحصل على ..

$$I = N \left[ \sum_m f_m^2 + 4\pi f_e^2 \int \left\{ \sum_m k_m g_m(r) \right\} r^2 \frac{\sin s r}{s r} dr \right] \quad (13-14)$$

وبالمثل في حالة اشتقاء المعادلة (13-6) من (13-4) فالمعادلة (13-14) يمكن أن تصير كالتالي:

$$\frac{1}{N} - \sum_m f_m^2 = 4 \pi f_e^2 \int_0^\infty \sum_m k_m \{g_m(r) - g_0\} r^2 \frac{\sin s r}{s r} dr \quad (13-15)$$

وبتطبيق نظرية تكامل فوريير نحصل على:

$$4\pi r^2 \sum_m k_m g_m(r) = 4\pi r^2 g_0 \sum_m k_m + \frac{2r}{\pi} \int_0^\infty s i(s) \sin r s ds \quad (13-16)$$

حيث ..

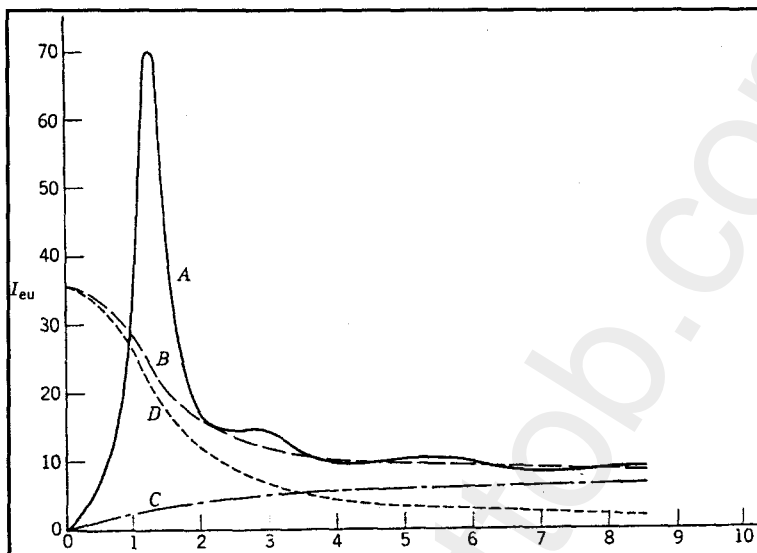
$$i(s) = \frac{\left( \frac{1}{N} - \sum_m f_m^2 \right)}{f_e^2} = \sum_m Z_m \left( \frac{1}{N \sum_m f_m^2} - 1 \right) \quad (13-17)$$

وفي هذه المعادلة  $Z_n$  تكون هي العدد الذري للذرات من النوع  $m$ .

تعيين دالة التوزيع القطرى باستخدام المعادلة (13-17) أو (13-16) يتم على مرحلتين أولهما التقييم العددى للدالة  $i(s)$  من البيانات العملية وثانيتها الحساب العددى للتكمال  $\int_0^\infty s i(s) \sin r s ds$ .

ومن ناحية المبدأ تطبق المعادلتان على التشتت الذاتى وغير الذاتى ويتم التكمال في هاتين المعادلتين لقيم كبيرة للكمية  $s$  كما أن تكامل المعادلة (13-14) يقترب من الصفر كلما كبرت قيمة  $s$  ، وبذلك فإن شدة الأشعة الذاتية المشتة (coherent)  $I$  تقترب من قيمة الأشعة المستقلة الذاتية المشتة  $Nf^2$  (independent coherent scattering) واضحا في شكل (١٣-١٤) عند مقارنة المنحنى العملى (A) بالمنحنى (B) للأشعة المستقلة الذاتية المشتة لمادة البولى أيزوپريل ونعني بالتشتت المستقل الذاتى التشتت النظري (hypothetical) من مجموعة من الذرات عندما تقوم كل ذرة بتشتت الأشعة منفردة (غير معتمدة على باقى الذرات) وبذلك لا يحدث تداخل بين الموجات، ومن الواضح أن مجموع التشتت الذاتى المستقل الحادث من عدد  $N$  من

الذرات التي لها معامل تشتت ذري  $f_m$  سيكون مساوياً للكمية  $Nf_m^2$  من وحدات الإلكترون (انظر الشكل D الذي يوضح المنحنى لقيمة  $N = 1$ ).



شكل (١٤-١٣)

منحنى التشتت العلوي والمستقل لأحد العينات التشتت العلوي (A). التشتت العلوي الكلي (B). التشتت غير الذاتي (C). التشتت المستقل الذاتي (D)

وبجمع التشتت الذاتي (D) على التشتت غير الذاتي المستقل نحصل على التشتت غير المستقل (B).

وعملياً يكفي أن تقايس زاوية التشتت للحد الذي تكون فيه كبيرة بدرجة كافية تجعل ( $s$ ) تصل للصفر وفي معظم المواد غير المتبلورة نصل إلى هذه الحالة عندما تصل قيمة  $s$  إلى 8 أو 10.

وفي العادة تستخدم أشعة ذات طول موجة قصير مثل  $M_0 K_\alpha$  لتعطينا أشعة حيود لها قيمة كبيرة لـ  $s$  وللحصول على الأشعة ذات القيم الصغيرة لـ  $s$  تستخدم أشعة ذات طول موجة كبير وهذا يكون أفضل وذلك للحصول على تفريق كبير.

بالنظر للمعادلين (13-8) ، (13-17) نلاحظ أن  $I$  يجب أن تكون وحداتها مثل وحدات  $Nf^2$  أو  $\sum_m f_m^2 N$  وهذا يمكن إثراه بمقارنة منحنى التشتت العملي الذي يمثل التشتت الذاتي وغير الذاتي والمنحنى النظري عند القيم الكبيرة لـ  $S$  وبعد ذلك يطرح التشتت النظري غير الذاتي من المنحنى العملي وبذلك يبقى التشتت الذاتي المرغوب فيه  $I$  تفسيراً لطريقة التصحيح للتشتت غير الذاتي تفترض أن شدة الأشعة المشتتة الكلية (ذاتية وغير ذاتية) بواسطة ذرة عددها الذري  $Z$  هي ..

$$I_t = I_e [ f^2 + R(Z - \sum_n f_n^2) ] \quad (13-18)$$

حيث  $I_t$  هو تشتت الإلكترون الواحد،  $f_n$  هو معامل التشتت للإلكترون  $n$  في الذرة،  $R$  هو معامل الارتداد الذي يمكن أن يعطى قيمة مقدارها الواحد بدون خطأ كبير إلا في حالة المواد ذات العدد الذري المنخفض القيم  $I_e f^2 R(Z - \sum f_n^2)$ ،  $I_e f^2$  تمثل التشتت الذاتي وغير الذاتي للذرة. إذا افترضنا أن  $I_t$  تساوى الوحدة فإن كلا النوعين من التشتت يكون بالوحدات الإلكترونية.

ومنحنى شدة الأشعة المقاس لا يمكن مقارنته بالمنحنى النظري إلا بعد تصحيحه لأى تشوهات تتغير زاوية التشتت مثل الامتصاص والاستقطاب فالشعاع وحيد الموجة المشتت بواسطة عينة ما تقل شدته بالمعامل.

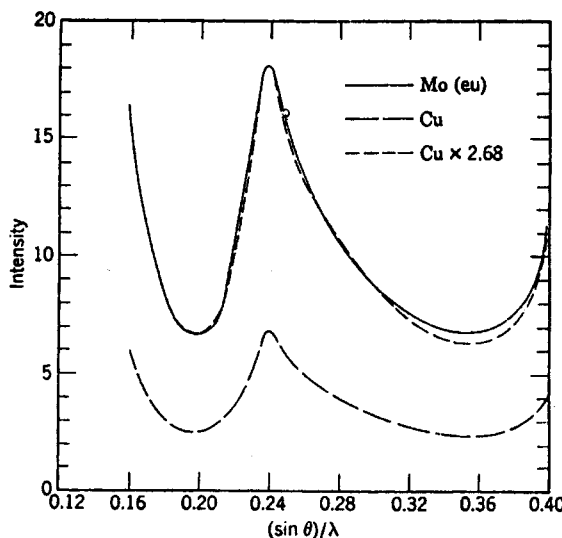
$$\rho = \frac{1 + \cos^2 2\theta' \cos^2 2\theta}{1 + \cos^2 2\theta'} \quad (13-19)$$

حيث  $\theta'$  هي زاوية براج لمستوى الانعكاس.

وتصحيح شدة الأشعة المشتتة نتيجة عامل الامتصاص يمكن إهماله في حالة المواد العضوية عند استخدام أشعة شديدة التفاذية قصيرة الموجة ( $M_O k_\alpha$ ). (مثلاً  $k_\alpha$ ).

**مثال عملي:**

دراسة تركيب الكربون الأسود كانت أول الدراسات التي أجريت باستخدام هذه الطريقة حيث أوضحت هذه الدراسات بواسطة وارين أن مادة الكربون ليست مادة غير متبلورة ولكنها تحتوى على مستويات من الجرافيت.



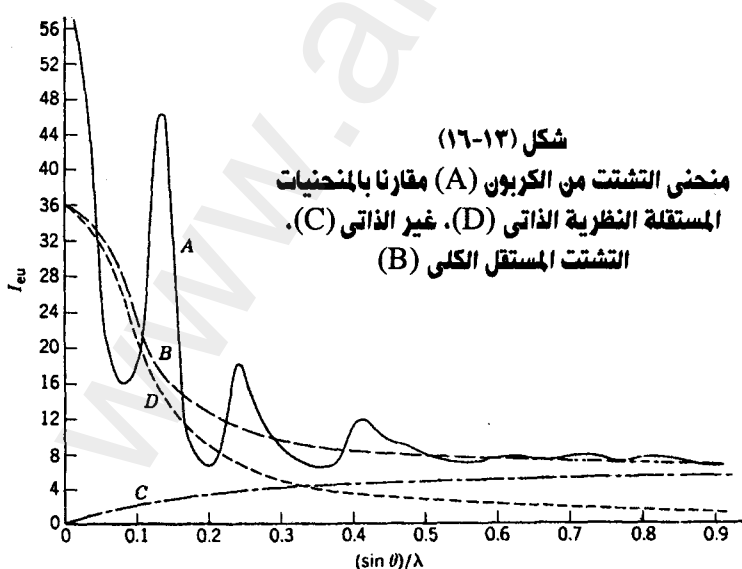
شكل (١٥-١٣)  
تسوية منحنى التشتت من أشعة  
النحاس بذلك الناتج من أشعة  
الموليبيدينوم

يوضح شكل (١٥-١٣) شدة أشعة الموليبيدينوم المشتتة بعد إجراء التصويريات عليها كدالة في  $\sin \theta / \lambda$  باستخدام المعادلة (١-١٣) وبمقارنة المنحنيات B في المنطقة من  $\sin \theta / \lambda = 0.675$  إلى  $\sin \theta / \lambda = 0.85$  يمكن استنتاج معامل التحويل لشدة أشعة التشتت للموليبيدينوم إلى الوحدات الإلكترونية (electron units) كما هو موضح بالجدول (١-١٣) وشدة الأشعة المشتتة من أنبوبة الموليبيدينوم تستخدم بعد ذلك للحصول على معامل التحويل لشدة الأشعة المشتتة من أنبوبة النحاس إلى الوحدات الإلكترونية وذلك بإيجاد حاصل ضربها في المعامل 0.538 وإعادة رسماها مع منحنى النتائج الخاصة بأشعة النحاس.

وبيانات شدة التشتت للنوعين من الأشعة أعطت نتائج جيدة في المنطقة من  $\sin \theta / \lambda = 0.16$  إلى  $\sin \theta / \lambda = 0.40$  ولذلك فقد استقر الرأي على مقارنة شدة الأشعة المشتتة من أنبوبة الموليبيدينوم وأنبوبة النحاس عند قيم صغيرة للفوائل inter-vals في هذا المدى للوصول لمعامل التسوية normalizing factor الأمثل. ويوضح شكل (١٥-١٣) شدة الأشعة من أنبوبة النحاس بعد عملية التسوية لوحدات الإلكترون بمعامل 2.68 أما الشكل (١٦-١٣) فيعطي الشكل النهائي لمنحنى شدة الأشعة (A) بالوحدات الإلكترونية من كلا النوعين من الأشعة وللمقارنة يوضح الشكل منحنى التشتت النظري المستقلة للكربون [المنحنى الذاتي (D) والمنحنى غير الذاتي (C) ومجموعهما (B)].

جدول (١٦-١٢)  
استنتاج معامل التحويل لشدة أشعة التشتت للموليبدنوم إلى الوحدات الإلكترونية

$\sin \theta/\lambda$	$I_{M0}$	$B(\text{eu})$	$B/I_{M0}$
0.675	12.4	7.0	0.565
0.700	13.0	6.9	0.531
0.725	13.1	6.8	0.519
0.750	12.5	6.7	0.536
0.775	12.3	6.7	0.545
0.800	12.6	6.8	0.540
0.825	12.6	6.7	0.532
0.85	12.4	6.6	0.532
			-----
			0.538 المتوسط



والبيانات العددية المطلوبة يمكن تفهمها من المعادلة (13-8) ، بدلالة دوال التشتت المستقل B ، C ، D للمنحنىات (14-13)، (13-16).

$$\begin{aligned} \therefore i(s) &= \frac{I - N f^2}{N f^2} \\ &= \frac{(A-C) - D}{D} = \frac{A - B}{D} \end{aligned} \quad (13-20)$$

ولحساب التكامل في المعادلة (13-7) وهو ..

$$\sum s_i(s) (\sin r s) \Delta s$$

تحتار قيمة  $\Delta s$  بحيث تكون صغيرة بقدر كاف لإظهار تفاصيل منحنى السعة  $S(s)$  ومعظم المواد غير المتبلورة تكون قيمة  $\Delta s \approx 0.10$  مناسبة لإظهار كل التفاصيل اللازمة كما أنها تسمح بحساب قيمة  $r$  عند فواصل لا تتعدي 4 أو 5، وللحصول على تفرقة جيدة عند قيم  $r$  الكبيرة يجب أن تقل قيمة  $\Delta s$  إلى حوالي 0.05.

والطريقة الوحيدة لزيادة عدد قيم  $r$  المحسوبة لزيادة التفاصيل لدالة التوزيع القطرى تكون بزيادة عدد أقسام الدورة.

أما الكثافة الذرية  $\rho_0$  في المعادلة (7-13) فإنه يمكن حسابها من الكثافة المشاهدة عملياً للمادة الصلبة بواسطة العلاقة ..

$$\rho_0 = \frac{d N}{A \times 10^{24}}$$

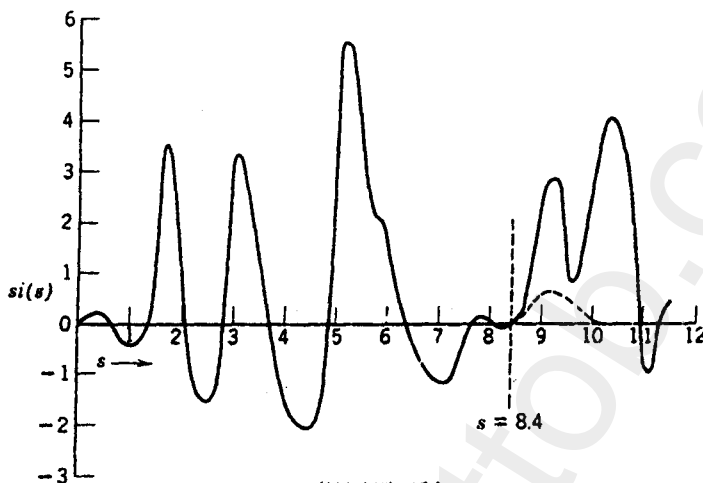
حيث  $d$  هي الكثافة بالجرام/ سم<sup>3</sup> ،  $N$  عدد أزواجادرو ،  $A$  الوزن الذري فإذا اعتبرنا أن كثافة الكربون 2.25 gm/cc فإن قيمة  $\rho_0$  تساوى ..

$$\rho_0 = \frac{2.25 \times 6.02 \times 10^{23}}{12 \times 10^{24}} = 0.113$$

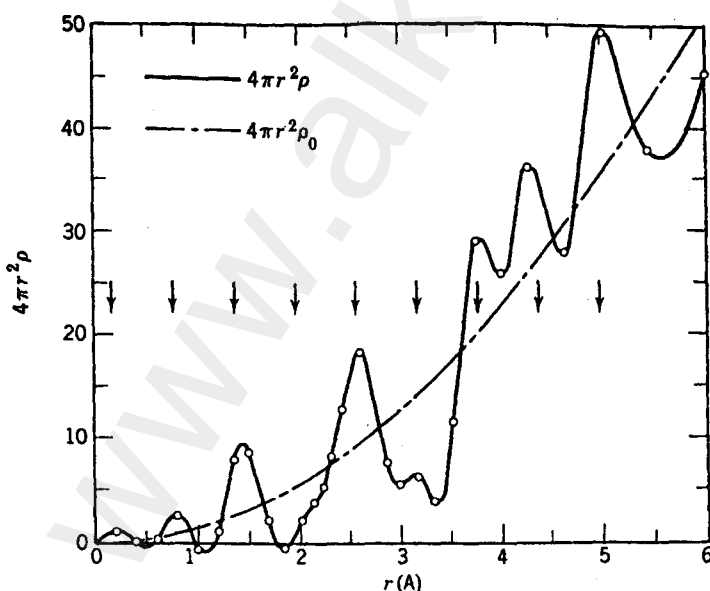
والمعادلة (13-7) يمكن أن تأخذ الصورة ..

$$4\pi r^2 \rho(r) = 1.420 r^2 + 0.066 r \sum s_i(s) \sin rs \quad (13-21)$$

الخط المتصل في الشكل (١٨-١٣) هو دالة التوزيع القطرى للكربون كما حسبت بالمعادلة (١٣-٢١) باستخدام كل بيانات السعة المأخوذة من الشكل (١٣-١٧). أما المنحنى النقطى فهو يمثل متوسط التوزيع الذرى في العينة.



شكل (١٧-١٣)  
دالة السعة العملية ( $s_i(s)$ ) مادة الكربون



شكل (١٨-١٣)

**أسئلة على الفصل الثالث عشر:**

- ١- ما هي العيوب التركيبية في البلمرات البلورية.
- ٢- أذكر باختصار طرق تعين درجة تبلور البلمرات.
- ٣- اشرح كيفية تشتت الأشعة السينية عند زوايا صغيرة.



# **الباب الخامس**

---

**بعض أنواع البلورات ذات المواصفات الخاصة**

---

**الفصل الرابع عشر:**

**أشباء البلورات وتماثلها والبلورات النانومترية**

**الفصل الخامس عشر:**

**البلورات السائلة وتطبيقاتها**

---

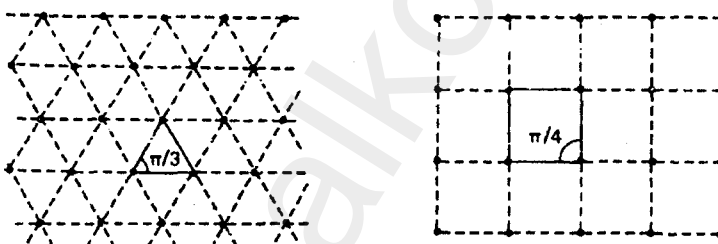
# أشباء البلاورات والبلاورات النانومترية

## مقدمة:

استقر في الأذهان ولفترات بعيدة أن المادة المكثفة تتجلى في صورة بلورة صلبة، بل إن فيزياء الجوامد ظلت هي فيزياء البلاورات إلى حد بعيد. وقد مر بنا في الأبواب السابقة أن البلاورات تتمتع بتماثل انتقالى كامل يؤدى بالضرورة إلى قواعد اختيار مهمة يمكن تطبيقها بنجاح عند تفسير نتائج التجارب ووضع النماذج النظرية المفسرة لسلوك الجوامد على أن الاهتمام بالمواد غير البلورية قد اتخاذ أبعاداً كبيرة في العقود الأخيرة.. وهنا يجب أن نفهم مصطلح «غير البلورية» على أنه افتقار المادة للتماثل الانتقالى الصريح، وتتراوح هذه المواد غير البلورية؛ من السوائل والمواد الصلبة الأمorfية إلى بعض البنى (جمع بنية) غير المناسبة. إلا أن السوائل والمواد الأمorfية قد تحتوى على القليل من الانتظام الذي ينحصر أحياناً في تجمعات من الذرات. أما الهياكل غير المناسبة فيمكن وصفها على أنها شبكات دورية بها ذرات قد زحزحت مواضعها بالنسبة لموقع الشبكة. كما أن الشبكة ودورية الإزاحات ليست في تناسب ثابت.

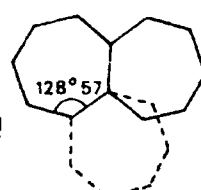
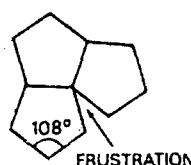
أما الهياكل شبه الدورية أو ما يطلق عليه «أشباء البلاورات» «Quasi crystals» فهي مواد غير بلورية ولكنها تتمتع بنظام بعيد المدى، كما أنها تفتقر إلى دورية ثلاثية الأبعاد، بل وإلى شبكة غير مناسبة الهيكل.

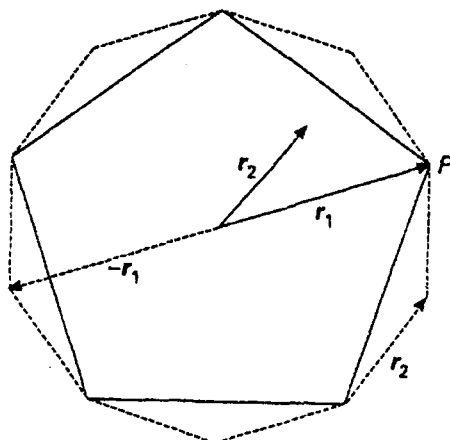
وقد درسنا أن عمليات التماثل الدورانية قد تتم عن طريق محاور ذات طيدين أو ثلاثة أو أربع أو ست طيات، أما عمليات الدوران بواسطة محاور ذات خمس طيات أو أكثر من ست طيات فغير مسموح بها. ولو تخيلنا مجموعة من البلاطات الخماسية المستوية بحيث تكون زاوية كل رأس من الخمسة هي  $108^\circ$  لوجدنا أنها تحدث كل 3.333 مرة على مدى الزاوية  $2\pi$ ؛ ولذلك لا نستطيع توزيع سوى ثلاثة مضلعات وفجوة زاوية مقدارها  $36^\circ$  حول أية نقطة من «نقط الشيشكة» (شكل ١٤-١). وإذا افترضنا أيضاً أن لدينا شيشكة «برافية» ذات بعدين وأن الشيشكة مبنية على خلية خماسية الأضلاع فإن نقطة من نقط الشيشكة عند  $\text{r}_1$  وأخرى عند مركز الخلية سيحتمان أن تكون هناك نقطة عند  $\text{r}_2$ . وليس هذا ممكناً في الواقع الأمر. (شكل ٢-١٤). على أنه من الممكن استيفاء ذلك باختيار خلية أكبر ذات عشرة أضلاع (وهي الخلية المبنية من نقطة في الشكل السابق). وفي هذه الحالة ستكون النقاط قد زحرت من النقطة المركزية بمقدار المتجه  $\text{r}_2$  ولا تصبح متتممة إلى نقاط الشيشكة كما كان ينبغي لها أن تكون.



شكل (١-١٤)

بعض الخلايا الثلاثية والرباعية والسداسية التي تكون هيكلًا دوريا. ويرى أيضًا خلية خماسية وسبعينية





شكل (٢-١٤)

لا تعتبر الخلايا الخامسة والعشارية متوافقة مع الدورية

والخلايا ذات الأضلاع السبعة ليست هي الأخرى مسموحا بها حيث تبلغ زوايا الرءوس  $57^\circ$  و  $128^\circ$  وهى تتكرر 2.8 مرة فى الزاوية  $2\pi$ ، وإذا حاولنا رص هذه الخلايا جنبًا إلى جنب لتكونت فجوات زاوية  $128^\circ$  مقدار كل منها  $86^\circ$  (الشكل ١-١٤).

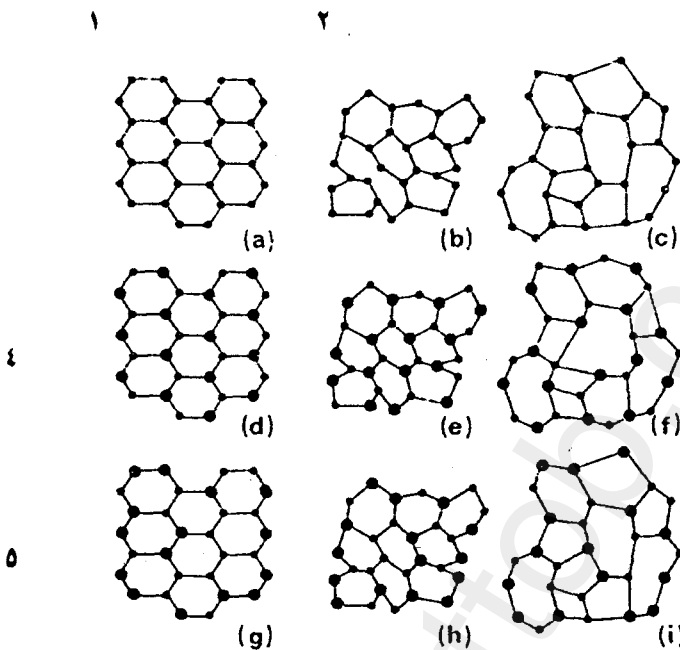
أما في الحالة العامة، حيث متعدد الأضلاع ( $n$  ضلع) يحتوى

على رءوس زاوية كل منها  $\frac{\pi(n-2)}{n}$  ، فنجد أن الترتيب الدوري يمكن الحصول إذا كانت الزوايا تمثل كسرا حقيقيا من  $2\pi$  أو كان المقدار  $\frac{2n}{n-2}$  يساوى عددا صحيحا . وفيما عدا الأشكال الخامسة والسبعينية فإن هذا العدد يصير على الترتيب  $2.666, \dots, 2.2$  بالنسبة لمتعددات الأضلاع من الرتب الأكبر . ويظل هذا العدد أكبر من 2 على الدوام ( فهو يصل إلى 2.0833 إذا كان عدد الأضلاع خمسين ضلعا ).

#### ١-١٤ المنظومات غير المرتبة:

يهم علم البلورات - أساسا - بالمنظومات المرتبة، وإن كانت المنظومات الواقعية قد تجده عن الترتيب في نواحي كثيرة . فقد تكون البلورات المكتملة هندسيا (شكل ٣-١٤ a) ذات تركيب كيميائيا (الشكل ٣-١٤ d) أو تكون ذات « لا ترتيب » كيميائي (الشكل ٣-١٤ g).

كما أن الترتيب الهندسي نفسه قد يضطرب نتيجة التذبذب في أطوال الروابط الكيميائية (الشكل ٣-١٤ b) و/ أو التذبذب في عدد الروابط حول موقع الشبكة (الشكل ٣-١٤ c). وقد تتعايش كل صور الاضطراب معا وينشأ عن ذلك مواد شديدة التشوه مثل بعض السوائل أو الجوامد الأمorfية (الأشكال ٣-١٤ e, f, h, i).



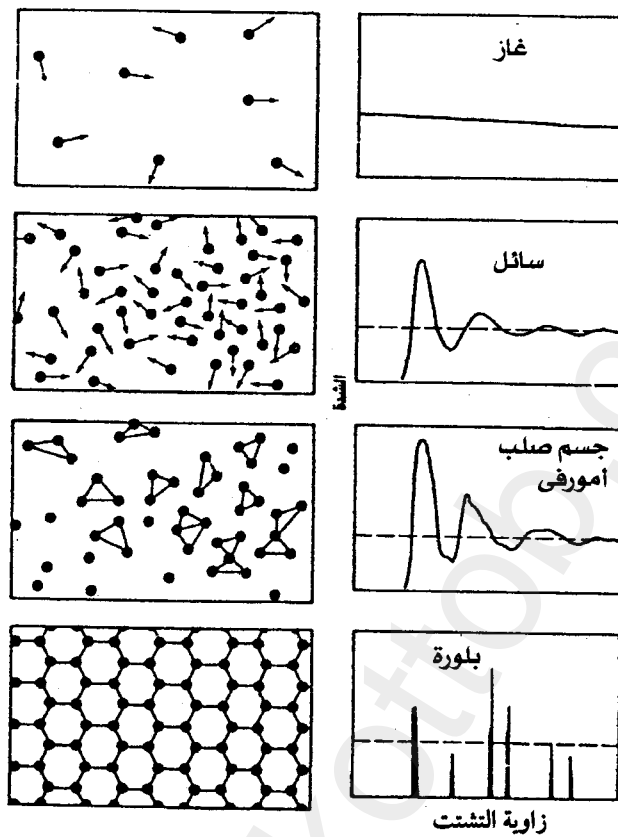
شكل (٣-١٤)

بعض صور اضطراب التركيب البلوري

- ١- بلورة كاملة.
- ٢- اضطراب الروابط.
- ٣- اضطراب توبولوجي
- ٤- ترتيب كيميائي.
- ٥- «لا ترتيب» كيميائي

ويوضح (الشكل ٣-١٤) بعض نماذج التوزيعات الذرية وأنماط الحيود المتوقعة من كل منها. ويلاحظ أن نمط الحيود من السوائل والجوماد الأمورفية شبيه بالتشتت الانشاري المعدّل بمقاييس الترتيب.

أما في حالة الغازات فإن نمط الحيود يناظر التشتيت الانشاري المسطح تماماً؛ ومن هنا يمكن القول بأنه في حالة أي نوع من التركيب يصبح التذبذب في الترتيب قصير المدى – بالنسبة للبنية ذات المدى البعيد واضحاً في نمط التشتيت الانشاري؛ ولذلك فهو أداة تجريبية قيمة في حد ذاته.



شكل (٤-١٤)

رسم تخطيطي للتوزيع الذرات وانماط الحبيبات المعاشرة

## ٢-١٤ النظام شبه الدورى: أو نمط مختلف من النظام:

هناك عالم يسود فيه نوع مختلف من النظام غير ما ألفناه في حالة البلورات الحقيقية التي تتنظم فيها الذرات أو المجموعات الذرية مكونة شبكة ذات ثلاثة أبعاد وتحكمها قوانين هندسية صارمة تؤدي إلى تقسيم البلورات إلى مجموعات نقطية ومجموعات فراغية وغيرها .

لقد مر بنا في الأبواب السابقة أن الترتيب بعيد المدى في بلورة دورية نموذجية ولا نهاية الأبعاد، لا يطرأ عليه أي تغيير عندما تحدث إزاحة باتجاهات الانتقال

التي سبق تعريفها. على أن صفة الدورية هذه ليست بالضرورة من متطلبات النظام بعيد المدى. ولكن تتضح هذه الفكرة دعنا نتناول بنية دورية ذات بعد واحد ولتكن هذه البنية بسيطة غاية البساطة حيث تكون من نقط يفصل بين كل منها والأخرى مسافات متساوية . . مكونة بهذا شبكة ذات بعد واحد.

تعرف كثافة الشبكة أحادية البعد بالتعبير الرياضي التالي:

$$\rho(x) = \sum_n \delta(x - n a) \quad (14-1)$$

حيث « $a$ » هو بارامتر الشبكة، ولا تundo مركبات «فورييه» لهذا التركيب كونها سلسلة من القمم الحادة التي تعرف برقم صحيح واحد هو  $h$  (أحداثي ميلر) طبقا لما يلى:

$$F_h = \sum_h \delta(Q_h - 2\pi h/a) \quad (14-2)$$

حيث  $F$  معامل التركيب و  $Q$  هو الفرق بين متجهى الموجة  $k$  ،  $k'$ .  
أما إذا كانت البنية أحادية البعد قد تكونت نتيجة تراكب سلسلتين من النوع الموصوف بالمعادلة (14-1) ولكن بعد التكراري لإحداثهما يختلف عن بعد الخاص بالثانية فإن الكثافة تصبح :

$$\rho(x) = \sum_{n,m} \delta(x-n a) + \delta(x-\alpha m a) \quad (14-3)$$

ويظل هذا التركيب متمتعا بنظام بعيد المدى وإن كان غير دورى إذا كانت « $\alpha$ » - وهى النسبة بين البعدين التكراريين - كسرا غير حقيقي.  
أى أنه لا يمكن أن يحدث تطابق فى الحيز بين مركبتين دوريتين للبنية كلها.  
ويمكنا فك كل من المركبتين الدوريتين على هيئة سلسلة «فورييه» على نعط المعادلة (14-2). ثم تضاف السلسلتان معا لكي نحصل على مجموعة من مركبات «فورييه» التي تمثل التركيب غير الدورى (14-3) كما يلى:

$$F_{h, h'} = \sum_{h, h'} \delta \left\{ Q_{hh'} - \frac{2\pi}{a} \left( h + \frac{h'}{\alpha} \right) \right\} \quad (14-4)$$

وهنا تعرف  $F$  برقمين صحيحين مستقلين هما  $h$  ،  $h'$  على الرغم من أنها ظلت دالة حادة مثلما هو الحال في البنية الدورية . أى أن الفراغ المقلوب بالنسبة للكثافة  $\rho$  (المعادلة (14-3)) قد يظل فكرة مثيرة للاهتمام ، ولكن الكثافة في هذا الفراغ المقلوب ، أكبر من تلك التي لبنية دورية معتادة ، بل وقد تكون كبيرة جداً ، لأن مضاعفات الكسر غير الحقيقي  $\alpha$  سوف تغطي الوحدة الأساسية بشكل مكثف .

يمكنا - على أية حال - بناء أية بنية غير دورية وذات ترتيب بعيد المدى باستخدام أى أسلوب غير عشوائى يتبع لنا فى النهاية إنشاء نسق ذرى . ومن أمثلة ذلك سلسلة «فيبوناتشى» ذات البعد الواحد . هناك العديد من الطرق المتبرعة للحصول على هذه السلسلة ذات الفترات المتعاقبة . ومن هذه الطرق ما يبدأ بتابع محدد مكون من مقطعين أحدهما قصير «S» والآخر طويل «L» ويتم الاستطراد بمبدأ التكرارية  $L \rightarrow S$  و  $S \rightarrow L$  حتى تتكون أوتار متعاقبة ذات أطوال آخذة فى الزيادة ، ومثال ذلك ما يلى :

L

LS

LSL

LSLLS

LSLLSLSL

LSLLSLSLLSLLS

..... الخ

إذا كانت النسبة  $\frac{L}{S} = \tau$  رقماً غير جذرى (كسر غير حقيقي) فإن التابع لا يكون ذات مسافة تكرارية ، وعندئذ يتسمى التابع «فيبوناتشى» القانونى للكمية

$\tau = 2 \cos 36^\circ$  أو ما يساوى 1.618034 وهو الذى يعرف بالتوسط الذهبى Golden Mean ويلعب دورا مهمما فى مجال تماثل المجسمات ذات العشرين وجها؛ فالنسبة بين المسافة من المركز إلى رأس خماسى الأضلاع والمسافة من المركز إلى متتصف الحافة تساوى  $\frac{1}{\tau}$ .

ويعتبر نمط الحيوان الخاص ببنية «فيبوناتشى» ذا أهمية بين باقى الأنماط نظرا لأنه يتكون من مجموعة من القمم المعروفة بقسم «براج» التى تتكدس لتملا الفراغ المقلوب. فإذا اعتربنا الواقع الذري خاضعة للتغيير التالى:

$$X_n = n + \frac{1}{\tau} E \left[ \frac{(n+1)}{\tau} \right] \quad (14-5)$$

وهو يناظر سلسلة «فيبوناتشى» إذا اعتربنا أن طول القطع يساوى (1 و  $\tau$ ). فالحد الأول بمفرده يساوى واحد (1)، أما الحد الثانى فيكون متزايدا بمقدار  $\frac{1}{\tau}$  فى كل مرة تزداد فيها  $n$  بمقدار  $\tau$  وعلى هذا يمكن تقسيم  $X_n$  إلى مجموع دالتين  $\tau$  تصنعنان مسافة دورية، وإن كانت تلك الدورات غير متناسبة incommensurate بشكل يشبه إلى حد ما ما تمثله (المعادلة 14-3). ولو أنها احتفظنا بالحد الأول فقط لا أصبح نمط الحيوان مكونا من قمم «براج» يفصل بين بعضها البعض فى الفراغ المقلوب مسافات دورية، ومقدار الدورة الأساسية هو  $Q_1$ . وحيث إن الحد الثانى غير متناسب فإنه بقدر من ثم إلى قمم «براج» ذات الدورة  $Q_2$  غير المتناسبة فى الفراغ المقلوب.

أى أن النمط بأسره سيتكون من إتحاد مجموعتين من القمم، بالإضافة إلى ائتلاف خطى مكون من  $Q_1$ ،  $Q_2$ . وحيث إن كليهما غير متناسب؛ لذا فإن القمم ستتكددس فى الفراغ المقلوب.

### ٣-٤ الترتيب الاتجاهى فى أشباه البلورات

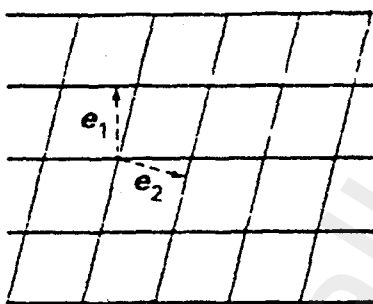
هناك شروط أساسية لتكون شبه بلورة ومن أهمها:

- أن يكون هناك ترتيب انتقالى شبه دوري، وتكون دالة الكثافة شبه دورية حتى يمكن وصفها على هيئة مجموع محدود لدوال دورية ذات فترات غير متناسبة.

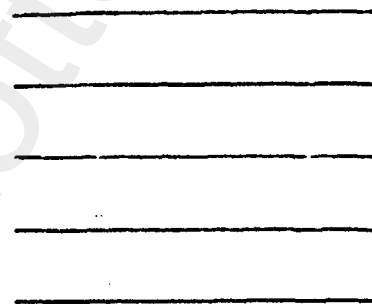
٢- أن يكون هناك حد أدنى للمسافة الفاصلة بين الذرات وهذا الشرط هو الذي يميز شبه البلورة عن آية مجموعة من الواقع التي تنشأ نتيجة تراكب شبيكتين دوريتين والنسبة بين دورتيهما كسر غير حقيقي.

٣- أن يوجد ترتيب اتجاهي بحيث تكون لزواليا الروابط التي بين الذرات المجاورة علاقات ذات مدى بعيد وأن تكون ذات اتجاه موحد في المتوسط.

وقد ابتكرت تقنية يطلق عليها طريقة الشبكات المتعددة أو الطريقة الثنائية العامة تؤدي إلى الحصول على بنية «شبه بلورية» ذات تماثل اتجاهي اختياري. ويمثل (الشكل ١٤ - ٥) مثلاً لشبكة بسيطة جداً على هيئة مجموعة من الخطوط المستقيمة المتوازية. أما (الشكل ١٤ - ٥ بـ) فيوضح شبكة ذات بعدين، تضم مجموعتين من الخطوط المستقيمة المتوازية والمتقاطعة.



(ب)



(ج)

شكل (١٤ - ٥)

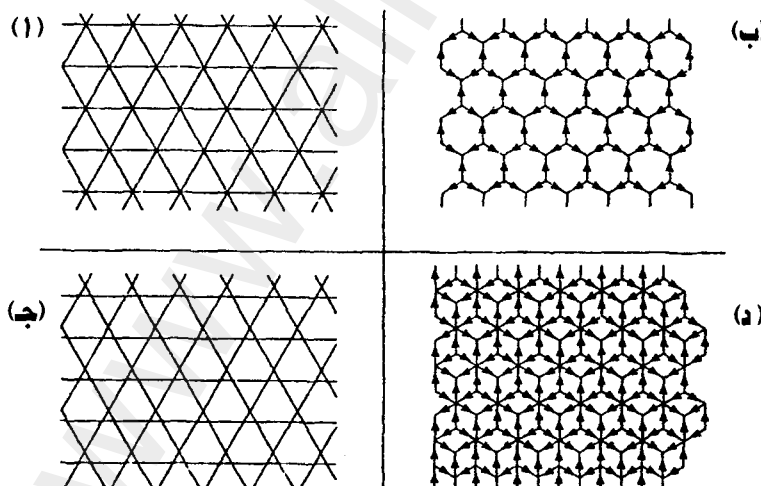
(أ) شبكة من الخطوط المتوازية التي تفصلها مسافات متساوية.

(ب) شبكتان متقاطعتان والمحاور النجمية ( $e_2, e_1$ )

أما في الحالة ذات الأبعاد الثلاثة فإن الشبكة  $N$  تحتوى على عدد ( $N$ ) من الشبكات الفرعية بحيث تتقاطع آية ثلاثة أسطح في الشبكة (i)، (j)، (k) ( $i \neq j \neq k$ ) في نقطة واحدة فحسب، ويواكب هذه الشبكة  $N$  نجمة مكونة من المتجهات  $e_i$ . وكما هو واضح من (الشكل ١٤ - ٥ بـ) فهناك المتجهان  $e_1, e_2$  للشبكة الثنائية. وتقوم هذه النجمة بتحديد التماثل الدوراني للشبكة أو الفراغ المغطى بيلاتس كونتها

الشبكة N. أما الشبكة الثلاثية - مثلا - والموضحة في (الشكل ١٤-٦) ذات المتجهات النجمية الثلاثة والتى يصنع كل منها مع الآخر زاوية مقدارها  $\frac{2\pi}{3}$  ، فإنها تؤدى إلى تكون بلاطات (وحدات) ذات محاور ثلاثة الطية، وقد توصف الشبكة الثلاثية بأنها «الفريدة» لأن الخطوط المنتمية إلى الشبكات الثلاث المختلفة تمر بنقطة واحدة. أما إذا لم تمر الخطوط الثلاثة للشبكة N خلال نقطة واحدة فإنها تسمى عندئذ اعتيادية.

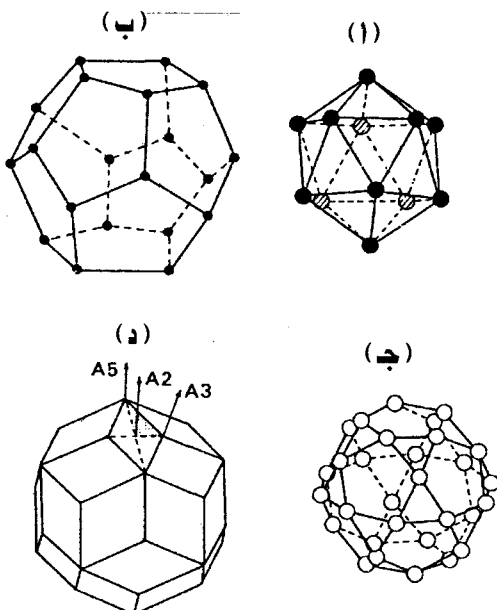
ويوضح (الشكل ١٤-٦ جـ) شبكة ثلاثة مكونة من شبكات متوازية ولها تماثل اتجاهي ثلاثي الطيبة. وقد تحتوى الشبكة (N) الاعتيادية على خلايا صغيرة جدا بحيث لا يمكن لروعوس الخلية أن تتحقق شرط الحد الأدنى من المسافة بين الذرات (راجع الشكل السابق). وللتغلب على هذه الصعوبة يمكننا اللجوء إلى استبدال الشبكة (N) بشبيكتها المزدوجة. وتتلخص عملية التحويل المزدوج في اقتران كل منطقة مفتوحة أو خلية من خلايا الشبكة N بنقطة في الفضاء المزدوج. وتتكون الخلايا متعددة الأضلاع في حالة الشبكة N ذات البعدين، أما قرينه الثنائي فيكون نقطة واقعة عند مركز كتلة الخلية. ويوضح الشكلان (١٤-٦ بـ) ، (١٤-٦ دـ) ثانيات الشبكات الثلاثية.



شكل (١٤-٦)

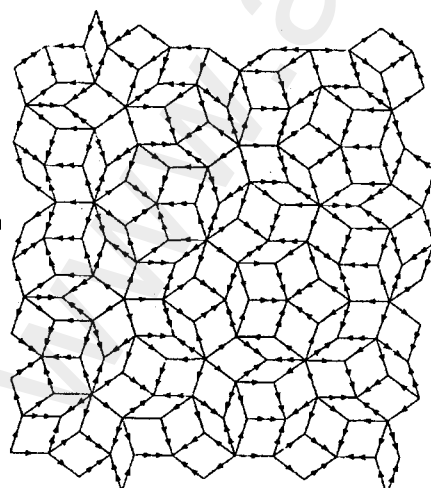
(ا) شبكة فريدة (بـ) . (د) نقاط الشبكة المصاحبة لكل من (ا) . (جـ)

(جـ) شبكة اعتيادية



شكل (٧-١٤)

عدد من عديدات الأوجه المنتظمة ذات التمايل خماسي الأوجه (أ). خماسي الأوجه .(ب) مجسم ذو النصف عشر وجهًا ويعتبر (أ.ب) من جانب (د)، (ج) من جانب آخر ثالثي (أ.د)هما للأخر.

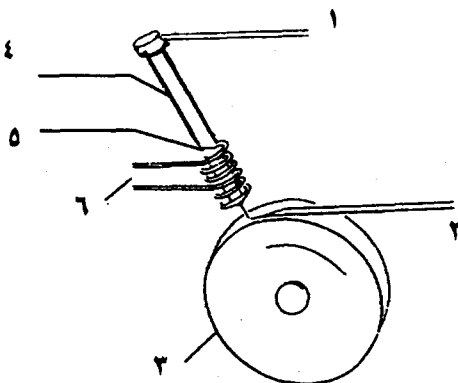
شكل (٨-١٤)  
شبكة «بنزوز»  
الثالثية

ننتقل الآن إلى حالة ذات ثلاثة أبعاد، حيث تحتوى الشبكة (N) ثلاثة الأبعاد على عديدات الأوجه التي تحدد قريباتها الثانية عند توصيل مراكز الكتل للأوجه. ويمثل (الشكل ٧-١٤) ٧ مثلاً شبكات متعددة الأوجه يمثل كل منها قريباً ثالثياً للأخر.

أى أن الطريقة العامة للشبكات المتعددة الثانية، تصلح لتكوين شبكة شبه بلورية ولا بد أن تكون الشبكات شبه دورية، وقد وجد أن هناك عدداً محدوداً فحسب (ثمانية) من أشكال الخلايا التي تحقق ميزات جيدة في الشبكة المزدوجة (الثالثية)، حيث يطلق عليها في هذه الحالة شبكة «بنزوز» (الشكل ٨-١٤) التي تحتوى على معينين ذوى حواف متتساوية بحيث تكون زوايا الأول هي  $36^\circ$ ,  $144^\circ$  (وهو المعين النحيف) أما الآخر فزواياه هي  $72^\circ$ ,  $108^\circ$  (وهو المعين البدين).

## ٤-٤ أشباه البلورات الحقيقية: تحضيرها وتصنيفها

### طرق التحضير:



شكل (٩-١٤)

رسم تخطيطي لجهاز لف المصهور  
للحصول على شرائط من أشباه البلورات  
١- ضغط. ٢- شريط.  
٣- عجلة باردة ٤- أنبوبة من الكوارتز.  
٥- سبيكة منصهرة ٦- ملف تسخين.

### ١- طريقة لف المصهور

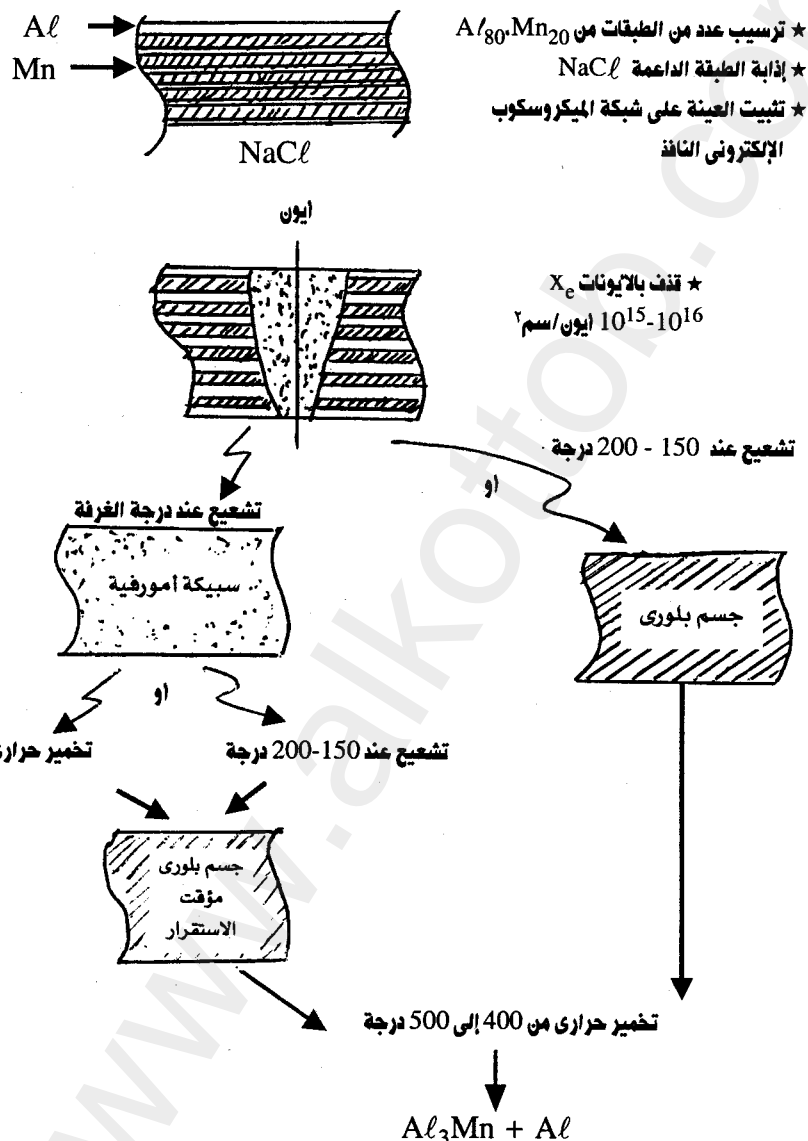
يمكنا الحصول على الكثير من أشباه البلورات عن طريق تقنية التجميد السريع للمصهور، وتتشابه هذه التقنية مع أسلوب الحصول على أنواع الزجاج الفلزى؛ حيث تصل معدلات التبريد من  $10^5$  إلى  $10^9$  درجة في الثانية، بحيث لا يسمح بتكون بذور الأطوار المتزنة عند درجات الحرارة المرتفعة. ويمكن في هذه الحالة

صب السبائك المنصهرة على عجلة دوارة (الشكل ٩-١٤)؛ حيث تساقط قطرات السائلة على العجلة فتتصدأ بمعدل يصل إلى نحو  $10^6$  درجة في الثانية، وت تكون العينة على هيئة شريط لا يتتجاوز سمكه عدة ميكرونات ويصل عرضه إلى عدة مليمترات. ويمكن عن طريق التحكم في سرعة دوران العجلة الحصول على معدلات تصدأ عالية. غالباً ما تحتوى الشرائط الناتجة على حبيبات منفردة من أشباه البلورات التي قد يصل حجمها إلى ميكرون واحد، وهو ما يمكن التأكد منه بواسطة حيود الإلكترونات.

وقد أمكن الحصول على أشباه بلورات من مادة  $\text{Al}_{20}\text{Mn}_{80}$ ، وهي مختلطة مع أطوار بلورية أخرى. وثبت أن إضافة مقادير ضئيلة من السليكون (نحو ٥٪ بالمائة) من شأنها المساعدة في تكوين أشباه بلورات وترتدي في الغالب إلى ظهور طور فريد.

## ٢- طرق متعددة لإنتاج أشباه البلورات مؤقتة الاستقرار

تعتمد هذه الطرق على إحداث درجة من عدم الترتيب على المستوى الذري وذلك من خلال تفاعلات الحالة الصلبة.



شكل (١٠-١٤)

تخطيط لعملية تحضير شبه بلورة من  $\text{Al}/\text{Mn}$

ومن الطرق التقليدية ما يقوم على تقنية الترسيب متعدد الطبقات حيث يتم ترسيب طبقات متsequقة من الألومنيوم والمنجنيز فوق سطح داعم، ويصل سمك المجموعة إلى نحو  $\text{Å} 1000$ . وعندما تكتمل الطبقات المتعددة ذات التركيب الصحيح فإن العينة تُقذف بأيونات الغازات الخامدة ذات الطاقات العالية (مثل أيونات غاز الزينون  $\text{Xe}^{2+}$ ) وقد تكون حالة أمورفية أو شبه بلورية أو بلورية اعتماداً على طاقة الأيونات ودرجة حرارة العينة. ويتوافر عدم الترتيب بفضل الطاقة الحرارية للأيونات، كما أنه يزداد بارتفاع درجة الحرارة. ويرى (بالشكل ١٤-١٠) شكلاً تخطيطياً لهذه العملية.

وقد نجحت هذه التقنية في تحضير أطوار شبه بلورية لمنظومة  $\text{A/Mn}$  مما أتاح دراسة مختلف التحولات الطورية بين الحالات شبه البلورية والأمورفية والبلورية. وهناك تقنية تعرف بالسبك الميكانيكي أو الطحن بواسطة الكرات ومن شأنها الحصول على الحالات الأمورافية والبلورية، حيث يتم أولاً الحصول على مساحيق العناصر المختلفة وسبكها معاً بواسطة طاقة حركة كرات تهتز بشدة داخل وعاء من الصلب.

### ٣- أسلوب الصب التقليدي

يفترض في هذا الأسلوب أن تكون الحالة البلورية مستقرة ولو في مدى محدود من درجات الحرارة والتركيب على الأقل. ويتميز هذا الأسلوب بكونه يتبع إنتاج حبيبات منفردة ذات حجم كبير نسبياً بحيث يصبح من الممكن تعين تركيبيها بواسطة حيود الأشعة السينية أو السيوترونات وتعتبر السبيكة  $\text{Al}_6\text{Li}_3\text{Cu}$  من أوائل الأطوار المستقرة ذات العشرين وجهاً، ثم تلا ذلك تحضير أشباه البلورات من مادتي  $\text{A/Pa}$   $\text{Mn/Ga/Mg/Zn}$  وكلها أطوار ذات عشرين وجهاً.

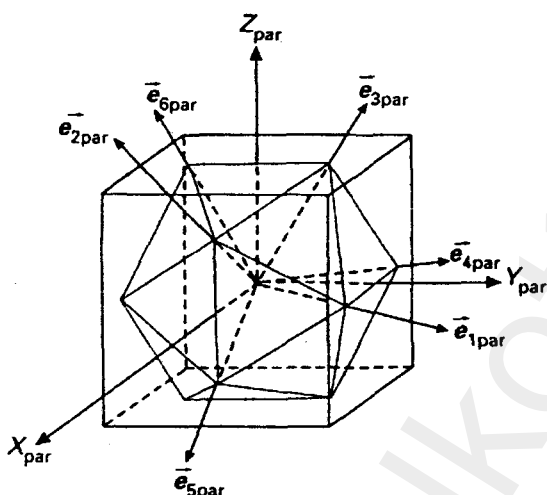
### ٤- توصيف عينات أشباه البلورات

يعتبر حيود الأشعة السينية من البلورات الأحادية هو السبيل الوحيد لتوصيف عينة من أشباه البلورات بشكل صحيح. ومن جانب آخر فقد وجد أن حيود

الإلكترونات والميكروسكوب الإلكتروني ذو قوة التفريق العالية هما من أهم الفحوص للتمييز بين حالات أشباه البلورات وحالة البلورات الدقيقة دون حدوث أي لبس. ويأتي بعد ذلك دور التقنيات الأخرى مثل حيود النيوترونات.

ويبدو أن أكثر نظم أشباه البلورات الراudedة في الوقت الحالى هو نظام A/Pd لأنشباه البلورات ذات العشرين وجهها.

#### ١٤-٥-١ حيود الإلكترونات بواسطة البلورات ذات العشرين وجهها



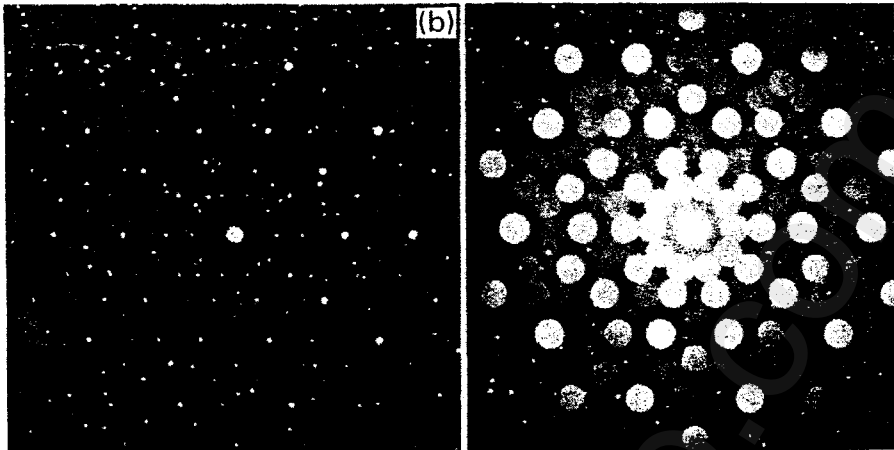
شكل (١٤-١١)

جسم ذو عشرين وجهًا داخل مكعب

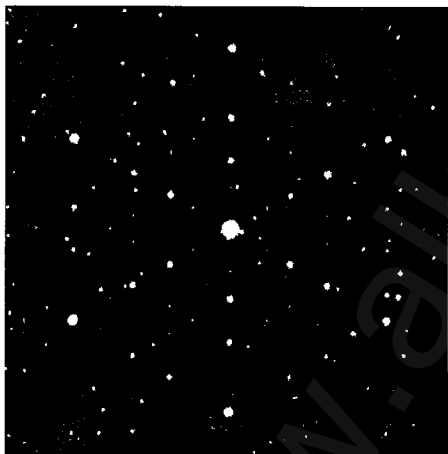
انهيار المجتمع العلمي بشدة عند ظهور أنماط الحيود الخاصة بأشباه البلورات ذات العشرين وجهها؛ فمثل هذه البلورات تتمتع بستة محاور خماسية الطية وعشرة محاور ثلاثة الطية وخمسة عشر محوراً ثالثة الطية. وتعتمد ثلاثة محاور ثنائية الطية مع بعضها البعض مما يرشحها للعب دور القاعدة Basis (الأساس). (والشكل

١٤-١١) يوضح مجسماً ذو عشرين وجهًا داخل مكعب. ولا تسمح لنا أنماط حيود الإلكترونات، بالتمييز بين المجموعتين النقطتين  $^{235}\text{y}$ ،  $^{35}\text{m}\bar{y}$  وذلك لكونهما تحتويان على نفس عناصر التماثل.

كما يوضح الشكلان (١٤-١٢)، (١٤-١٣)، (١٤-١٤) أنماطاً مختلفة لحيود الإلكترونات من على مادة Al Cu Fe شبه البلورية ذات العشرين وجهها.



شكل (١٢-١٤)  
الحيود الإلكتروني من مادة  $\text{Al}/\text{Mn}/\text{Si}$  في الطور ذي العشرين وجهما

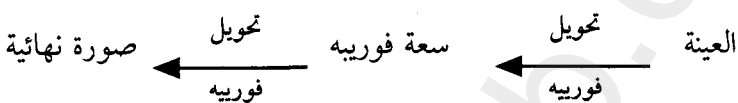


شكل (١٣-١٤)  
حيود الإلكتروني من مادة  $\text{Al}/\text{Ca}/\text{Fe}$  في  
الطور ذي العشرين وجهما

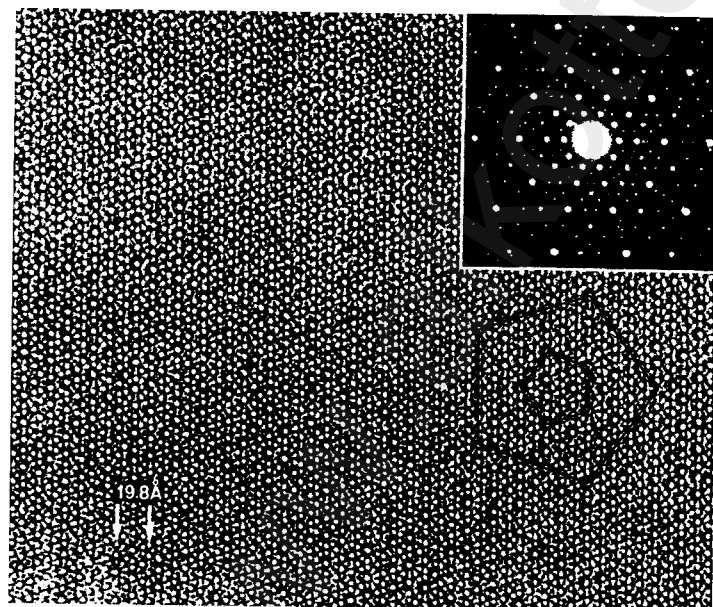
ويلاحظ من الصور أنه لا يوجد توزيع دوري للبقع مما يعد دليلاً مباشراً على وجود تماثل خماسي الوجه. وللتتأكد من أن التماثل خاص بخماسي الأووجه تماماً فإن بقع «براج» لا بد وأن تكون واضحة تماماً وأن تصطف في صفوف. وقد لوحظ أن البيانات المشورة كلها قد أظهرت بعض الحيود عن النمط النموذجي وذلك قبل اكتشاف شبه البلورة  $\text{Al}/\text{Cu}/\text{Fe}$  المكتملة. وقد عزى هذا أحياناً إلى وجود طور بلوري ذي خلية أحادية كبيرة.

## ١٤-٥-٢ الميكروسكوب الإلكتروني ذو قوة التفريغ العالية

يصل مدى دقة التفريغ في مثل هذه الميكروسكوبات الحديثة إلى المستوى الذري (أو من 2 إلى 3 أنجشتروم)؛ ولذا فإنه من الممكن محاولة «رؤيه» ذرات أشباه الليورات. ولنحاول أن نذكر المبادئ الأساسية لتكون الصور في هذا الميكروскоп الذي ينتج صورة هي بمثابة تحويل «فوريه» لمقادير الساعات في نقط الحبيود. وتنتمي النقط المضيئة والمعتمة إلى العينة في الفراغ المباشر. ويمكن تلخيص الصورة بشكل تقريري للغاية على النحو التالي:



ويشير تعريف سعة «فوريه» إلى معامل التركيب Structure Factor أي إلى طور ومقاييس بقعة «برايج».



شكل (١٤-١٤)

صورة لحبيود الإلكترونات من مادة  $\text{Al}/\text{Cu}/\text{Fe}$  تتأثر محورا خماسيا الطية

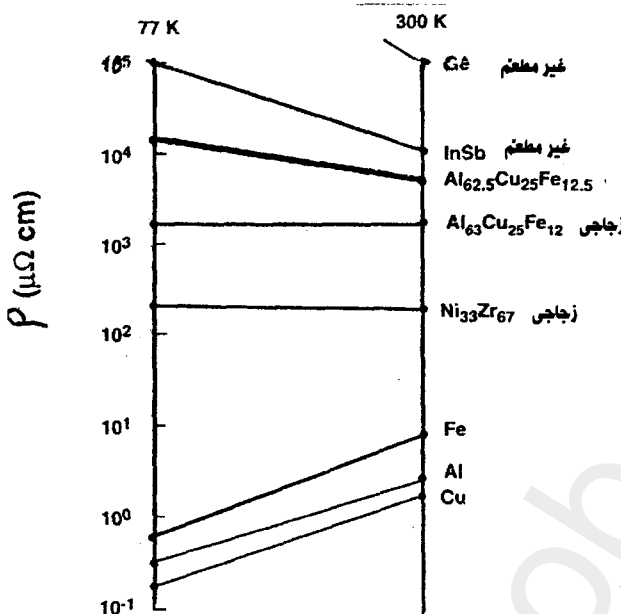
ويوضح  
(الشكل ١٤-١٤)  
محورا خماسيا  
طور خماسي  
الأوجه في مادة  
 $\text{Al}/\text{Cu}/\text{Fe}$   
حيث يتضح عدم القدرة  
على تحديد أي نوع  
من دوريات  
التركيب. هناك في  
الشكل نقط بيضاء  
مصفوفة جيدا  
ويمكن اعتبارها

صفوفا من الذرات. وهناك أيضا مستويات للشبيكة، ويلاحظ أن تتبع مستويات الشبيكة غير دورى، كما أن متوسط المسافات بينهما مرتبط بالتتوسط

## الخواص الإلكترونية لأشباه البلورات

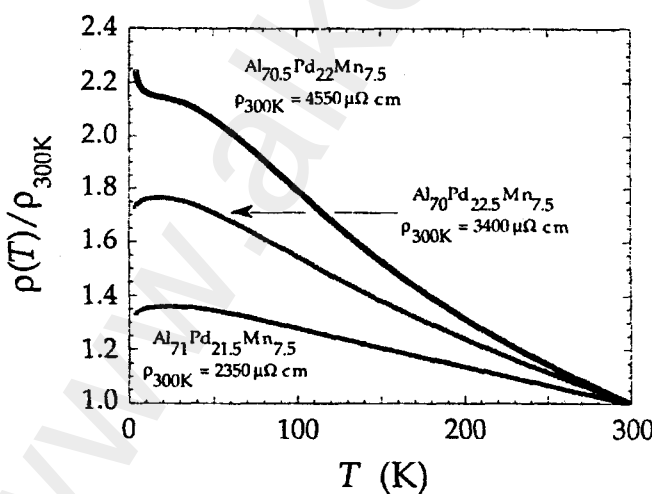
لقد ثبت مؤخراً أن بعض أشباه البلورات المستقرة مثل نظام  $\text{Al Cu Pa}$  و  $\text{Al Fe Cu}$  خواص متميزة. ويمكن تلخيص نتائج الدراسات فيما يلى:

- ١ - تم قياس المقاومة الكهربائية النوعية ( $\rho$ ) عند  $4.2\text{K}$  ووجد أنها أكبر برتين عن تلك التي للفلزات الأمorfية وأكبر بما يزيد على أربع رتب عن الفلزات البلورية.
  - ٢ - وجد أن هناك اعتماداً قوياً من المقاومة النوعية على درجة الحرارة كما أوضحت ذلك النسبة  $\frac{\rho(4.2\text{k})}{\rho(290\text{k})} = 10$  ، حيث إن نفس النسبة تساوى حوالي 2 في حالة الفلزات الأمorfية ونحو 0.1 في حالة الفلزات البلورية.
  - ٣ - وجد أن متوسط المسار الحر للإلكترونات أقصر بكثير من الطول الموجى «فيرمي» ويصل إلى نحو  $30-40\text{ A}$ .
  - ٤ - وجد أن الموصىلة الضوئية ليست من نوع «درويد» Drude.
  - ٥ - وجد أن خرق التماثل نتيجة وجود عيوب تركيبية أو نتيجة الحيوان عن الحالة المثلثية يؤدي إلى سلوك يعاكس ما يحدث في حالة المواد البلورية، حيثاكتشف أن ذلك الخرق يؤدي إلى خفض المقاومة النوعية بشكل واضح (انظر الأشكال (١٤-١٥) و (١٤-١٦)).
- وقد وجدت أدلة لا بأس بها على أن الحالة شبه الدورية في  $\text{Al/Pd Re}$  هي السبب في تحول المادة إلى عازلة تماماً عند الصفر المطلق، كما أن كثافة الإلكترونات عند مستوى «فيرمي» هي نفس الكثافة في حالة أشباه الفلزات (أى نحو  $10^{20}\text{ cm}^{-3}$ ) وتشير القيم الكبيرة للمقاومة وخصوصاً عند درجات الحرارة المنخفضة إلى أن آية إضافات مهمة كانت ضئيلة (أقل من واحد بالمائة بالحجم) من مادة جيدة التوصيل نسبياً ( مقاومتها تتراوح من  $10$  إلى  $100\mu\Omega\cdot\text{cm}$  )، قد تؤدي إلى تقصير الدائرة shortcircuit بالنسبة للاستقال الذاتي للإلكترونات ، وهذا ما يجعل تحضير العينات وقياسات المقاومة حساسة وصعبة للغاية.



شكل (١٥-١٤)

تغير المقاومة النوعية مع درجات الحرارة لاجسام امورية وبلورات وشباه بلورات



شكل (١٦-١٤)

تغير المقاومة النوعية مع درجة الحرارة لنظام  $\text{Al}/\text{Pd}/\text{Mn}$   
يلاحظ تأثير التركيب

وقد أكدت دراسة سلوك الحرارة النوعية، انخفاض كثافة الحالات عند مستوى «فيري». كما يشير معامل «هول»  $R_H$  إلى سلوك نموذجي لأشباه البلورات الكاملة وهو سلوك حساس لكل أسباب العيوب التركيبية.

كما تركزت القياسات المغناطيسية في أشباه البلورات التي تعتبر نموذجاً لعدم الكمال مثل عائلة  $A/Mn$  التي يعتبر أفرادها من المواد البارامغناطيسية التقليدية، وتمت مقارنتها مع مجموعة  $A/Fe Cu$ .

أما شبه البلورة الحقيقية  $A_{62.5} Cu_{25} F_{12.5}$  فقد وجد أنها دايماغناطيسية في المدى من 4K إلى 300K وكانت قيمة السماحية  $\chi = -4 \times 10^{-7}$  emu/g كما رصدت الخاصية الديامغناطيسية في أشباه البلورات  $A/Pd Mn$  التي لها تركيب أمثل، أما العينات المعيبة فقد كانت بارا مغناطيسية.

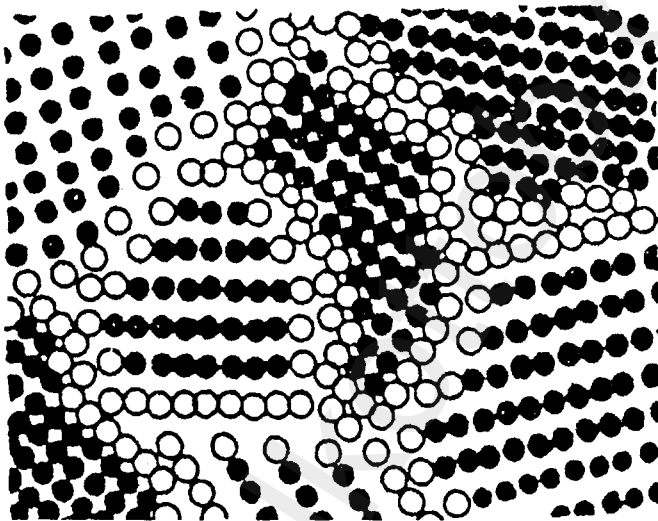
كما وجد أيضاً أن بعض أنواع الطلاء المحتوية على كميات معقولة من الأطوار شبه البلورية يمكن أن تستخدم كتقوية للأسطح الفلزية اللينة؛ حيث يتمتع مثل ذلك الطلاء بصلادة عالية. أما معامل الاحتكاك فهو أقل من نصف معامل الاحتكاك لدى السبائك المحتوية على الألومنيوم. وهذه المواد لا تتلتصق بالمواد العضوية كما أنها رديئة التوصيل الحراري ومتانز بالثبات الحراري.

## ٧-١٤ البلورات النانومترية

لقد بدأت في السنوات الأخيرة، ومنذ عام ١٩٨٥ سلسلة من البحوث التي تهدف إلى دراسة خواص المواد التي يقع قطر حبيباتها في مللي النانومتر (١ نانومتر =  $10^{-9}$  متر). والدافع الرئيسي من وراء تلك الدراسات هو ما لهذه المواد من خواص ميكانيكية و מגناطيسية وإلكترونية تميزها عن باقي المواد البلورية الأخرى. وقد وجد أن المستويات المرتفعة من صلابة المواد وقوتها ترتبط بعمر صغر حجم حبيبات تلك المواد؛ حيث تم التوصل إلى صلابة تقدر بنحو 4000 MPa في عينات من الصلب المسحوب، ووصل حجم حبيباتها إلى نحو 10 nm أو  $0.01\mu m$ .

وقد نصادف تركيبياً ذا أبعاد نانومترية، على هيئة جسيمات دقيقة أو أسلام رفيعة أو أغشية رقيقة. ويحتوى كل جسيم أو حُبْيَة على ما يتراوح بين 10 إلى 1000 ذرة.

وتجدر بالذكر أن تقنية أشباه الموصلات قد استفادت من هذه التركيبات حيث أنتجت تكوينات تسمى بركاً إلكترونية وذلك في صور متعددة منها: الترانزستور ذو الإلكترون الواحد، والنقط الكمية Quantum Dots، وجزر كولوم وغيرها.



شكل (١٧-١٤)

تصور «جلايتر» للتراكيب الذري في مادة ذات تركيب بلوري نانومترى.  
الدواير البيضاء لذرات في مناطق حدود الحُبْيَة

ويبين (الشكل ١٧-١٤) رسمًا تخطيطياً للتراكيب الذري لمادة ذات بلورات نانومترية. يلاحظ أن الذرات التي بالوسط (وتمثلها دواير سوداء) تتنظم في شبكة بلورية دورية. وبعود الفضل في وضع هذا التصور إلى «جلايتر» الذي اقترح استخدام جهد «مورس» الذي استخدم مع الذهب.

ويلاحظ أيضاً أن المسافات بين الذرات قد بدأت تختلف عند الاقتراب من حدود الحُبْيَة. أي أنها بقصد مواد ذات بلورات نانومترية يمكن اعتبارها فئة جديدة من المواد غير المرتبة والتي تنشأ حينما تتوارد نسبة من الذرات في موقع غير مرتبة.

وتتميز منطقة حدود الحُبْبية بكتافة منخفضة للذرات وهذا هو أهم ما يميز المواد ذات البلورات النانومترية التي تتراوح كثافتها بين 72% إلى 90% من كثافة البلورات التقليدية. وحين يكون عنصر البالاديوم Pd في صورة بلورات نانومترية فإن كثافته تتراوح بين 83% إلى 96% من كثافة البلورات العادمة. أما في حالة النحاس، فتتراوح الكثافة بين 97% و 72%. أما معامل «يونج» لمثل هذه المواد فإنه ينخفض بانخفاض الكثافة حيث تتراوح القيم النظرية لمعامل يونج بين 120 GPa و 130 GPa في حالة بلورات عادمة من النحاس والبالاديوم على الترتيب، أما إذا كان العنصريان في صورة بلورات نانومترية فإن تلك القيم تتراوح بين 21 GPa و 66 GPa.

ومن أهم العوامل التي يعزى إليها الخواص الفيزيائية غير العادية لهذه البلورات ما يأتي :

- ١- أن النسبة بين عدد البلورات التي على السطح وعدد الذرات بالداخل قد تقترب من الواحد الصحيح.
- ٢- أن النسبة بين الطاقة السطحية إلى الطاقة الكلية قد تصل إلى الواحد الصحيح.
- ٣- تتحصر إلكترونات التكافؤ أو التوصيل في حيز أو حجم صغير بحيث يصبح الطول الموجي الكمي للحالة الإلكترونية الدنيا قصيراً. ويكون الحد الأدنى للطول الموجي - وبالتالي - أقصر مما هو في حالة الجسم الصلب التقليدي.
- ٤- يكون للتجمعات النانومترية للفلزات صلابة وشدة إذعان عاليتين لأن توليد وتحريك الانخلاءات يكون صعباً في حالة المناطق المحددة.

#### **١٤-٧-١ تحضير المواد ذات البلورات النانومترية**

هناك أسلوبين أساسيان لتحضير هذه المواد وهما:

- ١- تخمير الفلز من مصهوره ثم جعله يتكتف على سطح بارد على هيئة مسحوق؛ ثم يضغط هذا المسحوق ذو الأبعاد النانومترية بشدة حتى يكتسب الكثافة المطلوبة.

-٢ طحن المادة بشدة حتى تتعرض المساحيق لتشويه ميكانيكي عنيف وذلك داخل طاحونة ذات كرات من الصلب، تقوم بالطحن مرات عديدة حتى يصل عدد العيوب التركيبية إلى حد التشيع مما يؤدي إلى إعادة التبلور.

وهنالك العديد من التقنيات التي تؤدي إلى تكون بنية نانومترية ومنها تكون أغشية ابيتاكسية بواسطة حزم معجلة من الجزيئات، ومنها التجميد السريع للمصهور، والرش الارتجاعي والترسيب الكهروكيميائى ، والتآكل الشرارى وغيرها .



## أسئلة على الفصل الرابع عشر

- ١- ضع تعريفاً لما يلى:

  - أ- سلسلة «فيبوناتشى»
  - ب- المتوسط الذهبى.

- ٢- أذكر أهم شروط تكون مادة شبه بلورية.
- ٣- تكلم بإختصار عن طرق تحضير أشباه البلورات.
- ٤- كيف يتم توصيف أشباه البلورات؟



# البلورات السائلة وتطبيقاتها

## مقدمة:

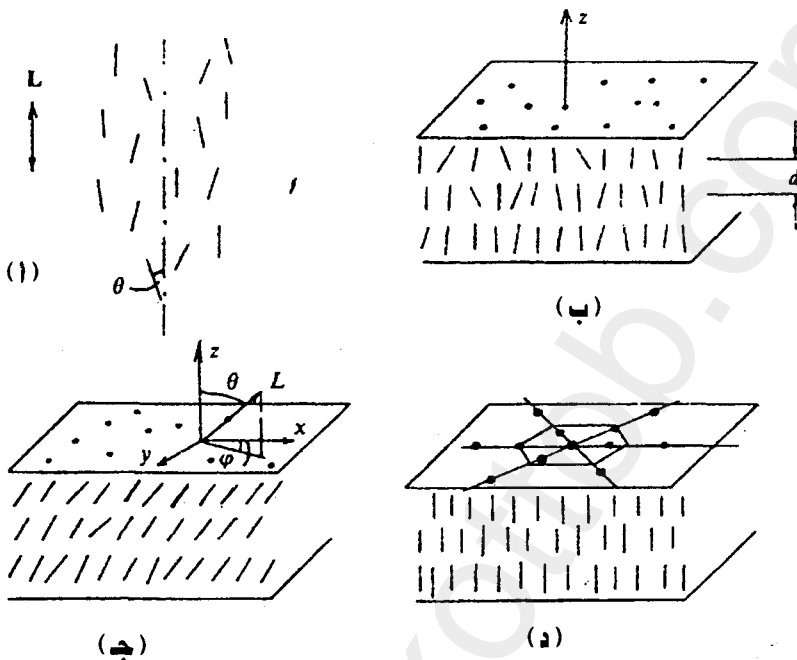
تعتبر البلورات السائلة نوعاً من الموائع المحتوية على نظام معين ترتيب فيه الجزيئات، وهذا الترتيب هو الذي يجعل المادة لأيزوتropicية -أى لا تكون خواصها الفيزيائية موحدة في جميع الاتجاهات. وقد وجد -بالفعل- أن أساس معظم الظواهر الكهروميكانيكية في البلورات السائلة، يكمن في مقدرة محور الواقع الجزيئي المفضل -ويسمى الموجّه- على اتخاذ اتجاهات معينة تحت تأثير مجالات خارجية.

ونقدم فيما يلى وصفاً للتركيب الكيميائي والبلوري والخواص الفيزيائية للبلورات السائلة ذات الأهمية التطبيقية المرموقة.

## ١-٥ جزيئات وأطوار البلورات السائلة:

تتخذ جزيئات الأطوار المميزة للبلورة السائلة شكل قضبان كما قد تفعل التجمعات الجزيئية نفس الشيء. ففي الطور المسمى النيماتي Nematic أو الخيطي، تتوزع الجزيئات بشكل إحصائي بحيث تأخذ اتجاه المحور المفضل  $L$  والمسمى الموجّه (شكل ١٥-١) وقد يتغير اتجاه هذا الموجّه، إلا أن المسافة المميزة للتغيير تكون أطول بكثير من أبعاد الجزيء نفسه. وعندما يطبق مؤثر خارجي

فإن المحاور الجزيئية تتنظم في اتجاه متجانس يشمل المادة كلها، فتصبح على هيئة بلورة سائلة أحادية أو جسماً وحيد النطاق.



شكل (١-١٥)

#### تماثل أطوار البلورات السائلة

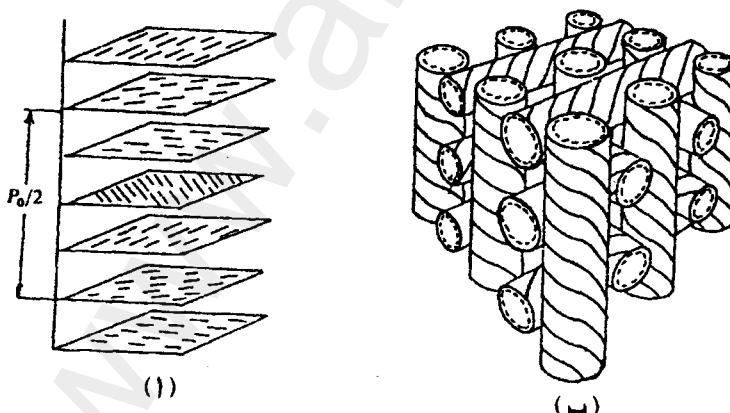
وهناك أيضاً الطور السميكتي smectic وسيط والذي يتميز بنظام اتجاهي ونظام موضعى في آن واحد، بحيث ترتتب جزيئات البلورة السائلة في طبقات يبلغ سمكها « $d$ » في المتوسط ما يقارب طول الجزء نفسه (شكل ١-١٥ ب) وهذه الطبقات قابلة للانزلاق على بعضها البعض، ويعرف هذا الطور بأنه من النوع «A». والطور السميكتي «A» وسيط يتميّز - مثل الطور النيماتي - بصرياً إلى التماثل أحادي المحور، وينطبق اتجاه محوره البصري مع الموجة. فإذا حدث وكانت هناك زاوية بين الجزيئات مع العمودي على الطبقة فإن الطور السائد يكون سميكتي من النوع «C». وقد يكون هذا الطور «كيرالي» (أى له تماثل اليد البشرية)، أو غير ذلك

اعتماداً على ما إذا كان الدوران بالنسبة للعمودي على الجزيئات في الطبقات المجاورة قائماً أم لا. (انظر الشكل ١٥-ج).

أما فيما يتعلق بدرجات الحرارة فإن الطور السميكتي «C» يتجلّى عادة عند درجات أدنى من درجات تكون الطور السميكتي «A». وإذا حدث انتقال طوري من «A» إلى «C» فإنه يكون من النوع المتصل (أي من الرتبة الثانية).

وهناك حالات أكثر تعقيداً حيث يظهر النظام الموضعي كما في الشكل ١٥-د) حيث يكون للجزيئات نظام سداسي في مستوى السطح. ويكون هذا الطور سميكتي أيضاً ولكن من النوع  $B_h$ ، (يرمز الحرف  $h$  إلى الكلمة سداسي hexagonal). وهو يتنظم في شبيكة سداسية تتعامد فيها الجزيئات مع الطبقات. وقد تكون بعض أطوار البلورات السائلة هذه أقرب مما تكون من بلورات الحالة الصلبة المعروفة.

وعندما تكون الجزيئات «كيرالية» بحيث لا تمتلك تماثلاً مراوياً أو مستويات تماثل، فإن عدداً من الأطوار الوسيطة الكيرالية يبدأ في الظهور، ومثال ذلك الطور المسمى الكوليستري أو النيماتي الكيرالي (الشكل ١٥-٢). وتحتاج الجزيئات المكونة للبلورات الكوليستيرية بنشاط بصري ملحوظ، كما تتميز بأن اتجاه المحور الأطول للجزيئات في كل طبقة من الطبقات المتعاقبة يصنع زاوية مع اتجاه محاور الجزيئات في



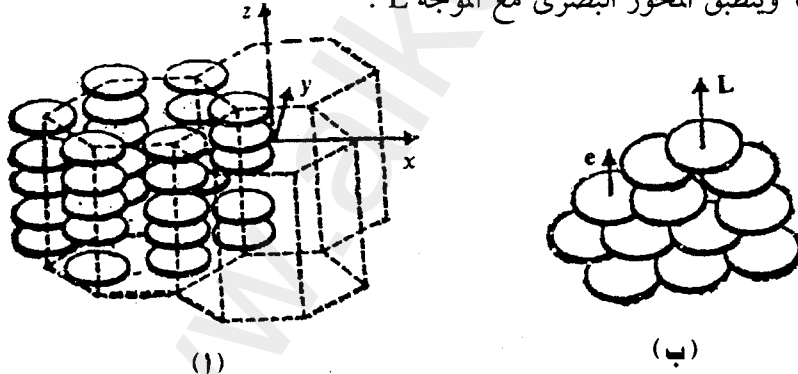
شكل (٢-١٥)

تركيب الطور الكوليستري الوسيط والطور «الازرق»

الطبقة التالية.. ومن المعلوم أن كل طبقة تكون من جزيئات ذات اتجاهات متوازية، كما أنها تتحرك بحرية في اتجاهين بحيث ينبع حلزون ذو «خطوة» مقدارها  $P_0$  اعتماداً على طبيعة الجزيئات (الشكل ٣-١٥). ويدور محور الاتجاه (الموجه) زاوية مقدارها  $2\pi$  خلال كل خطوة  $P_0$ . ويصور الشكل (٣-٢-ب) تركيباً حلزونياً ذو ثلاثة أبعاد، يحتوى على جزيئات كيرالية، وقد اصطلاح على وصف هذه الأطوار «بالزرقاء». ويحدث أحياناً أن تراص «أجزاء من الحلزون» بحيث تكون شبكات مكعبية متعددة تقترب ثوابتها من خطوة الحلزون.

والبلورات السائلة الكوليسترية - مثل النيماتية - أحادية المحور، سواء موضعاً أو على المستوى الماكروسكوبى. وينطبق المحور البصرى لها مع محور الحلزون الذى يتعامد دائماً مع المحاور البصرية النيماتية الموضعية.

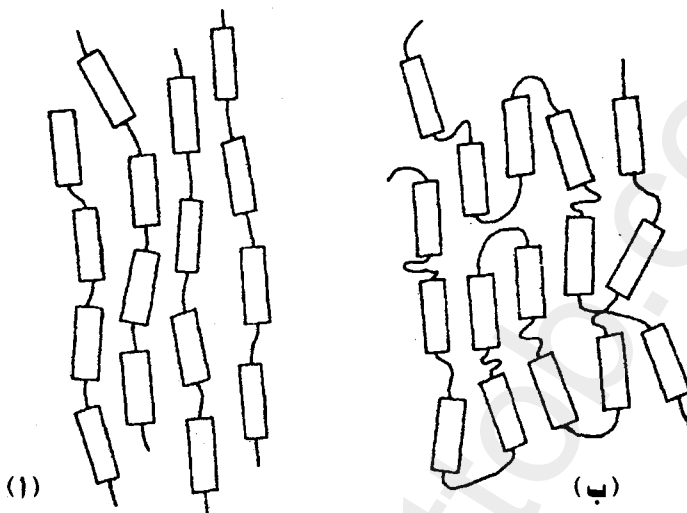
وهناك من الجزيئات ما هو على شكل أقراص تكون بمثابة لبنة لأطوار وسيطة تأخذ شكل الأعمدة (٣-١٥) وقد يكون تجمع هذه الأقراص في أعمدة بعض النظر بما إذا كان ترتيبها داخل كل عمود منتظاماً أم لا. وتشكل هذه الأعمدة شبكة سداسية أو قائمة، وعلى وجه العموم، فإن هذه الأطوار أحادية المحور وسائلة، وينطبق المحور البصرى مع الموجه  $L$ .



شكل (٣-١٥)  
بلورة سائلة ذات جزيئات على شكل أقراص

والبلمرات ذات السلسلة الخطية أو التي على شكل المشط هي من الحالات الخاصة للبلورات السائلة. والشكل (٤-٤) يوضح طوراً نيماتياً مكوناً من جزيئات بوليمر ذات سلسلة خطية طويلة إلا أن الأطوار الوسيطة للبلمرات تميّز

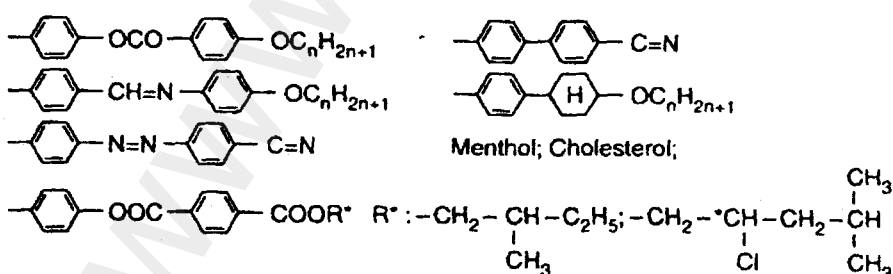
بقدرتها على تكوين حالة زجاجية يكون فيها ترتيب البلورة السائلة متجمداً. وتعتبر هذه الظاهرة أساساً للعديد من التطبيقات الحديثة للبلورات السائلة البوليميرية وعلى وجه الخصوص الفيروكهربى منها.



شكل (٤-١٥)

بلورات سائلة بوليميرية ذات أساس من بوليمر خطى وعلى شكل «مشط»

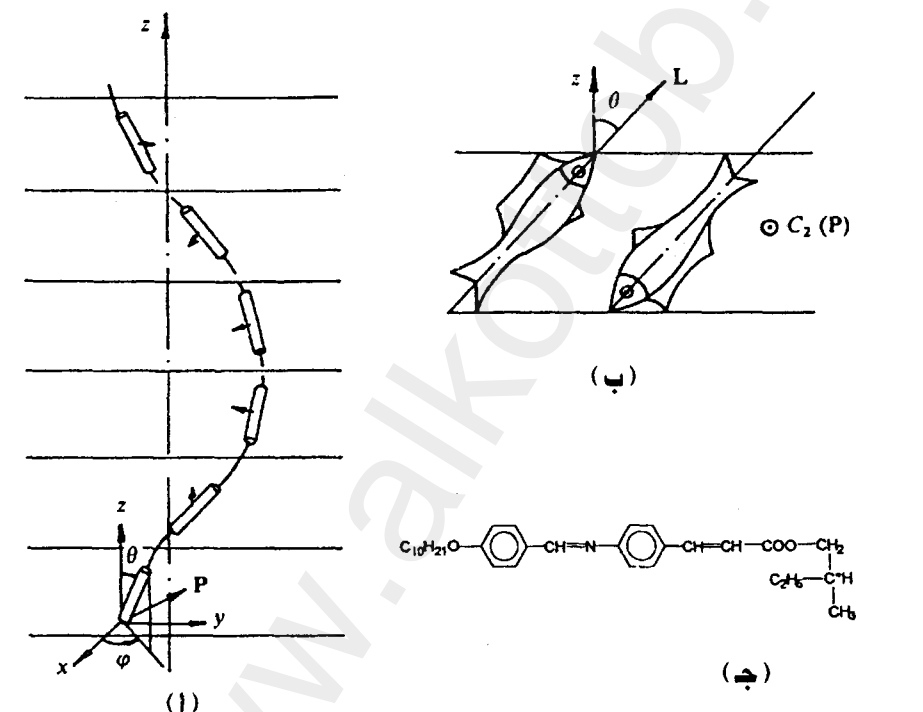
وتعتبر البلمرات التي تأخذ شكل المشط من أهم المواد المستخدمة في التطبيقات الكهروبصرية، أما أجزاء هذه البلمرات فهي مكونة من سلسلة رئيسية وفواصل ومجموعات جزيئية جانبية، وإن كان من الممكن إضافة بعض المجموعات الكيميائية الوسيطة ذات الوظائف المحددة إلى التركيب الجزيئي (٥-١٥).



شكل (٥-١٥)

بعض أمثلة البلمرات التي تستخدم في التطبيقات الكهروبصرية

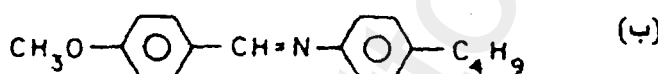
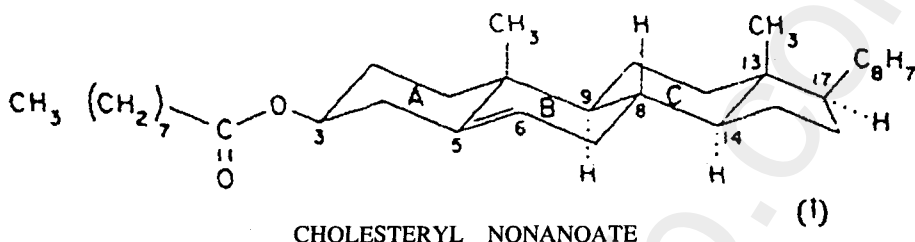
ويتكون الطور الكبير إلى للبلورات السميكتية C من جزيئات ذات نشاط بصري. ويكون التماثل الموضعي للطور C (وهو  $C_2$ ) قطبياً؛ لأن مستوى الميل الجزيئي (شكل ٦-١٥) لم يعد مستوى انعكاس مرأوى.. وهكذا يسمح للاستقطاب التلقائي أن يكون موازياً للطبقات. وتلتقي كل طبقة متالية في الطور C السميكتي بزاوية ما بالنسبة للطبقة التي تسبقها وبذلك ينشأ تركيب ملتوى ذو خطوة مقدارها  $P_0$ . ومن الأمثلة التقليدية للطور السميكتي C - الذي يتمتع بخواص فروكهريبة - ويرمز له بالرمز D (أو L) أو DOBAMBC.



شكل (٦-١٥)  
التركيب الجزيئي والترتيب داخل الطور السميكتي الكبير إلى C

ويذهب البعض إلى تقسيم البلورات السائلة -حسب منشئها- إلى قسمين كبيرين هما البلورات السائلة الحرموتروبية Thermotropic والبلورات الليوتوريية : Lyotropic

١ - البلورات الترموتروبية: وهى التى تترجع عند تسخين المادة الصلبة، ومن أمثلتها مادة كوليستيريل نونانويت (الشكل ١٥-أ) ومادة N-<sub>P</sub>-Methoxy Benzylidene - P'-Bulylaniline (MBBA). (الشكل ١٥-ب).



N- (P-METHOXY BENZYLIDENE) -P'-BUTYLANILINE (MBBA)

شكل (١٥-٦)

نماذج من التراكيب الجزيئية التي تترجع عنها أطوار ترموتروبية وسيطة

٢ - البلورات الليوتروبية: وهى التى تكون عند تحضير محليل بعض المواد فى مذيب أيزوتروبي ويشترط أن يكون تركيز المادة المذابة كبيراً، ويلاحظ أن الوحدات التى على هيئة قضبان دقيقة كبيرة بالنسبة لوحدات البلورات الترموتروبية، ولكن النسب المحورية لها نادراً ما تزيد على 15 (النسبة المحورية هي النسبة بين طولى المحور الكبير إلى المحور الصغير) ويدرك أن حمض DNA النووي وبعض الفيروسات مثل فيروس ورق نبات الدخان وكثير من البيتيدات الصناعية وغيرها تكون أطواراً وسيطة ليوتروبية عند إذابتها فى مذيبات مناسبة - كالماء مثلاً - وبتركيزات مناسبة.

## ٢-١٥ الخواص الفيزيائية الأساسية للبلورات السائلة

### ١-٢-١٥ الخواص العزلية Dielectric Properties

تعتبر السوائل العضوية النقية من المواد العازلة كهربياً وكذلك المواد الديامغناطيسية ( $\sigma \approx 0$ ). وتكون الإنفاذية المغناطيسية لها هي  $1 + 4\pi\chi = 1$

$$\text{أما معامل انكسارها فهو } n^2 = \mu \epsilon = 1$$

وعند الترددات المرتفعة تكون السماحية العزلية  $n^2 = \mu(\omega) \rightarrow \infty$  ممحونة بمتوسط استقطابية ما يسمى بالتشوه الإلكتروني والأيوني للجزيء من خلال معادلة لورنتز - لورنتز:

$$\frac{n^2 - 1}{n^2 + 2} = \frac{4\pi}{3} \frac{\rho}{m} \cdot N_A \langle \gamma \rangle^E \quad (15-1)$$

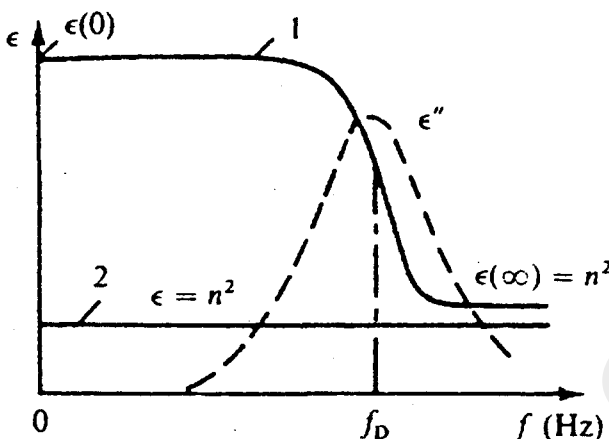
حيث  $\rho$  هي كثافة المادة،  $m$  الوزن الجزيئي لها،  $N_A$  عدد أقوجادرو أما  $\langle \gamma \rangle^E$  فهو متوسط الاستقطابية في وجود مجال كهربائي شدته  $E$ . أما عند الترددات المنخفضة فإن السماحية العزلية الإستاتيكية تعطى في أبسط صورها بمعادلة «كلاوزيوس - موسوتني»:

$$\frac{\epsilon - 1}{\epsilon + 2} = \frac{4\pi}{3} \frac{\rho}{m} \cdot N_A \left( \langle \gamma \rangle^E + \frac{\mu^2}{3k_B T} \right) \quad (15-2)$$

حيث  $\frac{\mu^2}{3k_B T}$  مقدار يعبر عن المركبة الاتجاهية لمتوسط الاستقطابية الإستاتيكية والتي تعتمد على عزم ثانوي القطب الكهربائي  $\mu$  للجزيء.

يوضح الشكل (١٥-٨) كيفية تغير السماحية العزلية مع التردد في حالة سوائل ذات جزيئات قطبية (المنحنى ١) وسوائل ذات جزيئات غير قطبية (المنحنى ٢). وتعتبر هذه المنحنين أساساً لاستنتاج زمن الاسترخاء من معادلات «ديباي».

$$\epsilon^*(\omega) - \epsilon(\omega) = \frac{[\epsilon(0) - \epsilon(\omega)]}{1 - i\omega\tau_D} \quad (15-3)$$



(٨-١٥) شكل

تأثير التردد على السماحية العزلية للسوائل ذات الجزيئات القطبية (منحنى ١) وغير القطبية (منحنى ٢). وتزوي أيضا العلاقة الخاصة بالفقد العزل  $\epsilon''$

حيث  $\epsilon'$  هو الشق الحقيقي، و $\epsilon''$  التخيلى للسماحية العزلية التخильية، بحيث يشكلان معا السماحية المركبة.

$$\epsilon^* = \epsilon' - i\epsilon''$$

أما الشق الحقيقي  $\epsilon'$  فيعطي من:

$$\left. \begin{aligned} \epsilon' &= \epsilon(\infty) + [\epsilon(0) - \epsilon(\infty)] / (1 + \omega^2 \tau_D^2) \\ \epsilon'' &= [\epsilon(0) - \epsilon(\infty)] \omega \tau_D / (1 + \omega^2 \tau_D^2) \end{aligned} \right\} \quad (15-4)$$

وهكذا فالمعادلة (١٥-٣) تصف المنحنى الموضح بالشكل (٨-١٥) الذى يمثل علاقه التردد بالشق الحقيقي من  $\epsilon^*$  والتردد المميز  $f_D = \frac{\omega}{2\pi} = (\tau_D)^{-1}$  كما يمثل علاقه التردد بالفقد العزلى. وهذا الفقد هو الذى يتسبب فى وجود مركبة فعالة للتيار

الكهربائى حتى فى وسط عازل تماما لا يحتوى على ناقلات للشحنات. والموصولة الكهربائية الناجمة عن فقد العزلى هي:

$$\sigma_D = \epsilon'' \frac{\omega}{4\pi}$$

وفي الخلاصة فإن السماحة العزلية المركبة تصبح:

$$\epsilon^* = \epsilon + i \frac{4\pi}{\omega} \sigma_D \quad (15-5)$$

### ٢-٢-١٥ الموصولة الكهربائية Electrical Conductivity

من الثابت أن التوصيل الكهربائى يرتفع في البلورات السائلة بشكل كبير بسبب وجود الشوائب، حيث تفكك جزيئاتها مخلفة أيونات موجبة (كاتيونات) وأخرى سالبة (أنيونات). ويحدث أن تلتقط هذه الأيونات مرة أخرى طبقا للعلاقة:



إذا كان المجال ضعيفا، ومعدل التأين منخفضا فإن الموصولة توصف

بالمعادلة:

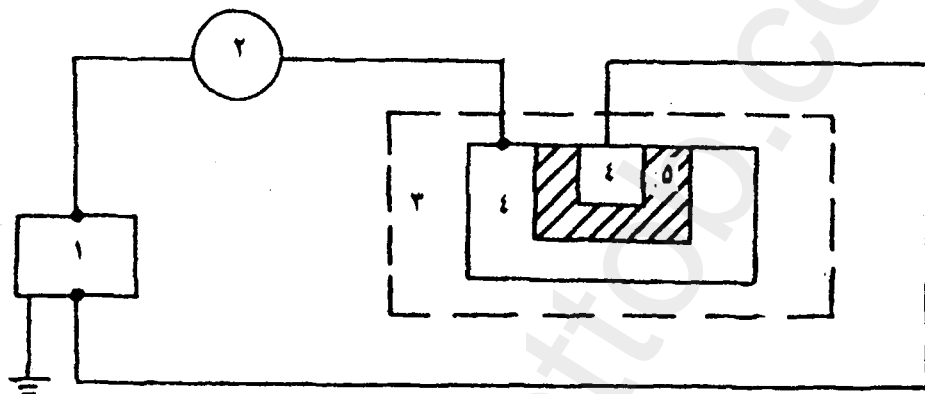
$$\sigma = e (\mu_+ - \mu_-) \left( k_D C^*/k_R \right) \quad (15-6)$$

حيث  $\mu_+$ ،  $\mu_-$  هما حركيتا الأيونين الموجب والسلب على الترتيب و  $C^*$  تركيز الشوائب في المستيمتر المكعب، والثابتان  $k_D$ ،  $k_R$  هما اللذان يحددان معدل التفكك والالتام على الترتيب.

ويتوقف اعتماد الموصولة الكهربائية على درجة الحرارة على تغير حرکية الأيونات وثابتى التفكك والالتام مع درجة الحرارة. وتوصف - بشكل عام - بالعلاقة التالية:

$$\sigma = \sigma_0 \exp \left( -W/kT \right) \quad (15-7)$$

بقي أن تعرف أن الموصية الكهربائية (أو المقاومة النوعية) من بين أهم السمات المميزة للبلورات السائلة، حيث تصل قيمتها في غالبية البلورات السائلة إلى  $10^{11} \text{ Ohm}^{-1} \text{ cm}^{-1}$ . ولا يجب أن تزيد قيمة ٥ عن هذا الحد إذا كان علينا استخدام البلورات السائلة في تطبيق تتعرض فيه لإشعاع قوى نسبياً من الموجات فوق البنفسجية أو تحت الحمراء لفترات طويلة (عدة مئات من الساعات) ويرى في الشكل (٩-١٥) طريقة موثوقة بها لتعيين ٥.



شكل(٩-١٥)

طريقة قياس الموصية الكهربائية بلبورة سائلة

- إلكترومتر، - مولد للذبذبات، - خلية القياس وبداخلها خلية مملوءة بالبلورات السائلة (٤، ٥)

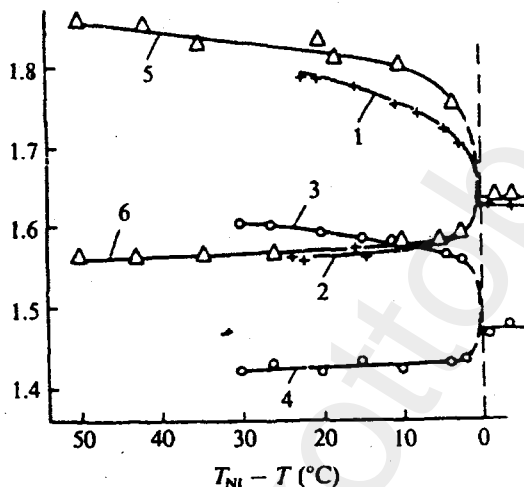
### ٣-٢-١٥ الخواص البصرية Optical Properties

#### ١- الأيزوتروبية:

يرتبط سلوك البلورات السائلة أحادية المحور عند الترددات المرتفعة ( $\omega_D \sim 10^{10} \text{ s}^{-1}$ ) رهنا بإسهام كل من الاستقطاب الكهربائي الإلكتروني والأيوني ولا يظهر إسهام مركبة الاستقطاب الاتجاهي الناشئ عن ثنائيات القطب؛ ولهذا يصبح شقا معامل الانكسار المركب وهو معامل الانكسار  $n$  ومعامل الامتصاص  $k$  ، لا أيزوتروبين. ولكل منها مرکباتان رئيسitan هما  $n_{\perp}$  ،  $n_{\parallel}$  ،  $k_{\perp}$  ،  $k_{\parallel}$  يوضح الشكل (١٠-١٥) منحنيات تغير معاملات الانكسار الرئيسية مع درجة الحرارة لثلاث من البلورات السائلة النيماتية. أما القيمة المتوسطة لمعاملات الانكسار في الطور النيماتي فهي تعطى بالمعادلة:

$$\langle n^2 \rangle = \frac{1}{3} (n_{\parallel\parallel}^2 + 2n_{\perp\perp}^2) \quad (15-8)$$

علماً بأن الكمية  $\langle n^2 \rangle^{\frac{1}{2}}$  تختلف عن معامل الانكسار  $n_{is}$  في الطور الأيزوتروبي بسبب اعتماد كثافة المادة على درجة الحرارة. أما استقطالية الجزيئات المتوسطة فهي لا تعتمد على درجة الحرارة.



شكل (١٥-١٥)  
تغير معامل الانكسار الرئيسيين  $n_{\parallel\parallel}$  (محني ٥.٣.١) و  $n_{\perp\perp}$   
(منحنى ٦) لثلاث من البلورات السائلة

ويمكّنا تعريف ما يسمى باللأيزوتروبية البصرية بالمقدار  $\Delta n$  حيث،

$$\Delta n = n_{\parallel\parallel} - n_{\perp\perp}$$

وتتحدد  $\Delta n$  تماماً بلا أيزوتروبية الاستقطالية مقاسة بالتوازي وبالتعامد مع المحور الجزيئي الطويل.

وتزداد قيم للأيزوتروبية  $\Delta n$  مع كل من:

- ١- استطالة سلسلة الترابط الموازية للمحور الجزيئي.
- ٢- عند استبدال الحلقات العطرية المشبعة بأخرى غير مشبعة.

- ٣- عند تقصير سلسلة «الألكايل» في نهاية المجموعات الجزيئية فتصبح سلسلة على هيئة تبادلات زوجية وفردية .
- ٤- زيادة قيم بارامتر الترتيب .

وتختضع اللأيزوتروبية البصرية لمخالط البلورات السائلة لقاعدة الإضافة .

$$\left[ \frac{1}{\rho} \frac{(n^2 - 1)}{(n^2 + 1)} \right]_{\text{mix}} = \sum_i C_i \left[ \frac{(n_i^2 - 1)}{(n_i^2 + 1)} \cdot \frac{1}{\rho} \right] \quad (15-9)$$

حيث  $C_i$  هو الكسر الجزيئي للمركب (i) في المخلوط .

### **ب - الثنائية اللونية Dichroism**

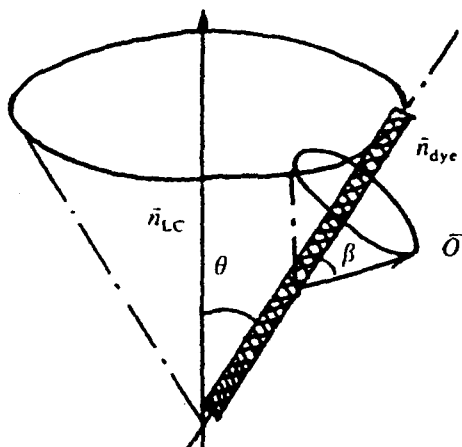
تحدث لا أيزوتروبية الامتصاص (أو ما يسمى ثنائية اللون) في البلورات السائلة، إما بسبب وجود مذبذب ذي طول موجي قصير ( $400 \text{ nm}$ ) والذى ينطبق عادة مع اتجاه المحور الجزيئي الطويل، أو بسبب الشوائب مثل الصبغات ثنائية اللون (ويمكّنا أن نطلق على هذه الشوائب اسم «الضيوف») الذائبة في البلورات السائلة («المضيفة»). وستتناول الحالة الثانية لأهميتها في التطبيقات العملية وذلك في إطار ما يعرف بتأثير «ضيف - مضيف» .

هب أن لدينا جزيئا  $n_{\text{dye}}$  من الصبغة «الضييف»، وهب أن المحور الجزيئي الطويل يميل بزاوية مقدارها  $\theta$  مع الموجة  $L$  للبلورة السائلة «المضيفة» ثم دع مذبذب الامتصاص  $O$  يميل بزاوية مقدارها  $\beta$  مع المحور الجزيئي الطويل للصبغة (شكل ١٥ - ١١) عندئذ يكون بارامتر الترتيب للصبغة ثنائية اللون  $S_{\text{dye}}$  مرتبطا مع نسبة الثنائية اللونية  $\frac{D_{//}}{D_{\perp}} = N$  بالعلاقة الآتية :

$$S_{\text{dye}} = \frac{(N-1)}{(N+1)} \left[ 1 - \frac{3}{2} \sin^2 \beta \right]^{-1} \quad (15-10)$$

وعلى هذا يكون تعريف النسبة للصبغة أو  $N$  هو أنها النسبة بين الكثافتين الضوئيتين (البصريتين)  $D_{\perp}, D_{//}$  الناتجتين عن قياس الاستقطالية ل محلول الصبغة ثنائية

اللون في البلورة السائلة التي تأخذ اتجاهها إما موازياً أو متعامداً مع متوجه استقطاب الضوء على الترتيب.



شكل (١١-١٥)  
موقع مهتز الامتصاص  
 $n_{dye}$   
 بالنسبة للبلورة السائلة  
 $n_{LC}$

#### ٤-٢-٤ خواص المرونة اللزجة: Viscoelastic Properties

يتحدد سلوك البلورات السائلة في وجود مجالات كهربائية خارجية بما لها من خواص المرونة اللزجة، ومن هنا تأتي أهمية معرفتها. الواقع أن تلك المجالات تحكم في البارامترات المميزة مثل الجهد الكهربائية الحاكمة ومدى انحدار منحنى الجهد مع انبعاث الإلكترونات وزمن الاستجابة وغيرها.

##### ١- المرونة Elasticity

يكمن الفرق الجوهرى بين التشوّهات في بلورة سائلة وفي بلورة صلبة في أن البلورات السائلة لا تعانى من إزاحات انتقالية للجزيئات عند حدوث تشوّهات للعينات بفعل إجهادات خارجية. ويرجع هذا إلى ازلاق طبقات البلورة السائلة على بعضها البعض.

وتربط مرونة السوائل الأيزوتropicية بالكثافة وتغييرها، أما تغيرات الكثافة في البلورات السائلة فيمكن التعبير عنها بمعاملات مناسبة وتظل المرونة المرتبطة بالتغيرات الموضعية لاتجاهات الموجة هي المميز الرئيسي.

وغالباً ما نلجأ إلى الفروض التالية عند وصف مرونة البلورات السائلة النيماتية:

١ - يتغير اتجاه الموجة  $L$  بالتدريج الشديد إذا قورن بالأبعاد الجزئية للبلورة السائلة، علينا أن نستنتج أن بارامتر الترتيب  $S$  يظل ثابتاً عبر حجم البلورة السائلة بأكملها، وذلك عند درجة حرارة ثابتة  $T$ ، في حين أن مجال الموجة  $L$  هو فقط الذي يتغير تبعاً للمجالات الكهربائية الخارجية أو غيرها.

٢ - لا بد منأخذ التماثل الأسطواني لتركيب البلورات السائلة النيماتية في الاعتبار، وكذلك غياب القطبية (أو تماثل رأس - ذيل).

٣ - أن ما يظهر في التعبير الرياضي للطاقة الحرة هو مربعات قيم تشوّه الموجة وذلك طبقاً لقانون «هوك».

وببناء على هذه الفروض فإن كثافة الطاقة الحرة المرنة للبلورة السائلة النيماتية،

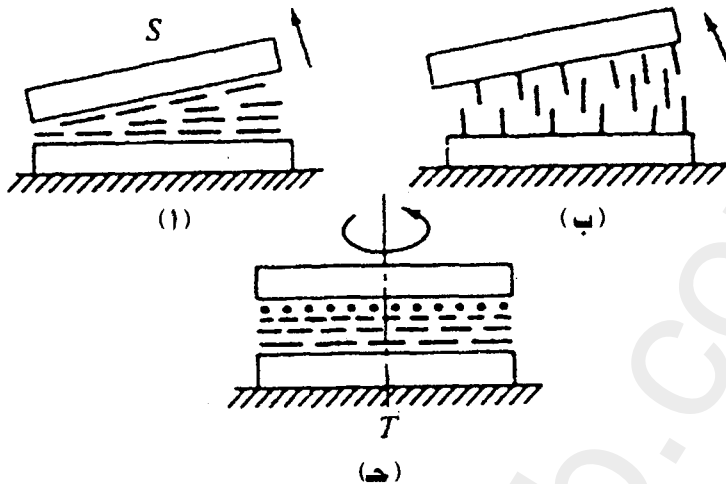
ستأخذ الشكل التالي:

$$g = \frac{1}{2} [K_{11}(\operatorname{div} L)^2 + K_{22} (L \operatorname{curl} L)^2 + K_{33} (L \times \operatorname{curl} L)^2] \quad (15-11)$$

وهذه المعادلة هي الأساس في دراسة جميع الظواهر الكهربائية في البلورات السائلة النيماتية؛ فالحد الأول يصف التشوّه  $S$  (وهو أول حرف في الكلمة Splay)، أما الحد الثاني فيصف التشوّه  $T$  (أول حرف في الكلمة Twist)، والحد الثالث يصف التشوّه  $B$  (أول حرف في الكلمة Bend). ويلخص الشكل (١٤-١٥) هذه الأنواع الثلاثة للتشوّه. ويشابه الموقف تماماً في حالة البلورات السائلة الكوليستيرية (أو النيماتية الكيرالية).

وتحمل نظرية المرونة سماتها الخاصة في حالة البلورات السميكتية حيث تشتراك التشوّهات المرتبطة بتغيير المسافة بين الطبقات في جميع الأطوار السميكتية، وإن كانت غير مرتبطة - عموماً - بتغيير اتجاه الموجة، ولذلك يظهر معامل آخر للمرونة  $B$ .

أما في البلورات السميكتية  $A$  فإن التشوّه الوحيد الممكن هو التموج النوعي للطبقات السميكتية؛ بحيث تظل المسافة بين الطبقات ثابتة ويظل الموجة عمودياً على الطبقة. ويوضع هذا التشوّه قيداً على مجال الموجة:



شكل (١٢-١٠)

أنواع التشوه الأساسية في البلورات السائلة

(أ) تشوه S (منحدر). (ب) تشوه B (الانحناء). (ج) تشوه T (الالتواء).

$$\operatorname{curl} \mathbf{L} = 0 \quad (15-12)$$

وعلى ذلك تتباعد قيم معاملات الالتواء والانحناء بالقرب من التحول الطوري الذي ينقل البلورة من النيماتى إلى السميكتى A؛ أى أن المعادلة (11-15) ليست صالحة للتطبيق على البلورات السائلة السميكتية من النوع C حيث يسود التعامل مع ثوابت المرونة النوعية.

### ب - اللزوجة : Viscosity

من المعروف أن معاملات اللزوجة لوسط ما هي النسب بين مشتقات الإجهاد اللزج ومشتقة السرعة بالنسبة للزمن .

وتوصف معادلة دوران الموجة في بلورة سائلة نيماتية في مجال كهربائي بما يطلق عليه مصطلح اللزوجة الدورانية :

$$\gamma_1 = \alpha_3 - \alpha_2 \quad (15-13)$$

حيث  $\alpha_2$  ،  $\alpha_3$  هى معاملات الزوجة. أما  $\gamma_1$  فهي واحدة من أهم البارامترات فى معظم الظواهر الكهربائية.

وتتغير لزوجة السوائل الأيزوتropic - بشكل عام - بتغير درجة الحرارة طبقا للقانون المعروف.

$$\eta_{iso} = \eta_0 \exp\left(\frac{E}{KT}\right) \quad (15-14)$$

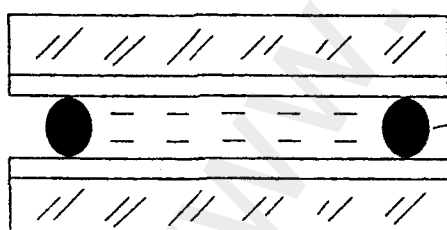
حيث  $E$  هي طاقة تنشيط انتشار الحركة الجزئية  $\eta_0 = \text{const}$ . وهناك علاقة مماثلة لكل صور الزوجة النيماتية على كل مدى الطور الوسيط فيما عدا مناطق التحول الطوري.

### ٣-١٥ الظواهر السطحية وكيفية إعداد خلايا البلورات السائلة:

يعتبر تفاعل البلورات السائلة مع الأطوار الملاصقة لها (كغاز أو سائل أو صلب) من الموضوعات المثيرة للاهتمام من حيث السلوك الكهربائي لها. فالطور النيماتي - مثلاً - على درجة عالية من الأهمية في مجال تطبيقات النبضات الكهربائية ولهذا تجدر دراسة خواص سطوح البلورات النيماتية.

ومن أشهر الخلايا التي على شكل شطيرة (الشكل ١٣-١٥)، تلك التي تستخدم في معظم التطبيقات العملية أو عند فحص البلورات السائلة ودراسة خواصها. ويتم في هذه الخلايا تكوين طبقة رقيقة يتراوح سمكها من ١ إلى ١٠

ميكرن بين لوحين زجاجيين مزودين بأقطاب شفافة ويحتفظ بمسافة ثابتة بين اللوحين بواسطة فوائل عازلة تبعد بينهما وتكون هذه الفوائل مصنوعة من الميكا أو البولي إثيلين. أما إذا كانت الفجوة بين اللوحين الزجاجيين ضيقة (نحو ١ ميكرون) فإننا نستعين ببعض الكرات الزجاجية



شكل (١٣-١٥)

خلية على شكل شطيرة، مملوءة ببلورة سائلة  
(١) طبقة زجاجية. (٢) فوائل من مادة عازلة  
(٣) قطب كهربائي به طبقة موجة.

الدقيقة أو قطع من الألياف الزجاجية ذات الأقطار المناسبة وعند فحص البلورات السائلة فإننا نسقط الضوء على الخلايا بامتداد المجال الكهربائي أو بزاوية محددة.

أما الطلاء الموصل الشفاف فهو غالباً من مادة أكسيد القصدير ( $\text{Sn O}_2$ ) أو أكسيد الإنديوم ( $\text{In}_2\text{O}_3$ ) حيث يمكن الحصول على طبقات من أكسيد القصدير ذات مقاومة كهربائية ضئيلة. ويمكن بهذه الطريقة الحصول على طبقات ذات سمك مختلف، يعتمد على ما إذا كانت الشفافية أم المقاومة الكهربائية هي العامل الحاسم. ثم تثبت أسلاك توصيل رفيعة بطبقات أكسيد القصدير بواسطة محلول من مادة بولي فينيل بوتيرال اللاصقة والمذابة في الإيثانول. وقد يستخدم أكسيد الإنديوم  $\text{In}_2\text{O}_3$  على هيئة طبقة رقيقة تكونت بأسلوب الرش الكاثودي للإنديوم تحت ظروف تفريغ مقداره  $10^{-5}$  Torr. وقد تكون هذه الطريقة أكثر كفاءة من سابقتها وإن كانت خواص الطلاء - كالشدة الميكانيكية والشفافية والمقاومة الكهربائية - لا تكاد تختلف عنها.

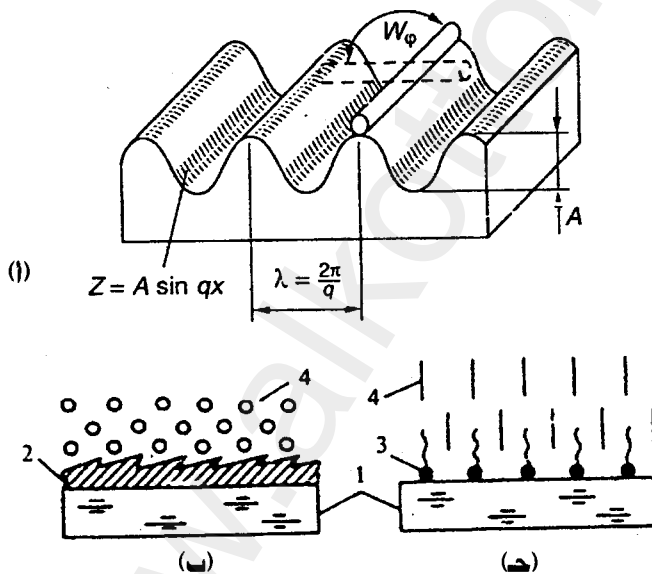
على أنه من الضروري - في جميع الأحوال - إضفاء اتجاهات محددة على جزيئات البلورات السائلة حتى تتسنى دراسة الخاصية اللازوتروبية التي تميز كافة خواصها. وكذا سمات السلوك الكهربوبيصري، فالجزيئات الموجودة في الطبقات المتعاقبة تربط نفسها بالجزيئات الواقعة عند الطبقة السطحية بحيث تصير العينة بأكملها بمثابة بلورة أحادية - نموذجية كانت أم مشوهه، اعتماداً على اتجاهات أسطحها. ويتميز اتجاه الجزيئات عند السطح بكميتيين هما: متوسط قيمة الزاوية التي تمثل بها الجزيئات على السطح ( $\theta_0$ ) وطاقة التثبيت ( $W$ ). ويمكننا على ذلك التمييز بين الاتجاهات المختلفة على النحو التالي:

عندما  $\theta_0 = 0$  يكون الاتجاه متجانساً، وعندما  $\theta_0 = \frac{\pi}{2}$  يكون لدينا اتجاه استوائي. أما في المدى  $\theta_0 > \frac{\pi}{2}$  فإن الاتجاه يكون مائلاً.

## ٤-٤ توجيه البلورات السائلة

### ١- التوجيه الاستوائي (متجانس):

إذا دلّك سطح الزجاج بقطعة من الورق أو القماش دلّكاً ميكانيكيًا فإن ذلك السطح يكتسب تضاريس دقيقة في طبقة طلاء الأقطاب الكهربائية أو في الزجاج نفسه بحيث يصبح السطح مليئاً بالتواءات والمنخفضات التي من شأنها العمل على توجيه جزيئات البلورات السائلة توجيهها على امتدادها، ويؤدي هذا في النهاية إلى إنشاء توجيه استوائي (شكل ١٤-١٥أ). ويتم إنجاز هذه العملية بنجاح عن طريق تبخير بعض الفلزات أو الأكسيد مثل  $\text{SiO}$  على السطح على أن يكون إسقاط الأبخرة مائلاً. وتوضح هذه العملية في الشكل (١٤-١٥ب) حيث من الواضح آلية الحصول



شكل (١٤-١٥)

كيفية تكوين توجيه استوائي (متجانس) (أ، ب) وتوجيه استوائي موحد (ج) للبلورات السائلة يرى في (أ) تضاريس دقيقة ترتفع عن طرق الدلك وفي (ب) ترتفع عن طرق الدلك وفي (ج) توجيه للبلورات السائلة باستخدام مادة خاضعة للتتوتر السطحي.

- ١- طبقة حاملة.
- ٢- غشاء يتم تخييره بشكل مائل.
- ٣- مادة خاضعة للتتوتر السطحي.
- ٤- بلورة سائلة نيماتية.  $W_\varphi$  طاقة التبييت.

على توجيه استوائي لبلورات سائلة استوائية بواسطة التبخير المائل لغشاء رقيق من الفلز.

ولتفسير سبب تكون هذا النوع من التوجيه فإننا سنفترض أن المقطع المستعرض والعمودي على التوءات والمنخفضات يتخذ شكل موجة جيبية كالتالي:

$$\varphi(Z=0) = A \sin q x \quad (15-15)$$

حيث  $x$  في اتجاه متعامد مع اتجاه ذلك سطح الطبقة التحتية الحاملة، و  $q$  هو الموجه الموجي لبنية السطح، أما  $A$  فهي سعة التموج.

ونقدم فيما يلى كيفية حساب الفرق في طاقة المرونة بين تكوينين لجزيئات البلورات السائلة وذلك حين تكون تلك الجزيئات موازية أو عمودية على الأحاديد (شكل ١٥-١٤)، سنجدها أدنى لطاقة مرونة البلورة السائلة النيماتية  $F=W_{\varphi}$  عند منتصف المستوى ( $Z > 0$ ) معأخذ الشروط الحدية المعطاة بالمعادلة (15-15) في الاعتبار، بحيث:

$$F = \int_0^{\infty} g(Z) dZ = \frac{1}{4} K A^2 / q^3 \quad (15-16)$$

حيث  $K$  ثابت المرونة للبلورة السائلة، و  $(Z) g$  كثافة طاقة المرونة للبلورة السائلة النيماتية. ولنأخذ بعض القيم النموذجية على سبيل المثال:

$$F = 8 \times 10^{-2} \text{ erg/cm}^2, \quad K = 10^{-6} \text{ dyne}, \quad \frac{2\pi}{q} = 200 \text{ \AA}, \quad A = 10 \text{ \AA}$$

وهو رقم معقول تماماً.

ومن هنا نرى أن هذا النموذج يفسر السبب في أنه من الأفضل - من حيث اعتبارات الطاقة - أن يتمثل موجة البلورة السائلة النيماتية الاتجاهات الموازية للأحاديد والتلوّات الخاصة بتركيب السطوح عندما تكون التضاريس ذات بعد واحد (التوجيه الاستوائي) أما إذا كانت التضاريس ذات بعدين، فإن معالجة مماثلة لما قدمناه أعلاه، سوف تؤكّد لنا أفضلية التوجيه المتجانس الموحد.

وهنالك أيضاً أسلوب آخر يتم فيه استخدام الشبكات الدورية المجهزة بطريقة الطباعة الضوئية بهدف الحصول على توجيهه استوائي شكل للبلورات السائلة النيماتية. وقد ثبت أن لتقنية رص الجزيئات ضوئياً فوائد واضحة تفوق أسلوب بذلك (الاحتكاك) المعتمد. ومن تلك الفوائد أيضاً ما يلى:

- ١ - تجنب تكون الشحنات الكهروستاتيكية والشوائب وحدوث أي تلف في الطبقات التحتية ميكانيكياً.
- ٢ - إمكانية إنتاج بنية ذات موجّه محدد للبلورات السائلة في إطار مساحة مختارة من الخلية.

تنقسم المواد المستخدمة في رص الجزيئات ضوئياً إلى قسمين حيث يعتمد القسم الأول على استخدام بوليمرات ضوئية خطية، أما القسم الثاني فيعتمد على صبغات آزوية  $AzO$  وجزيئات صبغات أخرى مدمجة في مادة بوليميرية رابطة أو في أغشية نفية حضرت بالتبخير تحت تفريغ عالي.

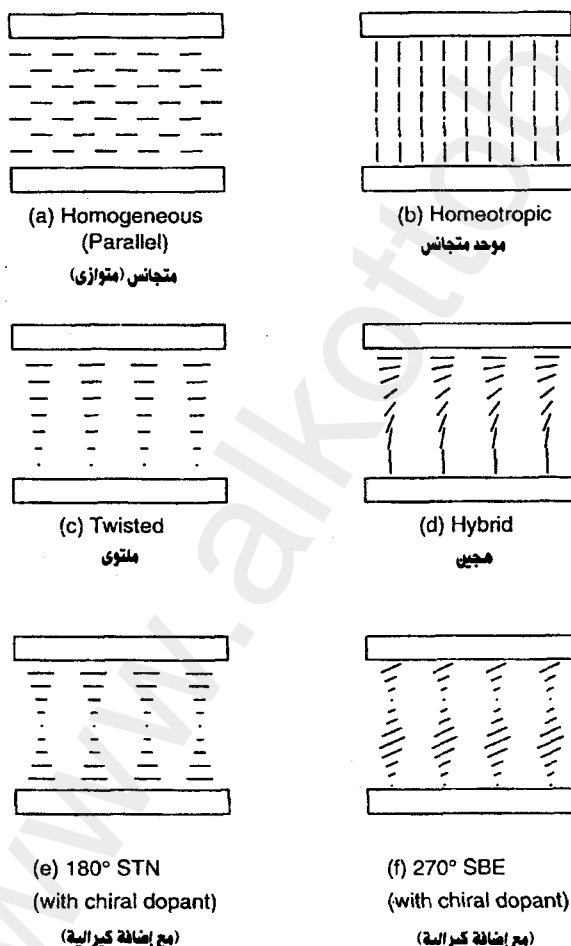
## **ب - التوجيه المتجانس الموحد Homeotropic**

يوضح الشكل (١٤-١٥) . كيفية الحصول على هذا النوع من التوجيه باستخدام طبقة أحادية الجزيء لمادة خافضة للتوتر السطحي. ويتم ذلك بسحب الطبقة التحتية من محلول ثم بلمرة أغشية السليكون العضوي مباشرة فوق الطبقة التحتية باستخدام تفريغ البلازماء، وتتيح هذه الطريقة إمكانية إضافة الشوائب النشطة مباشرة إلى البلورة السائلة (مثل الليسيثين أو أحماض الكوكسى بتزويد). وقد استخدمت هذه الطريقة في توجيه مختلف أنواع البلورات السائلة مثل النيماتية والكوليستيرية والسميككتية.

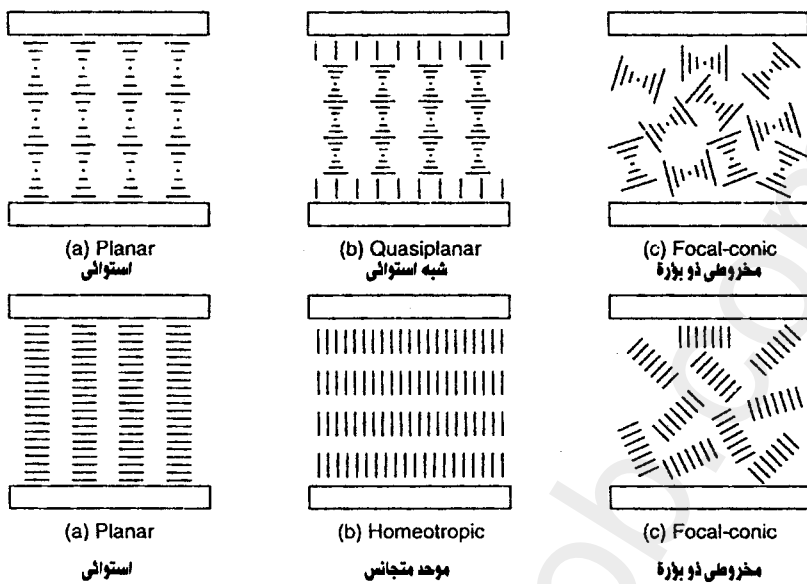
وستعمل الأشعة فوق البنفسجية أيضاً لإتمام عملية التوجيه حيث يسلط ضوء غير مستقطب عمودياً على العينة المحتوية على طبقة حساسة للضوء. وتميل جزيئات البلورة السائلة إلى اتخاذ اتجاه متعمد مع متوجه استقطاب الضوء فيصبح الاتجاه المفضل الوحيد المتاح هو اتجاه انتشار الضوء.

### جـ- أنواع أخرى من التوجيه:

يوضح الشكل (١٥-١٥) أنواعاً أخرى مختلفة من أساليب توجيه البلورات السائلة النيماتية؛ أما الشكل (١٦-١٥) فيتعلق بالبلورات الكوليسترية والسميكية. على أن خلق توجيه ملتوٍ لبلورة سائلة نيماتية ذات زاوية دوران أكبر من  $90^\circ$  من الأمور المستحيلة؛ ولذلك صار من الضروري إضافة مادة تيسر الحصول على زاوية الالتواء المطلوبة في البنية النيماتية؛ وقد وجد أن الزاويتين  $180^\circ$  أو  $270^\circ$  هما الأثير ملاءمة للتطبيقات العملية.



شكل (١٥-١٥)  
أنواع مختلفة من اتجاهات البلورات السائلة النيماتية



شكل (١٦-١٥)

أنماط متنوعة لاتجاهات البلورات السائلة الكوليستيرية (من a إلى c (على)  
والسميككتية (من a إلى c (أسفل)

وعندما يصبح موجّه البلورة السائلة الكوليستيرية محازياً لسطح الخلية، وذلك من خلال معالجة محددة، فإن محور الحلزون يكون عمودياً على السطحين الزجاجيين. وعندئذ يمكننا الحصول على نسيج أستوائي ذي نشاط بصري. أما إذا كانت جزيئات البلورة الكوليستيرية متعامدة على سطحي الشريحتين الزجاجيتين، فإن محور الحلزون سيجد نفسه مضطراً لأن يكون موازياً للسطحين، وهنا يحدث ما يسمى بالنسيج شبه الأستوائي أو النسيج الشبيه «ببصمة الإصبع». وختاماً، ففي الحالة العامة، حين تكون اتجاهات محور الحلزون عشوائية في مختلف أجزاء الخلية، فإن العينة تكون عديدة البلورات أو ما اصطلاح على تسميته «النسيج البؤري المخروطي».

## ٥-٥ مواد بلورية سائلة جديدة :

يجتهد الباحثون طوال الوقت لاستنباط وإنتاج بلورات سائلة جديدة تسهم في تطوير الحاسوب الشخصية المحمولة وأجهزة التلفزيون ذات الشاشات العريضة

وخدمة مجال التليفونات (الهواتف) المحمولة ويلخص الجدول (١-١٥) أحدث ما وصلت إليه تقنية البلورات السائلة وتطبيقاتها.

**جدول (١-١٥)**

التطبيقات	المواد الأساسية	خاصية البلورة السائلة
رابط نشط لبنيطات البلورات السائلة المستخدمة لشاشات العرض ذات الزوايا العريضة وجهود التحكم المنخفضة . AM - LCD <sub>s</sub>	هياكل حلقة ثلاثة للفلور - مع إثنين من سيكلوكسان(c) وحلقة فنيل (P) «مايعرف» بهياكل «CCP» .	لا أيزوتروبية بصرية منخفضة مواكبة للأيزوتروبية عزلية مرتفعة .
AMLCD <sub>s</sub> ذات استهلاك منخفض للطاقة .	مزيد من ذرات الفلور في هياكل CCP وهياكل أخرى .	لا أيزوتروبية عزلية مرتفعة .
شاشات عرض سريعة الاستجابة من النوعين AM (رابط نشط) و STN (نیماتیة ذات التواء فاتق) .	مركبات ذات حلقتين بها CP واحدة و CC2 حلقة سيكلوكسان .	لروحة منخفضة .
STNLCD <sub>S</sub> ذات محتوى عالي من المعلومات لل استخدام في الحاسوب الشخصية اليدوية والمعارنات الرقمية الشخصية .	رابط مزدوجة (كما في مجموعة السلسلة في هيكل CCP)	نسبة عالية بين معاملي المرونة للانحناء والاستطالة . K <sub>33</sub> / K <sub>11</sub>
STN - LCD سريعة الاستجابة لل استخدام في الحاسوب المحمول .	مركبات ذات حلقتين مع رابطة ثلاثة أو مركبات ذات ثلاث حلقات مثل الفنيل الثلاثي	لا أيزوتروبية بصرية عالية .
أجهزة العرض ذات زوايا رؤية عريضة . AMLCD	مركبات CC، CP و CCP استبدل بها الفلور .	لا أيزوتروبية عزلية سالبة .

## ٦-١٥ الانكسار المزدوج وتأثيره بال المجال الكهربائي Birefringence

عندما نطبق مجالاً كهربائياً على طبقات البلورات السائلة فإن ثمة نوعاً من تشوّه التوزيع الجزيئي الأولى للموجة بأخذ في الظهور، ويؤدي بدوره إلى تغيير في الخواص البصرية لخلية البلورات السائلة. ويقع تغيير اتجاه الموجة  $L$  في وجود مجال كهربائي تحت تأثير الازدواج العزلى الذي يتناسب مع اللائيزوتروبية العزلية  $\Delta \chi$  أما تأثير المجال المغناطيسي على اتجاه الموجة فيتحدد بمقدار كثافة التفاعل المناظرة:

$$g_h = -\frac{\Delta \chi}{2(LH)^2} \quad (15-16)$$

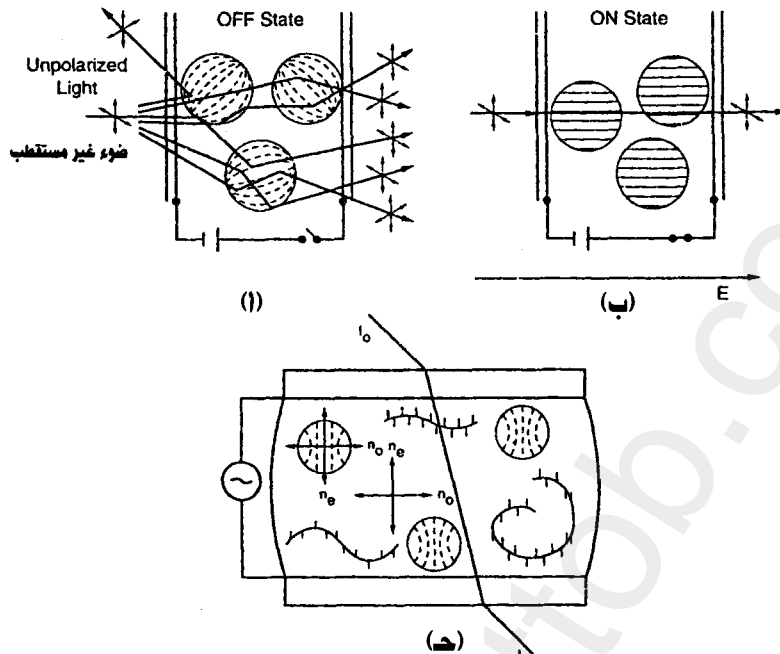
حيث  $\perp - \chi_{//} = \Delta \chi$  هو مقدار اللائيزوتروبية المغناطيسية وهو موجب الإشارة في البلورات السائلة النيماتية.

## ٧-١٥ الخواص الكهربصرية لأغشية البلورات السائلة المنتشرة داخل بوليمر «PDLC»

تتجذب أغشية القطيرات النيماتية المنتشرة في وسط بوليمر رابط أو البلورات السائلة المنتشرة في بوليمر «PDLC»، الكثير من الاهتمام نظراً لتميز خواصها. وعند تحضير مثل هذا النوع من الأغشية تتولى بعض العمليات المهمة وهي فصل الأطوار ثم التغليف الدقيق ثم تكون المستحلب.

أ- ينطوى فصل الأطوار على مزج البلورة السائلة مع مادة بوليمرية شفافة ذات طبيعة سائلة ووزن جزيئي منخفض نسبياً، ثم تتم تسوية الزرجم بواسطة ضوء فوق بنفسجي أو برفع درجة الحرارة أو بإضافة عامل كيميائي يحفز عملية البلمرة. وعقب التفاعل تصير البلورة السائلة أقل ذوبانا في البوليمر، وتبدأ القطيرات الضئيلة في التكون. وفي نهاية عملية التسوية هذه يتتج جسم مكون من مادة تحتوى على قطيرات نيماتية موزعة بداخلها (الشكل ١٥-١٧).

ويستخدم الكلوروفورم كمذيب للبلورات السائلة والبلمرات، حيث يمزج محلول مع كرات زجاجية ذات قطر محدد يتيح الحصول على فجوة ذات سمك معلوم، ثم يوضع محلول على طبقة تحتية حاملة من الزجاج المغطى بطبقة من مادة ITO (أي أكسيد الإنديوم والتيتانيوم) وترفع درجة الحرارة حتى  $140^{\circ}\text{C}$ . وبعد أن



شكل (١٧-١٥)

تركيب وخواص أغشية البلورات السائلة المنشورة في بوليمر (PDLC) : (أ) عند غياب المجال الكهربائي ي حيث تشتت للضوء غير المستقطب (ب) تكون العينة شفافة عند السقوط العمودي للضوء ووجود مجال كهربائي (ج) توسيع زاوية الرؤية باستخدام سلاسل جانبية في البلورات السائلة البوليميرية بحيث تكون المجموعات المتعددة شبيهة بالبلورات السائلة في القطيرية

يتبعر الكلوروفورم تماماً يوضع غطاء زجاجي آخر مغطى بطبقة من مادة ITO فوق المجموعة الأولى، ويمارس عليه ضغط خفيف ثم يترك الجميع ليبرد.

أما الخصائص التركيبية للغشاء فيتم التحكم فيها باختيار البلورات السائلة والبوليمر المستخدم، وباختيار تركيز مناسب للمحلول والمذيب المستخدم، وضبط معدل تبخر المذيب ودرجة حرارة الإعداد وغيرها.

#### ٨-١٥ السلوك الكهربائي لـ "أغشية PDLC"

يتخذ الموجة في قطرات البلورات السائلة اتجاهات عشوائية عندما لا يكون هناك مجال كهربائي؛ ولذلك يتشتت الضوء الساقط بشدة (شكل ١٧-١٥). أما إذا طبق مجال كهربائي فإن الموجهات تأخذ اتجاه المجال الكهربائي بسبب الازدواج

العزلى، وعندئذ يتواافق معامل انكسار البوليمر مع معامل الانكسار الاعتيادى للبلورة السائلة؛ ويصير غشاء PDLC شفافاً (الشكل ١٥-١٧ بـ). فإذا لم يكن هناك مُستَقْطَبٌ فإن مدى نفاذ المريئات من خلال الغشاء ليصبح محكماً بالقليل من الامتصاص والانعكاس الداخلى للزجاج أو الطبقات البلاستيكية التحتية؛ وعندئذ لا يصبح مهمًا أن تكون فجوة الخلية متناظمة تماماً. كما لا تكون هناك ضرورة للطبقة الموجِّهة.

ومن المؤكد أن حالة الشفافية التامة، في وجود مجال كهربائى، هي تلك التي تتحقق عندما يسقط الضوء عمودياً فقط على الخلية؛ لأن سقوط الضوء بزاوية ما، يجعل عدم التوافق بين معاملى انكسار قطريرات البلورات السائلة والبوليمر، سبباً فى التشتت الملحوظ للضوء. ويزداد هذا التشتت كلما زادت زاوية سقوط الضوء.

ومن الممكن جعل زاوية الرؤية أعرض، إذا جلأنا إلى استعمال بلورات سائلة بوليمرية ذات سلسلة جانبية تحتوى على مجموعات كيميائية لها نفس معامل انكسار البلورة السائلة ذات الوزن الجزيئي المنخفض في القطيرات النيماتية (الشكل ١٥ - ١٧ جـ). وفي حالة الشفافية فإن معاملى انكسار المجموعات البلورات السائلة في السلسلة الجانبية وقطيرات البلورة السائلة تتوافق في جميع الاتجاهات. أما في حالة الإعتمام - والتي تنشأ نتيجة انعدام الانتظام في البلورة السائلة بالقطيرات - فإن حالة التشتت هي التي تصبح سائدة.

ولحساب الجهد الكهربائى  $U_{th}$  اللازم لتغيير وضع الموجة في القطيرات والذي من شأنه إحداث تغير في مقدار التفازية، نطبق المعادلة التالية:

$$U_{th} = \frac{d}{3a} \left( \frac{\rho_p}{\rho_{LC}} + 2 \right) \sqrt{K(\ell^2 - 1)/\Delta\epsilon} \quad (15-17)$$

حيث  $d$  هو سمك الطبقة،  $\ell = a/b$ ،  $a, b$  هما محوراً القطيرة التي على شكل مجسم قطع ناقص،  $K$  هو معامل المرونة المتوسط.  $\rho_p$ ،  $\rho_{LC}$  هما مقاومتاً البوليمر والبلورة السائلة النوعيتان، على الترتيب.

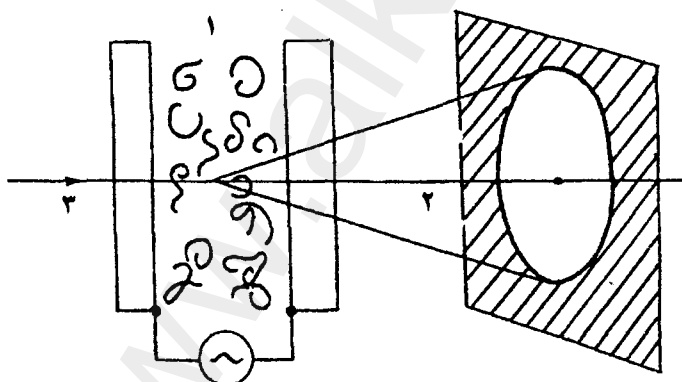
ويلاحظ أن المدار  $\left( \frac{\rho_p}{\rho_{LC}} + 2 \right) \frac{d}{3a}$  هو الذي يعبر عن الفرق بين المجال المطبق على الخلية وقيمتها الفعالة المؤثرة على القطيرة. وتعتمد قيمة هذا المدار على المقاومة

النوعية لكل من البوليمر  $P_p$  والقطيرية  $P_{LC}$  وكذلك على تردد المجال وثابت العزل لكل من البلورة السائلة والبوليمر عند الترددات المرتفعة.

ويمكن لأغشية PDLC أن تنافس تطبيقات المواد النيماتية التقليدية في مجال الخواص الكهربائية وذلك من حيث سهولة إنتاجها ولكونها لا تحتاج إلى مُستقطب، ولقدرتها على تحمل الاهتزازات والضغط دون حدوث تشوهات.

### ٩-١٥ استخدام البلورات السائلة في أجهزة العرض:

لقد بدأ الاهتمام باستخدام البلورات السائلة كمكون مهم في أجهزة العرض منذ نهاية ستينيات القرن العشرين. ثم ازداد الاهتمام بها عندما اكتشف أثر «التشتت الديناميكي» في البلورات السائلة ذات اللائيزوتروبية العزلية السالبة (شكل ١٨-١٥)، حيث يتشتت الضوء بشدة عندما تزيد شدة المجال عن قيمة مشرفة معينة. وتزامن مع هذا اكتشاف ظاهرتين بصريتين في البلورات السائلة فيما له صلة بتطبيقاتها في أجهزة العرض. وقد أطلق على أولاهما ظاهرة «ضيف-مضيف» وهي التي تتجلى في مخالفط البلورات السائلة ذات الصبغات ثنائية اللون. أما الظاهرة الثانية فهي التحول بين الطورين النيماتي والسميكى في وجود مجال كهربائى.



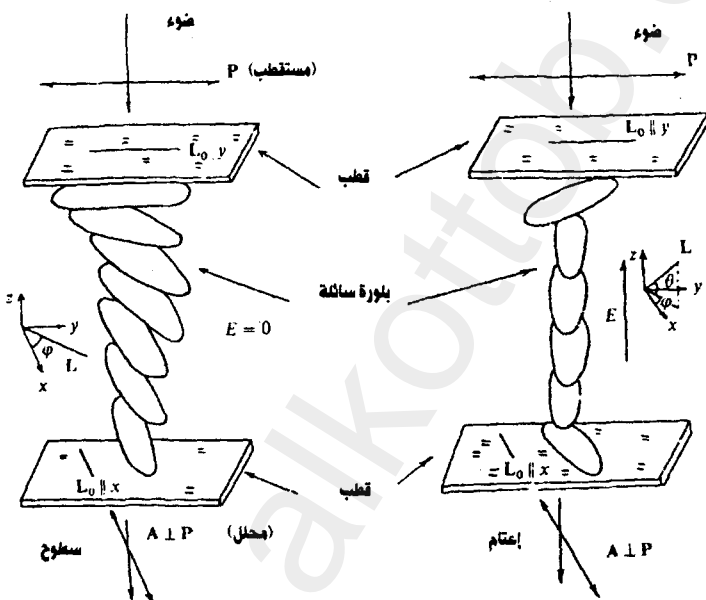
شكل (١٨-١٥)

التشتت الديناميكي للضوء.

١- خلية التشتت الديناميكي. ٢- ضوء مشتت. ٣- ضوء ساقط.

وتتلخص ظاهرة «ضيف - مضيف» في أن البلورات السائلة حين تتعرض - وهي تقوم بدور «المضيف» - لتأثير مجال كهربائي ، فإن جزيئات الصبغة المنتشرة فيها - وهي تقوم بدور «الضيف»- ستقوم بتسهيل حدوث الظاهرة حيث تتجه جزيئات الصبغة مع جزيئات البلورة السائلة في اتجاه موحد .

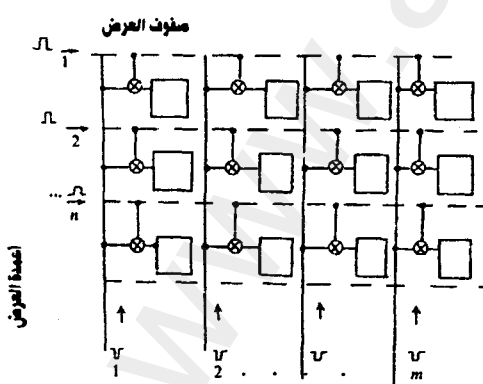
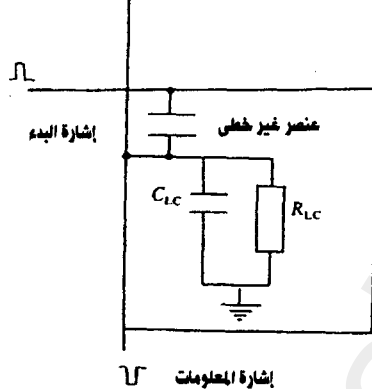
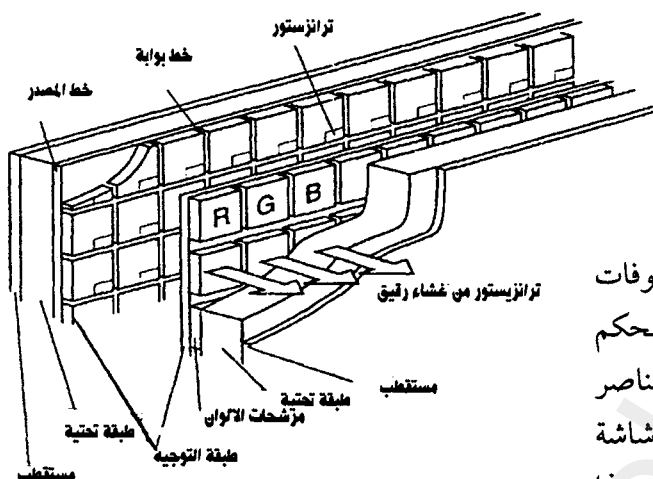
وقد شاع استعمال البلورات السائلة بشكل واضح كشاشات عرض بعد اكتشاف ظاهرة الالتساوة Twist Effect التي تجلت في معظم البلورات السائلة، ويلخص الشكل (١٩-١٥) هذه الظاهرة .



شكل (١٩-١٥) ظاهرة الالتساوة

ومن التطبيقات الشائعة لهذه الوسائل ما هو متبع في ساعات المعصم، والآلات الحاسبة والألعاب الإلكترونية وشاشات التليفون المحمول وألات التصوير الفوتوغرافي والفيديو وكثير من الأجهزة العلمية والطبية وأجهزة القياس الخاصة بالسيارات ووسائل الانتقال المتنوعة وغيرها .

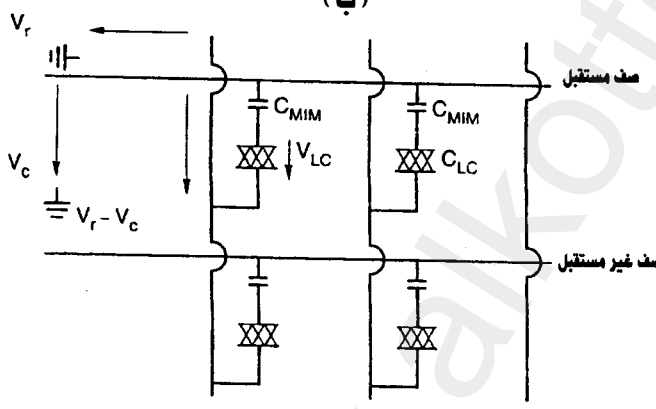
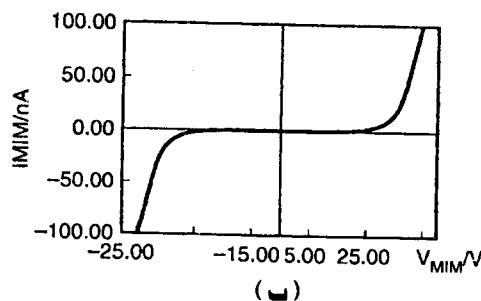
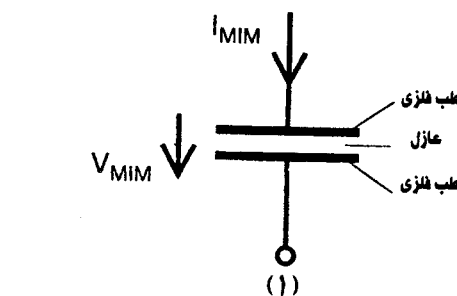
## ١-٩-١٥ شاشات عرض البلورات السائلة ذات المصفوفات الفعالة AMLCD «Active Matrix Liquid Crystal Display»



شكل (٢٠-١٥)

شاشة عرض بلورات سائلة ذات مصفوفات فعالة تستخدم  
ترونيستور الأغشية الرقيقة كعنصر غير خطى

يتلخص مبدأ المصفوفات الفعالة (النشطة) في التحكم المنفرد لكل عنصر من عناصر الصورة المعروضة على شاشة البلورات السائلة. وهذا العنصر Pixel (مشتق من كلمة صورة Picture وعنصر element) ويتم التحكم بواسطة عنصر غير خطى متصل به كما في الشكل (٢٠-١٥) حيث ترى نبيطة ذات طرفين أو ثلاثة. أما ذات الطرفين فهي إما ثنائية Diodes صنعت من أغشية رقيقة Thin Film ويرمز لها عادة اختصارا بالحروف TFD. وإنما هي نبيطة (MIM) أو فلز - عازل - فلز وسبباً في التعرف على الأخيرة.



شكل (٢١-١٥)

**مدخل شاشات عرض البلورات السائلة**

(ا) عنصر MIM، غير الخطى.

(ب) منحنى التيار  $I_{MIM}$  مع الجهد  $V_{MIM}$  للعنصر MIM.

(ج) مصفوفة MIM للدخول إلى عناصر الصورة في شاشة عرض من البلورات السائلة:  $V_r$  جهد الصفوف،  $V_c$  إشارة معلومات الأعمدة. الخطوط الالتفافية متصلة بأحد لوحي MIM وتتصل الخطوط الرأسية السميكة باللوح الآخر.

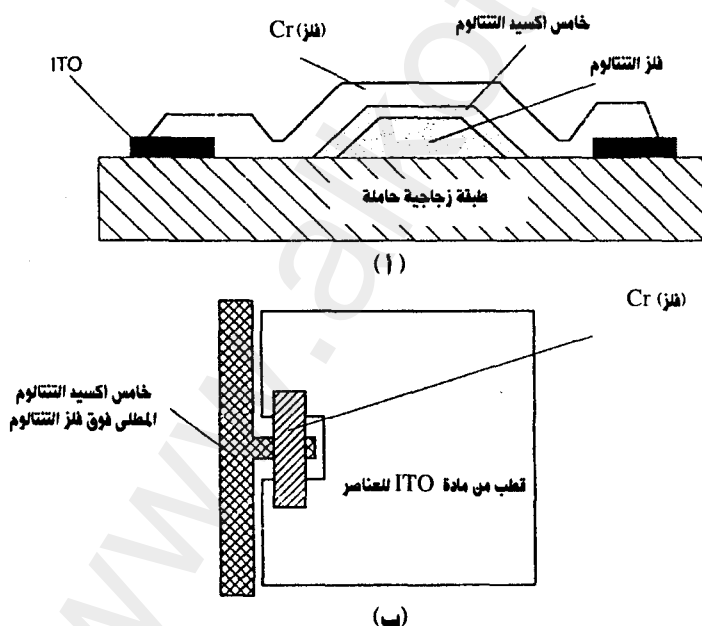
تتكون العناصر MIM من طبقات متعاقبة من فلز ثم مادة عازلة ثم فلز وهي بهذا تشبه المكثف الكهربائي (الشكل ١٥-٢١). أما المادة العازلة فهي تحتوى على مراكز لاقناث الإلكترونات، حتى إذا ما زاد الجهد المطبق على العنصر مشرفة معينة  $V_{th}$  فإن المجال الكهربائي يصبح قادرا على تحرير تلك الإلكترونات فيمر تيار مقداره  $I_{MIM}$  متاماً بشكل أَسْى مع فرق الجهد. ويتميز هذا التأثير بأنه متماثل؛ لأن كلاً من التيار الموجب والتيار السالب يعتمدان على الجهد المطبق بنفس الأسلوب (الشكل ٢١-١٥ ب).

ويمثل هذا التماثل أهمية خاصة حيث يصبح من الممكن تغيير إشارة الجهد المطبق على عناصر البليورة السائلة والاحتفاظ بجهد صفرى في المتوسط وذلك تجنبًا للتحلل الكهروكيميائى الذى قد يحدث للبليورات السائلة، أما إذا لم يصل الجهد إلى القيمة  $V_{th}$  فان حاجز الجهد عند السطح البيني «فلز - عازل» سيمعن ظهور أي تيار كهربائى. وعند القيم الكبيرة للمجال تقوم الإلكترونات بالحركة النفقية خلال حاجز الجهد مما يرفع من قيمة التيار (ظاهره بول - فرينكيل).

تتولى نبيطات MIM عملية شحن المكثف  $C_{LC}$  بالتوافق مع أقطاب الجهد المستخدم، كما في الشكل (٢١-١٥ ج). ويتم التحكم في عملية الشحن بواسطة جهد الصفوف  $V_r$  وجهد الأعمدة  $V_c$  حتى ينشأ الجهد  $V_{LC}$  عبر البليورة السائلة:

$$V_{LC} = V_r - V_c - V_{MIM}$$

وتجدر الملاحظة هنا بأن من أهم ميزات نبيطات MIM، سهولة التصنيع (شكل ٢٢-١٥) حيث:



شكل (٢٢-١٥) نبيطة MIM  
((ا)) مقطع مستعرض ((ب)) منظر من (على)

- ١- يُرش فلز التتالوم (Ta) على شريحة زجاجية سماكتها نحو 0.3 ميكرون ثم تُشكل لعمل مسارات التجميع للأعمدة والصفوف للطبقة الأولى لنبيطة MIM.
- ٢- يؤكسد غشاء التتالوم ليكون طبقة من خامس أكسيد التتالوم سماكتها 0.06 ميكرون ويتم هذا بتطبيق جهد كهربائي على الدائرة أثناء غمرها في محلول تركيزه 0.01% من حامض الليمونيك.
- ٣- ترسب طبقة من أكسيد الإنديوم والقصدير (ITO) وتشكل بحيث لا يحدث تلامس مع أعمدة التتالوم.
- ٤- يستخدم فلز الكروم لعمل اتصال بين عناصر ITO وأعمدة  $Ta/Ta_2O_2$ .
- ٥- تستكمل خلية البلورات السائلة بما في ذلك الصفوف . ويمكننا زحزحة الجهد المشرفى  $V_{th}$  لنبيطة MIM إلى القيمة المطلوبة بتغيير سمك طبقة خامس أكسيد التتالوم .
- أما ثنيات الأغشية الرقيقة TFD فيمكن صناعتها على صورة نبيطات ذات طرفين ومنها :
- ١ - ثنيات شوتكي المكونه من سليكون أمروري ( $\alpha-Si$ ) وهى وصلات بسيطة بين شبه موصل نقى ( $\alpha-Si$ ) وفلز هو الكروم ، ولهذه الوصلات جهد انهيار عكسي مما يعني أن لها سلوكاً شبيهاً بسلوك نبيطات MIM (الشكل ١٥-٢١ ب) ومقدار الجهد المشرفى بها نحو ١٥ V .
  - ٢ - ثنيات مكونة من شبه موصل موجب P وشبه موصل سالب وبينها عازل I أو (PIN) . وتستعمل مثل هذه الثنيات عادة في الخلايا الشمسية . والمشكلة فيها هي كيفية جعل التيار العكسي ضئيلاً . على أن ثنيات PIN تتيح نسبة جيدة جداً بين التوصيل في الحالة ON والتوصيل في الحالة OFF ، تصل إلى ثمانى رتب في المقدار ( $10^8 \sim$ ).



## أسئلة على الفصل الخامس عشر

- ١ - ما هو الفرق بين تركيب البلورات السائلة النيماتية والسميكية؟ وما هو الفرق بين البلورات الليوتروبية والترموتروبية؟
- ٢ - اذكر ما تعرفه عن:
  - أ- الثنائية اللونية.
  - ب- اللزوجة المرنة.
- ج- الانكسار المزدوج في البلورات السائلة.
- ٣ - اشرح باختصار كيفية استخدام البلورات السائلة في:
  - أ- أجهزة العرض.
  - ب - في الألواح متغيرة الشفافية.



## (١) تذيل

## APPENDIX 1

## بعض الثوابت الطبيعية Physical constants

$1.602 \times 10^{-19}$ coulomb	= e charge on electron	شحنة الإلكترون
$9.109 \times 10^{-31}$ kg	= m mass of electron	كتلة الإلكترون
$1.675 \times 10^{-27}$ kg	= mass of neutron	كتلة النيترون
$2.998 \times 10^8$ m/sec	= c Velocity of light	سرعة الضوء
$6.626 \times 10^{-34}$ joules sec	= h Planck's constant	ثابت بلانك
$1.381 \times 10^{-23}$ joules/deg k	= k Boltzmann's constant	ثابت بولتزمان
$6.023 \times 10^{26}$ per kg mol	= N Avogadro's number	عدد أفروجادرو

$$1 \text{ cal} = 4.186 \text{ joule}$$

$$1 \text{ erg} = 10^{-7} \text{ joule}$$

$$1 \text{ eV} = 1.602 \times 10^{-19} \text{ joule}$$

## تذليل (٢)

### APPENDIX 2

#### الأشعة وحيدة الموجة Monochromatic radiation

تستخدم الأشعة المميزة كأشعة وحيدة الموجة في تجارب الحيود حيث إنها بجانب كونها وحيدة الموجة فهي أيضاً مرتفعة (كبيرة) الشدة وهي بخلاف الأشعة البيضاء white radiation هي أشعة غير مستقطبة وأحد الخواص النافعة للأشعة المميزة هي أن النسبة بين شدة الأشعة  $k_{\alpha_1}$  ،  $k_{\alpha_2}$  هي حوالي 1:2:1 وهذه العلاقة تستخدم في حساب طول الموجة الموزونة (weighted) لأشعة  $\alpha$  وذلك عندما يكون من الصعب الفصل بين الخطوط  $k_{\alpha_1}$  و  $k_{\alpha_2}$ .

ويكون طول الموجة المتوسط يعطى بالمعادلة :

$$\lambda_{(k_\alpha)} = \left[ 2\lambda_{(k_{\alpha_1})} + \lambda_{(k_{\alpha_2})} \right] / 3$$

وخطوط الأشعة السينية المميزة للنحاس والموليبيدينوم هي فقط التي تكون شدتها كافية للاستخدام في تجارب الحيود من البلورات؛ لذلك فإن استخدام المصادر التقليدية للأشعة السينية يكون محدوداً بقيم معينة لأطوال الأمواج ولكن الأشعة السينية مثلها مثل كل الأشعة الكهرومغناطيسية يمكن أيضاً أن تولد بواسطة مصادر تسمى وسائل الإشعاع السينكروتروني Synchrotron Radiation وفي هذه الأجهزة تعجل الإلكترونات أو البوزيترونات بسرعات في المدى النسبي relativistic على امتداد مدارات لها أنصاف أقطار طويلة تصل إلى عدة أمتار أو عدة مئات من الأمتار والأشعة السينية المولدة بهذه الطريقة تكون أفضل من تلك المولدة بالمصادر التقليدية فهي لا تعاني من التحديد بقيم معينة لأطوال الأمواج.

كما أن أهم خواص الإشعاع السينكروتروني هو الشدة العالية وقوه التفريغ العلوي higher resolution؛ ولذلك تسمح بأن تكون عينات البلورات الأحادية المستخدمة في حدود  $\mu m^3$ .

## (٢) تذليل

## APPENDIX 3

## جهاز توازي الأشعة Collimator

يقوم هذا الجهاز بتحديد شعاع ضيق أسطواني من الأشعة السينية بحيث يكون متوازياً بقدر الإمكان، ويوضح الشكل مثل هذا الجهاز فهو يتكون من أسطوانة لها فتحتان تحددان الشعاع وفتحة ثالثة لا تؤثر على حجم الشعاع المحدد بالفتحتين الأخريين ولكنها تلاشى الأشعة المشتتة بواسطة الفتحات المحددة للشعاع.

هذه الفتحات تكون عادة مستديرة مع أنه يمكن استخدام الفتحات المستطيلة (slits) وعندئذ يكون الشعاع مستطيل أو مربع الشكل، ومثل هذه الأجهزة تستخدم عادة مع مرشحات للأشعة وهي لا تعطينا أشعة متوازية تماماً ولكنها تعطينا أشعه إما متفرقة أو متجمعة كما في الشكل بجانب الأشعة المتوازية وتكون النهاية العظمى لزاوية التفريق  $\gamma$  يمكن حسابها كالتالي:

$$\tan \frac{\gamma}{2} = \frac{d/2}{l/2} = d/l$$

وحيث إنها تكون زاوية صغيرة جداً فإن :

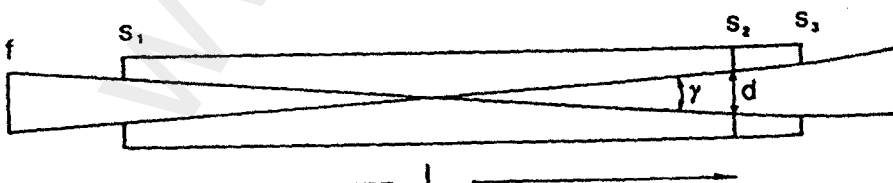
$$\tan \frac{\gamma}{2} = \sin \frac{\gamma}{2} = \frac{\gamma}{2} = d/l$$

$$\therefore \gamma = 2 \left( \frac{d}{l} \right)$$

radians

بالتعويض عن قيم  $d, l$  بقيم معقولة 0.5 mm ، 50 مثلاً نحصل على:

$$\gamma = 2 \times \frac{0.5}{50} = 2 \times 10^{-2} \text{ radians}$$



## تذليل (٤)

### APPENDIX 4

#### تعين إحداثيات ميل للنظام ثلاثي الميل Indexing of triclinic substances

تفسير شكل الحيدول للمواد ذات النظام ثلاثي الميل يتطلب تعين عدد ستة ثوابت للوحدة البنائية؛ ولهذا ييدو ذلك في غاية الصعوبة إلا أنه يوجد عامل يجعل هذه المهمة أبسط من نظام المحاور المتعامدة orthorhombic system؛ ذلك لأنه في حالة النظام الأخير يكون المطلوب تعين ثلاثة محاور معينة إلا أنه في حالة النظام ثلاثي الميل تكون هذه المحاور لدرجة كبيرة عشوائية arbitrary، وبذلك تكون هناك فرصه أكبر لمعرفة أحد المجموعات الممكنة possible set وهذا هو أساس الطريقة التي وضعها إيتو Ito سنة ١٩٤٩ فقد اقترح اختيار ثلاثة خطوط تكون قيمة زوايا براج لها صغيرة مثل  $100, 010, 001$  ثم القيام بتعيين إحداثيات ميل الأزواج من الخطوط مثل  $110, 1\bar{1}0, \bar{1}\bar{1}0$  بدلالة الثلاثة انعكاسات الأولى ويستخدم الخطوط الثلاثة وعدد ثلاثة مجموعات من الأزواج يمكننا إيجاد الأبعاد الست للشبكة البلورية وبذلك يمكن تعين إحداثيات ميل لكل الخطوط في شكل الحيدول.

هذا، وقد اقترح إيتو أنه يمكن معاملة أي شكل للحيدول من مسحوق بهذه الطريقة وأن أي تماثل أكبر (أعلى) من النظام ثلاثي الميل سيظهر في العلاقات بين أبعاد الوحدة البنائية التي ستعين، وقد وصف إيتو طريقته على أنها تعتمد على

$$\text{المعادلة: } \sin^2 \theta_{hkl} = h^2 A + k^2 B + l^2 C + klD + lhE + hkF$$

حيث تكون  $A, B, C, D, E, F$  هي ستة ثوابت تعتمد على إحداثيات الوحدة البنائية الست.

فإذا اختير خطان على أنهما  $100, 010$  فإن الخطين اللذين لهما إحداثيات  $1\bar{1}0, \bar{1}\bar{1}0$  لا بد أن تكون قيم  $\sin^2 \theta$  لهما بحيث يكون متوسطهما مساويا لمجموع  $\sin^2 \theta_{100} + \sin^2 \theta_{010}$  وهذا هو الشرط الأساسي لتطبيق هذه الطريقة والخطوات يمكن شرحها في المثال العملي التالي :

الجدول التالي يحتوى على الخمسة عشر خطأ الأولى لعينة على شكل مسحوق والقيم الموضحة هي قيم  $\theta \sin^2$  لهذه الخطوط :

a	0.0100	f	0.0310	n	0.0425
b	0.0165	g	0.0338	o	0.0437
c	0.0195	i	0.0384	q	0.0469
d	0.0223	j	0.0399	q	0.0500
e	0.0262	m	0.0420	r	0.0606

نبدأ باختيار  $a$  ،  $b$  على أنها 100 ، 010 ، وبذلك يكون مجموع  $\sin^2 \theta_{100} + \sin^2 \theta_{010}$  هو 0.0265 ويجب أن نبحث بعد ذلك عن قيم أخرى للنقدر  $\theta$   $\sin^2 \theta$  لها المجموع 0.0530 ونجد أنه يوجد زوجان آخران هما  $c, g$  وكذلك  $d, f$  ، (0.0533) .

وحيث إن الطريقة تبدأ بحساب الخطوط  $a$  ،  $b$  ،  $c$  ،  $g$  فسنفترض أن الخط  $d$  هو 1 0 0 1 ، وبعد ذلك يجب أن نبحث عن أزواج من الخطوط لها المجموع  $= 0.646$   $(0.0165+0.0223) = 0.0776$  وكذلك  $2(0.0100+0.0223) = 0.0779$  وأزواج الخطوط التي تحقق هذا الشرط هي  $e$  ،  $i$  ،  $f$  ،  $p$  ، وكذلك  $0.0646$  ، هكذا.

وهكذا إذا كانت هذه النتائج صحيحة فإننا سنكون قد عرفنا إحداثيات ميللر للخطوط التسعة الآتية:  $p, i, g, f, e, d, c, b, a$ ، وكذلك أمكننا تعين قيم الثوابت الستة كالتالي:

$$\begin{aligned} A &= 0.0100 & D &= \frac{1}{2} (\sin^2 \theta_p - \sin^2 \theta_f) &= 0.0080 \\ B &= 0.0165 & E &= \frac{1}{2} (\sin^2 \theta_i - \sin^2 \theta_e) &= 0.0061 \\ C &= 0.0223 & F &= \frac{1}{2} (\sin^2 \theta_g - \sin^2 \theta_c) &= 0.0072 \end{aligned}$$

و هذه القيمة يجب أن تختبر على الخطوط الباقيه والإحداثيات التالية أمكن الوصول إليها بطريقه التجربة والخطأ (الخط ١٠١ أعطيت له قيمة للمقدار  $\sin^2 \theta$  أفال، من تلك المعطاه للخط ١٠١، وذلك لأن الزاوية  $\angle$  زاوية منفرجه).

الخط	الإحداثيات / $h k l$	قيمة $\sin^2 \theta$	المحسوبة	المشاهدة عملياً
a	1 0 0	0.0100	0.0100	0.0100
b	0 1 0	0.0165	0.0165	0.0165
c	1 1 0	0.0193	0.0193	0.0195
d	0 0 1	0.0223	0.0223	0.0223
e	1 0 1	0.0262	0.0262	0.0262
f	0 1 1	0.0308	0.0308	0.0310
g	1 1 0	0.0337	0.0337	0.0338
i	1 0 1	0.0384	0.0384	0.0384
j	{ 1 1 1 2 0 0 }	{ 0.0397 0.0400 }		0.0399
m	1 1 1	0.0419	0.0419	0.0420
n	2 1 0	0.0421	0.0421	0.0425
o	1 1 1	0.0435	0.0435	0.0437
p	0 1 1	0.0468	0.0468	0.0469
q	2 0 1	0.0501	0.0501	0.0500
r	2 1 1	0.0602	0.0602	0.0606

وهذا الجدول يعطينا القيم الآتية لأبعاد الوحدة البنائية ..

$$a = 8.10, b = 6.33, c = 5.34 \text{ \AA} ;$$

$$\alpha = 99^\circ 17', \beta = 98^\circ 57', \gamma = 104^\circ 18'$$

وهذه المادة هي مادة سداسى ميثيل البنتين حيث تكون أبعاد الوحدة البنائية

$$a = 8.92, b = 8.86, c = 5.30 \text{ \AA} ; \quad \text{المعنادة:}$$

$$\alpha = 44^\circ 27', \beta = 116^\circ 43', \gamma = 119^\circ 34'$$

والعلاقة بين المحاور الأخيرة والمحاور السابقة تعطى بالمصفوفة :

$$\begin{vmatrix} 1 & 0 & 1 \\ 0 & 1 & \bar{1} \\ 0 & 0 & \bar{1} \end{vmatrix}$$

## تذليل (٥)

### APPENDIX 5

#### مراكز الألوان Colour Centers

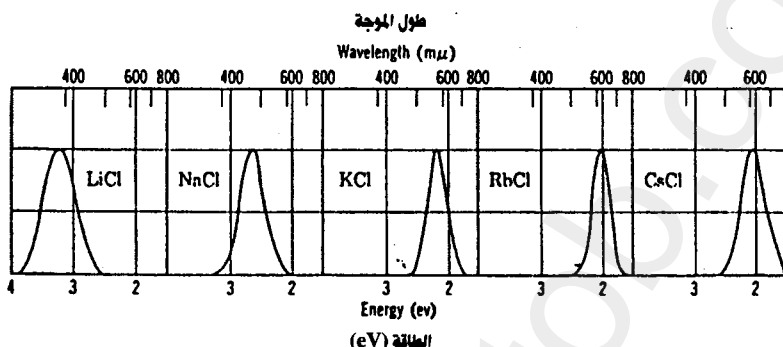
تكون بلورات الالهاليدات القلوية شفافة خلال المنطقة المرئية من الطيف حتى عند درجات الحرارة العالية حيث يزيد تركيز الفراغات في الشبكة البلورية التي تكون في حالة اتزان، وفي الاستطاعة إكساب البلورات اللون بطرق مختلفة فمن الممكن أن تكتسب اللون بإدخال بعض الشوائب الكيميائية المناسبة مثل أيونات العناصر الانتقالية transition elements أي الأيونات التي تكون أملأها ملونة طبيعياً فربما تكتسب اللون لبلورات الالهاليدات القلوية.

وقد كان معروفاً أيضاً أنه يمكن إكساب اللون للبلورات بإدخال زيادة من الأيونات الموجبة الشحنة (الكاتيونات cations) وذلك عن طريق التسخين للبلورات في بخار من الأيونات القلوية ثم تبریدها فجائياً فعندما تسخن بلورات كلوريد الصوديوم في وجود بخار من الصوديوم فإن البلورات تكتسب لوناً أصفر، كذلك بلورات كلوريد البوتاسيوم التي تتعرض للتسخين في وجود بخار البوتاسيوم تكتسب لوناً أحمر أرجوانياً (magenta) وفي الإمكان أيضاً إكساب البلورات ألواناً بطرق أخرى مثل تعريضها للأشعة السينية أو أشعة جاماً أو قذفها بالإلكترونات أو النيوترونات، كذلك باستخدام التحليل الكهربائي electrolysis.

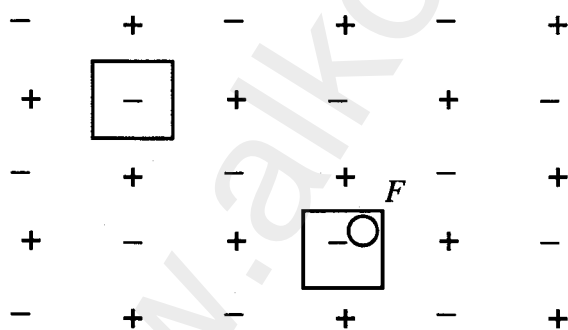
وعندما تكون البلورات ملونة توصف بأنها تحتوى على مراكز ألوان.

فمراكز الألوان إذن ما هي إلا عيوب في الشبكة البلورية تتتص الصورة وأبسط أنواع مراكز الألوان هي ما يسمى بـ مراكز F (F center) حيث إن F مشتقة من الكلمة Farbe وهي تعنى اللون باللغة الألمانية ومركزاً F تحدث غالباً بالتسخين في وجود أبخرة قلوية أو بالعرض لأشعة X (يوضح الشكل (١) أشرطة الامتصاص المصاحبة لمراكز F band) في بعض الالهاليدات القلوية) كما يوضح الجدول طاقة نطاقات الامتصاص F لبعض الالهاليدات القلوية.

Li Cl	3.1	Cs cl	2.0	K Br	2.0
Na Cl	2.7	Li Br	2.7	Li F	5.0
K Cl	2.2	Na Br	2.0	Na F	3.6
Rb Cl	2.0	Rb Br	1.8	K F	2.7



شكل (١)



شكل (٢)

### F centers F

حيث إنه من المعتقد أن الذرات الزائدة في بلورات الالبيدات القلوية تتمرّكز في الواقع الطبيعية للأيونات القلوية، فإن ذلك لابد أن يؤدي إلى نشأة أماكن خالية في موقع الأيونات السالبة.

ووجود مكان خال في شبيكة دورية يكون له تأثير كهروستاتيكي مماثل لوجود شحنة موجبة، الأمر الذي يجعل الإلكترون الذي يتحرك حول مكان خال لشحنة سالبة يشبه كميا ذرة أيدروجين.

ونحن نتعرّف على مركز F بالكترون منجذب لمكان خال لأيون سالب (شكل ٢) والإلكترون يمكن أن يكون مصدره هو تأين ذرة قلوية عند دخولها إلى الشبكة، وهذا النموذج وضعه بوير Boer ويوجد عدد من الحقائق تؤيد هذا التعريف بالماركز F من بينها :

أ - أن نطاق الامتصاص F مميز للبلورة وليس للمعدن الموجود في الأبخرة، أي أن نطاق الامتصاص (شرط الامتصاص) في كلوريد البوتاسيوم هو نفس الشرط إذا كانت البلورة تعرضت للتسخين في بخار البوتاسيوم أو الصوديوم.

ب - بإجراء تحليل كيماوي وجد أن البلورات التي اكتسبت ألوانا تحتوى على ذرات زائدة من ذرات المعدن القلوية، وهذه الزيادة تتراوح عادة بين  $10^{16}$  إلى  $10^{19}$  لكل سم<sup>٣</sup>. وقد وجد أيضاً أن قيمة التكامل لشرط الامتصاص F تكون كمياً مساوية لتلك القيمة المتوقعة نظرياً على أساس معرفة الكمية الزائدة من المعدن القلوى.

ج - أن البلورات الملونة تكون أقل كثافة من تلك غير الملونة، وهذا يتفق مع التصور البدائي أن إدخال الأماكن الخالية يجب أن يقلل من الكثافة وهذا التوافق مقبول ولكنه ليس حاسماً تماماً conclusive

د - أن البلورات التي تحتوى على مراكز F يمكن أن تفقد لونها بتعرضها لضوء يمتص في الشرائط F والتعريض لأى جزء في الشرط يمحو كل الشرط وهو يبرهن أن مراكز F في أى بلورة تكون كلها متشابهة.

هـ - القابلية المغناطيسية الموجبة لمراكز F تكون نتيجة لمساهمة الحركة المغزلية لإلكترون واحد.

## تذيل (٦)

### APPENDIX 6

#### الإشعاع السينكروترونی

#### Synchrotron Radiation

يستخدم الإشعاع السينكروترونی على نطاق واسع في علم البلورات الحديث، وفيما يلى نظرة عامة مختصرة عن هذه الأشعة وخصائصها.

إذا تحركت دقية مشحونة (إلكترون أو بوزيترون أو بروتون) بسرعة  $v$  في مجال مغناطيسي له مجال مغناطيسي تأثيري  $B$  في الاتجاه العمودي على المتجه  $B$  عندئذ تؤثر قوة على هذه الدقيقة قيمتها  $F = \frac{q}{c} (v \times B)$ .

حيث  $q$  هي الشحنة للدقيقة بوحدات جاوس ،  $c$  سرعة الضوء، ويكون اتجاه القوة  $F$  عموديا على كل من  $B$  ،  $v$  وهذه القوة تولد عجلة جذب مركزية تجعل الدقيقة تتحرك على امتداد المحيط في مستوى عمودي على المتجه  $B$ .

وبحسب قواعد الكهرومغناطيسية فإن الشحنة التي تتحرك على محيط يجب أن تشع طاقة كهرومغناطيسية على حساب طاقة الحركة المخزنة؛ ونتيجة لذلك يكون نصف قطر المسار (المدار) Trajectory هو :

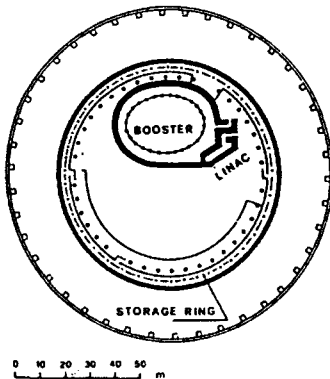
$$r = \frac{M v c}{q B}$$

حيث  $M$  هي كتلة الدقيقة.

وبذلك نقل السرعة  $v$  للدقيقة، وتصبح حركة الدقيقة في المجال المغناطيسي تكون حلزوناً مستويًا يتقارب ليتجمع عند مركز المحيط.

وإذا زوّدت الدقيقة المشحونة بطاقة أثناء حركتها في المجال المغناطيسي، فإنه يمكن لها أن تُعوَّض طاقة حركتها المفقودة في الإشعاع الكهرومغناطيسى، وذلك يجعل الدقيقة مجبرة على أن تبقى في مسار (trajectory) دائري، وفي مثل هذه الحالة تكون الدقيقة المشحونة التي تُعجل باستمرار بعجلة في المدى النسبي (relativistic) التي تتحرك في مجال مغناطيسي منتظم دائمًا مصدرًا لأشعة

كهرومغناطيسية تسمى أشعة سينكروترونية، والمعنى العريض لهذه التسمية سينكروترون هي المعجل الرئيسي الدائري للدقائق المشحونة سواء الخفيف منها مثل الإلكترونات والبوزيترونات أو الثقيل منها مثل البروتونات والأيونات (شكل ١).



شكل (١)

شكل توضيحي لطريقة تعجيل الإلكترونات في المعجل linac (lineal accelerator) ثم بعده ذلك في المضخم Booster (لاحظ مقياس الرسم)

وطاقة الأشعة الكهرومغناطيسية التي تشع من دقيقة مشحونة متحركة في مدار دائري تعطى بالمعادلة:

$$p = \frac{2 e^2 c E^4}{3 R^2 (m_0 c^2)^4} = \frac{2 e^2 c \gamma^4}{3 R^2}$$

حيث  $p$  هي الطاقة المشعة في وحدة الزمن،  $e$  وهي شحنة الدقيقة،  $c$  سرعة الضوء،  $E$  هي طاقة الدقيقة،  $m_0$  هي كتلتها في حالة السكون،  $R$  نصف قطر انتهاء المسار (المدار)، وهذه المعادلة توضح السبب في أن الطاقة المشعة من الدقائق الثقيلة مثل البروتونات تكون منخفضة جداً والكمية  $\gamma$  وهي النسبة بين الطاقة الكلية والطاقة الساكنة تكون ذات أهمية؛ لأن العلاقة بينها وبين زاوية مخروط الأشعة تكون بالتقريب.

$$\Delta \Psi = 1/\gamma$$

حيث  $\Delta \Psi$  هي زاوية الإشعاع بالتقدير الدائري.  
و تكون الطاقة الكلية المنبعثة بواسطة الحلقة هي حاصل ضرب الطاقة المنبعثة من

دقيقة أثناء دورة واحدة في عدد الدقائق ومقسوما على زمن الدورة الكاملة ويمكن إثبات أن الطاقة الكلية هي:

$$P_{\text{tot}} = 26.6 E^3 B_i$$

حيث تفاص طاقة الجزيئات بوحدات GeV والمجال المغناطيسي  $B$  بوحدات التسلا ، والتيار  $i$  بالأمبير والطاقة تعطى بوحدات kW ، وبذلك نرى أن الطاقة تصبح متناسبة طرديا مع التيار في حلقة التخزين storage ring والخاصية الهامة للإشعاعات المولدة بواسطة المغناطيسيات المنحنية هو أن التوزيع الطيفي يكون متسع حيث يمكن توصيفه كمياب دلالة الفيصل (Flux) الطيفي  $N$  وهو عدد الفوتونات التي تشع في وحدة الزمن في عرض شريطي قيمته  $\Delta\lambda/\lambda$  في زاوية  $d\theta$  ويعطى بالمعادلة :

$$N(hv) = 1.256 \times 10^7 \gamma G_i(y) \text{ photons s}^{-1} \text{m rad}^{-1} \text{ mA}^{-1}$$

(0.1% band width)

حيث يكون المعامل  $(y)$  هو دالة تعتمد على الطاقة ويعرف التغير  $y$  كالتالي :

$$y = h v / E_c$$

و تكون  $E_c$  هي الطاقة الحرجة المصاحبة لمجال مغناطيسي  $B$  الذي يعطى بالمعادلة:

$$E_c = 2.22 E^3 / R$$

حيث تفاص  $E$  بوحدات GeV ،  $R$  (نصف قطر الانحناء المغناطيسي) بالتر و يمكن كتابة المعادلة السابقة كالتالي :

$$E_c = 0.665 E^2 B$$

حيث تفاص  $B$  بوحدات التسلا .Tesla والمتغير الشائع الاستعمال المعتمد على الطاقة الحرجة للفوتون هي طول الموجة الخرج  $\lambda_c$  شكل (٢).

$$E_c = h v_c = h c / \lambda_c = 12.4 / \lambda_c$$

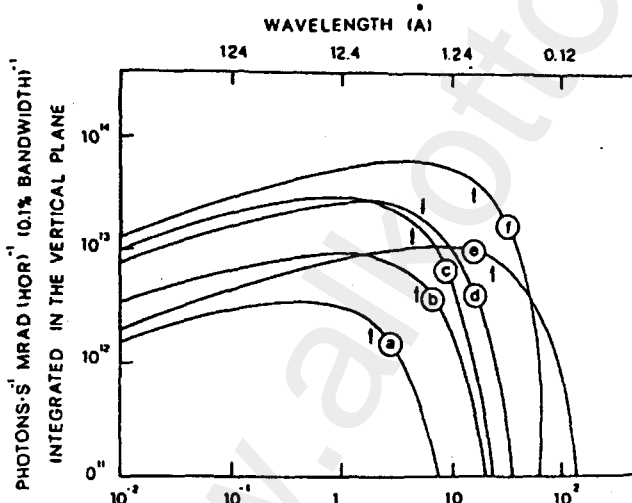
أى أن :

حيث تفاصيل  $E_c$  بوحدات keV ،  $\lambda_c$  بالأنجستروم Å .

كما أنه من أهم خواص الإشعاع السينكروترونی الشدة العالية وشكل (٣) يوضح العلاقة بين شدة الأشعة المولدة بواسطة سينكروترون إلكترونی وطول موجتها ويتبين كيف أن الأشعة السينكروترونیة استثنائیاً لها طيف متصل، وشدة الأشعة بطاقة قدرها 5 GeV تفوق الأشعة المولدة بالطريقة التقليدية بمقدار خمسة أو ستة أضعاف وتغير الشدة في المدى 0.5-2.5 Å يكون متواضع .

والخاصية الهامة الأخرى هو أن هذه الأشعة تكون مستقطبة لدرجة كبيرة فهى مستقطبة كلياً في مستوى المدار ومستقطبة إلى حد كبير في الاتجاه العمودي ويوضح شكل (٤) التوزيع الزاوي لشدة الأشعة السينكروترونیة مع طول الموجة .

طول الموجة Å

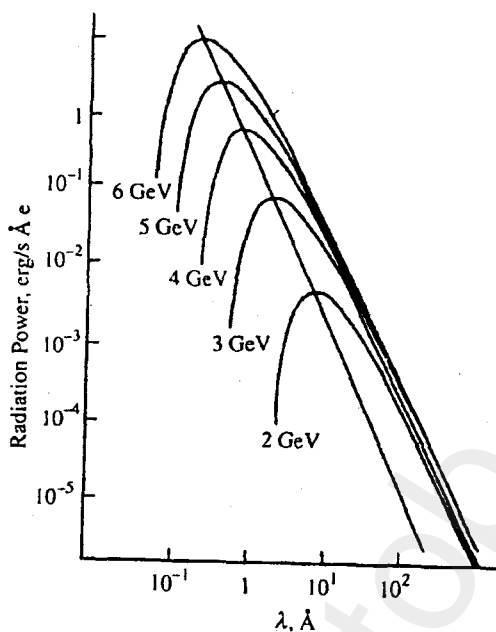


طاقة الفوتون بوحدات (KeV)

طول الموجة الخرج موضح بأسمائهم

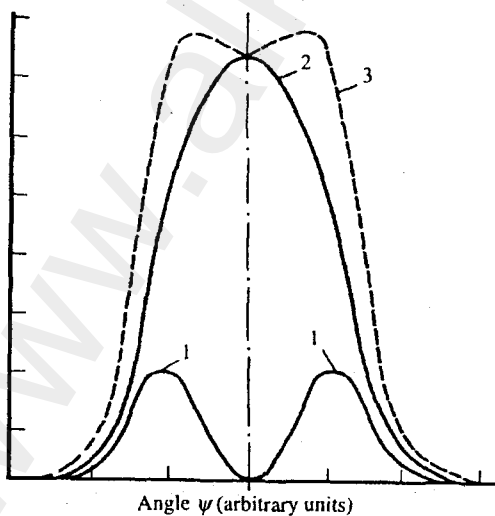
شكل (٤)

التوزيع الطيفي لعدة حلقات تغذى في لاجهرة مختلفة بالعالم



شكل (٣)

اعتماد طاقة الاشعة السينكرونية على طول الموجة



شكل (٤)

التوزيع الزاوي لأشعة سينكرونية في الاتجاه العمودي 1 والاتجاه الموازي 2 حيث يكون 3 مجموعهما

## تذليل (٧)

### APPENDIX 7

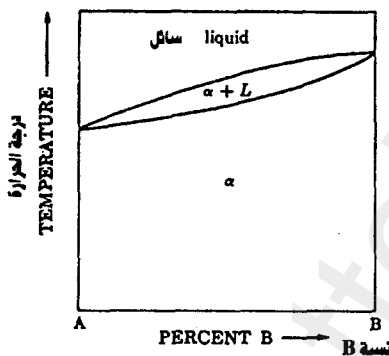
#### تعيین الشکل البیانی الطوری

#### Phase-diagram determination

إن أي سبيكة ما هي إلا اتحاد بين اثنين أو أكثر من المعادن أو بين مادة معدنية وأخرى غير معدنية وهي ربما تكون من صورة وحيدة أو من خليط من عدة صور وهذه الصور المختلفة ربما تكون من أنواع متعددة (مختلفة) معتمدة فقط على تكوين السبيكة ودرجة الحرارة بافتراض أن السبيكة تكون في حالة اتزان equilibrium والتغيرات في تكوين السبيكة يمكن توضيحها بواسطة شكل بياني طوري وهو أيضا يسمى شكل اتزان بياني equilibrium diaqram وكثير من الأشكال البیانیة الطوریة أمكن الوصول إليها بطريقتين هما طريقة التحليل الحراري والفحص الميكروسكوبی، وطريقة حيود الأشعة السينية تساعد هذه الطرق القديمة بشكل كبير وتعطينا الطريقة الوحيدة للتعرف على التركيب البلوري للصور (الأطوار) المختلفة.

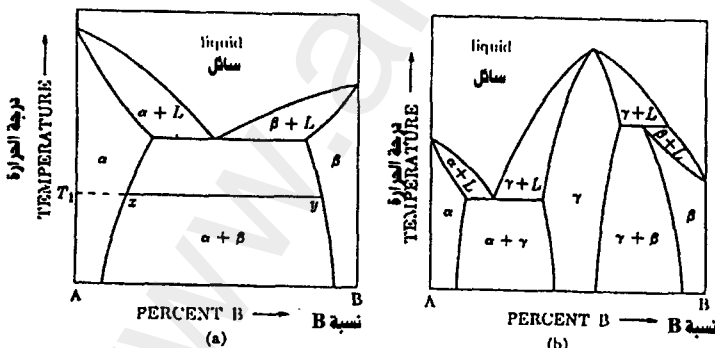
ومفتاح التعرف على شكل الحيود للسبائك يرتكز على حقيقة أن كل طور يعطى شكل الحيود الخاص به غير معتمدا على وجود أو غياب الصور الأخرى (الأطوار الأخرى). الآن نفترض أن معدنين A، B (على سبيل المثال) يمكن أن يذاب أحدهما في الآخر كلياً. وهمما في الحالة الصلبة (شكل ١) والطور الصلب  $\alpha$  المسماى محلول الصلب المستمر هو من النوع الذى يمكن استبداله، فهو يختلف فى تكوينه وليس فى تركيبة البلوري من المعدن النقي A إلى المعدن النقي B الذى يكون بالضرورة له نفس التركيب البلوري وطول الوحدة البنائية للمحلول الصلب  $\alpha$  هو الآخر يختلف باطراد من ذلك الخاص بالمعدن النقي A إلى المعدن النقي B، وحيث إن كل السبائك فى منظومة (system) من هذا النوع تكون مكونة من نفس الطور المفرد فإن شكل الحيود لها ييدو متشابه ويكون التأثير الوحيد للتغيير فى المكون (composition) هو عبارة عن إزاحة الأماكن خطوط الحيود متوافقة مع التغير فى أبعاد الوحدة البنائية .

والأكثر شيوعاً في الحدوث هو أن المعدين A,B يكونان فقط متوسطي الذوبان في الحالة الصلبة (partially soluble) والإضافة الأولى للمعدن B إلى المعدن A تكون محلول صلب في الشيكة A التي ربما تتشتّر أو تمتد (expand) أو تنكمش كنتيجة لذلك اعتماداً على الأحجام النسبية للذرات A,B ونوع محلول الصلب المتكون (هل هو من النوع الإلحادي substitutional أو من النوع الذي يأخذ أوضاع زائدة بين الذرات interstitial) شكل (٢).



شكل (١)

الشكل البياني الطوري لمعدنين يوضح ذوبان صلب تام



شكل (٢)

شكل طوري يوضح

(أ) ذوبان صلب غير تام

(ب) ذوبان صلب غير تام بجانب تكوين طور متوازن

وفي هذه الحالة تدعى المحاليل الصلبة  $\alpha$  ،  $\beta$  بالمحاليل الصلبة الأولية .

كما يمكن أن يكون الطور الثاني الذى يظهر ليس له علاقة بالمحاليل الصلبة الغنية بالمعدن B كما هو واضح بالشكل (٢) وفي هذه الحالة يكون تأثير حالة فوق التشبع للمعدن B بالمعدن  $\alpha$  هو ترسيب طور يرمز له بالرمز  $\gamma$  وهذا الطور يسمى محلول الصلب المتوسط intermediate أو الطور المتوسط وهو عادة يكون له تركيب بللوري مختلف تماماً عن ذلك الخاص بكل من  $\alpha$  أو  $\beta$  .

وتعين الشكل البياني الطورى باستخدام الأشعة السينية يبدأ عادة بتعيين الاتزان عند درجة حرارة الغرفة وتكون الخطوة الأولى هي إعداد مجموعة من السباتك وذلك عن طريق عملية الصهر والتجميد وبعد ذلك تحضر العينة على شكل مسحوق بعملية الطحن، ثم تخمر العينات حتى تصبح خالية من الإجهادات وتكون صالحة لفحصها بالأشعة السينية، بعد ذلك يمكن فحص العينة في درجات حرارة أعلى بوضعها في أنابيب من السيليكا واستخدام كاميرات تعمل في درجات الحرارة العالية أو جهاز حيود الأشعة السينية .

### **المحاليل الصلبة : Solid solutions**

نظراً لأن ذوبان المواد الصلبة في بعضها البعض بدرجة كبيرة أو صغيرة هو شيء معتاد بين المعادن فإننا سترى هذا الموضوع لندرس كيف يمكن التفرقة بين الأنواع المختلفة للمحاليل الصلبة عملياً وبصرف النظر عن مكان المحاليل الصلبة في الرسم البياني للأطوار phase-diagram فـأى من هذه المحاليل يمكن أن يصنف على أنه أحد الأنواع الآتية فقط على أساس تركيبها البللوري .

١ - بيرجي (وأعى بين فرجتين) interstitial

٢ - استبدالى أو استعراضى substitutional

فال محلول الصلب البيرجي للمعدن B في A يتوقع حدوثه فقط عندما تكون الذرة B صغيرة بالمقارنة بالذرة A . فيمكنها الدخول في المسافات بينية لشبكة المعدن A بدون إحداث تشوه كبير، وتبعد لذلك فإن المحاليل الصلبة من هذا النوع ذات الأهمية هي فقط التي تتكون من أحد المعادن وأحد العناصر مثل الكربون أو

التتروجين أو الأيدروجين أو البوoron وكل منها يبلغ حجم ذراته أقل من 2 أنجشترون.

فإضافة من المعدن B إلى المعدن A في هذا النوع يكون دائماً مصحوباً بزيادة في حجم الوحدة البنائية. إذا كان المعدن A مكعب الشكل فإن طول الوحدة البنائية a سيزداد وإذا كان a غير مكعب الشكل فإن أحد محاور الوحدة البنائية يمكن أن يزداد بينما يقل المحور الآخر طالما أن هذا التغيير يؤدي إلى زيادة حجم الوحدة (شكل ٣) وفي مثل هذا النوع من المحاليل الصلبة تكون قيمة الكثافة متساوية..

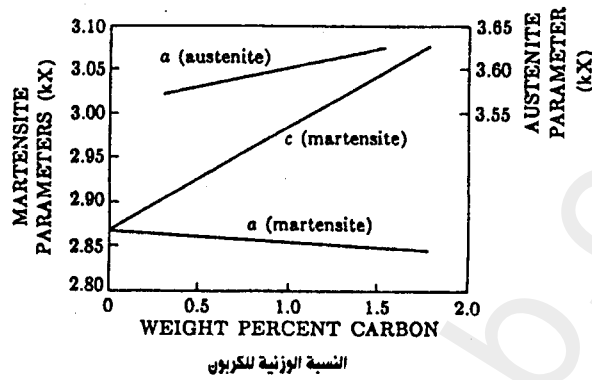
$$\rho = \frac{1.66042 \sum A}{V} \quad (1)$$

حيث A هي :

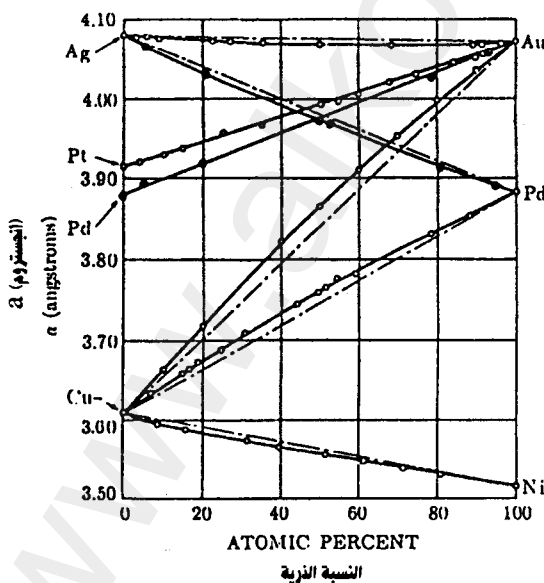
$$\sum A = n_s A_s + n_i A_i \quad (2)$$

حيث  $n_s$  ،  $n_i$  هى أعداد ذرات المادة المذيبة والمادة المذابة بالترتيب فى الوحدة البنائية،  $A_s$  ،  $A_i$  هما الوزن الذرى للمادة المذيبة والمذابة بالترتيب، ويجب ملاحظة أن قيمة  $n_i$  تكون أعداد صحيحة، وهى غير معتمدة على تركيز الذرات المذابة وأن  $n_i$  هى بطبيعتها نسبة صغيرة من الواحد الصحيح، وتكون محلول صلب عشوائى بطريقة الاستبدال من A,B ربما يصاحبها زيادة أو نقص فى حجم الوحدة البنائية، وذلك يتوقف على ما إذا كانت الذرة B تكبر فى الحجم أو تصغر عن الذرة A. ففى محلول الصلب المستمر continuous solid solution للأملاح الأيونية مثل  $KCl - KBr$  تكون أبعاد الشبكة البلورية للمحلول متناسبة مع نسبة ذرات المذاب الموجود. وهذه العلاقة المسماة قانون فيجارد Vegard's law لا تتبع بدقة فى حالة المحاليل الصلبة المعدنية ، وفي الحقيقة لا يوجد سبب يجعلها يجب أن تكون كذلك.

شكل (٤) يوضح كلاً من الابتعاد (deviation) عن الموجب والسلب من قانون فيجارد بين المحاليل الصلبة من المعادن المكعبة، وقد وجدت انحرافات deviations في المحاليل السداسية متلاصقة الرص أكبر من سابقتها.



شكل (٣)



شكل (٤)

(بعد الوحدة البنائية لحاليل صلبة متصلة مقارنة بالخط التابع لقانون Vegard (---))

وفي الحالات الصلبة المتوسطة والظرفية ربما تغير أبعاد الوحدة البنائية خطياً مع النسبة الذرية للمادة المذابة solute وعندما يكون التغيير خطياً يكون التغيير الذي نحصل عليه بعد الخط المستقيم إلى ١٠٠٪ مادة مذابة لا يكون في العادة خاصاً بحجم الذرة الذي نحصل عليه من التغيير الخاص بالمادة المذابة النقية حتى لو أخذنا في الاعتبار احتمال التغيير الممكن حدوثه في عدد التوافق coordination number.

وتكون كثافة محلول الصلب ذو الاحلال العشوائي random substitutional وتكون كثافة محلول الصلب ذو الاحلال العشوائي random substitutional معطاة بالمعادلة (1) السابقة باعتبار أن:

$$\sum A = n_{\text{solvent}} A_{\text{solvent}} + n_{\text{solute}} A_{\text{solute}} \quad (3)$$

حيث  $n$  هو عدد الذرات في الوحدة البنائية ،  $A$  هو الوزن الذري ولكن الكمية  $(n_{\text{solvent}} + n_{\text{solute}})$  هنا هي كمية (عدد صحيح) ثابتة وهو العدد الكلي للذرات في الوحدة البنائية .

ويمكن الوصول لمعرفة إذا كان السائل يفرجي أو استبدالي بتعيين ما إذا كانت الكثافة المحسوبة من قياسات حيود والأشعة السينية حسب المعادلة (2) أو حسب المعادلة (3) هي التي تتفق مع الكثافة المقاسة عملياً.



## تذيل (٨)

### APPENDIX 8

كيفية تعين الإشارات للانعكاسات لأحد المركبات التي تحتوى على مركز تمايز بالطريقة المباشرة . Direct method

Jamine المادة: چامین

المجموعة الفراغية:  $P \bar{I}$

موقع التكافؤ:  $\bar{x}, \bar{y}, \bar{z} ; x, y, z$

$$F(h k \ell) = F(\bar{h} \bar{k} \bar{\ell}) \neq F(\bar{h} k \ell)$$

$$\neq F(h \bar{k} \ell) \neq F(h k \bar{\ell})$$

تعين الإشارات الالزمه لتحديد المركز:

1  $\bar{1}$  7 +

2 1 4 +

3 5 2 +

بعض الرموز المفترضة لبعض الانعكاسات ..

0 2 10	a	0 1 9	c	0 2	g
--------	---	-------	---	-----	---

3 6 1	b	1 $\bar{9}$ 2	d
-------	---	---------------	---

تطبيق المعادلة (8-35)

$S(F_{hkl})$	$h \ k \ l$	$S(F_{h_2k_2l_2})$	$h_2k_2l_2$	$S(F_{h_1k_1l_1})$	$h_1k_1l_1$	نوع
a	2 1 $\bar{6}$	a	0 $\bar{2}$ 10	+	2 1 4	(1)
+	1 2 11	+	$\bar{1}$ 1 7	+	$\bar{2}$ 1 4	(2)
+	1 4 $\bar{2}$	+	3 5 2	+	$\bar{2}$ 1 $\bar{4}$	(3)
+	4 4 $\bar{5}$	+	3 5 2	+	1 $\bar{1}$ $\bar{7}$	(4)
+	2 3 $\bar{9}$	+	1 4 $\bar{2}$	+	1 $\bar{1}$ $\bar{7}$	(5)
a	3 3 $\bar{8}$	a	0 $\bar{2}$ 10	+	3 5 2	(6)
a	3 3 $\bar{8}$	+	1 4 $\bar{2}$	a	2 1 $\bar{6}$	
a	1 2 $\bar{12}$	a	0 $\bar{2}$ 10	+	1 4 $\bar{2}$	(7)
a	1 1 3	a	0 2 10	+	1 $\bar{1}$ $\bar{7}$	(8)
a	1 1 3	a	$\bar{3}$ $\bar{3}$ 8	+	4 4 $\bar{5}$	
a	1 1 3	a	$\bar{1}$ 2 12	+	2 3 $\bar{9}$	
b	4 5 $\bar{6}$	+	$\bar{1}$ $\bar{1}$ $\bar{7}$	b	3 6 1	(9)
b	2 4 $\bar{10}$	b	4 5 6	+	$\bar{2}$ $\bar{1}$ $\bar{4}$	
b	2 4 10	+	$\bar{1}$ 2 $\bar{11}$	b	3 6 1	(10)
b	1 5 $\bar{3}$	+	$\bar{1}$ 1 7	b	2 4 $\bar{10}$	
b	1 5 $\bar{3}$	+	$\bar{2}$ $\bar{1}$ 4	b	3 6 1	(11)
c	3 6 11	+	3 5 2	c	0 1 9	(12)
c	2 0 $\bar{5}$	+	2 1 4	c	0 $\bar{1}$ $\bar{9}$	(13)
c	1 5 7	c	$\bar{2}$ 0 5	+	3 5 2	
c	1 5 7	+	1 4 $\bar{2}$	c	0 1 9	(14)
c	1 5 7	c	3 6 11	+	$\bar{2}$ $\bar{1}$ $\bar{4}$	
c	1 $\bar{2}$ $\bar{16}$	c	3 0 $\bar{5}$	+	$\bar{1}$ $\bar{2}$ $\bar{11}$	
c	1 $\bar{2}$ $\bar{16}$	+	4 4 $\bar{5}$	c	$\bar{3}$ $\bar{6}$ $\bar{11}$	(15)
c	1 $\bar{2}$ $\bar{16}$	+	2 3 $\bar{9}$	c	$\bar{1}$ $\bar{5}$ $\bar{7}$	

$S(F_{hkl})$	$h \ k \ l$	$S(F_{h_2k_2\ell_2})$	$h_2k_2\ell_2$	$S(F_{h_1k_1\ell_1})$	$h_1k_1\ell_1$	جواب
ac ac	1 0 $\bar{6}$ 1 0 $\bar{6}$	c c	1 $\bar{2}$ 16 0 1 9	a a	0 2 10 1 1 3	(16)
ac ac	1 1 10 1 1 10	+ c	2 1 4 $\bar{1}$ 2 16	ac a	$\bar{1}$ 0 6 2 $\bar{1}$ 6	(17)
ac ac ac	3 4 1 3 4 1 3 4 1	ac a ac	$\bar{1}$ 0 6 2 $\bar{1}$ 6 1 1 10	+ c +	4 4 $\bar{5}$ 1 5 7 2 3 $\bar{9}$	(18)
abc abc	3 5 0 3 5 0	ac b	$\bar{1}$ 0 6 2 4 $\bar{10}$	b ac	4 5 $\bar{6}$ 1 1 10	(19)
ac ac	2 4 $\bar{8}$ 2 4 $\bar{8}$	ac +	1 0 $\bar{6}$ 3 5 2	+ ac	$\bar{1}$ 4 $\bar{2}$ $\bar{1}$ 1 $\bar{10}$	(20)
ac ac ac	2 5 8 2 5 8 2 5 8	ac a +	$\bar{1}$ 1 10 $\bar{1}$ 1 3 $\bar{1}$ 1 7	+ c ac	1 4 $\bar{2}$ 3 6 11 3 4 1	(21)
ac ac ac ac	4 8 $\bar{1}$ 4 8 $\bar{1}$ 4 8 $\bar{1}$ 4 8 $\bar{1}$	+ ac a a	2 3 $\bar{9}$ 3 4 1 3 3 $\bar{8}$ 1 2 $\bar{12}$	ac + c c	2 5 8 1 4 $\bar{2}$ 1 5 7 3 6 11	(22)
bc bc	1 6 6 1 6 6	abc c	3 5 0 $\bar{2}$ 0 5	a b	$\bar{2}$ 1 6 3 6 1	(23)
b b b	1 0 $\bar{8}$ 1 0 $\bar{8}$ 1 0 $\bar{8}$	abc + +	3 5 0 $\bar{1}$ 4 2 $\bar{3}$ 5 $\bar{2}$	ac b b	$\bar{2}$ $\bar{5}$ $\bar{8}$ 2 4 $\bar{10}$ 4 5 $\bar{6}$	(24)
bd	3 $\bar{5}$ $\bar{8}$	b	2 4 $\bar{10}$	d	1 $\bar{9}$ 2	(25)
acd acd	0 10 8 0 10 8	abc ac	3 5 0 1 1 10	bd d	$\bar{3}$ 5 8 $\bar{1}$ 9 $\bar{2}$	(26)

$S(F_{hkl})$	$h \ k \ l$	$S(F_{h_2k_2l_2})$	$h_2k_2l_2$	$S(F_{h_1k_1l_1})$	$h_1k_1l_1$	محل
bd	4 $\bar{3}$ 3	+	1 2 11	bd	3 $\bar{5}$ $\bar{8}$	(27)
bd	4 $\bar{3}$ 3	d	1 $\bar{9}$ 2	b	3 6 1	
bd	2 $\bar{4}$ $\bar{1}$	bd	3 $\bar{5}$ $\bar{8}$	+	$\bar{1}$ 1 $\bar{1}$	(28)
bd	2 $\bar{4}$ $\bar{1}$	b	1 5 $\bar{3}$	d	1 $\bar{9}$ 2	
bd	2 $\bar{4}$ $\bar{1}$	+	$\bar{2}$ $\bar{1}$ 4	bd	4 $\bar{3}$ 3	
d	1 10 2	acd	1 10 8	ac	1 0 $\bar{6}$	(29)
d	1 10 2	+	2 1 4	d	$\bar{1}$ 9 $\bar{2}$	
d	1 10 2	bd	$\bar{2}$ 4 1	b	3 6 1	
d	2 $\bar{5}$ 0	b	$\bar{1}$ 0 8	bd	3 $\bar{5}$ $\bar{8}$	(30)
d	2 $\bar{5}$ 0	+	1 4 $\bar{2}$	d	1 $\bar{9}$ 2	
d	2 $\bar{5}$ 0	+	3 5 2	d	$\bar{1}$ $\bar{10}$ $\bar{2}$	
abcd	3 $\bar{4}$ $\bar{7}$	bd	2 $\bar{4}$ $\bar{1}$	ac	1 0 $\bar{6}$	(31)
abcd	3 $\bar{4}$ $\bar{7}$	b	3 6 1	acd	0 $\bar{10}$ $\bar{8}$	
abd	4 $\bar{5}$ $\bar{7}$	bd	4 $\bar{3}$ 3	a	0 $\bar{2}$ $\bar{10}$	(32)
abd	4 $\bar{5}$ $\bar{7}$	a	2 $\bar{1}$ 6	bd	2 $\bar{4}$ $\bar{1}$	
bcd	2 $\bar{5}$ $\bar{10}$	abcd	2 $\bar{4}$ $\bar{7}$	a	$\bar{1}$ $\bar{1}$ $\bar{3}$	(33)
bcd	2 $\bar{5}$ $\bar{10}$	c	0 $\bar{1}$ 9	bd	2 $\bar{4}$ $\bar{1}$	
abcd	1 8 2	abcd	3 4 7	+	4 4 $\bar{5}$	(34)
abcd	1 8 2	a	3 3 $\bar{8}$	bcd	$\bar{2}$ 5 10	
abd	2 $\bar{2}$ 9	bd	4 $\bar{3}$ 3	a	$\bar{2}$ 1 6	(35)
abd	2 $\bar{2}$ 9	a	0 2 10	bd	2 $\bar{4}$ $\bar{1}$	
abd	2 $\bar{2}$ 9	c	3 6 11	abcd	$\bar{1}$ $\bar{8}$ $\bar{2}$	

S(F <sub>hkl</sub> )	h k l	S(F <sub>h<sub>2</sub>k<sub>2</sub>l<sub>2</sub></sub> )	h <sub>2</sub> k <sub>2</sub> l <sub>2</sub>	S(F <sub>h<sub>1</sub>k<sub>1</sub>l<sub>1</sub></sub> )	h <sub>1</sub> k <sub>1</sub> l <sub>1</sub>	ج
bcd	4 4 6	bd	4 3 3	c	0 1 9	(36)
bcd	4 4 6	c	2 0 5	bd	2 4 1	
bcd	4 4 6	+	2 1 4	bcd	2 5 10	
abcd	1 7 2	a	3 3 8	bcd	4 4 6	(37)
abcd	1 7 2	abd	2 2 9	c	1 5 7	
abcd	1 7 2	abcd	1 8 2	+	2 1 4	
abcd	1 7 2	a	1 2 12	bcd	2 5 10	
abcd	1 7 2	+	2 3 9	abcd	3 4 7	
abcd	1 7 2	bd	4 3 3	ac	3 4 1	
bd	3 2 10	c	1 2 16	bcd	4 4 6	(38)
bd	3 2 10	bd	4 3 3	+	1 1 7	
bd	3 2 10	abcd	1 7 2	ac	2 5 8	
bd	3 2 10	+	11 2 11	bd	2 4 1	
abd	3 4 0	ac	1 0 6	bcd	4 4 6	(39)
abd	3 4 0	bd	3 2 10	a	0 2 10	
abd	3 4 0	+	1 1 7	abd	4 5 7	
abd	3 4 0	a	1 1 3	bd	4 3 3	
abd	2 4 0	ac	1 1 10	bcd	2 5 10	
ab	4 6 2	acd	0 10 8	bcd	4 4 6	(40)
ab	4 6 2	d	1 10 2	abd	3 4 0	
ab	2 5 2	d	1 9 2	abd	3 4 0	(41)
ab	2 5 2	a	1 1 3	b	3 6 1	
ab	2 5 2	ab	4 6 2	+	2 1 4	
ab	2 5 2	acd	0 10 8	bcd	2 5 10	

$S(F_{hkl})$	$h \ k \ l$	$S(F_{h_2k_2\ell_2})$	$h_2k_2\ell_2$	$S(F_{h_1k_1\ell_1})$	$h_1k_1\ell_1$	$\sum$
b	1 3 10	a	1 2 12	ab	2 5 2	(42)
b	1 3 10	bd	3 2 10	d	2 5 0	
b	1 3 10	+	2 3 9	b	3 6 1	
b	1 3 10	ab	4 6 2	a	3 3 8	
b	1 3 10	acd	0 10 8	abcd	1 7 2	
b	2 7 8	+	1 4 2	b	1 3 10	(43)
b	2 7 8	d	1 9 2	bd	3 2 10	
b	2 7 8	a	2 1 6	ab	4 6 2	
b	2 7 8	a	0 2 10	ab	2 5 2	
b	2 7 8	+	1 1 7	b	3 6 1	
b	2 7 8	b	1 5 3	+	1 2 11	
a	3 1 5	b	1 5 3	ab	4 6 2	(44)
a	3 1 5	c	2 0 5	ac	1 1 10	
a	3 1 5	a	2 1 6	+	1 2 11	
bd	2 9 6	bd	3 5 8	+	1 4 2	(45)
bd	2 9 6	d	1 9 2	b	1 0 8	
ad	4 4 8	ab	2 5 2	bd	2 9 6	(46)
ad	4 4 8	abd	3 4 0	b	1 0 8	
bcd	3 4 1	c	1 5 7	bd	2 9 6	(47)
bcd	3 4 1	bd	3 5 8	c	0 1 9	
bcd	2 8 3	+	1 4 2	bcd	3 4 1	(48)
bcd	2 8 3	c	0 1 9	bd	2 9 6	
bc	1 1 1	bcd	3 4 1	d	2 5 0	(49)
bc	1 1 1	d	1 9 2	bcd	2 8 3	

$S(F_{hkl})$	$h \ k \ l$	$S(F_{h_2k_2l_2})$	$h_2k_2l_2$	$S(F_{h_1k_1l_1})$	$h_1k_1l_1$	ج
bc	3 2 5	bc	1 1 1	+	2 1 4	(50)
bc	3 2 5	d	1 10 2	bcd	2 8 3	
cd	3 2 5	bc	1 6 6	bd	2 4 1	
		$\therefore b = d$				
abc	4 4 7	a	3 3 8	bc	1 1 1	(51)
abc	4 4 7	+	1 1 7	abc	3 5 0	
abc	4 4 7	b	1 0 8	ac	3 4 1	
bc	2 5 1	a	2 1 6	abc	4 4 7	(52)
bc	2 5 1	b	4 5 6	c	2 0 5	
bc	2 5 1	d	1 9 2	bcd	3 4 1	
c	0 2 9	bc	2 5 1	b	2 7 8	(53)
c	0 2 9	bcd	3 4 1	bd	3 2 10	
c	0 2 9	ab	4 6 2	abc	4 4 7	
c	0 2 9	bc	1 1 1	b	1 3 10	
c	1 6 7	c	0 2 9	+	1 4 2	(54)
c	1 6 7	bcd	2 8 3	bd	3 2 10	
c	1 6 7	bc	1 1 1	b	2 7 8	
cd	1 11 7	bcd	2 8 3	b	1 3 10	(55)
cd	1 11 7	d	1 9 2	c	0 2 9	
cd	1 11 7	c	1 6 7	d	2 5 0	
cd	1 11 7	bcd	3 4 1	b	2 7 8	
bcd	4 5 6	+	1 1 7	bcd	3 4 1	(56)
bcd	4 5 6	cd	1 11 7	b	3 6 1	
bcd	4 5 6	bcd	2 8 3	+	2 3 9	
bcd	4 5 6	c	0 2 9	bd	4 3 3	

S(F <sub>hkl</sub> )	h k l	S(F <sub>h<sub>2</sub>k<sub>2</sub>l<sub>2</sub></sub> )	h <sub>2</sub> k <sub>2</sub> l <sub>2</sub>	S(F <sub>h<sub>1</sub>k<sub>1</sub>l<sub>1</sub></sub> )	h <sub>1</sub> k <sub>1</sub> l <sub>1</sub>	J
bc	2 0 $\bar{6}$	d	$\bar{2}$ 5 0	bcd	4 $\bar{5}$ $\bar{6}$	(57)
bc	2 0 $\bar{6}$	c	$\bar{1}$ 6 $\bar{7}$	b	3 6 1	
bc	2 0 $\bar{6}$	bc	1 1 1	+	1 $\bar{1}$ $\bar{7}$	
abc	1 $\bar{1}$ $\bar{9}$	a	0 $\bar{2}$ $\bar{10}$	bc	1 1 1	(58)
abc	1 $\bar{1}$ $\bar{9}$	bc	2 0 $\bar{6}$	a	$\bar{1}$ $\bar{1}$ $\bar{3}$	
abc	1 $\bar{1}$ $\bar{9}$	+	$\bar{3}$ 5 $\bar{2}$	abc	4 4 $\bar{7}$	
abc	1 $\bar{1}$ $\bar{9}$	ab	2 5 $\bar{2}$	c	$\bar{1}$ 6 $\bar{7}$	
bcd	2 $\bar{6}$ $\bar{10}$	cd	1 $\bar{1}\bar{1}$ $\bar{7}$	b	1 5 $\bar{3}$	(59)
bcd	2 $\bar{6}$ $\bar{10}$	bcd	4 $\bar{5}$ $\bar{6}$	+	$\bar{2}$ $\bar{1}$ $\bar{4}$	
bcd	2 $\bar{6}$ $\bar{10}$	+	$\bar{1}$ 2 $\bar{1}\bar{1}$	bcd	3 $\bar{4}$ 1	
bcd	2 $\bar{6}$ $\bar{10}$	c	0 $\bar{2}$ $\bar{9}$	bd	2 $\bar{4}$ 1	
c	0 4 $\bar{4}$	b	2 4 $\bar{10}$	bc	$\bar{2}$ 0 6	(60)
c	0 4 $\bar{4}$	b	1 5 $\bar{3}$	bc	$\bar{1}$ $\bar{1}$ $\bar{1}$	
bcd	0 4 $\bar{4}$	bc	$\bar{1}$ 6 $\bar{6}$	d	1 10 2	
c	0 4 $\bar{4}$	bd	2 $\bar{4}$ 1	bcd	$\bar{2}$ 8 $\bar{3}$	
c	0 4 $\bar{4}$	bd	$\bar{2}$ 9 6	bcd	2 $\bar{5}$ $\bar{10}$	
c	0 4 $\bar{4}$	+	$\bar{1}$ 2 $\bar{1}\bar{1}$	c	1 6 7	
$\therefore bd = +$						
ab	4 5 2	acd	0 10 8	bcd	4 $\bar{5}$ $\bar{6}$	(61)
ab	4 5 2	bc	2 0 $\bar{6}$	ac	2 5 8	
ab	4 5 2	abc	1 $\bar{1}$ $\bar{9}$	c	3 6 11	
ab	4 5 2	bc	1 1 1	ac	3 4 1	
ab	4 5 2	c	0 1 9	abc	4 4 $\bar{7}$	
c	2 $\bar{1}$ $\bar{5}$	c	0 $\bar{4}$ 4	+	2 3 $\bar{9}$	(62)
c	2 $\bar{1}$ $\bar{5}$	d	1 10 2	cd	$\bar{1}$ $\bar{1}\bar{1}$ $\bar{7}$	
c	2 $\bar{1}$ $\bar{5}$	ab	$\bar{2}$ 5 2	abc	4 4 $\bar{7}$	

$S(F_{hkl})$	$h \ k \ l$	$S(F_{h_2k_2l_2})$	$h_2k_2l_2$	$S(F_{h_1k_1l_1})$	$h_1k_1l_1$	مسلسل
c	2 $\bar{1}$ $\bar{5}$	bd	$\bar{2}$ 4 1	bcd	4 $\bar{5}$ $\bar{6}$	
c	2 $\bar{1}$ $\bar{5}$	c	0 $\bar{2}$ $\bar{9}$	+	2 1 4	
c	2 $\bar{1}$ $\bar{5}$	c	$\bar{1}$ 6 $\bar{7}$	+	3 5 2	
a	3 0 5	ac	3 4 1	c	0 $\bar{4}$ 4	(63)
a	3 0 5	ab	4 5 2	b	$\bar{1}$ $\bar{5}$ 3	
a	3 0 5	bcd	2 $\bar{8}$ 3	abcd	1 8 2	
a	3 0 5	c	2 $\bar{1}$ $\bar{5}$	ac	1 1 10	

## تذليل(٩)

### APPENDIX 9

#### **المسقط الاستيروغرافي (المجسامي)**

#### **stereographic projection**

استخدم المسقط الاستيروغرافي في رسم ما يسمى بالشكل القطبي للبلورة وذلك للتعرف على التركيب النسيجي للمعادن التي وجد أنها لا بد وأن تعانى من وجود اتجاه مفضل للبلورات بها، وقد استخدم المسقط الاستيروغرافي في بادئ الأمر لدراسة الشكل الهندسى للبلورات حيث إنه مشتق من المسقط الكروي.

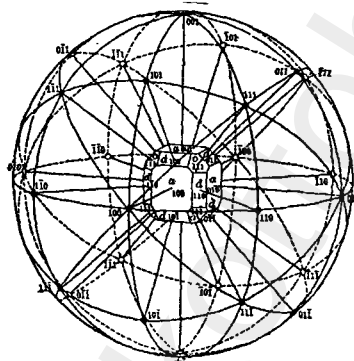
لإعداد المسقط الكروي للبلورة نفترض البلورة وقد وضعت فى مركز كرة شفافة فارغة بحيث ينطبق كل من مركز البلورة ومركز الدائرة على بعضه البعض ثم ترسم أعمدة من هذا المركز الموحد على كل وجه من أوجه البلورة التي تُمدد بعد ذلك لقطع سطح الكرة في نقاط تسمى أقطاب الأوجه وهى التى تكون المسقط الاستيروغرافي.

وأحد الفوائد الهامة للمسقط الاستيروغرافي هو السهولة التى يمكن بها قياس الروايا باستخدامه بطريقة مشابهة لقياس خطوط الطول والعرض للكرة الأرضية حيث تكون الزاوية بين أى مستويين هي الزاوية بين الأعمدة على سطحيهما أى الزاوية بين قطبيهما ويمكن أن تقام على المسقط الكروي بعددزوايا بين دائرةكبرى تمر بالقطبين، وعلى الرغم من هذا فإنه من الأسهل العمل على سطح مستوى من الورق، وقد أدى هذا إلى إيجاد طرق كثيرة لرسم المسقط الكروي بدون المساس بالعلاقات بين الزوايا المقاسة بين الأقطاب وأهم هذه الطرق هى المسقط الاستيروغرافي stereographic projection المشتق من المسقط الكروي يجعل المستوى الاستوائى equatorial plane للكرة (أو مستوى ماس للكرة عند القطب الشمالي) هو مستوى الإسقاط، وبعد ذلك يمكن تصور الخطوط وقد رسمت خلال الأقطاب للنصف العلوي للكرة إلى القطب الجنوبي للكرة (شكل ١)، وبذلك يمكن

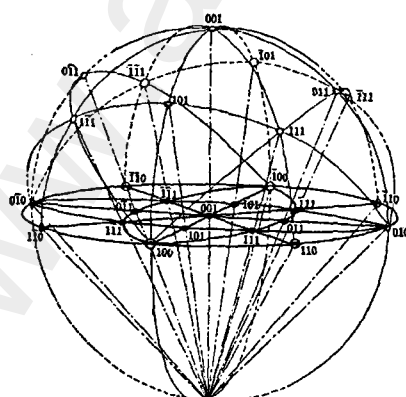
لتقطيع هذه الخطوط مع مستوى الإسقاط أن تحدد الأقطاب على المسقط الاستيروغرافي.

بعض خواص المسقط الاستيروغرافي يمكن ملاحظتها حيث يوضح الشكلان (١)، (٢) أن أقطاب المستويات الموازية للمحور الممتد من الشمال إلى الجنوب للكرة تسقط على الدائرة البدائية primitive circle.

وال�性 الأخرى هي أن أي دائرة صغيرة على المسقط الكروي يكون مسقطها عبارة عن دائرة على المسقط الاستيروغرافي، ومن الواضح أنه يمكن إجراء قياسات بطريقة بسيطة على المسقط الاستيروغرافي فقط باستخدام مسطرة أو منقلة.



شكل (١)  
المسقط الكروي للبورة



شكل (٢)  
انحراف المسقط الاستيروغرافي عن المسقط الكروي

## قائمة المصطلحات

$\alpha_1 \alpha_2$ doublet	ازدواج $\alpha_1 \alpha_2$
Absolute scale	المقياس المطلق
Absolute scaling	القياس المطلق
Absorption	امتصاص
Active Matrix	مصفوفة فعالة
Analyzing crystal	بلورة تحليل
Anisotropic	لا أيزوتروبية
Anisotropic temperature factor	معاملات التذبذب الحراري اللا أيزوتروبي
Anistropic	لا أيزوتروبي (متغير بتغيير الاتجاه)
Annealing texture	نسيج التخمر
Anomalous scattering	التشتت الشاذ
Apparant crystal size	حجم البلورات الظاهري
Area detector	مكشاف مساحي
Asymmetric unit	الوحدة اللامتماثلة
Atom-atom potentials	الجهود بين الذرية
Atomic coordinates	إحداثيات الذرات
Atomic scattering factor	معامل التشتت الذري
Atomic vibration parameters	معامل التذبذب الحراري للذرات
Avalanche	التيهور
Axes transformation	تحويل المحاور
Basic principles	المبدأ الأساسي
Bend Deformation	تشوه الانحناء
Birefringence	الانكسار المزدوج
Boltzmann's constant	ثابت بولتزمان
Bond Disorder	اضطراب الروابط

Bonded atoms	الذرات المرتبطة بروابط كيميائية
Bragg's law	قانون براج
Bravais Lattices	شبيكات «برايفيه»
Broadening of powder lines	زيادة العرض لخطوط الحبيبات من المساحيق
Calibration curves	منحنيات المعايرة
Cauchy distribution	توزيع كوشي
Centre of gravity	مركز الثقل
Characteristic Spectrum	الطيف المميز
Charge coupled device (CCD)	أجهزة الشحنة المزدوجة
Chemical Disorder	«الارتيب» كيميائي
Chemical Order	ترتيب كيميائي
Chiral	«كيرالي» - ذو تماثل كتمثال اليد
Cholesteric	كوليستري
Close packing	التعبة المتلاصقة
Czochralsky Method	طريقة تشوخرالسكي
Coherent radiation	أشعة ذاتية
Coherent scattering	التشتت الذاتي
Cold worked faults	العيوب الناشئة من التشغيل على البارد
Collimator	جهاز لتوازى الأشعة
Colour centers	مراكز اللوان
Compact packing	التعبة المحكمة
Continuous Spectrum	الطيف المستمر
Convergent	متقاربة
Convolution analysis	التحليل الالتفافي
Crystal Growth	إناء البلورات
Crystal Lattice	شبيكة بلورية
Crystal Systems	النظم البلورية

Cubic	المكعب
Data reduction	اختزال بيانات الحيود
Dead time	فترة التوقف
Degree of Crystallinity	درجة التبلور
Diamagnetic ...	الدايامغناطيسية
Diamond Structure	تركيب الألماس
Dichroism	الثنائية اللونية
Dielectric Constant	ثابت العزل
Dielectric Properties	الخواص العزلية
Difference Fourier	متسلسلة فوريير للفروق
Diffraction	الحيود
Diffraction Symmetry	تماثل شكل الحيود
Diffuse scattering	التشتت المتشتر
Dihedral angle	الزوايا الشبسطوية
Direct comparison method	طريقة المقارنة المباشرة
Direct methods	الطرق المباشرة
Directional Order	ترتيب اتجاهى
Dislocations	انخلاعات
Disordered Systems	المظوممات «غير المرتبة»
Divergence	تفرق أو تباعد
Drawing	الشد
Elasticity	المرونة
Electrical Conductivity	الموصلية الكهربية
Electrical Polarization	الاستقطاب الكهربائي
Electrical signal	الإشارة الكهربائية
Electron diffraction	حيود الإلكترونات
Electron excitation	الإثارة بالإلكترونات

Electron probe microanalyzer	المجس الإلكتروني للتحليل الميكروني
Electrostatic Interaction	التفاعلات الكهرومغناطيسية
Elementary Cell	خلية أساسية
Ellipsoid	مجسم قطع ناقص
Empirical	تحريبي
Empirical coefficients	المعاملات التجريبية
Energy dispersive spectrometer	سبكترومتر مفرق للطاقة
Equator	خط الاعتدال (الاستواء)
Equi-inclination Weissenberg photographs	أفلام فايزنبرج متساوية الميل
Equivalent positions	الأماكن المتكافئة
Eulerian angles	زوايا أولر
Extrusion	السحب
Ferrimagnetic	فيريمغناطيسية
Ferromagnetic	فيرومغناطيسية
Fibre texture	نسيج ليفي
Figure of merit	رقم الجدارة
Filters	أجهزة الترشيح
Fingerprinting technique	تكنولوجي بصمة الإصبع
Floatation method	طريقة الطفو
Fluorescence	استشعاع
Focusing cameras	كاميرا التركيز
Focusing circle	دائرة التركيز
Four circle diffractometer	جهاز الحيدود ذو الأربع دوائر
Fourier series	متسلسلة فوريير
Fourier transform	تحويل فوريير
Friedel's law	قانون فريديل
Full-width at half maximum	العرض الكلى عند متصف الارتفاع للقمة

Fundamental parameters	المتغيرات الأساسية
Gas Counters	العدادات الغازية
Gaussian distribution	توزيع جاوس
Geiger counter	عداد جايجر
Geiger-Muller Counter	عداد جايجر - مولر
Geometrical interpretation of Bragg's law	التفسير الهندسي لقانون براج
Geometrical model	النموذج الهندسي
Glide planes	مستويات الانزلاق
Goniometer	جهاز لقياس الزوايا (منقل)
Goodness of fit	جودة المطابقة
Half peak breadth	العرض عند منتصف طول القمة
Harker sections	مقاطع هاركر
Heavy atom technique	تقنية الذرات الثقيلة
Hexagonal	السداسي
Hexagonal Close Packed Structure	تركيب سداسي متلائج الرص
Homeotropic	التوجيه المتجانس الموحد
Hydrophilic	محب للماء
Hydrophobic	كاره للماء
Identification of materials	التعرف على المواد
Incoherent scattering	الشتت غير الذاتي
Incommensurate	غير مناسب
Indexing	تعيين إحداثيات ميلر
Inequalities	المباينات
Insufficient shielding	الحجب غير الكافي
Integral width	العرض التكاملى
Intermolecular	بين الجزيئات بعضها البعض
Internal standard method	طريقة المعيار الداخلى

International Tables for x-ray crystallography	الجداول الدولية لعلم كريستالوجرافيا الأشعة السينية
Interstitial	بيفرجي (واعق بين فرحتين)
Intramolecular	بين الذرات داخل الجزيء الواحد
Inverse pole figure	الشكل القطبي العكسي
Inversion	الانقلاب
Isomorphous replacement method	طريقة الاستبدال المتشاكل
Isotropic	موحد الخواص (متساوية في جميع الاتجاهات)
Lattice	شبكة
Laue groups	مجموعات لاوى
Laue photograph	فيلم لاوى
Least squares	المربعات الصغرى
Liquid Crystals	البلورات السائلة
Lorentz and polarization correction	تصحيح لورنتز والاستقطاب
Low energy electron diffraction	حيود الالكترونات ذات الطاقة المنخفضة
Lyotropic	ليوتوري
Macro molecules	الجزيئات الكبيرة
Magnetic Susceptibility	القابلية المغناطيسية
Matrix absorption	امتصاص الوسط
Maxwell distribution law	قانون ماكسويل للتوزيع
Miller Indices	إحداثيات «ميller»
Molecular conformation	الشكل الهندسى للجزيئات
Molecular crystals	البلورات الجزيئية
Molecular mechanics	الميكانيكا الجزيئية
Monochromator	جهاز موحد لطول الموجه
Monoclinic	أحادى الميل

Moving film technique	تقنية الأفلام المتحركة
Multichannel analyzer	محلل متعدد الفنون
Multiple excitation	تعدد الإثارة
Multiplicity	تضاعف
Multiplicity factor	معامل التضاعف
Nanocrystals	البلورات الثانومترية
National Bureau of standards	المكتب القومي للعياريات
Nematic	نيمانى - خيطى
Neutron diffraction	حيدود النيوترونات
Newman projection	مسقط نيومان
Non crystalline material	مواد غير مبلورة
Non destructive methods	طرق غير هدامة
Normal beam Weissenberg photographs	أفلام فايزنبرج ذات الشعاع العمودى
Normal equations	المعادلات السوية
Normalized structure factor	المعامل التركيبى البسوى
Object	هدف
Octahedron	ثمانى الأوجه
Optical Properties	الخواص البصرية
Ore prospecting	التنتيپ عن الخامات
Orthorhombic	المعينى القائم
Paramagnetic ...	البارامغناطيسية
Particle size	حجم الحبيبات
Patterson method	طريقة باترسون
Perfect Crystal	بلورة مثالية
Photo-electron multiplier tube	أنبوبة التضاعف الضوئي
Physical model	النموذج الفيزيائى
Piezoelectricity	البيزو كهربائية

Plastic	لدن
Point Defects	العيوب النقطية
Point detector	مكشافات نقطية
Point Groups	المجموعات أو الطوائف النقطية
Polarizing Microscope	الميكروسكوب الاستقطابي
Pole densities	كثافة الأقطاب
Pole figure	الشكل القطبي
Polymer Texture	نسيج البلاستيك
Position - sensitive detector	مكشاف حساس للموضع
Powder diffraction	الحبيبات من المساحيق
Powder diffractometer	جهاز الحبيبات من المساحيق
Preferred orientation	اتجاه مفضل
Primary extinction	الاضمحلال الأولي
Primitive lattice	شبكة بدائية
Probability methods	طرق الاحتمالات
Proportional counter	عداد النسب
Pyroelectricity	البيروكهرية
Qualitative analysis	التحليل الكيفي
Quantitative analysis	التحليل الكمي
Quasicrystals	أشبه البلورات
Quasiperiodical Order	نظام شبه دوري
Radial Distribution	توزيع القطرى
Radial distribution analysis	تحليل التوزيع القطرى
Radial distribution function	دالة التوزيع القطرى
Radiation Detectors	مكشافات الأشعة
Reciprocal space	فضاء العكس
Recrystallization	إعادة تبلور

Refining crystal structure	تدقيق نتائج تعين التركيب
Reflecting sphere	كرة الانعكاس
Reflection	الانعكاس
Reflection Inversion	الدوران الانقلابي
Reflection of x-rays	انعكاس الأشعة السينية
Reflection profile function	دالة الشكل الجانبي للانعكاس
Reflection Rotation	الدوران الانعكاس
Reliability Index	دليل الثقة
Resolution	تفريق
Resolving power	قوة التفريق
Rietveld refinement	تدقيق ريتيفيلد
Rotation	الدوران
Rotation Inversion	الدوران الانقلابي
Rotation photograph of a crystal	فيلم البلورة الدوارة
Saturated molecules	الجزيئات المشبعة
Scalar	كمية قياسية
Scattering	تشتيت
Scintillation counter	عداد الوميض
Screw axes	المحاور اللولبية
Secondary extinction	الاضمحلال الثانوى
Semi conductor detector	مكشاف أشباه الموصلات
Semi-empirical	شبه تجريبى
Shear strain	انفعالات القص
Sheet texture	النسيج الشريجى
Simple harmonic motion	الحركة التوافقية البسيطة
Single channel spectrometer	سبكترومتر ذو قناة واحدة
Single crystal diffractometer	جهاز الحيوه من البلورات الأحادية

Smectic	سميكى
Solid Solution	المحلول الصلب
Space groups	المجموعات الفراغية
Spectrometer	جهاز قياس الطيف (سبكترومتر)
Spherulites	الكريات
Splay Deformation	تشوه الانحدار
Standard deviation	الانحراف القياسي
Stereographic projection	مسقط ستيروجرافى
Steric energy	طاقة التشوه
Strain	الانفعال
Stress	الإجهاد
Stress ellipsoid	القطع الناقص للمجسم للإجهاد
Structural faults	العيوب التركيبية
Structure factor	المعامل التركيبى
Sublimation	التسامى
Substitutional	استبدالى (استعاضى)
Superposition of waves	تراكم الموجات
Swaging	الطرق
Symbolic addition method	طريقة جمع الرموز
Symmetry Operations	عمليات التماثل
Synchrotron Radiation	الإشعاع السينكروترونى
Systematic absences	الغياب المنتظم
Target	هدف
Temperature factor	المعامل الحراري
Tensor	متد - كمية ممتدة
Tetragonal	رباعى الأضلاع
Tetrahedron	رباعى الأوجه

Texture	نسيج
The limiting sphere	الكرة المحددة
The phase problem	مشكلة الأطوار
The reciprocal lattice	الشيكحة المقلوبة (العكسية)
The scale factor	معامل القياس
Thermal Expansion	التمدد الحراري
Thermal neutrons	النيوترونات الحرارية
Thermodynamic properties	الخواص термодинамическая
Thermotropic	ثيرموتروبي
Three circle diffractometer	جهاز الحبيود ذو الثلاث دوائر
Topological Disorder	اضطراب توپولوجى
Torsion angles	زوايا اللي
Trial and error method	طريقة المحاولة والخطأ
Triclinic	ثلاثي الميل
Trigonal	الثلاثي
Twist Deformation	تشوه الالتواء
Twist Effect	ظاهرة الالتواء
Two dimensional detector	مكشاف ذو بعدين
Uniaxial	وحيد المحور
Unit Cell	خلية أحادية
Unitary structure factor	المعامل التركيبي الوحدوى
Variance method	طريقة الاختلاف
Vector	متوجه
Vector map	خرائط المتجهات
Viscosity	اللزوجة
Viscoelasticity	المرونة اللزجة
Wave length dispersive spectrometer	سبكترومتر مفرق لأطوال الأمواج

Weight fraction	النسبة الوزنية
Weighted	مزود بالأنقال
Wet chemical analysis	الطرق الكيميائية العادمة
Windows and Screens	النوافذ والسوارات
X-ray excitation	الإثارة بأشعة إكس
X-ray powder data file	ملف بيانات حيود الأشعة السينية من المساحيق
X-rays	الأشعة السينية
Young's modulus	معامل يونج
Zero point	نقطة الصفر
Zero point oscillation	ذبذبة نقطة الصفر



## المراجع

### **أولاً - المراجع العربية:**

- البصريات الفيزيائية، أ.د. أحمد فؤاد باشا، أ.د. شريف أحمد خيري، دار الفكر العربي، ١٩٩٨ م.
- فيزياء الجوامد، أ.د. محمد أمين سليمان، أ.د. أحمد فؤاد باشا، أ.د. شريف أحمد خيري، دار الفكر العربي، ٢٠٠٠ م.

### **ثانياً- المراجع الاجنبية:**

- Advances in Structure Research by Diffraction Methods: R. Brill and Mason (1970). Pergamon Press.
- Basic Crystallography, J.J. Rousseau, John-Wiley and Sons, (1998).
- Crystal Growth: C.H.L. Goodman, Plenum Press London (1974).
- Crystal Structure Analysis for Chemists and Biologists (1994). by J.P. Glusker & M. Lewis & M. Rossi, VCH Publisher.
- Crystallographic Instrumentation: Aslanov et al., I.U.C. Oxford University Press (1998).
- Crystallography: Borchard. T., Otto, W. Wpringer-Verlag Berlin (1993).
- Direct Methods in Crystallography: M.M. Woolfson (1961). Oxford at the Clarendon Press.
- Elements of x-ray Diffraction: B.D. Cullity (1978). Publishing Company, Inc.
- Fundamentals of Crystal Physics Sirotin. Yn. I. and Shaskolsraya M.P. Mir Publishers, Moscow. (1982).
- Fundamentals of Crystallography: Giacovazzo et al. I.U.C. (1992). Oxford University Press.

- Fundamentals of Optics: Jenkins F.A. and White, H.E. Mc Graw Hill (1957).
- International Tables for x-ray Crystallography: J.S. Kasper and K. Lonsdale I.U.C. (1992).
- Introduction to Oxford Univ. Press (1992): Solid State Physics. 7th Edition. C. Kittel. John-Wiley and Sons (1997).
- Introduction to Physics: A.I. Kitaigorodsky, (1968). Mir Publishers.
- Liquid Crystal Devices, Physics and Applications. Chigirnou, V.G. Artech House, Boston, London (1999).
- Liquid Crystals: Chandrasekhar S. Cambridge University Press Combridge (1977).
- Local Atomic Arrangements Studied by x-ray diffraction: J.B. Cohen and J.E. Hilliard, (eds.), Gordon Breach, New York (1966).
- Mechanical Behaviour of Materials: M.A. Meyers, K.K. Chawla, Prentice Hall N.J. (1998).
- Organic Chemical Crystallography: A.I. Kitaigonodsky (1957). Consultants Bureau, New York.
- Physical Properties of Crystals: J.F. Nye. Oxford, Claridon Press (1967).
- Piezoelectric Crystals and Their Applications to Ultrasonics. N.Y. Van Nostrand (1950).
- Piezoelectricity: Cady, W.G. N.Y. McGraw Hill (1946).
- Quasicrystals: C. Janot, Clarendon Press, Oxfrod (1997).
- Solid State Physics: Neil W. Ashcroft - N. David Mermin. Holt-Saunders Int. Editions (1976).

- Structure and bonding in Crystalline Materials: G.S. Rohrer (2001). Cambridge University Press, UK.
- Text Book of Polymer Science: F.W. Billmeyer, Wiley. Interscience. N.Y. (1971).
- The Atom - Atom Potential Method: A.J. Pertsin & A.I. Kitaigorodsky (1986). Springer Verlag Berlin Heidelberg.
- The Determination of Crystal Structures: H. Lipson and W. Cochran (1966).
- The Interpretation of x-ray Diffraction Photographs: N.F.M. Henry, H. Lipson and W. A. Wooster (1951). London: Macmillan and Co., Ltd.
- The Physics of Liquid Crystals: De Gennes, P.G. Oxford, Clarendon Press (1974).
- The Powder method: L.V. Azaroff and M.Z. Buerger (1958). McGraw - Hill Book Co., Inc., New York.
- The Rietveld Method: R.A. Young (1993). I.U.C. Oxford University Press.
- X-ray Crystallography: M.J. Buerger (1962). John Wiley & Sons, INC. London.
- X-ray Crystallography: Milburn, G.H.W. (1973). Butteworth of Co. Ltd., Great Britain.
- X-ray Diffraction Procedures for Poly Crystalline and Amorphous Materials: H.P. Klug & L.E. Alexander (1974). John Wiley & Sons, New York.
- X-ray Structure Determination: G.H. Stout and L.h. Jenson (1968). The Macmillan Company, U.S.

